

В. С. ЧУВИКОВСКИЙ

**ЧИСЛЕННЫЕ
МЕТОДЫ
РАСЧЕТОВ
В СТРОИТЕЛЬНОЙ
МЕХАНИКЕ
КОРАБЛЯ**

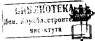
(ОБЩАЯ ТЕОРИЯ.
ОДНОМЕРНЫЕ
И КВАЗИОДНОМЕРНЫЕ
ПРОЦЕССЫ)

* * *

10

427381

Отдел учебников



ИЗДАТЕЛЬСТВО «СУДОСТРОЕНИЕ»
ЛЕНИНГРАД,
1976

Численные методы расчетов в строительной механике корабля (Общая теория. Одномерные и квазидинамические процессы). Чукаловский В. С. Л., «Судостроение», 1976. с. 379.

В книге изложены общие теории численных расчетов прочности, устойчивости и вибрации судовых корпусных конструкций, а также методы и алгоритмы этих расчетов применительно к одномерным и квазидинамическим процессам. Особое внимание удалено вопросам физики законочения непрерывных алгоритмов и обеспечения заданных при получении результатов.

Основная идея книги — показать место, которое могут занять модели с учетом прямого-следственных связей в строительной механике корабля и в прикладной математике. Используя такие модели, возможно получить картину указанной связи в любых одномерных и квазидинамических процессах, сделать обобщение теории устойчивости А. И. Ляпунова для случаев неоднородных процессов, адекватизировать и развернуть ряд эффективных численных методов решения краевых задач, создать общий представления об устойчивости объектов и, в конечном счете, наize решить многих вопросов, связанных с получением прочности судовых корпусных конструкций.

Из. 125. Literat. 50 наим.

Редактор д-р техн. наук В. Т. Токаревский

Ч 31895—948
048(91)—76 16—76

© Издательство «Судостроение», 1976 г.

ОТ АВТОРА

Численные расчеты прочности широко используются в практике отечественного и мирового судостроения. Имеются многочисленные публикации по методам и алгоритмам этих расчетов, созданы и применяются различные конкретные программы, записанные как на универсальных языках, так и в адресах тех или иных машин, создаются новые методы и программы, ведутся теоретическое исследование. В связи с этим назрела необходимость обобщения полученных результатов в книгах монографического и справочного характера, которые позволят бы читателю сравнительно быстро ориентироваться в основных идеях и методах, открываящихся возможностях и достижениях, а также в реальных трудностях и проблемах всестороннего использования вычислительных машин для анализа напряженного и деформированного состояния корпусных конструкций.

Данная книга — попытка отыскать на такую потребность. Многобразие проблем заставило автора ограничиться изложением общих теорий численных расчетов и теории расчетов одномерных и квазидинамических процессов. Многомерные процессы будут рассмотрены в специальной монографии.

При написании книги подобного характера можно избрать два пути: либо составить подробный сборник «рецептов», готовых формул, реестр программ и т. п., либо предложить по возможности краткую сводку основных научных результатов, идей, подходов, методов и представлений, снабдив их рассмотрением достаточным количеством примеров и наиболее важными для практики решениями. Автор сознательно избрал второй путь, полагая, что чтение сборников «рецептов» не сможет убедить инженера в ее научно-технической революции, когда всякие рецепты передко устаревают еще до их опубликования. Ориентируясь же в существе проблемы численных расчетов прочности, специалист сумеет сознательно оценить, выбрать и грамотно использовать нужные ему результаты и рабочие программы, а в случае необходимости и составить требуемый рас-

ческий алгоритм. Что касается самих типовых рабочих программ расчетов, то их подробная и систематическая публикация — дело специальных организаций. Но, пользуясь этими программами, можно твердо придерживаться общего положения: выбирать в практику даже хорошо отработанную программу только на основе всестороннего понимания особенностей заложенных в нее методов и алгоритмов.

Кроме сведений собственно математического характера, непосредственно относящихся к числовым методам и алгоритмам, книга содержит некоторые важные, но еще недостаточно освещенные в литературе сведения по строительной механике, необходимые для правильного и обоснованного выбора исходных физических и математических моделей.

Книга рассчитана на широкие круги инженерно-технических работников судостроительной промышленности, а также на студентов старших курсов и аспирантов кораблестроительных институтов и факультетов, занимающихся изучением в расчетами прочности судового корпуса. Содержащиеся в ней сведения общего характера по теории численных алгоритмов могут представлять интерес для специалистов других областей науки и техники, которые так или иначе сталкиваются с числовыми расчетами на ЭВМ в расчетах прочности различных конструкций и сооружений.

ВВЕДЕНИЕ

Современный этап развития судостроения характеризуется рядом особенностей, которые обусловливают необходимость разработки и самого широкого внедрения числовых методов расчета прочности корпусных конструкций, включая оценку напряженного и деформированного состояния при статическом загружении, устойчивости состояний рационации, вибрации, а также результатов воздействия динамических нагрузок импульсивного характера. К числу этих особенностей можно отнести использование все более прочных корпусных материалов, увеличение размеров судов и скорости их движения, появление судов новых типов, в частности судов с динамическими принципами поддержания, и т. п.

Новые корпусные материалы, обладая увеличенной удельной прочностью по сравнению с ранее применявшимися, как правило, недостаточно пластичны, сравнительно легко деформируются и, кроме того, проявляют порой ряд неожиданных свойств вроде ползучести при обычных температурах. С увеличением размеров судов при сохранении относительной массы корпуса происходит рост напряжений и уменьшение жесткости конструкций. Увеличение скорости движения приводит к значительному росту динамических составляющих внешних сил, действующих на корпус судна. Работа новых типов судов требует создания совершенно новых конструктивных форм и т. д.

В этих все усложняющихся условиях рациональное проектирование корпусов становится возможным лишь при существенно более высокой, чем раньше, точности, быстроте и многоцентровости расчетной оценки прочности, устойчивости и вибрации всех конструктивных элементов и конструкций в целом, что никак не может быть достигнуто прежними аналитическими методами и «ручным счетом».

В связи с этим развитие числовых методов строительной механики кораблей, усвоение их самыми широкими кругами исследователей и практиков судостроительной промышленности — насущная задача сегодняшнего дня, которая не нуждается в специальных обоснованиях и пояснениях.

Однако не следует думать, что появление современных ЭВМ, создающие сеть вычислительных центров, обучение кадров программистов и операторов решает указанную задачу чисто автоматически, стоит лишь дать возможность специалистам по строительной механике и расчетчикам-архитекторам использовать эти кадры, центры и машины. Программисты, операторы, вычислительные центры, машины, конечно, нужны. Но их еще недостаточно для достижения поставленной цели — разработки и широкого внедрения в практику проектирования и последовательности прочности судовых корпусов современных по своему научному уровню эффективных численных методов.

Дело в том, что численным методам свойственны многие особенности, без знания которых специалист в области прочности не имеет частую даже грамотно сформулировать на языке численной математики конкретный вопрос строительной механики или использовать ту или иную стандартную программу, приложенную к машине в качестве ее математического обеспечения.

Возьмем, такой, казалось бы, простой вопрос, как решение систем линейных алгебраических уравнений. Далеко не все знают, что на самой современной машине нельзя иногда решить и десяти уравнений с десятью неизвестными, если они имеют определенный «нейдобный» набор коэффициентов и свободных членов (также при любой программе); в данном стандартном программе иногда хорошо решает «запомянутую» ею систему, но для другой системы нужна совсем иная программа, основанная на другом методе.

А между тем даже небольшие изменения в исходной физической модели, положенной в основу предлагаемого решения, дали бы очень «судебные» уравнения, и задача была бы численно решена за короткий срок. Но для такого перестройки необходимо, чтобы специалист в области прочности достаточно ориентировался и существе и особенностях численных методов, мог найти общий язык со специалистами по численной математике и программистами, умея, когда надо, пойти им навстречу, а когда следует — потребовать от них предоставления вполне предельных конкретных затруднений.

Или другой простой пример. Пусть нам нужно решить несложное дифференциальное уравнение вида $y'' = 10y' + 11y$ при начальных условиях $y(0) = 1$, $y'(0) = -1$. Требуется найти соответствующее частное решение на отрезке $0 \leq x \leq 3$. Точное решение этого уравнения при данных условиях известно. Оно имеет вид $y(x) = e^{-x}$ и при $x = 3$ равно $y(3) \approx 0,0498$.

Но употребляемые обычно численные методы решения дифференциальных задач дают здесь совершенно ложный ответ. В симметричных уравнениях ладут здесь совершение ложных ответов. В самом деле, общее решение данного уравнения $y = C_1e^{-x} + C_2e^{11x}$, где C_1 , C_2 — произвольные постоянные. Допустим, что с помощью численного метода, использованного в стандартной программе машины (например, метода Рунге—Кутта или Адамса—Штермера),

последовательно вычисляются одно за другим значения y_1, y_2, \dots в точках x_1, x_2, \dots . В этом случае вследствие постепенности округлений, неизбежных при любом методе, понижается компонента погрешности, пропорциональная ε^{10x} . В идеальном случае отсутствия погрешностей самого метода эта компонента, имеющая при некотором $x = \xi$ значение ε , уже при $x = \xi + 2$ увеличивается до $\varepsilon^{22} \approx 3,6 \cdot 10^9 \varepsilon$. Если счет, допустим, ведется с семью знаками, то отмеченная погрешность полностью покрывает исчезающее по сравнению с ней точное решение $u = e^{-x}$. Очевидно, что стандартные программы могут привести к ошибкам при их недостаточно продуманном использовании.

Именно этот пример заставил известного специалиста по численным методам Л. Колесникова сказать: «... Ясно, что приближенно решать задачу шаг за шагом, не учитывая поведение интегральных кривых, значит уподобляться человеку, который пускается в путь по замерзшему озеру, не зная толщины льда» [14, с. 10].

Но кто, как не человек, задавший задачу, должен в первую очередь предварительно оценить упомянутое поведение краевых и сделать соответствующие выводы? Кстати, в дальнейшем мы увидим, что физическое осмысливание применительно к данной задаче непрочности конкретного численного метода позволяет зачастую сделать очень важные практические выводы, даже не прибегая к дальнейшему счету.

Приведенные примеры, количество которых можно существенно увеличить, свидетельствуют, что особенности численных методов требуют весьма осторожного и квалифицированного подхода к этим основным средствам исследования, причем соответствующий квалификации должен обладать не только «исполнитель», т. е. математик и программист, но и специалист, в чьих интересах решается задача.

Следует со всей определенностью подчеркнуть, что успешное использование в той или иной организациии ЭВМ и численных методов (как и вообще любых методов автоматической переработки информации) требует хорошо согласованных усилий следующих категорий сотрудников: специалистов по эксплуатации и ремонту ЭВМ, специалистов-операторов и программистов, специалистов по численным методам и, наконец, специалистов по основной проблематике данной организации (в нашем случае зорчников-кораблестроителей), хорошо знакомых с особенностями численной математики и использованием ЭВМ.¹ Недостаток в специалистах хотя бы одной из указанных категорий или их плохая работа свидет на нет успеха всего коллектива.

1 В некоторых случаях специалист по основной проблематике после соответствующей подготовки может заменить, скажем, специалиста по численным методам, однако подобное соглашение профсоюз не может существовать.

Специалист по основной проблематике, т. е. прочнист, обязан грамотно поставить задачу на математическом языке, выбрав для этого адекватную физике языков и непременно достаточно «удобную» для дальнейшего использования математическую модель; если выбранная модель по тем или иным причинам оказывается неприменимой, он перестраивает и корректирует ее, обращаясь иногда за помощью к специалисту по численным методам, но не перекладывая на этого специалиста свою долю, так как всякая перестройка и корректировка модели неминима без углубленного физического анализа задачи с учетом всех ее конкретных особенностей. На прочнисте лежит и обобщение усилий указанного выше коллектива для фактического выполнения численного расчета и, конечно, анализ окончательных результатов.

Специалист по численным методам, приняв эстафету от проектировщика, преобразует в случае необходимости исходную математическую модель в более удобную для численных методов виду (например, заменяет дифференциальные уравнения конечно-разностными), а главное, выбирает или создает численный метод расчета, приемлемый для данной ЭВМ по объему арифметических операций, давне будущая программа (т. е. по памяти машиной) и устойчивости (нечувствительности к незначительным погрешностям счета, связанным хотя бы с округлениями значащих цифр). Результаты своей работы он излагает в виде математических формул, удобных для непосредственных вычислений и снабженных словесными пояснениями.

Программист «переводит» все расчетные формулы и пояснения на языки машинны, т. е. в систему команд, отражающую вид исходной информации и все ее преобразования вплоть до получения окончательных результатов расчета. Оператор фактически управляет машиной с помощью данной программы. Эксплуатационник-ремонтник обеспечивает правильную эксплуатацию, неправильность и ремонт машин.

Их усилия тоже очень важны, а зачастую оказываются определяющими. Например, от программиста в первую очередь зависит компактность конкретной программы, удобство ее использования и представления окончательных результатов, удобство контроля счета, не говоря уже о правильности самих команд. Не лучше напоминать хорошо известные в технической литературе факты, когда одна единственная ошибка в программе приводила к неверным результатам, которые величили за собой весьма тяжелые практические последствия.

Создание и испытание в проектную формулировку нового численного расчета очень напоминают работы по проектированию и измерению в производство нового технического изделия, требуют в сложных случаях много времени и усилий.

Постановка задачи, ее предварительный анализ, выбор численного метода, составление предварительной укрупненной программы (так называемой блок-программы) вместе с необходимыми оценками,

а иногда и экспериментальными расчетами отдельных разделов будущего полного расчета составляют первый этап работы, аналогичный разработке эскизного проекта. Он очень важен, коренным образом определяет успех всего дела, но связан обычно с машинальной трудоемкостью и затратами времени, чем остальные этапы.

Второй этап — составление в отладке действующей предварительной или так называемой внутренней программы расчета — аналог технического проекта, заканчивающегося выпуском опытного действующего образца будущего изделия. С помощью внутренней программы ее исполнитель в состоянии практически выполнять требуемый расчет, но он еще не может передать ее для использования при массовом счете другим исполнителям, а сама программа обычно еще далека от должного совершенства по числу операций и необходимости машинному времени. Затраты времени и трудоемкость на втором этапе зачастую существенно больше, чем на первом.

Третий этап — составление и отладка рабочей программы — напоминает рабочий проект и наладку серийного производства на готовом заводе. Он, как правило, наиболее трудоемок и длителен. Рабочая программа должна быть достаточно совершенной и пригодной для выполнения массовых расчетов любыми квалифицированными исполнителями в условиях вычислительного центра, созданного программу.

Наконец, четвертый этап — передача рабочей программы в другие вычислительные центры и отладка ее там — представляет собой, по существу, передачу рабочей документации наладки и наложение его серийного производства на других заводах.

В указанных делениях и в принятых аналогиях нет ничего странного. Современные машины вычислительные центры называют заводами по переработке и созданию новой информации. Следует также заметить, что за рубежом рабочие программы обычно не публикуются: фирмы, разрабатывающие программы, предлагают заказывать им выполнение расчетов или купить у них лицензии на использование программы, оговорив, если нужно, содействие и консультацию фирмы при их внедрении.

В заключение следует еще раз подчеркнуть особую важность первого этапа работы. В интересной книге Эйтингера в Ситтинга¹ произведен анализ изменения результатирующих эффективных затрат и зависимости от качества решений, принимаемых на различных этапах разработки и производства промышленной продукции. Основная мысль этого анализа ясна: «По мере принятия решений на предыдущих этапах число степеней свободы соответственно уменьшается, и это же относится к количеству ошибок, которые могут быть сделаны (все зависит от того, были приняты правильные или ошибочные решения). Таким образом, на последующих этапах сты-

¹ Эйтингер, Ситтинг. Больше... через качество. М., Издательство стандартов, 1968.

новится все труднее оказать благородное влияние на весь комплекс проблем, связанных с осуществлением проекта, если ранее принятые неоптимальные решения не будут пересмотрены. Принятый фасад отеля и тщательно разработанные детали при этом помогут архитектору исправить основную ошибку, например неправильный расчет мест в отеле, явное превышающий потребности. Португалик, сооружающий торговый центр, мечавшийся от того, насколько эффективна его деятельность на строительной площадке, не достигнет успеха, если были допущены серьезные ошибки в выборе места для строительства» (с. 31). Результаты анализа начинаяющие: по мнению авторов, качество основных функциональных решений (т. е. качество исходного технического задания) может изменять затраты на $\pm 50\%$; качество проектно-конструкторских решений — на $\pm 25\%$, а производственно-технологические решения — всего на $\pm 10\%$.

Конечно, эти ориентировочные средние цифры могут сильно колебаться в различных частных случаях, однако общая тенденция ясна и достаточно устойчива — первые этапы работы имеют громадное значение.

Аналогичным образом чрезвычайно важен и первый этап разработки любого численного расчета: неудачно выбранная физическая модель никогда не позволит перейти к удачной математической модели; некачественные математические модели не позволят предложить эффективный математический метод, а недостатки метода не дадут удовлетворительного результата при всем искусстве программиста и оператора.

Поэтому основная цель последующего изложения — помочь исследователю и расчетчику при выполнении главным образом первого этапа, а также при анализе окончательных результатов.

Глава 1.

ЭЛЕМЕНТЫ ОБЩЕЙ ТЕОРИИ ЧИСЛЕННЫХ МЕТОДОВ И АЛГОРИТМОВ

В данной главе изложены основные положения общей теории численных методов и алгоритмов, необходимые для понимания дальнейшего содержания книги.

Большое внимание удделено постановке задач численного расчета и главной проблеме создания каждого эффективного алгоритма — анализу его устойчивости, т. е. степени чувствительности к ненебежным погрешностям вычислений. Показано, что исследование самого исходного понятия устойчивости любых объектов (в частности, процессов) дает возможность установить глубокие связи между устойчивостью изучаемого объекта и соответствующего расчетного алгоритма, если смотреть на алгоритм как на объект особого рода. При этом часто удается обеспечить прямую аналогию между обычными видами устойчивости, т. е. выполнить так называемый принцип соответствия. Тогда отмеченная главная проблема снимается — можно уже не анализировать аналитически устойчивость алгоритмов в общем виде, а лишь экспериментально проверять ее путем всегда выполнимого численного эксперимента в каждом частном случае конкретного расчета. Положительный результат проверки дает уверенность в расчете, а отрицательный свидетельствует о неустойчивости самого изучаемого объекта, т. е. о принципиальной невозможности установить логарифмированные результаты, когда любой детерминированный расчет бессмыслица. Аналогичным образом можно организовать снизить устойчивость алгоритма с небходимостью или в общем случае индивидуальной определенностью объекта, а затем использовать эту связь.

Рассмотрены и другие возможные принципы построения алгоритмов.

§ 1. Основные абстракции математики. Классическая и неклассическая математика

Серьезное изучение теории численных алгоритмов требует анализа основных абстракций классической математики, а затем отказа от некоторых из них и перехода к так называемой неклассической математике. Дело в том, что реализация

численного алгоритма на любой ЭВМ адекватно описывается именно неklassической математикой, где нет абстракции абсолютной точности, а также абстракции идентификации причин, условий, следствий. Усиление этого обстоятельства позволяет избежать многих недоразумений и ошибок при анализе результатов численных расчетов.

1. Абстракция отождествления, потенциальной осуществимости и актуальной бесконечности. В литературе по логическим и методологическим основам современной математики [13, 20, 27] отмечается, что математика использует три основные абстракции: отождествления, потенциальной осуществимости и актуальной бесконечности.

Первая из них состоит в образовании абстрактных понятий путем объединения и практического отождествления (идентификации) ряда предметов, связанных отношением типа равенства, путем отвлечения (абстрагирования) от всех различий таких предметов. Это — основная и неизменная абстракция, по существу, всех наук, иначе мы вынуждены были бы изучать каждый индивидуальный предмет отдельно. Без нее мы не можем даже ввести содержательное понятие натурального числа как меры количества: скажем, количество листов в данном корpusе судна и заявив, что их 10 штук, мы невольно подразумеваем все листы идентичными предметами, хотя, конечно, их полного совпадения нет.

Введение абстракции отождествления, неизбежное само по себе, требует, однако, тщательного анализа условий абстрагирования. Желая разонтировать корпушу, мы не станем идентифицировать все листы, а будем различать их по формоизменности, положениям и т. п. Идеальным такой простой конструктивный элемент, как балка. Обычно с достаточным основанием считают две балки идентичными, если они имеют одинаковые угловые заделки концов, длину l , жесткость на изгиб $EI(x)$, нагрузку $q(x)$, где x — ордината взаимосвязи. Но для коротких блоков такая идентификация оказывается неправильной, поскольку у них начинает играть большую роль жесткость изгиба $QQ(x)$, которая ранее не учитывалась и потому могла быть у идентифицированных блоков различной. Здесь требуется уточнение признаков, по которым сравниваются блоки.

Абстракция потенциальной осуществимости постулирует идеализированное предположение о том, что мы обладаем возможностью строить математические объекты, отвлекаясь от материальных условий этого построения, т. е. делать любое количество алгоритмических шагов, оперировать со сколь угодно большими множествами и т. д. Именно указанная абстракция позволяет нам говорить о сколь угодно длинных программах в теории алгоритмов, о бесконечных рядах и т. п. По мнению некоторых специалистов [13], она издавна получила настолько широкое распространение, что математика фактически неотделима от нее. Тем более ее нельзя считать строго обязательной во всех случаях, и в математической

кибернетике уже выдвигнута проблема соответствующего ограничения [27].

С абстракцией потенциальной осуществимости тесно связана абстракция бесконечности, т. е. представление о бесконечно развертывающихся и никогда не завершающихся процессах. Обе они недопустимы, в частности, при оперировании со сколь угодно большими последовательностями множеств. Иногда их даже не различают между собой.

Абстракция актуальной бесконечности состоит в том, что бесконечность иногда рассматривается как актуальная или завершенная, объекты которой представлены одновременно в виде готового, сформировавшегося, т. е. актуально существующего бесконечного множества. В качестве примера можно привести числовой отрезок [0, 1], т. е. множество чисел x , отвечающих условию $0 \leq x \leq 1$. Указанное множество бесконечно, тем смысла, что нет конца в раскрытии его элементов, и актуально в том смысле, что все входящие в него числа мыслится данными одновременно. В настоящее время ведется дискуссия между представителями основного направления, приводящими необходимость и правомерность абстракции актуальной бесконечности, и теми называемыми интуиционистами и конструктивистами, возражающими, в частности, против ее использования в логических и математических построениях. Заметим, что речь идет не только о математике и логике, которые самы по себе не существуют, а создаются человеком. В материальном мире, согласно нашим представлениям, актуальная бесконечность реализована непосредственно и вовсе не оказывается абстракцией. Дело, следовательно, не в том, что актуальная бесконечность присуща в природу, подобно абстракции отождествления или потенциальной осуществимости, а в том, что человек, строя идеальные математические объекты, не только предполагает у себя безграничные конструктивные возможности, но считает эти объекты уже построенными, даже если они состоят из бесконечного количества элементов.

В литературе [13] справедливо отмечается, что в разных случаях нужно использовать математику, опиравшуюся на разные виды абстрагирования. Скажем, при построении теории алгоритмов часто бывает неправильным использование абстракции актуальной бесконечности, а в лучшем случае допустимо использовать алгоритмы, где число операций любого шага заданного числа. Но в общей классической теории множеств использование абстракции актуальной бесконечности вполне приемлемо. Указанное важное положение нам следует запомнить для дальнейшего.

2. Абстракция абсолютной точности и идентификации. В классической математике имеются еще две абстракции, к сожалению, пока не обратившие на себя должного внимания исследователей.

Анализ первой из них — абстракции абсолютной точности — удобно начать с некоторого развития представлений о множествах.

Пусть даже запустим множество M . Если мы можем фактически конкретно точку идентифицировать (т. е. отождествить с чем-то известным) любой элемент этого множества, то мы назовем M множеством со строгой идентификацией элементов. В противном случае будем говорить, что M — множество без строгой идентификации элементов. Например, $M_1 = \{1; 3; \Pi; 12\}$ — множество со строгой идентификацией элементов; $M_2 = \{\text{все вещественные числа}\}$ — множество без строгой идентификации элементов. Взяв в M_1 произвольное иррациональное число α , мы не сможем точно идентифицировать его, так как для этого нам придется бы вычислить бесконечное количество аналогичных цифр, что практически невозможно даже при выполнении абстракции потенциальной осуществимости. Пробуй начисления на конкретной машине ϵ и значениями цифрами, мы не можем строго идентифицировать и многие рациональные числа.

Принять абстракцию абсолютной точности — значит считать, что все множества являются множествами со строгой идентификацией элементов.

Из приведенного примера с множеством M_2 может показаться, что абстракция абсолютной точности сводится к абстракции актуальной бесконечности. Однако это не так.

Рассмотрим хотя бы измерение длины твердого материального предмета. С точки зрения математика, процесс измерения трактуется как идентификация из всего множества положительных чисел такого числа, которое выражало бы эту длину в принятой системе единиц. Пусть абстракция актуальной бесконечности спрятана и мы можем представить себе сразу зависимость любой, конечной и бесконечной, последовательности цифр. Но у нас еще остается принципиальная ограниченность чувствительности измерительного прибора. Наконец, если абстрагироваться и от нее, то само понятие постоянной длины перестает существовать, так только мы перейдем в область слишком высоких точностей (например колебаний молекул и атомов, составляющих предмет).

В реальной действительности из-за невыполнения абстракции абсолютной точности мы часто ограничиваемся не строгой, а условной, т. е. приближенной, идентификацией элементов. Это ограничение, неизбежное при ограждении реального мира, носит принципиальный характер и, как показано в дальнейшем, сильно проявляется при анализе устойчивости, а также наблюдаемости и вообще индивидуальности определяемых любых объектов.

Другая еще однозначно рассмотренная абстракция, называемая абстракцией инициализации причин, условий, следствий, состоит в том, что классическая механика исключает из рассмотрения физически направленные связи, существующие между причинами и условиями, с одной стороны, и следствиями этих причин и условий — с другой. Для математика, стоящего на последовательно классической точке зрения, уравнение второго закона механики $F_x = m\ddot{x}$ есть просто некоторая зависимость между нали-

чайшей F_x , называемой составляющей силы вдоль оси x , величиной \dot{x} , называемой массой материальной точки, и величиной \ddot{x} , называемой ускорением движения материальной точки вдоль оси x . Между тем в механике не без глубокого основания говорят о составляющей F_x , как о причине движения, а под m подразумевают некоторую характеристику материальной точки (условию), от которой зависит эффект действия силы, т. е. следствие в виде ускорения \ddot{x} . Вторая абстракция тоже весьма существенна: без нее неизвестные, как будет показано далее, генерирует анализ проблемы устойчивости, индивидуальности определяемости и наблюдаемости объектов.

3. Множества с условной идентификацией элементов. Некоторые результаты отказа от абстракции абсолютной точности. Назовем условиями идентификации элементов в запущенном множестве M алгоритм $\gamma = \gamma(m_1, m_2)$ и критерий, с помощью которых можно фактически выяснить, является ли или не является любой конкретный элемент $m_2 \in M$ условно идентичным (практически одинаковым) с любым фиксированным элементом $m_1 \in M$. Множество, в котором установлены условия идентификации, т. е. определено отождествление условной идентичности между элементами, называется множеством с условной идентификацией элементов. Выражение $m_2 \cong m_1$ означает, что элемент $m_2 \in M$, называемый идентифицируемым элементом, условно идентичен фиксированному элементу $m_1 \in M$, называемому базовым элементом. Условно идентифицировать элемент $m_2 \in M$ — значит указать хотя бы один базовый элемент $m_1 \in M$, с которым условно идентичен m_2 .

Условия идентификации могут при абстрактном рассмотрении задаваться произвольно и не обязательны связываться с историей (т. е. определением понятия (расстояния)) в M . В конкретных условиях им следует определять из физического сущности задачи на основе физических критерий. (Слово «физический» здесь и в дальнейшем следует понимать в самом широком смысле как синоним слова «однородительский», а не абстрактный.)

Дело обстоит так. В любых физических задачах мы считаем объект детерминированным определенным, если знаем его с достаточностью, но не всегда абсолютной точностью. Тогда объект $m_2 \in M$, получающийся в результате $\gamma_2 = \gamma(m_1)$, детерминирован определен, если мы знаем объект $m_1 \in M$, с которым он условно идентичен.

Отметим следующие зависимости, справедливость которых изложена на рис. 1.1, где защищенный круг с центром в точке m_1 означает по всем случаям область, в пределах которой все точки условно идентифицируются с m_1 (для простоты взят частный, но важный случай, когда $\gamma(m_1, m_2) = \gamma(m_1)$).

рефлексивность (рис. 1.1, а) $m_1 \cong m_1$;

несимметричность (рис. 1.1, б, в), при которой из $m_2 \cong m_1$ не следует $m_3 \cong m_2$ и из $m_4 \neq m_2$ не следует $m_1 \neq m_3$;

негрантизантность [рис. 1.1, а, б], когда из $m_1 \simeq m_1$ и $m_2 \simeq m_2$ не следует $m_1 \simeq m_2$ и из $m_1 \simeq m_1$ и $m_2 \simeq m_2$ не следует $m_1 \neq m_2$. Рассмотренные выше множества со строгой идентификацией элементов — частный случай множеств с условной идентификацией элементов.

Если условия идентификации таковы, что идентичность симметрична, т. е. $m_1 \simeq m_2$ означает $m_2 \simeq m_1$, то отношение условной идентичности называется отношением толерантности, а соответствующее множество — толерантным пространством.

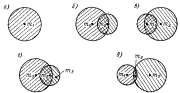


Рис. 1.1.

Обратим внимание, что абстрация абсолютной точности, применяемая в классической математике, тесно переплетается с походными поступатами логики. В классической логике действует закон исключенного третьего: всякое утверждение либо истинно, либо ложно, третьего не дано. Невыполнение указанной абстрации изменяет этот закон. Пусть на данном участке шоссе запрещено движение со скоростью свыше 60 км/ч. Если бы абстрация абсолютной точности выполнялась, то строго выполнялся бы закон: любая данная машина на данном участке либо нарушает правило ограничения скорости, либо не нарушает его. Но в действительности мы измеряем скорость не абсолютно точно, поэтому всегда имеется «мертвая зона» и можно с равным логическим успехом спорить о нарушении или выполнении правила движения.

Неклассическая точка зрения, связанная с принципиальным отказом от абстрации абсолютной точности, заставляет по-новому смотреть на многие сложнейшие представления математики.

Пусть нам нужно найти производную $f'(x)$ некоторой вещественной непрерывной функции $f(x)$, причем сама функция задана с некоторой точностью $\pm \delta$: задан канал шириной 2δ (рис. 1.2, а), внутри которого лежит кривая $f(x)$ (рис. 1.2, б). Средний канал является известное приближенное значение $f(x)$ этой функции. Все функции, лежащие внутри канала, идентифицируются. Отме-

ченная ситуация чрезвычайно характерна — ведь точное значение непрерывной функции есть просто абстракция классической математики.

Заметим, что поставленная задача определения $f'(x)$ по известному значению $f(x)$ не разрешима: мы в principle не можем составить даже приближенное представление о значении этой производной, как ни мала была бы δ . Действительно (рис. 1.2, б), точное значение $f(x)$ может быть любым в пределах нашего канала, и, следовательно, сама точка функции может, например, скакать ужасно быстро колебаться около $f(x)$. При этом значение производной $f'(x)$ при любом x никак не коррелируется с $f(x)$ и вообще может



Рис. 1.2.

быть любым от $-\infty$ до $+\infty$ или даже не иметь значений (наличие «ломов»). Таким образом мы пришли к парадоксальному, но тем не менее первому выводу: нам совершенно неведома и никогда не будет известна обычная математическая производная ни от какой реальной приближению заданной функциональной зависимости. В чем же здесь дело? Ведь мы повседневно находим такие производные, широко пользуясь ими и получаем верные окончательные результаты!

Чтобы ответить на поставленный вопрос, проанализируем связь физическое содержание самой конкретной задачи. Пусть (рис. 1.3, а) имеет твердое тело (механизм) I массой m , закрепленное болтами 2 за жестким фундаменте 3. Фундамент испытывает вертикальные сотрясения. С помощью датчиков мы приближенно записали вертикальную скорость $\dot{y} = \ddot{y}(t)$ тела I и хотим узнать усилия, воспринимаемые болтами, для последующего анализа прочности болтов. Точность датчиков скорости равна $\pm \delta$.

Казалось бы, ясно, что необходимо найти ускорение $\ddot{x} = f''(t)$ тела I, а затем определить вертикальную силу, передаваемую через болты, как произведение $m\ddot{x}(t)$. Но найти значение $m\ddot{x}(t) = f''(t)$ невозможно даже с никакими оговоренными приближениями, и получается что-то вроде пушки.

К счастью, значение $f''(t)$ нам не требуется, хотя это и странно на первый взгляд. Если величина δ достаточно мала, то большие отклонения $f''(t)$ от $\ddot{y}(t)$ могут возникнуть только за счет очень высокочастотных составляющих ускорений, которые компенсируют усилия на болты. Однако достаточно высокочастотные усилки не

ощущаются болтами, таи как их коэффициенты динамичности близки нулю. Что касается высокочастотных составляющих ускорений и усилий, существенных для прочности болтов, то они не могут описываться производной $\ddot{f}(t)$.

Конечно, приведенное рассуждение о достаточной малости δ , о высокочастотных составляющих несет еще чисто качественный характер. Но существо дела состоит и без количественных расчетов. Выясняется, что нам нужны не мгновенные значения ускорений и сил, а некоторые средние ускорения и силы на малом участке Δt , т. е. как бы средние значения производной $f'(t)$. Задача же об указанных средних производных всегда определена и разрешима при достаточно малой погрешности δ .

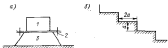


Рис. 1.3.

Аналогичным образом действуют и в других физических процессах. Если воспользоваться несколько расплывчатыми пока, но в общем понятными терминами «смешанный процесс» и «чистый процесс», то можно сказать следующее. Производная, введенная в классической математике, характеризует абсолютно локальные свойства функции, т. е. ее свойства в бесконечно малой окрестности точки. Эти свойства ощущаются лишь гипотетическим абсолютно жестким процессом. Реальные (не абсолютно жесткие) процессы ощущают условно локальные свойства функций, т. о. их свойства на малых участках; причем, чем мягче процесс, тем большие участки.

Пусть мы имеем лестницу (рис. 1.3, б) с высотой ступенек $a = 10$ см. Если по лестнице подает музыка, то для нее производная функции, описывающей профиль лестницы, равна непрерывно 0 и ∞ . Это довольно жесткий процесс, при котором, однако, не будут чувствоваться микроскопические выбоины на лестнице, т. е. это — не абсолютно жесткий процесс. Для еще более жесткого процесса — по лестнице передвигаются микрофоны — микроскопические выбоины будут чувствительными и производная покажет совершенно непрерывной, пока профиль лестницы не будет дан с большой точностью. Спустись по лестнице бочку диаметром 10 см, получим убедиться, что для данного гораздо более мягкого процесса ощущаемая производная близка по абсолютному значению к 1/2, т. е. в средней производной в пределах вертикального и горизонтального участков.

В качестве второго показательного примера изменения основных представлений математики при отказе от абстракции абсолют-

ной точности возьмем разложение функции в тригонометрический ряд Фурье

$$f(x) = \frac{a_0}{2} + \sum_{n=1}^{\infty} \left(a_n \cos \frac{n\pi x}{l} + b_n \sin \frac{n\pi x}{l} \right), \quad (1.1)$$

где l — длина интервала разложения; a_n и b_n — коэффициенты ряда.

Мы привыкли оперировать с бесконечными рядами такого вида, полагая, что $f(x)$ задана точно. При ограниченной точности же задания мы непременно приходим к конкретным рядам. Пусть точность задания ряда $\pm \delta$ (см. рис. 1.2, а) я, следовательно, сама функция $f(x)$ может как угодно осциллировать внутри заданного интервала (см. рис. 1.2, б). Очевидно, мы с хордами приближением определим первые члены разложения, затем относительные погрешности членов станут возрастать и, конец, достигнут совершенно неопределенного значения. Ни о каком действительном разложении $f(x)$ в бесконечный ряд не может быть и речи; допустимо оперировать лишь с какими-то вполне конечным числом членов, запрашивающим с уменьшением δ , но никогда не обращаясь к бесконечности.

Практическая применимость рядов Фурье базируется на фундаментальном физическом факте пренебрежимо малого влияния высокочастотных составляющих функции на не абсолютно жесткие физические процессы. Нужно лишь, чтобы точность задания $f(x)$ была достаточной для уверенного определения всех важных ее составляющих.

Аналогичные рассуждения относятся и к общему случаю ряда Фурье, когда разложение идет по любым ортогональным функциям.

Изменения, вносимые в классическую математику отказом от абстракции абсолютной точности, слово вставки, что, скажем только одну эту абстракцию, мы вынуждены применять в линейной науке виде, по существу, другой математики. Назовем ее неклассической математикой первого типа (можно было бы использовать термин «прикладная математика», однако такой термин слишком объемен и может вызвать побочные ассоциации).

4. Некоторые результаты отказа от абстракции и наложения причин, условий, следствий. Отказ от абстракции абсолютной точности делает естественным и отказ от абстракции инвертирования причин, условий, следствий.

Вспомним известное дифференциальное уравнение изгиба балки постепенного сечения

$$EI \frac{d^2y}{dx^2} = q(x), \quad (1.2)$$

где x — координата взаима оси балки; EI — жесткость балки на изгиб; $y = y(x)$ — прогиб балки; $q(x)$ — интенсивность поперечной нагрузки на балку.

Можем представить себе два случая. В первом случае $q(x)$ — причина изгиба, $y(x)$ — следствие. Имеется в виду, что балка загружена известной нагрузкой $q(x)$, вследствие чего возникает прогиб. Во втором случае $y(x)$ — причина, а $q(x)$ — следствие. Подразумевается, что балке задается некоторый прогиб $y(x)$ (это можно сделать хотя бы мощным прессом с пuhanоном и матрицей, которые отверифицированы по формуле $g(x)$). Как следствие придана балке прогиба $y(x)$, между элементами прессовой установки и балки возникает давление $q(x)$.

Следуя на позиции абстракции абсолютной точности, следует сказать, что различия между указанными случаями нет. Но в действительности это очень важно. Мы не можем дать нагрузку $q(x)$ абсолютно точно и всегда будем условно идентифицировать ее с некоторой известной функцией. Однако при этом малые изменения в $q(x)$ приводят лишь к незначительным изменениям $y(x)$, и можно считать $y(x)$ детерминировано определенным. Мы не в состоянии абсолютно точно задать и прогиб $y(x)$ и тоже будем условно идентифицировать его. Но тогда нагрузка $q(x)$ не будет детерминирована определена, поскольку она выражается через четвертую производную y , а нам не дано находить даже первые производные от неизвестной заданной функции.

Таким образом, для решения физической задачи без принятия абстракции абсолютной точности нам очень важно знать, что является причиной или условием, а что — следствием в данной конкретной ситуации.

Несмотря на приведенные рассуждения, синтетические, как будто о главенствующей роли абстракции абсолютной точности над абстракцией инвертирования причин, условий, следствий, нужно признать последней чисто вспомогательный характер, так как она имеет самостоятельное значение.

Чтобы показать это, рассмотрим достаточно убедительный пример анализа понятия многозначочного соответствия элементов множеств (многозначочной функции).

Пусть имеются два пульта $A = \{a_1, \dots, a_n\}$ и $B = \{b_1, \dots, b_m\}$, на которых установлены наборы кнопок a_j и b_i . Подойди к пульту A и нажмись кнопку a_1 , мы видим, что она осталась утопленной в гнезде и одновременно оказались утопленными кнопки b_1, b_2 на пульте B . Нажмая теперь последовательно все кнопки на A , мы можем выделить подмножество G из декартова произведения $A \times B$, которое определяет искомое соответствие между элементами множеств A и B . Примечь теперь оба пульта в исходное состояние, затем подойдем к пульту B и нажмем кнопку b_1 . Мы можем увидеть, что кнопка b_1 осталась утопленной, но на пульте A снялась утопленная же кнопка a_1 , а кнопки a_2, a_3 ... Ведь пульты могут быть устроены так, что при нажатии кнопки замыкается какая-то сеть, которая подключает определенную схему соединения пультов. Нажмем на кнопку пульта A , мы подключаем одну схему, а нажмем на кнопку пульта B , подключаем другую схему. В ре-

зультате подмножество G^{-1} может рассматриваться лишь как условие обратные соответствие, а реально обратное соответствие определяется некоторым подмножеством F декартова произведения $B \times A$, причем в общем случае G и F никак не связаны между собой.

В рассмотренном примере абстракция инвертирования причин, условий, следствий устранина, а абстракция абсолютной точности не устранина. В результате возникло математическое понятие претерпевшее заметные изменения.

Исключение абстракции инвертирования причин, условий, следствий иносказающими корректины и во многих других математических представлениях. Математику, не использующую ни ее, ни абстракцию абсолютной точности, будем называть неклассической математикой второго типа. При исключении только абстракции инвертирования причин, условий, следствий имеем неклассическую математику третьего типа.

Обратите внимание, что и в классической математике иногда вводится чисто подобное «математическим причинам и условиям» и «математическим следствиям»; во всяком случае там для устранения недоразумений иногда рассматривают направляемые сказки (хотя бы при описание отображений множеств). Однако делается это, в общем, непоследовательно. Учитывая сказанное, мы будем четко отличать неклассическую математику третьего типа от классической математики.

Для нас в дальнейшем основное значение имеет неклассическая математика второго типа, поэтому говорю просто о неклассической математике, мы всегда будем иметь в виду именно ее.

Б. Взаимодействие классической и неклассической математики. Абсолютно объективные и относительные объективные понятия и модели. Положение дел, возникающее с развитием неклассической математики, нельзя считать чем-то особенным; здесь имеются многие аналогии, например с периодом возникновения квантовой механики.

Согласно классическим представлениям, материальная частица обладает в любой момент времени тремя определяемыми пространственными координатами, причем этот момент, отсчитываемый от некоторого начала, затрудно представить как четвертую координату. Таким образом, частные присваиваются четыре координаты, определяющие так называемую мировую точку; совокупность мировых точек частных образует ее мировую линию. Форма мировой линии зависит от взаимодействия частицы с окружающим миром, но не зависит от поблизости ее частичек.

В мире макротехники такая модель нас вполне устраивает. Но в микромире практикабельная абстракция уже не оправдывается: наблюдая микрочастицу, мы либо достаточно хорошо фиксируем ее положение, но непременно меняем скорость, т. е. будущее движение, либо хорошо фиксируем скорость, но тогда очень неточно узнаем положе-

жение, либо, наконец, не очень хорошо зная о положение, и скорость.

Квантовая механика, отбрасывая абстракцию о неизменности мировой линии в зависимости от наблюдений частицы, уже в силу этого преобразуется в новую науку. Но она не преобразивает положения классической механики, ибо соотношения квантовой механики вообще лишены смысла без классических представлений о движении. В ней указанные условия и пределы классических представлений, и эти указания бессмысльны без классической концепции.

Аналогичным образом все происходит и в нашем случае. Изучая нарушение абстракций абсолютной точности и нивелирование причин, условий, следствий, указанных пределов, где эти абстракции моделей классической математики применимы, а где нет, мы формулируем закон указания в терминах классической математики. Таким образом возникает органическая дополнительность понятий классической и неклассической математики.

Приведенные соображения и аналогии из области квантовой механики остаются в силе и при более аккуратной формулировке гносеологических оснований последней, когда воздействие измерительного прибора рассматривается как частный случай изменения условий макрокружения частицы.

Фактическое формирование неклассической математики началось довольно давно, но это происходило скретно, т. е. в рамках классических представлений. Рассматривая конкретную физическую задачу, мы, как правило, проводим в ней квазиректный анализ причинно-следственных связей, а также условий идентификации вложений в ее элементов. Затем с учетом указанного анализа используем классические записи, расшифровываем физическое содержание ответа. При этом накапливается материал для обобщений, т. е. для изучения структур отмеченных связей и условий идентификации независимо от деталей данного физического содержания и для развития в конечном итоге их формализованной теории. Последняя и есть, по существу, неклассическая математика.

Так, создавая приближенные численные методы решения дифференциальных уравнений, современные ученые уже занялись в том или ином виде неклассической математикой. Но они рассматривают свое приближенные методы как некий, пусть даже доброкачественный, суррогат так называемых точных методов классической математики. В то же время, изменяя точку зрения и в принципе став на позиции неклассической математики, можно вернуться к иным выводам, получить новые результаты.

Ничего удивительного в таком «инкубационном» периоде нет. Не прошли времена, когда бы, что фактическое начало неклассической геометрии было положено еще исследованием Саккера (1733 г.) и Ламберта (1766 г.), так как в их работах были сформулированы и доказаны некоторые неклиодовы теоремы. Но Саккер и Ламберт и не помышляли о действительно новых геометриях — они стояли на позициях Эвклида и пытались лишь найти

какое-нибудь противоречие, отбросив знаменитый пятый постулат. Положение резко изменилось только тогда, когда исследователитвердили ей на новую точку зрения (около 1830 г.).

Против сказанного можно попытаться возразить примерно так. Абстракция абсолютной точности и базирующиеся на ней классические математики отражают мир точно; мы просто не знаем истинных значений соответствующих величин и потому вынуждены говорить о погрешностях, а если бы мы знали их точно, то все было бы в порядке.

Однако буквально так же возражали в свое время и противники понимания одновременности событий, вводимого специальной теорией относительности и являющегося ее основой. События за самого дела одновременны или находятся в непрерывном независимо от взаимного расположения точек пространства, говорили оппоненты этой теории, а все рассуждения Эйнштейна базируются на том, что мы просто не умеем посыпать мгновенные сигналы. Если представить себе наличие неких абсолютно жестких стержней, мгновенно передающих импульс (сигнал), то все станет на свои места.

Ответ на подобные возражения известен. Дело в том, что мы в принципе никогда не будем иметь мгновенных реальных сигналов, и потому реальному миру более адекватна теория относительности, учитывающая указанную принципиальную немгновенность. Аналогичным образом мы никогда не будем иметь абсолютно точных измерений, реально оперировать бесконечным числом значащих цифр, словом, обладать абсолютными условиями идентификации любого элемента любого множества. Таким образом, абстракция абсолютной точности накладывает серьезные ограничения на любую содержательную математическую теорию, и, когда они очень дают себя чувствовать, нелогично переходить к более общим построениям.

Кроме того, напомним об абстракции нивелирования причин, условий, следствий, которая не выполняется в реальном мире, а также о том, что многие понятия (типа уже упоминавшихся единиц реального предмета) вообще теряют смысл при неограниченном уточнении определений их значений.

Характерной особенностью неклассической математики по сравнению с классической является то, что большинство основных понятий и моделей первой можно назвать относительно объективными, в то время как понятия и модели второй — абсолютно объективными. Суть указанного здесь и не безуспешно строгого, но позади оставленного можно проиллюстрировать примерами.

Пусть мы имеем некоторую функцию $f(x)$. Понятие производной $f'(x)$ этой функции в том, с позиций классической математики абсолютно в том смысле, что данная производная не зависит от каких-то специальных условий задачи, для которой потребовалось найти $f'(x)$, и от целей квазиректного исследования. В то же время понятие производной в неклассической математике относительно и в том смысле, что значение $f'(x)$ зависит от «истинности»

процесса, для которого в данной конкретной задаче находятся производные, а также от целей предпринимаемого исследования.

Вообще, понятие и модель будем считать абсолютно объективными, если они применимы во всех их деталях к широкому классу задач и не зависят от целей конкретного исследования; в противном случае (конкретная задача или цели исследования определяют многие детали данного понятия или модели) они относительно объективны. Слова «объективное понятие» или «объективная модель» подчеркивают, что рассматриваемые понятия и модели отражают действительные закономерности окружающего нас мира хотя бы с позиций достижения стоящих перед нами целей.

С абсолютно и относительно объективными понятиями и моделями мы неоднократно встречались еще, что позволяет лучше уяснить сущность предлагаемых терминов. Сейчас же следует подчеркнуть, что, во-первых, принятие деление несколько условно и не имеет совершенства точных границ, а во-вторых, по мере углубления в любой достаточно развитый предмет изучения тенденции относительной объективности, как правило, начинает ощущаться заметнее.

Первое замечание тоже не лишает эту терминологию изредактленной ценности — ведь и другие безусловно ценные и важные деления страдают условностью и расплывчатостью (вспомним хотя бы логософы из «жизни и времени»). Второе замечание хорошо иллюстрирует понятиями длины и времени: в обобщенной жизни и в классической механике длина и длительность представляются чем-то абсолютным и не зависящим от целей рассмотрения, а в теории относительности эта абсолютность явно начинает уменьшаться. Оказывается, что, имея в виду разные цели и условия, можно и должно говорить о разных длинах одного и того же предмета и разных длительностях данного процесса.

§ 2. Основные представления об устойчивости, индивидуальной определенности и наблюдаемости объектов

Неклассическая математика теснейшим образом связана с проблемами устойчивости объектов, их индивидуальной определенности и наблюдаемости. Частным случаем этих проблем является проблема устойчивости численных алгоритмов. При этом важные практические результаты в области последней могут быть достигнуты просто за счет усиления основных привычий — объект, его устойчивость, индивидуальная определенность и наблюдаемость.

1. Понятие мысленного объекта. Будем называть мысленным объектом (когда для краткости просто объектом) (рис. 1. 4, а) мысленную модель чего-то реального или изображаемого (стола, корпуса судна, процесса броения яицограда,

интеграла), определяемую конечной системой так называемых естественных входов или параметров генетической идентификации 1 и естественных выходов или параметров регулирующей идентификации 2. Естественные входы выражают выделенные нами наиболее важные признаки и условия образования или проявления реального моделируемого предмета, а естественные выходы — выделенные нами и наиболее важные для нас в данном исследовании свойства предмета. Для предмета практически однозначны или единичны для нас (являются в данном рассмотрении практически однин в том же), если в только если соответствующие им мысленные

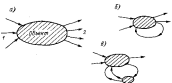


Рис. 1.4.

объекты имеют практически однозначные системы естественных входов и выходов. Критерии и алгоритмы (условия) идентификации естественных входов называются условиями генетической идентификации, а критерии и алгоритмы (условия) идентификации естественных выходов — условиями регулирующей идентификации.

Одному и тому же предмету в разных исследованиях могут соответствовать разные мысленные объекты с другими естественными входами и выходами. Мысленный объект — заместитель предмета именно в данном исследовании, а не вообще иично. Но говоря о данном исследовании, проводимом в конкретных целях, мы действительно подразумеваем в нем предмет мысленным образом.

В ряде случаев мы не распределяем мысленный объект на какие-то внутренние элементы и не рассматриваем, хотя бы приблизительно, механизмы преобразования естественных входов в естественные выходы, т. е. рассматриваем соотношение входов к выходам чисто экспериментально при физической реализации предмета, отображаемого объектом. Тогда появляется некий аналогия с известным «уродым лицом», столь любимым кибернетиками. Разница состоит в том, что у черного ящика все входы и выходы одинаково скрыты природой, а мы активно определяем и конструируем их, игнорируя (может быть, и не обоснованно) многие природные входы в выходы.

В качестве конкретного примера возьмем стыковой шов листов судового корпуса, выполненный автоматической сваркой. Параметрами генетической идентификации (естественными входами) вы-

ступают: марка флюса, режимы тока при сварке и т. п. Все они указаны в технических условиях на поставку материала, присадки, флюса, в технологической документации процесса сварки и т. д. Там же излагаются и условия генетической идентификации в виде допусков по химическому составу, по разбросам смысла тока и пр. В технической документации на приемку швов содержатся параметры регулирующей идентификации (естественные выходы) типа временного сопротивления сварочного соединения, ударной вязкости шва, предела текучести, твердости; методы определения указанных параметров и допустимые разбросы дают условия результатирующей идентификации.

Заметим, что предлагаемая модель в данном случае, как и во всех других, является относительно объективной. В частности, за параметры результатирующей идентификации мы принимаем только те свойства соединения, которые нам важны для обеспечения его прочности; условия результатирующей идентификации выбраны путем установления приемлемых для наших целей разбросов к т. п.

В принципе возможен случай (рис. 1.4, б), когда некоторые выходы объекта не связаны с входами (обратная связь). Тогда каждую такую петлю можнообразно разрезать и обе ее ветви рассматривать изолировано, учтывая отдельные дополнительные условия равенства соответствующих входов и выходов. Отведенное разделение полезно, даже если входы и выходы не связаны во времени — ведь любой вход определяет, вообще говоря, все (и том числе и не связанные со входами) выходы, и потому учит его возможных колебаний весьма существенно. Если же вход и выход разделены временными интервалами, то этот интервал оказывается естественным и реальным временным интервалом: в данном случае выход определяет не собственный вход, а тот, который скапливается на выходе для другого момента времени, т. е. на другом выходе. Иными словами, сама замкнутая петля введена здесь в значительной степени условно.

Для входов и выходов, разделенных во времени, instead обычные разомкнутые входы и выходы отсутствуют. Если сдвиг по времени нет, то предлагаемая модель тривиальна (она моделирует просто наличие чего-то) и в силу этой тривиальности, возможно, неподалеку — а не быть может, отсутствуют некоторые существенные, но не учитываемые нами входы, которые не связаны жестко и неразрывно с соответствующими выходами.

Бывает, что какие-то выходы рассматриваемого объекта определяют какие-то его входы, но не прямые, а трансформированный образом (рис. 1.4, б) через дополнительный объект. Здесь также вполне разумны цепи с замыслом дополнительных условий. Кроме того, можно изменять саму модель и объединять рассматриваемый объект с дополнительным в единий узкоконцептуальный объект, т. е. попросту отнести все замкнутые цепи к внутренним связям и выбросить их из множества параметров генетической и результатирующей идентификации.

В последнем примере наглядно видна относительная объективность любых наших моделей предметов изучения, создаваемых нам и нашими объективными целями и отражающих реальный мир, во ладко не одинаковых, а достаточно гибких и подвижных.

Необходимость гибкого и неформального подхода проявляется даже в простейших задачах. Вспомним хотя бы задачу об изгибе балки поперечной нагрузкой $q(x)$ или пулансоном, отпрофилированным по форме $u(x)$, которую мы рассматривали в § 1. Составляя модель задачи, мы принимали в первом случае за его причину нагрузку $q(x)$, считая $u(x)$ следствием, а во втором случае причиной считали принудительный изгиб балки по форме $u(x)$, а нагрузку $q(x)$ на балку — следствием принудительного изгиба.

2. Общее и частные определения устойчивости объектов. Часто необходимо «анатомическое» построение системы понятий, когда верхний ярус составляет какое-то общее, полезное именно своей общностью, но потому несколько расплывчатое и неокончательное понятие, а более низкие ярусы включают все более и более конкретизированные понятия, непосредственно применимые и полезные в частных вопросах.

Странное общее понятие устойчивости, отметим, что оно органически связано с понятием множественности. Говорить об устойчивости или неустойчивости единичного единственного объекта с жестко фиксированными естественными входами и выходами стать же бессмыслицей, как о симметрии или несимметрии единственного фрукта.

Суть проблемы устойчивости обусловлена тем, что мы никогда не имеем в природе двух совершенно тождественных предметов с совершенно одинаковым происхождением (генезисом) и совершенно одинаковыми свойствами. Известное выражение о двух каплях воды — не более чем литературный образ. Выясняется, что близкое совпадение генезиса еще не означает достаточно близкого совпадения его результатов, т. е. параметров результатирующей идентификации. Когда совпадение результатов есть, то в той или иной форме говорят о неустойчивости предметов и соответствующих им объектов. Устойчивость выражается термином: почти одниновое прохождение означает почти полное совпадение всех интересующих нас в данном исследовании свойств. Более строгое изложение выходит так.

Назовем объектами данного типа всю совокупность возможных объектов, у которых параметры генетической идентификации и результатирующей идентификации качественно (или качественно) совпадают. Причем тут, видите ли, понятие данного конкретного базового объекта, имеющего конкретные параметры генетической и результатирующей идентификации. Ясно, что количество возможных базовых объектов соответствует общему количеству возможных объектов данного типа, так как любой объект может быть принят в качестве базового.

Пусть выбран базовый объект. Тогда устойчивостью объектов, генетически идентичных с данным базовым объектом, по отношению к данным параметрам регулирующей идентификации называется определенная степень стабильности этих параметров при многократном физическом повторении указанных генетически идентичных объектов.

Для расшифровки в каждом конкретном случае приведенного нами общего и поэтому неизбежно распыленного определения требуется установить:

- параметры и условия генетической идентификации объектов данного типа;
- параметры и условия регулирующей идентификации объектов данного типа;
- критерии алгоритмов оценки степени стабильности параметров регулирующей идентификации при многократных повторениях объектов данного типа, т. е. при многократном воспроизведении практически одинаковых условий генетической идентификации.

Ясно, что объекты могут быть устойчивыми по отношению к одним параметрам регулирующей идентификации и неустойчивыми по отношению к другим. Скажем, сварные соединения в ряде случаев устойчивы по ударной вязкости, но неустойчивы по временному сопротивлению, и наоборот. Устойчивость может быть обеспечена при одном базовом элементе и не обеспечена при другом. Примем, что к сварным соединениям данного типа относятся все соединения стальных листов любых одинаковых марок стали, сваренных при любых режимах любыми флюсами. При каком-либо конкретном базовом элементе, т. е. конкретном соединении с определенной маркой материала, в определенных режиме и флюсе генетически идентичные соединения могут быть устойчивы по каким-то механическим свойствам, а при других базовых элементах — неустойчивы.

Заметим, напоследок, что качество и устойчивость (т. е. стабильность) — вещь разные. Прочность сварных соединений может быть высокой, но неустойчивой; низкой, но устойчивой; высокой и устойчивой.

Рассмотрим простейший, но, пожалуй, основной случай, когда критериям стабильности параметров регулирующей идентификации объектов при повторениях служит их ненадежная практическая однинаковость с некоторыми фиксированными параметрами базового объекта.

Объекты, генетически идентичные данному базовому объекту, называются детерминировано устойчивыми по отношению к данным параметрам регулирующей идентификации (или в отношении данных параметров регулирующей идентификации), если и только если: а) у любых таких генетически идентичных объектов эти параметры всегда оказываются практически одинаковыми с фиксированными параметрами базового объекта; б) при всех попытках фи-

зитского воспроизведения рассматриваемых генетически идентичных объектов никогда не происходит качественного изменения продукта воспроизведения. (В дальнейшем будем, как правило, называть детерминировано устойчивые объекты просто устойчивыми, а детерминированную устойчивость — просто устойчивость.)

Но детерминированная устойчивость не является единственным возможным видом устойчивости. Часто употребляется, например, понятие вероятностной устойчивости (или устойчивости по вероятности). Объекты, генетически идентичные данному базовому объекту, назовем вероятностно устойчивыми по отношению к данным параметрам регулирующей идентификации, если и только если вероятность практической однинаковости этих параметров с некоторыми фиксированными параметрами базового объекта при генетически идентичном физическом воспроизведении объекта равна заранее оговоренному значению (или больше него). Иными словами, мы полагаем, что данный параметр регулирующей идентификации вероятностно устойчив, если, воспроизводя объект, генетически идентичный с базовым, мы знаем, что этот параметр будет практически точно воспроизведен во крайней мере с заданной данной вероятностью. Более подробно указанное понятие вероятности рассмотрено в § 3.

Возвращаясь к рассматренному выше примеру со сваркой, можем сказать, что швы детерминировано устойчивы в отношении временного сопротивления, если у всех генетически идентичных швов указанное временное сопротивление всегда практическа одинаково с некоторыми фиксированными временными сопротивлениями базового объекта. Швы вероятностно устойчивы в отношении временного сопротивления, если, воспроизводя швы, мы уверены, что с вероятностью, не меньшей, чем заданной, временное сопротивление швов будет практическа одинаково с некоторыми фиксированными временными сопротивлениями базового объекта или больше него.

Любопытно, что вероятностная устойчивость, вероятность которой равна единице, не совпадает, вообще говоря, с детерминированной устойчивостью. Достаточно вспомнить известный факт, что событие, вероятность которого равна единице, может все-таки не произойти, а событие, имеющее вероятность нуль, может произойти. Последнее объясняется тем, что событие нулевой вероятности является множеством меры нуль, а невозможное событие — пустому множеству; в то же время событие вероятности единица есть обратное по отношению к событию нулевой вероятности, в достоверное событие — обратное по отношению к невозможному. Таким образом, вероятностная устойчивость, строго говоря, не является детерминированной.

Обратимся к анализу причин неустойчивости.

Объекты данного типа называются конечноФакторными по отношению к данным параметрам регулирующей идентификации, если и только если эти параметры практически полностью (в пре-

делях условий идентификации) определяются конечным числом измениющихся в принципе физических причин и условий образования или проявления соответствующего предмета. Иными словами, если данные свойства предмета, которые отражаются наблюдаемыми естественными выходами объекта, зависят практически лишь от конечного количества переменных физических причин и условий образования или проявления предмета, то соответствующий объект будет конечнофакторным (дане когда его естественные выходы включают фактически не все существенные физические причины и условия). В противном случае мы имеем неконечнофакторный объект.

Если естественные выходы конечнофакторного объекта отражают все существенные физические причины и условия образования или проявления предмета, то объект называется собственно конечнофакторным или конечнофакторным без скрытых параметров; в противном случае он будет конечнофакторным со скрытыми параметрами.

Очевидно, что детерминировано устойчивыми объектами в отношении некоторого параметра результатирующей идентификации могут быть только те, которые в отношении его являются собственно конечнофакторными. Но собственно конечнофакторные объекты часто бывают детерминировано неустойчивыми.

Вероятностной устойчивостью могут обладать и конечнофакторные и неконечнофакторные объекты.

Детерминированная неустойчивость объектов в отношении каких-то параметров результатирующей идентификации свидетельствует, таким образом, о пяти основных возможностях: 1) либо объекты относятся к числу неконечнофакторных относительно этих параметров; 2) либо они конечнофакторные, но имеют скрытые параметры, т. е. каталог параметров генетической идентификации наполовину и мы упускаем какое-то число важных имеющихся причин и условий существования объекта; 3) либо принятые условия генетической идентификации объектов недостаточно жестки; 4) либо хотя бы некоторые выходы не вполне адекватно отражают соответствующие причины и условия возможного или проявления объекта; 5) либо осуществляется какая-то комбинация указанных возможностей.

Вспомним снова наш пример со скрытым швом, заметим, что в первом случае может сказываться влияние необыкновенно числа мелких факторов металлургического процесса изготовления материала. Во втором случае, предположим, мы забыли принять за один из параметров генетической идентификации процессы спарки температуру окружающего воздуха, которая влияет на замену алюминия на качество алюминия. В третьем случае могло оказаться, например, что допускаемый разброс содержаний серы в материалах листов данной марки слишком велик и привел к недопустимому разбросу ударной вязкости соединения. Четвертый и пятый случаи пояснений не требуют.

Неполнота параметров генетической идентификации бывает весьма своеобразной. Для поиска мы проанализируем уже рассмотренный ранее упрогий нагиб одноподолпетой балки. Согласно элементарной теории, он полностью определяется длиной балки L , жесткостью на изгиб $EI(x)$, интенсивностью поперечной нагрузки $q(x)$, условиями закрепления концов. Рассматривая достаточно длинные балки, мы найдем, что генетически идентичные процессы устойчивы в отношении прогибов $u(x)$. Но если перейти к коротким балкам, то здесь процессы, генетически идентичные относительно отмеченных параметров генетической идентификации, уже не будут, вообще говоря, устойчивыми в отношении данного параметра результатирующей идентификации. Причина ясна — мы знаем, что у коротких балок большую роль начинают играть сдвиги, которые зависят от жесткости сечений на сдвиг $GU(x)$. А последний не входит в число принятых параметров и поэтому может быть различной. Следовательно, в одних случаях отображание жесткости $GU(x)$ для одного из параметров генетической идентификации вполне оправданно, а в других — оно оказывается неправильным.

Для еще более коротких балок элементарная теория, даже с поправкой на сдвиг, становится не применимой, и нам следует перейти на другое множество параметров генетической идентификации — то, которое входит в зависимость теории упрогости.

Из только что приведенного примера видно, что, зная в качестве параметров генетической идентификации величины L , $EI(x)$, $q(x)$ и условия закреплений, мы имеем право отнести к собственно конечнофакторным объектам данного типа лишь достаточно длинные балки.

Объект может оказаться неконечнофакторным не только из-за того, что имеется бесконечно много иных причин и условий образования или проявления предмета, которые заметно влияют в своей совокупности на интересующие нас свойства, но и в силу неустойчивости внутреннего механизма преобразования предметом этих причин и условий в выходные свойства. Именно поэтому мы и отказываемся от более простого термина «бесконечнофакторный объект».

Иногда мы встречаемся с абсолютной неустойчивостью или, наоборот, с абсолютной устойчивостью в отношении некоторых параметров результатирующей идентификации.

Конечнофакторные объекты данного типа называются абсолютно-неустойчивыми в отношении определенных параметров результатирующей идентификации, если и только если нарушение абсолютной тождественности параметров генетической идентификации двух объектов полностью лишает нас возможности судить об указанных параметрах результатирующей идентификации. Пример абсолютно неустойчивого объекта — производная функция $f(x)$ в точке x .

Конечнофакторные объекты данного типа называются абсолютно устойчивыми в отношении определенных параметров результатирующей идентификации, если и только если нарушение абсолютной тождественности параметров генетической идентификации двух объектов не влияет на способность судить об указанных параметрах результатирующей идентификации. Пример абсолютно устойчивого объекта — производная функция $f(x)$ в точке x .

щей идентификации, если и только если при любых физических возможных параметрах генетической идентификации этих объектов указанные параметры результирующей идентификации оказываются практически одинаковыми. Соответствующий пример будет далее ниже.

Приведенным выше определениям нетрудно дать наглядную геометрическую интерпретацию (рис. 1.5). Пусть M — множество возможных совокупностей параметров генетической идентификации собственно конечноФакторных объектов данного типа или, иначе, пространство параметров генетической идентификации (ГПИ); точка $m_i \in M$ — конкретная совокупность параметров

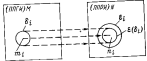


Рис. 1.5.

генетической идентификации некоторого базового объекта (координаты этой точки — конкретные значения упомянутых параметров). Обозначим буквой N множество возможных совокупностей параметров результирующей идентификации объектов данного типа или, иначе, пространство параметров результирующей идентификации (ГПИ); точка $n_i \in N$ — конкретная совокупность параметров результирующей идентификации объекта, соответствующего $m_i \in M$. Возникновение рассмотриваемого базового объекта как бы трансформирует (отображает) точку m_i в точку n_i . Задание условий генетической идентификации определяет около точки m_i область b_i , которая соответствует объектам, генетически идентичным с базовым объектом, а задание условий результирующей идентификации — область e , близкая точке n_i , соответствующую объектам, которые являются результирующими идентичными с базовым. Пусть $e(b_i)$ — отображение области b_i в ГПИ, т. е. в N . Если $e(b_i) \subseteq e_j$ (т. е. лежит в e_j), то объекты, генетически идентичные с базовым объектом (m_i, n_j) , устойчивы. В противном случае они неустойчивы. Объекты абсолютно неустойчивы, когда сколь угодно малые отклонения точки m_i от m_i могут приводить к сколь угодно большим отклонениям n_i от n_j . Они абсолютно устойчивы, если, когда $b_i = M$, мы отображаем ее в e_j , т. е. если будет выполнено условие $e(M) \subseteq e_j$.

Обратим внимание на интересный факт: если мы абсолютно точно воспроизведем физически параметры генетической идентификации базового объекта (т. е. точку m_i), то мы не сможем гарантировать

абсолютно точного воспроизведения точки n_i ; собственная конечноФакторность объекта гарантирует лишь, что эта новая точка n'_i всегда будет лежать в пределах e_i (оказавшись от детерминированной устойчивости или неустойчивости объектов, генетически идентичных с нашим базовым объектом). Таким образом, базовый объект (m_i, n_i) определяется обеими точками m_i и n_i .

Считая, что отброшенные нами фактические параметры генетической идентификации (т. е. отброшенные действительные естественные входы) абсолютно не влияют на интересующие нас параметры результирующей идентификации, будем называть объект абсолютно собственно конечноФакторным. Лишь тогда точка n'_i при сопараллении точным воспроизведением m_i всегда будет точно совпадать с n_i . При рассмотрении моделей строительной механики такой случай довольно характерен.

Если же базовый объект не является собственно конечноФакторным, то точное воспроизведение n_i не гарантирует даже того, что n'_i будет лежать в пределах e_i .

Положим, что множество M возможных совокупностей параметров генетической идентификации абсолютно собственно конечноФакторных объектов данного типа и множество N возможных совокупностей параметров их результирующей идентификации образуют топологические пространства, т. е. в них определены понятия непрерывности и сходимости. Объекты с параметрами генетической идентификации $m_i \in M$ называются устойчивыми в масле в отношении параметров результирующей идентификации $n_i \in N$, если и только если, устрашая параметры генетической идентификации $m_i \in M$ некоторого объекта данного типа в m_i , мы тем самым непременно устраним к n_i параметры его результирующей идентификации $n_i \in N$ и если в некоторой окрестности точки n_i никогда не происходит качественных изменений продукта воспроизведения с образованием объектов совсем другой природы.

Когда M и N не только топологические, но и метрические пространства, т. е. когда в них определено понятие «расстояния» между элементами, приведенная формулировка может быть заменена другой. Объекты с параметрами генетической идентификации $m_i \in M$ называются устойчивыми в малом в отношении параметров результирующей идентификации $n_i \in N$, если и только если любому сколь угодно малому расстоянию $r[m_i, m_b]$ — e в пространстве N соответствует достаточно малое расстояние $r[n_i, n_b] = b$ в пространстве M , такое, что при $r[m_i, m_b] < \varepsilon$ всегда выполняется непрерывность $r[n_i, n_b] < \delta$ и никогда не происходят качественных изменений продукта воспроизведения.

Устойчивость (неустойчивость) объектов в смысле приведенного выше определения детерминированной устойчивости часто называют устойчивостью (неустойчивостью) в большом в отличие от устойчивости в малом.

Имеется много примеров, когда объект, неустойчивый в малом, устойчив в большом и наоборот. Так, движение шарика по наклонному закрытому желобу специальной формы устойчиво в большом, но неустойчиво в малом (рис. 1.6, а); движение шарика по открытому желобу с очень небольшим углублением (рис. 1.6, б) устойчиво в малом, но неустойчиво в большом.

Необходимо говорить, что понятие устойчивости в целом является в известном смысле неполным, поскольку в реальной действительности нас, как правило, интересует устойчивость в большом. Правда, проверка устойчивости в малом обычно оказывается полезной — при дополнительном физическом анализе она часто позволяет довольно уверенно судить о действительной устойчивости.

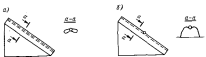


Рис. 1.6.

Обратим внимание на одно из принципиальных различий между понятиями устойчивости в большом и в малом. Первое понятие относительно, так как требует введения исследователем условий генетической идентификации и условий результирующей идентификации. Таким образом, при одних условиях, вносящих исследователем, один и тот же объект может быть отнесен к классу устойчивых, а при других условиях — к классу неустойчивых. Второе понятие абсолютно и вытекает только из свойств самого объекта.

Было бы ошибкой, на первый взгляд, абсолютизацию второго понятия и сравнивать простоту его математического анализа классическими методами с обеспечением ему широкого применения. Однако, обсуждая указанное различие, следует иметь в виду, что производят исследователя при назначении условий генетической и результирующей идентификаций в сущности являются какующимися: ведь исследователь называет их не произвольно, а исходя из объективного физического анализа существа дела. Что касается сложности исследования, то общее развитие математики и успехи вычислительной техники все чаще позволяют нам преодолевать ее. Но же говорим уже о случаях, когда обратимо собственно конечноФакторных объектов или случаях метаполигонических пространств M и N , когда понятие устойчивости в малом просто бессмыслище.

Если множества M и N метрикованы, т. е. в них определены понятия расстояний, и если объекты, определяемые точками m_1 и n_1 , устойчивы, то можно говорить о запасах их устойчивости. Допу-

стимо, например, определить максимальное расстояние между границами e_1 и e_2 (δ_{e_1}).

Подобно тому, как мы говорили ранее о вероятностной устойчивости в большом, можно говорить и о вероятностной устойчивости в малом: объекты с параметрами генетической идентификации $m_1 \in M$ называются вероятностно устойчивыми в малом в отношении параметров результирующей идентификации $n_1 \in N$, если и только если любому сколь угодно малому расстоянию $r(m_1, n_1)$ — в пространстве M — соответствует такое достаточно большое расстояние $r(m_1, n_1) = b$ в пространстве M , что при $r(m_1, m_2) < b$ с вероятностью, не меньшей заданного P , выполняется равенство $r(n_1, n_2) < \varepsilon$.

Приданные определения вероятностной устойчивости в большом и в малом, касаются случаев, когда параметры генетической идентификации базового объекта заданы детерминированно. Между тем некоторые из них или даже все иногда задаются вероятностными характеристиками. Нетрудно представить себе линейную механическую систему с несколькими степенями свободы (жесткий корабль, судно), находящуюся под действием сил колебательного характера со случайными параметрами (морское волнение со случайными высотами, длины и фазами волн). В таком случае интересующие нас параметры результирующей идентификации объектов (выходные параметры качки) могут быть определены также лишь вероятностью. Но общая схема анализа вопросов устойчивости здесь, по существу, не меняется: от детерминированного задания входных параметров мы переходим к их детерминированнию заданным характеристикам по вероятности. И все эти последние характеристики могут быть приняты новыми детерминированными параметрами. По-прежнему допустимо говорить о конечноФакторных и неконечноФакторных объектах, о детерминированной устойчивости (вероятностные характеристики выходных параметров определяются детерминированием), о вероятностной устойчивости (вероятностные характеристики выходных параметров определяются лишь вероятностью), об устойчивости в большом и в малом и т. д.

Рассмотрим пространство параметров генетической идентификации объектов данного типа (III) и пространство ее устойчивости, нетрудно замети на нем, в общем случае, области детерминированной устойчивости, вероятностной устойчивости и т. п. Примерная возможная схема таких областей показана на рис. 1.7, где I — область собственно конечноФакторных объектов; II — область неконечноЦакторных объектов со скрытыми параметрами; III —

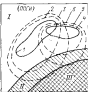


Рис. 1.7.

область неконечнофакторных объектов; 1 — граница области детерминированной устойчивости; 2 — граница области вероятностной устойчивости с вероятностью $P_1 < 1$; 3 — граница области вероятностной устойчивости с вероятностью $P_2 < P_1$; 4 — граница области детерминированной устойчивости в малом; 5 и 6 — границы областей вероятностной устойчивости в малом с вероятностями P_1 и P_2 . Можно говорить о запасах устойчивости в данной точке ППИ по удалению ее от границ областей устойчивости.

В различных реальных случаях вид областей устойчивости может оказаться, конечно, гораздо сложнее.

Меняя модель объектов (в частности, меняя условия идентификации), мы получим другие ППИ и другие области устойчивости.

Выше мы отмечали, что понятия устойчивости непрерывно связано с понятием множественности. Однако иногда все же имеет смысл анализировать устойчивость данного индивидуального предмета, имея в виду разные моменты времени или вообще несколько разных физических причин и условия его существования. Слого говоря, здесь речь идет также о разных объектах — ведь объект определяется физическими причинами и условиями: несомненно, меняем сам объект. Следовательно, выражение «устойчивость данного объекта» оказывается несколько условным и вовсе не противоречит нашему утверждению о множественности. Все предыдущие рассуждения и определения остаются в силе, если разные причины и условия образования и проявления объекта рассматривать как несколько различные параметры генетической идентификации объектов.

Наконец, видим еще одно понятие — взаимулипия. Под взаимулипия будем подразумевать всякое изменение физических причин и условий образования и проявления данного объекта по сравнению с принятым базовым объектом. Возможны явные и скрытые. В первом случае они относятся к установленным параметрам генетической идентификации базового объекта, во втором — не относятся к нему.

3. Простейший пример использования и введенных определений. Условия генетической идентификации связаны с реально осуществляемой повторяемостью объектов данного типа. Мы можем много раз повторять процесс бросания тела (снаряда) с помощью какого-то устройства (пушки). Чисто операционистское условие генетической идентификации будет состоять в том, что мы возьмем одну и ту же установленную и найденную пушку, одинаковые (в промежуточной поставке) снаряды, заряды и т. д. При более подробном анализе можно заметить разбросы начальной скорости снаряда и т. д. Но все эти уточненные условия все равно определяются фактическим разбросом соответствующих параметров генетической идентификации при повторных выстрелах.

Условия результатирующей идентификации объектов назначают, исходя из конкретного анализа ситуации. Чаще всего они обуслови-

ваются той границей, за которой параметры результирующей идентификации уже не могут рассматриваться как детерминированно определенные.

Пусть снаряд имеет радиус поражения зоны R_0 . Это значит, что можно считать попадание снаряда детерминированно определенным, если разброс в попадании находится в пределах от пуля до R_0 . Отсюда видна глубокая связь условий результирующей идентификации с конкретными особенностями и целями данного исследования. Предположим, что мы сделаем сто повторяющихся выстрелов из данной пушки большими, форма и вес которых соответствуют форме и весу базовых снарядов. Максимальный разброс попаданий на данной дистанции оказался радиусом $R_{\text{рак}}$. При каком-то варианте вещества боевого снаряда $R_e < R_{\text{рак}}$, т. е. стрельба должна быть признана детерминировано неустойчивой. Но если мы заменим вариативное вещества более сильным, та же пушка обеспечит детерминированную устойчивую стрельбу.

Можно представить себе и такой гипотетический, но очень изысканный случай. Предположим, что нас интересует лишь такая грубейший параметр процесса, как направление полета снаряда. Тогда процесс стрельбы детерминирован устойчив в отношении отмеченного параметра и мы имеем дело, по существу, с абсолютной устойчивостью.

Рассмотрим второй пример. Пусть тело сферической формы радиусом R брошено в момент $t = 0$ с начальной скоростью v_0 в пустоте при отсутствии аномальных сил. Тогда в кинематической системе координат оно будет двигаться прямолинейно с той же скоростью. Требуется определить положение центра сферы x в различные моменты времени t . Считаем величину x определенной детерминированно, если погрешность не превышает $\pm R$.

Параметры генетической идентификации процесса бросания будут: направляющие коэффициенты вектора начальной скорости, начальное положение тела, начальная скорость v_0 . Допустим для простоты, что первые два параметра измеряются абсолютно точно, а третий параметр реализуется с разбросом $\pm \delta$. Последний мы и примем за условие генетической идентификации.

Принимая начало координат в центре сферы в момент бросания, имеем $x = v_0 t$. Но так как v имеет разброс, то фактическое положение центра сферы будет находиться в пределах числового сегмента

$$[x_{\min} = v_0 t - \delta t, x_{\max} = v_0 t + \delta t].$$

Таким образом, положение центра сферы детерминировано устойчиво в промежутке $0 \leq t \leq \frac{R}{\delta} = t_1$ и неустойчиво при $t > t_1$. Если $t > t_1$, то мы можем судить о положении тела только с вероятностными позициями.

Предположим, что фактические разбросы v_0 распределены по закону равной вероятности. Тогда центр сферы с равной веро-

твностью соединяется с любой точкой указанного выше сегмента. Следовательно, вероятность P попадания самого тела в наперед заданную точку $x = x_0$ внутри этого сегмента при $t > t_1$, составляет

$$P = \frac{1 - R}{2R} = \frac{R}{N}.$$

Пусть положение тела вероятности устойчиво, если оно известно с вероятностью, не меньшей, чем $P = P_*$. Тогда эта устойчивость осуществляется в промежутке $0 \leq t \leq t_1$, где $t_1 = \frac{R}{\delta P_*}$.

Обратимся теперь к устойчивости в малом.

Из приведенных зависимостей видно, что, задав любой конечный интервал времени $0 \leq t \leq T$, мы всегда можем найти положение x с любой сколь угодно малой погрешностью ϵ , если обеспечим достаточно малую величину δ . Следовательно, процесс бросания тела устойчив в малом на любом конечном интервале времени.

Но практики это почти ничего не дает. Ведь мы можем на самом деле обеспечить лишь определенную, хотя и малую величину δ . Значит, устойчивость обеспечивается далеко не на любом конечном интервале.

Интересно отметить, что на бесконечном интервале времени не обеспечена и устойчивость в малом. Выбрав ϵ , мы не можем найти такое конечное δ , при котором погрешность определения x не превысит ϵ для любого момента $0 \leq t$. Таким образом, прозрительный переход к бесконечности как бы «продлевает» действенность определения устойчивости в малом для анализа реальной устойчивости движения рассматриваемого объекта.

Именно это чрезвычайно важное обстоятельство обуславливает работоспособность такой известной математической теории, как теория устойчивости движений по Лапунову, о которой будет сказано в дальнейшем. Последняя оперирует только устойчивостью в малом, что дает возможность ее автору и его последователям оставаться, во сущности, в рамках аппарата классической математики и абсолютно обективных моделей. Но тогда, как и в нашем простейшем примере, практически любое движение устойчиво, как бы ни был широк интервал рассмотриваемого времени. Лапунов искусственно вводит изюминку бесконечное время, когда неустойчивость начинает никогда проявляться, и благодаря такому приему спасет дело.

Впрочем, и при отмеченном приеме анализ устойчивости в малом не заменяет во всех случаях полного анализа устойчивости.

Принципы приведенных ранее определений понятий устойчивости далеко выходят за рамки механики, физики, судостроения, техники и т. п. Ставятся ясны, почему мы можем говорить об устойчивых спортивных показателях данного члена Олимпийской сборной (они мало зависят от таких естественных изходов, как настроение данного спортсмена, погода, психологическая обстановка

состязаний и т. п.), об устойчивости рынка (цены, спрос и предложение на нем почти не колеблются в зависимости от локальных кипучих политических взрывов), изменения личной активности того или иного продавца или покупателя и пр.), даже о моральной неустойчивости данного индивидуума (он может быть, вообще говоря, хорошим человеком, но его поведение и поступки сильно меняются при изменении таких входов, как окружающая компания, личное настроение, собственное положение в обществе и др.). Уяснить указанные понятия особенно важно в наше век экспоненциальной множества технических, общественных и социальных процессов, когда роль неустойчивости начинает возрастать и анализ вопросов устойчивости становится все более актуальным во всех сферах нашей деятельности.

В частности, для судостроения важны и устойчивость применяемых вычислительных алгоритмов, и устойчивость конструкций, и устойчивость свойств конструкционных материалов, и устойчивость всех технологических процессов постройки корабля, и многое другое.

4. Понятие устойчивости в системах. Назовем системой модель объекта, когда сам объект представлен в виде совокупности идеализированных внутренних объектов (элементов системы), имеющих конечное число рассматриваемых свойств и объединенных некоторым взаимодействием и некоторой внешней зависимостью между собой, а также связью и зависимостью с естественными входами исходного объекта. Например, изучая движение реального маятника, мы заменяем его механической системой той или иной степени сложности — абсолютно твердым (или линейно-упругим) телом, подвешенным без трения (или с заданным трением) на абсолютно жесткой оси. Система дает представление об «устройстве» объекта и о «механизме» преобразования естественных входов в естественные выходы.

Система и реальный моделируемый предмет — вовсе не одно и то же. Город есть гора, но социокультурная заменяет его социоматематической системой, транспортная система — транспортной системой, энергетика — энергетической системой и т. д.

Вообще говоря, исследуя любой реальный предмет в определенных целях, мы всегда явно или неявно заменяем его некоторой системой; все сказанное выше об объектах непосредственно относится и к системам. Однако имеется одно важное понятие, которое обычно связывается только со словом система.

Пусть дана базовая система, определяемая какими-то фиксированными параметрами регулирующей идентификации. Системы, идентичные с ней по параметрам регулирующей идентификации, называются детерминированно устойчивыми в отношении некоторого процесса, если этот в принципе заданный процесс в указанных системах практически отсутствует (понятие процесса считаем интуитивно ясным).

Естественно, что для реализации приведенного определения требуется задать параметры процесса и условия его резуль-

тирующей идентификации с полностью отсутствующим процессом.

Системы, идентичные с базовой системой по параметрам результирующей идентификации, называются вероятностно устойчивыми в отношении какого-то процесса, если и только если вероятность практического отсутствия указанного процесса в любой из них равна заранее оговоренному значению или больше него.

В предыдущих определениях мы говорим о параметрах и условиях результирующей идентификации систем, поскольку именно они служат параметрами и условиями генетической идентификации процессов, происходящих в системах (устройство системы определяет процесс).

Рассматривая в строительной механике устойчивость равновесия деформированной конструкции, мы получаем, в сущности, устойчивость якорьевой механической системы по отношению к процессу движения.

Положим, что возможные совокупности параметров результирующей идентификации систем данного типа образуют топологическое пространство M ; точка $m_i \in M$ определяет конкретную совокупность этих параметров. Пусть, далее, возможные совокупности параметров результирующей идентификации процесса представлены топологическим пространством N ; точка $n_i \in N$ дает их конкретную совокупность. Положим, напротив, что полное отсутствие процесса соответствует точке $n_0 \in N$; оно имеет место, когда параметры результирующей идентификации системы выражаются точкой m_0 .

Система, выражаемая точкой m_i , называется устойчивой в малом в отношении данного процесса, если, устремляя точку m_i и m_0 , мы тем самым устремим к n_0 соответствующую точку n_i .

Если M и N не только топологические, но и метрические пространства, то вместо этого определения можно дать его эквивалент. Система, выражаемая точкой m_i , называется устойчивой в малом в отношении данного процесса, если любому слово угодно малому расстоянию $r |m_0, m_i| = r$ в пространстве N соответствует достаточно малое расстояние $r |n_0, n_i| = \delta$ в пространстве M , такое, что из равенства $r |m_0, m_i| < \delta$ вытекает $r |n_0, n_i| < \varepsilon$.

Как и при рассмотрении устойчивости объектов, проверка устойчивости системы в малом является лишь некоторой заменой проверки устойчивости в большом.

Иногда функциями преобразования естественных входов и естественных выходов не включают в себя внутренние элементы объекта; в этом случае мы все равно будем говорить о системе.

3. Классификация процессов. Некоторые особенности анализа устойчивости процессов. В дальнейшем процессам будем называть изменения каких-то заранее оговоренных интересующих нас объектов при изменении некоторых независимых друг от друга скалярных переменных. Число физически существующих независимых скаляр-

ных переменных в данном процессе называется его мерностью. Ясно, что сам процесс можно рассматривать так же, как некий сложный объект особого рода. Естественные входы процесса — параметры, характеризующие «устройство» системы, в которой происходит процесс, и ее «состояния» в начале процесса (если процесс не является установившимся во времени). Естественные выходы процесса — интересующие нас объекты, зависящие от упомянутых скалярных переменных. Процесс устойчен, если практическая однинаковость его естественных входов означает практическую однинаковость естественных выходов.

Пусть имеется деформируемое тело, находящееся под действием переменных во времени сил. Если нас интересует вектор переключений любой его точки или тензор деформаций в любой его точке, то соответствующий процесс является четырехмерным — все интересующие нас объекты зависят в зависимости от времени и трех геометрических координат точки.

Но если в том же теле нас будет интересовать лишь вектор переключений данной фиксированной точки тела, то этот процесс будет уже одномерным. Независимое переменное — время.

Допустим, что процесс имеет мерность n . Рассмотрим n -мерное пространство, координаты точек которого служат производные значениям скалярных переменных. Установим откладывать фактически возможные значения физически существующих независимых скалярных переменных данного процесса идоля осей, присвоенных этим переменным. Назовем точку m в указанном пространстве определяющей точкой процесса, если все ее координаты будут представлять фактически возможные значения его независимых скалярных переменных.

Если определяющие точки n -мерного процесса образуют некоторую непрерывную n -мерную область, то будем говорить, что процесс является непрерывным в этой области (независимо от непрерывности или прерывности интересующих нас в этом процессе объектов). Если все определяющие точки процесса расположены дискретно, то процесс называется дискретным. Наконец, если все определяющие точки образуют ряд многообразий мерности меньше n , непрерывных идолях некоторых независимых скалярных переменных и с пустыми промежутками между другими, то процесс называется дискретно-непрерывным.

Только что рассмотренный процесс деформирования тела — непрерывный. Процесс вычислений, алгоритмизированный по номерам операций — дискретный; он представляет изменение каких-то числовых величин в зависимости от номера операции.

Чтобы представить себе дискретно-непрерывный процесс, изымаю движение механической системы, состоящей из m материальных точек. Будем интересоваться вектором смещений \bar{u} , характеризующим положение точки, и вектором скорости $\dot{\bar{u}}$. Оба вектора представляют функции четырех переменных: трех исходных геометрических координат точек системы (в положении начального

оскота) и времени. Первые три переменные меняются дискретно, четвертая — непрерывно.

Интересно отметить, что последний пример обычно интерпретируется также: нумеруют точки ($j = 1, 2, \dots, m$) и вводят в рассмотрение $2m$ векторов ψ_j и $\dot{\psi}_j$. Такой процесс вместо четырехмерного становится одномерным непрерывным, правда, число интересующих нас объектов резко возрастает. Таким образом, мерность процесса зависит от системы выбранных объектов исследования.

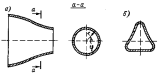


Рис. 1.8.

Если четырехмерный процесс деформирования тела постоянен во времени (стационарен), то мерность может быть условно снижена на единицу; конечно условно, так как постоянство объектов лишь какой-то физически существующей независимой переменной есть все же частный случай их изменения.

Способ условного снижения мерности процесса за счет поиска или принятия его стационарности идеален, поскольку физически существующих зависимых переменных машиной методом выделения стационарностей. Он имеет широкое применение.

Рассмотрим для иллюстрации (рис. 1.8, а) произвольную оболочку вращения, загруженную осесимметричной нагрузкой (включая усилия в опорных конструкциях). Введем цилиндрическую систему координат: x — расстояние идея оси вращения; r — расстояние от оси вращения по нормали к ней; φ — угол по направляющей окружности. Фиксируем произвольные x и r в пределах тела оболочки. Тогда все точки с произвольной координатой φ будут лежать на окружности радиусом r . Из условий симметрии конструкции и нагрузки следует, что они «правоправлены» по отношению друг к другу. Процесс деформирования не зависит, таким образом, от координат φ (стационарен идеален). Из четырехмерного он условно становится трехмерным. Рассмотрение только статических деформаций оболочки из материалов, не обладающих ползучестью, делает процесс условно двухмерным.

Если процесс мерности n не был получен из процесса более высокой мерности путем выделения какого-то числа стационарностей последнего, то он называется истинно n -мерным. Если же истинно

n -мерный процесс условно сведен к процессу меньшей мерности k путем выделения из него $n-k$ стационарностей, то он называется псевдо- n -мерным. Число $n-k$ получает название индекса псевдо- n -мерного процесса.

Ясно, что процесс осесимметричного статического деформирования произвольной оболочки вращения является псевдоодномерным с индексом 2.

Иногда снижение мерности процессов производится и без выделения стационарностей. Например, поперечные колебания балки в одной из главных плоскостей изгиба представляют собой четырехмерный процесс: перемещения любой точки зависят от ее положения по длине конструкции, высоте и ширине сечений, а также от времени. Применение известной гипотезы плоских сечений не снижает мерности процесса, но позволяет выделить из него главную часть — двухмерный процесс изгиба нейтральной оси. Изучив последний, мы получаем простые зависимости для анализа четырехмерного процесса. Использование метода главных координат сводит выделенный двухмерный процесс к бесконечному числу истинно одномерных процессов в пространстве и времени без всякого заделения стационарностей.

Данный истинно n -мерный процесс называется квази- k -мерным ($k < n$), если его исследование сведено к изучению конечного или бесконечного числового множества процессов, истинная мерность которых не превышает k (но достигает его хотя бы для одного из элементов множества).

Часто оба отмеченных способа снижения мерности процессов соединяют вместе. Скажем, если мы возьмем четырехмерный процесс статического изгиба балки и отбросим время, то получим псевдоизогнутомерный процесс. Выделение главной части псевдоизогнутомерного процесса — изгиба нейтральной оси — дает возможность получить псевдоизогнутодимерный процесс.

Мы特意льно оговариваем явное использование условий стационарности, поскольку именно они всегда сильно влияют на оценку устойчивости процессов.

Теорема 1.1. Если мы можем снизить мерность процесса, приняв его стационарными вдоль какой-то физически существующей независимой переменной, а переходя к модели процесса меньшей мерности, мы не занимаем, вообще говоря, возможности исследовать зависимость параметров реагирующей материализации относительно изменения (разброса) параметров генетической материализации, зависящих от исходочной переменной. Поэтому необходима дополнительная проверка указанной устойчивости.

Для доказательства достаточно проанализировать характерный пример. Вернемся к уже рассмотренному случаю осесимметричных деформаций оболочек вращения. Выделив псевдоизогнутодимерный процесс статического деформирования средней поверхности оболочки, мы можем изучить осесимметричные деформации и, в частности, проанализировать возможность осесимметричной (хотя бы

устойчивости. Но мы не вынуждены хорошо известную возможность потери устойчивости с образованием волн по периметру (рис. 1.8, б), которая выражается лишь последованием двухмерной задачи, где учетом переменных x и y . Ведь здесь-то и начинает скрываться действительная, хотя и малая неизменность всех координат φ , например из-за наличия начальных погрешностей в виде зародышевых окружных волн.

Заметим, что время t — универсальная независимая переменная реальных процессов. Если она обрабатывается, то необходимо дополнительно проверять устойчивость стационарности процесса по t . Но для каждого индивидуального процесса эта переменная равноправна со всеми остальными стационарными переменными.

Сказанное имеет прямое отношение к так называемому динамическому критерию устойчивости в строительной мезонике и позволяет его истинное место — служить проверкой устойчивости стационарности процесса статического деформирования во времени.

Заметим, что передко псевдоодномерные и псевдосквознодиодные процессы условно называют класснодиодными, если они имеют в виду изучать их устойчивость по исключенным независимым переменным. Именно такая устойчивость и принята нами в подзаголовке книги.

Понятия индивидуальности и наблюдаемости объектов. Активные и неактивные информационные модели. Пусть имеются базовый объект (m_i , n_i) и множество объектов данного типа (см. рис. 1.5), определяемое пространством параметров генетической идентификации M (ППГИ) и пространством параметров результирующей идентификации N (ПРИ). В этом случае наблюдаемость объектов, результирующие идентичными с базовым базовым объектом, по отношению к данным параметрам генетической идентификации будет называться сопротивлением степени стабильности этих параметров при многократном физическом повторении указанных результирующих идентичных объектов. Иными словами, наблюдаемость — свойство, в известном смысле обратное устойчивости: при анализе устойчивости мы воспроизводим физические объекты, генетически идентичные с базовым, и проверяем близость их результирующих свойств (естественных выходов) с результирующими свойствами базового объекта, а при анализе наблюдаемости берем объекты, результирующие идентичные с базовым, и проверяем близость их генетических параметров (естественных входов) к генетическим параметрам базового объекта.

Если объект находится в области устойчивости, то, зная его параметры генетической идентификации, мы можем с достаточной уверенностью судить о параметрах результирующей идентификации; если объект наблюдаем, то, зная его параметры результирующей идентификации, мы можем с достаточной уверенностью судить о параметрах генетической идентификации. При оценке наблюдаем-

ости ППГИ и ПРИ как бы меняются местами: не точка m_i отображается в n_j , а точка n_j отображается в m_i (рис. 1.9).

Следовательно, можно говорить о детерминированной и вероятностной наблюдаемости, о наблюдаемости в большом и в малом, об областях наблюдаемости и т. д. Объекты, чрезвычайно устойчивые (область в $\{b_i\}$ на рис. 1.5 мало по сравнению с $\{n_i\}$), всегда оказываются неподдающимися, а объекты, очень хорошо наблюдаемые (область в $\{b_i\}$ на рис. 1.9 мало по сравнению с $\{n_i\}$) — всегда неустойчивыми. Они могут быть и наблюдаемыми и устойчивыми при «средней степени» в того и другого; последнее для собственно

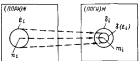


Рис. 1.9.

всенофакторных объектах записывается условием $\varepsilon(\delta_i) = \varepsilon_i$ и $\delta(n_j) = \delta_j$ (необходимость обоих условий следует из того, что однозначность одного преобразования еще не определяет однозначности второго).

Конечно, может оказаться, что объекты и неустойчивы и нена-
блодаются, например $\varepsilon(\delta_i) \gg \varepsilon_j$: но обратное преобразование точек n_j в ППГИ недостоверно, и в силу этого появляются точки, принадлежащие ПРИ, но не находящиеся в пределах δ_j .

Оценки наблюдаемости требуется, например, в магнитной геодезии: рудное месторождение создает магнитное поле; параметры генетической идентификации этого поля — интересующие нас параметры месторождения (качество руды, глубина ее залегания и т. п.). Измеря с какой-то точностью параметры результирующей идентификации поля (направления склонов линий, напряженности), мы хотим с достаточной точностью найти параметры его генетической идентификации.

Похожие задачи возникают и в других случаях наблюдений. Будем называть их задачами наблюдателя.

Вопрос о наблюдаемости возникает передко и в задачах проектирования: мы хотим спроектировать что-то, обладающее данными естественными выходами, для этого нам нужно узнать естественные входы этого чего-то, чтобы, создав их, получить проектируемый объект.

Несмотря на большое сходство, задачи наблюдателя и проектирования имеют существенное различие: если первая, будучи пра-

вольно поставленной, в принципе всегда имеет решение (и иногда и не одно), то вторая может не иметь ни одного решения — проектировщик выделил несогласимые между собой требования к свойствам проектируемого объекта.

Большинство исследований устойчивости относятся к задачам техногика, который серийно изготавливает объекты данного типа и заинтересован в «похожести» их свойств. Качество техногика, «наблюдателя в проектировщике» при данной классификации могут быть весьма своеобразными, и потому предлагаемые наименования несколько условны (снова условность и слова, по-видимому, поздней).

Понятие индивидуальной определенности несколько сложнее. Пусть мы имеем какую-то произвольную группу параметров идентификации данного объекта. В общем случае это некая смесь из некоторых естественных входов и естественных выходов. Назовем ее входами задачи об индивидуальной определенности (подчеркнем, но естественные входы, а просто входы). Требуется найти другую группу параметров идентификации — в общем случае также смесь естественных входов и выходов. Назовем указанную вторую группу выходами задачи об индивидуальной определенности.

Назовем объекты данного типа индивидуально определенными по данным входам относительно данных выходов, если идентичность их входов с аналогичными входами данного базового объекта обуславливает однозначную идентичность их выходов с аналогичными выходами базового объекта.

Индивидуальная определенность — обобщение понятий устойчивости и наблюдаемости. И здесь нетрудно говорить о детерминированной индивидуальной определенности, вероятностной определенности, области определенности и т. д. При рассмотрении индивидуальной определенности следует строить пространство входов M и пространство выходов N . Задача об индивидуальной определенности может быть в задачей техногика, в задачей наблюдателя, в задачей проектировщика.

Различия между разными случаями «расшифровки» общей задачи анализа индивидуальной определенности удобно проследить с помощью понятий об активных и неактивных информационных моделях.

Информационной моделью изучаемого объекта в отношении его данных характеристик назовем систему информации об этом объекте, которая позволяет после соответствующих преобразований получить сведения об интересующих нас характеристиках объекта.

Возьмем дифференциальное уравнение изгиба однопролетной балки (1.2) при граничных условиях

$$\begin{aligned} EIy''(0) &= K_1 y(0); \quad EIy''(l) = K_2 y(l); \\ EIy'''(0) &= K_3 y'(0); \quad EIy'''(l) = K_4 y'(l), \end{aligned} \quad (1.3)$$

где K — коэффициенты, характеризующие условия заделки концов балки; l — длина балки.

Это информационная модель процесса изгиба балки, позволяющая определить прогиб. Она дает представление о внутреннем механизме преобразования естественных входов объекта E , I , l , q (з), K_1 , K_2 , K_3 , K_4 в совокупность естественных выходов y (з). Объект (процесс изгиба) является абсолютно собственно конечноФакторным, если длина l достаточно велика и к балке можно обоснованно применить элементарную теорию сопротивления материалов.

Информационная модель объекта называется активной, когда и только когда: 1) исходными характеристиками являются некоторые естественные выходы объекта, т. е. некоторые его свойства; 2) исходная информация отражает только и прямоту связей между параметрами генетической идентификации. В частности, уравнение (1.2) однопролетной балки и условие (1.3) представляют активную модель.

Пример неактивной модели — уравнение (1.2), подчиненное первым трем условиям (1.3) и четвертому условию

$$y(l/2) = y_0, \quad (1.3a)$$

где y_0 — заданный или наблюдаемый прогиб в середине пролета. Значение y_0 не является причиной или условием существования процесса изгиба (полагаем, что в точке $x = l/2$ никто не оттягивал балку домкратом и не закреплял ее; в противном случае это уже не однопролетная балка).

Активная модель дает возможность анализировать устойчивость объекта, т. е. рассматривать задачу техногика; неактивная — решать ту или иную задачу наблюдателя или проектировщика.

Важно подчеркнуть, что одинаковая по математической форме информационная модель может относиться к объектам разных типов, то для объектов одного типа быть активной, а для другого — неактивной.

Рассмотрим сначала процесс статического растяжения цилиндрического стержня длиной l и площадью поперечного сечения Ω , помещенного в линейное упругое пространство анкерировочного типа, которое сопротивляется осевым смещениям у сечений стержня с коэффициентом жесткости k (рис. 1.10). Стержень жестко закреплен за левом конце, где помешено начало координат. Правый конец принудительно оттянут по величину y_0 , а затем закреплен. Нас интересует закон осевых смещений $y(x)$.

Обозначим $\frac{k}{EI} = \alpha^2 > 0$. Тогда активная информационная модель процесса растяжения будет состоять из дифференциального уравнения

$$\frac{dy}{dx^2} - \alpha^2 y = 0 \quad (1.4)$$



Рис. 1.10.

и граничных условий

$$y(0) = 0; \quad y(l) = y_0. \quad (1.5)$$

С помощью этой модели нетрудно исследовать устойчивость процесса. Положим, что величины α^2 и I фиксируются абсолютно точно и при повторениях процесса возникают лишь разбросы в отклонении y_0 , находящемся в пределах $\pm \delta_0$ (много раз растягивается один и тот же стержень). Значения $y(x)$ считаем детерминированными, если они найдены с той же погрешностью $\pm \delta_0$.

Общий интеграл уравнения (1.4) имеет вид

$$y = C_1 \sinh x + C_2 \cosh x. \quad (1.6)$$

Определив постоянные из (1.5), получаем

$$y(x) = y_0 \frac{\sinh \alpha x}{\sinh \alpha l}. \quad (1.7)$$

На (1.7) видно, что, допуская погрешность в y_0 , равную $\pm \delta_0$, мы находим любое $y(x)$ с погрешностью

$$v(x) = \pm \delta_0 \frac{\sinh \alpha x}{\sinh \alpha l} < \delta_0 \text{ при } x \leq l. \quad (1.8)$$

т. е. процесс устойчив.

Но эта же информационная модель (1.4), (1.5) описывает вовсе другой физический процесс — движение материальной точки массы m под действием «томкающей» потенциальной силы $P = k_1 y$, где y — отклонение точки от начального положения, x — время, $k_1 > 0$ — некоторый постоянный коэффициент пропорциональности, $\alpha^2 = k_1/m$. Второе условие (1.5) записано на основании того, что, согласно наблюдению, в момент $x = l$ от начала движения ($x = 0$, $y = 0$) точка имела отклонение y_0 . Нас интересует закон движения $y(x)$ в интервале между $x = 0$ и $x = l$.

Математическая суть вопроса осталась как будто бы той же; я это в самом деле так, если смотреть на классической точке зрения. Однако во втором примере рассматриваемая модель уже не активна, так как второе условие (1.5) здесь не причиня процесса, а его следствие. Определив значение $y(l) = y_1$ с точностью $\pm \delta_0$, мы можем с помощью приведенных расчетов гарантировать пока лишь детерминированную индивидуальную определенность данного конкретного единичного процесса, т. е. иметь возможность узнать в данном конкретном случае, как двигалась масса m (каков был закон $y(x)$).

Мы можем найти и начальную скорость $y'(0) = y'(0)$ массы. Из (1.6) и (1.5) имеем

$$\dot{y}(0) = \dot{y}_0 = -\frac{\alpha y_0}{\sinh \alpha l}, \quad (1.9)$$

т. е., зная y_0 с точностью $\pm \delta_0$, мы будем знать \dot{y}_0 тем точнее, чем больше время l .

Значение $\dot{y}(0) = \dot{y}_0$ — важнейший параметр геметрической идентификации процесса движения массы, который позволяет исследовать устойчивость этого движения. Используя (1.9) и общий интеграл (1.6), получаем

$$y(x) = \frac{\delta_0}{\alpha} \sinh \alpha x. \quad (1.10)$$

Пусть погрешность задания y_0 при повторных процессах равна $\pm \delta_0$. Тогда отклонение в действительном положении материальной точки по сравнению с формулой (1.10) будет

$$v(x) = \frac{\delta_0}{\alpha} \sinh \alpha x. \quad (1.11)$$

При любом сколь угодно малом отклонении δ_0 величина $y(x)$ не будет детерминирована определено близки $x = l$, если l достаточно велико. Оказывается, что процесс движения массы m , в отклонении от процесса растяжения стержня, неустойчив при больших l .

Разница между активной и неактивной моделями стала очевидной: хотя исходной математической моделью (1.4), (1.5) для двух рассматриваемых физических процессов совершенно описаны с точки зрения классической математики, устойчивость этих процессов совершенно различна.

В литературе часто пишут об изоморфных процессах, объектах и т. д., имея в виду полную математическую (в смысле классической математики) идентичность их соответствующих исходных информационных моделей (исходных уравнений вместе с дополнительными условиями и пр.), а следовательно, и идентичность поведения. Из доказанного выше видно, что такая изоморфность (разумеется со изоморфностью первого рода) еще недостаточна, если говорить не об идеальном случае поведения объектов, а о реальном следстве поведения, включая влияние незабытых неточностей, т. е. нарушающий на практике абстракции абсолютной логичности. Чтобы следство двух объектов было действительно полным по их поведению, нужна не только идентичность обычных математических моделей, но и идентичность схем причинно-следственных связей. В последнем случае будем говорить о полной изоморфности или изоморфизме второго рода. Например, процесс растяжения стержня (см. рис. 1.10) полностью изоморчен процессу кручения прямизматического стержня, который находится в упругом пространстве винклеровского типа, сопротивляющемся повороту сечений.

Наряду словами, анализируя суть входов и выходов информационных моделей, нетрудно усмотреть следующее. Пусть имеется (рис. 1.11, a) активная информационная модель, входы которой есть естественные входы данного объекта. С помощью этой модели мы можем найти обычно очень много, а часто и бесконечно много выходов, т. е. свойства (естественных выходов) объекта. Так, в при-

мере со стерином (см. рис. I.10) находим бесконечно много значений $y(x)$, а при желании и $y'(x)$. Если модель детерминирована, то входы и выходы модели жестко (с точки зрения классической математики) связаны между собой. Теперь мы можем спросить некоторые или даже все оставшиеся входы объекта и взять в качестве новых входов модели бывшие выходы объекта. Скажем, в только что рассмотренном примере мы имеем право сделать входами $y(0) = y$ и $y'(0) = \frac{dy}{dx}|_0$ или $y(x_1) = y_1$ и $y(x_2) = y_2$ и т. д.

В результате нетрудно получить множество эквивалентных, в смысле классической математики, моделей (рис. I.11, б, г). В при-

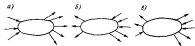


Рис. I.11.

ците можно взять в качестве известных величин (новых входов) различное количество бывших выходов,— допустим, определить и запечь значения $y(x_1)$, $y(x_4)$, $y(x_2)$, $y(x_3)$ в четырех точках стерин; если это будут экспериментально найденные величины или вычисленные с помощью основной (вероятностной) модели, то никакой переопределенности задача не произойдет, так как все «линейные» значения будут автоматически согласованы между собой. Правда, на практике здесь все же появляется опасность несомненности из-за неизбежных неточностей экспериментального определения или вычислений. Можно принять за новые входы и недостаточное число бывших выходов; тогда задача станет недопредельной, т. е. решение окажется многозначным.

Но эквивалентные в смысле классической математики модели не являются эквивалентными в смысле неклассической математики: в первом случае (исходная модель), они отражают устойчивость объектов, а в других случаях — другие виды их индивидуальности.

§ 3. Вероятностные модели

Рассматриваемые нами модели и понятия позволяют проанализировать многие особенности вероятностных рассуждений, используемых при исследовании разнообразных проблем зависимости корпучих конструкций, а в последнее время — и при разработке численных методов решения различных задач строительной механики.

Как это ни странно на первый взгляд, одна из главных трудностей здесь состоит в осмысливании и толковании исходного понятия вероятности. Дело в том, что теория вероятности является наукой о выписании выходных вероятностей для систем по заданным входным вероятностям характеристикам системы в ее элементах, а иногда и взаимосвязей между элементами. К определению исходных вероятностей и содержательному толкованию термина «вероятность» математическая теория, строго говоря, отношения не имеет. Будучи аксиоматизированной наукой, она допускает много логически безуспешных содержательных толкований. Именно это и обуславливает возможность одновременного существования ряда широко известных подходов: частотно-статистического (вероятность — величина, около которой стабилизируются относительные частоты событий при большом числе опытов), диспозиционного (вероятность — величина, связанная с характером данной, может быть индивидуальной, физической ситуации), логико-субъективного (вероятность — мера уверенности субъекта в наступлении события) и т. д. Выбор между ними или создание любого нового подхода необходимо осуществлять не на чисто логическом уровне, а на уровне анализа и обобщения практики использования теории вероятности. В частности, здесь нужно внимательно проанализировать используемые информационные модели.

Что касается теории вероятности и базиса к ней примыкающей вероятностной логики, рассматриваемых как чисто абстрактные логико-формальные системы, то они вовсе не нуждаются в содержательном толковании исходных понятий, а числовые значения исходных вероятностей там могут задаваться произвольно.

1. Общее содержательное понятие вероятности. Вспомнили сделанное выше замечание о ценообразовании построения многогранной системы сложных понятий, давим общее содержательное определение вероятности: вероятность события, отнесенного к данной активной или неактивной модели некоторого предмета, выходной характеристикой которой может быть это событие, есть теоретическая мера потенциальной возможности наступления рассматриваемого события в данных четко оговоренных условиях, задаваемых исследователем при построении соответствующей модели с учетом конкретных целей предпринимаемого исследования.

Сложность приведенной формулировки требует пояснений. Прежде всего подчеркнем, что нет какой-то единой вероятности, жестко связанной с данным реальным физическим событием: у данного события одновременно может быть много независимо определенных вероятностей — просто каждая из этих вероятностей связана со своей относительно объективной моделью реального предмета исследования и теряет всякий смысл вне этой модели.

Мы строим, по существу, модель с входами и выходами по типу рис. I.4, б; но входы — уже не обязательно причины и условия

взаимоисхождение или проявления объекта; выход один — данное событие, т. е. выходная характеристика модели, определяемая по принципу 0 или 1, это или нет, произошло или не произошло (конечно, можно одновременно вести и другие выходы-события). Сконструированная таким образом модель оказывается неустойчивой детерминированно относительно заделенного выхода (выход не может быть усвоен детерминированно предсказанием), и мы пытаются дать хотя бы теоретическую меру потенциальной возможности его наступления, забывши лишь о достаточной для наших целей точности этой меры. Минимизируем систему входов на систему условий идентификации, то есть модели, а следовательно, и вероятность. Относительная объективность модели обуславливает относительную объективность вероятности.

Сторонники полной (так сказать, абсолютной) объективности вероятности часто приводят пример со страховыми компаниями, которые получают очень устойчивые доходы на основе вероятностных цепочек, исключающих смерти или потери трудоспособности своих клиентов. И они правы, так как этот пример очень хорошо показывает, что вероятность в данном случае явно отражает совершение объективных закономерностей, которые можно и полезно использовать на практике. Но претензии на абсолютность здесь не обоснованы. Вспомним хотя бы, что ряд компаний страхует жизни людей, исходя только из их возраста. Здесь один — возраст, выход — вероятность P_1 , что этот человек проживет еще один год. Но другие компании, получая, в сущности, те же доходы, что и первые, учитывают два выхода — возраст и профессию; при этом для данного человека вероятность прожить еще один год будет $P_2 \neq P_1$. А родственники страховщиков явно учитывают еще много факторов и будут в своих замерениях исходить из некой третьей вероятности $P_3 \neq P_2 \neq P_1$. И все они по-своему правы. Выдавшая страховую полису данной конкретному человеку и имея дело именно с ним, первая компания рассматривает его, в сущности, не индивидуально, а просто как представителя громадной массы страхуемых в данной стране. Она могла бы получить представление и о других людях, уточнив тем самым индивидуальную вероятность, но это сильно усложнило бы расчеты страховщиков и не изменило бы реальных доходов, т. е. не соответствовало бы поставленным целям. Другая компания учитывает второй выход не для увеличения доходов с каждого человека и не для уточнения индивидуальных вероятностей как таковых, а главным образом для прополнение дополнительных клиентов из среды не очень опасных профессий, просто «заманивая» их более точной и, по-видимому, более выгодной индивидуальной оценкой. А различные, занятые самими именно в данном индивидууме, построят свою модель и, возможно, тоже не ошибутся. Наконец, сам страховщик, учитывая все хорошо известные ему реальные индивидуальные обстоятельства, часто помогает и P_1 и P_2 весьма недостоверными, но для его конкретных целей он удовлетворяется и такими оценками.

Итак, сознав цели и задачи конкретного исследования, нужно построить относительно объективную вероятностную модель и именно для этой модели, выходы которой являются рассматриваемое событие, попытаться оценить теоретическую меру потенциальной возможности его наступления (если это достижимо с требуемой точностью).

Политика вероятностного подхода к диалогу финансированному выходу (рассматриваемому событию) неизбежна, когда имеет место один из следующих основных случаев: а) модель включает в себя все входы, практически определяющие данный выход; б) она охватывает все существенные входы, но мы не можем задать или узнать каждый вход с требуемой степенью точности; в) вообще нет конечной или даже любой совокупности входов, практически точно определяющих данный выход; г) хотя бы некоторые входы введены не вполне адекватно реальному положению дел; д) осуществляется какая-то комбинация этих трех случаев.

Важно иметь в виду следующее. Во-первых, нередко выделение вероятностных рассуждений является принципиальной особенностью модели [например, случай π_1], а не просто признаком ее недостаточной «изученности». Иными словами, нельзя помнить, что, проделав изучить и дополнить данную модель, выявляя скрытые параметры, мы всегда приедем к детерминированному подходу (хотя иногда это действительно так). Во-вторых, нельзя думать, что вероятностный подход всегда применим. Нередко у нас нет никаких оснований говорить ни о детерминированном, ни о вероятностном подходе — просто имеющихся сведений в пришлите недостаточно для научного анализа.

Трудности практического использования теории вероятности и математической статистики выявляются главным образом относительной объективностью основного понятия вероятности, т. е. его органической связью с применяемой моделью: прежде всего необходимо построить приемлемую вероятностную модель, а уже потом вывести в ее вероятности, если возможна их практическая оценка с требуемой степенью точности. Но поскольку построение моделей не формализовано и требует искусства исследователя, возникают ошибки. Именно поэтому некоторые авторитетные статистики утверждают, что сама статистика никогда не представляет гипотез и не устанавливает никаких закономерностей; она лишь подтверждает или опровергает указанные гипотезы и закономерности.

Приведем два показательных примера построения вероятностной модели из области надежности стальных корабельных конструкций. Начнем с ситуации, сложившейся при отработке и приемке испытанных материалов.

Немноготочечные дорогостоящие и сложные испытания опытных конструкций, крупномасштабных моделей и образцов, важные сами по себе, все же не дают достаточных статистических данных для оценки параметров прочности и работоспособности материала. При испытаниях же малых образцов получается чрезвычайно боль-

шой разброс результатов. Кроме того, неясно, какие данные следует принимать во внимание (средние, крайние наихудшие или какие-либо другие). В результате «прямые» статистические подходы оказываются непрограммными. Однако дальнейший анализ позволяет найти выход из положения [45].

Была высказана и обоснована гипотеза о затухании и быстром выходе на асимптоту прямого масштабного фактора, связанного с абсолютными размерами и энергоемкостью конструкции. Такого затухания можно добиться и в малом объеме, если испытываемое изделие наполняет достаточную энергию. Кроме того, образец должен быть велик по сравнению с наибольшими размерами зерен металла и изготовлен из листов натурной толщины (изменение толщины листа за качество металла, как известно, не моделируется). Затем было показано, что значительные разбросы данных испытаний малых образцов обусловлены главным образом различием в дефектах, вызванных микроконцентриаторами напряжений с характерными размерами концентрационного поля напряжений и деформаций порядка миллиметра (поры, шлаковые включения, подрезы и т. п.). Наконец, обобщение некоторых частных экспериментов позволило сформулировать так называемый принцип предельно острых микроконцентриаторов: у каждого конструкционного материала, выдущего из изготовления больших конструкций, должна существовать некий предельно острый микроконцентриатор, в районе которого влияние остроты выходит из асимптоты. У некоторых материалов вместо предельно острого существует концентратор самой неблагоприятной остроты, так как дальнейшее увеличение остроты даже улучшает положение вследствие повышения прочности материала в первом надрезе и сложного напряженного состояния; впрочем, существа дела от этого не меняется.

Наличие предельно острого микроконцентриатора (или его наиболее неблагоприятной остроты) непосредственно проверяется и определяется при разных видах нагрузок для каждого материала; если их не оказывается, то материал не может быть конструкционным или, по крайней мере, пригодным для изготовления больших конструкций, так как в этом случае нельзя прогнозировать наименьшую гарантированную работоспособность материала. Влияние отмеченных, не вызываемых контролем, микроконцентриаторов различной остроты удобно отнести к свойствам самого материала, как это давно, хотя и не всегда осознанно, делается для ультрамикроконцентриаторов типа дислокаций, вакансий, трещин Гриффитса и т. д. Отсюда возникает очевидная идея искусственного аморганизации предельно острого микроконцентриатора (или микроконцентриатора наиболее неблагоприятной остроты) на каждом образце и проведение испытаний малых образцов с микроконцентриаторами (изделиями). Поскольку судовые конструкции велики, наличие в них какого-то количества естественных предельно острых и наиболее неблагоприятных микроконцентриаторов неизбежно.

Примерка предложенной системы взглядов путем испытаний показала, что разбросы данных при всех испытаниях образцов микроконцентриаторами резко снизились и статистическая обработка их приобрела смысл. При этом в зависимости от вида основных напряженных состояний, уровня технологии и контроля качества работ должны изменяться типы образцов, размеры макро-концентриаторов, виды испытаний, однако общие положения и методы обработки данных остаются теми же.

Рассмотрим другой случай, характерный для испытаний корпучих конструкций. Пусть экспериментальная натурная конструкция A была спроектирована в соответствии с действующими нормами прочности, основанными на значении предела текучести материала σ_t , а затем испытана на циклическое нагружение. Она разрушилась в узле B после n_1 циклов, причем максимальные напряжения там были равны σ_1 . Испытания материала показали, что узел B изготовлен из листа с пределом текучести σ_{t1} , который выше гармонизированного техническими условиями предела текучести σ_t , в k_1 раз. Конструкции данного типа проектируются по принципу полной гарантированной надежности.

Нельзя, конечно, сказать, что, согласно проведенным испытаниям, конструкции из данного материала выдержат n_1 циклов. В большой серии конструкций может оказаться, что узел B будет изготовлен из листа, предел текучести которого равен σ_1 . Поэтому необходимо пересчитать результаты испытаний на указанный более неблагоприятный случай, для чего нужна усталостная кривая материала, дающая число циклов k до разрушения образцов как функцию отношения к действующим напряжениям к фактическому пределу текучести материала $k = n/\sigma_1$. Пусть отношение $\sigma_1/\sigma_{t1} = a_1$, а отношение $\sigma_1/\sigma_t = a_2 > a_1$. Тогда некоторое число циклов N до разрушения конструкций из данного материала равно $N = n_1 [a_2/a_1]/n(\sigma_1)$. Здесь мы имеем простейшее рассуждение, основанное на предположении, что характер усталостной кривой для конструкций как функции k подобен аналогичной кривой для образцов. С помощью такого рассуждения мы получаем приемлемый результат даже при испытании одной экспериментальной конструкции. В противном случае число таких испытаний очень бы возрастала и потребовалась бы их сложная статистическая обработка.

В заключение нашего обсуждения содержательного характера вероятности коснемся вкратце еще одного вопроса. Можно ли говорить о вероятностях уникальных событий или они связаны только с совокупностью массовых событий? В литературе большинство авторов склоняется, пожалуй, ко второй точке зрения, но правы ли они?

Пусть мы создадим уникальную, т. е. сугубо единичную, хотя, может быть, и очень простую конструкцию из совершенно стандартных «массовых» элементов. Поскольку элементы «массовые», они, конечно, имеют свои вероятности безотказной работы, которые в принципе могут быть оценены. (Другое дело, что, как будет по-

казавшие иные, на практике такие оценки часто производятся плохо или даже фактически несущественно с нужной точностью, если конструкция сложна.) Но тогда, зная схему соединения элементов, мы приходим к чисто математической задаче оценки выходной вероятности безопасной работы конструкции по известным входным вероятностям безотказной работы конструктивных элементов. Вряд ли сторонники второй точки зрения откажутся от осмысленности такой задачи, особенно когда конструкция проста.

Однако выходная вероятность относится уже к уникальному событию, так как сама конструкция уникальна; и если не признавать вероятностей уникальных событий, то мы должны ее отбросить, хотя это инициативноизбрано.

Нигде из таких рассуждений отвечают примерно так. Нет, мы все же оставим найденную вероятность, поскольку можно хотя бы принципиально представить себе большую совокупность таких конструкций. И вообще, положение о вероятности как о характеристике непременно массовых событий нельзя покинуть формально — выдвигая его, просто имеют в виду, что в случае единичного события можно сильно ошибиться из-за местных флуктуаций вероятности (вероятность 0,999, а событие все же не произойдет). Только при лаборатории массовых событий можно быть уверенным, что флуктуации ничтожны и вероятность непременно проявляет себя (ставит достоверность). С такой интерпретацией можно соглашаться, скажем, правда, для замечаний.

Во-первых, применение слова «вероятность» к единичному событию, при этом кто спутает его с единичностью, понимая, что вероятность 0,999 еще не достоверность. Впрочем, если тут нужна филологическая строгость, можно использовать для единичных событий слово «част», обозначая его той же буквой, что и вероятность и не менее математических зависимостей. Именно так и поступал еще в XIX в. Курно.

Во-вторых, и в массовых событиях бывают заметные флуктуации вероятностей (но не они и вероятности!). Так, страхование жизни основано на массовых событиях, причем в силу этого страховой бизнес довольно устойчив; однако внесезонные эпидемии уже не раз сильно подводили страховые компании.

2. Методы фактической оценки значений исходных вероятностей. Приведенное ранее общее определение вероятности страдает расплывчатостью в демонстрации методами (критериями) для фактического нахождения значения указанной там теоретической меры. Эти методы довольно часто и не совсем правильно называют определениями вероятности.

Наиболее ранние по времени создания классический метод состоит в использовании физической существующей симметрии, т. е. равноправия между возможными вариантами выхода (события), если, конечно, такая симметрия (равноправие) налицо. Так, вероятность выпадения любой грани кубической однородной kostи равна $\frac{1}{6}$. Пользуясь терминологией Лапласа, можно сказать, что

вероятность в подобных ситуациях равна отношению числа симметричных случаев, благоприятствующих ожидаемому событию, к числу всех вероятных симметричных и неблагоприятных друг с другом случаев.

В качестве примера, из которого будет видна важность способа выбора равновероятных случаев, рассмотрим задачу из статистической физики. Пусть имеется в частиц и N ячеек ($N > n$). Каждая частица может находиться с одной и той же вероятностью U/N в любой ячейке. Найти вероятность того, что в определенных ячейках окажется по одной частице; в каких-то n ячейках окажется по одной частице.

Больцман (статистика Больцмана) принял, что равновероятны любые мыслимые распределения, отличающиеся не только числом, но и индивидуальностью частиц. В каждой ячейке может помещаться любое число частиц от 0 до n .

Каждая частица может находиться в каждой из N ячеек; если бы частица была одна, то существовало бы N различных способов ее размещения. При двух частичках любому способу размещения первой частицы соответствует N способов размещения второй частицы и общее число возможных размещений равно N^2 . При n частичках оно будет N^n .

При определении первой вероятности число благоприятствующих случаев равно $n!$ Следовательно, вероятность нахождения в определенных ячейках по одной частице

$$P_1 = \frac{n!}{N^n}$$

При нахождении второй вероятности число благоприятствующих случаев будет в C_N^n раз больше. Следовательно,

$$P_2 = \frac{C_N^n \cdot n!}{N^n} = \frac{n!}{\frac{N!}{n!(N-n)!}}$$

Боде и Эйнштейн (статистика Боде—Эйнштейна) приняли другую гипотезу: они считали равновероятными любые мыслимые распределения, отличающиеся числом частиц в ячейках, но не индивидуальностью самих частиц. Показано (соответствующего анализа залику его сравнительной сложности не приводим), что число равновероятных случаев, согласно Боде—Эйнштейну, равно

$$\frac{(n+N-1)!}{n!(N-1)!}$$

При нахождении первой вероятности обратны внимание на то, что число благоприятных случаев упало до одного и потому

$$P_1 = \frac{n!(N-1)!}{(n+N-1)!}$$

Число благоприятных случаев для второй вероятности составляет C_N^a , т. е.

$$P_2 = \frac{C_N^a a! (N-a)!}{(a+N-1)!} = \frac{N! (N-a)!}{(N-a)! (a+N-1)!}.$$

Наконец, Ферми и Дирак (статистика Ферми—Дирака) исходили из третьего предположения: в одной ячейке может находиться либо одна частица, либо не находиться ни одной; при рассмотрении равновероятных случаев индивидуальность частицы не принимается во внимание.

Допустим пока, что условие об унитарности индивидуальности частиц нет. Тогда первая частица может располагаться N способами, вторая — только $(N-1)$ способами, третья — лишь $(N-2)$ способами, т. е. общее число способов выражается произведением $N(N-1)\dots(N-n+1)$.

Чтобы включить индивидуальность частиц, следует разделить это число на $n!$. Тогда по гипотезе Ферми—Дирака n частиц могут быть расположены по N ячейкам

$$\frac{1}{n!} N(N-1)\dots(N-n+1) = \frac{N!}{(N-n)!}$$

различными равновероятными способами. Отсюда

$$P_1 = \frac{(N-n)!}{N!}; P_2 = 1.$$

Все три решения показывают глубокую связь задач, где используется классический метод определения вероятностей, с комбинаторным анализом (перестановки, сочетания и пр.).

Отличия классического метода отдают двумя принципиальными недостатками: он не применим к задачам, где невозможно выделить «симметричные», т. е. равновероятные события; выбор симметрических (равновероятных) событий не всегда ясен, что может привести к ошибкам и недоразумениям.

Ввиду очевидности первого недостатка, мы его подробно рассматривать не будем. Второй недостаток убедительно поясняется некоторыми примерами, приводящими Ж. Берtrandу.

Пусть окружность радиусом R пересекается хордой. Какова вероятность, что длина произвольно проведенной хорды окажется больше $2R$ (где $2R < 2R\sqrt{3}$)? Берtrand показывает, что ответ существенно зависит от способа рассуждений при выборе симметрии.

Первое рассуждение. Положение одного конца хорды (скажем, C_1) можно считать произвольным наци симметрическостью всех точек окружности (рис. 1.12, а). Чтобы длина хорды оказалась больше $2R$, необходимо и достаточно попаданием другого ее конца в произвольную точку дуги $C_2C_3C_4$. Поскольку угол $\angle C_1OC_2$, разделяющий $2R$, то дуга $C_1C_2C_3$ соответствует углу 4 арсанс $2R$, а дуга $C_1C_2C_4$ — углу $2\pi - 4$ арсанс $2R$.

Искомая вероятность равна отношению длины дуги $C_1C_2C_3$ к длине окружности, т. е.

$$1 - \frac{3}{\pi} \arcsin \frac{l}{R}.$$

Второе рассуждение. Чтобы длина хорды была больше $2R$, необходимо и достаточно попаданием ее середины в круг радиуса $\sqrt{R^2-l^2}$ (рис. 1.12, б). Вероятность равна отношению площади этого круга к кругу радиуса R , т. е.

$$1 - \frac{R^2 - l^2}{R^2}.$$

Ответы не совпадают.

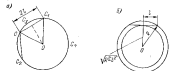


Рис. 1.12.

Обратим внимание, что в физических задачах соображения симметрии и родственные им волны не априорны, а основуты из опыта, хотя иногда и в скрытом виде. Арион в трактате «О равенстве плоских фигур или об их центрах тяжести» приводит математическое доказательство основных зависимостей равенства рычага исходя из нескольких постулатов типа «равные тяжести, подвешенные за равных линий, находятся в равновесии». Казалось бы, поступают интуитивно очевидно — ведь если грузы и плечи рычага равны, то в силу симметрии условий нет причин обеим грузам двигаться различно (одному вниз, другому вверх) и, значит, оба они остаются неподвижными. Однако откуда известно, что равновесие зависит только от величины грузов и от длины каждого плеча? Оно могло бы в принципе зависеть от цвета плеч или грузов, от материала, из которого они сделаны, и т. п. При наименьшей симметрии в весах и длинах плеч возможно великое множество асимметрий другого типа. Следовательно, использовать симметрию допустимо в том и только в том случае, когда из опыта (хотя бы обобщенного) установлена зависимость исследуемого процесса только от факторов, находящихся в условии симметрии.

Если в рассмотренном выше примере Берtrandу хорды проводят «неdummy конкретный человек», то искомая вероятность будет иметь очень косвенное отношение к исходным симметриям обоих рассуждений.

Второй, а в настоящее время основной, метод оценки значения вероятности события называется частотно-статистическим. Суть его такова.

Назовем опытом физическое воспроизведение или изображение объекта, соответствующего данной модели, где выход — рассматриваемое событие A . Многократное повторение опыта называется массовой операцией по отношению к событию A . Отношение числа появлений A данного события к общему числу n всех произведенных

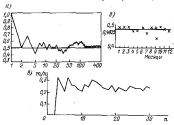


Рис. 1.13.

опытов называется частотой события $r = r(n)$ при данной массовой операции. Имеется широкий класс массовых операций, когда с увеличением их числа n частота $r = r(n)$ постепенно стабилизируется около некоторого значения.

На рис. 1.13, а показана зависимость частоты появления определенной стороны монеты от числа ее бросаний в некоторой конкретной серии опытов (число бросаний отложено по оси общее в логарифмическом масштабе). Очень устойчивы частоты многих параметров демографического характера. На рис. 1.13, б представлена частота рождаемости девочек в Швеции в 1935 г. по месяцам; частота за год составляет 0,482 5.¹ Рис. 1.13, а иллюстрирует изменение частоты $r(n)$ отказов радиоламп определенной марки, работающих в данных условиях в течение данного времени t . Видно, что, начиная с $n = 15$, частота отказов колеблется в узких пределах (0,21–0,26).

Пусть в результате достаточно большого числа опытов n установлено, что частота события A почти для каждой большой группы опытов лишь незначительно отличается от некоторой (вообще говоря,

вероятности определенной) постоянной. Тогда в качестве значения вероятности события A при данных условиях опыта можно принять значение этой постоянной, которое довольно произвольно выбирается внутри интервала изменения частоты, начиная с достаточно большого n . Например, при обработке данных рис. 1.13, б за вероятность отказа в течение времени t допустимо принять любое число в интервале 0,22–0,26. При обработке данных о рождаемости девочек в Швеции за вероятность принято число 0,482 5, равное частоте рождаемости в течение года.

При использовании частотно-статистического метода определения значения вероятности необходимо, чтобы а) каждый опыт и его результат были практически независимы от всех остальных опытов; б) во время всех опытов оставался неизменным статистический фон каждого опыта; в) модель, используемая при опыте, не имела «паразитических» входов, которые отсутствовали в основной статистической модели данной проблемы.

Первое условие довольно очевидно, и мы на нем подробно не останавливаемся. Продемонстрируем его даже простым примером. Так, если произвести слишком большую серию выстрелов из данной пушки, чтобы статистически оценить параметры рассеивания снарядов, то пушка просто износится и результаты последних выстрелов окажутся сильно зависящими от первых выстрелов (вернемся, иногда можно рассматривать и зависящие друг от друга опыты, если исследователь ясно знает «механизм» этой зависимости и он в состоянии рационально учесть его).

Второе условие довольно расплывчато: виду расплывчатости понятия статистический фон. Тем не менее оно очень важно. Скажем, марка и прочие параметры радиоламп (см. рис. 1.13, б) могут оставаться постоянными, но технология их производства, организация труда, психологический микроклимат на радиоламповом заводе могут меняться. Тогда в результате очень больших серий испытаний, проводимых в течение длительного времени, такой стабилизации частоты не наступит. Для ориентировочной оценки вероятности отказа ламп, выпущенных в течение небольшого интервала времени, придется использовать данные коротких серий опытов за предшествующий, также короткий, интервал времени (если между этими интервалами не происходит каких-то новых серьезных изменений условий производства). Особенность точного определения вероятностей здесь складывается в следующем. Другой интересный пример — статистическая оценка параметров морского волнения, необходимая для расчета долговечности корпуса судна. В данном случае она также будет либо ориентировочной и основанной на небольшой серии наблюдений по годам — ведь статистическим фоном тут служит конус Земли, который, безусловно, не стабилен и является довольно неопределенным образом.

При постоянном статистическом фоне перед нами употребляют термины: «статистический ансамбль», «статистическая однородность».

¹ Крамер Г. Математические методы статистики. М., ИЛ, 1948.

Исчерпывающая экспериментальная проверка постоянства статистического фона, вообще говоря, невозможна. Практически для такой проверки обычно поступают так: еще до проведения опыта принимают, что отдельно будут рассмотрены какие-то определенные достаточно большие выборки x_1, x_2, \dots из этих опытов. Если фон постоянный, то частоты событий в этих выборках, как правило, должны стабилизироваться около значений вероятностей, определенного для всей серии из n опытов. Вернемся, с логической точки зрения этот прием не безупречен: мы случайно можем задать такую выборку x_1 , при которой рассматриваемое событие вообще не произойдет, хотя в основной серии оно проходило довольно часто.

Третье условие достаточно очевидно.

Учитывая все сказанное, нужно со всей определенностью констатировать, что: 1) частотно-статистический метод, такие далеко не всесильны, а иногда и совсем не применимы, так как никакой стабилизации частот события не существует; 2) точность частотно-статистической оценки вероятности, даже если такая оценка возможна, далеко не всегда удовлетворительна для целей данного конкретного исследования.

Непонимание второго обстоятельства часто приводит к эфемерным и даже дезориентирующим результатам расчетов надежности изделий и сооружений. В стоком надежности содержатся многое элементов, надежность изделия в целом заходится обычно путем широкого использования теоремы о перемножении вероятностей, следовательно, для получения сколько-нибудь серьезной оценки надежности изделия нужно с тремя, четырьмя и даже пятью знаками знать вероятность безотказной работы каждого элемента. Но такая точность, как правило, недостижима, а попытка произвольных занять последние знаки цифр дает в результате совершенно небескновенную окончательную оценку надежности.

Таким образом, не следует считать такую якобы науку, как теория надежности, к некой прикладной теории вероятностей, что нередко наблюдается в технической литературе. С другой стороны, не следует также исключать теории вероятностей из теории надежности. Скажем, рассмотренный ранее пример с вероятностной оценкой характеристики работоспособности материалов путем изведения в образцы предельно острых микропоницкаторов напряжений довольно хорошо иллюстрирует имеющиеся в этой области реальные возможности.

Третий распространенный метод определения значений исходных вероятностей — так называемые экспертные оценки, когда вероятность наступления того или иного события определяется просто мнениями компетентных специалистов — экспертов, — принципиально и к сугубо индивидуальным событиям, но точности его, как правило, невелика. Несмотря на безусловную «субъективность» указанного метода, не следует относиться к нему с наизнанки презрением — ведь субъективное мнение эксперта безвредно, как правило, на большом и вполне объективном опыте. В настоящее

время имеются работы по научному обоснованию и уточнению метода экспертных оценок [12].

В заключение основного содержания данного подраздела отметим, что нередко используются вероятностные рассуждения, а которые вообще не имеют числовые значения вероятностей. Таков, например, многие оценки справедливости различных научных гипотез: имеется довольно правдоподобная гипотеза A ; приняв ее, мы предсказываем явление B ; явление B действительно обнаружено после его предсказания; отсюда делается вывод о существенном правдоподобии гипотезы A , хотя в принципе нельзя численно оценить отклонение понимания и. Кроме того, не исключено, что явление B может быть объяснято другой гипотезой. Подробности о таких рассуждениях можно найти в [30].

3. Метод Монте-Карло [статистических и с и т а в и и]. Теория вероятностей имеет глубокие связи с языком численных алгоритмов, а нередко оказывается непосредственной основой тех или иных алгоритмических схем.

Метод Монте-Карло (или метод статистических испытаний) представляет собой моделирование на вычислительной машине некого вероятностного процесса, некой статистической ситуации с целью решения определенной вероятностной или даже некоей динамизированной задачи. Поясним его существо на примере численного определения однократных и многократных интегралов.

Пусть нам нужно найти значение определенного интеграла $\int f(x) dx$, т. е., по существу, площадь некоторой фигуры. Задача эта сравнительно проста и обычно решается каким-либо из общепринятых численных методов (Правил Гравиуса, Симпсона и т. п.). Правда, и здесь могут встретиться значительные вычислительные трудности, если форма краевой $f(x)$ имеет сильно осциллирующий характер, т. е. когда для достижения приемлемой точности нужно брать очень малый шаг интегрирования (именно так и происходит в механике при вычислении, например, интеграла Дюамеля).

Сравнительно нетрудно вычислить в двукратный интеграл $\int \int f(x, y) dy dx$, хотя объем вычислений здесь существенно возрастает по сравнению с предыдущим случаем: если раньше требовалось в дифференциальных операций, то теперь потребуется порядка n^4 операций, так как нужно брать однократный интеграл для вычисления каждой единицы второй интегрирования.

Вычисление трехкратного интеграла заставляет выполнять порядка n^6 операций, а п-кратного — порядка n^n операций. В результате вычисление, скажем, шестикратных или семикратных интегралов оказывается затруднительным, а иногда непосильным даже при использовании современных ЭВМ (такие задачи встречаются на практике).

Допустим теперь, что мы хотим взять однократный интеграл $\int_a^b f(x) dx$ методом Монте-Карло. Вспомним (рис. 1.14) фигуру $aABb$ в некий прямоугольник $aAbB$ с известной нам площадью F_b . Представим себе теперь такой физический процесс: мы бросаем в прямоугольник $aAbB$ шары, которые, не вылетая за его пределы, с равной вероятностью могут попасть в любую его точку. Если n — достаточно большое число шаров, то число попаданий в фигуру $aABb$, то частота попаданий n/F_b практически равна вероятности P этих попаданий. Но $P = F/F_b$, т. е. $F = F_b P$, где F — искомая площадь фигуры $aABb$ или значение искомого интеграла.

Описанный процесс можно моделировать на машине, если она снабжена так называемым генератором случайных чисел (точнее шифра), который может выдавать по закону равной вероятности любую цифру от 0 до 9 включительно.

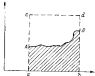
Рис. 1.14.

Пусть мы хотим определить координаты точек попадания с точностью до k значащих цифр, где k определяется возможной точностью вычислений на данной машине в данном режиме ее работы. Запустив k раз генератор случайных чисел, мы получим последовательность p_1, p_2, \dots, p_k цифр. Рассмотрим ее как k -значное число, получившееся в точке попадания в виде $x = a + b \cdot p_1, p_2, \dots, p_k (b-a)$.

Аналогичным образом вычисляем ординату y точки попадания по формуле $y = b - t_1 t_2 \dots t_k (c=0) = b, t_1 t_2 \dots t_k c$ (t_i — новые случайные цифры) и определив, оказалась ли наша шар в $aABb$. Пропуск моделирования.

При однократных интегралах описанный алгоритм целесообразен лишь при сильно осциллирующих $f(x)$, так как число необходимых бросаний определяется только требуемой точностью вычисления интеграла и не связано с осцилляциями. Но он незаменим при нахождении многократных интегралов — там сложная многогранная фигура, выражющая интеграл, вычисляется в известный многогранный параллелепипед; бросание шаров вынуждается нахождением не двух, а большого числа координат. Важно, что объем вычислений растет примерно пропорционально морфии интеграла n , скажем, дваждыкрайний интеграл требует всего в 20 раз больше арифметических операций, чем однократный.

Имеются и более совершенные варианты метода Монте-Карло для вычисления многократных интегралов, чем описанный наиболее простой; они содержатся в специальной литературе [4].



Данный пример использования метода Монте-Карло очень характерен — он наглядно показывает, что фактическую реализацию численного алгоритма почти всегда удобно интерпретировать как прямое численное моделирование некого реального физического процесса. Эту важнейшую, хотя и очень простую, мысль, к сожалению, почти всегда упускают в современной литературе по численной математике.

Методом Монте-Карло передко непосредственно «пронгрызаются» многие вероятностные задачи, если почему-либо затруднительно получить их прямое аналитическое решение.

Особенно интересно и плодотворно использование метода Монте-Карло при анализе вероятностных моделей, связанных с задачами теории игр, теории операций, общего проектирования судов и т. д. При этом, конечно, особое внимание нужно уделять правильному осмысливанию исходной модели, учету в ней всех основных факторов и слагаемых, а также анализу погрешностей, знозных истинностью исходных данных.

§ 4. Постановка и классификация задач численного расчета. Языки классической и неклассической математики

Введенное ранее представление дает возможность рассмотреть общую постановку и классификацию задач любых детерминированных численных расчетов, что очень важно для осмысленного использования соответствующих численных методов. Основная трудность этой постановки и классификации — наличие и одновременное применение трех, по существу совершенно различных, хотя и дополняющих друг друга, языков: языка классической математики, языка неклассической математики первого типа и языка неклассической математики второго типа.

1. Язык классической математики. Постановка и классификация задач на этом языке. Пользуясь языком классической математики, которая признает абстракции абсолютной точности и имитированием причин, условий, следствий, рассмотрим некоторую детерминированную задачу в классе задач определенного типа (рис. 1.15, a).

Имеем совокупность исходных данных, определяющих подобно координатам точку x_1 в пространстве X исходных данных (ПИД). Кроме того, задана система исходных уравнений и дополнительных условий, т. е. левый оператор a_1 из класса операторов A , прообразующий точку x_1 в соответствующую точку y_1 , которая лежит в пространстве Y исходных результатов (ПИР); координаты y_1 суть конкретные интересующие нас результаты. (Иногда набор координат исключительно широк, так как мы не можем найти нужные без каких-то излишних нам субъектов «приложений».) Совокупность X, x_1, A, a_1, Y представляет исходную математическую модель данной физической задачи. Множества X, Y, A имеют строгую идентификацию элементов.

Если задача имеет конкретное физическое содержание, то нередко из физических условий рассматривают не все пространство Y , а некоторое его подмножество $Y^* \subseteq Y$, называемое множеством физически возможных решений. Если задача абстрактна, то автоматически $Y^* = Y$.

Поскольку уравнения и дополнительные условия a_1 преобразуют x_1 в y_1 , лиши ненужно (они просто удовлетворяются после постановки в них любым образом найденного y_1), требуется решить

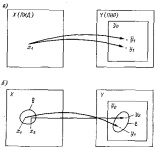


Рис. 1.15.

задачу, т. е. найти линейный оператор (алгоритм, решение) \tilde{b}_1 такого преобразования, позволяющий вычислить y_1 . Точное решение (алгоритм) b_1 вполне эквивалентно a_1 , приближенное решение дает преобразование \tilde{b}_1 значения x_1 не в y_1 , а в некоторую близкую к ней точку y_1 . Применность конкретного приближенного решения оценивается степенью близости y_1 к y_1 . Ясно, что в одинаковых X данное \tilde{b}_1 может оказаться приемлемым, в других нет.

Достаточную для целей конкретного расчета точность \tilde{b}_1 в точке x_1 называют практической сходимостью решения в этой точке или сходимостью в большом (иногда просто сходимостью). В математике часто используются приближенные решения, зависящие от числа принимаемых во внимание параметров (например, от числа удерянемых членов ряда). Тогда сходимостью решения в малом в точке x_1 называется свойство неограниченного приближения y_1

к y_1 по мере неограниченного увеличения числа параметров (пространство Y для этого должно быть топологическим).

Часто линейный оператор a_1 неудобен для получения решения и его преобразуют в оператор другого вида (преобразованный оператор), получая преобразованную математическую модель (например, заменяя дифференциальных уравнений конечно-разностными). Если преобразованная модель не совпадает с исходной, а только близка к ней и зависит от ряда параметров (скажем, шага разности), то здесь также можно говорить о сходимости преобразованной модели в большом и в малом. Преобразованную модель, в свою очередь, нужно исследовать с помощью точного или хотя бы сходящегося решения и т. д.

Не следует смешивать только что указанные преобразованные математические модели с рассмотренными ранее в § 2 эквивалентно преобразованными моделями. Преобразованная модель имеет те же входы и выходы, что и исходная, но в ней по сравнению с исходной заменены, может быть приближение, линейный оператор (точнее, все множество линейных операторов). А в эквивалентно преобразованной модели изменены входы и выходы, причем без всякого нарушения точности оператора.

Кроме указанных ранее общих, т. е. правильного сформулированных или достаточно обусловленных задач, можно говорить о несовместных задачах, где в Y^* нет точки $y_1(x_1)$, и о недостаточно обусловленных задачах, где в Y^* имеется ряд точек $y_{1i}(x_1)$, которые не могут реализоваться одновременно, и где, следовательно, необходимы дополнительные условия для выбора из них нужных нам ответов.³

Иногда задача достаточно обусловлена в одних областях X и недостаточно обусловлена в других, несовместна в третьих, и т. п.

Пример достаточно обусловленной задачи — система двух линейных алгебраических уравнений с двумя неизвестными

$$\begin{aligned} a_{11}x_1 + a_{12}x_2 &= c_1; \\ a_{21}x_1 + a_{22}x_2 &= c_2. \end{aligned}$$

Здесь X — множество всевозможных упорядоченных шестерок вещественных чисел; $x_1 = (a_{11}, a_{12}, a_{21}, a_{22}, c_1, c_2)$ — конкретная шестерка; Y — множество всевозможных упорядоченных пар вещественных чисел; $y_1 = (x_1, x_2)$ — конкретная пара; a_1 — структура уравнения; A — множество, состоящее из одной точки a_1 .

Достаточная обусловленность задачи нарушается на множестве точек $x \in X$, где линейная система равен нулю, т. е. $a_{11}a_{22} - a_{12}a_{21} = 0$.

³ Заметим, что иногда имеется ряд точек $y_{1i}(x_1)$, которые могут реализовываться одновременно. В этом случае задача оказывается правильно сформулированной, несмотря на несовместность a_1 .

Языв оператор δ_1 определяется известными формулами Крамера

$$x_1 = \frac{c_1 c_{22} - c_2 c_{12}}{a_{11} a_{22} - a_{12} a_{21}}, \quad x_2 = \frac{c_1 c_{21} - c_2 c_{11}}{a_{11} a_{22} - a_{12} a_{21}}.$$

Одно уравнение с двумя неизвестными дает хороший пример недостаточно обусловленной задачи, а три уравнения с двумя неизвестными — пример несомненной задачи (всегда случаи, когда одно из уравнений — прямое следствие двух других, т. е. представляют их линейную комбинацию).

2. Язык неклассической математики первого типа. Постановка и классификация задач в этом изыске. Как уже отмечалось ранее, неклассическая математика первого типа оказывается от абстракции абсолютной точности, но при этом забирает абстракцию и наиворождение причин, условий, следствий.

Назовем строго детерминированной задачу, у которой пространство исходных данных X , пространство исходных решений Y и пространство операторов A являются множествами со строгой идентификацией элементов. Попросту говоря, это детерминированные задачи, рассматриваемые классической математикой. Неклассическая математика решает условно детерминированные задачи, т. е. такие, у которых хотя бы одно из указанных множеств является множеством с условной идентификацией элементов.

Каждая условно детерминированная задача может рассматриваться как некоторое многоэлементное или даже бесконечное множество строго детерминированных задач. Возьмем условно детерминированную задачу $y = a_1(x_1)$. Она означает в общем случае, что имеется множество точек $x_1 \cong x_1$ и множество операторов $a_1 \cong a_1$. Возьмем любую точку x_1 , положим, что искомы x_1 , т. е. любой оператор a_1 , полагаем, что иском a_1 . В результате будет образовываться множество точек y , являющихся результатом воздействия оператора a_1 на точку (элементы) x_1 .

Найти решение конкретной условно детерминированной задачи $y = a_1(x_1)$ — значит фактически преобразовать конкретную точку $x_1 \cong x_1$ с помощью конкретного оператора $a_1 \cong a_1$ в конкретную точку y , условно идентичную известной точке множества Y . Решить эту задачу — значит фактически найти совокупность точек из Y , не являющихся условно идентичными между собой, с которыми могут быть условно идентифицированы все точки, представляющие результат преобразования данной точки $x_1 \cong x_1$ с помощью данного оператора $a_1 \cong a_1$.

Используя язык неклассической математики первого типа, нужно прежде всего учсть, что обычно мы не знаем все исходные данные и оператор с абсолютной точностью. Именно поэтому дополнительно вводятся понятия хорошо и плохо обусловленной задачи (рис. 1.15, б). Задача хорошо обусловлена (такое, хорошо обусловлена в большом) в точке x_1 при операторе a_1 , если и только

если, принимая исходные данные в точке x_1 , лежащей в некоторой области δ около точки x_1 , и совершая такие преобразование a_2 , условно идентичное с a_1 , мы всегда получим соответствующую точку $y_2 = y_2(x_1)$ (или точку $y_{2,1}(x_1)$) в пределах достаточно малой области δ (или областей δ_1) около точки $y_1(x_1)$ (или точек $y_{1,1}(x_1)$). Размеры и формы областей δ и δ_1 зависят от изначальных погрешностей в исходных данных и допустимых неточностей результатов (они определяются условиями идентификации в X и Y). Ясно, что если y_2 выходит за пределы δ , т. е. если задача плохо обусловлена, то мы не можем получить ее удовлетворительное детерминированное решение при любом искусстве математика и на любых ЭВМ.

Например, рассмотренная в п. I этого параграфа система двух линейных алгебраических уравнений с двумя неизвестными становится плохо обусловленной в точке x_1 , где детерминант ее близок к нулю (но еще не нуль). С классической точки зрения такие системы имеют точные решения по формуле Крамера в точках не привечательны. Однако даже небольшие погрешности в исходных данных (коэффициентах a_{ij} и членах c_i) приводят к громадным изменениям в значениях x_1 и x_2 , и задача перестает быть решаемой на современных машинах (достаточно точные исходные данные не только неизвестны фактически, но и не могут быть введены в машину даже чисто условно, поскольку должны быть записаны с громадным числом значащих цифр).

Рассмотренная в п. 6 (§ 2) задача о движении материальной точки согласно уравнению (1.4) при начальных зависимостях $y(0) = y_0$, $y'(0) = y_0$ плохо обусловлена, если часы интересуют параметры движения через большой интервал времени: малейшая неточность в значении y_0 приводит к большим ошибкам в указанных параметрах. Вместе с тем, согласно классическим воззрениям, мы не видим тут никаких специфических особенностей и даже имеем точный языв оператор δ_1 , преобразующий исходные данные в искомые результаты.

Приведенная формулировка хорошо обусловленности предполагает, что для любого x_0 из δ количество соответствующих точек $y_{1,1}(x_0)$, когда их много, равно количеству точек $y_{1,1}(x_1)$. Нарушение этого условия также делает задачу плохо обусловленной.

Задача называется хорошо обусловленной в малом в точке x_1 , если и только если в Y : существует конечное множество решений $y_{1,1}(x_1)$; все эти решения в достаточно малой окрестности (x_1, a_1) непрерывно зависят от исходных данных и оператора; мы в одной точке достаточно малой окрестности (x_1, a_1) не получаем новых решений.

Условно детерминированная задача $y = a_1(x_1)$ называется несомненной, если и только если, взяв любую точку $x_1 \cong x_1$ и любой оператор $a_1 \cong a_1$ и предположив, что мы знаем строго идентифицировать элементы множества X , A , Y , мы не сможем найти ни од-

ного решения в Y^0 . Она несомненна в малом, если и только если решением строго детерминированной задачи $y = a_1 |x_1|$ не существует и не возникает в достаточно малой окрестности (x_1, a_1) .

Приведенные ранее признаки плохой обусловленности задачи еще не охватывают всех случаев. Задача называется плохо обусловленной (или плохо обусловленной в большом), если и только если она не является хорошо обусловленной или несомненной. Плохая обусловленность в малом означает, что задача не является хорошо обусловленной в малом или несомненной в малом.

Условно детерминированная задача вполне достаточно обусловлена, если и только если, для любой точки $x_1 \leq x_1$ и любой оператор $a_2 \geq a_1$ и полагая, что мы научились строго идентифицировать элементы множеств X , A , Y^0 , получим достаточно обусловленную строго детерминированную задачу. Ее называют просто достаточно обусловленной, если и только если при тех же предположениях мы получим либо достаточно обусловленную, либо несомненную строго детерминированную задачу. Наконец, будем называть ее недостаточно обусловленной, если и только если хотя бы в одной точке $x_1 \leq x_1$, хотя бы при одном операторе $a_2 \geq a_1$ мы получим недостаточно обусловленную строго детерминированную задачу.

Определение вполне достаточной и просто достаточной обусловленности в малом строятся по уже ясному трафарету.

Очевидно, что та или иная обусловленность задачи в малом не гарантирует ее соответствующей обусловленности в большом, и наоборот. В исследований реального мира нас интересует обусловленность в большом, поэтому проверка обусловленности в малом представляет, по существу, лишь ложный суррогат, часто весьма полезный, если он дополняется некоторыми данными или соображениями.

Из приведенных определений нетрудно сделать заключение, что условно детерминированная задача может быть вполне достаточно и хорошо обусловленной, недостаточно и хорошо обусловленной, вполне достаточно и плохо обусловленной и т. д. Понятия достаточной и недостаточной обусловленности связаны с содержательной расшифровкой ответа, а хороший и плохой обусловленности — с неточностями в исходных данных и в операторе.

Приведенные формулировки можно уточнить и разъяснить, устанавливая связи, которые существуют в некоторых случаях между хорошо обусловленными и достаточно обусловленными задачами. Например, задача может быть недостаточно обусловленной и иметь несколько решений, между которыми, строго говоря, нужно сделать выбор; однако эти решения лежат настолько близко друг к другу, что являются условно идентичными, а потому такой выбор практически бесполезен. Но мы этого делать не будем, отсылая интересующихся к [47].

В литературе [37] понятие хорошей и достаточной обусловленности в малом дополняется и далее заменяется понятием коррект-

ности: задача $y = a_1 |x_1|$ корректна в точке x_1 , если в этой точке решение существует; оно единствено и непрерывно при непрерывном изменении x в некоторой окрестности x_1 . Последнее понятие безусловно отрадно историку, и его значение видится в свое время большим шагом вперед. Но сейчас оно не может считаться вполне удовлетворительным. Во-первых, несуществование решения в данной точке x_1 при данном операторе a_1 и в некоторой окрестности (x_1, a_1) является очень циничной информацией, имеющей всегда глубокое математическое и физическое содержание; поэтому несомненные задачи полезно выделять особо. Во-вторых, задача может иметь несколько одновременно реализуемых с физической точки зрения различных решений; следовательно, нужно не безоговорочно вводить требования непрерывной единственности решения, а для необходимости оговорку. В-третьих, в задаче могут зафиксироваться не только исходные данные, но и оператор, поэтому нужно оговаривать непрерывность решения и от исходных данных, и от оператора. Наконец, в-четвертых, говоря о непрерывной единственности решения в точке x_1 при операторе a_1 , полезно отметить, что в любой бесконечно-малой окрестности (x_1, a_1) не должны появляться новые решения (это вполне вероятно).

В тех случаях, когда та или иная задача недостаточно обусловлена, для физической расшифровки ответа требуется исправленно добавочный физический анализ, т. е. введение в задачу дополнительных условий. Важно подчеркнуть, что он лежит в сфере конкретной науки, формулирующей содержательную задачу, но не в сфере чистой математики, хотя при проведении анализа, естественно, не исключено применение математических средств.

3. Устойчивые и неустойчивые решения. Решения, соответствующие хорошо обусловленной условно детерминированной задаче $y = a_1 |x_1|$, будем называть устойчивыми (или устойчивыми в большом); решения, соответствующие несомненной задаче — несуществующими (или несуществующими в большом); а решения, соответствующие плохо обусловленной задаче — неустойчивыми (или неустойчивыми в большом). Аналогично определяются решения устойчивые, неустойчивые и несуществующие в малом. Все вычисления и другие преобразования, связанные с реализацией оператора, считаются в данных определениях абсолютно точными (условная идентификация вносится в исходные данные в оператор).

Если множества X , A , Y^0 метрикованы и решение данной задачи $y_1 = a_1 |x_1|$ устойчиво, то можно говорить о запасах устойчивости решения. Для этого достаточно построить: во множествах X и A области δ_1 и δ_A точек, условно идентичных точкам x_1 и a_1 ; во множестве Y^0 область δ_{Y^0} близ точек, условно идентичных y_1 и a_1 .

Устойчивость решения означает, что область δ_{Y^0} лежит внутри области δ_{Y^0} .

Теперь можно различным образом оценивать запасы устойчивости. Достаточно, например, заморозить значения координат точек, лежащих в b_1 и b_2 , кроме одной координаты, а затем изменять эту свободную координату до тех пор, пока соответствующая точка во множестве Y^0 не выйдет на границу области b_1 . При этом автоматически выявляется запас устойчивости по свободной координате. Нетрудно по какому-нибудь закону менять сразу несколько координат и т. д.

Вариация неточно заданных исходных данных очевидна. При рассмотрении вопроса о возможных вариациях оператора α в любой конкретной задаче полезно вспоминать очень поучительный пример Ворона.

Возьмем уравнение

$$\alpha x^2 + kx^2 = \text{const.} \quad (1.12)$$

Его периодическими решениями, как легко проверить подстановкой, являются синусоидальные функции, имеющие осцилляторный характер с чередованием максимум—нуль—минимум, и т. д.

Если взять уравнение

$$\alpha x^2 + kx^2 = \cos \omega t + M, \quad (1.12a)$$

то оно уже не будет иметь осцилляторного решения даже при сколь угодно малых изменениях положительного параметра λ . Действительно, дифференцируя (1.12a), имеем

$$(\alpha x + kx)\ddot{x} - \frac{1}{2}\dot{\lambda},$$

что исключает возможность равенства $\dot{x} = 0$ и, следовательно, обращений x в максимум или минимум.

Получив уравнение (1.12a) и отбросив пренебрежимо малый член $\dot{\lambda}t$, мы пришли бы к квазиравновесному решению даже для сравнительно малого интервала времени t . То же самое будет, если мы не заметим этот член при выводе уравнения.

Таким образом, вырызование операторами должно быть очень осторожным. Решение может оказаться крайне неустойчивым по отношению не только к исходным данным, но и к операторам.

4. Некоторые примеры физического характера задачи для получения ее достаточной обусловленности в устойчивого решения. Как уже отмечалось выше, некоторые недостаточно обусловленные математические задачи могут быть успешно решены, если в дополнение к их исходной формальной математической постановке пропустить физический анализ.

Пусть исследуются [36] периодические установившиеся колебания нелинейной механической системы с одной степенью свободы, определяемое уравнением типа Диофанга

$$\ddot{x} + \alpha^2 x + \beta^2 x + \gamma^2 x^3 = P_0 \sin \omega t, \quad (1.13)$$

где α^2 , β^2 , γ^2 , P_0 , ω — положительные вещественные числа.

С помощью известного метода Бубнова—Галеркина или других методов можно весьма точно построить амплитудно-частотную кривую (рис. 1.16, a), если воспользоваться первым приближением

$$x = A_0 \sin(\omega t + \phi), \quad (1.14)$$

где A_0 — искомая амплитуда; ϕ — фаза колебания.

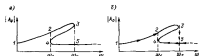


Рис. 1.16.

В довольно широкой области частот $\omega_1 < \omega < \omega_2$ решение оказывается трехзначным, т. е. задача недостаточно обусловлена. Однако дополнительный анализ устойчивости движения позволяет установить, что периодические колебания, соответствующие величинам $\phi = 0$, неустойчивы и, следовательно, физически как установившиеся существовать не могут.

Кроме того, нетрудно внести в рассмотрение «историю установления колебаний». Оказывается, если подъем частоты возмущающей силы проектируется постепенно от нуля до значения ω_0 , находящегося в промежутке $\omega_1 < \omega < \omega_2$, то соответствующая амплитуда A_0 должна сниматься с кривой 2—3 (рис. 1.16, б); если же частоты были сперва увеличены до значения $\omega > \omega_2$, а затем уменьшены до $\omega_1 < \omega < \omega_2$, то амплитуды колебаний будут соответствовать ветви 4—5, и т. д.

Таким образом, физический анализ позволяет дополнить исходные данные (учесть историю установления процесса) и оператор (ввести операцию отсечения ветви 4—5). Это дает возможность выделить единственное решение, осуществляющее в каждом конкретном случае.

Если уравнение (1.13) описывает не установившиеся колебания во времени, а лишь периодический процесс, то его периодические решения по-прежнему следует исскать в виде (1.14). В этом случае получим амплитудно-частотную кривую, показанную на рис. 1.16, б. Однако здесь предположение недостаточной обусловленности задачи

в диапазоне $\omega_1 < \omega < \omega_2$ потребует другого физического анализа и может дать совсем иные результаты.

Часто необходимый дополнительный анализ мы делаем автоматически. Возьмем показательную задачу, которая сводится к решению квадратного уравнения

$$ax^2 + bx + c = 0, \quad (1.15)$$

где x — неизвестное; a , b , c — известные вещественные числа.

Явно заданный оператор, соответствующий (1.15), имеет вид

$$x_{1,2} = \frac{-b \pm \sqrt{b^2 - 4ac}}{2a}; \quad (1.16)$$

множественность (1.16) делает задачу решения (1.15) в общем случае недостаточно обусловленной.

Однако очень часто множество U^α физически возможных объектов состоит из вещественных чисел, и мы прямо исключаем комплексные корни. Кроме того, во множестве U^α нас заранее интересуют лишь положительные решения, и, допустив два корня, один из которых положительный, а другой отрицательный, мы уверенно выберем один из них.

Остается более построено из случаев, когда множество U^α состоит из вещественных чисел, а величина $b^2 - 4ac = 0$, но значения b , a , c могут иметь в принципе разбросы (погрешности), равные соответственно $\pm \epsilon_b$, $\pm \epsilon_a$, $\pm \epsilon_c$. Ясно, что такая условие детерминированная задача недостаточно обусловлена. Но пусть известно дополнительное физическое условие, на которого следует, что вещественное решение указанной задачи осуществляется. Тогда при малых ϵ можно полагать $x = -b/2a$.

Возможность достижения достаточной обусловленности задачи путем добавочного анализа физических факторов не всегда реализуется в действительности. И тогда задача так и остается недостаточно обусловленной.

Если решение неустойчиво, то добиваться его устойчивости можно только уменьшением условий идентификации элементов множеств X и A (когда это возможно).

Обратим внимание на один важный частный случай.

Решение условия детерминированной задачи $y = a_1 |x|$ называется абсолютно неустойчивым, если нарушение строгой идентификации хотя бы в одном из множеств X , A полностью лишает нас возможности судить о решении. Соответствующая задача называется абсолютно плохо обусловленной. Подчеркнем, что понятие абсолютной неустойчивости не совпадает с понятием неустойчивости в целом. Примером абсолютно плохо обусловленной задачи может служить уже рассмотренное выше определение производной от функции. Причины абсолютно плохой обусловленности различны. Задача $y = a_1 |x|$ может быть абсолютно плохо обусловленной потому, что в бесконечной близости к x_1 имеются отдельные точки, где решение не существует, хотя в x_1 оно существует, и т. д.

Как мы уже видели, хорошим приемом решения абсолютно плохо обусловленной задачи может являться ее замена другой, даже более актуальной или для задачей.

5. Решение некорректных задач методом регуляризирующих функционалов. Рассмотрим в наших познаниях очень важный метод регуляризирующих функционалов А. Н. Тихонова [38].

Пусть $z = R(\mu)$ определяет «решение» z по исходным данным μ задачи. Пусть, далее, объекты z и \bar{z} являются элементами (точками) метрических пространств Z и U , т. е. в U и Z введены понятия расстояния $\rho_u(u_1, u_2)$, $\rho_z(z_1, z_2)$, когда $u_1, u_2 \in U$; $z_1, z_2 \in Z$. Всего точного z мы знаем такое приближение \bar{z} , что $\rho(u, \bar{z}) \ll \delta$. Следовательно, приближенное значение решения будет $\bar{z} = R(\bar{u})$.

Если задача $z = R(\mu)$ корректна,¹ то любому сколь угодно малому $\delta > 0$ соответствует такая точность $\delta(\delta)$, что из условия $\rho(u, \bar{u}) \ll \delta(\delta)$ следует $\rho(z, \bar{z}) \ll \delta$. В случае некорректных задач решение $\bar{z} = R(\bar{u})$ уже не может обеспечить любой нужной точности при любой сколь угодно большой, но конечной точности задания исходных данных.

Для решения некорректных задач А. Н. Тихонов предлагает заменить исходный функционал R специальным параметрическим функционалом $R(\bar{u}^\alpha, \alpha)$, называемым регуляризирующим оператором. Искомое приближенное решение находится как

$$z^\delta = R(\bar{u}^\delta, \alpha) \quad (1.17)$$

при $\alpha = \alpha(\delta)$.

В работе [38] сказано:

«Будем говорить, что параметрический функционал $R(\bar{u}, \alpha)$ регуляризирует решение задачи $z = R(\mu)$ ($\mu \in U$, $z \in Z$),

— если $R(\bar{u}, \alpha)$ определен для всяко $\alpha > 0$, любого $\bar{u} \in U$ и непрерывен по \bar{u} ;

— если $\bar{z} = \bar{u}$, то существует такое $\alpha(\delta)$, что для любого $\delta > 0$ найдется такое $\bar{u}(\delta)$, что если $\rho_u(\bar{u}^\delta, \bar{u}) \ll \delta(\delta)$, то $\rho_z(\bar{z}^\delta, \bar{z}) \ll \delta$, где $\bar{z}^\delta = R(\bar{u}^\delta, \alpha)$, $\alpha = \alpha(\delta)$.

Очевидно, всякий регуляризующий функционал вместе с выбором $\alpha(\delta)$ определяет устойчивый метод приближенного построения решения уравнения $z = R(\mu)$. Очевидно также, что для каждой задачи можно определить много регуляризующих функционалов. Параметр α может быть не только числовым, но и иметь более сложную структуру.²

¹ Предполагаем, что математическая задача поставлена корректно, если: решения задачи существует; задача имеет единственное решение; решение задачи непрерывно зависит от исходных данных [37].

² Согласно обозначениям, приведенным в работе [38], в приведенной записи \bar{z} , \bar{u} — точные значения z и u ; A — оператор и задача $\alpha = A(z)$.

Вернемся к задаче нахождения производной от приближенно заданной функции $f(x)$. Это типично некорректная задача. В работе [10] для нее указан регуляризующий функционал

$$\tilde{f}(x) = R(f, \alpha) = \frac{\tilde{f}(x+\delta) - \tilde{f}(x)}{\delta}, \quad (1.18)$$

очень напоминающий обычную формулу для нахождения производных.

Параметр $\alpha = \alpha(\delta)$ определяется по формуле

$$\alpha(\delta) = \frac{\delta}{\eta(\delta)}, \quad (1.19)$$

где $\eta(\delta)$ — любая функция, удовлетворяющая условиям

$$\alpha(\delta) = \frac{\delta}{\eta(\delta)} \rightarrow 0 \text{ при } \delta \rightarrow 0;$$

$$\eta(\delta) \rightarrow 0 \text{ при } \delta = 0.$$

При достаточно малых δ предлагается считать

$$\tilde{f}^0 = R(\tilde{f}^0, \alpha(\delta)) \approx \frac{df}{dx}$$

Мы говорим «предлагается», поскольку на самом деле, как показано выше, при любом сколь угодно малом, но не равном нулю δ истинная производная $f'(x)$ может сколь угодно отличаться от $\tilde{f}'(x)$, определяемой (1.18) или любым другим сконструированным функционалом от $\tilde{f}(x)$. Она вырождается в точке разной $f'(x)$ только при $\delta = 0$.

Метод регуляризующих функционалов, как и любой другой метод, в принципе не может дать представления об истинной производной $f'(x)$, если сама функция $f(x)$ задана не абсолютно точно.

Имеет ли смысл с учетом сказанного пользоваться регуляризующими функционалами? Да, имеет.

Дело в том, что случайная запись $f(x)$ какими-то приборами с погрешностью $\pm \delta$ часто дает «зарокование» этой записи внутри рассматриваемого канала, причем последние обусловлено просто случайным разбросом данных, а не физическими свойствами функции $f(x)$. Проанализировав (1.18), нетрудно видеть, что при малых δ параметр α всегда берется больше 0; это сильно склоняет биномное разброса экспериментальных данных и делает более достоверными наши представления о средней производной $f'(x)$ (так сказать, о «головах» значения производной).

Аналогичным образом дело обстоит и в других случаях использования метода регуляризующих функционалов. Не решая исходную задачу, он приводит, как правило, к некоторой замене поставленной некорректной задачи близкой к ней и даже более нужной корректной задачей. Его «сомнительное» использование всегда дает положительный эффект. Но при этом необходимо, хотя бы в

скрытом виде, дополнительный физический анализ исходной задачи с учетом неполнения абстракции абсолютной точности.

Наоборот, формальное использование этого метода может привести к сбоям. Проанализируем свою задачу о расчете производной болты по данным записи скорости сопротивления механизма (см. рис. 1.3, a). Пусть величина δ сравнивательно велика и мы уже не можем сказать, что составляющие осцилляций $f(t)$ внутри канала шириной 2δ не сдвигаются болтами. Тогда, определив приближение производной $\tilde{f}'(t)$ методом регуляризующих операторов, мы допускаем значительную погрешность и неверно рассчитаем болты. Никакая регуляризация тут ничего не даст. А оценить необходимую точность δ можно лишь из физического анализа динамических характеристик болтов.

6. Хорошо и плохо совместные задачи. Полученные определенным способом решения нередко проверяют, поставляя их в исходный неявно заданный оператор, причем «удовлетворение» этого оператора (т. е. уравнений и дополнительных условий) рассматривают как необходимый и достаточный критерий доказательной точности ответа. На самом деле все гораздо сложнее.

Пусть мы имеем очень хорошо обусловленную задачу, когда даже эпизодические изменения исходных данных x_0 по сравнению с «точными» данными x_1 (см. рис. 1.15, б), не могут быть в изменении оператора, не приводят к сколько-нибудь заметным изменениям результата y_2 по сравнению с «точным» результатом y_1 . Пусть, дадим, как это обычно бывает в практических задачах, решение u непрерывно изменится с изменением исходных данных x_0 . Тогда, наилучшим или иным способом y_2 довольно (но не очень) близким к y_1 и подставив его в оператор, мы удовлетворим его только при исходных данных $x_{0,0}$ весьма далеких от данных x_0 . А так как мы подставляем исходные данные x_0 , гораздо более близкие к x_1 , чем $x_{0,0}$, то удовлетворение исходных уравнений и условий не приводит, хотя, повторяю, на самом деле наши решения вполне удовлетворительно по точности. Следовательно, «удовлетворение» исходного неявно заданного оператора далеко не всегда обязательно для обеспечения доказательной точности результатов, а очень хорошо обусловленность задачи с этой точки зрения — не всегда абсолютное благо. Иногда дело лежит до того, что, оперируя данными числами и значениями цифр, мы в принципе не можем достаточно точно нарасти искомый результат, чтобы удовлетворить наш неявный оператор.

Наоборот, пусть задача плохо обусловлена, т. е. даже эпизодические изменения исходных данных x_0 по сравнению с «точными» данными x_1 приводят к очень значительным изменениям результата y_2 по сравнению с «точным» результатом y_1 . Тогда, наилучшим или иным способом ответ задачи y_2 , весьма далекий от истинного ответа y_1 , и подставив его в неявный исходный оператор, мы удовлетворим последний при исходных данных $x_{0,0}$, очень близких к действительным исходным данным x_0 . А так как мы и берем

такие близкие данные, то удовлетворение оператора практически всегда обеспечено даже при неудовлетворительных по точности ответах. Следовательно, «удовлетворение исходного линейного оператора не всегда является и достаточным критерием приемлемости результатов».

Таким образом, нелепообразно введение понятий хорошо и плохо совместных задач. Сущность этих понятий очевидна из только что изложенного. Очищика и санье хорошей совместности с плохой обусловленностью и плохой совместности с хорошей обусловленностью. Примеры хорошо и плохо совместных задач нам еще не раз встретятся в дальнейшем.

В заключение заметим, что, рассуждая о хорошо и плохо совместных задачах по сравнению с хорошо и плохо обусловленными, мы уже не имеем права иметь в виду «точного» преобразования не точных исходных данных x_i в некоторое y_i и обратно (как это мы делали при анализе устойчивости решений), поскольку тогда y_i непременно преобразуется точно в x_i и не во что другое. Здесь следует учитывать все виды погрешностей, входящие при вычислении и даже записи результата с определенным числом значащих цифр.

7. Язык неклассической математики второго типа. Постановка и классификация задач на этом языке. Отбросив абстракцию инвариантности причин, условий, следствий, мы приходим к неклассической математике второго типа. Постановка задач при этом еще более расширяется и уточняется. Одновременно появляются новые возможности для усиления особенностей каждой данной задачи и разумного использования их.

Рассмотрим для иллюстрации сказанного пятый неразрезной балки постоянного сечения, опорной на n абсолютно жестких промежуточных опор (рис. 1.17, а). Используем известный способ Найла, т. е. прием за неизвестные реакции промежуточных опор (рис. 1.17, б) и составим систему n алгебраических уравнений вида

$$\delta_{ii}R_1 + \delta_{ii}R_2 + \dots + \delta_{ii}R_j + \dots + \delta_{ii}R_n - o_i(Q) = 0, \quad (1.20)$$

где δ_{ii} — коэффициент податливости балки в точке i от единичной силы, приложенной в точке j ; j и i — точки, соответствующие j -й и i -й опорам; R_j — значение реакции на j -й опоре; $o_i(Q)$ — прогиб балки без промежуточных опор в точке i под действием внешней поперечной нагрузки Q .

Каждое уравнение типа (1.20) выражает равенство нулю прогиба в точке i .

Если исходить из строго классических положений, то мы получим вполне строго детерминированную задачу, которая имеет единственное и вполне определенное решение. Известны и точные (с точки зрения классической математики) алгоритмы ее конкретного решения — скажем, известный алгоритм Гаусса. Применим их, мы решим в ряде случаев десятки тысяч уравнений с десятками тысяч неизвестных. Все, казалось бы, истро и тривиально.

Но что получается на практике?

Все хорошо, если число опор невелико (не более 5—10). Но, действительно, можем получить искомое решение без мощных ЭВМ, а лишь с помощью арифметики. Но пусть $n = 10\,000$ и требуется, допустим, рассчитать прочность рампы узкоколейки длиной 10 км с расстоянием между шпалами в 1 м, проложенной по жесткой эстакаде. Тогда нам не помогут и ЭВМ, так как мы часто не сможем не только найти эти R_j , но даже записать с требуемой

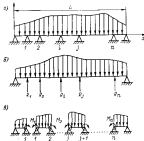


Рис. 1.17.

точностью их значения выше ограниченностии числа знаков машинь. Действительно, поскольку δ_{ii} растут пропорционально L^3 , они приобретут громадные значения и тогда малейшая неточность ϵ_d всего в одном значении R_k приведет к большой погрешности в уравнениях, равной $\delta_{kk}\epsilon_d$ в произвольном k -м уравнении.

Многие разъясняют, если дополнить язык классической математики языком неклассической математики второго типа видно, что задача плохо совместна и именно это обусловливает возникшие затруднения. Но почему она плохо совместна? И что делать для решения практического вопроса?

Если перейти к языку неклассической математики второго типа и проанализировать причинно-следственные связи, то станет ясным, что заявленная плохая совместность исключительно не вредят рассматриваемой реальной конструкции: ведь реакции R_j есть следствие установки в соответствующих местах жестких опор. Несколько словами, в нашем случае автоматически устанавливаются

и притом с абсолютной точностью такие значения реакций, при которых прогиб над любой опорой оказывается равным нулю. Мы же в наших уравнениях нарушаем причинно-следственную связь и стали определять такие активно прикладываемые силы R_i , которые обусловили бы прогиб в любой точке i равным нулю. При этом задача оказалась плохо совместной, что очень портит расчет.

Становится ясным и путь дальнейших действий: нужно изменить систему величин, принимаемых за неизвестные, и составить новую исходную задачу. Обычно оказывается достаточно удалить систему уравнений, получаемых по известной теореме о трех моментах, когда за неизвестные принимают внутренние спиральные моменты в сечениях над опорами (рис. 1.17, а), хотя и здесь неизвестные — тоже следствие процесса изгиба, т. е. и здесь мы нарушаем систему естественных причинно-следственных связей (мачта горизонтальная, нарушение указанных связей не всегда губительно).

Только что описанный прием очень характерен и широко используется на практике. Назовем его способом (принципом) перехода к эквивалентной классической модели. Он состоит в том, что исходную математическую модель задачи с характерными для нее входами и выходами эквивалентно преобразуют (в смысле классической математики) в другую модель с другими входами и выходами (см. § 2). В общем это не что иное, как замена основных неизвестных. Такое преобразование изменяет чувствительность выходов по отношению к вариациям входов, т. е. влияет на степень обусловленности и совместности соответствующих задач. Вместо формальной (игнорирующей) записи переменных в первоначальной модели нередко полезно иметь кроме неизвестных также из физических соображений и заведомо составить соответствующую модель.

Возьмем теперь другую инженерную задачу. Пусть имеется однопролетная балка длиной L , загруженная нагрузкой Q . Мы хотим присоединить к ней систему гидравлических домкратов, подпирающих балку в точках $1, 2, \dots, i, \dots, p$. Успех, создаваемый домкратами, мы регулируем с некоего центрального пульта и хотим, чтобы прогибы над домкратами были равны нулю.

Мы снова можем получить систему уравнений (1.20), однако теперь она будет совершенно точно отражать не только идеальные условия, но и причинно-следственные связи в реальном изучаемом процессе. Поэтому совместность задач здесь означает одно: для исправления работы конструкции нужно с неизбыточной точностью задавать усилия домкратов. А так как на практике это невозможно, то мы получаем сигнал о принципиальном дефекте самой конструктивной схемы. «Исправлять» постановку задачи путем перехода от первоначально выбранной системы неизвестных к другой системе у нас нет никаких оснований.

Следовательно, естественная постановка задачи без нарушения причинно-следственных связей рассматриваемого процесса обязывает рядом преимуществ. Главное из них — соответствие влияния

всех неизвестностей в решении всем неизвестностям в процессе, что позволяет в случае затруднений при решении не переформулировать задачу, а истолковывать их применительно к процессу.

Вместо использования теоремы трех моментов, которое все же приводит иногда к неоправданным затруднениям, можно явести естественную постановку задачи и для случая изгиба балки на жестких опорах. Она будет в гораздо более общем виде сообщена в главе 3-й.

В литературе вместо термина естественная поставленная задача, т. е. задача, где соответствующая математическая модель активна, традиционно пользуются термином «прямая задача» или «обратная задача», если соответствующая модель пассивна или хотя бы немнога. Однако, види эти понятия, часто придают им какой-то абсолютный смысл, не учитывая, что одна и та же по математическому содержанию модель может в одном физическом процессе давать прямую задачу, а в другом — обратную.

Будем называть алгоритмами и критериями обусловленности задачи те конкретные алгоритмы и критерии, с помощью которых производится условная идентификация элементов множеств X , A , Y .

Теорема 1.2. Пусть имеется активная информационная модель собственно кинечно-факторного объекта, позволяющая получать следящие об его свойствах. Рассмотрим эту модель (если возможно) как условно детерминированную задачу, в которой множества X и A выражают параметры генетической идентификации объектов данного типа; конкретные точки x_1 и a_1 — конкретные параметры генетической идентификации данного объекта; множество Y — все решения $y = a_1(x_1)$ — возможные и конкретные свойства объекта (параметры результатирующей идентификации). Зададим алгоритмы и критерии оценки практической однозначности параметров генетической идентификации объектов (условия генетической идентификации), а также алгоритмы и критерии практической однозначности свойств объекта (условия результатирующей идентификации) и отождествления их с алгоритмами и критериями обусловленности задачи.

Тогда вполне достаточная и хорошая обусловленность этой задачи означает детерминированную устойчивость объектов данного типа, генетически идентичных рассматриваемому объекту, в отношении свойств (параметров результатирующей идентификации), определяемых точками $y \in Y$.

Доказательство теоремы прямо следует из внимательного соотнесения соответствующих определений. Обратная теорема в общем случае поверна (например, задача может быть недостаточно обусловлена, а объект вполне устойчив).

Может оказаться полезной следующая очевидная теорема.

Теорема 1.3. Пусть выполнено все перечисленное в первом абзаце теоремы 1.2 и пусть, кроме того, имеет место хотя бы одна из следующих ситуаций:

1) в точке x_1 , при операторе a_1 нет ни одного решения $y_1 \in Y^0$, но хотя бы в одной точке $x_2 \neq x_1$, хотя бы при одном операторе $a_2 \neq a_1$ есть хотя бы одно решение $y_2 = a_2[x_2] \in Y^0$ и нет ни одного решения $y_2^0 = a_2[x_2] \in (Y/Y^0)$;

2) в точке x_1 при операторе a_1 есть хотя бы одно решение $y_1 = a_1[x_1] \in Y^0$ и нет решения $y_1^0 = a_1[x_1] \in (Y/Y^0)$, однако хотя бы в одной точке $x_2 \neq x_1$, хотя бы при одном операторе $a_2 \neq a_1$, нет ни одного решения $y_2 = a_2[x_2] \in Y^0$;

3) в точке x_1 при операторе a_1 есть пустое множество решений $y_1^0 = a_1[x_1] \in Y^0$ и нет решений $y_1^0 = a_1[x_1] \in (Y/Y^0)$, однако хотя бы в одной точке $x_2 \neq x_1$, хотя бы при одном $a_2 \neq a_1$ имеется пустое множество решений $y_2^0 = a_2[x_2]$, ни одно из которых не является условно идентичным ни с одним y_i^0 .

Тогда объекты данного типа, генетически идентичные данному объекту, детерминировано неустойчивы в отношении свойств (параметров реализующей идентификации), определяемых точками $x \in Z$.

Интересен случай, когда при условиях первого абзаца теоремы 1.2 задача $y = a_1[x_1]$ несоставна. Это значит, что все объекты, генетически идентичные данному, просто не имеют свойств, описываемых точками $y \in Y^0$, а следовательно, в определенном смысле устойчивы.

§ 5. Устойчивость численных алгоритмов. Общая схема численного решения задач

В предыдущем параграфе мы вводили точные и приближенные, но сходящиеся алгоритмы решения, т. е. явно заданные операторы задач, позволяющие, что вычисления по этим алгоритмам производятся абсолютно точно (без округлений).

Но погрешности окружений независимы, и потому, помимо анализа постановки задачи, возникает необходимость анализа устойчивости алгоритма, т. е. степени чувствительности окончательных результатов к этим погрешностям. Неустойчивый алгоритм может привести к совершенно искаженному результату, даже если он абсолютно точен в смысле классической математики, а исходная задача очень хорошо и достаточно обусловлена.

Правда, влияние накопления погрешностей окружений несколько снижается при увеличении числа значащих цифр, бываемых машиной. Тем не менее слишком уповать на это не следует, поскольку, во-первых, рост числа значащих цифр современных машин идет медленно, во-вторых, усложнение решений задач и удлинение программ ставит вопрос борьбы с погрешностями все более остро и, в-третьих, борьба с накоплением погрешностей дополнением учитывающих знаков часто неэффективна, так как даже при забывании удлинении цепочки вычислений отмеченное накопление обычно возрастает очень сильно.

В данном параграфе проблема устойчивости алгоритмов рассматривается с изложением выше позиций, касающихся устойчивости объектов и решений.

Основные положения заключаются в следующем.

Всякая конкретная реализация численного алгоритма есть реальный процесс, имеющий свои конкретные причинно-следственные связи, свои параметры генетической и регулирующей идентификаций. Поэтому подход к устойчивости алгоритмов вполне аналогичен подходу к устойчивости реальных процессов.

Существуют три основных принципа, определяющих рациональное построение алгоритмов: принцип соответствия устойчивости алгоритма к рассматриваемому объекту; принцип максимальной возможной устойчивости алгоритма; принцип соответствия устойчивости алгоритма к рассматриваемому решению. Согласно первому принципу, алгоритм строится таким образом, чтобы он численно моделировал изучаемый физический объект, включая его устойчивость. Второй принцип состоит в конструировании алгоритма как процесса с максимальной устойчивостью в последующем рассмотрении решения с классическими позициями. Третий принцип заключается в том, чтобы обеспечить адекватность устойчивости алгоритма и искомого решения. В случае исходной активной модели первые и третий принципы совпадают.

Одновременно с анализом алгоритмов целью параграфа является рассмотрение общей схемы численного решения задач.

1. Основные определения. Детерминированный алгоритм или просто алгоритм будем называть детерминированной конечной последовательностью каких-то операций, производимых над исходными объектами (данными) для получения необходимого результата. Это какой-то частный вид явного оператора.

Некоторые операции алгоритма бывают абсолютно точными, например операции современной формальной логики. Другие в принципе всегда выполняются с некоторой погрешностью, скажем операции измерения непрерывных величин. В соответствии с этим целесообразно различать алгоритмы с точно выполнимыми операциями, приближенно выполняемыми операциями и операциями смешанного типа.

Поскольку вычисления производятся с ограниченной точностью (практически ограничено число значащих цифр) вместе с тем включают логические операции, численные алгоритмы относятся к третьему типу.

Переходя к детальному анализу понятия устойчивости алгоритма, заметим, что под этой устойчивостью передко понимают три существенно разные вещи:

1) степень нечувствительности по отношению к прымым ошибкам в составлении и реализации данной алгоритмической схемы;

2) степень влияния так называемых внешних погрешностей алгоритма, связанных с его приближенностью в смысле классиче-

ской математики (замена дифференциальных уравнений конечноточечными и т. д.);

3) степень нечувствительности к погрешностям, возникающим из-за округления значащих цифр (так называемые внутренние погрешности алгоритма).

Нечувствительность первого рода, прямо или косвенно рассматривается в работе [22], неразрывно связанна с проблемой надежности. Мы назовем ее надежностью алгоритма и заниматься ею не будем, поскольку она относится к области рационального программирования.

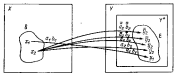


Рис. 1.18.

Внешние погрешности сплошны, по нашей терминологии, со сходимостью алгоритма (см. § 4), а не с его устойчивостью. Как уже отмечалось ранее, устойчивость алгоритма (точнее, устойчивость в большом), мы называем достаточную степень его нечувствительности по отношению к внутренним погрешностям, которые обусловлены округлениями значащих цифр. Иными словами, алгоритм устойчив, если реализующая погрешность, вносимая окружениями, не превышает некоторого определенного и заранее ограниченного значения.

Данный алгоритм будем называть устойчивым в малом (суррогат понятия устойчивости в большом), если и только если мы можем сколь угодно уменьшить реализующую погрешность округления за счет достаточного увеличения значащих цифр при сокращениях. В случае моделей и алгоритмов с эквивалентным числом параметров необходим, кроме того, переход к пределу по числу параметров (изделию переходу и эквивалентному времени в теории устойчивости движений, разработанной Лапуновым и его последователями).

Полная картина возможных неточностей и погрешностей при численном решении задачи представлена на рис. 1.18, где X — пространство исходных данных; Y — пространство якобы возможных решений; δ — область возможных разбросов исходных данных; E — область допустимых погрешностей исходных результатов; x_1 , x_2 — исходные дан-

ные; y_1 — приближенные исходные данные, которые фактически закладываются в решение; \bar{a}_1 и \bar{b}_1 — соответственно левый и правый точный оператор задачи; a_1 и b_1 — соответственно левый и правый оператор задачи, условно идентичный \bar{a}_1 и \bar{b}_1 ; \bar{a}_2 и \bar{b}_2 — соответственно левый и правый преобразованный оператор задачи, определенный без учета погрешности округления, но учитывающий внешнюю погрешность преобразованной модели; \bar{b}_2 — левый преобразованный оператор, учитывающий внешнюю погрешность преобразованной модели, внешняя погрешность левого оператора и его нарушение погрешности; y_2 , y_3 , \bar{y}_2 , \bar{y}_3 , \bar{x}_2 — решения, т. е. результаты решения соответствующих операторов. Задача решена численно с достаточной точностью, если и только если y_2 не выходит за пределы области E , окружающей y_1 .

Устойчивость алгоритма определяет расстояние между \bar{y}_2 и \bar{y}_3 .

Погрешности, обусловленные неустойчивостью \bar{b}_2 , могут быть очень большими, как это видно из такого простейшего примера.

Пусть мы решаем численно уравнение вида $\frac{dy}{dt} = p(t)y$ при начальном условии $y(t_0) = y_0$, в точке $t_0 < 0$, хотя закон и аналитическое выражение его общего интеграла $y = y_0 e^{\int_{t_0}^t p(t) dt}$.

Положим для определенности $p(t) = \ln 10$ при $0 < t \leq 10$ и $p(t) = 0$ при $t > 10$.

Допустим теперь, что, проходя точку $t = 0$ при последовательном построении интегральной кривой, мы сделали погрешную окружление в значения y , равную $\varepsilon = 10^{-4}$, а все предыдущие в все последующие вычисления производили совершенно точно. Тогда при $t > 10$ указанная погрешность приведет к неточности в y , составляющей 10^4 .

Большие неточности дают и другие погрешности при других значениях t .

Погрешность, определяемая расстоянием между y_1 и y_2 , называется неустойчивостью, поскольку она обусловлена самой поставленной задачей (её хорщиной или плохой определенностью) и никаким образом не зависит от дальнейших усилий математика, решавшего задачу, или от возможностей применяемой ЭВМ. Впрочем, математик может принять участие в целесообразном переформулировании исходной задачи (если это возможно) и таким образом как-то влиять на эту погрешность.

Если преобразованная математическая модель очень точна (имеет наскокую сходимость) и примененный алгоритм также очень точен и устойчив, то это означает, что расстояние между y_1 и y_2 мало по сравнению с размерами области Ω . Тогда нетрудно оценить неустранимую погрешность задачи и устойчивость ее решения. Для этого достаточно пройти ряд расчетов, меняя исходные данные в пределах точности последних. Однако если все неизвестности, вносящие преобразованной моделью и алгоритмом, довольно велики и соизмеримы с размерами области Ω или же неопределены, то подобный способ оценки становится невозможным.

И вообще, в настоящий момент, как правило, гораздо легче получить численное решение задачи, чем разумно и обоснованно оценить раздельно или суммарно все виды погрешностей. И здесь можетоказать большую помощь анализ, проводимый с позиций неklassической математики.

2. Оценка точности решений методами итерации и варьирования исходных данных. В ряде случаев оценка точности результатов численного решения линеаризированной задачи сравнительно легко осуществляется путем варьирования исходных данных, т. е. путем ее обращения. Для этого достаточно определить, при каких исходных данных, измененных по сравнению с первоначальными, полученное конкретное приближенное решение оказывается точным. Если эти измененные данные, соответствующие полученному решению, мало отличаются от действительных первоначальных исходных данных и разница между ними лежит в пределах точности определения первоначальных данных, то решение можно рассматривать как вполне удовлетворительное и обладающее лишь неустранимой погрешностью. Дальшеупомянутое уточнение этого решения чисто формально и потому бессмысленно.

Иногда разница между измененными и первоначальными данными больше, чем точности первоначальных данных, но все же имеется. Тогда уточнить решение в принципе возможно, однако допустимо ограничиться и приближенным решением.

Всё подробно сущность указанного способа покажем на примерах.

В качестве простейшего примера рассмотрим свободно опертую балку переменного сечения, длина которой l , а момент инерции меняется по закону (начала координат на левом конце балки)

$$I(x) = I_0 \left[1 + \frac{x}{l} + \left| \frac{1}{\pi^2} \left(\frac{\pi}{2} - \frac{2x}{l} \right) \right| \right]. \quad (1.21)$$

Балка загружена равномерно распределенной нагрузкой оттенсивностью q_0 . Разыскиваемый прогиб у такой балки хотя бы методом Ритца, представим его в виде одного члена ряда Фурье. Тогда получим

$$y(x) = \frac{16}{\pi^2 (5\pi^2 + 4)} \frac{q_0^4}{EI_0} \sin \frac{\pi x}{l}. \quad (1.22)$$

Найденное решение можно рассматривать как точное для выгрузки, которая дает фактический изгибающий момент согласно выражению

$$M_0 = EI(x) y'' = 0,1 q_0^2 \left(1 + \frac{x}{l} \right) \sin \frac{\pi x}{l}. \quad (1.23)$$

Истинный изгибающий момент

$$M = \frac{\pi^2}{2} \frac{x}{l} \left(1 - \frac{x}{l} \right). \quad (1.24)$$

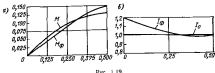


Рис. 1.19.

Сравнение M с M_0 (рис. 1.19, а) показывает достаточную точность решений (расхождение моментов не превышает 20%). Ясно, что ошибка в определении прогиба будет еще меньше.

Иногда в аналогичных задачах целесообразно варьировать момент инерции балки. Так, рассматривая ту же балку, но имеющую постоянный момент инерции I_0 , получаем прогиб в виде

$$y(x) = \frac{4}{\pi^2} \frac{q_0^2}{EI_0} \sin \frac{\pi x}{l}. \quad (1.25)$$

Зависимость (1.25) будет точным выражением для прогиба балки с постоянным моментом инерции сечения

$$I_0 = I_2 \frac{\pi^2}{8} \frac{x}{l} \frac{1 - \frac{x}{l}}{\sin \frac{\pi x}{l}}. \quad (1.26)$$

Расхождение между I_0 и I_2 не превышает 20% (рис. 1.19, б). Эта разница может быть компенсирована изменением высоты балки всего на 5–6%.

Предложенные практические примеры хорошо пополняют сущность способа варьирования исходных данных, но не являются показательными. Этот способ эффективнее для линейных задач, где оценка точности решения другими способами затруднена. Например, исследуя разомкнутые колебания судовых плавников с учетом влияния распора, т. е. затрудненного сближения их отпорных кро-

может, естественно, задаться постоянной формой прогиба балки—полоски пластинки $\varphi(x)$, полученной из соответствующего линейного решения. Используя затем уравнение Лагранжа второго рода, можно получить известное уравнение типа Диофанта

$$\ddot{\psi} + B\dot{\psi}^2 + C\psi = P_0 \sin \omega t, \quad (1.27)$$

где B , C — постоянные коэффициенты, зависящие от параметров пластины; $\omega = \omega(f)$ — перемещение «точек приведения», в которой $\varphi(x) = 1$; P_0 — амплитуда возмущения, вызываемого гидродинамическим давлением и силами инерции при веренском движении пластины вместе с спорным контуром.

Если задаться в первом приближении

$$\psi(f) = f_0 \sin \omega t \quad (1.28)$$

и применить для решения (1.28) метод Бубнова—Гalerkinса, то будем иметь для f_0 кубическое уравнение

$$\frac{4}{3} B f_0^3 + (C - \omega^2) f_0 - P_0 = 0. \quad (1.29)$$

Указанный способ расчета весьма прост, однако его точность может из первого взгляда вызвать сомнение, поскольку в различные моменты времени форма изгибаемойся пластины должна несколько изменяться и потому само исходное уравнение (1.27) не строго. Кроме того, выражение (1.28) представляет собой именно первое приближение.

Чтобы оценить полученное решение, можно рассуждать следующим образом. Если бы решение было точным, то в каждый момент времени существовало бы динамическое равновесие между заданной внешней нагрузкой $p(x) \sin \omega t$, силами упругости и силами инерции $m_0 \omega^2 \varphi(x) \sin \omega t$, где m_0 — полная масса. Однако этого нет.

Намечим на рассматриваемую балку-полоску связь, которая не препятствует ее изгибу по закону $\varphi_0(x) \sin \omega t$, но предотвращает зенитное отклонение от него. Тогда балка-полоска действительно будет колебаться именно таким образом и наступит динамическое равновесие, но к указанной выше системе сил нужно будет еще добавить реакции связи.

Сравнение внешних сил с реакциями связи является критерием для оценки решения: равение вполне точно, если к пластине приложена не действительная, а условная внешняя нагрузка $p_0(x, t)$, равная действительной внешней нагрузке за вычетом разций связи. Что касается реакций связи, то они вычисляются для любого момента времени весьма элементарно на основе обычных зависимостей сопротивления материалов, и специальных пояснений здесь не требуется.

Подробные численные расчеты реальных судовых пластины показывают, что различие между заданными внешними силами $p(x) \sin \omega t$ и нагрузкой $p_0(x, t)$ находится в пределах точности задания внешних сил — гидродинамических давлений, колебаний

контура пластины. Таким образом, устойчивость полученного довольно грубого решения лежит в пределах неустойчивой потенциальности, и дальнейшее его реальное уточнение невозможно.

Решая величинную упругопластическую задачу о сложном изгибе стержня, пластины и оболочки с учетом начальной погибы, исследователь обычно полагает, что конструкция при развитии деформаций не меняет формы начальной погибы, хотя в действительности это явление (перестранивание), безусловно, происходит. Но, получив указанным способом приближенное решение, часто удается обратить задачу в найти фиктивную начальную погибь, которая, перестранившись, будет соответствовать в конце концов найденному приближенному решению, ныне имеющему таким образом точность для фиктивной погибы.

Если задания и фиктивные начальные погибы практически одинаковы (находятся в пределах условной идентификации начальных погибей), то найденное приближенное решение имеет лишь неустойчивую погрешность.

Отмеченный вариант способа вырыивания исходных данных развит в работах О. М. Пилья.

Полная беспerspektивность уточнений полученного приближенного решения, доказанных способом вырыивания исходных данных, еще не решает вопроса. Этому решению не всегда можно верить. Как указывалось в § 4, само исходное решение поставленной условно детерминированной задачи может быть очень неустойчивым, т. е. малейшие изменения исходных данных x_1 могут приводить к очень большим изменениям соответствующего элемента во множестве возможных решений Y . Тогда, очень сильно отклонившись от исходной точки x_1 , мы с помощью обратного преобразования α_1^{-1} или $\alpha_2^{-1} \cong \alpha_1^{-1}$ получим точку x_2 , очень близкую к x_1 . Иными словами, именно в этом случае метод вырыивания исходных данных будет давать наиболее надежные результаты.

Но если само решение неустойчиво, то искать удовлетворительного детерминированного ответа вообще нельзя и, следовательно, мы снова имеем возможность ограничиться найденным приближенным решением, пракца, не вполне доверяя ему.

Для проверки устойчивости исходного решения следует получить еще несколько приближенных решений, заметно отличающихся от первого, и если из фиктивные исходные данные близко совпадают с фиктивными данными первого приближенного решения, то можно опасения отградить. Наоборот, если исходное «точное» решение чрезвычайно устойчиво, то даже довольно значительные изменения исходных данных почти не меняют соответствующей точки во множестве Y . Поэтому, очевидно, хотя и не очень значительно, от исходной точки x_1 в зоне $y_2 \cong y_1$ можно иногда получить обратное преобразование точку x_2 , совсем не близкую к точке x_1 . Следовательно, неудача в применении метода вырыивания исходных данных еще не означает непротивности найденного приближенного решения. Просто нужны еще другие исследования.

Из всего сказанного следует, что достаточно достоверные приближенные решения, подтверждаемые способом выравнивания исходных данных, имеют место при средней степени устойчивости искомого решения $y = u_1(x_1)$.

Загляд на численное решение, как на некоторый процесс. Принципы построения алгоритмов. Обратим еще раз к общему представлению о решении детерминированных задач, рассмотренным выше. С точки зрения математики, стоящего на позициях абстракции абсолютной точности и инвирорования причин, условий, следствий, это просто преобразование точек x множества X в точки y множества Y . С разными условиями можно решать и обратную задачу — взять обратный оператор, преобразовывать точки y множества Y в точки x множества X . Но, поскольку точка x_1 известна, а точка $y_1 = -u_1(x_1)$ известна, следует брать ряд точек y_i , выравнивать их до тех пор, пока не получится именно точка y_1 , преобразующаяся в x_1 .

На практике, когда обращение с обратным оператором удобнее, чем с прямым, часто так и делается. Скажем, ученик умеет возводить число в квадрат, но не умеет извлекать квадратный корень. Если он сообразит, то непременно локализует приблизительную область, где расположена искомый корень, а затем начнет возводить число этой области в квадрат, пользуясь, быть может, прimitивной интерполяцией.

Можно поступить несколько иначе. И иногда часть исходных данных, входящих составляющими в точку x_1 , остается исходными данными, а другая часть отбрасывается и заменяется пока неизвестными, но произвольно задаваемыми составляющими искомой точки y . Получается другая комбинация исходных данных, которую нетрудно рассматривать как точку ρ некоторого множества V . Требуется преобразовать эту точку в точку y множества U . Составляющими и служит, во-первых, оставшаяся не задаваемыми составляющими искомого первоначального решения y и, во-вторых, отображенными на первом этапе составляющими первоначальных исходных данных x_1 . Выравнивание произвольно задаваемыми составляющими y позволяет в конце концов решить задачу, т. е. найти такую точку y_1 , у которой соответствующие составляющие равны отображенными составляющими точек x_1 . Именно так и поступают, когда преобразование точек ρ в точках x удобнее, чем точек y в точках u .

На этом, в частности, основан широко применяемый в строительной механике и других разделах науки метод начальных параметров. Подробности этого метода мы рассмотрим позже, но уже сейчас проанализируем его основной вариант.

Пусть дана нормальная система обыкновенных дифференциальных уравнений, имеющая m порядок:

$$\frac{dy_i}{dx} = f_i[x, g_1(x), g_2(x), \dots, g_n(x)], \quad (i=1, 2, \dots, m) \quad (1.30)$$

при краевых, т. е. многочленных, условиях.

Отбросив все исходные данные, содержащиеся в краевых условиях, заданных значениями всех g_j в некоторой точке $x = x_0$ за промежутку существования решения. Тогда вместо исходной краевой задачи получаем задачу Коши для системы (1.30), которая сравнительно легко решается разными численными методами, а иногда аналитически. Выпуклая значение $g_1(x_0)$, мы в ходе «испытаний» находим частное решение, удовлетворяющее первоначальным краевым условиям, т. е. решаем исходную задачу.

По той же логической схеме был построен прием, который в свое время применял И. Г. Бубнов для точного решения линейной задачи о статических изгибе балки—полоски пластины (стержня постоянного сечения), когда сближение ее кромок затруднено.

Исходная задача такова. Нужно решать интегро-дифференциальное уравнение

$$EIw''(x) + \left\{ \frac{E\Omega}{2l} \int [w'(x)]^2 dx \right\} w'(x) - q(x) = 0 \quad (1.31)$$

при дополнительных условиях

$$\begin{aligned} EIw'(0) &= K_1 w'(0); & EIw'(l) &= K_2 w'(l); \\ EIw''(0) &= K_3 w(0); & EIw''(l) &= K_4 w(l), \end{aligned} \quad (1.32)$$

где EI — жесткость балки-полоски на изгиб; $w(x)$ — искомый прогиб балки; Ω — площадь поперечного сечения; l — длина балки-полоски; K_1 — коэффициенты, характеризующие жесткость опорных конструкций; $q(x)$ — интенсивность внешней поперечной нагрузки.

Вместо прямого преобразования исходных данных в искомое решение Бубнов задался значениями силы T в балке, равными

$$T = \frac{EI}{2l} \int [w'(x)]^2 dx. \quad (1.33)$$

Тогда оказывается достаточным пронизигрировать линейное дифференциальное уравнение с постоянными коэффициентами

$$EIw''(x) + Tw''(x) - q(x) = 0 \quad (1.34)$$

при четырех условиях (1.32), а затем проверить выполнение условия (1.33).

Еще более общий прием подбора удобной структуры решения состоит в том, что берется какая-то произвольная совокупность исходных данных ρ в другой, как правило более общей, задаче, а затем точка ρ преобразуется в точки x_1 и y_1 . Таким образом, преобразование x_1 и y_1 оказывается сильно определенным. Могут быть и другие варианты.

В классической математике все такие приемы вполне оправданы и абсолютно правомерны во всех случаях. Но отход от абстракции абсолютной точности к избранию выравнивания причин, условий, следствий нарушает указанную равноправность. Ведь даже

определение корректности задачи вовсе не симметрично относительно множества возможных исходных данных и множества возможных решений. В частности, прямая задача $y_1 = \alpha_1 [x_1]$ может быть корректной, а обратная $x_1 = \alpha_1^{-1} [y_1]$ — некорректной, или наоборот.

Математика численных алгоритмов по самой своей сути не может использовать обе отмеченные абстракции. Отсюда возникает неклассическая точка зрения на численные алгоритмы. Согласно этой точке зрения, можно выделить три основных взаимно дополняющих друг друга принципа: принцип соответствия устойчивости численного алгоритма к рассматриваемому объекту, принцип соответствия устойчивости численного алгоритма и исходного решения, принцип максимальной устойчивости численного алгоритма.

Согласно первому принципу, следует так конструировать численный алгоритм, чтобы процесс его реализации моделировал изучаемый реальный объект, включая устойчивость последнего. Иными словами, исходная информация, вносимая в алгоритм, должна отражать признаки и условия существования объекта (и ничего другого), а все внешние и внутренние погрешности конкретной реализации быть такими, чтобы их можно было рассматривать как разбросы в условиях генетической идентификации объекта.

Если, кроме того, значения всех погрешностей реализации соответствуют значениям разбросов в условиях генетической идентификации (условия соответствия устойчивости алгоритма и объекта), то конкретная численная реализация точно соответствует оптиму из объектов данного типа, генетически идентичных друг другу. Повторяя несколько раз реализацию численного алгоритма и сознательно вырывая в заданных пределах его погрешности (хотя бы из-за наличием некоторых последних значащих цифр исходной информации и промежуточных результатов), мы получим совокупность таких объектов. В результате численные расчеты оказываются в определенном смысле не приближенными, а существенно более точными и достоверными, чем точное решение исходной задачи.

Если исходная модель объекта, сформулированная в задаче, не является активной, то нужно все равно исходить из активной модели. Некачественные элементы последней следует заливать, а затем вырывать таким образом, чтобы в итоге получить, как следствие, отброшенные элементы первоначальной неактивной модели.

Согласно второму принципу, нужно, чтобы исходная информация алгоритма соответствовала исходной информации, даваемой точкой x_1 в исходной задаче, а все погрешности конкретной реализации можно было бы трактовать как разбросы в условиях идентификации точек x_1 и y_1 . Если, кроме того, значения погрешностей соответствуют критериям идентификации, то при серии расчетов появляется возможность не только получить решение исходной условно детерминированной задачи, но и оценить его устойчивость. Мы слова имеем большие достоверной информации, чем извлечь бы ее из точного решения.

Таким образом, когда x_1 и y_1 являются активной моделью, первый и второй принципы совпадают.

Согласно третьему принципу, можно выбирать такой алгоритм, чтобы устойчивость процесса его конкретной реализации была наибольшей независимо от действительной устойчивости изучаемого объекта и устойчивости решения исходной задачи. При этом получается наилучшее, хотя и не всегда достаточное приближение к исходному точному решению, но уже без всяких сомнений об его устойчивости или об устойчивости изучаемого объекта.

Подробные примеры анализа и использования указанных принципов приведены в главе 3-й, сейчас же лишь кратко вспомним их применительно к задаче § 2, п. 6 (растяжение стержня и длинение тела).

Начнем с движения точки, согласно уравнению (1.4), при условиях $y(0) = y_0 = 0$; $\dot{y}(0) = y'$. Зная правильное ранее аналитическое решение задачи, мы должны сразу насторожиться, поскольку из него видно, что задача плохо обусловлена, но предположим, что решение нам известно и мы вынуждены ограничиться только численным анализом. Будем рассуждать так.

Приним $y_1 = y$, перепишем (1.4) в виде

$$\frac{dy_1}{dx} = g_1; \quad \frac{dy_2}{dx} = \alpha^2 y_1, \quad (1.35)$$

где $\alpha^2 = \frac{k}{m} > 0$.

Заменим dx , dy_1 , dy_2 на малые конечные приращения Δx , Δg_1 , Δg_2 , как это делал в аналогичных случаях еще Эйлер, будем иметь

$$\Delta y_1 = y_1 \Delta x; \quad \Delta g_1 = \alpha^2 y_1 \Delta x. \quad (1.36)$$

Нам известны значения $y_1(0) = 0$, $y_1'(0) = y'_0$. Тогда получим для $x = \Delta x$

$$y_1(\Delta x) = y_0 + \Delta x = y_{1,1}; \quad y_1(\Delta x) = y_0 - y_{1,1}; \quad (1.37)$$

для $x = 2\Delta x$

$$y_1(2\Delta x) = y_{1,1} + y_{1,1}\Delta x = y_{1,2}; \quad y_1(2\Delta x) = y_{1,1} + \alpha^2 y_{1,1}\Delta x. \quad (1.37a)$$

И вообще,

$$y_1(n\Delta x) = y_{1,n-1} + y_{1,n-1}\Delta x = y_{1,n}; \quad (1.38)$$

$$y_1(n\Delta x) = y_{1,n-1} + \alpha^2 y_{1,n-1}\Delta x.$$

Используя записанные рекуррентные формулы, можно последовательно вычислить $y_1 = y$ и $y_2 = y'$ для каких угодно значений x , причем все Δx не обязательно брать одинаковыми.

Конечно, в предлагаемой процедуре наши допущения и внешние и внутренние погрешности. Первые связаны с заменой истинной интегральной кривой некоторой длиной, а вторые — с неточностью вычислений по формулам (1.38). Однако всю суммарную погрешность допуским представить как некое возмущение в пра-

ных частях (1.35), т. е. считать, что мы интегрируем не приближенно, а точно, но не исходную, а некою возмущенную систему.

Однако истинный расчетный процесс движения точки также имеет какие-то возмущения. Если эти реальные возмущения не влияют практически на течение процесса, т. е. движение устойчиво, то и наши суммарные погрешности алгоритма не изменяют существенно результаты. В противном случае и счет будет неустойчив, и процесс — детерминировано монотонным. Для полной строгости такого рассуждения в общем случае нужно, чтобы погрешности счета не превышали окончаемых и возможных реальных вынужденных возмущений. Соответствующие оценки всегда выполнимы практически, а требуемые сопоставления могут быть обеспечены при достаточно числе значащих цифр (кстати, небольшом) и достаточно малом шаге интегрирования Δt . Таким способом мы обеспечивали принцип соответствия алгоритма и анализируемого процесса.

Теперь достаточно проконтролировать расчет в экспериментальном проверять его устойчивость (а заодно и степень определенности исходной задачи), повторив все вычисления задачи при несколько измененном числе значащих цифр (если это допускает применяемая ЭВМ) и при чуть-чуть искусственно измененных исходных данных. Близкое совпадение результатов расчетов показывает достоверность последних и, кроме того, устойчивость процесса движения; расположение результатов делает прежде всего неустойчивость движения, т. е. явную бессмыслицу попыток «его детерминированного определения». Какие-либо претензии к расчету автоматически отпадают.

Если ЭВМ не позволяет менять число значащих цифр, то при повторении расчета можно вносить искусственные возмущения в последние значащую цифру с помощью генератора случайных чисел. Наконец, можно просто изменить шаг интегрирования, т. е. тоже несколько изменить погрешности и моделируемые ими возмущения.

Нетрудно догадаться, что в данном конкретном примере счет оказывается неустойчивым, так как мы уже знаем результаты анализа устойчивости процесса. Если же несколько изменить уравнение движения (скажем, вместо знака «минус» в правую часть второго уравнения), то положение изменится: мы получим вполне достоверные параметры устойчивого движения.

Праведенный алгоритм в принципе применим и к задаче о растяжении стекрая, когда уравнение (1.4) или система (1.35) решается при граничных условиях. Если даже преобречь уравнениями, которые следуют из линейности (1.4), то и тогда все довольно просто: как уже было объяснено применительно к системе (1.30), нужно использовать первое условие $y(0) = y_1(0) = 0$ и отбросить пока второе $y(t) - y_1(t) = y$, заменив его условием $y_2(0) = y_0$ (как в задаче о движении точки). Варьируя неизвестное заранее значение

y , можно добиться того, что при $x = l$ окажется $y_1(l) = y_0$, т. е. второе граничное условие будет удовлетворено в виде следствия.

Но принцип соответствия устойчивости алгоритма и процесса удовлетворяя не будет, поскольку «естественные причинно-следственные связи» нарушенны. Поэтому не стоит удивляться, что, согласно проведенному ранее анализу, счет будет явно неустойчив при очень устоявшемся процессе растяжения. Иначе говоря, процесс имеет вполне детерминированное течение, но мы же получаем его в результате данного алгоритма численного решения.

Можно предложить другой путь расчета, при котором обеспечивается принцип соответствия в новых условиях. Поскольку он более сложен, чем только что описанный, мы отложим однокомплекс с этим до главы 3-й.

Возьмем третий случай. Рассматривается снова растяжение стекрая. Помимо системы (1.35), мы знаем, что $y_1(0) = 0$; кроме того, мы измерили значение $y_2(0) = y_0$. Тогда наш прежний алгоритм снять становится приемлемым, причем выполняется принцип соответствия устойчивости алгоритма и некоторого решения. Неустойчивость счета символизирует о неустойчивости решения соответствующей задачи изблюстости, т. е. о том, что процесс растяжения стекрая не наблюдается и потому не стоит пытаться это делать. Никакого другого алгоритма не требуется.

Принцип максимальной устойчивости алгоритма наиболее ясен, он соответствует классической точке зрения и, видимо, общих пояснений не требует. Применительно, скажем, к традиционной задаче численного решения данной системы линейных алгебраических уравнений он реализуется по схеме: 1) записана система уравнений, не очень чувствительная к возможным погрешностям в коэффициентах и свободных членах; 2) мы собираемся решать ее, найдя корни как можно точнее и не задумываясь об их физическом смысле; 3) имеется ряд алгоритмов «точного» решения таких систем, облачающихся в разных случаях разной устойчивостью; 4) нам следует выбрать такой алгоритм, который давал бы в данном конкретном случае минимальную погрешность от округления цифр при счете.

Правда, иногда такая идеальная схема нарушается: в ряде случаев полезно еще более увеличить устойчивость алгоритма даже ценой нарушения некоторых внешних погрешностей (используется не «точный», а приближенный схемы). Поскольку суммарная погрешность в результате уменьшится; иногда жертвуют неминимой максимальностью суммарной погрешности, получив большой выигрыш в объеме вычислений, и т. д.

4. Общая схема численного решения задач. Обратимся теперь (рис. 1.20) к общей схеме численного решения задач и проанализируем наряду все ее этапы. Заменим, что на практике некоторые из этих этапов иногда трансформируются

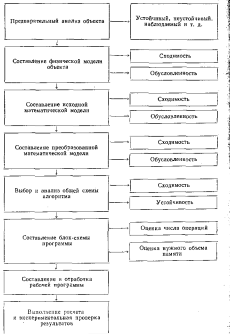


Рис. 1.20

и даже как бы исчезают. Но такая трансформация обычно не бывает полной, и исследователь должен знать о ней и учитывать ее соответствующим образом (убедиться, что трансформация действительно полесообразна; вспомнить о возможных погрешностях из-за этой трансформации, если ответ не будет удовлетворительным, и т. д.).

Начинать работу над численным решением задачи лучше всего с общего предварительного анализа изучаемого объекта, особенно его устойчивости, наблюдаемости и т. д. Решающую роль при анализе играют цели решения, т. е. позиция исследователя как «технолога», «изобретателя», «проектировщика». Нередко здесь удается сразу установить, что объект всегда устойчив (загиб балки на узком основании подложки жесткий под действием перекрестной нагрузки, изгиб изогнутого перекрытия и т. п.), или устойчив лишь в некоторых областях своих параметров, а затем станет неустойчивым (склонно-изогнутая рама), или неустойчив, но наблюдаем, причем нас интересует именно его наблюдаемость (расшифровка результатов измерений при натурных испытаниях прочности конструкции), и т. д. Все это весьма важно для всех этапов последующих действий.

Затем начинается этап составления физической модели объекта. К сожалению, стандартных рецептов физического анализа задач не существует. Именно это имел виду Н. Е. Жуковский, когда говорил, что искусство механика заключается в умении составлять интегрируемые уравнения, хотя сейчас правильнее сказать, что оно состоит главным образом в обоснованном отbrasывании всего ненужного и второстепенного (в рассматриваемом вопросе) и удиржании всего важного при конструировании физических моделей. Ведь физическая модель есть именно модель, т. е. заместитель объекта для всего последующего исследования. В ней криво-коно должно быть что-то упрощено, иначе зачем же ее вводить? Но она станет идиоткой, если упрощения и другие изменения слишком искажат главные черты интересующих нас явлений. Но что такое это «слидимое», решает опять исследователь с учетом своих объективных целей.

Возьмем для иллюстрации проблему общей вибрации корпуса судна. У судов со сравнительно жесткими корпусами при невысоких частотах возмущающих сил правильна и целесообразна замена корпуса обычной эквивалентной непропорциональной балкой. Но даже при этих условиях поперечная жесткость широкого судна иногда недостаточна и она как бы раскладывается на несколько упруго связанных между собой параллельных балок (бортов и продольных переборок вместе с присоединенными консами). При некотором увеличении частоты начинаются местные резонансы отдельных элементов корпуса (лишевые перекрытия, переборки, мачт, надстройки) и тяжелого оборудования, которые существенно искажают общую вибрацию, а потому должны дополнительно приниматься во внимание.

Но, может быть, следует всецело положиться на силу современных вычислительных средств и применять только очень сложные модели, где учтено буквально все (хотя бы по видимости) важное? Именно так и поступают сейчас многие энтузиасты сложности, созидаясь на успехи системного подхода, проникшего буквально во все области науки и практики. Действительно, системный подход заслуживает всяческой поддержки и развития, его успехи очень велики и преувеличение им обычно чревато тяжелыми последствиями. Но системный подход вовсе не сводится к решению — умный всея и превращая любую модель в некий «интерес». Ведь метод составления таких «интересов» имеет и обратную сторону: затушевываются влияния отдельных инградиентов; Получив неудовлетворительный результат при оценке работы конструкции, мы не знаем, чему его приписать в первую очередь и как лучше исправить конструкцию; внеся даже мелкие изменения, мы должны повторять весь громоздкий анализ заново. Наконец, не следует забывать и о возможной потере точности в локальных эффектах при усложнении модели (а прочность нарушается именно локально), о нарастании возможностей ошибок в оценках параметров, да и просто о большой затрате времени и стоимости расчета.

Поэтому, например, не стоит увлекаться единичным расчетом деформации группы смежных схем корпуса в виде громадной пространственной конструкции, как это делается сейчас в виде статей. Хотя же надо и пренебрегать смежными перекрытиями. Целесообразнее сначала, пренебрегая всеми деталями, представить каждое перекрытие независимо упрощенно, раскрыть статическую неопределенность системы перекрытий, определить основные усилия взаимодействия между ними, а уже затем вести расчет каждого перекрытия во всех деталях.

Словом, усложнение моделей — явление естественное, закономерное, но оно вовсе не избавит от всех трудностей физического анализа и не средство автоматического сведения всех физических трудностей к математике. Даже безоговорочно остав только на такой путь, мы не будем застраиваем от промахов и простоты — ведь часто недобывание, из первых взглядов, факторы оказываются в действительности очень существенными, и наоборот.

Например, рассчитывая вибрацию судовых конструкций, не редко очень удачноют модели взаимодействия большого числа связей, забывая о том, что на некоторых частотах может наступить редукция пластины, как присоединенных плюсков, которая будет иметь гораздо сильнее, чем многие связи.

Для вождя принципиальности информативности некоторого физического анализа интересно обратить внимание на то, что никогда бывает полезно не удиродать, а кое в чем усложнить или немного искажать рассматриваемые явления. Так, в дальнейшем мы познакомимся с методом динамических возмущений, согласно которому, рассчитывая статические деформации конструкции, мы дополнительном снабжаем ее массами и рассматриваем более общую задачу

о колебаниях. А определяя частоты и формы свободных колебаний механических систем, иногда искусственно вводим в них некоторые сопротивления.

В этом широкое применение ЭВМ и численных методов расчета не только не снимает физического анализа задачи и не упрощает его, а, наоборот, требует более утонченного и глубокого анализа, так как численные методы учитывают погрешности и причинно-следственные связи в потоке более тесно коррелируют с физическими особенностями изучаемых объектов, чем аналитические методы классической математики.

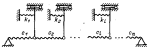


Рис. 1.21.

Мы уже видели на примере обычной неразрезной балки, что простая переформулировка расчетной схемы делает задачу из плюка совместной вполне удобной и легко разрешимой. Число подобных примеров изобично.

Иногда, составив вполне удовлетворительную физическую модель, исследователь входит еще один этап, не показанный на рис. 1.20, — переходит к преобразованной физической модели, более удобной для будущего численного расчета.

Возьмем ту же задачу о расщеплении стеркни в упругом пространстве линейской типа (см. рис. 1.10). Казалось бы, тут физически все ясно. И действительно, мы вполне можем удовлетвориться этой моделью. Однако практический расчет будет проще, если мы перейдем к другой физической модели, показанной на рис. 1.21. Стеркнь разбивается на ряд участков, в пределах которых его сечение можно считать постоянным. Кроме того, должно выполняться условие постоянства коэффициента жесткости упругого основания. Участки стеркни заменяются пружинами жесткости c_1, c_2, \dots, c_n , в упругом пространстве — пружинами жесткости k_1, k_2, \dots, k_{n-1} . Определение величин c_i и k_j трудностей не представляет и особых поклонений не требует.

Удобство рассматриваемой преобразованной физической модели определяется двумя обстоятельствами. Во-первых, все внешние погрешности решения задач мы относим к физике явления и делаем из более загадочными и обогащенными, а следовательно, и более уверенно оцениваемыми; ведь преобразованную модель можно рассчитывать совершенно точно в смысле классической математики без всякой замены дифференциалов разностями. Во-вто-

ных, с помощью такой модели, как правило, удается ограничиться меньшим числом участков, поскольку вместо формального интегрирования дифференциальных уравнений с заменой интегральных кривых ломанными здесь происходит более совершенное физическое интегрирование с более аккуратным представлением разыскиваемых функций в пределах малых участков.

Удобство подобных приемов введения вспомогательных физических моделей было подмечено еще Ньютоном, который заменил системой масс и последовательно соединенных пружин стол воздуха при расчете скорости звука. Их широко применяют в расчетах круглыхных и продольных колебаний стержней, в расчетах судовой вибрации и т. п. Более подробно ознакомимся с ними в следующих главах.

Составление физической модели нужно завершать хотя бы качественной оценкой ее склонности (достаточного приближения к действительности в предположении точного знания всех параметров) и обусловленности, т. е. влияния неизбежных вариаций параметров.

Переходя к составлению язычной, а затем в случае необходимости к преобразованию математической модели, исследователь преодолевает, во-первых, поистине те же трудности, что и на предыдущем этапе. Составив общую физическую схему, он должен теперь информативно решить вопрос о степени подробности математического описания явлений, происходящих в физической модели, о необходимости учитывать различные величинности или о возможности ограничиться линейными случаями, о форме математического представления, наиболее удобной в конкретных условиях, и т. д. Следует помнить, что всякая реальная механическая система не является ни линейной, ни консервативной, ни ограниченной как-то определенным числом степеней свободы; более того, все свойства ее обычно вообще не могут быть совершенно точно описаны какими-либо конечными математическими соотношениями. Однако бессмысленно уделять внимание темам, которые не могут быть зами оценены с достаточной точностью; если же они заметны и влияют на характер изучаемых объектов, то нужно просто зафиксировать тот или иной вид взаимной обусловленности задачи и сделать отсюда необходимые практические выводы.

При составлении математических моделей полезно использовать различные вспомогательные формализованные методы и приемы трактовки уравнений Лагранжа, принципа Гамильтона, общих приемов вариационного исчисления и т. п. Но нельзя полагаться только на них или пытаться с их помощью полностью исключить неформальные моменты соответствующих изысканий. Такие попытки превратят возможностью серьезных ошибок в существе дела.

Выполнение остальных этапов общей схемы, показанной на рис. I.20, должно быть взято из сказанного в данном параграфе относительно выбора алгоритмов, а также из общих курсов программирования и организации вычислительных работ. Поэтому

закончим ее описание лишь одним замечанием. Изображенное линейное расположение этапов относится лишь к сравнительно простым и ясным случаям; в более сложных задачах непременно возникают многочисленные обратные связи, когда исследователь неоднократно возвращается к предыдущим этапам, вновь же вновь уточняет их, проводит новый анализ и лишь потом двигается дальше, сделав как бы новое приближение.

Глава 2.

ЭЛЕМЕНТЫ ОБЩЕЙ ТЕОРИИ ОДНОМЕРНЫХ И КВАЗИОДНОМЕРНЫХ ПРОЦЕССОВ. НЕКОТОРЫЕ ОБЩИЕ МЕТОДЫ ИХ ЧИСЛЕННОГО РАСЧЕТА И МОДЕЛИРОВАНИЯ

Изложенные в первой главе представления о классической математике, о вводимых в нее причинно-следственных связях, расщепленные представления об устойчивости заставляют рассмотреть с этим связанной некоторые общие вопросы теории одномерных и квазиодномерных процессов, которые являются основным предметом данной книги. В результате анализа этих вопросов становится возможностью строить теорию численных методов расчета того или иного процесса указанного типа, используя принципы соответствия устойчивости алгоритма и рассматриваемого объекта, максимальной устойчивости алгоритма или соответствия устойчивости алгоритма и искомого решения. Кроме того, стали более ясными многие методологические положения построений исходных математических моделей.

§ 6. Схемы причинно-следственных связей в непрерывных одномерных и квазиодномерных процессах

1. Внтуренные параметры про-
цесса. Назовем внутренними параметрами любого n -мерного про-
цесса, изучаемого в m -меренных координатах x_1, \dots, x_m , любые величины, кроме которых друг от друга складные величины, полностью и однозначно определяющие в своей совокупности для любой точки (x_1, \dots, x_m) всю систему взаимосвязанных физических объектов, меняющихся совместно в данном процессе. Иногда система физических объектов и число внутренних параметров могут изменяться от точки к точке. Соответствующие уточнения приведенного опре-
деления очевидны.

Процесс называется n -параметрическим по числу его внутренних параметров. При одномерных и квазидвумерных процессах приведенное определение можно заменить более удобным: назовем внутренними параметрами такого процесса любые, не зависящие друг от друга, скалярные величины, полностью и однозначно определяющие в своей совокупности непосредственное физическое взаимодействие их частей в любом сечении $x = x_0$. Подчеркнем, что речь идет именно о непосредственном физическом, а не информационном взаимодействии, причем в сечении только самого процесса, но не других сечений, быть может, окружающих процесс.

Ясно, что внутренние параметры обозначены именно скалярными, а не кавычками-то более общими (например, векторными) величинами исключительно в целях сравнения процессов между собой и приведения их к единой мере (вспомним, например, приведение выпущенных траекторий к пятнадцатым).

Движение механической системы с n степенями свободы представляет собой $2n$ -параметрический процесс. Независимое переменное — время t . Непосредственное физическое взаимодействие двух частей процесса при $t \ll t_0$ и $t \geq t_0$ полностью и однозначно определяется в значениями обобщенных координат q_i ($i = 1, \dots, n$) и в значениями соответствующих обобщенных скоростей \dot{q}_i . Число $2n$ внутренних параметров не изменяется, даже если между обеими частями имеется более сложное, чем обычно, взаимодействие, которое, однако, осуществляется не самим процессом, хотя и с его помощью. Скажем, обобщенные силы могут быть заданы как функции обобщенных координат в динамике и предшествующие моменты времени $Q_i = Q_i(t - h_1), \dots, Q_i(t - h_n)$, q_1, \dots, q_n , где h_j — некоторые постоянные положительные величины или даже подложительные функции $A_j(t)$ (имеется следящая система, которая фиксирует значение q_j и передает информацию в некий центральный пост, управляющий обобщенными силами с учетом значений q_j в данный и предшествующий моменты времени).

Статический изгиб блоки, загруженной поперечной нагрузкой $q(x)$ и продольной нагрузкой $s(x)$, является шестипараметрическим процессом. В качестве внутренних параметров, могут быть приняты изгибающий момент $M(x)$, перерезывающая сила $N(x)$ и осевое внутреннее усилие $T(x)$, а также соответствующие им смещения — угол изгиба $\theta(x)$, прогиб $w(x)$ и осевые смещения сечения x (x). Число внутренних параметров не изменяется, даже если блок лежит на упрямом основании невинклеровского типа, у которого со средоточением силы, приложенная в некоторой точке, вызывает просадку не только под силой, но и в других точках, — ведь мы расскажем только сам процесс, т. е. саму блоку, и не рассматриваем физические взаимодействия в упрямом основании.

Вообще для строительной механики характерна четность числа внутренних параметров — внутренних обобщенных усилий и соответствующих обобщенных смещений (каждому параметру-усилию отвечает параметру-смещение).

Теорема 2.1. Совокупность внутренних параметров не единственна. Однако общее число этих параметров в любой совокупности можно и определяется физической сущностью процесса.

Действительно, пусть y_1, \dots, y_n — какая-то совокупность внутренних параметров в точке (x_1, \dots, x_n) . Мы всегда можем звать другую совокупность (z_1, \dots, z_n) , сняв все z_i и все y_j , соотношениями

$$z_i = \Phi_i(y_1, \dots, y_n), \quad (2.1)$$

разрешимыми относительно y_j :

$$y_j = F_j(z_1, \dots, z_n). \quad (2.2)$$

Поскольку множество возможных соотношений (2.1) и (2.2) бесконечно, то бесконечно и множество возможных совокупностей внутренних параметров. Первая часть теоремы доказана.

Вторую ее часть доказаем от противного. Пусть имеется совокупность внутренних параметров y_1, \dots, y_n и совокупность внутренних параметров z_1, \dots, z_k ($k > n$). Поскольку совокупность y_j , как и совокупность z_i , полностью отражает все взаимосвязанные физические величины в данной точке процесса, то параметры z_i могут быть выражены через y_j :

$$z_i = \Phi_i(y_1, \dots, y_n), \quad (i = 1, \dots, k). \quad (2.3)$$

Возьмем первую в зависимости (2.3) и выражим все y_j через z_1, \dots, z_n , что всегда возможно, хотя и не всегда однозначно. Итак,

$$y_j = F_j(z_1, \dots, z_n), \quad (j = 1, \dots, n). \quad (2.4)$$

Подстановка (2.4) в (2.3) при $s > n$ (любой их вариант в случае неоднозначности), имеем

$$z_r = \Phi_r[F_1(z_1, \dots, z_n), \dots, F_n(z_1, \dots, z_n)] \quad (r > n). \quad (2.5)$$

Наличие соотношений (2.5) противоречит условию о независимости параметров z_i .

2. Переход внутренних параметров. Простейшие процессы с односторонним и двусторонним переносом параметров. Возьмем систему обыкновенных дифференциальных уравнений, записанную в скалярном виде в нормальной форме:

$$\frac{dy_i}{dx} = f_i(x, y_1, \dots, y_n), \quad (i = 1, \dots, n). \quad (2.6)$$

В ней все неизвестные функции y_i определяют, по существу, не что иное, как внутренние параметры некоторого изучаемого одномерного или квазидвумерного процесса в зависимости от значений переменной x . Число n , называемое порядком системы (2.6), определяет число внутренних параметров.

Перепишем (2.6) в виде

$$dy_i = f_i(x, y_1, \dots, y_n) dx, \quad (2.6a)$$

легко заметить, что дифференциальные уравнения определяют изменения внутренних параметров y_i при изменении x , т. е. являются уравнениями переноса этих параметров одоль независимой переменной. Для определения значений параметров, которые переносятся одоль в соответствии с (2.6), нужны дополнительные условия. Простейшими из них являются, как известно, так называемые начальные или одноточечные условия вида

$$y_i(x_0) = y_{0i}, \quad i=1, \dots, n. \quad (2.7)$$

когда все параметры непосредственно заданы в некоторой точке x_0 . Перенос их с помощью (2.6) одоль x , мы находим все функции $y_i(x)$ (достаточно вспомнить хотя бы метод Эйлера, описанный в главе 1-й).

В более сложных случаях условия могут быть многоточечными или краевыми:

$$f_k[y_1(x_{k-1}), \dots, y_n(x_{k-1})] = 0, \quad (k=1, \dots, n). \quad (2.8)$$

Если точки типа x_{k-1} , где заданы условия, всего две, то условия называются двуточечными или граничными (частный случай краевых условий).

Если каждое краевое условие может быть записано в виде

$$f_k[y_1(x_k), \dots, y_n(x_k)] = 0, \quad (2.9)$$

то условия носят название краевых несвязанных в отличие от общего случая связанных краевых условий (2.8).

Задача о нахождении частного решения дифференциальных уравнений при заданных начальных условиях называется начальной задачей или задачей Коши, а при заданных краевых условиях — краевой задачей.

К системе (2.6) легко привести любую систему обыкновенных дифференциальных уравнений, разрешенную относительно старших производных всех неизвестных [50]. В частности, если дано уравнение k -го порядка

$$y^{(k)} = F(x, y, \dots, y^{(k-1)}), \quad (2.10)$$

то оно сводится к (2.6) подстановкой

$$y = z_1, \quad y' = z_2, \dots, \quad y^{(k-1)} = z_n, \quad (2.11)$$

которая дает

$$\frac{dz_1}{dx} = z_2, \quad \frac{dz_2}{dx} = z_3, \dots, \quad \frac{dz_{n-1}}{dx} = z_n, \quad (2.12)$$

$$\frac{dz_n}{dx} = F(x, z_1, \dots, z_{n-1}).$$

Первые $(n-1)$ уравнений (2.12) представляют, по существу, определения производных. Ими мы и пользовались и при рассмотрении (2.10). Непосредственная запись (2.12) имеет определенное преимущество: она показывает, что в (2.10) мы имеем

не одну неизвестную функцию, как это кажется на первый взгляд, а n неизвестных функций, так как производные y' — самостоятельные неизвестные функции, которые надо искать вместе с y , а не после него.

Обратимся теперь к анализу возможных причинно-следственных связей между внутренними параметрами. Для этого представим одномерные и классодинамические процессы на некой воображаемой машине. Заметим, что такая наглядность и ясность здесь и дальше машины не снижают общности и строгости последующих рас-

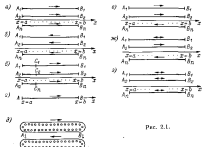


Рис. 2.1.

суждений, подобно тому как использование шарко известной в математической логике воображаемой машины Тьюринга [47] оставляет общими и строгими получаемые с ее помощью логические выводы.

Пусть имеется многоточечный транспортер (рис. 2.1, а) с п лентами, равномерно движущимися в направлении стрелок. Груз y_i находящийся на каждой i -ю ленте в точке A_i с координатой $x=a$, поддается на всем участке A_iB_i и сбрасывается в точке B_i с координатой $b>a$. Следящая система, которая фиксирует в каждой точке $a \leq x \leq b$ все значения $y_i(x)$, являющиеся внутренними параметрами процесса переноса грузов, посыпает информацию об этом в центральный пост. Так информация перерабатывается, и дается команда подавать на каждую ленту i груз с интенсивностью $f(x, y_1(x), \dots, y_n(x))$. Провод определяется производственной системой уравнений (2.6). Для полной определимости задачи, помимо уравнений (2.6), нужно задать начальные условия

в виде количества грузов $y_i(t)$, сразу накладываемых в точках A_j при $x = a$.

Предложенная модель не позволяет, на первый взгляд, оперировать отрицательными значениями параметров $y_i(x)$ и задавать отрицательные значения $y_i(t)$. Однако легко представить себе, что на лентах перемещаются большие постоянные грузы $Q_i(x) = \text{const}$, а $y_i(x)$ — положительные или отрицательные добавки к Q_i . Следующее замечание будем иметь в виду при дальнейшем развитии модели.

В результате модели, показанной на рис. 2.1, а, моделирует, в частности, процессы движения, где первоначальная переменная — время t — изменяется подобно x в положительном направлении. В общем случае здесь мы имеем модель процесса с односторонним переносом параметров в сторону возрастания неизвестной переменной.

Назовем активными такие дополнительные условия, которые физически влияют или могут влиять на сам процесс и обеспечивают его протекание в соответствии с каким-то определенным частным решением уравнений переноса, а пассивными — такие условия, которые являются желательными или наблюдаемыми в данном процессе, но не обеспечивают и не могут обеспечить сами по себе конкретной реализации процесса согласно частному решению уравнения переноса.

В нашем случае заданные условия $y_i(t)$ — активны. Мы можем отказаться от них, измерять величины $y_i(b)$ в точках B_j и, задавшись этими пассивными условиями, снова найти частный интеграл системы (2.6), отвечающий нашему процессу. Практическая изменчивость процесса при «убытии» изменивших $y_i(t)$ вкладов в силу их активности в число параметров генетической идентификации, сомнительствует об его устойчивости. Практическая неизменность частного интеграла при неизмененных варнишах (погрешностях) параметров, реализующей идеализацию $y_i(b)$ показывает его наблюдаемость. Выше мы видели, что очень устойчивый процесс обычно не наблюдаем, а всегда хорошо наблюдаемый процесс — неустойчив. Таким образом, эквивалентные в смысле классической математики условия $y_i(t)$ и $y_i(b)$, дающие один и тот же частный интеграл, вовсе не эквивалентны в смысле неklassической математики. Имея задачу Коши при данных начальных условиях, заслуживаю высказать, каковы они в смысле активности или пассивности.

Нетрудно запустить все ленты в обратную сторону (рис. 2.1, б) и отработать программу управления так, чтобы подсмеки грузов определялись функциями — $f_i(x, y_1, \dots, y_n)$. Знак минус перед каждой функцией компенсирует аналогичный знак перед dx/dt при смене направления движения. Процесс снова описывается системой (2.6), однако активные начальные условия должны теперь физически задаваться в виде значений $y_i(b)$ в точках B_j с координатой $x = b$; перенос параметров процесса, хотя и остается односторонним, происходит теперь в сторону убывания x .

Смена направления потока внутренних параметров, касающееся y_i , ничего не меняет. Действительно, мы можем задать $y_i(a)$, найти частное решение системы (2.6) при этих начальных условиях и определить из него $y_i(b)$. Можно поступить и наоборот — задать $y_i(b)$, соответствующие $y_i(a)$, т. е. лежащие на одной интегральной кривой, а затем найти по нему $y_i(a)$. Оба реальных процесса, имеющих противоположные потоки параметров, могут удовлетворять одному и тому же частному решению. Но степень устойчивости обоих процессов различна. Устойчивость процесса, изображенного на рис. 2.1, б, соответствует наблюдаемости процесса, показанного на рис. 2.1, а, и наоборот. Иными словами, направление потока параметров — фактор, достаточно важный.

Возможен интересный третий случай (рис. 2.1, в). В процессе, иллюстрируемом рис. 2.1, а, мы изменили количество грузов $y_i(t)$ для $x = c$ при $a < c < b$, т. е. в точках C_j . Согласно принятным выше определениям активных и пассивных дополнительных условий, условия $y_i(c)$ активны для части процесса, лежащей вправо от c , и пассивны для его левой части.

Рассмотрение модели транспортера с односторонним переносом параметров позволяет сделать некоторые выводы о существовании и единственности решений задач с начальными условиями (задач Коши) для уравнений (2.6). Они в некотором смысле дополняют обычные теоремы существования и единственности, где на функции f_i обычно накладывают довольно жесткие ограничения.

Для простоты и наглядности ограничимся анализом одного уравнения первого порядка

$$\frac{dy}{dx} = \varphi[y(x), x]. \quad (2.13)$$

Как и в классической теории дифференциальных уравнений, переход к системам писоков породил сопряжен в основном лишь с громоздностью преобразований и рассуждений без изменения основных идей и результатов.

Обычно теория существования и единственности формулируется примерно так:

Теорема 2.2. Если функция $\varphi[y(x), x]$ непрерывна в некоторой области G изложения переменных x и y и удовлетворяет в G условию

$$|\varphi[y_1, x] - \varphi[y_2, x]| \leq K |y_1 - y_2|,$$

где K — некоторая сколь угодно большая постоянная (условие Липсцица), то в пределах G существует одноточечное частное решение уравнения (2.13), удовлетворяющее условию $y(x_0) = y_0$, $x = x_0$ — промежуточное.

Условие Липсцица может быть заменено несколько более грубым условием существования ограниченной по абсолютному значению производной φ'_y $|y(x)|$ в области G , если последняя вынута по y . Область G называется выпуклой по y , если отрезок AB , ко-

торый соединяет две точки этой области, имеющие одинаковую координату x , лежит внутри этой области.

Используя теорему о конечном прерывании функции, имеем

$$|\varphi(y_1, x) - \varphi(y_2, x)| = \psi'(\xi, x) |y_1 - y_2|,$$

где ξ — некоторое промежуточное между y_1 и y_2 значение y . Ограничность ψ' и приводят к условию Липшица.

Представим себе теперь ленту трансформера, начинаяющуюся в точке $x = x_0$ и движущуюся направо (см. рис. 2.1, а). Нам ничто не мешает сразу положить на ленту груз $y = y_0$, т. е. поставить любое начальное условие, а затем следить за движением его во времени. Очень важно подчеркнуть, что здесь нам не требуется устанавливать во времени процесс перемещения груза — мы следим за данной массой груза, перемещающейся с ней. Требуется лишь, чтобы функция φ позволяла получать необходимую информацию для подъема грузов в любой точке.

Обедним сначала ограничение, накладываемое в теореме 2.2 условием Липшица.

Если отмеченное условие не выполняется, то даже бесконечно малая погрешность в значении $u(x)$ приведет к вполне конечным изменениям $\varphi(u(x), x)$ и, следовательно, к некой неопределенности левой части (2.13). Отсюда и возникает неединственность точного частного интеграла.

Встав на лекцисическую позицию, мы должны рассмотреть условие Липшица несколько иначе. Ведь мы все равно знаем функцию φ с некоторой конечной точностью ψ , и, следовательно, в принципе оперируем не единственным частным решением, а бесконечным множеством частных решений. Когда же элементы указанного бесконечного множества достаточно близки друг к другу, мы условно идентифицируем их и выбираем любой элемент в качестве характерного «представителя» всех прочих. При больших различиях между элементами мы говорим, что численное решение и моделируемый им процесс неустойчивы.

Может оказаться, что бесконечно малые изменения y приводят хотя и к вполне конечным, но малым изменениям φ ; условие Липшица выполниться не будет. Однако даже малые конечные изменения y не очень сильно изменяют φ , а эти изменения φ практически не меняют ход интегральной кривой. Тогда в нашем понимании, исходя из нарушения условия Липшица, мы получим вполне определенное частное решение.

Иногда, конечно, независимение условия Липшица оказывается существенным и для нас, но мы это увидим по неустойчивости численного решения.

В первую очередь нам важна однозначность и непрерывность $\varphi(u(x), x)$. Когда же совокупность некоторых значений φ непрерывна по x , а многозначность проявляется лишь в конечном числе точек x в φ всегда ограничена, мы отбрасываем все значения, кроме тех, которые образуют непрерывную совокупность. Ведь даже если

в процесс включаются отброшенные конечные значения φ , это никак не сказывается на ходе конечного непрерывного процесса.

Если φ непрерывна в бесконечном числе точек, но все ее значения лежат в пределах точности задания этой функции, то и здесь упомянутая многозначность нам не страшна и, в сущности, не нарушает достаточной обусловленности задачи.

В тех случаях, когда в каких-то конечных точках x_i функция φ принимает бесконечное значение или терпит разрыв непрерывности, задача становится недостаточно обусловленной и требует добавочных активных условий, определяемых физическим смыслом дела.

Пусть при $x = x_1$ функция φ бесконечна, т. е. бесконечна производная $d\varphi/dx$. Это означает, что $y(x)$ после перехода через x_1 получит какой-то склон. Однако величина склона остается неопределенной — из дифференциального уравнения (2.13), записанного в обычных функциях, его в принципе получить нельзя и нужна дополнительная информация, лежащая вне первоначально заданного активного (автоматического) условия и уравнения. Например, в точке x_1 может стоять устройство, которое, записав значение $y(x_1=0)$, сразу накладывает конечный груз $\Delta y_1 = ky(x_1=0)$, где k — некоторый коэффициент (перенос параметра k в сторону возрастания x). Тогда добавочное активное условие примет вид

$$y(x_1=0) - y(x_1=0) \cdot k y'(x_1=0).$$

Разным образом разрыв значений φ в $y(x_1=0)$, $x_1=0$ (и в $y(x_1+0)$, x_1+0) (мы ограничиваемся рассмотрением разрыва первого рода) не дает нам возможности судить об изменениях $y(x)$ в самой точке x_1 — уравнение (2.13) показывает только темп нарастания $y(x)$ перед x_1 и за ним. В этом случае часто $y(x_1+0) - y(x_1-0)$. Однако эта связь может быть и другой.

Только что сказанное свидетельствует о том, что к уравнению (2.13) может добавляться несколько точечных активных условий, и не одно условие, как это обычно принято считать. В рассмотренных примерах добавочные условия обеспечивают единственность решения.

Пусть снова уравнение (2.13) описывает процесс с переносом параметра в сторону возрастания x и решение определяется активным начальным условием $y(0) = y_0$. Пусть, далее, согласно точному частному решению (2.13), значение $y(x_1) = y_{x_1}$. Подставим в точке x_1 второе активное условие $y(x_1) = y_{x_1}$, соответствующее условию $y(0) = y_0$.

С классической точки зрения это вполне возможно, но интегрирование дает — частный интеграл от этого не изменится. На самом же деле изменения, конечно, будут. Если рассматриваемый процесс неустойчив, то избыточные разбросы в условиях геометрической идентификации приведут к заметному расхождению истинного значения $y(x_1)$ с y_{x_1} . Но установление в точке $x = x_1$ специаль-

ное устройство зафиксирует расходжение и устранит его путем соответствующей отсыпки или досыпки груза. Таким образом, постановка добавочного активного условия изменила устойчивость процесса.

Точечные активные дополнительные условия делятся на основные, вспомогательные и избыточные.

Основными активными дополнительными условиями называются такие, которые действуют физически на процесс и обеспечивают его протекание в соответствии с определенным частным решением соответствующих дифференциальных уравнений, независимо от того, ведет ли он вперед удовлетворены условия единичности интегральной кривой; в последнем случае они выполняют свои функции вместе с вспомогательными условиями.

Вспомогательными активными дополнительными условиями называются активные условия, обес печивающие определение протекания процесса в точках, где нарушены условия единичности интегральной кривой исходных уравнений.

Избыточными называются такие активные условия, которые не противоречат частному решению, определяемому основными и вспомогательными активными дополнительными условиями, и не действуют на процесс, когда он идет в соответствующих точках согласно этому частному решению, но начинают непосредственно действовать на него, как только он отклоняется от указанного решения.

В дальнейшем, когда это не будет оговорено особо, мы будем предполагать отсутствие избыточных активных условий. Отсутствие вспомогательных условий не предполагается.

Внешнюю продольную связь одномерного процесса назовем связью, не входящую непосредственно в рассматриваемый процесс, но активно обеспечивающую определенные соотношения между его внутренними параметрами в разных точках (сечениях) ядра, не зависящей от времени. О налажии внешней продольной связи безусловно свидетельствуют связанные многоточечные активные условия. Однако внешние связи могут относиться и к пассивным условиям.

Для иллюстрации возьмем однопараметрический процесс с односторонним переносом параметра (рис. 2.1, а). В точке $x = b$ поставим датчик, измеряющий количество сбрасываемого груза. Информация от датчика идет в центральный пост, управляющий количеством груза в точке $x = a$. В результате обеспечивается условие

$$y(b) = k_1 y(a), \quad (2.14)$$

где k_1 — некоторый заранее заданный постоянный коэффициент.

Это типичный пример внешней продольной связи, которая предопределяет связное двухточечное (краевое) условие в одномерном процессе. Заменим, что (2.14) не является активным условием, так как на процесс физически по-прежнему воздействует количества груза, сразу помещаемого в точке $x = a$.

Точечные пассивные дополнительные условия в соответствии со сказанным делятся на собственно пассивные и корректирующие пассивные. Собственно пассивные называются также пассивные условия, которое не соединено с внешними продольными связями. Корректирующие пассивные условия назовем условием, соединенное с какими-то внешними продольными связями и через них корректирующим процесс.

Ясно, что в рассмотренном случае (см. рис. 2.1, а) условие, (2.14) — пример корректирующего пассивного условия. Корректирующие пассивные условия и внешние продольные связи, так же, как и активные условия, — элементы множества параметров генетической идентификации процесса. Конечно, наличие соотношения (2.14) само по себе еще не означает наличия корректирующего условия и внешней связи, это могло явиться просто результатом наблюдения над соотношениями величин в некотором процессе.

Одномерный процесс называется неособенным, если у него нет избыточных активных и корректирующих пассивных условий. В противном случае назовем его особым процессом. В дальнейшем (если нет специальных оговорок) будем считать рассматриваемые процессы неособенными.

Назовем определяющими условиями такие дополнительные условия, которые в своей совокупности физически определяют частный интеграл, соответствующий данному процессу, но не обязательно сами непосредственно действуют на процесс. Понятия определяющих и активных условий не совпадают. Так, условие (2.14) в рассмотренном примере — определяющее, но не активное; условие $y(a) = y_b$, соответствующее (2.14), активно, но в данной конкретной постановке задачи не является определяющим.

Здесь уместно спросить, зачем выделять особо корректирующие пассивные условия? Не проще ли отнести их к разряду активных условий, немного изменяв соответствующие определения? Тогда, в частности, отпадает необходимость в лягушке определяющих условий.

Ответом служит следующая теорема.

Теорема 2.3. Значия определяющих условий, в которых определяются хотя бы некоторые активные условия, еще недостаточно, чтобы говорить о наличии устойчивости процесса.

Доказательство, как и во многих других случаях, проведем путем анализа характеристического примера.

Пусть мы имеем в пределах $0 < x \leq l$ однопараметрический процесс, который описывается уравнением

$$\frac{dy}{dx} = p y, \quad p > 0 \quad (2.15)$$

при определяющем граничном условии

$$y(l) - y(0) = A. \quad (2.16)$$

Общий интеграл (2.15) имеет вид

$$y \sim y(0) e^{\rho x} \text{ или } y \sim y(l) e^{-\rho(l-x)}, \quad (2.17)$$

что вместе с (2.16) дает

$$y(0) = \frac{A}{e^{\rho l} - 1}; \quad y(l) = \frac{A}{e^{\rho l} - 1} e^{\rho l}. \quad (2.18)$$

Обратим внимание, что условие (2.16) может быть осуществлено, например, так. Процесс имеет схему, изображенную на рис. 2.1, е. В точке $x = l$ установлен измеритель груза, посыпающий информацию в центральный пост, который управляет антиным ускорением в точке $x = 0$. Но может иметь место и другая схема: поток параметра направлен справа налево, измеритель груза находится в точке $x = 0$, а активное условие осуществляется в точке $x = l$. Оба возможных процесса имеют разную устойчивость.

В самом деле, разделим отрезок $0 \leq x \leq l$ на n участков и допустим, что в пределах каждого участка накапливается заторможенность $\pm \delta$. Примем также, что любой процесс считается условно идентичным процессу, определяемому зависимостями (2.17), (2.18), если условие (2.16) осуществляется с точностью $\pm \Delta$. Определим требуемое максимальное значение $|\delta|$, чтобы тот и другой процесс были устойчивыми. Это следует делать, полагая, что все перешагивания на всех участках направлены в одну сторону.

В первом случае значения заторможенностей будут: на первом участке

$$|\delta|;$$

на втором

$$\left| \delta e^{\frac{\rho}{n} \frac{l}{n}} + \delta \right|;$$

на третьем

$$\left| \left(\delta e^{\frac{\rho}{n} \frac{2l}{n}} + \delta \right) e^{\frac{\rho}{n} \frac{l}{n}} + \delta \right| = \left| \delta \left(e^{\frac{\rho}{n} \frac{2l}{n}} + e^{\frac{\rho}{n} \frac{l}{n}} + 1 \right) \right|;$$

на k -м участке

$$\left| \delta \left(e^{\frac{(k-1)\rho}{n} \frac{l}{n}} - e^{\frac{(k-1)\rho}{n} \frac{l}{n}} + \dots + e^{\frac{\rho}{n} \frac{l}{n}} + 1 \right) \right|.$$

Отсюда для максимального значения $|\delta|$ имеем

$$|\delta|_{\max} = \frac{\delta}{\frac{n-1}{n} \rho l + e^{\frac{n-2}{n} \rho l} + \dots + e^{\frac{\rho}{n} l} + 1} = \frac{\delta}{e^{-\frac{(n-1)\rho}{n} l} - e^{-\frac{(n-2)\rho}{n} l} - \dots - e^{-\frac{\rho}{n} l} + 1}. \quad (2.19)$$

Во втором случае получим

$$|\delta|_{\max} = \frac{\delta}{\frac{(n-1)\rho}{n} l - e^{-\frac{(n-2)\rho}{n} l} - \dots - e^{-\frac{\rho}{n} l} + 1} = \frac{\delta}{e^{\frac{(n-1)\rho}{n} l} - e^{\frac{(n-2)\rho}{n} l} - \dots - e^{\frac{\rho}{n} l} + 1}. \quad (2.20)$$

Неоднокаковость (2.19) и (2.20) доказывает наше утверждение.

Любые две совокупности дополнительных условий, выделяющие одно и то же частное решение данной системы дифференциальных уравнений, называются互为 corresponding друг другу (примеры этого и сам термин уже встречались ранее). Как следует из сказанного выше, если два процессы определяются одной и той же системой дифференциальных уравнений, имеющими разные, но соответствующие друг другу совокупности дополнительных условий, то устойчивость этих процессов будет, вообще говоря, различной.

Теперь возникают другие вопросы. Может быть, решающую роль в анализе устойчивости играют только активные условия? Или активные и определяющие имеют? Ну а во детальном рассмотрении схемы потоков параметров? Может быть, схема потоков, хотя и полезна при установлении возможных видов активных условий, сама по себе не является необходимой и в лучшем случае должна рассматриваться как вспомогательное понятие?

На первый взгляд, высказанные предположения имеют много оснований. В том что рассмотренном примере определяющее условие, конечно, необходимо для выделения искомого частного интеграла, однако устойчивость процесса определяется лишь активным условием. Последнее задает как будто бы и направление потока параметра.

Но расширим наши представления о возможных потоках параметров. Некоторые или все ленты λ -ленточного транспортера можно устроить так, что соответствующий параметр будет переноситься в обе стороны. Для этого выполним, скажем, λ -ленту спаренной, обе рабочие части которой будут двигаться в противоположных направлениях (рис. 2.1, 9). В точках A_1 и B происходит перегрузка с одной рабочей части ленты на другую. Положение груза на нижнюю и верхнюю части определяется одной и той же функцией f_0 , только при подъеме на верхнюю часть f_0 берется с обратным знаком.

Комбинируя одиночные и спаренные ленты, запуская некоторые одиночные ленты во взаимно противоположных направлениях, мы можем получить в λ -ленточном агрегате производственные и весьма разнообразные потоки параметров (рис. 2.1, е, ж, з).

Из приведенных схем видно, что реальные процессы, определяемые одной неизменной переменной, делятся на односторонние и двусторонние. Процесс называется односторонним с течением в сторону возрастания (убывания) неизменной переменной x , если любые локальные изменения, происходящие в него при любом $x = x_0$, не приводят к изменению процесса при $x < x_0$ (соответственно $x > x_0$). Процесс называется двусторонним, если он не является односторонним, т. е. если некоторая локальная его изменение при некотором $x = x_1$ изменяет течение процесса и при $x < x_1$ и при $x > x_1$.

Типичным примером одностороннего процесса может служить движение обычной механической системы с n степенями свободы при отсутствии в ней следящих систем. Типичный пример двусто-

рингового процесса — статический изгиб балки под действием концентрической нагрузки.

Пусть по ленте транспортера в обратную сторону (см. рис. 2.1, е) по отношению к движению остальных лент, изменение знак перед f_1 . Процесс по-прежнему определяется той же системой (2.6), но задача нахождения частного решения из одноточечной (с начальными условиями) превратилась в двухточечную (с граничными условиями): нужно задавать $y_1(a) = y_1$, ..., $y_{n-1}(a) = y_n$, кроме того,

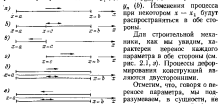


Рис. 2.2.

системе транспортных лент, а направления причинно-следственных связей. Принятый у нас «правой» перенос просто делает эти связи более наглядными.

Вернемся теперь и изучимо связи между активными условиями и возможными потоками параметров.

Теорема 2.4. Активные дополнительные условия в общем случае не определяют однозначно схемы потоков параметров, как и схема потоков параметров в общем случае не определяет однозначного активного условия. Устойчивость процесса зависит, вообще говоря, и от активных условий, и от схемы потоков параметров, и от определяющих условия, которые включают в себя пасенные корректирующие условия.

Пусть (рис. 2.2, а, б) на левом конце однопараметрического процесса задано активное условие $y(a) = y_a$. Ясно, что этому условию могут отвечать два потока — и односторонний, и двусторонний. Первое утверждение доказано.

Однако при обеих волнах устойчивость процесса остается в данном случае одинаковой. Для усиления последнего обстоятельства обратим внимание на то, что разведение параметров (грузов) на обеих рабочих частях ленты при двустороннем установившемся (именно установившемся) переносе выполняется автоматически. Следовательно, зафиксирована в какой-то момент заданный груз в точке $x = a$, можно затем следить за его движением по части

ленты, идущей в сторону возрастания x , считая ее единственной. Все будет происходить так же, как в случае одностороннего переноса параметра в сторону $x = b$.

Подчеркнем характеристику переноса (не просто перенос, а установленный во времени перенос) очень важна: в отличие от одностороннего движения груза по лентам (см. рис. 2.1, а, б), когда мы можем следить за поршневым грузом и не требовать обязательного установления процесса во времени, движение по двусторонним лентам и все остальные потоки параметров требуют непременно установления процесса; иначе, кроме зависимости от x , понадобится зависимость от времени t , т. е. процесс будет двухмерным.

Базовые следствия, вытекающие из условия установления, мы встретим в дальнейшем.

При двустороннем потоке (см. рис. 2.2, б) можно поставить условие $y(b) = y_b$, но можно поставить и условие $y(b) = y_b$ или даже $y(c) = y_b$, где $a < c < b$. Второе утверждение доказано.

Устойчивость процесса, иллюстрируемого рис. 2.2, б, сводится к тому что при третьем варианте активных условий эквивалентна устойчивости процесса, показанного на рис. 2.2, а; что касается устойчивости справа от точки c , то она эквивалентна устойчивости процесса, представляемого на рис. 2.2, г.

Чтобы показать влияние потоков параметров на устойчивость процессов, рассмотрим схемы последовательно изображенные на рис. 2.2, д, е, и уравнения переноса, имеющие вид

$$\frac{dy_1}{dx} = f_1(x, y_1), \quad \frac{dy_2}{dx} = f_2(x, y_2) \quad (2.21)$$

при несвязанных граничных активных условиях

$$q_1[y_1(a), y_1(b)] = 0, \quad q_2[y_2(b), y_2(b)] = 0. \quad (2.22)$$

Ясно, что здесь изменение потока y_1 меняет устойчивость процесса. Отметим, что поток y_2 считается двусторонним не случайно — в противном случае условие (2.22) нельзя было бы считать явно активным (они были бы, скорее, пассивными корректирующими).

Влияние вида определяющих условий на устойчивость процесса будет очевидно из примеров, приведенных в главе 3-й.

3. Влияние установления процесса во времени. Более сложные процессы с односторонним и двусторонним переносом параметров. Системы процессов. Вернемся к рассмотренному ранее примеру процесса (см. рис. 2.1, е) с корректирующим касательным условием (2.14). Поставим вопрос — односторонний это процесс или двусторонний? Чтобы ответить на него, рассмотрим для возможных случаев.

Первый случай, когда перемещение груза на ленте транспортера — некий установившийся процесс. Иными словами, на ленту непрерывно накладываются грузы в точке $x = a$, и в каждой точке

x ($a \leq x \leq b$) в любой момент времени находится постоянный груз; все устройства транспортера работают без возмущений во времени. Тогда процесс, несомненно, должен быть отнесен к классу двусторонних.

Для доказательства возьмем два таких процесса, отличающихся одинаком и тому же уравнением первого порядка и одному и тому же условием (2.14). Но во второй процесс на него локальное возмущение в точке $x = x_1$, отвечающей неравенству $a < x_1 < b$. Если во втором процессе изменить в точке $x = x_1$ — и только же груза, сколько и в первом, то из-за локального возмущения в точке x_1 условие (2.14) не будет выполнено. Следовательно, груз будет насыщаться в другом количестве, и наличие локального возмущения изменит течение процесса в обе стороны от $x = x_1$.

Второй случай — а установившийся во времени процесс. В точке $x = a$ время от времени накладывается груз $y(a)$, и мы сладим за его прохождением по ленте транспортера вплоть до ссыпания в точке $x = b$. В устройстве системы могут возникать локальные возмущения во времени. Здесь мы имеем дело с неким промежуточным по типу процессом. Наличие условия (2.14), как и в первом случае, заставляет при следующем цикле подкорректировать начальное условие, если по длине ленты возникнет локальное возмущение, но этот следующий цикл дает односторонний процесс, где всякие новые локальные возмущение окажут влияние только в последующей части процесса.

Влияние установления процесса существенно и принципиально. Если процесс односторонний с активными начальными условиями и без предыдущих связей, то мы всегда можем представить его как не установившийся. Иначе говоря, положив (см. рис. 2.1, a) за ленты i произвольные грузы $y_i(a) = y_{ia}$, мы затем просто управляем с помощью уравнений (2.6) трансформацией этих грузов при их перемещении. Если правые части (2.6) заданы аравиантно и всегда дают однозначный ответ для значений производных $y'_i(x)$, то мы имеем единственное решение соответствующей задачи Коши. В противном (достаточно редком) случае нужно подкорректировать эти правые части или авести дополнительную информацию исходя из дополнительного физического анализа устройства системы.

Происходит постепенное развертывание практик, но возникающие следствия не имеют с принципами обратной связи. А не имея обратных связей, причины кратременно как-то развернутся во времени и мы обязательно будем знать это развертывание, если знаем все физические условия.

Другое дело различного рода двусторонние процессы, где требуется их установление во времени и имеется обратная связь следствий и причин. Тут для существования решения нужно очень жесткое условие установления процесса. Недаром мы зачастую встречаемся с несовместностью краевых задач.

Можно сказать, что любой одномерный двусторонний процесс есть вырождающийся после установления двумерный процесс.

И если двухмерный процесс не устанавливается, то одномерного двустороннего процесса просто не существует.

Чтобы не быть голословным, возьмем двухпараметрический процесс (см. рис. 2.1, c) с двумя лентами, идущими на встречу друг другу. Пусть в начальный момент ленты пусты, но еще пусты, а следящие системы и центральный пост отсутствуют. В точке A_1 непрерывно насыщается груз $y_1(a) = y_{1a}$, а в точке B — груз $y_2(b) = y_{2b}$. Оба груза пойдут на встречу друг другу, причем процесс на лентах будет зависеть от переменных x и t , т. е. описываться дифференциальными уравнениями в частных производных. Если процесс установится, то решение будет описываться системой двух обыкновенных дифференциальных уравнений первого порядка при граничных условиях $y_1(a) = y_{1a}$, $y_1(b) = y_{1b}$. Если же установления не произойдет, то такого решения физически не будет существовать.

Кстати сказать, если решение краевой задачи для обыкновенных дифференциальных уравнений существует и описывает реальный двусторонний процесс с активными многочленными условиями, то, получив его, нужно, строго говоря, еще проверять устойчивость соответствующего двухмерного процесса во времени (см. теорему 1.1). Отрицательный результат проверки свидетельствует об эффективности решения.

Весьма интересно проанализировать с разработкой здесь точки зрения одномерные процессы, где внешние продольные связи «подключены непрерывно»; в этом случае мы приходим к дифференциальным уравнениям с отклоняющимися аргументами или к интегродифференциальным уравнениям.

Пусть ленты транспортера движутся в одну сторону (см. рис. 2.1, a). В каждой точке x снимаются показания о количестве движущихся по лентам грузов, а центральный пост дает команду подсыпать грузы с интенсивностью $f_i[x, y_1(x), y_2(x-a_1), y_3(x), y_4(x-a_2), \dots, y_n(x), y_n(x-a_n)]$, где a_i — некоторые постоянные положительные числа; интенсивность подсыпки зависит от количества грузов не только в самой точке x , но и в предшествующих точках; при $(x-a_i) < a$ всегда $y_i = 0$. Тогда получим систему дифференциальных уравнений с запаздывающими аргументами

$$\frac{dy_i}{dx} = f_i[x, y_1(x), y_2(x-a_1), y_3(x), y_4(x-a_2), \dots, y_n(x), y_n(x-a_n)], \quad (i=1, 2, \dots, n). \quad (2.23)$$

Вместо постоянных чисел a_i можно ввести положительные функции $a_i(x)$.

Нетрудно снять показания и в точках с координатами $[x - b_i(x)]$, где b_i — другие положительные функции, и, кроме того, обусловить интенсивность подсыпки всем предшествующим запаздыванием.

функцией y_a , т. е. получить интегро-дифференциальные уравнения

$$\frac{dy_i}{dx} = f_i(x, y_1(x), y_2(x) - a_1(x)), \quad y_1(x - b_1(x)), \dots, y_n(x), \\ y_n(x - a_n(x)). \\ g_n(x - b_n(x)), \int_0^{x-b} \psi_i(y_i(x - t)), \dots, y_n(x - b) dt \quad (2.23a)$$

и т. д.

Поскольку мы обусловили приращения лишь предшествующими значениями y_i , то уравнения типа (2.23) и (2.23a) могут относиться к неустановившимся режимам; обратной связи следствий с причинами здесь не существует, и мы, по существу, всегда будем иметь единственное частное решение $y_1(x), \dots, y_n(x)$.

Если за точку $x = a$ принять не истинное начало процесса, как в нашем случае, а какое-то его сечение, то вместо начальных условий придется задавать на некотором участке левее $x = a$ некоторые начальные функции y_i , не равные, вообще говоря, нулю. Принципиальных изменений от этого не произойдет.

Положение станет совсем другим, если в (2.23) изменить все знаки перед a_i и получить уравнения с опережающими аргументами или изменить только некоторые знаки, т. е. иметь уравнения нейтрального типа (часть аргументов — опережающие, часть — запаздывающие).

Поскольку наличие хотя бы одного опережающего аргумента $(x + a_i)$ означает при одностороннем переносе всех параметров аведение обратной связи между следствиями и причинами, то подобные уравнения могут касаться лишь установившихся процессов, которые были до своего установления двухмерными. А так как установление двухмерного процесса может не обязательно, решения подобной начальной задачи может не застать и не существовать.

Кстати, мы получили интересный вывод: процесс с односторонним переносом всех параметров и начальными условиями оказывается в целом двусторонним.

Небезинтересен и другой уже вскользь упомянутый факт: установившийся процесс с двусторонним переносом каждого параметра может быть в целом односторонним, если (см. рис. 2.1, б) задать на одном конце такого процесса, определяемого уравнениями (2.6), активные одноточечные условия вид $y_i(a) = y_{ia}$ или $y_i(b) = -y_{ib}$. Для этого следует поставить устройство, следящее за такими условиями, а при их нарушении — увеличить или уменьшить грузы замков личин. Если принять замковый личник, то течение одностороннего процесса будет направлено в сторону возрастания x ; при втором варианте — в сторону убывания x . Доказательство очень схоже с приведенным доказательством двустороннего однопараметрического процесса при пассивном корректирующем устройстве (2.14), и мы его приводить не будем.

Этот пример безусловно установившегося процесса, в сущности, эквивалентен неустановившемуся процессу; таким образом, установление процесса здесь всегда возможно.

При процессе с двусторонним переносом каждого параметра (см. рис. 2.1, б) возможны разнообразные варианты активных дополнительных условий.

Если устройства A_i и B_i пересыпают грузы без всяких ограничений, то в произвольной точке $x = x_0$ поставлены измерители грузов и активно обеспечиваются равенства $y_i(x_0) = y_{ii}$, ($i = 1, 2, \dots, n$), то мы имеем процесс с одноточечными активными условиями в середине пролета (подобный случай уже рассматривался).

Можно допустить, что пересыпные устройства работают без ограничений и вообще никаких ограничивающих устройств на транспортерах нет. Имеются возможности реализации любого частного решения системы (2.6): производится бесконечная циклическая транспортировка грузов в соответствии с конкретным частным решением.

Дополнительных условий в самом установившемся процессе выделить нельзя. Следовательно, частное решение определяется условиями установления процесса.

В простейшем случае возьмем транспортер, насыплем на каждую спаренную ленту груз $g^{\pm}(x)$ согласно некоторому частному решению системы (2.6) и запустим ленты. Выбранное нами частное решение будет осуществляться автоматически.

В более сложном случае, когда в начальный момент времени грузы расположены на лентах произвольно, процесс в течение некоторого периода будет неустановившимся — количество грузов окажутся функциями не только координаты x , но и времени t . Однако при некоторых условиях может произойти установление процесса во времени согласно одному из частных решений уравнений (2.6). Тогда эти условия будут определяющим для него.

Нетрудно моделировать и активные многоточечные (в частности, двухточечные) условия. Положим, пересыпные устройства A_i и B_i не накладывают ограничений, но в точках $x = x_1, x = -x_1, \dots, x = x_s$ стоит измерители грузов и обеспечиваются равенства

$$y_1(x_1) = y_{10}, \quad y_2(x_1) = y_{20}, \quad \dots, \quad y_n(x_1) = y_{n0} \quad (2.23b)$$

Реализация частного интеграла снова очевидна.

Пусть теперь для определенности процесс будет четырехпараметрическим. Нетрудно представить себе, что пересыпные устройства A_i , а также B_i связаны между собой и всегда принудительно выполняются соотношения

$$\begin{aligned} K_1 y_1(a) &= y_2(a); \quad K_2 y_2(a) = y_1(a); \\ K_3 y_3(b) &= y_4(b); \quad K_4 y_4(b) = y_3(b). \end{aligned} \quad (2.24)$$

где K_i — заданные числа. Мы имеем четыре активных условия (базового типа), которые дают реализацию частного решения.

Количество подобных примеров легко увеличить до бесконечности.

Схема потоков параметров данного процесса и вид активных дополнительных условий не находятся, как уже отмечалось, во взаимно-однозначном соотношении: одной и той же схеме могут соответствовать разные типы условий и наоборот. Но, глядя на схему потоков параметров, обычно легко сказать, какие активные условия ей не могут соответствовать. Скажем, схеме на рис. 2.1, а не могут отвечать активные граничные условия.

Однако рассмотрения заслуживают периодические процессы. Пусть исследуется изгиб замкнутого колца. Каждый внутренний параметр этого периодического процесса имеет двусторонний пе-



Рис. 2.3.

рерос. Введя мысленно разрез в произвольном сечении $B - B_0$ (рис. 2.3, а) и обозначив внутренние параметры буквами g_1 (g_2), получим дополнительные условия (условия периодичности)

$$g_1'(0) = g_1'(0 + 2\pi k), \quad (2.25)$$

где k — любое целое число.

Интересно, что зависимости (2.25) автоматически всегда выполняются абсолютно точно; они активны.

Изучая периодические процессы типа движущихся с односторонним переносом параметров, мы должны рассмотреть дополнительные условия того же вида (2.25). Но здесь необходимо учитывать возможность возникновения дополнительных условий.

Схема переноса каждого параметра в процессе типа изгиба колца показана на рис. 2.3, б, а соответствующая схема процесса типа движения — на рис. 2.3, в. В последнем случае лента транспортера имеет такого (потенциально бесконечно много) витков и за-пинается в виде спирали. Условия (2.25) мы должны рассматривать здесь как чисто пассивные.

Если взять для каждого параметра одну кольцевую замкнутую ленту (рис. 2.3, г) и пристроить ее в определенном направлении, то этот односторонний перенос в отличие от схемы процесса, показанного на рис. 2.3, а, даст процесс с автоматическими точными удовлетворением условий (2.25), которые станут активными. Иными словами, спаренные ленты для активного обеспечения условий периодичности брать не обязательно.

Вспомнив изложение выше, нетрудно убедиться, что мы доказали следующую, далеко не тривиальную теорему.

Теорема 2.5. В совокупности решаемых одномерных метроперенных процессах, охватываемых любыми конкретными уравнениями вида (2.6), могут быть решены поставленные прошедшими обстоятельствами, действующими и эквивалентные активные дополнительные условия, а также активные дополнительные условия, характеризующие установленные процессы. Вид возможных активных дополнительных условий в данном конкретном процессе из указанной совокупности зависит от направлений перехода его внутренних параметров.

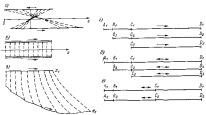


Рис. 2.4.

Говоря о схемах потоков и связях между параметрами, которые наглядно демонстрируются на нашей воображаемой машине с ленточными транспортерами, нужно подчеркнуть не только видимую конкретность машины, но и ее абстрактность. К нашим машинным схемам приводятся процессы, далекие друг от друга и от машины. Даже если ограничиться реальными ленточными машинами, то не трудно вообразить себе, скажем, систему с лентами разной длины и встречными потоками (рис. 2.4, а), но перекрещивающимися связями параметров; она приводится к системе с односторонним потоком параметров, однократной пропаженностью в диапазоне изменения параметров и активными начальными условиями в точке $x = 0$ (рис. 2.4, б). К этой схеме нетрудно привести и машины, где ленты идут вдоль разных осей (рис. 2.4, в).

К схеме, типа показанной на рис. 2.4, а, а затем к более простым схемам могут быть приведены и процессы, где каждый самообразованный внутренний параметр — функция самой (так сказать, собственной) независимой физической переменной (у одного параметра это длина, у другого — температура, у третьего — время и т. п.). Важно лишь, чтобы сечение каждой из заданных переменных были связаны информационными связями по какому-то подходящему

шому танту. Тогда одна из неизвестных переменных окажется «свободной», подобно x_1 или x_2 на рис. 2.4, а.

Конструирование различных ленточных машин позволяет изучить все многообразие причинно-следственных связей, показать роль возможных изменений в них при замене переменных, задаваний и иных преобразованиях. Дальнейшее обобщение позволяет открывать возможность таких исследований в общих биотехнологиях и других пространствах.

Приведем еще несколько примеров.

Пусть (рис. 2.3, а) на первую ленту в точке A_1 накладывается груз $y_1(x_1) = F_1(x_1) = y_{10}$, который затем перемещается до точки B_1 с координатой x_2 , где подключается вторая лента. На эту ленту в точке B_2 накладывается груз $y_2(x_2) = F_2(x_2)$, $y_1(x_2)$, и обе ленты работают совместно до точки C_1 и C_2 с координатой x_3 . В точке C_2 на третью ленту накладывается груз $y_3(x_3) = F_3(x_3)$, $y_1(x_3)$, $y_2(x_3)$, и все три ленты работают совместно до конечных точек D_1 с координатой x_4 .

Ясно, что мы имеем односторонний процесс, определяемый системой уравнений

$$\begin{aligned} \frac{dy_1}{dx} &= f_{11}(x, y_1) \Big|_{x_1}^{x_2} + f_{12}(x, y_1, y_2) \Big|_{x_2}^{x_3} + \\ &+ f_{13}(x, y_1, y_2, y_3) \Big|_{x_3}^{x_4} - f_1(x, y_1, y_2, y_3); \\ \frac{dy_2}{dx} &= f_{21}(x, y_1, y_2) \Big|_{x_1}^{x_2} + f_{22}(x, y_1, y_2, y_3) \Big|_{x_3}^{x_4} = f_2(x, y_1, y_2, y_3); \quad (2.26) \\ \frac{dy_3}{dx} &= f_{31}(x, y_1, y_2, y_3) \Big|_{x_3}^{x_4} - f_3(x, y_1, y_2, y_3). \end{aligned}$$

при многочленных условиях

$$\begin{aligned} y_1(x_1) &= y_{10}; \quad y_1(x_2) = F_1[x_1, y_1(x_1)]; \\ y_2(x_2) &= F_2[x_2, y_1(x_2), y_1(x_3)]. \quad (2.27) \end{aligned}$$

Прерыватель $\left| \begin{matrix} x_1 \\ x_2 \end{matrix} \right.$ означает, что соответствующий член учитывается только при $x_1 \leq x \leq x_2$.

Можно поставить и более сложные связанные краевые условия:

$$\begin{aligned} y_1(x_1) &= y_{10}; \quad y_2(x_2) = F_2[x_1, y_1(x_1), y_1(x_2)]; \\ y_3(x_3) &= F_3[x_2, y_1(x_2), y_2(x_2), y_1(x_3)] \quad (2.27a) \end{aligned}$$

и даже краевые условия с интегральными членами

$$\begin{aligned} y_1(x_1) &= y_{10}; \quad y_1(x_2) = F_1 \left[x_1, \int_{x_1}^{x_2} y_2 dx \right]; \\ y_2(x_2) &= F_2 \left[x_1, \int_{x_1}^{x_2} y_2 dx, \int_{x_1}^{x_2} y_3 dx \right]. \quad (2.27b) \end{aligned}$$

Наличие таких сложных краевых условий не меняет односторонности процесса.

Положение не изменится, если в этом примере мы примем схему двустороннего переноса каждого параметра (рис. 2.4, б).

Можно сконструировать процесс, односторонний на один участок и двухсторонний — на другие. Возьмем две ленты со спаренными рабочими частями (рис. 2.4, в) и поставим краевые условия в точках B_1 и C_1 . Участки A_1B_1 и C_1D_1 дают односторонний процесс, а участки B_1C_1 — двухсторонний.

Нередко нужно рассматривать системы связанных между собой одномерных и квазиномерных процессов. Так, любая рамная балочная конструкция — система одномерных процессов, когда каждой составляющей балки — отдельные процессы связаны друг с другом через краевые условия (рис. 2.5). Связь может быть и более сложной.

4. Замена переменных при исследовании процессов. Не трудно видеть, что замена переменных в исходной математической модели приводит к другой математической модели, которая эквивалентна первой в смысле классической математики, но с позиций неклассической математики отображает процесс с другой, вообще говоря, устойчивостью.

В частности, если взять систему (2.6) при начальных условиях в точке $x = a$ и найти ее частное решение в пределах $a \leq x \leq b$, то, в сущности, мы описываем процесс типа, показанного на рис. 2.1, а. Если теперь сделать замену переменных типа $z = -x$, то мы перейдем к описанию процесса типа, показанного на рис. 2.1, б, с совершенно другой устойчивостью (хотя с тем же «идеальным» течением).

Замена переменных $z = 3x$, мы как бы «растягиваем» процесс — делаем изменения внутренних параметров вдоль линии некомпактной переменной «более плавными», что также влияет на устойчивость.

Обычно сильно на устойчивость моделируемых процессов иногда влияет замена зависимых переменных, т. е. внутренних параметров. Пусть мы имеем два уравнения

$$\frac{dy_1}{dx} = f_1(x, y_1, y_2); \quad \frac{dy_2}{dx} = f_2(x, y_1, y_2)$$

с активными граничными условиями $y_1(a) = y_{1a}$, $y_2(b) = y_{2b}$ ($b > a$), который соответствует процессу, показанному на рис. 2.1, в, с встречными потоками параметров. Если сделать замену переменных $x_1 = y_1 + y_2$, $x_2 = y_2 - y_1$, то мы получим модель процесса с двусторонним переносом каждого параметра.

Число подобных примеров можно неограниченно увеличивать, но в из приведенных примеров видно, что замена переменных

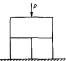


Рис. 2.3.

в вычислительной математике позволяет конструировать устойчивые вычислительные алгоритмы, расширяет область использования данного вычислительного метода, обеспечивает принцип соответствия между устойчивостью алгоритма и рассматриваемого процесса в т. ч. Надлежащие примеры читатель немножко встретят в дальнейшем изложении.

§ 7. Составление обыкновенных дифференциальных уравнений и дополнительных условий

1. Общая методология. Обсудим более подробно методологию вывода обыкновенных дифференциальных уравнений, вид которых, как ясно из предыдущего, не зависит от направления потока параметров. Чтобы составить дифференциальные уравнения конкретной задачи, целесообразно выбрать определенную, наиболее удобную, систему внутренних параметров; задаться их буквальными значениями в произвольном сечении процесса (при произвольном значении независимой переменной x) и, рассмотрев процесс на участке длиной dx , выразить значения этих параметров в сечениях $x + dx$ через их значения в сечении x .

Для рассмотрения процесса на участке от x до $x + dx$ применяются методы специальных наук, изучающих данный физический процесс. Математика сама по себе тут ничего не дает, она лишь позволяет в соответствии с основной идеей исчисления бесконечно малых линеаризировать соответствующие функции на бесконечно малом интервале.

Вид уравнений существенно зависит от выбора положительных направлений для изменения основной координаты (независимой переменной) и других координат, а также для всех внутренних параметров. Их целесообразно четко нанести на соответствующей чертеже до начала вывода.

Для иллюстрации сказанного рассмотрим (рис. 2.6, а) уже упоминавшийся ранее процесс растяжения линейно-упругого стержня, помещенного в линейное упругое пространство цинкеровского типа. Обозначим: Γ — длина стержня, E — модуль нормальной упругости, $\Omega = \Omega(x)$ — переносная по длине плоскость поперечного сечения стержня, $q(x)$ — интенсивность распределенной единичной стержневой продольной нагрузки, k — коэффициент жесткости пространства. Ось x направлена, как указано на чертеже.

В качестве внутренних параметров процесса примем величину $P(x)$ внутреннего осевого усилия и величину $y(x)$ осевого смещения поперечного сечения стержня с координатой x . Положительные направления $P(x)$ и $y(x)$ показаны стрелками на рис. 2.6, б. Тогда, рассматривая элемент длиной dx , получаем условие его равновесия

$$P + k(x)y dx = P + dP + q(x)dx,$$

т. е.

$$dP = k(x)yd x - q(x)d x$$

или

$$\frac{dP}{dx} = k(x)y - q(x).$$

На основании закона Гука сразу имеем

$$dy = \frac{Pdx}{E\Omega(x)},$$

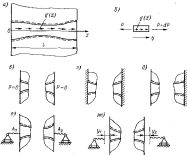


Рис. 2.6.

т. е.

$$\frac{dy}{dx} = \frac{P}{E\Omega(x)}.$$

Иными словами, рассматриваемый процесс определяется линейными дифференциальными уравнениями с переменными коэффициентами

$$\begin{aligned} \frac{dP}{dx} &= k(x)y - q(x), \\ \frac{dy}{dx} &= \frac{P}{E\Omega(x)}. \end{aligned} \quad (2.28)$$

Если положить $q(x) = 0$; $k(x) = \text{const} = k$; $\Omega(x) = \text{const} = \Omega$, проинтегрировать второе уравнение (2.28) к участку пер-

все уравнение, то получим уже встречавшееся ранее уравнение (1.4):

$$\frac{dy}{dx} = \alpha^2 y,$$

т.е.

$$\alpha^2 = \frac{k}{EI},$$

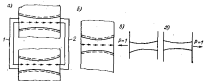


Рис. 2.7.

Активные граничные условия для (2.28) определяются условиями закрепления его концов: при свободных концах имеем (рис. 2.6, а)

$$P(0) = 0; P(l) = 0; \quad (2.29a)$$

при жестко заделанных концах (рис. 2.6, б)

$$y(0) = 0; y(l) = 0; \quad (2.29b)$$

при одном свободном и другом жестко заделанном конце (рис. 2.6, в)

$$P(0) = 0; y(l) = 0; \quad (2.29c)$$

при узкого заделанных концах (рис. 2.6, г)

$$y(0) = P(0) A_1; y(l) = -P(l) A_2; \quad (2.29d)$$

при узкого заделанных концах и с предварительными зазорами между концами и концами упругими связями (рис. 2.6, д)

$$y(0) = P(0) A_1 - y_1; y(l) = y_2 - P(l) A_2. \quad (2.29e)$$

где A_1 и A_2 — коэффициенты податливости заделок на левом и правом концах; y_1 и y_2 — предварительные зазоры.

Можно представить себе и более сложные условия, если процесс имеет внешние продольные связи.

Допустим, что таких стержней два (рис. 2.7, а). Концы стержней соединены жесткими недеформируемыми трансверзами 1 и 2. Нижний стержень можно рассматривать как внешнюю продольную связь для процесса растяжения верхнего (к изгибу).

Рассчитав отдельно нижний стержень при условии свободных краев, найдем перемещение его левого $y_{1,0}$ и правого $y_{1,1}$ в краях (рис. 2.7, б). Затем уберем распределенную нагрузку на нижний стержень, приложив к его левому концу единичное усилие $P = 1$ и найдем смещение левого $y_{1,1}$ и правого $y_{1,0}$ в краях (рис. 2.7, в). Аналогичным образом (рис. 2.7, г) определим смещение $y_{1,0}$ и $y_{1,1}$.

Тогда для расчета верхнего стержня получим связанные граничные условия вида

$$\begin{aligned} y(0) &= -P(0) y_{1,1} - P(l) y_{1,0} + y_{1,1}; \\ y(l) &= -P(l) y_{1,0} - P(0) y_{1,1} + y_{1,0}. \end{aligned} \quad (2.29e)$$

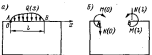


Рис. 2.8.

Если мы имеем балку AB постоянного сечения (y — прогиб балки), работающую в составе рамы (рис. 2.8, а), то граничные условия приобретут вид

$$EIy''(0) K_1 + EIy''(l) K_2 + EIy''(0) K_3 + EIy''(l) K_4 = y(0);$$

$$EIy''(0) K_3 + EIy''(l) K_4 + EIy''(0) K_1 + EIy''(l) K_2 = y'(0);$$

$$EIy''(0) K_3 + EIy''(l) K_4 + EIy''(0) K_{12} + EIy''(l) K_{34} = y(l);$$

$$EIy''(0) K_{12} + EIy''(l) K_{34} + EIy''(0) K_{13} + EIy''(l) K_{24} = y'(l), \quad (2.30)$$

где K_m — коэффициенты податливости сечений A и B рамы под действием усилий $N(0)$, $M(0)$, $N(l)$, $M(l)$ (рис. 2.8, б); знаки в левых частях (2.30) расставлены условно и могут меняться в зависимости от прария знаков для внутренних усилий и коэффициентов податливости.

Приведем примеры использования активных условий в задачах строительной механики. Для этого проанализируем более подробно изгиб балки переменной жесткости $EJ(x)$, лежащей на упругом основании [коэффициент жесткости $k(x)$] и находящейся под действием произвольной поперечной нагрузки q (рис. 2.9, а). Деформации будем считать малыми, т. е. геометрию деформаций линейной.

В качестве внутренних параметров процессы примем просадку z , угол поворота сечений ϕ , перерезывающую силу Q и изгибающий

момент M . Положительные направления этих параметров показаны стрелками на рис. 2.9, б.

Из условий равновесия элемента следует

$$Q + k(x)w dx = Q_1, \quad dQ + q(x)dx;$$

$$M - Q dx = M_1 - dM,$$

т. е.

$$dQ = k(x)w dx - q(x)dx;$$

$$dM = Q dx.$$

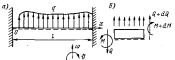


Рис. 2.9.

Из геометрических соотношений ясно, что $\frac{dw}{dx} = \theta$.

Добавив сюда известное из курса сопротивления материалов общее соотношение $d\theta = \frac{dM}{EI(x)}$, окончательно получаем систему уравнений

$$\begin{aligned} \frac{dQ}{dx} &= k(x)w - q(x); \\ \frac{dM}{dx} &= Q; \\ \frac{dw}{dx} &= \theta; \\ \frac{d\theta}{dx} &= -\frac{M}{EI(x)}. \end{aligned} \quad (2.31)$$

Если $1/EI(x)$, $k(x)$ и $q(x)$ непрерывны в пределах $0 < x < l$, то, согласно известной теореме Пикара из общей теории дифференциальных уравнений, у нас выполнены условия существования и единственности решения задачи Коши для системы (2.31). Но пусть момент инерции балки $I(x)$ изменяется скринкоградиентно в сечении $x = x_1$. Тогда мы должны записать вспомогательные условия сопряжения участков $(0, x_1)$ и (x_1, l) :

$$w(x_1) = w(x_1+0), \quad \theta(x_1) = \theta(x_1+0); \quad (2.32)$$

$$Q(x_1) = Q(x_1+0), \quad M(x_1) = M(x_1+0).$$

Чтобы показать, что вспомогательные условия записываются далеко не всегда так trivialно, возьмем уравнение

$$EI(x) \frac{dw}{dx} + 2E \frac{d\theta}{dx} + E \frac{dM}{dx^2} = q(x) - k(x)w, \quad (2.33)$$

эквивалентное (2.31). Запишем его более полно:

$$\begin{aligned} \frac{dw}{dx} &= y_1; \quad \frac{dy_1}{dx} = y_2; \quad \frac{dy_2}{dx} = y_3; \\ \frac{dy_3}{dx} &= \frac{q(x) - k(x)w}{EI(x)} = 2 \frac{1}{f(x)} \frac{d\theta}{dx} = \frac{1}{f(x)} \frac{d^2y}{dx^2}. \end{aligned} \quad (2.34)$$

Для системы (2.34) условия сопряжения в точке x_1 имеют вид

$$w(x_1+0) = w(x_1-0); \quad y_1(x_1+0) = y_1(x_1-0);$$

$$y_2(x_1+0) = y_2(x_1-0)K; \quad y_3(x_1+0) = y_3(x_1-0)K, \quad (2.35)$$

где $K = \frac{f(x_1+0)}{f(x_1-0)}$.

Связи в y_1 и y_2 обусловлены известными физическими соотношениями теории изгиба балок $y_1 = w' = M/EI$, $y_2 = w'' = Q/EI$ и физическими условиями $M(x_1+0) = M_1(x_1-0)$, $Q(x_1+0) = -Q(x_1-0)$.

Пусть прогиб $w(x)$ однопролетной балки в любой ее точке определяется дифференциальными уравнениями изгиба и активными граничными условиями, которые ограждают закрепление ее концов и выделяют частное решение $w^{(n,p)}(x)$. Ничто не мешает дополнительную постановку в произвольной точке по длине пролета специального устройства, активно обеспечивающее разницу фактического прогиба $w(x)$ и значению частного решения $w^{(n,p)}(x_1)$. Тогда мы получим избыточное активное условие.

2. Уравнения и дополнительные условия для осесимметричных упругих деформаций в произвольных оболочках вращения. Рассмотрим в качестве более сложного примера статически упругие осесимметричные деформации произвольной оболочки вращения. Учтем ее конечную жесткость, т. е. в уравнениях равновесия будем входить из деформированного состояния конструкции. Геометрия деформаций по-прежнему линейна. Оболочку отнесем к цилиндрической системе координат (рис. 2.10, а), где x — координата, откладываемая вдоль оси вращения оболочки; $r = r(x)$ — радиус направляющей окружности (средней поверхности оболочки); ϑ — угол, образованный данным радиусом-вектором с вертикальной плоскостью. Вместо координаты x можно использовать координату s , откладывающуюся от какого-то начального сечения вдоль любой оболочки. Кроме того, имеем угол θ между осью вращения и главным радиусом кривизны меридиана R_1 (рис. 2.10, б).

Процесс статического осесимметричного деформирования любой оболочки вращения является псевдоизохроматическим: перемещения

деформаций и напряжения — функции двух координат, например x и r (положение точки по длине и толщине оболочки). Третью координату φ можно исключить из рассмотрения ввиду «равнозначности» трех точек сечения, лежащих на одной окружности с центром на оси вращения. Аналогичным образом исключается и время.

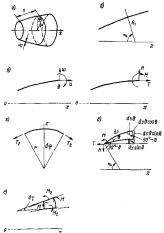


Рис. 2.10.

Использование общепринятых гипотез Лява—Жархгофа, согласно которых предполагается, что любые нормали к срединной поверхности оболочки остаются пряммыми и перпендикулярны к ней после деформации, позволяет свести изучение данного псевдо-двухмерного процесса к исследованию одномерного процесса деформирования срединной поверхности, зависящего лишь от положения сечения по длине оболочки.

Возьмем любое сечение оболочки с координатой x . Ясно (рис. 2.10, δ), что изгиб срединной поверхности характеризуется следующими шестью параметрами: перемещением ω , направленным вдоль оси вращения оболочки; вертикальной q_1 , направленной перпендикулярно оси вращения; углом поворота меридиана Φ ; усилием T , направленным вдоль оси вращения; усилием H , направленным перпендикулярно оси вращения; моментом M . Погонистельные направления параметров указаны стрелками. Таким образом, в итоге будем исследовать одномерный шестипараметрический процесс.¹

Исходные дифференциальные уравнения задачи выведем из рассмотрения деформации элемента оболочки длиной ds . При этом будем считать перемещения и углы поворота малыми, а законы деформирования материала — линейными. Кроме того, будем учитывать малость значений относительных деформаций ϵ по сравнению с единицей. Внешнюю нагрузку разделим на осевую q_2 и радиальную q_1 составляющие. Усилия H , M , T отнесем к единице длины направляющей окружности, а q_1 и q_2 — к единице поверхности.

Выделим четырехугольник, нормальными к срединной поверхности, малый элемент (рис. 2.11, a) и рассмотрим его равновесие. Из условия равновесия сил вдоль оси x следует (рис. 2.11, b)

$$-T(r+\omega)2x+(T+dT)(r+dr+\omega+dw)2n+q_2'(r+\omega)2nd\omega=0$$

или после возможных сокращений, отбрасывания малых членов, согласно сделанным допущениям, и деления на $rd\omega$

$$\frac{dT}{dr}+T\frac{dr}{rd\omega}+q_2=0.$$

Но из геометрических соотношений (рис. 2.11, c) ясно, что

$$\frac{dr}{rd\omega}=\cos\theta.$$

Следовательно, в окончательном виде можно записать

$$\frac{dT}{dr}=-\left(\frac{\cos\theta}{r}T+q_2\right). \quad (2.35)$$

Для вывода второго уравнения спроектируем все усилия (включая усилие T_{2z} , которое возникает вследствие деформации ω кольцевого элемента оболочки (см. рис. 2.10, e)) на ось r , нормальную к оси x . Будем иметь

$$-H(r+\omega)dr+(H+dH)(r+dr+\omega+dw)dr+q_1(r+\omega)drds-T_{2z}dsd\varphi=0.$$

¹ В данной схеме при единичных концентрических моментах осесимметрическое деформирование должно было бы характеризоваться еще двумя неизвестными: кривизнами κ по касательной к направляющей окружности и сжимающими моментом M_{sp} . Однако при действии лишь поперечных нагрузок указанная величина тождественно равна нулю.

Отбросив малые члены, разделив на $r ds d\theta$ и учитывая, что

$$T_2 = \frac{Eh}{r} w + \mu T \cos \theta + \mu H \sin \theta,$$

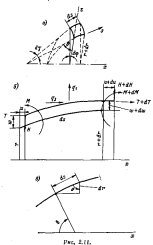


Рис. 2.11.

окончательно уравнение для dH/ds приводим к виду

$$\frac{dH}{ds} = -(1-\mu) \frac{\cos \theta}{r} H + \frac{Eh}{\mu^2} w + \mu \frac{\sin \theta}{r} T - q_1. \quad (2.36a)$$

Условие равновесия моментов относительно кромки $r + dr$ малого элемента (см. рис. 2.10, б в рис. 2.11, а) дает

$$\begin{aligned} & -M(r+w) dq + (M+dm)(r+dr+w+dw) d\varphi - \\ & - H(r+w) dq [ds \sin \theta + ds \theta \cos \theta] + T(r+w) [ds \cos \theta - \\ & - ds \theta \sin \theta] dq - M_3 ds dy = 0 \end{aligned}$$

или после отбрасывания малых членов с учетом соотношений

$$M_3 = \frac{Eh^3}{12} x_3 + \mu M;$$

$$x_3 = \frac{\theta \cos \theta}{r}; \quad (2.37)$$

$$\frac{dr}{ds} = \cos \theta,$$

$$\begin{aligned} \frac{dM}{ds} = & -(1-\mu) \frac{\cos \theta}{r} M + \lambda \theta + H (\sin \theta + \theta \cos \theta) - \\ & - T (\cos \theta - \theta \sin \theta), \end{aligned} \quad (2.36)$$

т.е.

$$\lambda = \frac{Eh^3}{12} \frac{\cos \theta}{r^2}. \quad (2.38)$$

Для вывода трех остальных уравнений переноса нужно использовать известные из теории оболочек [1] соотношения упругости

$$M = \frac{Eh^3}{12(1-\mu^2)} (x_1 + \mu x_3);$$

$$x_1 = \frac{d\theta}{ds}; \quad (2.39)$$

$$x_3 = \frac{\theta \cos \theta}{r},$$

Отсюда

$$\frac{d\theta}{ds} = \frac{12(1-\mu^2)}{Eh^3} M - \mu \frac{\theta \cos \theta}{r}. \quad (2.36a)$$

Кроме того, известно [1], что

$$x_1 = \frac{dw}{ds} \cos \theta + \frac{ds}{ds} \sin \theta;$$

$$\theta = -\frac{dw}{ds} \sin \theta + \frac{ds}{ds} \cos \theta;$$

$$T_1 = \frac{Eh}{1-\mu^2} (x_1 + \mu x_3);$$

$$T_2 = \frac{Eh}{1-\mu^2} (x_3 + \mu x_1),$$

где x_1 — продольная относительная деформация волокна.

Пусть несломанных преобразований подобраны

$$\frac{dw}{ds} = \frac{1-\mu^2}{Eh} (T \sin \theta \cos \theta + H \cos^2 \theta) - \mu \frac{w}{r} \cos \theta - \theta \sin \theta; \quad (2.36a)$$

$$\frac{du}{ds} = \frac{1-\mu^2}{Eh} (T \sin^2 \theta + H \sin \theta \cos \theta) - \mu \frac{w}{r} \sin \theta + \theta \cos \theta. \quad (2.36a)$$

Таким образом, окончательно система исходных уравнений приобретает вид

$$\frac{dT}{ds} = - \left[\frac{\cos \theta (s)}{r(s)} T + q_1(s) \right]; \quad (2.40)$$

$$\begin{aligned} \frac{dM}{ds} &= \frac{1-\mu^2}{Eh(s)} [T \sin^2 \theta(s) + H \sin \theta(s) \cos \theta(s)] - \\ &\quad - \mu \frac{w}{r(s)} \sin \theta(s) + \theta \cos \theta(s), \end{aligned}$$

а также

$$\begin{aligned} \frac{dH}{ds} &= -(1-\mu) \frac{\cos \theta(s)}{r(s)} H + \frac{Eh(s)}{r^2(s)} w + \mu \frac{\sin \theta(s)}{r(s)} T - q_1(s), \\ \frac{dM}{ds} &= -(1-\mu) \frac{\cos \theta(s)}{r(s)} M + \lambda(s) \theta + H \sin \theta(s) + \\ &\quad + H \theta \cos \theta(s) - T \cos \theta(s) + T \theta \sin \theta(s), \end{aligned} \quad (2.41)$$

$$\begin{aligned} \frac{dw}{ds} &= \frac{1-\mu^2}{Eh(s)} [T \sin \theta(s) \cos \theta(s) + H \cos^2 \theta(s)] - \\ &\quad - \mu \frac{w}{r(s)} \cos \theta(s) - \theta \sin \theta(s), \\ \frac{d\theta}{ds} &= \frac{12(1-\mu^2)}{Eh(s)} M - \mu \frac{\theta \cos \theta(s)}{r(s)}. \end{aligned}$$

Целесообразность деления системы на две будет объяснена ниже. Несвязанные группы гравитационных условий, характерные для большинства задач теории тонких оболочек, записываются так:

$$\begin{aligned} u(0) &= H(0) A_{11}^{(0)} + M(0) A_{12}^{(0)} + T(0) A_{22}^{(0)}; \\ \omega(0) &= H(0) A_{11}^{(0)} + M(0) A_{12}^{(0)} + T(0) A_{22}^{(0)}, \\ \theta(0) &= H(0) A_{22}^{(0)} + M(0) A_{22}^{(0)} + T(0) A_{33}^{(0)}; \quad (2.41a) \\ u(l) &= -H(l) A_{11}^{(l)} + M(l) A_{12}^{(l)} + T(l) A_{22}^{(l)}; \\ \omega(l) &= -H(l) A_{11}^{(l)} + M(l) A_{12}^{(l)} + T(l) A_{22}^{(l)}; \\ \theta(l) &= -H(l) A_{22}^{(l)} + M(l) A_{22}^{(l)} + T(l) A_{33}^{(l)}. \end{aligned}$$

Здесь $A_{ij}^{(0)}$ и $A_{ij}^{(l)}$ — коэффициенты податливости опорных конструкций.¹

¹ Система в смысле двойной индексации будет ясна из дальнейшего изложения.

В наименее простом частном случае круговой цилиндрической оболочки постоянной толщины имеем $\cos \theta = 0$, $\sin \theta = 1$, $\lambda(s) = b$, $r(s) = r_0$, $s = x$.

Тогда второе уравнение (2.40) приобретает вид

$$\frac{dw}{dx} = \frac{1-\mu^2}{Eh} T - \mu \frac{w}{r}. \quad (2.40a)$$

Если оболочка не защемлена в осевом направлении и загружена гидростатическим давлением, то вместо первого уравнения (2.40) имеем

$$T = T_0 = \frac{-p'}{2},$$

где $(-p')$ — наружное давление.

Четыре уравнения (2.41) записываются в виде

$$\begin{aligned} \frac{dH}{ds} &= \frac{Eh}{r^2} w + \mu \frac{T(s)}{r} - q_1(s); \\ \frac{dM}{ds} &= H + T(x) \theta; \quad (2.41b) \\ \frac{dw}{ds} &= -\theta; \\ \frac{d\theta}{ds} &= \frac{12(1-\mu^2)}{Eh^2} M. \end{aligned}$$

Исключим теперь из (2.41b) M , H и θ , полагая $T = T_0$. После преобразований получаем

$$\frac{Eh}{12(1-\mu^2)} \frac{d^4w}{ds^4} - T_0 \frac{dw}{ds} + \frac{Eh}{r^2} w = q_1(s) - \mu \frac{T_0}{r}. \quad (2.41a)$$

Уравнения (2.40a) и (2.41a), как и следовало ожидать, совпадают с известными уравнениями П. Ф. Папковича, рассмотренного сложный изгиб круговой цилиндрической оболочки постоянной толщины при постепенной осевой силе.

Если оболочка на всем ее протяжении гладкая и ничем не подкреплена, сопротивлениям усилий к ней не приложено и сквозные нагрузки нет, т. е. коэффициенты системы (2.40), (2.41), а также функции $q_1(s)$ и $q_2(s)$ не прерываются на всем участке интегрирования, то, согласно общей теории, применительно к этой системе выполняются условия существования и единственности решения: через любую точку $x = x_0$ в пролежах тела оболочки с заданными произвольными значениями $T(x_0)$, $H(x_0)$, $M(x_0)$, $w(x_0)$, $\omega(x_0)$ и $\theta(x_0)$ проходит одна интегральная кривая.

Однако на практике, как правило, мы имеем дело с подкрепленными оболочками, у которых возможны «ломаные» и скачкообразные изменения толщины; в оболочкам могут быть приложены

сосредоточенные внешние усилия и т. д. В этих случаях условия единственности решения системы будут нарушены. Это вполне понятно: уравнения (2.40), (2.41) по самому смыслу их не содержат необходимой информации о протекании процесса в точках нарушения упомянутых условий. Следовательно, необходимо ввести дополнительную информацию, т. е. записать условия сопряжения различных участков оболочки.

Так как нарушение гладкости в φ_3 (θ) и φ_3 (w) не могут привести к скачкам в значениях выбранных пары внутренних параметров процесса, в mostах словом, а также скачкам толщины и интенсивности нагрузок выполняются условия

$$\begin{aligned} w(s_k+0) &= w(s_k-0); \quad w'(s_k+0) = w'(s_k-0); \\ \theta(s_k+0) &= \theta(s_k-0); \quad T(s_k+0) = T(s_k-0); \\ M(s_k+0) &= M(s_k-0); \quad H(s_k+0) = H(s_k-0). \end{aligned} \quad (2.42)$$

Здесь s_k — координата сечения, где нарушается гладкость; $s_k=0$ — сечение между средними перегородками; s_k+0 — сечение непосредственно за s_k .

Сказанное относится к случаю, когда срединная поверхность непрерывна. При нарушении этого условия в месте скачкообразного изменения толщины появляются статически определимые сосредоточенные моменты $M_{\text{ст}}$, которых нужно учесть дополнительно.

Если в сечении s_k приложены сосредоточенные усилия $T_{\text{ст}}$, $H_{\text{ст}}$, $M_{\text{ст}}$, то условия сопряжения примут вид

$$\begin{aligned} w(s_k+0) &= w(s_k-0); \quad w'(s_k+0) = w'(s_k-0); \\ \theta(s_k+0) &= \theta(s_k-0); \quad T(s_k+0) = T(s_k-0) - T_{\text{ст}}; \\ M(s_k+0) &= M(s_k-0) - M_{\text{ст}}; \quad H(s_k+0) = H(s_k-0) - H_{\text{ст}}. \end{aligned} \quad (2.43)$$

Наконец, если в сечении s_k оболочка подкреплена шлангоутом симметричного профиля, то

$$\begin{aligned} w(s_k+0) &= w(s_k-0); \quad w'(s_k+0) = w'(s_k-0); \\ \theta(s_k+0) &= \theta(s_k-0); \quad T(s_k+0) = T(s_k-0); \\ H(s_k+0) &= H(s_k-0) + \frac{\pi D_k - 10}{A_{12}^{(0)}}; \\ M(s_k+0) &= M(s_k-0) + \frac{\delta(D_k - 10)}{A_{12}^{(0)}}. \end{aligned} \quad (2.44)$$

Здесь через $A_{12}^{(0)}$ обозначены коэффициенты податливости шлангоутов (рис. 2.12); $A_{12}^{(0)}$ — вертикальное смещение за верхней кромкой шлангоута от единичной погонной силы $R=1$; $A_{12}^{(0)}$ — угол поворота сечения θ стекки шлангоута от единичного погонного момента $M=1$.

Допустим теперь, что шлангут засимметричен и обладает кроме $A_{12}^{(0)}$ и $A_{22}^{(0)}$ коэффициентами податливости $A_{11}^{(0)}$ и $A_{21}^{(0)}$, которые равны вертикальному смещению w от единичного момента $M_1=1$ или углу поворота сечения стекки шлангоута от силы $R=1$. Тогда

$$w = RA_{12}^{(0)} + M_1 A_{12}^{(0)}; \\ \theta = RA_{21}^{(0)} + M_1 A_{21}^{(0)}.$$

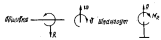


Рис. 2.12.

отсюда

$$R = \frac{w - \frac{3}{A_{12}^{(0)}} A_{12}^{(0)}}{A_{11}^{(0)} - \frac{(A_{12}^{(0)})^2}{A_{22}^{(0)}}}; \\ M_1 = \frac{\theta - \frac{w}{A_{11}^{(0)}} A_{12}^{(0)}}{A_{22}^{(0)} - \frac{(A_{12}^{(0)})^2}{A_{11}^{(0)}}}.$$

Следовательно,

$$\begin{aligned} w(s_k+0) &= w(s_k-0); \quad w'(s_k+0) = w'(s_k-0); \\ \theta(s_k+0) &= \theta(s_k-0); \quad T(s_k+0) = T(s_k-0); \\ 1 - \frac{\delta(D_k - 10)}{w(s_k-0) - A_{12}^{(0)}} &= \frac{1}{w(s_k-0) - A_{12}^{(0)}}; \\ H(s_k+0) &= H(s_k-0) + \frac{\pi(D_k - 10)}{A_{11}^{(0)}} \frac{1 - \frac{(A_{12}^{(0)})^2}{A_{11}^{(0)} A_{22}^{(0)}}}{1 - \frac{(A_{12}^{(0)})^2}{A_{11}^{(0)} A_{22}^{(0)}}}; \quad (2.45) \\ M(s_k+0) &= M(s_k-0) + \frac{\delta(D_k - 10)}{A_{22}^{(0)}} \frac{1 - \frac{w(s_k-0)}{\theta(s_k-0) - A_{12}^{(0)}}}{1 - \frac{(A_{12}^{(0)})^2}{A_{11}^{(0)} A_{22}^{(0)}}}. \end{aligned}$$

Рассмотрим определение $A_{11}^{(0)}$ и $A_{22}^{(0)}$ у симметричного шлангоута.

Начнем с $A_{11}^{(n)}$. Расчетная схема здесь такова. Внутренний шлангут таврового или полособульбового профиля разделяется на внутреннюю концевую стенку 1 толщиной δ_1 и залок 2 (рис. 2.13, а). На наружную кромку пластины действует равномерная радиальная загрузка интенсивностью $p = 1$. Требуется определить радиальное смещение $u = u(r_2)$ наружной кромки пластины.

Полосок 2, в свою очередь, обладает некоторой податливостью по отношению к обхвату. Пусть k — коэффициент жесткости кольца, т. е. интенсивность реакции его обхвата при $u(r_2) = 1$.



Рис. 2.13.

Тогда расчетная схема преобразуется к виду, представленному на рис. 2.13, б, где J — некоторая эластичная линия; ϑ — промежуточное упругое основание для стеки, имеющее коэффициент жесткости k .

Определение k большой сложности не представляет. В первом (обычно вполне достаточном) приближении его можно считать равным $k = EF/J^2$, где F — площадь сечения пакета.

Если мы имеем тавровый профиль с широким поясом, то для вычисления k нужно рассмотреть задачу о цилиндрической оболочке постоянной или переменной толщины, загруженной в пролете сосредоточенной силой q_1 (рис. 2.13, в). Такая задача всегда может быть решена либо в замкнутом виде (для случая постоянной толщины), либо, например, методом ларморовых отклонений.

Расчет конструкции, показанной на рис. 2.13, б, предстает перед нами, но существуя, модификацию решения известной задачи Лине о деформации толстостенных цилиндров, загруженных равномерным давлением. Используя известное решение этой задачи, получим

$$A_{11}^{(n)} = u(r_2) = \frac{1-\mu}{Eh_2} \left[1 + \frac{\frac{1}{r_1^2}}{1 + k \frac{1+\mu}{Eh_2} r_2} \right] r_2 + \frac{\frac{1}{r_2^2}}{1 - k \frac{1-\mu}{Eh_2} r_2} - \frac{1}{r_1^2}$$

$$+ \frac{1+\mu}{Eh_2} \frac{\frac{1}{r_1}}{1+k \frac{1+\mu}{Eh_2} r_2} - \frac{1}{r_2^2} \frac{1-k \frac{1-\mu}{Eh_2} r_2}{1+k \frac{1-\mu}{Eh_2} r_1} - \frac{1}{r_1^2}$$

Расчетная схема для наружного шлангута очевидна. Здесь

$$A_{11}^{(o)} = u(r_2) = -\frac{1-\mu}{Eh_2} \left[1 + \frac{\frac{1}{r_2^2}}{1 - k \frac{1+\mu}{Eh_2} r_1} - \frac{1}{r_1^2} \frac{1+k \frac{1-\mu}{Eh_2} r_1}{1+k \frac{1-\mu}{Eh_2} r_2} - \frac{1}{r_2^2} \right] r_1 + \frac{1+\mu}{Eh_2} \frac{\frac{1}{r_2}}{1-k \frac{1+\mu}{Eh_2} r_1} - \frac{1}{r_2^2} \frac{1-k \frac{1-\mu}{Eh_2} r_1}{1+k \frac{1-\mu}{Eh_2} r_1} - \frac{1}{r_1^2}$$

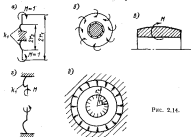


Рис. 2.14.

Приступим теперь к вычислению коэффициента податливости $A_{22}^{(n)}$. Для внутреннего шлангута схема загрузки стеки показана на рис. 2.14, а, б. По наружной кромке на нее действует внешний изгибающий момент интенсивностью $M = 1$, внутренняя кромка заделана в отношении углов поворота.

Коэффициент жесткости k_1 в первом приближении можно найти на основе известного решения о кручении упругого колыча $k_1 = EI_0 r_0^2 / 12h_0^2$, где I — ширина полосы; h_0 — его толщина; r_0 — радиус окружности, на которой лежат центры тяжести сечений полосы.

При необходимости уточнений этот коэффициент следует находить из решения задачи о деформации цилиндрической оболочки, загруженной в середине пролета сосредоточенным моментом (рис. 2.14, а).

При наличии каркасного шлангута приходим к схеме, показанной на рис. 2.14, г, д.

Воспользовавшись известным решением об изгибе колышевой пластины радиальными моментами, имеем для внутреннего шлангута

$$A_{11}^{(0)} = \Phi(r_1) = \frac{r_1}{D(1+\mu)} \left[1 + \frac{\frac{1}{r_1^2}}{1 + k_1 \frac{r_1}{D(1-\mu)} - \frac{1}{r_1^2}} \right] + \frac{\frac{1}{r_1^2}}{D(1-\mu)} \frac{1}{1 + k_1 \frac{r_1}{D(1-\mu)} - \frac{1}{r_1^2}}$$

$$+ \frac{\frac{1}{r_1^2}}{r_1^2} \frac{1}{1 + k_1 \frac{r_1}{D(1+\mu)} - \frac{1}{r_1^2}}$$

для наружного шлангута

$$A_{12}^{(0)} = \Phi(r_2) = -\frac{r_2}{D(1-\mu)} \left[1 - \frac{\frac{1}{r_2^2}}{1 - k_1 \frac{r_2}{D(1-\mu)}} \right] + \frac{\frac{1}{r_2^2}}{r_2^2} \frac{1}{1 + k_1 \frac{r_2}{D(1+\mu)} - \frac{1}{r_2^2}}$$

$$+ \frac{\frac{1}{r_2^2}}{D(1-\mu)} \frac{1}{1 - k_1 \frac{r_2}{D(1-\mu)} - \frac{1}{r_2^2}}$$

$$+ \frac{\frac{1}{r_2^2}}{r_2^2} \frac{1}{1 + k_1 \frac{r_2}{D(1+\mu)} - \frac{1}{r_2^2}}$$

где $D = \frac{Eh_0^2}{12(1-\mu^2)}$ — цилиндрическая жесткость пластины.

Вместо приведенных выше точных зависимостей для определения коэффициентов податливости шлангутов часто можно пользоваться приближенными зависимостями, полученными из расчета шлангута как колыча:

$$A_{11}^{(0)} = \frac{r_1^2}{EF}, \quad A_{12}^{(0)} = \frac{r_2^2}{EI_{min}}, \quad (2.46)$$

где r_1 — радиус, соответствующий центру тяжести поперечного сечения шлангута; F — площадь поперечного сечения шлангута; I — момент инерции поперечного сечения относительно вертикальной оси симметрии шлангута.

Подобно тому как мы это делали выше для шлангута с симметрическим профилем, можно найти точные значения коэффициентов податливости шлангутов с несимметрическими профилем. Однако несимметрические профили имеют лишь симметрические выпуклые краевые шлангуты, что допускает использовать зависимости, полученные для колыча (рис. 2.15). Поэтому сразу записываем

$$A_{11}^{(0)} = \frac{r_1^2}{EF} + \frac{x_0^2 r_1^2}{EI_{min}};$$

$$A_{12}^{(0)} = A_{11}^{(0)} - \frac{x_0^2 r_1^2}{EI_{min}}; \quad (2.47)$$

$$A_{10}^{(0)} = \frac{r_1^2}{EI_{min}},$$

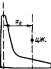


Рис. 2.15.

где x_0 — расстояние по оси x между стенкой профиля и его центром жесткости (ЦЖ).

В данном параграфе мы ограничились, по существу, более простыми случаями линейных дифференциальных уравнений (нелинейными являлись только подчеркнутые члены в системе (2.41)).

§ 8. Устойчивость движения и производные односторонних процессов. Динамический критерий устойчивости в строительной механике

Продолжая рассмотрение общей проблемы исследований одномерных процессов, обратимся к вопросам устойчивости движения систем и, как следствие, к вопросам устойчивости их равновесия. Начнем с понятий, выведенных А. М. Ляпуновым и его последователями [9, 17, 18]. Применение их к строительной механике естественным образом приводит к динамическому критерию устойчивости конструкций.

1. Устойчивость движения в малом и в большом. Общие представления. Движение будем называть в общем случае любые изменения в рассматриваемой физической системе, происходящие как функции времени, а не только как механические перемещения.

Пусть движение данной физической системы описывается обыкновенными дифференциальными уравнениями, имеющими начальную форму

$$\frac{dx_i}{dt} = f_i(t, x_1, x_2, \dots, x_n) \quad (i = 1, 2, \dots, n). \quad (2.48)$$

К ней, как известно, легко привести любую систему дифференциальных уравнений, разделившую относительно старших производных всех вещественных. В частности, если дано уравнение n -го порядка

$$y^{(n)} = F(t, y, \dots, y^{(n-1)}), \quad (2.49)$$

то оно сводится к (2.48) подстановкой

$$y = x_1, \quad y' = x_2, \quad \dots, \quad y^{(n-1)} = x_n, \quad (2.50)$$

которая дает

$$\begin{aligned} \frac{dx_1}{dt} &= x_2, \quad \frac{dx_2}{dt} = x_3, \quad \dots, \quad \frac{dx_{n-1}}{dt} = x_n, \\ \frac{dx_n}{dt} &= F(t, x_1, \dots, x_n). \end{aligned} \quad (2.51)$$

Пусть правые части (2.48) заданы в области $-\infty < x_i < +\infty$ и непрерывны в ней. Коэффициенты уравнений предполагаются не зависящими от x_i . Тогда из общей теории дифференциальных уравнений следует, что каждая совокупность вещественных чисел $t_0, x_{10}, x_{20}, \dots, x_{n0}$ из указанной выше области отвечает одному и только одному частному решению системы (2.48):

$$x_i = x_i(t, t_0, x_{10}, x_{20}, \dots, x_{n0}), \quad (i = 1, 2, \dots, n), \quad (2.52)$$

удовлетворяющему начальными условиям

$$x_i = x_{i0} \text{ при } t = t_0, \quad (i = 1, 2, \dots, n). \quad (2.53)$$

Это решение непрерывно и даже непрерывно дифференцируется по t .

Движение, определяемое частным решением (2.52) при точно заданных начальных условиях (2.53), называется невозмущенным движением. Оно представляет собой базовый объект в совокупности движений данной системы, рассматриваемых как реальные объекты данного типа.

Невозмущенное движение (2.52) называется устойчивым в малом относительно возмущений начальных условий (устойчивым по Липунову), если по любому вещественному числу δ можно указать такое вещественное число $\delta = \delta(t_0, \delta)$, при котором в случае

$\sum_{i=1}^n (x_{i0} - x_{i0}^1)^2 < \delta^2$ будем иметь

$$\begin{aligned} \sum_{i=1}^n [x_i(t, t_0, x_{10}, x_{20}, \dots, x_{n0}) - \\ - x_i^1(t, t_0, x_{10}^1, x_{20}^1, \dots, x_{n0}^1)]^2 < \varepsilon^2 \end{aligned}$$

при любом $t > t_0$.

Если число δ можно выбрать же зависящим от t_0 , т. е. $\delta = \delta(t)$, то говорит, что невозмущенное движение равномерно устойчиво в малом.

Смысл этого определения совершенно ясен. Имеется в виду, что повторяющихся процессах, практически одинаковых с базовым, всегда разброс в начальных условиях и вместо «истинных» условий $x_{10}, x_{20}, \dots, x_{n0}$ реализуются условия $x_{10}^1, x_{20}^1, \dots, x_{n0}^1$, которые немного отличаются от первых. Разность $x_{i0} - x_{i0}^1$ определяет разброс (возмущение) в начальных условиях x_{i0} . Из-за него вместо невозмущенного движения $x_i(t, t_0, x_{10}, x_{20}, \dots, x_{n0})$ будет реализовано возмущенное движение $x_i^1(t, t_0, x_{10}^1, x_{20}^1, \dots, x_{n0}^1)$. Возникает вопрос об отличии возмущенного и невозмущенного движений. Согласно определению, движение, практически идеичные с базовым, устойчивы, если мы можем сколь угодно приблизить возмущенное движение к невозмущенному, сделав достаточно малым возмущение.

Очень важно подчеркнуть, что возмущенное и невозмущенное движение должны быть близки и не бесконечности, когда t больше любого наперед заданного числа T . В противном случае, т. е. при $t_0 < t < T$, где T — сколь угодно большое, но конечное число, движение, определяемое практически одинаковыми начальными условиями (2.48), всегда устойчиво в малом.

Действительно, в теории дифференциальных уравнений при весьма общих предположениях доказана непрерывность решений от начальных условий. Следовательно, на некотором интервале изменения независимой переменной мы всегда можем добавить сколь угодной близости соответствующих интегральных кривых, если начальные условия, определяющие эти кривые при некотором фиксированном значении переменной, достаточно близки друг к другу.

Невозмущенное движение (2.52) называется неустойчивым в малом относительно возмущений в начальных условиях (неустойчивым по Липунову), если существует, по крайней мере, одно вещественное число δ , при котором, какое бы вещественное число δ мы ни взяли, найдется такой набор чисел $x_{10}^1, x_{20}^1, \dots, x_{n0}^1$, что в случае

$\sum_{i=1}^n (x_{i0} - x_{i0}^1)^2 < \delta^2$ будет

$$\begin{aligned} \sum_{i=1}^n [x_i(t, t_0, x_{10}, x_{20}, \dots, x_{n0}) - \\ - x_i^1(t, t_0, x_{10}^1, x_{20}^1, \dots, x_{n0}^1)]^2 > \varepsilon^2 \end{aligned}$$

хотя бы для одного значения $t > t_0$.

Заметим, что само понятие устойчивости или неустойчивости по Липунову не требует непрерывности функций f_i в уравнениях (2.48).

Если невозмущенное движение (2.52) не только устойчиво в малом, но и удовлетворяет условию $\lim_{t \rightarrow \infty} |x_0 - x(t)| = 0$ при $\sum_{i=1}^n (x_i - x_i^0)^2 < \delta^2$, то оно называется асимптотически устойчивым в малом. Если при наличии асимптотической устойчивости число $\delta = \delta(\epsilon, t_0)$ можно выбрать не зависящим от t_0 , то невозмущенное движение равномерно и асимптотически устойчиво в малом.

Рассмотрим примеры. Пусть движение определяется уравнением $dx/dt = -a^2 x$ при начальном условии $x(t_0) = x_0$. Ясно, что $x(t) = x_0 e^{-a^2(t-t_0)}$ асимптотически устойчиво.

В самом деле, при $t > t_0 > 0$

$$(x_0 e^{-a^2(t-t_0)} - x_0 e^{-a^2(t-t_0)})^2 = e^{-2a^2(t-t_0)} (x_0 - x_0^0)^2 < \delta^2,$$

если $(x_0 - x_0^0)^2 \leq \delta^2 < \delta^2$. Кроме того,

$$\lim_{t \rightarrow \infty} |e^{-a^2(t-t_0)} (x_0 - x_0^0)| = 0.$$

Это движение и равномерно асимптотически устойчиво, поскольку δ не зависит от t_0 .

Если $dx/dt = a^2 x$ при начальном условии $x(t_0) = x_0$, то имеем движение $x(t) = x_0 e^{a^2(t-t_0)}$. Оно неустойчиво, поскольку при любой сколь угодно малой разности $|x_0 - x_0^0|$ нельзя обеспечить неравенства $(x_0 - x_0^0)^2 e^{2a^2(t-t_0)} < \delta^2$, если t достаточно велико.

Иследование устойчивости движения удобно свести к исследованию устойчивости равновесия. Для этого введем новое переменное:

$$y_i = x_i - x_i^0 (t, t_0, x_{10}, x_{20}, \dots, x_{n0}), \quad (2.54)$$

Продифференцировав (2.54) по t с учетом (2.48), имеем

$$\begin{aligned} \frac{dy_i}{dt} &= f_i(t, x_1, x_2, \dots, x_n) - f_i(t, x_1^0, t_0, x_{20}, x_{30}, \dots, x_{n0}), \\ &x_1(t, t_0, x_{10}, x_{20}, \dots, x_{n0}), \dots, x_n(t, t_0, x_1^0, x_{20}, \dots, x_{n0}) = \\ &= f_1(t, x_1(t, t_0, x_{10}, x_{20}, \dots, x_{n0}) + y_1, x_2(t, t_0, x_{10}, \dots, x_{n0}) + \\ &\quad + y_2, \dots, x_n(t, t_0, x_{10}, x_{20}, \dots, x_{n0}) + y_n) = \\ &= f_1(t, x_1(t, t_0, x_{10}, x_{20}, \dots, x_{n0}), x_2(t, t_0, x_{10}, \dots, x_{n0}), \\ &\quad \dots, x_n(t, t_0, x_{10}, x_{20}, \dots, x_{n0})) = G_1(t, y_1, y_2, \dots, y_n). \end{aligned}$$

Система

$$\frac{dy_i}{dt} = G_i(t, y_1, \dots, y_n), \quad (i = 1, 2, \dots, n) \quad (2.55)$$

получена из (2.48). Невозмущенному решению (2.52) системы (2.48) при начальных условиях (2.53) в системе (2.55) соответствует нулевое решение $y_i(t) \equiv 0$ при всех $t \geq t_0$ и $i = 1, 2, \dots, n$.

Нулевое решение системы (2.55), отнесенное к моменту времени t_0 , называется устойчивым в малом относительно возмущений в начальных условиях (условичными по Липунову), когда по любому вещественному ϵ можно указать такое вещественное число $\delta = \delta(\epsilon, t_0)$, при котором в случае $\sum_{i=1}^n y_i^2 < \delta^2$ будет

$$\lim_{t \rightarrow \infty} \sum_{i=1}^n y_i^2(t, t_0, y_{10}, y_{20}, \dots, y_{n0}) < \epsilon^2$$

при любом $t \geq t_0$.

Если при наличии устойчивости число $\delta = \delta(\epsilon, t_0)$ можно выбрать не зависящим от t_0 , т. е. $\delta = \delta(\epsilon)$, то нулевое решение системы (2.55) равномерно устойчиво в малом относительно $t_0 \geq 0$.

Нулевое решение системы (2.55) называется асимптотически устойчивым в малом, когда при наличии устойчивости имеем

$$\lim_{t \rightarrow \infty} \sum_{i=1}^n y_i^2(t, t_0, y_{10}, y_{20}, \dots, y_{n0}) = 0.$$

Если в случае асимптотической устойчивости число $\delta = \delta(\epsilon, t_0)$ можно выбрать не зависящим от t_0 , т. е. $\delta = \delta(\epsilon)$, то решение равномерно асимптотически устойчиво в малом.

Проведенные выше формулировки позволяют рассматривать устойчивость процессов движения, когда возмущения (разбросы) при повторных процессах возможны только в начальных условиях. Однако в действительности эти возмущения возникают и в коэффициентах уравнений (параметрах физической системы) и в функциях — свободных членах (инициальных воздействиях).

Указанное обстоятельство может быть учтено введение в правую часть исходной системы (2.48) добавочных функций

$$\frac{dx_i}{dt} = f_i(t, x_1, x_2, \dots, x_n) + R_i(t, x_1, x_2, \dots, x_n); \quad (2.56)$$

невозмущенные начальные условия остаются прежними.

Если разброс в параметрах и во внешних воздействиях прекращается при некотором конечном $t = T > t_0$, то при $t > T$ мы сноваозвращаемся к уравнениям (2.48), но уже с несколько измененными условиями $x_{i0}(T)$ в точке T .

В теории дифференциальных уравнений при весьма общих предположениях доказывается теорема о непрерывной зависимости частных решений от параметров в правых частях этих уравнений. Если упомянутые условия выполняются, то, делая $[R_i(t, x_1, x_2, \dots, x_n)]$ достаточно малой на всем промежутке от t_0 до T , мы получим сколь угодно малыми изменения начальных условий $x_{i0}(T)$. Таким образом, исследование устойчивости движений в малом по отношению к разбросам в параметрах физической системы и во внешних воздействиях сводится к исследованию его устойчивости в начальных условиях.

Однако остается открытым вопрос об устойчивости движения по отношению к неограниченным во времени возмущениям R_j .

Подстановка (2.54) позволяет преобразовать систему (2.56) в другую:

$$\frac{dy_i}{dt} = G(t_i, y_1, \dots, y_n) + Q(t_i, y_1, \dots, y_n), \quad (2.57)$$

для которой нужно исследовать нулевое решение.

Нулевое решение системы (2.57) называется устойчивым в малом по отношению к возмущениям в начальных условиях и не ограниченным во времени возмущением Q_i , если для каждого вещественного ε можно указать такие вещественные $\delta_1 = \delta_1(\varepsilon, t_0)$, $\delta_2 =$

$$-\delta_2(\varepsilon, t_0)$$
, при которых из неравенств $\sum_{i=1}^n y_{i0} < \delta_1^2$, $\sum_{i=1}^n Q_i(t) > -\delta_2(\varepsilon, t_0)$ в случае $\sum_{i=1}^n y_i^2 < \delta_1^2$ следует $\sum_{i=1}^n y_i^2(t, t_0, y_1, \dots, y_n) < \varepsilon^2$ при любом $t \geq t_0$.

Исследования И. Г. Маликова [18] показали, что свойство устойчивости по отношению к неограниченным во времени возмущениям чрезвычайно близко к свойству асимптотической устойчивости по отношению к возмущениям в начальных условиях и даже почти совпадает с ним. Это, впрочем, вытекает из физических соображений, так как асимптотическая устойчивость означает избавление физической системы от всех возмущений.

Ясно, что в малом (по Липунову) можно анализировать не только устойчивость самих процессов, но и некоторых их фазий. Соответствующие определения легко переделываются по следующему образцу.

Функции $F_k(x_1, x_2, \dots, x_m)$ ($k = 1, \dots, m$) невозмущенного движения (2.52) называются устойчивыми в малом по отношению к возмущениям в начальных условиях, если по любому вещественному можно указать такое вещественное $\delta = \delta(\varepsilon, t_0)$, при котором

в случае $\sum_{i=1}^m (x_{i0} - x_{i0}^*)^2 < \delta^2$ будет

$$\begin{aligned} \sum_{i=1}^m |F_k[x_i(t, t_0, x_{10}, x_{20}, \dots, x_{m0})] - \\ - F_k[x_i(t, t_0, x_{10}^*, x_{20}^*, \dots, x_{m0}^*)]|^2 < \varepsilon^2 \end{aligned}$$

для любого $t > t_0$.

Согласно общему определению устойчивости объекта, при анализе устойчивости процессов движения следует оперировать начальными разбросами в параметрах генетической идентификации и конечными разбросами в интересующих нас выходных данных (параметрах результатирующей идентификации). Именно это и лежит в основе так называемой технической теории устойчивости движений, которая разрабатывается в рамках теории автоматического регулирования. Следует лишь отметить неудачное употребление слова

техническая, находящее на мысль о приближенности и огрублении действительности, хотя на самом деле все обстоит как раз наоборот.

Параметры генетической идентификации здесь служат: а) начальные условия движения; б) параметры физической системы (коэффициенты системы исходных уравнений); в) внешнее воздействие (функции — свободные члены). Условия генетической идентификации данного процесса с базовым могут быть заданы в виде некоторых метрических соотношений. Выбрав затем интересующие нас функции процесса (параметры, результатирующей идентификации) и назначив из конкретного физического анализа результатирующую идентификацию, нетрудно использовать непосредственно данные выше определения устойчивости в большом и различные их варианты.

При назначении параметров результатирующей идентификации рассматривают как неограниченное время (установившиеся периодические процессы), так и ограниченные периоды $t_0 \leq t \leq T$.

Покажем подробнее на примерах понятие устойчивости в малом и его связь с понятием устойчивости в большом.

Возьмем класс простых автономных, т. е. не подверженных внешним воздействиям, систем. Пусть для них уравнения (2.56) приводятся к виду

$$\frac{dy}{dt} = p(t)y, \quad (2.58)$$

где $p(t)$ — функция, заданная при $t \geq 0$ и имеющая на любом конечном промежутке конечное число разрывов первого рода. Положим, далее, что возмущения могут влиять только в начальных условиях — много раз длинее одна и та же система.

Общее решение (2.58) имеет вид

$$y = y_0 e^{\int_0^t p(t) dt}. \quad (2.59)$$

Ясно, что: а) нулевое решение системы (2.58) устойчиво в малом тогда и только тогда, когда функция $\int_0^t p(t) dt$ ограничена при всех $t > t_0$; б) оно устойчиво асимптотически тогда и только тогда, когда, кроме того, $\lim_{t \rightarrow \infty} \int_0^t p(t) dt = -\infty$. Случай устойчивости иллюстрируется рис. 2.16, а, случай асимптотической устойчивости — рис. 2.16, б.

Пусть теперь $p(t) = \ln 10$ при $0 \leq t \leq 10$, $p(t) = 0$ при $t > 10$. Тогда решение (2.59), удовлетворяющее условию $y(0) = y_0$, будет

$$y(t) = \begin{cases} 10^t y_0 & \text{при } 0 \leq t \leq 10; \\ 10^{10} y_0 & \text{при } t > 10. \end{cases}$$

Оно устойчиво в малом, однако при нечтожных начальных отклонениях $y_0 = 10^{-6}$ возникают огромные результатирующие отклонения $y = 10^6$. Система, устойчивая в малом, оказывается явно неустойчивой в большом.

Если положить $\rho(t) = \ln 10$ при $0 < t < 10$, $\rho(t) = -1$ при $t > 10$, то решение будет не только устойчивым в малом, но и асимптотически устойчивым в малом. Однако прежний вывод о неустойчивости в большом при $t \geq 10$ остается в силе.

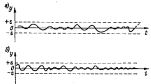


Рис. 2.16.

Если взять $\rho(t) = -1$ при $0 < t < 100$, $\rho(t) = 10$ при $t > 100$, то

$$y(t) = \begin{cases} e^{-t} y_0 & \text{при } 0 < t < 100, \\ e^{-100+10(t-100)} y_0 & \text{при } t > 100. \end{cases}$$

Здесь решение неустойчиво в малом, однако, когда время превышено интересующих нас отклонений y ограничено, скажем, $t = 20$, систему можно считать устойчивой в большом.

Напомним, что в определении устойчивости и неустойчивости движения относительно возмущений в начальных условиях компоненты начальных возмущений называются. Однако в некоторых физических системах из начальных возмущений накладываются связи, которые выражаются аналитическими соотношениями между компонентами начальных возмущений, что эквивалентно наличию зависимостей между произвольными постоянными в общем решении системы уравнений линии (2.55). Следовательно, движение определяется не всем общим интегралом, а лишь некоторой его частью. Иногда повторение этой части общего решения откладывается от понятия всего общего решения.

Если, без учета связей между начальными возмущениями, движение неустойчиво, а при наличии связей — устойчиво, то говорят о связной (никогда об условной) устойчивости.

Аналогично можно говорить и об условной устойчивости при не ограниченных по времени возмущениях.

2. Фазовое пространство. Отражение в нем устойчивых и неустойчивых движений. Пусть имеется произвольная нормальная система (2.48) логорифм и начальные условия (2.53).

Если взять пространство p_1 мерности $n + 1$, отложить по оси декартовой системы координат в этом пространстве времена t и значения $x_i(t, t_0, x_{10}, x_{20}, \dots, x_{n0})$ согласно (2.52), то мы получим единственную интегральную кривую системы (2.48), проходящую через точку $(t_0, x_{10}, x_{20}, \dots, x_{n0})$ и отражающую искомое частное решение. Само p_1 назовем пространством интегральных кривых.

Фазовым пространством p_2 , связанном с p_1 , будем называть пространство мерности n , которое получается из p_1 путем отбрасывания измерения, соответствующего t . Проекция интегральной кривой на пространство p_2 называется фазовой траекторией, отвечающей данному частному решению. Любая точка M этой траектории есть функция t . Поэтому можно сказать, что фазовая траектория — действительно, траектория некой изображающей точки, движущейся во времени в фазовом пространстве с некоторой фазовой скоростью. Координаты изображающей точки — значения искомых переменных x_i , характеризующие процесс движения. Чтобы ясно сформулировать сказанное, возьмем простой случай системы второго порядка

$$\begin{aligned} \frac{dx_1}{dt} &= f_1(t, x_1, x_2); \\ \frac{dx_2}{dt} &= f_2(t, x_1, x_2) \end{aligned} \quad (2.60)$$

с начальными условиями

$$x_1(t_0) = x_{10}, \quad x_2(t_0) = x_{20}. \quad (2.61)$$

Пространство p_1 интегральных кривых в данном случае будет трехмерным. По одной из осей декартовой системы координат откладывается t , по двум другим — значения x_1 и x_2 (рис. 2.17, а).

Частное решение $x_1 = x_1(t, t_0, x_{10}, x_{20})$, $x_2 = x_2(t, t_0, x_{10}, x_{20})$, дает известную интегральную кривую.

Фазовое пространство p_2 представляет собой плоскость с осями x_1 и x_2 (рис. 2.17, б). Фазовая траектория — проекцию интегральной кривой на фазовую плоскость.

Интегральные кривые, вообще говоря, не могут пересекаться сами себя или образовывать касающиеся друг друга участки, так как наличие кратных точек противоречит теореме о существовании и единственности частного решения при данных начальных условиях и будет иметь место лишь при нарушении отговорок теоремы. Что касается фазовых траекторий, то здесь указанное пересечение, вполне возможно, поскольку x_i в (2.52) могут быть многозначными функциями t . Более того, в периодических процессах эти функции бесконечнозначны, а фазовая траектория замкнута.

Семейство всех возможных фазовых траекторий системы уравнений (2.48) образуют ее фазовый портрет.

Бесконечный класс движений, описываемых системой (2.48), можно, трактовать как некий поток сплошной среды (жидкости), частицы которой совершают движение по асимптотическим фазовым траекториям. Сама уравнение (2.48) выражают проекции скоростей частиц на оси координат фазового пространства.

Если в уравнении (2.48) время t явно не входит, то соответствующая физическая система автономна. Автономные системы не испытывают внешних воздействий, зависящих от времени. Их фа-

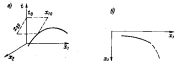


Рис. 2.17.

зовые траектории не могут пересекаться сами с собой или образовывать касающиеся друг друга участки, если только нет нарушений условий единственности. Последнее явно хотя бы из физических соображений, относящихся к модели в виде потока: частица, попавшая в точку x_1, x_2, \dots, x_n при не зависящей от времени скорости, всегда будет двигаться затем строго определенным и единственным образом. При нестационарной скорости частицы и правую часть (2.48) ясно изходит время — эта частица может много раз попадать в одну и ту же точку, но двигаться из этой точки по-разному.

Возьмем в качестве примера систему уравнений

$$\frac{dx_1}{dt} = x_2, \quad \frac{dx_2}{dt} = -x_1.$$

Прямой подстановкой нетрудно проверить, что она имеет общее решение

$$x_1 = C_1 \cos(t - C_2); \quad x_2 = -C_1 \sin(t - C_2).$$

Рассматривая t как параметр, получим на фазовой плоскости x_1, x_2 семейство окружностей с центром в начале координат (рис. 2.18). Правая часть нашей системы не зависит от t и удовлетворяет условиям теоремы существования и единственности; поэтому траектории не пересекаются.

Уравнение траектории имеет вид $x_1^2 + x_2^2 = C_1^2$ и не зависит от C_2 . Следовательно, все движения при фиксированном C_1 происходят по одной и той же траектории (но начинаятся в зависимости

от C_2 в разных ее точках). При $C_1 = 0$ фазовая траектория состоит из одной точки, называемой в этом случае точкой покоя системы. Возвращаясь t соответствует движению по часовой стрелке.

Проиллюстрируем на модели фазового пространства позитиве устойчивости движений. Возьмем системы второго порядка (2.60) при условиях (2.61). Переяди к изучению нулевого решения системы (2.55), имеющей тоже второй порядок, застрони фазовую плоскость с осями x_1 и x_2 (рис. 2.19, a). Обычально существующие здесь нулевые решения соответствуют началу координат. Здесь расположена точка покоя.

Определим около начала координат квадрат со сторонами 2δ . Вспомним определение, видим, что решение устойчиво в малом, если при любом ε можно выбрать такой квадрат со сторонами 2δ , при котором движение изображающей точки M , начинаяющееся внутри этого квадрата, никогда не выйдет за пределы первоначального квадрата. Случай асимптотической устойчивости соответствует рис. 2.19, б, случаю неустойчивости — рис. 2.19, в.



Рис. 2.18.

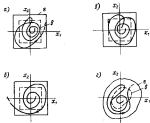


Рис. 2.19.

Мы оканчиваем квадратами только в силу выбранной конкретной записи ограничений для возмущений. Можно было бы принять: нулевое решение системы (2.55) является устойчивым, если (рис. 2.19, б) по любой заданной области допустимых возмущений (отклонений) от нулевого решения (области ε) мы можем указать область δ (в), окружающую нулевое решение и обладающую тем

свойством, что не одно движение M , которое начинается внутри δ , никогда не достигает границы области δ . Впрочем, оба определения, по существу, эквивалентны: в любую область δ и в любую область δ нетрудно вписать квадраты.

3. Простейшие типы точек покоя. Устойчивость нулевых решений систем линейных дифференциальных уравнений с постоянными коэффициентами. Рассмотрим точку покоя $(0, 0)$ системы однородных уравнений

$$\begin{aligned} \frac{dx_1}{dt} &= a_{11}x_1 + a_{12}x_2; \\ \frac{dx_2}{dt} &= a_{21}x_1 + a_{22}x_2, \end{aligned} \quad (2.62)$$

если

$$\begin{vmatrix} a_{11} & a_{12} \\ a_{21} & a_{22} \end{vmatrix} \neq 0.$$

Делая обычную подстановку $x_1 = \alpha_1 e^{kt}$, $x_2 = \alpha_2 e^{kt}$, получаем для k характеристическое уравнение

$$\begin{vmatrix} a_{11}-k & a_{12} \\ a_{21} & a_{22}-k \end{vmatrix} = k^2 - (a_{11} + a_{22})k + (a_{11}a_{22} - a_{12}a_{21}) = 0. \quad (2.63)$$

Значения α_1 и α_2 с точностью до постоянного множителя определяются из любого уравнения:

$$\begin{aligned} (a_{11}-k)\alpha_1 + a_{12}\alpha_2 &= 0; \\ a_{21}\alpha_1 + (a_{22}-k)\alpha_2 &= 0. \end{aligned} \quad (2.64)$$

Проанализируем возможные случаи корней характеристического уравнения.

3.1. Корни k_1 и k_2 действительны и различны. Тогда общее решение записывается в виде

$$\begin{aligned} x_1 &= C_1 \alpha_1 e^{k_1 t} + C_2 \beta_1 e^{k_2 t}; \\ x_2 &= C_1 \alpha_2 e^{k_1 t} + C_2 \beta_2 e^{k_2 t}, \end{aligned} \quad (2.65)$$

где α_i и β_i — постоянные, определяемые из (2.64) соответственно при $k = k_1$ и $k = k_2$; C_1 и C_2 — произвольные постоянные.

При этом возможны такие варианты:

а) если $k_1 < 0$ и $k_2 < 0$, то нулевое решение асимптотически устойчиво, поскольку из-за наличия в (2.65) множителей $e^{k_1 t}$ и $e^{k_2 t}$ все точки, находящиеся в начальный момент $t = t_0$ в любой δ -окрестности начала координат, при достаточно большом t переходят в любую сколь угодно малую δ -окрестность, а при $t \rightarrow \infty$ стремятся к началу координат (рис. 2.20, а). Точка покоя рассматриваемого типа называется асимптотичным узлом, стрелками указано направление движения при возрастании t ;

б) если $k_1 > 0$ и $k_2 > 0$, то нулевое решение неустойчиво. Соответствующее решение переходит в предыдущий случай при простом замене t на $-t$ (рис. 2.20, б). Точка покоя называется неустойчивым узлом;

в) если $k_1 > 0$, $k_2 < 0$, то нулевое решение также неустойчиво, поскольку точка, движущаяся по траектории $x_1 = C_1 e^{k_1 t}$, $x_2 = C_2 e^{k_2 t}$, выходит из δ -окрестности начала координат при сколь угодно малых значениях t . Это прямая I на фазовом портрете (рис. 2.20, в). Заметим, что в рассматриваемом случае существуют

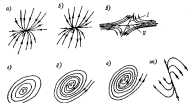


Рис. 2.20.

решения, приближающиеся к началу координат (прямая II на рис. 2.20, в): $x_1 = C_1 \beta_1 e^{k_1 t}$, $x_2 = C_2 \beta_2 e^{k_2 t}$. Точка покоя в данном случае получила название седла.

3.2. Корни k_1 и k_2 комплексные: $k_{1,2} = p \pm qi$, $q \neq 0$. Общее решение рассматриваемой системы можно записать так:

$$\begin{aligned} x_1 &= e^{pt} (C_1 \cos qt + C_2 \sin qt); \\ x_2 &= e^{pt} (C'_1 \cos qt + C'_2 \sin qt), \end{aligned} \quad (2.66)$$

где C_1 и C_2 — произвольные постоянные; $C'_1 \neq C'_2$ — некоторые линейные комбинации этих постоянных.

В этом случае возможны следующие варианты:

а) при $p = 0$, $q \neq 0$ в силу периодичности вторых множителей в правой части уравнений (2.66) траектории представляют замкнутые кривые, окруждающие точку покоя (рис. 2.20, д). Решение устойчиво, но не асимптотично. Точка покоя — центр;

б) при $p < 0$, $q \neq 0$ наличие стремящегося к нулю множителя e^{pt} ($p < 0$) превращает замкнутые кривые случая 3.1 в спирали, асимптотически приближающиеся при $t \rightarrow \infty$ к началу координат (рис. 2.20, е). Точка покоя — устойчивый фокус; последний отличается

чается от устойчивого узла тем, что касательная к траекториям не стремится к определенному пределу при приближении точки касания к точке покоя;

а) при $p > 0$, $q \neq 0$ вариант переходит в вариант б) при замене t на $-t$ (рис. 2.20, е). Точка покоя — неустойчивий фокус.

3.3. Корни кратны $k_1 = k_2$. Общее решение имеет вид

$$\begin{aligned}x_1(t) &= (C_1\alpha_1 + C_2\beta_2)t^{k_1}; \\x_2(t) &= (C_3\alpha_1 + C_4\beta_2)t^{k_1},\end{aligned}\quad (2.67)$$

причем не исключение возможность случая $\beta_1 = \beta_2 = 0$, когда α_1 и α_2 — произвольные постоянные. Если $k_1 = k_2 < 0$, то решение устойчиво (рис. 2.20, ж). Точка покоя — устойчивый узел. Если $k_1 = k_2 > 0$, то замена t на $-t$ приводит к предыдущему случаю. На фазовом портрете следует изменить направление стрелок. Точка покоя — неустойчивый узел.

Аналогичные утверждения справедливы и для линейных однородных систем n-го порядка с постоянными коэффициентами. Считая вещественные числа частным случаем комплексных, можно утверждать, что:

— если у всех корней характеристического уравнения действительные части отрицательные, то нулевое решение асимптотически устойчиво в малом;

— если хотя бы у одного корня характеристического уравнения действительная часть положительная, то нулевое решение неустойчиво в малом;

— если характеристическое уравнение системы имеет простые однократные корни с нулевой действительной частью, а все остальные корни (если они есть) обладают отрицательными действительными частями, то нулевое решение неасимптотически устойчиво в малом.

Пусть корни характеристического уравнения системы удовлетворяют следующим условиям. Имеется один корень (или несколько кратных корней) с нулевой действительной частью, и для каждого такого корня его кратность m_k и ранг m_k соответствующего определителя связаны равенством $n - m_k = m_k$. Среди остальных корней могут быть только простые корни с нулевой действительной частью, а также простые и кратные корни с отрицательными действительными частями. Тогда нулевое решение неасимптотически устойчиво в малом.

Пусть корни характеристического уравнения удовлетворяют следующим условиям. Имеется хотя бы один кратный корень с нулевой действительной частью, и для каждого такого корня его кратность m_k и ранг n_k соответствующего определителя подчинены неравенству $n - m_k \neq m_k$. Среди остальных корней (если они имеются) могут быть только кратные корни с нулевой действительной частью, для каждого из которых выполняется равенство $n - m_k = m_k$, а также простые корни с нулевой действительной частью, простые

и кратные корни с отрицательными действительными частями. Тогда нулевое решение неустойчиво в малом.

Если отбросить особый случай кратных корней с нулевой действительной частью, подчиняющихся условию $n - m_k \neq m_k$, а также не различать асимптотическую и обычную устойчивость в малом, то можно сказать: нулевое решение устойчиво, когда корни характеристического уравнения не имеют положительных вещественных частей.

Решение характеристических уравнений высоких степеней затруднительно, поэтому большое значение имеют методы, позволяющие без решения уравнения установить, будут ли иметь все его корни отрицательную вещественную часть. Одни из таких методов дает приводимая ниже без доказательства теорема Гурвица.

Необходимым и достаточным условием отрицательности действительных частей всех корней уравнения

$$x^d + a_1x^{d-1} + \dots + a_{d-1}x + a_d = 0 \quad (2.68)$$

с действительными коэффициентами является положительность всех главных диагональных макоров матрицы Гурвица

$$\left| \begin{array}{cccccc} a_1 & 1 & 0 & 0 & \dots & 0 \\ a_2 & a_3 & a_1 & 1 & \dots & 0 \\ a_4 & a_5 & a_3 & a_4 & \dots & 0 \\ a_7 & a_8 & a_6 & a_7 & \dots & 0 \\ \vdots & \vdots & \vdots & \vdots & \ddots & \vdots \\ 0 & 0 & 0 & 0 & \dots & a_d \end{array} \right|. \quad (2.69)$$

По главной диагонали этой матрицы стоят коэффициенты рассматриваемого многочлена в порядке их нумерации от a_1 до a_d . Столбцы состоят поочередно из коэффициентов только с нечетными или только с четными индексами, включая и коэффициент $a_d = 1$. Все недостающие коэффициенты, т. е. коэффициенты с индексами больше d или меньше нуля, заменяются нулями.

Заметим, что из условий Гурвица следует, что все $a_i > 0$, однако положительность всех коэффициентов характеристического уравнения вида (2.68) еще недостаточна. Для уравнения, $x^d + a_1x^2 + a_3 = 0$ условие Гурвица сводится к $a_1 > 0$, $a_3 > 0$.

Для уравнения $x^6 + a_1x^2 + a_2 + a_3 = 0$ оно будет $a_1 > 0$, $a_2a_3 - a_1^2 > 0$, $a_3 > 0$. Для уравнения $x^4 + a_1x^2 + a_2x^2 + a_3x^2 + a_4 = 0$ имеем $a_1 > 0$, $a_2, a_3 > 0$, $(a_2a_3 - a_1^2)a_4 - a_1^2a_2 > 0$, $a_4 > 0$.

4. Исследование устойчивости движения по первому приближению. Первый метод Ляпунова (метод сравнения). Пусть нам нужно исследовать устойчивость тригонометрических нулевых решений систем дифференциальных уравнений

$$\frac{dx_i}{dt} = f_i(t, x_1, x_2, \dots, x_n), \quad (i = 1, 2, \dots, n),$$

где f_i — дифференцируемые в начале координат функции.

Пользуясь дифференцируемостью f_1 , представим систему в окрестности начала координат в виде

$$\frac{dx_i}{dt} = \sum_{j=1}^n a_{ij}(t)x_j + R_i(t, x_1, x_2, \dots, x_n), \quad (2.70)$$

где R_i — совокупность членов высших порядков.

Положим, что $a_{ij}(t)$ не равны все тождественно нулю, т. е. система не относится к классу существенно линейных. В задаче устойчивости приходится рассматривать решения системы (2.70) при малых значениях x_0 , поэтому естественно ожидать, что характер этих решений определяется только линейными членами. Если это так, то достаточно исследовать за устойчивость лишь систему линейных уравнений

$$\frac{dx_i}{dt} = \sum_{j=1}^n a_{ij}(t)x_j, \quad (2.71)$$

которая называется системой первого приближения или, следуя Пуанкаре, системой уравнений в вариантах.

Последняя задача значительно легче, чем исходная, где в общем случае присутствуют квадратичные члены. Хотя, конечно, при зеркальных коэффициентах $a_{ij}(t)$ и она интересна.

Теперь остается изучить асимптотическое поведение решений системы (2.71), т. е. поведение при $t \rightarrow \infty$ всех x_i , поскольку асимптотическую эквивалентность решений систем (2.70) и (2.71), т. е. приближенных решений системы (2.70) к решениям системы (2.71) при $t \rightarrow \infty$. Нас интересует именно асимптотическое поведение, поскольку уже упоминавшиеся теорема о непрерывной зависимости интегральных кривых от начальных условий позволяет как бы отбросить любой конечный участок $t_0 \leq t \leq T$.

Сообщности изложенного метода изучали Лапунов, Пуанкаре, Гирон, Петровский, Малкин, Персидский, Четаев и др. Подробное и современное его описание имеется в соответствующей литературе, содержащейся в [2]. Ниже мы приведем лишь основные теоремы, относящиеся к случаю постоянных коэффициентов a_{ij} .

Теорема 2.6. Если система дифференциальных (2.70) автоморфна (стационарна) в первом приближении, величины R_i в достаточно малой окрестности начала координат при $t > T$ удовлетворяют неравенствам $|R_i| \leq N \left(\sum_{j=1}^n x_j^2 \right)^{\alpha}$, где N и α — положительные постоянные, и все корни характеристического уравнения

$$\begin{vmatrix} \sigma_{11} - k & \sigma_{12} & \dots & \sigma_{1n} \\ \sigma_{21} & \sigma_{22} - k & \dots & \sigma_{2n} \\ \vdots & \vdots & \ddots & \vdots \\ \sigma_{n1} & \sigma_{n2} & \dots & \sigma_{nn} - k \end{vmatrix} = 0$$

имеют отрицательные действительные части, то муравье решения систем (2.70) и (2.71) асимптотически устойчивы.

Теорема 2.7. Если система дифференциальных (2.70) автоморфна (стационарна) в первом приближении, все функции R_i удовлетворяют условиям преобразующей теоремы и хотя бы один корень характеристического уравнения имеет положительную действительную часть, то краевые решения систем (2.70) и (2.71) неустойчивы.

В этих теоремах не сказали так называемый критический случай: все действительные части корней характеристического уравнения зеркальны, причем действительная часть хотя бы одного корня равна нулю. Как показал Лапунов, в критическом случае за устойчивость кубового решения начинают играть квадратичные члены R_i и исследование на устойчивость по первому приближению, вообще говоря, невозможно.

5. Второй метод Лапунова. Идея второго метода Лапунова систется в следующем.

Для исследования устойчивости нулевых решений систем вида (2.48) вводится в рассмотрение вспомогательные функции $v(t, x_1, x_2, \dots, x_n)$, обычно называемые функциями Лапунова. Затем с помощью производной dv/dt , найденной с помощью системы (2.48), исследуется поведение решений этой системы по отношению к семейству поверхностей уровня $v(t, x_1, x_2, \dots, x_n)$ в пространстве $(t, x_1, x_2, \dots, x_n)$. При удачном выборе функции v это позволяет сделать заключение об устойчивости либо неустойчивости изучаемого решения.

Подробное описание метода содержится в [9, 17]. Мы же дадим лишь доказательства простейших вариантов важных теорем.

Теорема 2.8 (теорема Лапунова об устойчивости). Если существует дифференцируемая функция $v(x_1, x_2, \dots, x_n)$, удовлетворяющая в окрестности начала координат двум условиям:

$$v(x_1, x_2, \dots, x_n) > 0, \text{ причем } v = 0 \text{ лишь при } x_i = 0, \text{ и}$$

$$\frac{dv}{dt} = \sum_{i=1}^n \frac{\partial v}{\partial x_i} f_i(t, x_1, x_2, \dots, x_n) \leq 0 \text{ при } t \geq t_0,$$

то муравье решение $x \equiv 0$ системы (2.48) устойчиво.

Производная dv/dt во втором условии может быть интегральной кривой, т. е. выражена в предположении, что аргументы x_i являются решениями (2.48). Только тогда имеем

$$\frac{dv}{dt} = \sum_{i=1}^n \frac{\partial v}{\partial x_i} \frac{dx_i}{dt} = \sum_{i=1}^n \frac{dx_i}{dt} f_i(t, x_1, x_2, \dots, x_n).$$

Схема доказательства может быть проиллюстрирована на модели системы второго порядка (рис. 2.21, a), хотя все рассуждения относятся к любому порядку.

В окрестности начала координат, как и в окрестности любой точки строгого минимума, поверхности уровня $v(x_1, x_2, \dots, x_n) = c$ являются замкнутыми поверхостями, внутри которых находят-

дится начало координат (на рис. 2.21, а) поверхность уровня v покрыта в краю). Зададим $\epsilon > 0$. При достаточно малом $\epsilon > 0$ поверхность уровня $v = \epsilon$ — с целиком лежит в ϵ -окрестности начала координат, но не проходит через начало координат. Следовательно, можно выбрать такое $b > 0$, при котором b -окрестность начала координат целиком будет лежать внутри поверхности $v = \epsilon$, причем в этой окрестности $v < \epsilon$.

Если начальная точка с координатами $x_i(t_0) = x_0$ выбрана в ϵ -окрестности начала координат (рис. 2.21, б) и, следовательно, $v(x_{10}, x_{20}, \dots, x_{n0}) = c_1 < \epsilon$, то при $t > t_0$ точка траектории,

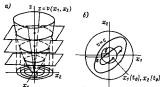


Рис. 2.21.

определенная указанными начальными условиями, не может выйти за пределы поверхности уровня $v = \epsilon$ и тем более за пределы ϵ -окрестности, поскольку в силу второго условия теоремы функция v вдоль траектории не возрастает.

Возьмем для примера систему $dx/dt = -xy^4$, $dy/dt = px^4$. Функция $v(x, y) = x^4 + y^4$ удовлетворяет условиям приведенной теоремы, поскольку

$$v(x, y) = x^4 + y^4 > 0, \quad v(0, 0) = 0;$$

$$\frac{dv}{dt} = -4x^3y^4 + 4x^3y^4 = 0.$$

Следовательно, нулевое решение этой системы устойчиво. Пусть

$$\frac{dx_1}{dt} = -x_2 - x_1^3, \quad \frac{dx_2}{dt} = x_1 - x_1^3.$$

Функция $v(x_1, x_2) = x_1^4 + x_2^4$ также удовлетворяет условиям

$$v(x_1, x_2) = x_1^4 + x_2^4 > 0, \quad v(0, 0) = 0;$$

$$\frac{dv}{dt} = 4x_1(-x_2 - x_1^3) + 2x_2(x_1 - x_1^3) = -2(x_1^4 + x_2^4) < 0.$$

Нулевое решение системы устойчиво.

Теорема 2.9 (теорема о неустойчивости). Пусть существует дифференцируемая функция $v(x_1, x_2, \dots, x_n)$, удовлетворяющая в некоторой замкнутой δ -окрестности начала координат для условия: в силу условий малой окрестности в начале координат существует область ($v > 0$), в которой $v > 0$, причем $v = 0$ на лежащей в ее части границе области ($v > 0$); в области ($v > 0$) производная

$$\frac{dv}{dt} = \sum_{i=1}^n \frac{\partial v}{\partial x_i} f_i(t, x_1, x_2, \dots, x_n) > 0,$$

точек в области ($v > 0$), где $a > 0$, производная $dv/dt > \beta > 0$. Тогда нулевое решение $x_1 = 0$ системы (2.48) неустойчиво.

Начальную точку $x_{10}, x_{20}, \dots, x_{n0}$ возьмем в сколь угодно малой окрестности начала координат в области ($v > 0$), чтобы $v(x_{10}, x_{20}, \dots, x_{n0}) = a > 0$ (рис. 2.22). Поскольку вдоль траектории $dv/dt > 0$, функция v вдоль траектории возрастает и не может бесконечно приближаться к началу координат.

Рассмотрим систему

$$\frac{dx}{dt} = y^2 + x^2, \quad \frac{dy}{dt} = x^2 + y^2.$$

Функция $v = x^4 - y^4$ удовлетворяет условиям теоремы Четвертой: $v > 0$ при $|x| > |y|$; $dv/dt = 4x^3(y^2 + x^2) - 4y^3(x^2 + y^2) = -4(x^6 - y^6) > 0$ при $|x| > |y|$, а если $v > a > 0$, то $dv/dt > \beta > 0$.

Нулевое решение рассматриваемой системы неустойчиво.

Из выводов § 6 следует, что движение во времени — пример одностороннего процесса с потоком внутренних параметров или потоком возмущений, направленным в сторону возрастания независимой переменной. Таким образом, теория устойчивости движения является, в сущности, теорией устойчивости процессов данного более общего типа.

Элементарная замена переменных вида $z = -x$ приводят к указанному типу односторонние процессы с потоком параметров или возмущений, направленным в сторону убывания независимой переменной.

Что касается обширного и важного класса двусторонних процессов, то к каким рассмотренная теория устойчивости их применима.

Б. Динамический критерий устойчивости равновесия механических систем. Положением равновесия механической системы под действием данной совокупности сил называется такое положение, которое сохраняется неограниченно долго, если в начальный момент времени система находилась в этом положении и скорости всех ее точек были равны нулю и если совокупность усилий, действующих на систему, и параметры системы (в частности, ее жесткости) остаются неизменными.

Общие критерии равновесия типа статического принципа виртуальных перемещений, условий геометрической статики и т. п. известны из курсов механики, поэтому мы не будем их излагать. Напомним, лишь, что равновесие консервативной системы возможно в тех и только тех ее положениях, в которых полная потенциальная энергия имеет стационарные значения (максимумы, минимумы, перегибы). В частности, маятник, качающийся в вертикальной плоскости (рис. 2.23, а), имеет два положения равновесия, показанные на рис. 2.23, б, в. Первое положение равновесия соответствует минимуму потенциальной энергии, второе — ее максимуму.

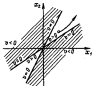


Рис. 2.22.

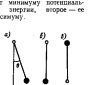


Рис. 2.23.

Положение равновесия устойчиво в малом, если бесконечно малые начальные отклонения от положения равновесия, бесконечно малые начальные скорости, бесконечно малые изменения усилий, действующих на систему, а также бесконечно малые изменения параметров системы приводят в любой последующий момент времени к бесконечно малым регулятирующим отклонениям и бесконечно малым регулятирующим скоростям.

Положение равновесия устойчиво в большом, если допускаемые малые начальные отклонения от положения равновесия, допускаемые малые начальные скорости, допускаемые малые изменения усилий, действующих на систему, а также допускаемые малые изменения параметров системы приводят в течение заданного (и иногда любого) периода времени лишь к достаточно малым отклонениям и скоростям, находящимся в кипаре заданных пределах.

На практике часто ограничиваются исследованием влияния начальных отклонений и скоростей, поскольку именно они обычно наиболее существенные и в ряде случаев они можно заменить возмущениями в усилиях и параметрах системы.

Динамический критерий устойчивости положений равновесия в строительной механике состоит в том, что проверяется движение системы (конструкции) около состояния ее равновесия.

Существует следующая важная теорема.

Теорема 2.10 (теорема Дирихле). Если для механической системы с m степенями свободы, находящейся под действием стационарных

консервативных (внешних и внутренних) сил и подчиненной дополнительным линейным стационарным соударениям, полная потенциальная энергия в положении равновесия имеет локальный минимум, то это положение является устойчивым в малом при сохранении в начальном положении и начальных скоростях.

Для доказательства теоремы примем, что в положении равновесия потенциальная энергия равна нулю. Это всегда можно сделать без нарушения общности, поскольку она определена с точностью до произвольной постоянной.

Положение механической системы, определяемое обобщенными координатами q_1, \dots, q_m , представим положением изображающей точки в m -мерном фазовом пространстве. Согласно теореме Дирихле, если взять достаточно малый m -мерный куб с центром в начале координат и сторонами $2\delta_1$ и задавать начальные отклонения в его пределах, а начальные скорости $\dot{q}_j (t_0)$ подчинить условию $|\dot{q}_j (t_0)| < \delta_2$, где δ_2 — достаточно малое положительное число, то изображающая точка не выйдет за пределы любого наперед заданного куба с центром в начале координат и сторонами $2\epsilon_1$, а производные $\dot{q}_j (t)$ всегда будут подчинены условию $|\dot{q}_j (t)| < \epsilon_2$, which бы не были наперед заданные положительные числа ϵ_1 и ϵ_2 . В случае $m = 2$ оба куба вырождаются в квадраты.

Поскольку в начале координат потенциальная энергия равна нулю и принимает минимальное значение, она положительна в некоторой окрестности начала координат. Следовательно, ϵ_1 можно полагать достаточно малым, чтобы на грани предельного куба $q_j = \pm \epsilon_1$, ($j = 1, \dots, m$) потенциальная энергия была не обращавшейся в нуль положительной функцией.

Пусть максимум E_p на граних равен ϵ_3 , т. е.

$$E_p(q_1, q_2, \dots, q_m) \geq \frac{\epsilon_3}{2}; \quad (2.72)$$

$$q_j = \pm \epsilon_1, \quad (j = 1, 2, \dots, m).$$

Число δ_1 будем выбирать таким, чтобы для любой точки внутри куба со сторонами $2\delta_1$ значение $E_p - E_{p0}$ не превышало $\epsilon_2/2$, т. е.

$$\begin{aligned} E_{p0} - E_p(q_1, q_2, \dots, q_m) &\leq \frac{\epsilon_2}{2}; \\ |q_j| &< \delta_1, \quad (j = 1, 2, \dots, m). \end{aligned} \quad (2.73)$$

Возможность указанного выбора обусловлена непрерывностью E_p в том, что при всех $q_j = 0$ энергия $E_p = 0$. Для выбора δ_1 поставим в квадрате выполнимое условие

$$T_4 = T |\dot{q}_j(t_0)| \leq \frac{\epsilon_2}{2}$$

при $|\dot{q}_j(t_0)| < \delta_2 < \epsilon_2$, где T — кинетическая энергия системы. При таком выборе δ_1 и δ_2 изображающая точка не может покинуть

куб со сторонами $2\epsilon_1$ и даже достичь его граней. Рассуждая от противного, положим, что в какой-то момент точка достигает грани куба. По закону сохранения энергии для T и E_p в этот момент

$$T + E_p = T_s + E_{ps} < s_0. \quad (2.74)$$

Поскольку, согласно (2.72), энергия E_p на граних больше или равна s_0 , то $T < 0$, что противоречит физическому смыслу. Следовательно, первоначальное утверждение справедливо.

Ввиду положительности E_p для всех точек внутри предельного куба со сторонами $2\epsilon_1$, значение T никогда не может превысить s_0 , т. е. $T < s_0$ при $|q_j| < \epsilon_1$, ($j = 1, 2, \dots, m$). Отсюда следует, что выбор δ_1 и δ_2 указанным выше способом еще не гарантирует условие $|q_j| < \epsilon_1$. Его выполнение связано с удовлетворением дополнительного неравенства

$$T(0, 0, \dots, q_j, \dots, 0) \geq s_0, \quad (2.75)$$

если $q_j = 0$ ($j \neq i$), где $|q_i| = \epsilon_1$.

Но неравенство (2.75) также может быть удовлетворено, поскольку, уменьшив размеры предельного куба со сторонами $2\epsilon_1$, можно сколь угодно уменьшить s_0 .

Итак, теорема Дириле доказана.

Если положение равновесия не соответствует точному минимуму потенциальной энергии, то исследование его устойчивости усложняется. Ляпунов доказал следующую почти полное обобщение теоремы Дириле: если состояние равновесия соответствует некоторому стационарному значению потенциальной энергии в кубе, как это обычно бывает, то отсутствие ее минимума обнаруживается уже по членам второго порядка в разложении функции $E_p(q_1, \dots, q_m)$ в ряд Тейлора, то равновесие неустойчиво.

Показано (вторая теорема Ляпунова), что положение неустойчиво, если потенциальная энергия имеет максимум, причем этот максимум отвечает членам наклонного (не обязательно второго) порядка в разложении E_p .

Следует особо подчеркнуть, что использование теоремы Дириле (или обратной ей) означает применение именно динамического критерия устойчивости, хотя в ее формулировке фигурирует только статическая исходная величина — потенциальная энергия.

Приведенное доказательство относится к произвольному, но конечному числу степеней свободы. Однако, с другой стороны, ясно, что любую упругую систему можно сколь угодно точно представить дискретной моделью — хотя бы заменой дифференциальных соотношений соотношениями конечных разностей или разложения деформаций в склоняющиеся ряды. Таким образом, данная формулировка распространяется и на упругие тела.

В качестве примера обратимся к следующей задаче (рис. 2.24). Рассмотрим устойчивость произвольной формы равновесия упругой системы, которая состоит из двух известных стержней, связанных шарниром в точке С и в свободно скользящих по вертикальной линии в точках А и В. Шарнир имеет массу m . Реакция горизонтальных пружин при любом отклонении x шарнира от вертикали $R = -ax + bx^2$.

Уравнение свободных колебаний такой конструкции будет

$$m\ddot{x} - \frac{2P}{V^2 - x^2} x + (ax + bx^2) = 0.$$

Полагая x достаточно малым по сравнению с l (чтобы преигнорировать степенями x/l выше третьей), имеем

$$m\ddot{x} + \left(a - \frac{2P}{l}\right)x + \left(b - \frac{P}{l^2}\right)x^3 = 0. \quad (2.76)$$

Вместо того чтобы решать (2.76) при любых начальных x_0 и \dot{x}_0 , применим теорему Дириле. Заметим, что члены в (2.76), пропорциональные x и x^3 , представляют производную dE_p/dx . Отсюда

$$E_p = \frac{1}{2} \left(a - \frac{2P}{l}\right)x^2 + \frac{1}{4} \left(b - \frac{P}{l^2}\right)x^4. \quad (2.77)$$

Если коэффициент при x^2 положителен, то значение $x = 0$ соответствует минимуму E_p , т. е. равновесие устойчиво. Когда этот коэффициент меньше нуля, значение $x = 0$ характеризует максимум E_p . По теореме Ляпунова равновесие неустойчиво. Если отрицательный коэффициент равен нулю, то нужно обратиться к коэффициенту при x^4 : при положительном значении последнего опять имеется минимум, т. е. равновесие устойчиво, а при отрицательном — максимум, т. е. устойчивость нарушается.

Итак, кратическое значение P_{sp} силы P определяется условием

$$a - \frac{2P_{sp}}{l} = 0; \quad P_{sp} = \frac{\pi l}{2}. \quad (2.78)$$

Попробуем теперь линеаризовать уравнение (2.76), т. е., по существу, перейти к уравнению в вариациях. Имеем

$$\ddot{x} + \left(a - \frac{2P}{l}\right)x = 0. \quad (2.79)$$

Анализируя (2.79) без сведений о нормальной системе уравнений, видим, что период свободных колебаний обращается в бесконечность, т. е. система теряет устойчивость, когда ранее нулю член $a - 2P/l$. При этом любая сколь угодно малая начальная скорость

x_1 «уведет» систему. Отсюда $P_{kp} = \omega l : 2$. Ответ оказывается совершенно привильным и совпадает с тем, что мы получили по теореме Дирихле без пренебрежения нелинейным членом. Решение состоит в оценке устойчивости при точном равенстве $P = P_{kp}$: из линеаризованного уравнения заключаем о неустойчивости в этом случае, тогда как учет положительного члена при x^2 дает обратный результат. Если упомянутый член отрицателен, то обе оценки совпадают и для данного конкретного значения P . В практическом

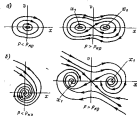


Рис. 2.25.

отношении подмеченное расходжение оценок не играет роли: все равно для любого $P - \Delta P$ система устойчива, а для любого $P + \Delta P$ неустойчива.

Вопрос о возможностях линеаризации уравнений движения консервации около состояний равновесия очень важен. Ведь мы часто с самого начала получаем линейными уравнениями, теряя или отбрасывая нелинейные члены при их выделении.

К счастью, здесь дело обстоит достаточно благополучно. Сравнительное недавние исследования, выполненные методами функционального анализа, показывают, что интересующие нас линеаризация вполне допустима, когда критическим значениям нагрузки, найденным в линейной постановке, соответствует одна форма неограниченного нарастающего движения или, по крайней мере, нечетное число таких форм, т. е. когда одновременно обращается в нуль частота одного или нечетного числа tones главных свободных колебаний. При четном числе форм линеаризация может оказаться недопустимой.

Попробуем теперь получить представление о всей картине движения системы, изображенной на рис. 2.24, после введения начальных возмущений. Коэффициент при мелким члене считаем положительным.

Построим фазовый портрет движения на фазовой плоскости x_0t (рис. 2.25, а), где v — скорость x .

Выражение (2.77) для потенциальной энергии нам известно. Известны и закон сохранения энергии $T + \Pi = \text{const}$. Отсюда, задаваясь начальными x_0 и v_0 , легко построить соответствующую фазовую траекторию.

Поскольку кривые замкнуты, это значит, что шарик, отклоненный на расстояние x_0 с начальной скоростью v_0 , будет совершать затем периодическое движение. Легко определить максимальные отклонения и максимальные скорости, а также любые другие характеристики процесса. Когда $P \ll P_{kp}$, то колебания совершаются около первоначального квадратичного положения; при $P \gg P_{kp}$ они имеют более сложный характер, но все же не теряют устойчивость системы не получает неограниченных отклонений, как это следует из линеаризованного уравнения движения. Если мы зададимся максимальными x_0 и v_0 , а также допустимыми x_{\max}^0 и v_{\max}^0 , то система, неустойчивая в малом, вполне может оказаться устойчивой в большом.

Введем теперь в (2.76) диссиликативный член, пропорциональный скорости при колебаниях. Траектория можно получить каким-либо из численных методов решения задачи Коши. Фазовый портрет приобретает вид, показанный на рис. 2.25, б. Движение перестает быть периодическим. При $P \ll P_{kp}$ оно затухает и стремится к нулю. В случае $P \gg P_{kp}$ затухание заменяется в симметричных точках x_1 и $-x_1$. Найденные значения x_1 и $-x_1$ представляют собой корни алгебраического уравнения

$$\left(\alpha - \frac{\beta P}{l} \right) x + \left(\beta - \frac{P}{\alpha} \right) x^3 = 0, \quad (2.80)$$

одличающегося от (2.76) отсутствием квадратичного члена. Они определяют положения устойчивого статического равновесия системы под действием силы $P \gg P_{kp}$.

Если $P \gg P_{kp}$, но коэффициент β , определяющий кубическую жесткость пружин, очень велик, то x_1 и $-x_1$ практически совпадают с нулем. Система безусловно устойчива в большом, а потеря устойчивости в малом выражается в пустую формальность. Наоборот, при малом, хотя и положительном коэффициенте перед x^3 в (2.80), абсолютное значение величин x_1 и $-x_1$ оказывается очень большим. Потеря устойчивости в малом сопрягает одновременно и потерю устойчивости в большом.

Ясно, что и при наличии диссиликативной силы устойчивы положения равновесия, соответствующие принципу Π . Последнее, впрочем, вполне понятно. Доказательство теоремы Дирихле основано на постоянстве суммы кинетической и потенциальной энергий консервативной системы. Из самой общей идеи видно, что добавление к амплитудам консервативных силам некоторой системы диссиликативных сил, вызывающих рассеивание энергии, не может

снизить устойчивость системы или изменять устойчивые состояния (одна из теорем Кельвина). Более того, система, устойчивая в начале, становится тогда асимптотически неустойчивой, так как малые колебания около положения статического равновесия затухают со временем.

Сказанное не относится к внешним активным неконсервативным силам — здесь добавление диссипативных сил может в некоторых случаях оказывать дестабилизирующее влияние.

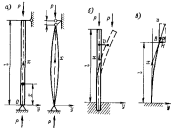


Рис. 2.26.

Принципиальная разница между внешними активными консервативными и неконсервативными силами состоит в следующем. Когда система совершает малые колебания от положения равновесия, консервативные силы не могут добавить системе никакой энергии за полный цикл колебаний, т. е. не могут раскачивать систему — их работа по любому замкнутому пути всегда равна нулю. Неконсервативные внешние силы, наоборот, часто добавляют энергию за цикл. Наличие диссипативных сил изменяет закон движения системы, что может увеличить приток энергии от неконсервативной нагрузки. Применение прогона иногда больше диссипации.

Обратимся к более сложному примеру — исследованию устойчивости промежуточной формы равномерно сжатого стержня постоянного сечения, свободно опиршегося об обмыканными концами (рис. 2.26, *c*). В качестве начальных возмущений снова примем начальные отклонения и начальные скорости.

Линеаризованное уравнение свободных колебаний, обусловленное такими начальными возмущениями, можно записать в виде

$$EI \frac{\partial^4 v}{\partial x^4} + P \frac{\partial^2 v}{\partial x^2} + m \frac{\partial^2 v}{\partial t^2} = 0 \quad (2.81)$$

или

$$\frac{\partial^4 v}{\partial x^4} + k^2 \frac{\partial^2 v}{\partial x^2} + \frac{m}{EI} \frac{\partial^2 v}{\partial t^2} = 0, \quad (2.81a)$$

где v — прогиб; $k^2 = P / EI$; EI — изгибная жесткость стержня; m — его погонная масса.

Будем искать решение (2.81a) как произведение

$$v(x, t) = \sum_{n=1}^{\infty} X_n(x) T_n(t); \quad (2.82)$$

тогда при любом n получим

$$\frac{1}{X} \frac{d^4 X}{dx^4} + k^2 \frac{1}{X} \frac{d^2 X}{dx^2} = - \frac{m}{EI} \frac{1}{T} \frac{dT}{dt^2}. \quad (2.83)$$

Поскольку левая часть уравнения (2.83) зависит только от x , а правая — только от t , уравнение может удовлетворяться лишь в том случае, когда обе его части заранее равны постоянной величине λ :

$$\begin{aligned} \frac{1}{X} \frac{d^4 X}{dx^4} + k^2 \frac{1}{X} \frac{d^2 X}{dx^2} &= \lambda, \\ - \frac{m}{EI} \frac{1}{T} \frac{dT}{dt^2} &= \lambda. \end{aligned} \quad (2.83a)$$

Второе уравнение (2.83a) преобразуется к виду

$$\frac{dT}{dt^2} + \frac{EI}{m} \lambda T = 0, \quad (2.84)$$

откуда общий интеграл записывается через две производные постоянные — амплитуду A и фазовый угол φ :

$$T = A \cos(\omega t + \varphi), \quad (2.85)$$

где

$$\omega^2 = \frac{EI}{m} \lambda. \quad (2.85a)$$

Первое уравнение (2.83a) перепишем в виде

$$\frac{d^4 X}{dx^4} + k^2 \frac{d^2 X}{dx^2} - \lambda X = 0. \quad (2.86)$$

Его общий интеграл записывается так:

$$X(x) = A_1 \operatorname{ch} S_1 x + B_1 \operatorname{sh} S_1 x + C \cos S_2 x + D \sin S_2 x, \quad (2.87)$$

т.е.

$$\begin{aligned} S_1^2 &= \frac{\sqrt{k^2 + 4k - \lambda^2}}{2}, \\ S_2^2 &= \frac{\sqrt{k^2 + \lambda^2 + \lambda^2}}{2} \end{aligned} \quad (2.87a)$$

Для определения производных постоянных имеем граничные условия: при $x = 0$

$$X = 0, \quad \frac{d^2X}{dx^2} = 0; \quad (2.88)$$

при $x = l$

$$X = 0, \quad \frac{d^2X}{dx^2} = 0. \quad (2.88a)$$

После всех преобразований получаем форму и частоты главных свободных колебаний

$$\begin{aligned} X_n(x) &= D_n \sin \frac{n\pi x}{l}, \quad (n = 1, 2, 3, \dots); \\ \omega_n &= \frac{n^2 \pi^2}{l^2} \sqrt{\frac{EI}{m}} \left(1 - \frac{Pb}{EIb^2}\right)^{1/4}. \end{aligned} \quad (2.89)$$

При $P < P_{cr} = \pi^2 EI / l^2$ все значения ω_n вещественны; прокарольное начальное отклонение $v_0(x)$ с начальными скоростями $v_1(x)$ нетрудно разложить в ряд по $X_n(x)$, причем стремление $|v_n(x)|$ к $|v_0(x)|$ к нулю сопряжено беспрепятственное уменьшение коэффициентов разложения. Таким образом, бесконечно малые возмущения вызывают бесконечно малые отклонения стержня от невозмущенного (прямолинейного) положения. Следовательно, схема устойчивая.

При $P = P_{cr}$ частота свободных колебаний ω_1 обращается в нуль, т. е. период первого тона становится равным бесконечности. Отсюда следует, что составляющая v_{11} , соответствующая первому тону, остается неизменной во времени, если начальная скорость v_{11} по этому тону равна нулю (в противном случае она неограниченно растет). При прокарольных возмущениях, содержащих v_{11} , равновесие неустойчиво.

Когда $P > P_{cr}$, то частота ω_1 — минимум величины. Движение по первому тону главных свободных колебаний оказывается апериодическим, и отклонение первоначально отклоненного стержня продолжает скользить угодно увеличиваться. Неизмущенное состояние стало неустойчивым относительно любых возмущений v_{11} , даже при $v_{11} = 0$.

Свободные колебания любой реальной конструкции связаны с расходованием энергии и возникновением сил сопротивления. Пусть для простоты занесем сопротивления пропорциональны первой степени скорости $\dot{x}(t)$, а внутренние — первой степени скорости относительных деформаций. Тогда уравнение свободных колебаний рассматриваемого стержня (см. рис. 2.26, а) будет

$$EI \frac{d^2v}{dx^2} + EI \frac{d^2v}{dt^2} + P \frac{dv}{dx} + m \frac{dv}{dt} + \epsilon_1 \frac{dv}{dt} = 0, \quad (2.90)$$

где ϵ и ϵ_1 — коэффициенты сопротивлений.

Решение (2.90) по-прежнему допустимо искать в соответствии с (2.82), но все выкладки усложняются. Их можно сильно сократить, если заметить, что в нашем случае наименьшее сопротивление не является постоянной формой свободных колебаний, поскольку внешнее сопротивление дает зигзагообразную силу, подобную зигзагу материи, а внутреннее сопротивление — зигзагу моментов, подобную зигзагу сил упругости. Следовательно, движение по форме

$$x(x, t) = T_n(t) \sin \frac{n\pi x}{l} \quad (2.91)$$

представляет перемещение системы с одной степенью свободы.

Подстановка (2.91) в (2.90) и сокращение на $\sin nx/l$ дает

$$\begin{aligned} mT_n''(t) + \left(\epsilon EI \frac{n^2 \pi^2}{l^2} + \epsilon_1 \right) T_n(t) + \\ + \left(EI \frac{n^2 \pi^2}{l^2} - P \frac{n^2 \pi^2}{l^2} \right) T_n'(t) = 0. \end{aligned}$$

Обозначив

$$\begin{aligned} 2h_n &= \frac{1}{m} \left(\epsilon EI \frac{n^2 \pi^2}{l^2} + \epsilon_1 \right), \\ \omega_n^2 &= \frac{1}{m} \left(EI \frac{n^2 \pi^2}{l^2} - P \frac{n^2 \pi^2}{l^2} \right), \end{aligned}$$

приходим к хорошо известному уравнению

$$T_n'' + 2h_n T_n' + \omega_n^2 T_n = 0. \quad (2.92)$$

Допустим пока, что для всех n величина $\omega_n^2 > 0$. Как показано в общей теории колебаний, при $\omega_n^2 - h_n^2 > 0$ имеют место затухающие колебания, а при $\omega_n^2 - h_n^2 < 0$ наблюдается апериодическое движение, но в обоих случаях $T_n(t)$ стремится к нулю с течением времени, т. е. стержень возвращается в первоначальное прямолинейное положение (асимптотическая устойчивость, отсутствующая, когда нет сопротивления). С уменьшением начальных отклонений и скоростей максимальные отклонения также уменьшаются и стремятся к нулю, т. е. стержень устойчив в малом.

Если $P = \pi^2 EI / l^2$, то $\omega_1^2 = 0$ и уравнение движения по первому тону примет вид

$$T_1'' + 2h_1 T_1' = 0. \quad (2.92a)$$

Восстанавливаясь сила отсутствует — любое начальное отклонение этого тона без начальной скорости будет сохраняться.

При наличии начальной скорости стержень станет двигаться до тех пор, пока его начальная кинетическая энергия не погасится сопротивлением; затем он остановится и сохранит свое положение.

Асимптотической устойчивости уже нет, но стержень еще устойчив в малом, и значение $P = \pi^2 EI / l^2$ нельзя рассматривать как приводящее к потере устойчивости.

Когда $P > \pi^2 EI / l^2$, то, интегрируя (2.92), легко убедиться, что всякое начальное отклонение по первому тону приведет к неограниченному росту прогибов. Устойчивость нарушается.

В практическом отношении введение силы сопротивления мало изменяет ответ, но теоретическая картина поведения стержня оказывается принципиально иной.

Аналогичным образом нетрудно рассмотреть другие случаи граничных условий стержня. Сопротивления будем пренебрегать, т. е. используем уравнение (2.81). Например, для стержня с одним заданным и другим свободным концами (рис. 2.26, б) получим: при $x = 0$

$$X = 0, \quad \frac{dX}{dx} = 0; \quad (2.93)$$

при $x = l$

$$\frac{dX}{dx} = 0, \quad -\frac{d^2X}{dx^2} = k^2 \frac{dX}{dx}. \quad (2.93a)$$

Первые три условия очевидны, четвертое выводится из выражения перерезывающей силы через прогиб

$$EI \left(\frac{d^2X}{dx^2} \right)_{x=l} = P \left(\frac{dX}{dx} \right)_{x=l}.$$

После всех преобразований (2.85) и (2.87) найдем

$$X_1(x) = B(\cos kx - 1) \quad (2.94)$$

и условие обращения ω_1^2 в нуль

$$P = P_{kp} = \frac{\pi^2 EI}{4l^2}. \quad (2.95)$$

Если $P > P_{kp}$, то величина ω_1 становится минимой, что свидетельствует о нарастании просгibов после любого сколь угодно малого отклонения по форме первого тона главных свободных колебаний $X_1(x)$.

Обозначим через ω_2^2 — квадрат частоты первого тона стержня при отсутствии силы P . Тогда для случаев, показанных на рис. 2.26, а, б, нетрудно построить зависимость, представленную на рис. 2.27, а. Линейность ее обусловлена тем, что форма колебаний оказывается постоянной для любого P .

При многих других условиях, скажем при жесткой заделке обоих концов, сила P влияет на форму колебаний, и тогда функция $\omega_2 = f(P/P_{kp})$ будет более сложной.

Весьма интересен случай «следящей силы» (см. рис. 2.26, в), который меняет направление вместе с сечением стержня.

Постановка задачи и путь решения — прежние, но вместо (2.93) имеем: при $x = 0$

$$X = 0, \quad \frac{dX}{dx} = 0; \quad (2.96)$$

при $x = l$

$$\frac{dX}{dx} = 0, \quad \frac{d^2X}{dx^2} = 0. \quad (2.96a)$$

Подставив в общий интеграл (2.87) уравнения свободных колебаний (2.86), когда необходимых выкладок найден частное решение

$$K^4 + 2k + 2k \operatorname{ch} S_1 \cos S_2 \pm \sqrt{2} k^2 \operatorname{sh} S_1 \sin S_2 = 0. \quad (2.97)$$

Если принять безразмерные параметры

$$K = (kl)^2 = \frac{P^2}{EI};$$

$$\Omega = \lambda l = \frac{\pi \omega_2^2 l^2}{EI};$$

$$S_1 = S_2 l, \quad S_2 = S_2 l,$$

то

$$\Delta(K\Omega) = K^4 + 2k + 2\Omega \operatorname{ch} S_1 \cos S_2 \pm \sqrt{2} k^2 \operatorname{sh} S_1 \sin S_2 = 0. \quad (2.97a)$$

При отсутствии внешней силы P параметр $K = 0$ и корень Ω уравнения (2.97a) определяют частоты свободных колебаний обычного коаксиального стержня: с возрастанием K два замкнутых корня сближаются (рис. 2.27, б); при некотором значении $K \approx 20$ они становятся кратными. Дальнейшее увеличение K делает их комплексными, причем один из них имеет отрицательную минимую часть. Следовательно, $K > 20$ соответствует неустойчивому состоянию стержня: косса стержень выворачивается из состояния равновесия, его прогибы неограниченно увеличиваются.

Сравнение с результатом расчета по формуле (2.95) свидетельствует о том, что при следящей нагрузке критическая сила возрастает в восемь раз.

§ 9. Моделирование односторонних процессов. Метод Эйлера, Рунге — Кutta и начальных параметров

1. Метод Эйлера. С использованием метода Эйлера для анализа и моделирования односторонних процессов вообще для решения задачи Коши, т. е. для интегрирования обыкновенных дифференциальных уравнений с начальными

условиями, мы бегло познакомились в главе I-й. Сейчас рассмотрим его более подробно.

Пусть дана система

$$\frac{dy_i}{dx} = f_i(x, y_1, \dots, y_n), \quad (i=1, \dots, n) \quad (2.98)$$

и начальные условия

$$y_i(x_0) = y_{i0}, \quad (i=1, \dots, n). \quad (2.98a)$$

Заменив с некоторым приближением дифференциала dx и dy малыми приращениями Δx и Δy_i , можно записать

$$\Delta y_i = f_i(x, y_1, \dots, y_n) \Delta x. \quad (2.99)$$

Подставив в (2.99) значение $x = x_0$ и начальные условия (2.98a), нетрудно найти все приращения Δy_i , т. е. значения

$$y_i(x_0 + \Delta x) = y_i(x_0) + \Delta y_i. \quad (2.100)$$

Теперь мы можем подставить в (2.99) значения $x = x_0 + \Delta x$, $y_i(x + \Delta x)$, а также найти новые приращения всех y_i и значения $y_i(x + 2\Delta x)$.

Аналогичный процесс несложно продолжить далее, причем приращения Δx на каждом шаге интегрирования системы (2.98) вовсе не обязательно брать одинаковыми.

Ясно, что последовательное построение интегральных кривых системы (2.98) при возрастающих значениях x есть, по существу, моделирование одностороннего процесса с потоком параметров, направленным по возрастанию независимой переменной. Построение аналогичным путем интегральных кривых при убывающих x есть моделирование одностороннего процесса с потоком параметров, направленных по убыванию независимой переменной.

Погрешности, возникающие из-за округления значащих цифр, а также из-за перехода от dx , dy к Δx , Δy есть моделирование неких возмущений $R_i(t)$ в правых частях (2.98), неизбежных в каждом реальном одностороннем процессе. Несколько менять погрешности (незначительно меняя Δx или число значащих цифр счета), мы можем «экспериментально» проверить устойчивость моделируемых процессов.

Большие погрешности счета, наличие которых проявляется в разном различии двух «экспериментальных» численных реализаций, свидетельствуют о неустойчивости моделируемого процесса; при малых погрешностях и счет, и сам процесс устойчивы.

Ясно, что применение метода Эйлера позволяет экспериментально анализировать цифрами не в машине, а в большинстве случаев, не прибегая к использованию теории Ляпунова и ее модификаций. Вносимые возмущения можно менять путем изменения числа значащих цифр и шага интегрирования. Если устройство данной ЭВМ не позволяет менять числа значащих цифр, то можно

обратиться к генератору случайных цифр и с его помощью картировать последние значащие цифры.

Чтобы лучше представить себе различные ситуации при использовании метода Эйлера, рассмотрим его применение к линейному уравнению первого порядка, которое интегрируется и в квадратурах.

Дано уравнение

$$\frac{dy}{dx} = p(x)y. \quad (2.101)$$

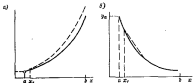
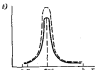


Рис. 2.28.



Если при $x = a$ имеем $y = y(a)$, то, как известно,

$$y(x) = y(a) e^{\int_a^x p(t) dt}. \quad (2.102)$$

Варьируя функцию $p(t)$, можно получать самые разнообразные кривые (рис. 2.28).

Пусть точное решение имеет вид сплошной кривой (рис. 2.28, a). Допустив маленькую погрешность в определении $y(x_1)$ при $x = x_1$, а затем выполнив интегрирование даже абсолютно без погрешностей, мы получим возрасташую погрешность решения (пунктирная кривая). Решение методом Эйлера, как и сам моделируемый процесс, неустойчивы в районе $x = b$. Если точное решение имеет вид сплошной кривой, изображенной на рис. 2.28, б, то ошибка, наоборот, будет затухать. Решение устойчиво на всем протяжении

$a \leq x \leq b$ (аналогично моделируемому процессу). Наконец, если точечный район не имеет вид сплошной кривой, показанной на рис. 2.28, в, то решение устойчиво в районе $x = a$ и $x = b$, но неустойчиво в районе $x = c$. Таким же образом дело обстоит и с устойчивостью процесса.

В действительности все несколько сложнее, так как погрешности допускаются не в одной точке, а на каждом шаге, что отвечает неточной идентификации $\Psi(y(x), x)$ на всем участке $a \leq x \leq b$, однако общий ход рассуждений остается в силе.

Несколько обобщен общий вариант метода Эйлера, можно решать и уравнения с запаздывающими аргументами:

$$\Delta y_i = f_i \left[x, y_1(x), y_2[x-a_1(x)], \dots, y_n[x-b_n(x)], \dots, \right. \\ \left. \dots, \int_{t_0}^{t_0+\Delta t} \Psi_i[y_i(x-\xi), \dots, y_n(x-\xi)] d\xi \right] \Delta x, \quad (2.103)$$

Использование зависимостей, подобных (2.103), не вызывает затруднений, поскольку в правой части мы имеем известные значения y_i в предшествующих точках; при этом всегда вместо начальных условий появляются начальные функции.

Существенное осложнение вносит опережающими аргументами: в этом случае при использовании формулы типа (2.103) в правую часть приходится подставлять еще не известные значения y_i при последующих значениях аргумента x .

Чтобы представить себе обобщение метода Эйлера для такого случая, вспомним, что уравнения с опережающими аргументами или уравнения нейтрального типа являются вырожденными уравнениями в частных производных. Пользуясь той же пообразованной системой транспортеров с односторонним переносом всех параметров, получим внутренние параметры $y_i = y_i(x, t)$, где x — по-прежнему координата точки системы в неподвижной системе Ox , t — время. Сама уравнения переноса примут вид

$$\frac{dy}{dx} + \frac{dy}{dt} \frac{dt}{dx} = \frac{\partial y_i}{\partial x} + k \frac{\partial y_i}{\partial t} = \\ = f_i \left[x, y_1(x, t), y_2[x-a_1(x, t)], \dots, y_n[x-b_n(x, t)], \right. \\ \left. \int_{t_0}^{t_0+\Delta t} \Psi_i[y_1(x-\xi, t), \dots, y_n(x-\xi, t)] d\xi, \right. \\ \left. \int_{t_0}^{t_0+\Delta t} \Psi_i[y_1(x+\xi, t), \dots, y_n(x+\xi, t)] d\xi \right], \quad (2.104)$$

где a_k и b_k — не только положительные, но и отрицательные функции; $k = dt/dx$ — некоторая постоянная величина, обратная скорости движения лент.

Уравнения (2.104) можно решать при произвольных начальных условиях во времени

$$y_i(x, t_0) = y_{i0}(x), \quad (i=1, 2, \dots, n). \quad (2.105)$$

Задав такие условия, мы получаем возможность следить с помощью формул типа

$$y_i(x+\Delta x, t+\Delta t) = y_i(x, t) + f_i \left[x, y_1(x, t), \dots, y_n[x-b_n(x, t)], \right. \\ \left. \int_{t_0}^{t_0+\Delta t} \Psi_i[y_1(x-\xi, t), \dots, y_n(x-\xi, t)] d\xi, \right. \\ \left. \int_{t_0}^{t_0+\Delta t} \Psi_i[y_1(x+\xi, t), \dots, y_n(x+\xi, t)] d\xi \right] \Delta x \quad (2.106)$$

за движением каждой точки, которая имела в момент $t = t_0$ произвольное положение $x = x_1$.

Чтобы войти в рассмотрение новые точки с левого конца системы, кроме начальных условий (2.105), нужно задавать начальные условия $y_i(0, 0) = y_{i0}(0)$ или аналогичные начальные функции. Если через некоторое $t > t_0$ процесс устанавливается во времени, то мы получим решение соответствующего обыкновенного дифференциального или интегродифференциального уравнения, которое имеет опережающие аргументы. В противном случае можно попытаться взять другие начальные условия. Но может случиться и так, что при любых условиях (2.105) решения не установлены, т. е. задача Коши для обыкновенного дифференциального или интегродифференциального уравнения данного типа вообще не будет иметь решения.

Предложенный способ интересен и сам по себе, так как показывает, что методы, подобные методу Эйлера, в ряде случаев пригодны для решения уравнений с частными производными, а также для моделирования двумерных процессов.

2. Метод Рунге—Кутта. Существует несколько вариантов метода Рунге—Кутта, называемых методами разных порядков; мы ограничимся кратким изложением так называемого метода четвертого порядка применительно к одному дифференциальному уравнению первого порядка.

Пусть дано уравнение

$$\frac{dy}{dx} = f(x, y) \quad (2.107)$$

и пусть нам известно значение $y_n = y(x_n)$, при котором $x = x_n$. (Несколько, является ли y_n заданным начальным значением или получено в процессе вычислений.)

Найдем последовательную ряд приращений Δy_n , обозначаемых как δ_n . Приращение

$$\delta_n = \Delta x_n f(x_n, y_n) \quad (2.108a)$$

представляет собой обычное приращение, определяемое по методу Эйлера.

Второе приращение:

$$k_2 = \Delta x_0 f(x_n + \Delta x_0/2, y_n + k_1/2) \quad (2.108a)$$

опирается как бы на «среднее значение» производной в точке интегральной кривой, лежащей посередине шага интегрирования. Обычно приращение k_2 несколько точнее k_1 .

Третье приращение исходит из уточненного среднего значения

$$k_3 = \Delta x_0 f(x_n + \Delta x_0/2, y_n + k_2/2), \quad (2.108b)$$

и четвертое

$$k_4 = \Delta x_0 f(x_n + \Delta x_0, y_n + k_3). \quad (2.108c)$$

представляет собой приращение, найденное из значения производной в точке $x_n + \Delta x_0$.

После этого расчетное приращение функции определяют по формулам

$$\Delta y_n = 1/6(k_1 + 2k_2 + 2k_3 + k_4) \quad (2.109)$$

и

$$y_{n+1} = y_n + \Delta y_n. \quad (2.109a)$$

В (2.109) полученные ранее варианты приращений усредняются с весами v_1, v_2, v_3 и v_4 .

Обобщение изложенного метода для нормальной системы n -го порядка очевидно и особых пояснений не требует.

Схема метода Рунге—Кутта основана на приближенном представлении исходной функции y в виде полинома, а не ломаной, как в методе Эйлера. Ясно, что каждый шаг здесь требует больше вычислений, однако сам шаг можно несколько увеличить.

И метод Эйлера и метод Рунге—Кутта имеют многочисленные стандартные программы, записанные как на универсальных языках, так и в кодах машин.

Близость методов Рунге—Кутта и Эйлера свидетельствует, что метод Рунге—Кутта также моделирует односторонние процессы вместе с их устойчивостью.

3. Метод начальных параметров. Под единным названием «метод начальных параметров» понимается группа методов, основанных на прямой записи краевой задачи для одномерного процесса ряда задач Коши, т. е. задач с начальными условиями. Разные варианты метода начальных параметров часто носят самостоятельные названия — обобщенный метод начальных параметров, метод Коли, метод Клейбера и т. д.

Суть обобщенного метода начальных параметров, примененного для нелинейных уравнений перекоса, заключается в следующем.

Пусть дана произвольная система уравнений перекоса при любых краевых, т. е. многоточечных условиях. Необходимо решить ее на участке от $x = a$ до $x = b$.

Зададимся при $x = a$ или другом значении $x = x_1$ из $a < x_1 < b$ некоторым набором начальных условий (начальных параметров), близких, по нашему мнению, к действительным значениям внутренних параметров при проекции в указанной точке. Затем решим задачу Коши при выбранном множестве начальных условий и проверим удовлетворение краевых условий. Если последние удовлетворяются, то краевая задача решена. В противном случае нужно взять другое множество начальных условий и повторить расчет заново.

Варьирование начальных условий (начальных параметров) позволяет удобно вести упорядоченное, подъемное для этого современными методами поиска экстремумов — минимум погрешности при удовлетворении заданных многоточечных условий.

Пусть имеется одномерная балка переменного сечения, загруженная поперечной нагрузкой $q(x)$. Покажем, что она изготовлена из нелинейно-упругого материала и заделана на жесткоизогнуемых опорах. Тогда ее изгиб определяется уравнением

$$\frac{d\omega}{dx} = -\theta, \quad \frac{dQ}{dx} = -q(x); \quad \frac{d\theta}{dx} = F(M, x); \quad \frac{dM}{dx} = Q, \quad (2.110)$$

которые близки уравнениям (2.31), записаны при тех же обозначениях, но имеют нелинейную функцию $F(M, x)$. Последняя может быть найдена из анализа деформаций элемента длиной dx .

Уравнения (2.110) должны быть проинтегрированы при граничных условиях

$$\begin{aligned} \omega(0) &= f_1(M(0), Q(0)), \quad \theta(0) = f_2(M(0), Q(0)); \\ \omega(l) &= f_3(M(l), Q(l)); \quad \theta(l) = f_4(M(l), Q(l)). \end{aligned} \quad (2.111)$$

Задавшись значениями $M(0)$ и $Q(0)$, из первых двух условий (2.111) находим $\omega(0)$ и $\theta(0)$. Затем, зная все начальные условия при $x = 0$, ломаем численным методом (Рунге—Кутта) решим задачу Коши для системы (2.110). Дойдя до $x = l$, проверим выполнение вторых условий (2.111). Если они выполняются, то расчет закончен. В противном случае выбираем новые значения $M(0)$ и $Q(0)$ и повторяем расчет.

Наконец, произведя варьирование двух начальных параметров. Если граничные условия связаны, то они имеют вид

$$\begin{aligned} f_1(M(0), Q(0), M(l), Q(l)) &= 0, \\ f_2(M(0), Q(0), M(l), Q(l)) &= 0; \\ f_3(M(0), Q(0), M(l), Q(l)) &= 0, \\ f_4(M(0), Q(0), M(l), Q(l)) &= 0. \end{aligned} \quad (2.111a)$$

Здесь нужно варьировать уже четыре начальных параметра, т. е. задаваться сразу всеми четырьмя значениями $M(0), Q(0)$.

$w(0), \theta(0)$, решать задачу Коши и лишь затем проверять выполнение всех краевых условий.

Приведенный обобщенный вариант метода начальных параметров позволяет получить решение многих упругопластических задач.

В задачах с линейными уравнениями переноса вместо простого вычисления начальных параметров целесообразно использовать теоремы о записи общих решений через частные решения. Так, в случае линейных дифференциальных уравнений известно, что общий интеграл неоднородной системы может быть выражен через интегралы частных интегралов соответствующей однородной системы и один частный интеграл неоднородной системы. Последний может быть найден непосредственно путем независимого решения еще одной задачи Коши или с помощью квадратур через n первых частных интегралов (хотя бы методом вариации произвольных постоянных).

Известен метод Коши для упорядочения процедуры выбора частных интегралов.

Пусть мы имеем общую линейную систему, записанную в нормальной форме:

$$\frac{dy_i}{dx} = p_{1i}(x)y_1 + p_{2i}(x)y_2 + \dots + p_{ni}(x)y_n + f_i(x), \\ (i = 1, 2, \dots, n). \quad (2.112)$$

Тогда k -й частный интеграл соответствующей однородной системы разыскивается при условиях

$$y_k(x_0) = 0 \quad (\text{при } k \neq q), \\ y_k(x_0) = 1, \quad (2.113)$$

где x_0 — произвольная фиксированная точка из промежутка интегрирования; обычно в качестве нее берется левый конец участка существования процесса.

Что насасывает частного интеграла неоднородной системы, то он разыскивается при нулевых начальных условиях в точке x_0 .

Общий интеграл системы (2.112) имеет вид

$$y_i^{n-p}(x) = C_1 y_{1i}(x) + C_2 y_{2i}(x) + \dots + C_p y_{pi}(x) + y_i^{n-p}(x), \quad (2.114)$$

где C_j — произвольные постоянные, равные значениям $y_j(x_0)$; $y_{ji}(x)$ — функции $y_j(x)$, входящая в j -й частный интеграл, определяемый при начальных условиях $y_j(x_0) = 1$, $y_{ji}(x_0) = 0$, когда $j \neq i$; $y_i^{n-p}(x)$ — функция $y_i(x)$, входящая в частный интеграл неоднородной системы при нулевых начальных условиях в точке x_0 .

Функция $y_{ji}(x)$ имеет ясный физический смысл. Она отражает параметр $p_j(x)$, возбуждаемый в системе заданным в точке $x = x_0$ параметром $y_j(x_0) = 1$ при отсутствии внешнего воздействия $f_1(x), \dots, f_n(x)$. Функция $y_i^{n-p}(x)$ отражает параметр $p_i(x)$, возбуждаемый только внешним воздействием $f_1(x), \dots, f_n(x)$.

В качестве примера исследуем линейную систему (2.31), которая относится к классу балки. Приняв в качестве x_0 сечение $x = 0$, поставим следующие группы начальных условий для соответствующей однородной системы:

$$\begin{aligned} w(0) = 1, \quad \theta(0) = 0, \quad Q(0) = 0, \quad M(0) = 0; \\ w(0) = 0, \quad \theta(0) = 1, \quad Q(0) = 0, \quad M(0) = 0; \\ w(0) = 0, \quad \theta(0) = 0, \quad Q(0) = 1, \quad M(0) = 0; \\ w(0) = 0, \quad \theta(0) = 0, \quad Q(0) = 0, \quad M(0) = 1. \end{aligned} \quad (2.115)$$

Значения внутренних параметров, отвечающих первой группе условий, будут $w_w(x)$, $\theta_w(x)$, $Q_w(x)$, $M_w(x)$, а параметров, отвечающих второй группе условий, $w_b(x)$, $\theta_b(x)$ и т. д. Тогда искомый общий интеграл системы (2.110) приобретает вид

$$\begin{aligned} w(x) = w(0)w_w(x) + \theta(0)\theta_w(x) + Q(0)Q_w(x) + \\ + M(0)M_w(x) + w^{n-p}(x); \end{aligned} \quad (2.116)$$

$$M(x) = w(0)M_w(x) + \theta(0)M_b(x) + Q(0)M_q(x) + \\ + M(0)M_M(x) + M^{n-p}(x).$$

Частное решение неоднородной системы (2.31) выражено функциями $w^{n-p}(x), \dots, M^{n-p}(x)$. Значения произвольных постоянных $w(0), \dots, M(0)$ должны быть найдены путем подстановки общего интеграла (2.116) в заданные краевые условия.

Заметим, что метод Коши применим не только к линейным, но и к нелинейным граничным условиям. Требуется лишь линейность уравнений переноса. При наличии нелинейных многочленных условий дело усложняется и метод может оказаться неприменимым.

При некоторых видах краевых условий не требуется определение общего интеграла системы (2.112); достаточно найти лишь часть его. Пусть система (2.110) решается при условиях

$$\begin{aligned} w(0) = k_1 Q(0); \quad \theta(0) = k_2 M(0); \\ w(l) = k_3 Q(0); \quad \theta(l) = k_4 M(l). \end{aligned} \quad (2.117)$$

Тогда достаточно найти решение всего трех задач Коши: а) для однородной системы при условиях $Q(0) = 1$, $w(0) = k_3$, $M(0) = 0$, $\theta(0) = 0$; б) для однородной системы при условиях $Q(0) = 0$, $w(0) = 0$, $M(0) = 1$, $\theta(0) = k_4$; в) для неоднородной системы при нулевых условиях.

Первое решение имеет вид,

$$w(x) = Q(0)w_1(x) + M(0)w_2(x) + w^{n-p}(x);$$

$$M(x) = Q(0)M_1(x) + M(0)M_2(x) + M^{n-p}(x), \quad (2.118)$$

где индекс 1 признак решения первой задачи Коши, индекс 2 — решения второй задачи Коши. Значения $Q(0)$ и $M(0)$ должны быть найдены в соответствии с (2.11б) в граничных условиях при $x = L$.

Используя на уменьшении числа задач Коши основной известный метод Клейбса для расчета балок постоянного или ступенчато-переменного сечения.

При интегрировании методом начальных параметров линейных дифференциальных уравнений (в вариантах методов Коши, Клейбса или в других модификациях) часто применяется аппарат матричной алгебры. В ряде случаев это весьма изящнообразно, так как в современных вычислительных машинах обычно имеются стандартные подпрограммы действий над матрицами. Однако следует указать, что использование матриц не вносит никаких принципиальных изменений ни в одну из применяемых модификаций метода и не влияет на их устойчивость.

Изложенная схема метода начальных параметров во всех его модификациях отличается предельной логической простотой и наглядностью. Но она безупречна только тогда, когда нас интересует ход реального процесса с активными начальными условиями в некоторой точке, а поставленные краевые условия пассивны. Ведь при прямом решении задачи Коши мы моделируем процесс с односторонним переносом параметров.

В противном случае, т. е. при исследовании реального двустороннего процесса с активными краевыми условиями, нарушается соответствие между устойчивостью алгоритма и рассматриваемого процесса. Иными словами, процесс, моделируемый численным алгоритмом, может оказаться неустойчивым и, следовательно, мы не сумеем найти достоверного решения, в то время как реальный процесс вполне устойчив и обладает детерминированным течением.

Возможен и обратный вариант — модельируемый процесс устойчива, а реальный процесс неустойчив. Это может оказаться еще опаснее — ведь мы получим ложественное решение и будем верить ему, хотя на самом деле изучаемый процесс вообще не имеет детерминированного течения и извернена пойдет как-то иначе. Здесь требуется специальная проверка устойчивости исследуемого процесса.

При наличии достаточно устойчивого численного алгоритма решения задачи такая проверка вполне возможна. Однако если устойчивость алгоритма в рассматриваемом случае находится «на пределе», то оценить степень устойчивости процесса весьма затруднительно.

В строительной механике характерен первый вариант — устойчивый реальный процесс и неустойчивый алгоритм метода начальных параметров.

Теорема 2.11. Если в одномерном линейном процессе деформации конструкции проявляется краевой эффект, т. е. смещения от сопротивления усилий, приложенных в любом сечении, зависят по мере удаления от этого сечения (максимальность запаса

не обязательна), то расчет такой конструкции методом начальных параметров сопряжен с нарастанием погрешностей по мере удаления ее длины и при достаточно большой длине оказывается неустойчивым.

В самом деле, пусть мы имеем произвольный 2m-параметрический линейный процесс деформирования конструкции; x — независимую переменную; A_k ($k = 1, 2, \dots, m$) — внутренние параметры процесса, выражющие смещения; P_k — внутренние параметры, которые выражают усилия, соответствующие A_k . Предположим, что в рассматриваемом процессе имеет место краевой эффект, т. е. загружение $A_k(x)$ от действия $P_k(x)$, приложенных



Рис. 2.29.

в точке x_0 , по мере возрастания абсолютного знания разности $x - x_0$. Пусть, далее, в сечении $x = x_0$ допущена погрешность δ в значения A_k , а все остальные внутренние параметры заданы точно. Рассмотрим участок конструкции от x_0 до x_1 (рис. 2.29). Поскольку все смещения в пределах этого участка определяются действующими на участок внешними усилиями, а внешняя нагрузка и усилия $P_k(x_0)$ заданы точно, погрешность δ связана с некоторыми добавками $\Delta P_k(x_1)$ в усилиях на конце $x = x_1$. Эти добавки представляют собой погрешности в усилениях $P_k(x_1)$, вызывающие в сечении $x = x_0$ смещения $A_k + \delta$. Но в силу краевого эффекта все перемещения от сопротивления усилий загружают по длине конструкции. Следовательно, при значительной длине участка (x_1, x_0) малую погрешность δ можно выразить линь большими добавками ΔP_k : с увеличением длины (x_1, x_0) указанные ΔP_k сколь угодно возрастают и становятся неприменимыми. Ясно, что большие ΔP_k вносят большое добавочное смещение $\Delta A_k(x_1)$ — погрешности в $A_k(x_1)$.

Аналогичным образом рассматриваются нелинейные конструкции с краевым эффектом.

Следовательно, если конструкция обладает свойствами краевого эффекта (то есть такие важные механические системы, как балки на упругом основании, оболочки и т. п.), то применять для ее расчета метод начальных параметров допустимо лишь тогда, когда длина участка, который «проходится» этим методом, сравнительно невелика.

В некоторых случаях устойчивость алгоритма можно несколько повысить искусственными приемами. Скажем, выбор исходной точки, где задаются начальные параметры, близко к середине конструкции,

а не у ее края позволяет сократить вдвое длину участка интегрирования и уменьшить погрешности. Однако нередко все возможные приемы оказываются безрезультатными.

Заметим, что сказанное выше о методе начальных параметров имеет прямое отношение к решению краевых задач на некоторых типах моделирующих электронных машин. Дело в том, что многие из них моделируют односторонние процессы, описываемые линейными дифференциальными уравнениями. Таким образом, решение краевой задачи сводится к подбору начальных условий, соответствующих поставленным краевым условиям. Несоответствие устойчивости одностороннего процесса, воспроизведенного машиной, устойчивости изучаемого двустороннего процесса может при этом проявляться очень сильно. Примером могут служить попытки применения таких моделирующих машин для прямого решения уравнений задачи о постановке судна в док. Причины неудач иска — поскольку судно представляет собой балку переменного сечения, лежащую на упругом основании переменной жесткости, то здесь налицо краевой эффект. Следовательно, односторонний процесс, определяемый тем же уравнением, неустойчив.

Рассмотрим более подробно возможность построения устойчивого алгоритма для частного случая линейных уравнений переноса, имеющих вид дифференциальных уравнений μ -го порядка с постоянными коэффициентами.

Пусть все корни α_i характеристического уравнения имеют отрицательную вещественную часть, а интегрирование производится в сторону возрастания независимой переменной. Тогда в соответствии с положениями теории устойчивости Липсунга процесс вычислений любого частного решения при заданных начальных условиях отрезка интегрирования (x_0, x_1) является устойчивым.

Пусть начальные условия для i -го частного решения будут

$$y_i^{(m)}(x_0) = a_{im}, \quad m = 0, 1, \dots, n-1, \quad (2.119)$$

где $y_i^{(m)}(x_0) = a_{im}$ — производная от функции $y_i(x)$; a_{im} — известные конечные числа. Очевидно, что i -е решение может быть записано в виде

$$y_i(x) = \sum_{j=1}^n D_{ij} e^{\alpha_j(x-x_0)}. \quad (2.120a)$$

Величины D_{ij} находятся из (2.119).

Другим k -м начальным условием типа (2.119) станет решение

$$y_k(x) = \sum_{j=1}^n D_{kj} e^{\alpha_j(x-x_0)}, \quad (2.120b)$$

Для удобства дальнейших рассуждений пронумеруем корни в порядке возрастания абсолютного значения действительной части. Предположим, что на i -е и k -е условия не наложено никаких ограничений, кроме линейной независимости. Ясно, что при до-

статочно большом x в обоих частных решениях станет превалирующим член, зависящий от корня α_i . Пусть при $x = x^1$ порядок ма- лости остальных членов по сравнению с главным составляет

$$\delta_i = \frac{\sum_{j=1}^n D_{ij} e^{\alpha_j(x^1-x_0)} - D_{ii} e^{\alpha_i(x^1-x_0)}}{D_{ii} e^{\alpha_i(x^1-x_0)}}. \quad (2.121)$$

Обозначим δ порядок изначального из чисел, которое мы еще можем зафиксировать для конкретной ЭВМ. Тогда при $\delta_i = \delta$ в (2.120) сохраняется только главный член, а при $x > x^1$ мы получим

$$y_i \approx D_{ii} e^{\alpha_i(x-x_0)}, \quad y_k = D_{ki} e^{\alpha_i(x-x_0)}. \quad (2.122)$$

Решения y_i и y_k становятся линейно-независимыми, в произвольные постоянные интегрирования не могут быть определены из граничных условий, если только длина участка интегрирования превышает $(x^1 - x_0)$. Если δ_i недостаточно большое δ (примерно на пол-порядка), то решения (2.120a) и (2.120b) линейно-независимы только за счет малых добавок. В силу этого произвольные постоянные в решении, подчиненном краевым условиям, определяются с большими погрешностями.

Рассмотрим возможность уменьшения ошибки в результате специального подбора начальных условий. Их можно задать, например, в виде

$$y_i^{(m)}(x_0) = a_i^m, \quad m = 0, 1, \dots, n-1,$$

где $y_i^{(m)}$ — m -я производная функции $y_i(x)$; a_i^m — i -й корень характеристического уравнения. Тогда при абсолютно точном выполнении всех вычислений имеем

$$y_i(x) = e^{\alpha_i(x-x_0)}, \quad i = 1, 2, \dots, n. \quad (2.123)$$

На первый взгляд, все частные решения линейно-независимы при любом x . Однако из-за неточности задания начальных условий, связанной хотя бы с погрешностью округления, получаемое на ЭВМ решение будет иметь вид

$$y_i(x) = e^{\alpha_i(x-x_0)} + \sum_{j=1}^n b_{ij} e^{\alpha_j(x-x_0)}, \quad (2.124)$$

где b_{ij} — числа, имеющие, по крайней мере, порядок последней учитываемой в ЭВМ значащей цифры.

С увеличением x в (2.124) непрерывно будет возрастать доля членов $b_{ij} e^{\alpha_j(x-x_0)}$ и при определенных значениях x этот член снова «забьет» основной. Вновь будет наблюдаться потеря точности решения.

Из выполненного анализа следует, что при наличии корней только с отрицательной вещественной частью возможность использования алгоритма метода начальных параметров определяется

длины участка интегрирования и порядком δ наименьшего из чисел, фиксируемого ЗВМ. Наибольшая длина участка l , когда еще может быть реализован алгоритм, определяется из соотношения

$$e^{(\alpha_1 - \alpha_0)l} \leq \delta, \quad (2.125a)$$

где α_1 и α_0 — корни с наименьшей и наибольшей по абсолютному значению вещественной частью.

Если все корни характеристического уравнения имеют положительную вещественную часть, то интегрирование уравнений перехода в сторону возрастания координаты x неустойчиво. Однако начало участка можно перенести в точку $x = x_0 + l$ и выполнить интегрирование в сторону убывания вещественной переменной. Тогда все приведенные рассуждения остаются в силе.

Полученная оценка (2.125a) превращается в оценку

$$e^{(\alpha_1 - \alpha_0)l} \leq \delta. \quad (2.125b)$$

Оценки (2.125) имеют ясный физический смысл. Известно, что точность, с которой мы можем исследовать какой-либо процесс, не может превышать точности устройств и приборов, используемых для его изучения. ЗВМ можно рассматривать как устройство, с помощью которого изучается процесс, описываемый исходными уравнениями и условиями. Минимальная по порядку величина, управляемая ЗВМ, может рассматриваться как чувствительность устройства, которая, очевидно, должна быть больше определяемых величин. Условия (2.125) являются, по существу, условиями согласованности ЗВМ и требуемой точности расчета.

Возвращаясь к методу начальных параметров, необходимо рассмотреть еще один случай, когда действительные части корней имеют различные знаки. Здесь можно обобщить полученные результаты и получить оценку, аналогичную (2.125a), (2.125b):

$$e^{|\alpha_1 - \alpha_0|l} \leq \delta, \quad (2.125a)$$

где $|\alpha_1 - \alpha_0|$ — наибольшая по абсолютному значению разность между действительными частями корней.

Эта оценка необходима, но недостаточна. Действительно, при выводе (2.125a) мы учитывали лишь погрешность в начальных условиях и не считались с текущей погрешностью, появляющейся на каждом шаге интегрирования. Это было в какой-то мере оправдано, поскольку из-за убывания решений оценки допущенной неточности с увеличением длины участка интегрирования затухала.

По-другому дело, когда действительные части корней имеют разные знаки. При любом направлении интегрирования здесь происходит накопление погрешностей, и потому оценка (2.125a) слишком оптимистична. В силу сказанного алгоритм метода начальных параметров при таких корнях характеристических уравнений допустимо использовать лишь для очень коротких участков интегрирования.

Важно отметить, что для задач строительной механики вследствие краиноградиента ее концов характерно отсутствие корней только с положительной или только с отрицательной частью: корни с положительной частью всегда сопутствуют корням с отрицательной частью. Таким образом, использование метода начальных параметров оказывается затруднительным.

§ 10. Моделирование двухсторонних процессов. Метод парциальных откликов

1. Общая схема метода парциальных откликов. Весьма важная задача о численном моделировании и анализе устойчивости двухсторонних процессов в значительной мере разрешается методом парциальных откликов, который уже имел довольно широкое применение в строительной механике. Главнейший недостаток этого метода — таков:

используется известный прием, состоящий в предварительном определении некоторых свойств системы, где происходит изучаемый процесс. Искомое решение выражается затем через эти свойства. Именно так поступают, например, в методе главных координат (метод разложения решений по собственным функциям), где сначала определяют частоты и формы главных свободных колебаний системы, а затем рассматривают движение по каждой из этих форм в отдельности.

В методе парциальных откликов такими свойствами являются отклики частей системы на воздействия со стороны соседней части. Слово «парциальный» как раз и показывает, что изучение подвергается отдельные части, составляющие систему (по аналогии с терминами типа «парциальная частота», «парциальное давление», и т. п.).

Важные особенности такого выбора предварительно определяемых свойств состоят в том, что:

- эти свойства находятся из решений задач с начальными условиями (задач Коши), которые весьма удобны для численного расчета и анализа устойчивости решений;

- метод парциальных откликов может быть использован без нарушения принципа соответствия устойчивости алгоритма к рассматриваемому физическому процессу.

В конечном итоге происходит некоторое сведение исходной краевой задачи к ряду задач Коши. Мы говорим о *каждом* сведении, поскольку задачи Коши относятся уже не к исходным дифференциальным уравнениям, а к некоторым другим уравнениям, сразу, сформированным из исходных уравнений. Напомним, что в любом варианте метода начальных параметров имеет место прямое сведение.

При использовании метода парциальных откликов в результате сведения (хотя и неправильного) краевой задачи к задачам Коши, а также выполнения принципа соответствия открывается возмож-

ность для анализа устойчивости двухсторонних процессов линейными и квазилинейными методами.

Рассмотрение метода парциальных отклонов начнем с простого случая двухпараметрического одномерного неособенного процесса, определяемого произвольной системой дифференциальных уравнений

$$\begin{aligned} \frac{dy_1}{dx} &= f_1(x, y_1(x), y_2(x)); \\ \frac{dy_2}{dx} &= f_2(x, y_1(x), y_2(x)) \end{aligned} \quad (2.126)$$

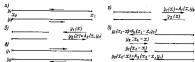


Рис. 2.30.

при активных граничных условиях в точках $x = x_0$, $x = x_1$:
 $y_2(x_0) = \psi_0[x_0, y_1(x_0)]$, $y_1(x_1) = \psi_1[x_1, y_1(x_1)]$. (2.127)

Процесс имеет схему потоков параметров, показанную на рис. 2.30, а.

Введем понятие парциального отклика системы. С этой целью разделим систему сечением x (рис. 2.30, б) и рассмотрим левую парциальную систему. Зададим на правом конце парциальной системы активное условие $y_2(x) = g_2$; вместе с первым условием (2.127) она обеспечит однозначность и двусторонность процесса в парциальной системе. Парциальным откликом системы $A_1(x, y_1)$ будем называть значение параметра $y_2(x) = y_2$ на правом конце парциальной системы, когда значение второго параметра $y_1(x)$ на этом конце равно заданной фиксированной величине $\psi_1(x)$ (рис. 2.30, б).

Нетрудно вывести дифференциальное уравнение для функции $\psi_1(x, y_1)$, отражающей некоторое свойство парциальной системы. Пусть известна функция $A_1(x, y_1)$ в сечении x . Из второго уравнения (2.126) найдем ее значение в сечении $x + dx$:

$$A_1(x + dx, y_1 + dy_1) = A_1(x, y_1) + \frac{\partial A_1}{\partial x}(x, y_1) dx + \frac{\partial A_1}{\partial y_1}(x, y_1) dy_1, \quad (2.128a)$$

где, согласно первому уравнению (2.126),

$$dy_1 = f_1(x, y_1(x), A_1(x, y_1(x))) dx.$$

С другой стороны,

$$\begin{aligned} A_1(x + dx, y_1 + dy_1) &= A_1(x, y_1) + \frac{\partial A_1}{\partial x} dx + \\ &+ \frac{\partial A_1}{\partial y_1} dy_1 = A_1(x, y_1) + \frac{\partial A_1}{\partial x} dx + \\ &+ \frac{\partial A_1}{\partial y_1} f_1(x, y_1(x), A_1(x, y_1(x))) dx. \end{aligned} \quad (2.128b)$$

Преобразив (2.128a) и (2.128b), получаем

$$\begin{aligned} \frac{\partial A_1}{\partial x} + \frac{\partial A_1}{\partial y_1} f_1(x, y_1(x); A_1(x, y_1(x))) = \\ - f_2(x, y_1(x), A_1(x, y_1(x))). \end{aligned} \quad (2.129)$$

Уравнение (2.129) интегрируется при начальных условиях, выраженных первым равенством (2.127).

При схеме потоков параметров, показанной на рис. 2.30, б, активные граничные условия следует переписать в виде

$$y_1(x_0) = \psi_1[x_0, y_1(x_0)], y_1(x_1) = \psi_1[x_1, y_1(x_1)], \quad (2.127a)$$

рассматривать левую парциальную систему, изображенную на рис. 2.30, в, и ползоваться очевидным уравнением

$$\frac{\partial A_1}{\partial x} + \frac{\partial A_1}{\partial y_1} f_1(x, y_1, A_1) = f_2(x, y_1, A_1). \quad (2.129a)$$

Уравнение (2.129a) получено из (2.129) путем очевидной замены переменных и интегровано: это эквивалентно при начальных условиях, выраженных первым равенством (2.127a).

Для интегрирования (2.129) и (2.129a) применяется обобщенный способ Эйлера. Познакомим его на примере уравнения (2.129). Первое условие (2.127) непосредственно дает $A_1(x_0, y_1)$; построение этой функции позволяет прямь найти

$$\left. \frac{\partial A_1}{\partial y_1} \right|_{x=x_0}.$$

Из уравнения (2.129) имеем

$$\begin{aligned} A_1(x_0 + \Delta x, y_1) &= A_1(x_0, y_1) + f_2(x_0, y_1, A_1(x_0, y_1)) \Delta x - \\ &- \frac{\partial A_1(x_0, y_1)}{\partial y_1} f_1(x_0, y_1, A_1(x_0, y_1)) \Delta x. \end{aligned} \quad (2.130)$$

Дальнейшие шаги выполняются рекуррентно.

Аналогичным образом находятся понятия парциальных отклонков $A_1(x_1 - x, y_1)$ и $A_1(x_1 - x, y_1)$ для правых парциальных систем (рис. 2.30, д).

Вернемся к исходному процессу (см. рис. 2.30, а). Если в сечении x известны значения $A_1(x, y_1)$ и $A_1(x_0 - x, y_1)$, то действи-

тельных значений внутренних параметров исследуемого процесса в исходной полной системе определяется условием сопряжения

$$y_1(x) = A_4[x, A_1(x - x_0, p_0)],$$

или

$$y_1(x) = A_1[x - x_0, A_2(x, p_0)]. \quad (2.13)$$

При исходном процессе со схемой потоков параметров, показанной на рис. 2.30, а, условия сопряжения примут вид,

$$y_1(x) = A_1[x, A_2(x - x_0, p_0)]$$

или

$$y_1(x) = A_2[x - x_0, A_1(x, p_0)]. \quad (2.13a)$$

Выбор ведущих, т. е. задаваемых, активных условий в парциальных системах в данном случае однозначно определяется потоком параметров в исходной системе.

Анализируя приведенный алгоритм, легко показать, что он является численным моделированием исходного процесса с учетом его устойчивости. Ведь мы сначала определили некоторые свойства парциальных систем, в которых происходит этот процесс, иные не поддаются прямым, условным и спекулятивным. Затем мы выражали параметры процесса через найденные свойства, опять-таки не пользуясь подменой следствий, причин и условий.

Заметим, что с точки зрения классической математики активные условия (2.127) и (2.127a) совершенно эквивалентны. Однако процессы, показанные на рис. 2.30, а, б, имеют разную устойчивость, поскольку устойчивость решений задач Коши для уравнений (2.129) и (2.129a), безусловно, различна. Отсюда следует доказательство каждого положения о том, что для анализа устойчивости одномерных процессов требуются схемы потоков параметров. Более того, иногда причинно-следственные связи не определяются в потоком параметров. Допустим, что в рассмотренном случае каждый параметр имеет двусторонний переход. Тогда для выбора ведущего параметра потребуется добавочный физический анализ.

Возьмем для примера расщепление стержня с площадью сечения Ω , помещенного в нелинейно-упругое эпиклеровское основание (см. рис. 2.28). Материал стержня также нелинейно-упругий. Применив обозначения, известные ранее для аналогичной линейной задачи, имеем

$$\frac{dP}{dx} = k(y) y, \quad \frac{dy}{dx} = \frac{P}{E \left(\frac{P}{\Omega} \right) \Omega}. \quad (2.132)$$

К системе (2.132) вполне применим только что рассмотренный алгоритм, причем за ведущий параметр следует принять внутреннее усилие P , так как оно является причиной деформирования правой и левой парциальных систем. Отклики $A_p(x, P)$ есть податливость части системы.

Если принять за ведущий параметр значение смещения $y(x)$, то отклик $A_p(x, y)$ выражает жесткость части системы. Почему же нам не определять ее? Ведь она тоже свойство этой части.

Ответ состоит в том, что всякий объект имеет актуальные и потенциальные свойства. Первые — это те свойства, которые фактически проявляются в данном процессе; вторые свойства могут проявиться, если объект будет поставлен в другие условия. Если мы хотим исследовать данный процесс в данной системе и не нарушить принципа соответствия, нам следует пользоваться только актуальными свойствами системы. В данном случае податливость — актуальное свойство, а жесткость — потенциальное свойство. С жесткостью мы будем иметь дело, если прикрепим рассматриваемую часть к некоему устройству, работающему на строго заданных смещениях.

Впрочем, в ряде случаев целесообразно пренебречь не принцип соответствия устойчивости алгоритма и процесса, а принцип максимальной устойчивости алгоритма. Тогда никто не мешает произвольно и даже повторно использовать разные отклики с различными ведущими параметрами в зависимости от степени устойчивости определения соответствующих откликов.

Пронализовав одномерный изолиранный процесс без внешних продольных связей описывается системой дифференциальных уравнений

$$\frac{dy_k}{dx} = f_k(x, y_1, y_2, \dots, y_n), \quad (k=1, 2, \dots, n). \quad (2.133)$$

Границные активные условия для левого конца ($x = x_0$) записем в виде

$$y_i(x_0) = \Phi_{ik}(x_0, y_1(x_0), y_2(x_0), \dots, y_n(x_0)), \\ (i = m+1, m+2, \dots, n). \quad (2.134)$$

На правом конце $x = x_1$ вид граничных условий аналогичен; число их равно m .

Пусть ведущими параметрами являются величины y_1, \dots, y_m (движение от x_0 к x_1). Рассечем исходную систему в сечении x . Парциальный отклик $A_1(x, y_1, y_2, \dots, y_m)$ назовем значением параметра y_1 на правом конце парциальной системы, когда значения ведущих параметров равны y_1, y_2, \dots, y_m . Число парциальных откликов, очевидно, равно $n-m$.

Выведем дифференциальные уравнения для парциальных откликов. Пусть в сечении x известны все отклики. Из i -го уравнения системы (2.133) непосредственно получаем

$$A_1(x + dx, y_1 + dy_1, y_2 + dy_2, \dots, y_m + dy_m) = \\ = A_1(x, y_1, y_2, \dots, y_m) + \\ + f_1(x, y_1, y_2, \dots, y_m, A_{m+1}, A_{m+2}, \dots, A_n) dx. \quad (2.135)$$

С другой стороны,

$$A_i(x+dx, y_1, y_2, \dots, y_m) = A_i(x, y_1, y_2, \dots, y_m) + \\ + \sum_{j=1}^m \frac{\partial A_i}{\partial y_j} dy_j + \frac{\partial A_i}{\partial x} dx. \quad (2.135a)$$

Приравнивая (2.135) к (2.135a), получаем

$$\frac{\partial A_i}{\partial x} + \sum_{j=1}^m \frac{\partial A_i}{\partial y_j} f_j(x, y_1, y_2, \dots, y_m, A_{m+1}, A_{m+2}, \dots, A_n) = \\ = f_i(x, y_1, y_2, \dots, y_m, A_{m+1}, A_{m+2}, \dots, A_n), \quad (i=m+1, m+2, \dots, n). \quad (2.136)$$

Равенства (2.134) являются начальными условиями для уравнений (2.136).

Для правой парциальной системы принимается $n-m$ ведущих параметров (в соответствии с числом правых линейных граничных условий). Ведущие параметры для правой и левой парциальных систем, вообще говоря, различны. Действительные значения внутренних параметров исследуемого процесса в исходной системе находятся из условий сокращения парциальных систем.

В случае линейного процесса парциальные отклики выражаются линейными функциями ведущих параметров y_1, y_2, \dots, y_m

$$A_i = \sum_{j=1}^m A_{ij}(x) y_j + A_{i0}(x). \quad (2.137)$$

Функции $A_{ij}(x)$ и $A_{i0}(x)$ являются компонентами вектора парциального отклика A_i . В дальнейшем для сокращения записи мы также будем называть их парциальными откликами; индекс j указывает, каким ведущим параметром они выражены; индекс 0 присваивается внешней нагрузке, т. е. свободным членам дифференциальных уравнений.

В строительной механике отклики A_{ij} представляют собой физические величины типа податливостей.

Правые части линейных уравнений (2.136) принимают вид

$$f_i(x, y_1, y_2, \dots, y_m) = \sum_{j=1}^m P_{ij}(x) y_j + P_{i0}(x). \quad (2.138)$$

Если в качестве ведущих фигурируют параметры y_1, y_2, \dots, y_m , то с учетом (2.137) уравнение (2.138) можно привести к виду

$$f_i = \sum_{j=1}^m P_{ij} y_j + \sum_{q=m+1}^n P_{iq} \left(A_{q1} + \sum_{j=1}^m A_{qj} y_j \right) + P_{i0}. \quad (2.139)$$

Дифференцируя (2.137) по x и y_j , находим

$$\frac{\partial A_i}{\partial x} = \sum_{j=1}^m \frac{d A_{ij}}{dx} y_j + \frac{d A_{i0}}{dx}, \quad \frac{\partial A_i}{\partial y_j} = A_{ij}. \quad (2.140)$$

Подставив (2.139), (2.140) в (2.136), получим

$$\sum_{j=1}^m \frac{d A_{ij}}{dx} y_j + \frac{d A_{i0}}{dx} + \sum_{j=1}^m A_{ij} \left[\sum_{q=m+1}^n P_{qj} y_q + \right. \\ \left. + \sum_{q=m+1}^n P_{qj} \left(A_{q1} + \sum_{j=1}^m A_{qj} y_j \right) + P_{i0} \right] = \\ - \sum_{j=1}^m P_{ij} y_j + \sum_{q=m+1}^n P_{qj} \left(A_{q1} + \sum_{j=1}^m A_{qj} y_j \right) + P_{i0}. \quad (2.141)$$

Приравнивая члены при произвольном ведущем параметре y_j , окончательно имеем

$$\frac{d A_{i0}}{dx} = P_{i0} + \sum_{q=m+1}^n P_{qj} A_{q1} - \sum_{j=1}^m A_{ij} \left(P_{ij} + \sum_{q=m+1}^n P_{qj} A_{qj} \right), \\ (i=m+1, m+2, \dots, n). \quad (2.142)$$

Рассматривая свободные члены, аналогично путем получаем

$$\frac{d A_{ij}}{dx} = P_{ij} + \sum_{q=m+1}^n P_{qj} A_{q1} - \sum_{l=1}^m A_{il} \left(P_{il} + \sum_{q=m+1}^n P_{qj} A_{qj} \right), \\ (i=m+1, m+2, \dots, n). \quad (2.143)$$

Сравнивая (2.142) и (2.143), легко понять, что (2.143) можно получить и непосредственно из (2.142), если положить в последнем $j=0$. Это объясняется тем, что нагрузка является одной из равноправных компонент вектора A_i .

Начальные условия для систем (2.142) и (2.143) выводятся из граничных условий исходной системы, преобразованных к виду (ведущие параметры ко-приниму y_1, y_2, \dots, y_m)

$$y_i(x_0) = \sum_{j=1}^m A_{ij}^0 y_j(x_0) + A_{i0}^0. \quad (2.144)$$

Числа A_{ij}^0 являются исходными начальными условиями для $A_i(x)$.

Пусть на линии конца двустороннего нелинейного n -параметрического процесса ($x=x_b$) задано m_0 основных условий; в сечениях

x_1, x_2, \dots, x_r задано соответственно m_1, m_2, \dots, m_r основных условий. Сумма $m_0 + m_1 + \dots + m_r = n$.

В промежутке (x_1, x_2) парциальные отклики определяются обычным образом; число ведущих параметров равно $n-m$. В сечении x_1 имеется m_1 соотношений вида

$$F_k(x_1, y_1, y_2, \dots, y_n) = 0, \quad (2.145)$$

разрешенных относительно параметров, являющихся следствием. Подставив в них вместо ведомых параметров m_1 парциальных откликов, получим возможность увеличить число ведомых параметров до $m_0 + m_1$. После точки x_1 на краю левой парциальной системы независимо можно задавать лишь $n - m_0 - m_1$ параметров. Таким же способом рассматриваются оставные промежуточные точки. В результате в точке $x = x_1$ мы подходим с m_1 ведущими параметрами. В точке x_1 имеем возможность определить все внутренние параметры исследуемого процесса. Ход справа налево (вычисление откликов для правой парциальной системы) и сопряжение парциальных систем поискаений не требуют.

В линейном варианте метода весь расчет упрощается. Покажим его за частичном примере, когда в л точках, включая и крайние, задано по одному линейному основному дополнительному условию.

Пусть в промежутке (x_1, x_2) в качестве ведомого параметра примем y_n . Тогда

$$A_n = \sum_{i=1}^{n-1} A_{ni} y_i + A_{n0}, \quad (2.146)$$

Дополнительное условие в сечении $x = x_1$ примем в виде

$$y_{n-1}(x_1) = \sum_{i=1}^{n-2} A_{n-1,i}^0 y_i(x_1) + A_{n-1,n}^0 y_n(x_1) + A_{n-1,0}^0. \quad (2.147)$$

Такой вид удобен, если мы хотим вместе в число ведомых параметров y_{n-1} .

Подставив (2.146) в (2.147), получим

$$\begin{aligned} y_{n-1}(x_1) = & \sum_{i=1}^{n-2} A_{n-1,i}^0 y_i(x_1) + A_{n-1,0}^0 \left[\sum_{i=1}^{n-1} A_{ni} y_i(x_1) + \right. \\ & \left. + A_{n,n-1}(x_1) y_{n-1}(x_1) + A_{n,0}(x_1) \right] + A_{n-1,0}^0. \end{aligned} \quad (2.148)$$

Из

$$\begin{aligned} y_{n-1}(x_1) = & \\ = & \frac{\sum_{i=1}^{n-2} [A_{n-1,i}^0 + A_{n-1,n}^0 A_{ni}(x_1)] y_i(x_1) + A_{n-1,n}^0 A_{n,0}(x_1) + A_{n-1,0}^0}{1 - A_{n-1,n}^0 A_{n,n-1}(x_1)}. \end{aligned} \quad (2.148a)$$

Уравнение (2.148a) вместе с условием

$$y_n(x_1) = \sum_{i=1}^{n-2} A_{ni}(x_1) y_i(x_1) + A_{n,n-1}(x_1) y_{n-1}(x_1) + A_{n,0}(x_1) \quad (2.148b)$$

дает начальные условия для интегрирования системы уравнений парциальных откликов в промежутке (x_1, x_2) . Дальнейший расчет очевиден.

При ряде значений независимой переменной x некоторые парциальные отклики, особенно в случае линейных процессов, могут обращаться в бесконечность при конечных значениях ведущих параметров. Ничего удивительного здесь нет: соответствующие точки x отвечают так называемым режимам парциальной потери устойчивости или парциальными резонансами.

Некоторые отклики равны бесконечности и в начале процесса; примером служат хотя бы податливости на свободном конце балки, оболочки и т. п. Отмечение обстоятельства затрудняет интегрирование уравнений откликов на участках, примыкающих к упомянутым точкам. Для облегчения задачи используют ряд приемов. Первый из них состоит во временной и искусственной смене ведущих параметров: обычно можно подобрать ведущим параметром таким, чтобы измененные отклики не обращались в данной точке в бесконечность. После прохода этой точки следует снова вернуться к системе ведущих параметров, отвечающей принципу соответствия устойчивости алгоритма и рассматриваемого объекта.

Второй общий прием заключается в проходе указанной точки методом начальных параметров, поскольку здесь исходные уравнения процесса никаких особенностей обычно не имеют. Метод начальных параметров позволяет вычислить интересующие нас парциальные отклики за заделанной точкой, а затем снова интегрировать уравнения откликов.

Наконец, иногда отмеченные точки можно проходить различными искусственными приемами, основанными на различных физических соображениях.

2. Конкретный случай использования линейного варианта метода парциальных откликов. Пусть из стержня переменного сечения из линейно-упругого материала, помещенный в линейно-упругое пространство Бинклеровского типа (рис. 2.31, a), действует распределенная осевая нагрузка интенсивностью $q(x)$; положительное направление q совпадает с положительным направлением y . Дифференциальные уравнения членов в принятых ранее для линейской системы обобщенных приобретают вид (см. § 7, п. 1)

$$\begin{aligned} \frac{dy}{dx} &= \frac{P}{EI\Omega(x)}, \\ \frac{dP}{dx} &= -q(x) + k(x)y \end{aligned} \quad (2.149)$$

при граничных условиях

$$\begin{aligned}y(0) &= P(0) A^0(0) + A_0^0(0), \\y(l) &= -P(l) A^0(l) + A_0^0(l),\end{aligned}\quad (2.150)$$

где $A^0(0)$ и $A^0(l)$ — коэффициенты податливости заделок концов стержня; $A_0^0(0)$ и $A_0^0(l)$ — осевые смещения этих заделок при отсутствии стерка.

Введем (рис. 2.31, б) количества парциального отклика $A^0(x)$ как осевого смещения сечения x в ненагруженной $q(x)$ левой части стержня под действием осевого усилия $P(x) = 1$. Дифференциаль-

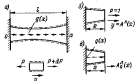


Рис. 2.31.

ное уравнение для $A^0(x)$ нетрудно получить из (2.149). Однако для наглядности мы выведем его непосредственно из физических соображений.

Допустим, что нам известно значение $A^0(x)$. Тогда в сечении $x + dx$ парциальный отклик равен $A^0(x) + dA^0(x)$. Если в сечении $x + dx$ действует усилие $P = 1$, то, согласно второму уравнению (2.149), в сечении x это усилие будет

$$\begin{aligned}P(x) &= 1 - [k(x) \cdot dx(x)] [A^0(x) + dA^0(x)] dx = \\&= 1 - k(x) A^0(x) dx.\end{aligned}$$

Следовательно, смещение сечения x составляет

$$y(x) \sim A^0(x) - k(x) [A^0(x)]^2 dx.$$

Из первого уравнения (2.149) имеем

$$\begin{aligned}y(x+dx) &= A^0(x) + dA^0(x) = A^0(x) - \\&- k(x) [A^0(x)]^2 dx + \frac{1}{EI(x)} dx,\end{aligned}$$

откуда

$$\frac{dA^0(x)}{dx} = \frac{1}{EI(x)} - k(x) [A^0(x)]^2, \quad (2.151)$$

причем из (2.150) нам известно начальное значение $A^0(0)$.

Парциальный отклик $A_0^0(x)$ определим как осевое смещение сечения x левой части стержня под действием нагрузки $q(x)$ и начального смещения $A^0(x)$ левой заделки (рис. 2.31, б). Осевое уравнение $P(x) = 0$.

Для вывода дифференциального уравнения, определяющего $A_0^0(x)$, подставим, что нам известны оба парциальных отклика $A^0(x)$ и $A_0^0(x)$ в сечении x . Если теперь продлить левую часть до сечения $x + dx$, то в сечении x будет действовать осевое усилие

$$\begin{aligned}P(x) - q(x) dx - [A_0^0(x) + dA_0^0(x)] [k(x) + dk(x)] dx = \\= q(x) dx - A_0^0(x) k(x) dx.\end{aligned}$$

Тогда

$$g(x) = A_0^0(x) + A^0(x) q(x) dx - A_0^0(x) A^0(x) k(x) dx$$

$$\begin{aligned}g(x+dx) &= A_0^0(x) + dA_0^0(x) = A_0^0(x) + A^0(x) q(x) dx - \\&- A_0^0(x) A^0(x) k(x) dx.\end{aligned}$$

Окончательно

$$\frac{dA_0^0(x)}{dx} = A^0(x) q(x) - A_0^0(x) A^0(x) k(x). \quad (2.152)$$

Из (2.150) мы знаем начальное значение $A_0^0(x)$. Способ определения парциальных откликов $A^0(x)$ и $A_0^0(x)$ стал очевидным.

Аналогичным образом вычисляются отклики для правой парциальной системы. Определение внутренних параметров процесса $P(x)$ и $g(x)$ из условий сопряжения пояснения не требует.

Заметим, что отклики типа $A_0^0(x)$, обусловленные действием внешней нагрузки и начальных смещений опор, часто называют также парциальными параметрами в отличие от откликов типа $A^0(x)$, которые обусловлены внутренними усилами. Парциальные параметры отражают действие на линейную систему внешних сил, а остальные парциальные отклики — собственные свойства системы. Из общей теории линейных уравнений мы знаем, что, зная собственные свойства — решения однородных систем, можно затем только через них перенести все решения, учитывая внешнее воздействие (использовать хотя бы метод вариации произвольных постоянных, предложенный Лагранжем). Аналогичным образом можно выполнять все расчеты, отбрасывая вычисление парциальных параметров [46]. Однако практически удобнее оперировать парциальными параметрами и вычислять их специально.

Постараемся теперь оценить поведение погрешностей счета в нашем алгоритме.

Пусть в сечении $x = x_1$ при определении отклика $A^k(x)$ допущена погрешность ϵ_k , а дальнейшее вычисление производится точно. Тогда при $x > x_1$ вместо величины $A^k(x)$ будем вычислять значения $A^k(x) + \epsilon_k(x)$, т. е. интегрировать уравнение

$$\frac{d[A^k(x) + \epsilon_k(x)]}{dx} = \frac{1}{E\Omega(x)} - k(x)[A^k(x) + \epsilon_k(x)]^2. \quad (2.153)$$

Вычитая из (2.153) уравнение (2.151), получаем

$$\frac{d\epsilon_k(x)}{dx} = -2A^k(x)\epsilon_k(x)k(x) - \epsilon_k^2(x)k(x). \quad (2.154)$$

Мы привели таким образом к анализу устойчивости численного решения уравнения (2.154) относительно возмущенного начального условия в точке $x = x_1$. Это можно сделать методами теории Ляпунова, однако для практических целей целесообразно использовать другой путь.

Ограничимся первым приближением, т. е. перейдем к уравнению

$$\frac{d\epsilon_k}{dx} = -2A^k(x)k(x)\epsilon_k. \quad (2.154a)$$

Из факта сходимости ломаных Эйлера к интегральной кривой при точных вычислениях и устремлении шага h к нулю следует, что на малых участках можно считать переменные коэффициенты уравнений квазистационарными. Отсюда становится ясным затухание абсолютного значения функции ϵ_k , определяемой (2.154a), при любых положительных значениях отклика $A^k(x)$ и положительных $k(x)$, а также ее возрастание при отрицательных значениях $A^k(x)$ и положительных $k(x)$.

Проделав аналогичные операции для (2.152), которую получим уравнение погрешности ϵ в парциальном отклике $A_0^k(x)$

$$\frac{d\epsilon}{dx} = -A^k(x)k(x)\epsilon. \quad (2.155)$$

Функция ϵ затухает по абсолютному значению при положительных $A^k(x)$ и $k(x)$ и нарастает при отрицательных $A^k(x)$, но положительных $k(x)$.

Устойчивость алгоритма метода парциальных откликов в случае, когда решение получено в виде ломаной, зависит, как и откликов и сам рассматриваемый процесс. Неустойчивость алгоритма означает неустойчивость процесса.

Если получить решения в жесткостях, т. е. брать в качестве ведущего параметра смещение сечения $u(x) = 1$, то приведенное соответствие будет нарушен. Однако иногда за это можно пойти

издание сознательно, борясь за устойчивость алгоритма вопреки неустойчивости процесса (хотя бы локальной).

Будем считать парциальным откликом $B^k(x)$ внутреннее усилие в сечении x левой части стержня под действием осевого смещения $u(x) = 1$. Пусть нам известно значение $B^k(x)$. Тогда в сечении $x + dx$ парциальный отклик равен $B^k(x) + dB^k(x)$. Если в сечении $x + dx$ задано смещение $y = 1$, то, согласно первому уравнению (2.149), в сечении x это смещение будет

$$y(x) = 1 - \frac{B^k(x)}{E\Omega(x)}dx$$

(величина второго порядка малости отбрасываем сразу). Следовательно, внутреннее усилие в сечении x

$$P(x) = B^k(x) - \frac{1}{E\Omega(x)}[B^k(x)]^2dx,$$

а усилие в сечении $x + dx$

$$P(x+dx) = B^k(x) - \frac{1}{E\Omega(x)}[B^k(x)]^2dx + k(x)dx = B^k(x) + dB^k(x).$$

Отсюда

$$\frac{dB^k(x)}{dx} = k(x) - \frac{1}{E\Omega(x)}B^k(x)^2$$

и по аналогии

$$\frac{d\bar{B}_0^k(x)}{dx} = -q(x) - \frac{1}{E\Omega(x)}B_0^k(x)B^k(x).$$

Здесь $\bar{B}_0^k(x)$ — усилие в сечении x , когда к стержню приложена нагрузка $q(x)$, а смещение сечения $u(x) = 0$.

Исследование поведения погрешностей ϵ при вычислении $B^k(x)$ дает

$$\frac{d\epsilon}{dx} = -\frac{1}{E\Omega(x)}B^k(x)\epsilon.$$

Погрешность затухает при положительных $B^k(x)$ и возрастает при отрицательных $B^k(x)$ [величину $E\Omega(x)$ считаем существенно положительной в отличие от $k(x)$, которая может быть и отрицательной].

Устойчивость погрешности ϵ при вычислении $\bar{B}_0^k(x)$ определяется уравнением

$$\frac{d\epsilon}{dx} = -\frac{1}{E\Omega(x)}\bar{B}_0^k(x)\epsilon,$$

т. е. ее затухание или возрастание снова определяется значением $\bar{B}_0^k(x)$.

Заметим, что в нашем случае $A''(x) = 1/B''(x)$, следовательно, их знаки всегда совпадают. Таким образом, при положительном $k(x)$ нарастание погрешностей в $A''(x)$ означает одновременно их нарастание в $B''(x)$; смена ведущего параметра тут ничего не дает. При отрицательном $k(x)$ смена параметра может изменить поведение погрешности.

Этот пример позволяет сформулировать теорему.

Теорема 2.12. Смена ведущих параметров в методе парциальных отклонений может, вообще говоря, ухудшить погрешность, однако случаи, когда это оказывается невозможным, и при любой их комбинации.

3. Устойчивость метода парциальных отклонений в задачах строительной механики. Будем, как и раньше, считать, что в данной конструкции проявляется краевой эффект, если смещения от сопротивления внешних усилий, приложенных в любом сечении, затухают по мере удаления от этого сечения (интенсивность затухания не обязательна).

Тогда можно сформулировать следующую общую теорему.

Теорема 2.13. Если в балках конструированы в любой парциальной системе, введенной методом парциальных отклонений, имеются явные краевые эффекты, то расчеты конструкции по методу парциальных отклонений при ведущих параметрах — релаксии — всегда устойчивы.

Погрешность определения отклонков-податливостей в каком-либо сечении при дальнейшем расчете может быть полностью компенсирована приложением в этом сечении неких фиктивных фиктивных внешних сопротивлений усилий. Но в силу краевого эффекта влияние этих фиктивных усилий будет уменьшаться по мере удаления от сечения.

Аналогичные рассуждения справедливы и для линейного варианта метода.

Сопоставляя полученный результат с теоремой 2.11, видим, что факторы, не благоприятствующие применению метода начальных параметров, оказываются весьма благоприятствующими при использовании метода парциальных отклонений.

Впрочем, затухание абсолютных погрешностей отклонков-податливостей еще не полностью решает вопрос об устойчивости алгоритма в целом. Ведь параметры процесса определяются из условий сопряжения левой и правой парциальных систем, а в условиях сопряжения играют роль не столько абсолютные, сколько относительные погрешности. Кроме того, немаловажно и соотношение соответственных податливостей обеих парциальных систем. Поэтому лучший гаранткой «доброчестности» вычислений в большинстве случаев может служить наиболее аккуратное выполнение принципа соответствия устойчивости алгоритма и процесса с последующими повторениями всего расчета при искусственном внесении возмущений.

4. Уравнения с отклоняющимися аргументами. Схема метода парциальных отклонений полностью пригодна и в том случае, когда исходная краевая задача формулируется для уравнений с отклоняющимися аргументами.

Рассмотрим следующую конкретную задачу. Имеется стержневая переменной площади сечений $\Omega(x)$ из материалов с модулем нормальной упругости E (см. рис. 2.31, а), но без упругого пространства, обозначенного пунктиром. Концы стержня упруги заделаны относительно осевых смещений с коэффициентами податливости $A^*(0)$ и $A^*(l)$; при отсутствии стержня смещения заделок равны нулю. Осевая нагрузка $q(x)$ перемещения идеальна. По оси x на близком расстоянии друг от друга (a с некоторой идеализацией) — непрерывно расположены датчики, измеряющие осевые смещения $u(x)$ повернутых сечений стержня. Информация от датчиков передается в некую электромеханическую систему, которая прикладывает в сечении $x=a$ нагрузку, равную $-k(x-a) u(x)$, где k — некий выраженный вдоль оси абсцисс положительный коэффициент.

В этом случае процесс деформирования системы определяется уравнениями

$$\frac{d\Omega(x)}{dx} = \frac{P(x)}{E\Omega(x)}, \quad \frac{du(x)}{dx} = k(x)u(x+a) - q(x), \quad (2.156)$$

где $P(x)$ — внутреннее осевое усилие.

Дополнительные условия для системы (2.156) имеют вид

$$u(0) = P(0)A^*(0); \quad u(l) = -P(l)A^*(l). \quad (2.157)$$

За пределами участка $0 < x < l$ функции u и P равны нулю.

Определим парциальный отклик $A^*(x)$ левой парциальной системы как осевое смещение ее свободного конца, на котором приложено единичное осевое усилие P (см. рис. 2.31, б). Парциальная система свобода от внешней распределенной нагрузки $q(x)$. Тогда для $A^*(x)$ справедливо уравнение

$$\frac{dA^*(x)}{dx} = \frac{1}{E\Omega(x)} A^*(x) A^*(x-a) k(x-a), \quad (2.158)$$

решаемое при известном начальном условии $A^*(0)$.

Парциальный отклик $A_0^*(x)$, называемый также парциальным параметром, определяется как осевое смещение свободного конца парциальной системы, который загружена распределенной осевой нагрузкой $q(x)$ (см. рис. 2.31, б). Осевое усилие на свободном конце равно нулю.

Дифференциальное уравнение для $A_0^*(x)$ записывается в виде

$$\frac{dA_0^*(x)}{dx} = A^*(x)q(x) - A_0^*(x)A^*(x-a)k(x-a), \quad (2.159)$$

при начальном условии $A_0^*(0) = 0$.

Рассмотрим правую парциальную систему, введенную помимо отклика $A^0(x)$ и $A_0^0(x)$ (рис. 2.32), отклики $A^{0*}(x, \xi)$ и $A_{\xi}^{0*}(x, \xi)$. Отклик $A^{0*}(x, \xi)$ — осевое смещение сечения $x + \xi$ правой системы (рис. 2.32, а), когда в сечении x на свободном конце приложено единичное осевое усилие. Отклик $A_{\xi}^{0*}(x, \xi)$ — осевое смещение сечения $x + \xi$ правой системы (рис. 2.32, б), когда на парциальную систему длиной $l - x$ действует осевая нагрузка q . Ясно, что

$$A^0(x) = A^{0*}(x, 0), \quad A_0^0(x) = A_{\xi}^{0*}(x, 0).$$

При начальном условии $A^0(l)$ имеем уравнение

$$\frac{dA^0(x)}{dx} = \frac{1}{EI(x)} - A^{0*}(x, 0) A^0(x) k(x) \quad (2.160)$$

и уравнение

$$\frac{dA_0^0(x)}{dx} = q(x) A^0(x) - A_{\xi}^{0*}(x, 0) A^0(x) k(x) \quad (2.161)$$

при начальном условии $A_0^0(l) = 0$.

Уравнения для функций $A^{0*}(x, \xi)$ и $A_{\xi}^{0*}(x, \xi)$ имеют вид

$$\frac{\partial A^{0*}(x, \xi)}{\partial x} = \frac{\partial A_{\xi}^{0*}(x, \xi)}{\partial \xi} - k(x) A^{0*}(x, 0) A^{0*}(x, \xi), \quad (2.162)$$

$$\frac{\partial A_{\xi}^{0*}(x, \xi)}{\partial x} = \frac{\partial A_{\xi}^{0*}(x, \xi)}{\partial \xi} + q(x) A^{0*}(x, \xi) - k(x) A_{\xi}^{0*}(x, 0) A^{0*}(x, \xi). \quad (2.163)$$

При $\xi = 0$ они переходят в (2.160) и (2.161).

Интегрирование (2.162) и (2.163) производится любым, например классическим, способом решения задач Коши при известных начальных условиях на правом крае парциальной системы.

Значения искомых величин $P(x_k)$ и $u(x_k)$ в любом фиксированном сечении x_k нетрудно найти из условия сопряжения левой и правой парциальных систем:

$$A_0^0(x_k) + B(x_k) + P(x_k) [A^0(x_k) + C(x_k)] = \\ = A_0^0(x_k) + P(x_k) A^0(x_k), \quad (2.164)$$

где

$$B(x_k) = A_{\xi}^{0*}(x_k); \quad q_1 = q_1(x) \left|_{x_k-x}^{x_k} \right. = -k(x) A_{\xi}^{0*}(x_k, x_k+\delta) \left|_{x_k-\delta}^{x_k} \right.; \quad (2.165)$$

$$C(x_k) = A_{\xi}^{0*}(x_k); \quad q_2 = q_2(x) \left|_{x_k-\delta}^{x_k} \right. = -k(x) A_{\xi}^{0*}(x_k, x_k+\delta) \left|_{x_k-\delta}^{x_k} \right.. \quad (2.166)$$

Аналогичным образом можно рассматривать другие линейные задачи, приводящие к уравнениям с отклоняющимися аргументами. Общетип расчетного алгоритма, подобного алгоритму для уравнений без отклоняющих аргументов, здесь запасать нельзя, поскольку схема отклонений аргумента может быть самой разнообразной. Однако путь составления необходимых алгоритмов ясен.

Используя прием, подобный приведенному выше для линейных уравнений без отклоняющих аргументов, можно рассматривать и нелинейные уравнения при наличии отклонений аргумента.

Следует, однако, оговорить, что прямое использование метода парциальных откликов для решения нелинейных уравнений существенно усложняется с ростом порядка этих уравнений, т. е. с увеличением числа внутренних параметров процесса. Поэтому при анализе нелинейных задач целесообразнее комбинировать линейный вариант метода парциальных откликов с каким-либо вариантом метода последовательных приближений. Примеры подобного комбинирования очевидны.

Более сложные дополнительные условия. Четкий физический смысл метода парциальных откликов позволяет без труда применять его в тех случаях, когда имеются вспомогательные активные дополнительные условия или когда рассматриваются системы одномерных процессов.

Пусть упрощенное заделание по концам балки опорта в пролете на несколько упругих дополнительных опор. Тогда, двигаясь, например слева направо, определяем все парциальные отклики в сечении $x_1 = 0$ перед первой опорой, стоящей в точке $x = x_1$. Затем раскрываем статическую неопределенность взаимодействия рассмотренной парциальной системы и опоры, что позволяет определить все отклики в сечении $x_1 + \delta$ за опорой и продолжить вычисление откликов далее.

Соответствующие примеры подробно рассмотрены в главе 3-й. Особенного, апроксимацию сложного, рассмотренные требуют случаев связанных граничных условий и периодических процессов.

В заключение следует отметить, что изложенный метод парциальных откликов в ряде случаев оказывается идентичным известному методу прогонки [2, 6]. Неизвестно подробно в историю этих методов, отметим лишь, что их формальные истоки можно найти еще в работах Эйлера [191] в много лет спустя — Абисса [1]. Разработка этих методов происходила практически одновременно, первые публикации по методу парциальных откликов относятся к 1956 г.

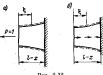


Рис. 2.32.

Метод парциальных откликов отличается от метода прогонки симметричным выбором ведущих параметров из условия соответствия алгоритма и рассматриваемого объекта и осмысливанием его с позиций причинно-следственных связей, что позволяет использовать метод парциальных откликов для анализа и моделирования устойчивости двухсторонних процессов как с помощью ЭВМ, так и с помощью теорий, разработанных применительно к односторонним процессам (теории Линукова и т. п.).

Нам не встречались работы, в которых использовался бы метод прогонки для решения задач с отложившимися аргументами; да и вообще имеются довольно много случаев, когда легко оперировать с сопряженной парциальной системой, но трудно рассматривать «прогонку» граничных условий.

Наконец, метод парциальных откликов пригоден и для непосредственного расчета физического процесса, а не только для решения соответствующих дифференциальных уравнений (переносы откликов могут быть получены прямо из рассмотрения физической системы).

§ 11. Уравнения переноса в конечной форме. Дискретные одномерные процессы

1. Общие положения. Внутренние параметры волного одномерного даже непрерывного процесса не обязательно переносятся только на бесконечно малых участках изменения независимой переменной. Если это удается сделать каким-то способом сразу на участках конечной длины, то мы получаем уравнения переноса в конечной форме (конечные уравнения переноса). Последние можно выводить не только теоретически, но и экспериментально.

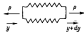


Рис. 2.33.

Пусть рассматривается одномерный процесс деформирования сильфона, введенного в состав прямолинейного участка трубопровода для компенсации осевых перемещений (рис. 2.33). Нас интересует перенос усилия P и осевого смещения y от одного края к другому. Оно имеет вид

$$\Delta P = 0; \quad \Delta y = -J(P). \quad (2.167)$$

Входящая в (2.167) функция может быть найдена либо в результате испытаний сильфона, либо расчетным путем. В последнем случае нужно составить соответствующие уравнения переноса в дифференциальной форме (для бесконечно короткого элемента сильфона) и проинтегрировать их.

Составление уравнений переноса для участков конечной длины бывает полезным и при аналитическом решении конкретных задач.

Исследуем поперечные линейные успокоившие колебания изогнутой балки, несущей сосредоротченные массы m_j с моментами инерции вращения J_j (рис. 2.34, а). Выделим сечениями x_j и x_{j+1} пролет балки; оба сечения помимо на бесконечно малое расстояние приравняем соответствующим массам (рис. 2.34, б). Составим уравнение переноса для указанного пролета (расчетного элемента). Учитывая стационарность режима колебаний, возьмем момент времени $t = \omega t/2\pi$, где ω — частота колебаний.

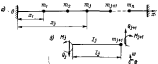


Рис. 2.34.

Если балка является прямолинейной в пределах каждого пролета, то уравнения переноса параметров до сечения перед массой определяются общим интегралом уравнения статического изгиба

$$w = C_0 + C_1 x + C_2 x^2 + C_3 x^3 \quad (2.168)$$

и начальными условиями в сечении x_j . Отсюда

$$\begin{aligned} w_{j+1} &= w_j - \theta J_j - \frac{M_j}{2EJ_j} - \frac{Q_j}{EJ_j}; \\ \theta_{j+1} &= \theta_j + \frac{M_j}{EJ_j} - \frac{Q_j}{2EJ_j}. \end{aligned} \quad (2.169)$$

При переходе через массу переносимая сила и момент получают скачки за счет силы инерции и становятся равными

$$\begin{aligned} Q_{j+1} &= Q_j - m_{j+1}\omega^2 m_{j+1}; \\ M_{j+1} &= M_j + Q_j J_j - \theta_{j+1} m_{j+1}. \end{aligned} \quad (2.169a)$$

Выражения (2.169), (2.169a) представляют собой исходные уравнения. Дополнив их условиями на концах балки, получим все необходимые зависимости для расчета деформаций и смещений конструкции.

Все сказанное относится не только к линейным, но и к нелинейным процессам.

Составим уравнения переноса для процесса деформирования механической системы из абсолютно жестких стержней и шарниров (шарнирная цепь Генка) в предположении, что перемещения могут быть большими (рис. 2.35). Зависимость между углом пово-

рота ω_j в шарнире j и действующим на шарнир моментом M_j дается производной, по известной функции $\omega_j = f_j(M_j)$.

В качестве внутренних параметров процесса выбираем продольное усилие T_j , изгибающий момент M_j , поперечную силу Q_j (принимая ее всегда вертикальной), осевое смещение y_j , вертикальное смещение ϑ_j , угол поворота сечения Φ_j . Если значения парамет-

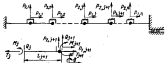


Рис. 2.35.

ров в сечении сразу за шарниром j равны T_{j+1} , M_{j+1} , Q_{j+1} , y_{j+1} , ϑ_{j+1} , то уравнения передачи записываются в виде

$$\begin{aligned} w_{j+1} &= \omega_j - l_{j+1} \sin \theta_j; \\ y_{j+1} &= y_j - l_{j+1} (1 - \cos \theta_j); \\ \theta_{j+1} &= \theta_j + f_j(M_{j+1}); \\ T_{j+1} &= T_j - P_{j+1}; \quad Q_{j+1} = Q_j - P_{j+1}; \\ [M_{j+1}] &= [M_j] + T_{j+1} \sin \theta_j + Q_{j+1} \cos \theta_j. \end{aligned} \quad (2.170)$$

Заметим, что при малых l_j деформирование цепи Генки можно рассматривать в качестве модели изгиба спиралей с физической и геометрической нелинейностью. Достаточно лишь определить вид функции $f_j(M_j)$ как прращение угла поворота сечения на участке l_j . Но, с другой стороны, шарнирная цепь может быть задана и непосредственно физической системой.

Нормальная форма конечных уравнений передачи имеет вид

$$\Delta y_i = f(y_1, y_2, \dots, y_n) \quad (i = 1, 2, \dots, n), \quad (2.171)$$

где y_i — i -й внутренний параметр n -параметрического процесса. Например, уравнения (2.170) в нормальной форме записываются так:

$$\begin{aligned} \Delta x &= -l_{j+1} \sin \theta_j, \quad \Delta T = -P_{j+1}; \\ \Delta y &= -l_{j+1} (1 - \cos \theta_j), \quad \Delta Q = -P_{j+1}; \\ \Delta \theta &= f_j(M_j), \quad \Delta M = M_{j+1} \sin \theta_j + Q_{j+1} \cos \theta_j. \end{aligned} \quad (2.170a)$$

Ясно, что для конечных уравнений передачи останется в силе все основные положения и терминология общей теории дифферен-

циальных уравнений, а также положения и терминология, изложенные выше. Например, необходимо учитывать дополнительные условия, которые выделяют частное соответствующее данной конкретной задаче решение из общего. Последнее облечает все множества частных решений исходной совокупности уравнений передачи.

Таким образом, по-прежнему следует говорить о задачах Коши и краевых задачах, о потоках параметров, об активных и пассивных дополнительных условиях и т. д. Не меняются и основные представления об устойчивости процессов.

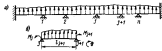


Рис. 2.36.

Выше мы рассматривали основной вид конечных уравнений передачи, который обуславливает связь между всеми внутренними параметрами процесса в некотором сечении и всеми внутренними параметрами в соседнем сечении. Но достаточно встречаются и другие виды этих уравнений.

Рассмотрим изгиб неразрезанной балки постоянного сечения, лежащей на жестких опорах (рис. 2.36, а). В качестве элемента конструкции для исследования процесса передачи возьмем пролет (рис. 2.36, б), который мы умеем рассчитывать. Возмодействие пролетов определяется всего двумя параметрами — изгибающим моментом M_j и углом поворота опорного сечения θ_j . Поскольку опоры жесткие, то прогиб на границах участков равен нулю; передающаяся сила Q_j в данном случае также настолько — она выражается через моменты и пролетную нагрузку. Таким образом, мы modeliemi на четырехпараметрического однопролетного процесса изгиба нейтральной оси балки два пролета — уже изученный четырехпараметрический процесс изгиба балки между опорами и двухпараметрический процесс деформирования опорных сечений.

Известны зависимости

$$\begin{aligned} \theta_j &= \frac{M_j l_{j+1}}{6EI} - \alpha_{j+1}; \\ \theta_{j+1} &= \frac{M_j l_{j+1}}{6EI} + \frac{M_{j+1} l_{j+2}}{6EI} - \alpha_{j+1}. \end{aligned} \quad (2.172)$$

где α_{j+1} и $\alpha_{j+1,j+1}$ — углы поворота опорных сечений, вызванные внешней нагрузкой на пролете $j+1$.

На (2.172) следуют уравнения переноса основного вида:

$$M_{j+1} = -2M_j - \frac{6EI}{l_{j+1}} (\theta_j + \alpha_{j+1}) ; \\ \theta_{j+1} = -2\theta_j - 2\alpha_{j,j+1} + \alpha_{j+1,j+1} - \frac{M_{j+1}}{2EI} \quad (2.173)$$

или

$$\Delta M_j = -3M_j - \frac{6EI}{l_{j+1}} (\theta_j + \alpha_{j+1}) ; \\ \Delta \theta_j = -2\theta_j - 2\alpha_{j,j+1} + \alpha_{j+1,j+1} - \frac{M_{j+1}}{2EI} . \quad (2.173a)$$

Но можно поступить несколько иначе. Из первого уравнения (2.173) следует

$$\theta_j = -\frac{2M_j + M_{j+1}}{6EI} l_{j+1} - \alpha_{j,j+1} .$$

Заменив индекс, получаем связь угла поворота θ_{j+1} с momentами M_{j+1} , M_{j+2} . Подставляя величину θ_j и θ_{j+1} во второе уравнение (2.173), при постоянном $l_j = l_{j+1} = \dots = l$ имеем

$$M_j + 4M_{j+1} + M_{j+2} + \frac{6EI}{l} [\alpha_{j+1,j+1} + \alpha_{j+2,j+2}] = 0 . \quad (2.174)$$

Уравнение переноса (2.174) хорошо известно под названием теоремы трех моментов. Приведем его к нормальной форме:

$$\Delta M_j = -5M_j - M_{j+1} - \frac{6EI}{l} (\alpha_{j+1,j+1}) . \quad (2.174a)$$

Зависимости (2.173a) и (2.174a) существенно отличаются друг от друга. Во-первых, в них используются разные системы внутренних параметров процессов: M_j , θ_j и M_{j+1} , M_j . Во-вторых, в уравнении (2.174a) фигурируют внутренние параметры, определенные для различных сечений.

Очевидно, что в смысле классической математики оба вида записи уравнений переноса эквивалентны. Целесообразность использования тех или других всегда определяется конкретными особенностями задачи, принятой расчетчика и т. п.

Задача о балке, рассмотренная выше, касается точных конечных уравнений переноса. Аналогичным образом в разных видах можно представить и приближенные конечные уравнения. Если взять дифференциальные уравнения изгиба балки

$$\frac{d\alpha}{dx} = \theta, \quad \frac{d\theta}{dx} = -\frac{M}{EI(x)} , \\ \frac{dQ}{dx} = -q(x), \quad \frac{dM}{dx} = Q \quad (2.175)$$

и применять для их интегрирования способ Эйлера, то такой подход будет разносил последовательному использованию приближенных конечных уравнений

$$\Delta w_i = -\theta_i \Delta x, \quad \Delta \theta_i = -\frac{M_i}{EI(x)} \Delta x; \\ \Delta Q_i = -q(x_i) \Delta x, \quad \Delta M_i = Q_i \Delta x, \quad (2.175a)$$

имеющих основной вид и нормальную форму. Здесь Δx — шаг интегрирования; индексом i обозначены величины, соответствующие $x = x_i = i \Delta x$.

Положим для простоты $EI(x) = EI = \text{const}$ и перенесем, (2.175a) в виде

$$w_{i+1} = w_i - \theta_i \Delta x, \quad \theta_{i+1} = \theta_i + \frac{M_i}{EI} \Delta x; \\ Q_{i+1} = Q_i - q(x_i) \Delta x, \quad M_{i+1} = M_i + Q_i \Delta x. \quad (2.176)$$

Из последних уравнений следует

$$Q_i = \frac{M_{i+1} - M_i}{\Delta x}, \quad Q_{i+1} = \frac{M_{i+2} - M_{i+1}}{\Delta x} . \quad (2.176a)$$

Подставив (2.176a) в третье уравнение (2.176), запишем

$$\frac{M_{i+2} - 2M_{i+1} + M_i}{(\Delta x)^2} = -q_i . \quad (2.176b)$$

С помощью первых двух уравнений (2.176) имеем следующее уравнение переноса прогиба из сечения $i+3$ в сечение $i+4$:

$$\frac{EI}{(\Delta x)^4} (w_{i+4} - 4w_{i+3} + 6w_{i+2} - 4w_{i+1} + w_i) - q_i = 0 \quad (2.177)$$

или в нормальной форме

$$\Delta w_i = 3w_i - 6w_{i-1} + 4w_{i-2} - w_{i-3} + \frac{(EI)^2}{E} \Phi_{i-2} . \quad (2.177a)$$

Иногда в уравнения переноса вводят избыточное число внутренних параметров. Если уравнения точные, то вводимые избыточные параметры могут упростить или, что чище, усилить промежуточные преобразования, но не влияют на окончательный результат.

Иное дело в приближенных уравнениях — там избыточные параметры часто несут дополнительную информацию, позволяющую уточнить результаты расчета. Сказанное относится прежде всего к использованию интерполяционных формул числения конечных разностей [7]. При их выводе воспользуемся функцией аппроксимации с помощью некоторой другой хорошо изученной функции (например, полиномом). Апроксимирующая функция имеет неопределенные коэффициенты, конкретные значения которых выражаются через значения аппроксимируемой функции в определен-

вом числе так называемых узловых точек. В конечном итоге появляется возможность выразить производные аппроксимируемой (исходной) функции через ряд ее узловых значений. Точность выражения производных зависит от вида аппроксимирующей функции.

Наиболее простые выражение для первой производной имеют вид

$$\begin{aligned} y'_i &= \frac{y_{i+1} - y_{i-1}}{2h}, \quad y'_i = \frac{y_{i+1} - y_i}{h}, \\ y'_i &= \frac{y_i - y_{i-1}}{h}, \end{aligned} \quad (2.178)$$

где y_i — значение функции в узле i ; h — постоянное расстояние между узловыми точками. Несмотря на одинаковое число узловых точек, входящих в эти зависимости, точность получаемых результатов различна. Как правило, самым точным оказывается первое выражение.

Более точные аппроксимации дают, естественно, более сложные выражения, например

$$y'_i = \frac{-y_{i-2} + 8y_{i-1} - 8y_{i+1} + y_{i+2}}{12h}. \quad (2.178a)$$

Возьмем произвольное дифференциальное уравнение, скажем уравнение изгиба нейтральной оси балки постоянного сечения, лежащей на упругом основании с коэффициентом жесткости $k(x)$

$$EIw'''' + k(x)w = q(x). \quad (2.179)$$

В табл. 15 монографии [28] приведено выражение для четвертой производной с избыточным числом параметров

$$w'''' = \frac{-w_{i-3} + 12w_{i-2} - 38w_{i-1} + 56w_i - 39w_{i+1} + 12w_{i+2} - w_{i+3}}{64h^4}. \quad (2.179)$$

Подставив его в (2.179), получим систему уравнений вида

$$\begin{aligned} EI(-w_{i-2} + 12w_{i-1} - 39w_i + 56w_{i+1} \\ + 12w_{i+2} - w_{i+3}) + 6h^4(kw_i - q_i) = 0. \end{aligned} \quad (2.179a)$$

из которой следует, что для осуществления переноса необходимо располагать уже не четырьмя, а шестью значениями внутренних параметров. Таким образом, задание начальных условий (четыре параметра) лишает нас возможности перейти к последовательному использованию уравнения (2.179a). Для находящихся избыточных параметров в начале счёта необходимы дополнительные исследование. В частности, первые шаги интегрирования можно произвести, пользуясь уравнениями переноса основного вида и нормальной формы без избыточных внутренних параметров.

Для конечных уравнений переноса применимы те же методы решения, что и для дифференциальных (метод начальных параметров, параллельных отклонений и т. п.). Какой-либо непрерывной границы или принципиальной разницы между дискретными и непрерывными уравнениями переноса не существует, как нет ее и в природе между дискретными и непрерывными процессами. В частности, для дискретных процессов нетрудно ввести понятия по-

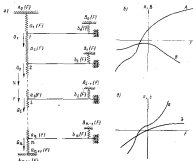


Рис. 2.37.

точек параметров и моделировать их на некой абстрактной машине. Вместо линт транспортеров можно представить себе, скажем, ряда дискретно расположенных лампочек. При хотке параметров, направление вдоль оси, нужно задать яркости горения крайних ламп: фотодатчики, стоящие у них, зафиксируют эту яркость, передадут информацию в пост уравнения, где в зависимости от нее будут заданы яркости следующих ламп, и т. д. Аналогичным образом конструируются и другие схемы потоков.

2. Метод параллельных отклонений. Попытки существенно метода параллельных отклонений для дискретных процессов на простом примере системы с дискретными параметрами (рис. 2.37, а). Система состоит из ряда пружин и загружена в узлах i внешними силами Q_i . Известные функции $A_0(F)$, $A_{n+1}(F)$, $B_i(F)$ выражают вертикальные смещения и точки закрепления

пружин в зависимости от силы F , действующей на закрепление (рис. 2.37, б). Известные функции $a_i(F)$ и $b_i(F)$ отражают (рис. 2.37, а) удлинения отдельных пружин под действием силы F (при построении a и b силы F считаются положительными, когда они растягивают пружину). Требуется найти смещение a_k узлов i и внутренние усилия во всех пружинах.

К такой системе приводится уже рассмотренный выше стержень, установленный в упругое пространство; и стержень, и пространство нелинейны. Но указанная система может существовать и вполне самостоятельно в виде реального физического объекта.



Рис. 2.38.

Рассоем пружину в узле k (рис. 2.38, а) и назовем парциальным откликом $A_k^+(F)$ смещения в узле k верхней парциальной системы при действии силы F .

На верхнюю систему действуют, кроме того, все силы Q_1, Q_2, \dots, Q_k . Аналогичным образом введен понятие парциального отклика $A_{k+1}^-(F)$ как смещения узла $k+1$ нижней парциальной системы (рис. 2.38, б).

Сила F в пружине a_{k+1} между любыми узлами k и $k+1$ в полной системе (см. рис. 2.38, а) определяется уравнением (рис. 2.38, б)

$$A_k^+(F) = A_{k+1}^-(F) = -a_{k+1}(F). \quad (2.180)$$

Таким образом, остается определить парциальные отклики A_i^+ и A_i^- при произвольных F .

Рассмотрим подробно определение $A_i^+(F)$. Пусть $F_A(F)$ и $F_B(F)$ — усилия в пружинах a_1 и a_2 при действии на парциальную систему (рис. 2.39) силы F . При фиксированной F усилия могут быть найдены из двух очевидных уравнений

$$F_A(F) + F_B(F) = F : Q_1; \quad (2.181)$$

$$A_0(F_A) + a_2(F_A) = B_0(F_B) + b_1(F_B).$$

Величина $A_1(F)$

$$A_1(F) = B_0[F_B(F)] + b_1[F_B(F)]. \quad (2.182)$$

Остальные $A_i^+(F)$ определяем по рекуррентным зависимостям. Вычисление $A_i^+(F)$ производим аналогичным способом.

При выводе (2.180) — (2.182) в качестве ведущего параметра, значение задаваемого на краю парциальной системы, принималась внутренняя сила F . Можно было бы поступить иначе: активно задавать смещение a_i узла i и определять этой отклика — внутреннее усилие, которое при этом заданном смещении действует на узел. Общая схема расчета осталась бы без изменений.

Рассмотрим пример. Пусть система (см. рис. 2.37, а) загружена в узле k силой $Q_k = 1$; остальные $Q_i = 0$; общее число узлов равно n . Функции A_0, \dots, b_1 имеют вид

$$\begin{aligned} A_1(F) &= A_{n+1}(F) = B_1(F) = 0; \\ a_i(F) &= aF^3; \quad b_i(F) = 3aF^2. \end{aligned} \quad (2.183)$$

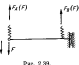


Рис. 2.39.

Используя выведенные зависимости, получаем для узла $i = 1$

$$F_A = 0,59F; \quad F_B = 0,41F; \quad A_1^+(F) = 0,207aF^3;$$

для узла $i = 2$

$$F_A = 0,575F; \quad F_B = 0,425F; \quad A_2^+(F) = 0,231aF^3;$$

для узла $i = 3, \dots, k-1$

$$F_A = 0,574F; \quad F_B = 0,426F; \quad A_i^+(F) = 0,233aF^3;$$

для узла $i = k$

$$F_A = 0,574F; \quad F_B = 0,426F; \quad A_k^+(F) = 0,233a(1+F)^3.$$

Значения реакций F_A и парциальных откликов A_i^+ для последующих узлов приведены на рис. 2.40. По мере удаления от узла, к которому приложена сила ($i = k$), реакции и парциальные отклики стремятся к значениям $F_A = 0,426$, $F_B = 0,574$, $A_1 = 0,233 aF^3$, практически достигшим последние уже в узле $i = k+5$. Парциальные отклики A_i^- в рассматриваемом случае можно спешенно определить: их определяют по очевидным зависимостям: $A_{i+1}^- = A_i^+$.

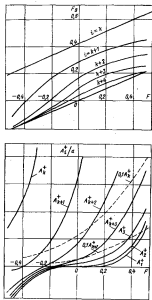


Рис. 2.40.

Значения внутреннего усилия F и смещений узлов системы оказываются равными (расчеты выполнены на логарифмической линейке):

i	$k = 1$	$k = 2$	$k = 3$	$k = 4$	$k = 5$	$k = 6$	$k = 7$	$k = 8$	$k = 9$	$k = 10$
F	0,090	0,140	0,220	0,365	-0,368	-0,220	-0,140	-0,090	-0,050	-0,030
$\frac{A}{a} \cdot 10^3$	-0	0	24	112	216	100	51	25	13	6

Предлагаемый метод расчета — разделение исходной системы на парциальные системы, вычисление функций, называемых парциальными откликами, и сопряжение парциальных систем — можно применять и в более сложных случаях. Но объем вычислений при усложнении системы, естественно, сильно возрастает.

Примеры рассмотрения дискретных линейных систем методом парциальных откликов будут приведены в главе 3-й.

3. Метод начальных параметров. Логическая схема метода остается прежней. Так, для расчета системы (см. рис. 2.38, а) достаточно задать внутреннее усилие в первой пружине (обозначим ее a_1). Тогда можно сразу найти смещение ее заделки и удлинение самой пружины, т. е. смещение первого узла. Определив это смещение, мы без труда вычислим усилие в пружине b_1 . Далее, из условия равновесия первого узла, легко выразить усилие во второй пружине a_2 и т. д. Правильность задания усилия в пружине a_1 проверяется из условия сопряжения в нижней заделке системы.

К сожалению, здесь будут быстро накапливаться погрешности и практический расчет несущественен при сколько-нибудь большим числе узлов (теоремы об устойчивости метода начальных параметров и парциальных откликов остаются в силе и в дискретном случае).

Глава 3.

ЛИНЕЙНЫЕ СТАТИЧЕСКИЕ ДЕФОРМАЦИИ. УСТАНОВИВШИЕСЯ КОЛЕБАНИЯ И УСТОЙЧИВОСТЬ КОРПУСНЫХ КОНСТРУКЦИЙ

Представления и методы, изложенные в предыдущих главах, дают возможность перейти к систематическому рассмотрению задач о линейных статических деформациях, установившихся колебаниях и устойчивости корпусных конструкций. Единство между этими тремя, на первый взгляд, существенно раз-

ными видами задач обеспечивается очень полезной кинематической аналогией, методом комплексных параметров и динамическим критерием устойчивости. Первая путем замены всех масс некими фиктивными упругими основаниями и сопредоточенными упругими спицами позволяет сделать конструкцию, совершающую установившееся колебание, квазизимерненной. Метод комплексных параметров дает возможность привести задачу, решаемую с учетом внешней и внутренних сопротивлений, к аналогичным задачам без учета сопротивлений. Роль динамического критерия очевидна.

Содержание данной главы составляют необходимые сведения об общей динамике, кинематической аналогии, методе комплексных параметров, а также примеры решения ряда важных и захватывающих статических и динамических задач практического характера. Одновременно излагаются некоторые специфические методы решения линейных задач, не рассмотренные в главе 2-й. С помощью примененных в этой главе подходов указанные решения позволяют приступить к исследованию других случаев расчетов, возникающих в практике судостроения.

§ 12. Некоторые физические модели динамики. Инерциальные системы отсчета и кинематическое возбуждение. Кинематическая аналогия

1. Инерциальные системы отсчета. Системы инерции как реакции физического пространства (поле). Общая классическая динамика строится чисто математически на основе некоторых исходных аксиом и постулатов, установленных прошедшим и осмыслившим физических опытов и наблюдений. В качестве логико-математической конструкции она совершилась точна и не поддается пересмотру. Все изменения, вносимые теорией относительности и квантовой механикой, происходят из уточнения исходных аксиом и постулатов, которое необходимо в случаях больших скоростей, очень малых объектов, сильных полей тяготения и т. д. В современных технических вопросах базис классической динамики можно считать практически точным, и именно поэтому она стала широко применяется в настоящее время.

Сдвигание о независимости главных положений и основного математического аппарата динамики не относится, однако, к физическим моделям и представлениям, которые используются в то или иное время и претерпевают довольно сильные изменения. Словом, Ньютоны исходы из существования некого абсолютного пространства. Потом это пространство было отвергнуто большинством физиков из-за невозможности его реального обнаружения. Ньютона ссыпал с абсолютным пространством некую исходную инерциальную систему отсчета, в которой справедливы основные законы механики, и затем применял теорему о том, что всякая система,

движущаяся равномерно и прямолинейно относительно исходной, также инерциальна.¹ Людвиг Ланге [35] после отказа от абсолютного пространства вводит независимые понятия инерциальной системы и инерциального времени путем двух определений:

инерциальной называется такая система координат, в которой скользящие в одной геометрической точке траектории трех материальных точек, выброшенных одновременно из этой геометрической точки и предоставленных затем самим себе, прямолинейны;

инерциальный называется таким шкала времени, когда предоставленная самой себе точка движется равномерно по своей инерциальной траектории.

Затем он доказывает теоремы.

Теорема I. Относительно инерциальной системы траектория любой материальной точки, предоставленной самой себе, прямолинейна.

Теорема II. Относительно инерциальной плоскости времени любая другая предоставленная самой себе материальная точка движется по своей инерциальной траектории также равномерно.

Многие ученые довольно резко критикуют такие абстрактные построения, отрицают возможность существования доказательства отсутствия влияния других материальных объектов на данную материальную точку (бессмысличество слов типа «представленная самой себе» и т. п.).

Ряд ученых обращает внимание на прямое несоответствие между результатами непосредственных наблюдений и выводом о том, что все инерциальные системы движутся друг относительно друга с постоянными скоростями. В самом деле, при изучении Солнечной системы в качестве инерциальной системы берут Солнце, и это оказывается справедливым. С другой стороны, Земля в высокой степени инерциальна, когда относительно нее рассматривается движение искусственных спутников, и т. д. Но Землю никак нельзя считать движущейся равномерно и прямолинейно по отношению к Солнцу, особенно, если брать большие отрезки времени: ее ускорения относительно Солнца достигают 6 м/с². В то же время Землю в своем случае нельзя считать инерциальной системой при рассмотрении, допустим, движения Меркурия.

Словом, физические модели классической динамики еще не устоялись. Причем они вовсе не какой-то балласт во отношении к математическому аппарату, а представляют собой важный инструмент для ясного конкретного исследования, эвристических суждений и осмысливания результатов.

Обсуждение различных физических моделей классической механики настолько довольно обширна литература [16, 42], поз-

¹ Иногда вместо слов инерциальная система говорят и звук: инерциальная система отсчета. Термин «система отсчета» представляется нам более точным, так как подразумевает, что эта система связана, хотя бы в опосредованно, с некими материальными телами, а не является предметом отвлечения, видимо обычной математической системе координат.

тому мы, не вдаваясь в излишние подробности, изложим одну из таких возможных моделей. С нашей точки зрения, она достаточно проста и наглядна, не противоречит известному экспериментальному материалу в области, охватывающей классическую динамику, а главное, позволяет построить аналогии, очень полезные в строительной механике.

Согласно рассматриваемой модели, материальные объекты нашего мира создают некое единство, вообще говоря нестационарное, поле инерции и тяготения, сами находясь в этом поле (физическом пространстве). Поле (обозначим его ИТ) действует на любую помещенную в него материальную точку пропорционально напряженности его в данной области и некоему коэффициенту, который характеризует эту точку и называется ее массой тяготения. Одновременно оно сопротивляется всякому ускоренному движению материальной точки в поле, причем сила сопротивления, приложенная к точке, не зависит от напряженности поля и пропорциональна как ускорению, так и некоторому другому коэффициенту, характеризующему материальную точку и называемому ее инерцией массой. Согласно всем известным очень точным экспериментальным данным, инертия массы и масса тяготения стерго пропорциональны друг другу; соответствующий выбор единиц измерения для напряженности ИТ, силы и объема масс позволяет считать обе массы одинаковыми. Характерной в каждой особенности ИТ является его линейность; в частности, каждая сосредоточенная тяжелая масса вносит свой линейный вклад в ИТ, добавляя туда составляющую сферического типа, причем напряженность составляющей пропорциональна массе и обратно пропорциональна квадрату радиуса соответствующей сферы.

Представление о том, что ускоренному движению материальной точки сопротивляется поле, окружающее точку, кажется нам более наглядным, чем обычное предположение о сопротивлении самой точки. Ведь мы говорим, например, о сопротивлении воды движению в ней судна, а не о том, что судно само сопротивляется действующему на него упору гребного винта. Приспособление судну способности к сопротивлению несколько искусственно, хотя с математической точки зрения вполне возможно, если подходить к сценарии сил сопротивления с чисто количественной стороны.

Кроме того, предлагаемое представление о сопротивляемости поля очень полезно методологически: оно позволяет непосредственно звесты силы инерции как силы отрицательного сопротивления, приложенного к движущейся с ускорением точке, и не пользоваться довольно сложными вспомогательными построениями типа принципа Дедамбера.

Необычным может показаться характер сил сопротивления (их зависимость именно от ускорения). Но это просто обобщение известных нам фактов, дающих реакции при движении тел. Скажем, хорошо известное в строительной механике кораблю упругое основание никлеровского типа линейно сопротивляется смещению

точек. Вязкие среды дают сопротивления, пропорциональные первой степени скорости тела. Вода вызывает силы сопротивления, нелинейно зависящие от скорости судна, и, кроме того, сопротивление, пропорциональные ускорению (последние учитываются обычно звездением так называемых присоединенных масс жидкости).

Конечно, нам пока не известен «механизм» действия поля ИТ, но ведь и механизм сопротивления жидкостей стал известным сравнительно недавно; да и сейчас он выяснен не до конца. Второй закон Ньютона представляет собой не что иное, как экспериментально установленную фундаментальную зависимость для сопротивления ИТ (реакции ИТ ряда масс точки, умноженной на ускорение, и направленной против ускорения).

Если бы мы могли непосредственно фиксировать поле ИТ, то оно и служило бы нам универсальной системой отсчета, уподобляясь в каком-то смысле абсолютному пространству. Однако мы не в состоянии фиксировать его во всем многообразии, поэтому имеются довольно примитивные инерциальные системы отсчета в виде тел, свободно движущихся в ИТ (т. е. при отсутствии других внешних сил помимо сил тяготения).

Рассмотрим любую материальную точку, которая имеет некоторый малый объем, движется в ИТ только под действием сил тяготения, когда-то была запущена с некоторыми начальными скоростями относительно других точек и тел и не вращается в ИТ. Эта точка, даже если она перемещается по сложной орбите, совершает как бы бесконечное свободное падение. В окружающей ее области пространства, где поле ИТ можно считать равномерным, она является инерциальной системой отсчета в том смысле, что там любая другая материальная точка, масса которой пренебрежимо мала по сравнению с массой первой точки (системой отсчета), будет подчиняться второму закону Ньютона, т. е. двигаться с ускорением, пропорциональным действующей на нее силе (некоторый объем системы отсчета нужен, чтобы ориентировать оси координат). В число сил, действующих на вторую (малую) материальную точку, не нужно включать силу тяготения, обусловленную ИТ (она вызывает совместное движение системы отсчета и малой точки), но необходимо включить силу тяготения, обусловленное самой инерциальной системой (поле тяготения, обусловленное системой отсчета, не было включено в ИТ).

Именно этот случай имеет особое значение для земной техники: при решении технических задач в околосолнечном пространстве можно считать Землю практической точкой исходной инерциальной системой. Материальная точка же должна по предположению вращаться в ИТ, поэтому система инерциальна в предположении неподвижности Земли. Если за систему отсчета брать врашающуюся в ИТ земную поверхность, то она неинерциальна, так как вращение дает дополнительное ускорение. Указанная неинерциальность, как будет показано в п. 3, можно учесть введением дополнительных сил

инерции, однако дополнительное ускорение мало, поэтому эти поправки обычно не вводят.

Теперь можно пользоваться теоремой о том, что любая другая (примесная) система, движущаяся относительно первой (исходной) инерциальной системы равномерно и прямолинейно, также инерциальна. Однако требуется, чтобы обе системы находились в области равномерного ИТ.

Заметим, что в ряде случаев масса свободно падающей инерциальной системы может быть вполне сопоставима с массой сравнительно близко расположенной материальной точки или даже меньше ее. Однако тогда нужно, чтобы взаимное притяжение системы и этой точки было вообще мало и давало ускорения, пренебрежимо малые по сравнению с ускорениями материальной точки в рассматриваемой системе (еще более общий случай сопоставимых масс и непропорциональной силы взаимного притяжения будет рассмотрен ниже).

Для лучшего уяснения смысла исходной инерциальной системы приведем аналогию. Пусть мы находимся на корабле в открытом море, где есть сильные, но ленивые течения. Ориентиров в среде маневризм нет, но мы хотим узнать, сколько ли тянет двигатель. Для этого нужно поместить недалеко от корабля свободно падающий предмет и проследить за относительным движением корабля и предмета. Предмет моделюет в некотором смысле исходную инерциальную систему. Правда, между кораблем и предметом практически нет сил взаимодействия, моделирующих притяжение малой массы инерциальной системы, но из практически нет, скажем, и между космической ракетой и космонавтом, вышедшим из нее в свободный космос или парящим внутри ракеты. Измерив ускорение ракеты относительно парящего космонавта, мы можем судить о тяге ее двигателей.

Если плавающий предмет расположен далеко от корабля, то мы не можем быть уверены, что волны скоростей течений равномерно во всей области, включающей и корабль, и предмет, т. е. что оба они увлекаются течениями однаково. Точно так же, если далекую от нас исходную инерциальную систему, мы не можем быть уверены в ее инерциальности для нас — она может увлекаться ИТ не так, как мы, и тогда наше ускорение относительно нее будет называться не внешними силами, а просто разным действием ИТ.

Таким образом, каких-то абсолютных реальных инерциальных систем мы не знаем и выпущены пользоваться в разных задачах, вообще говоря, разными исходными практическими инерциальными системами. Все эти реальные исходные практические инерциальные системы, расположенные в разных областях пространства, движутся друг относительно друга always не равномерно и прямолинейно, а со значительными относительными ускорениями и по весьма причудливым путям.

Некальность инерциальных свойств любой реальной системы отсчета вызвана тем, что ИТ не абсолютно равномерно даже в ма-

лых областях пространства. Следовательно, даже локальную инерциальную систему — такая же абстракция, как и абсолютно твердое тело, материальная точка и т. п.

Очевидно возникает потребность в оценке отклонений данной практической инерциальной системы от идеальной инерциальности.

Примем, что априори равномерность ИТ обусловлена главным образом близким расположением к системе отсчета массивных телом, относительную которого масса самой системы мала (если за инерциальную систему принят искусственный спутник Земли, то такое тело — Солнце, и т. д.).

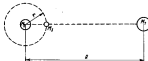


Рис. 3.1.

Пусть (рис. 3.1) M_0 — масса массивного тела; M_1 — масса инерциальной системы; M_2 — масса рассматриваемого тела, которое движется около M_0 , не выходя из сферы радиуса r ; R — минимальное расстояние между M_1 и M_2 . Тогда максимальная разность Δw_{\max} ускорений масс M_1 и M_2 в ИТ будет в тот момент, когда M_2 займет положение на сфере, соединяющей M_1 и M_0 , и расположится на границе сферы радиусом r . Искомая разность будет

$$\Delta w_{\max} = \gamma \frac{M_1}{(R-r)^2} - \gamma \frac{M_1}{R^2} = \gamma \frac{M_1}{R^3} \left[\frac{1}{\left(1-\frac{r}{R}\right)^2} - 1 \right] = \\ = w_* \left[\frac{1}{\left(1-\frac{r}{R}\right)^2} - 1 \right], \quad (3.1)$$

где γ — постоянная тяготения; w_* — ускорение инерциальной системы отсчета относительно массивного тела M_0 .

Если r/R значительно меньше единицы, то

$$\Delta w_{\max} \approx w_* \frac{2r}{R}, \quad (3.1a)$$

Например, для лифта, свободно падающего на Землю (любимый пример Эйнштейна), имеем $R \sim 6.5 \cdot 10^6$ м, $\omega_0 = 9.8 \text{ м/с}^2$. Если принять $2r = 6.5$ м, то $\Delta w_{\text{max}} = 10^{-8} \text{ м/с}^2$. Такую же погрешность будет иметь предмет, удаленный от центра Земли не более чем на $125 \cdot 10^6$ м, если привязать Землю за инерциальную систему, расположенную вблизи массивного Солнца, и т. д.

Пусть тела или иными способами мы определим практических инерциальную систему отсчета для некоторой механической системы и хотим найти движение этой механической системы относительно указанной системы отсчета. Для этого мы должны приложить к механической системе все активные внешние силы, кроме сил тяготения ИТ, общего для обеих рассматриваемых систем, а также силы реакции ИТ, вызванные относительным движением механической системы. Отнесенные реакции (изменяющие обычно склады инерции) пропорциональны массам механической системы и возникающим ускорениям (при соответствующем выборе единиц измерения они равны массам, умноженным на ускорение). Все активные и реактивные силы, фактически действующие на механическую систему, должны быть уравновешены; именно из этого условия определяются необходимые, а значит, действительные, возникающие ускорения. Зная ускорения и начальные условия в виде исходных положений и скоростей, находим все текущие скорости и положения (т. е., в конечном итоге, смещения как функции времени).

Реакции ИТ (силы инерции) определяются движением, но и сами влияют на движение. Подобно этому, реакции упругого основания под балкой определяются ее прогибами (и, изобюор, влияют на прогиб). Можно сказать, что динамика конструкций с распределенными массами отличается от их статики введением под конструкцией некого своеобразного упругого основания, ссыпанного, однако, не со смещениями, а с ускорениями. В тех практических случаях, когда ускорения оказываются пропорциональными смещениям, оба типа оснований становятся настолько близкими по своему характеру, что «динамическое основание» можно заменить «статическим аналогичным дополнительным статическим основанием». Более подробно такая классическая аналогия будет рассмотрена (и использована) в дальнейшем.

Мы привыкли говорить об уравновешенности всех активных и реактивных сил только в случае статики, поэтому наше предыдущее утверждение о том, что все активные и реактивные силы, фактически действующие на механическую систему, должны быть уравновешены, может показаться несколько необычным (хотя не более странным, чем уравновешенность внешних сил с фиктивными силами инерции в гравитационных принципах Д'Аламбера).

Рассмотрим в порядке аналогии такой пример. Пусть экспериментально установлена (сплошная кривая на рис. 3.2) зависимость сопротивления воды движению корабля (R) как функция относительной скорости покоящегося (v). В principio она может оказаться не строго линейной (пунктирная прямая), что характерно для на-

зываемых скоростей в очень вязких сред. Пусть, далее, упор проектируемого движителя равен F . В процессе движения скорость окажется такой, что F будет равно R по абсолютному значению, т. е. F и R уравновесят друг друга. В частном случае линейности сил трения получим аналог уравнения второго закона Ньютона: $F = -kx$, где k — коэффициент сопротивления, характеризующий данный корабль и вложившийся неким аналогом массы; x — скорость корабля (механический аналог ускорения). Задание об уравновешенности всех реальных сил здесь никаких вправлений обычно не вызывает.

Что касается зависимости перемещений от времени, то, вообще говоря, она еще не свидетельствует о динамическом характере задачи. Возьмем хотя бы о известных статических задачах деформирования конструкций из материалов, обладающих свойствами ползучести (медленного деформирования во времени), когда деформации (а стало быть и перемещения точек) неstationарны.

Можно привести и другой пример. Пусть линейно-деформируемая конструкция безинерционна (т. е. ее силы инерции малы по сравнению с внешними и внутренними силами) и пусть внешние силы имеют вид $q = q(x, y, z) = -q_0(x, y, z)$. Тогда все деформации и смещения можно представить в виде $u(x, y, z) = u(x, y, z) / t_1$, где $u(x, y, z)$ — чисто статические деформации и смещения под действием сил $q_0(x, y, z)$. Нижнюю динамику снова нет.

Точно так же чисто статической остается и аналогичная задача о линейно-деформируемой конструкции под нагрузкой $q(x, y, z, t)$: ее деформации и смещения в любой фиксированный момент t_1 равны статическим деформациям и смещениям под статической нагрузкой $q(x, y, z, t_1)$.

Таким образом, добавочное излишнее перенесение — время t — может входить в процесс статического характера.

Заметим, что иногда как предельный идеальный случай рассматриваются мгновенные приращения скоростей материальных точек. Тогда ускорения и реакции ИТ в данный момент времени обращаются в бесконечность. На самом деле указанной изюминкой быть не может и это просто абстракция. Но она подсказала подобно модели сопротивлений силы, приложенные к конструкции. Бесконечные по величине, но мгновенно снимаемые силы, необходимые для обеспечения скачков скоростей, возникающие в мгновение известным понятием мгновенного импульса [6]; правила оперирования с импульсами хорошо известны, а сами они —

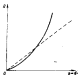


Рис. 3.2.

пример того, что было названо обобщенными функциями и соответствующими производными. В установившихся колебаниях конструкций выполняли роли не играют, поэтому мы не будем их рассматривать подробно.

В заключение анализа вопроса об инерциальных системах отсчета рассмотрим свободное движение в ИТ нескольких массивных материальных точек, когда взаимные притяжениями последних пренебрегать нельзя. Путь действий ясен из теоремы о движении центра тяжести механических систем [44]. Если ИТ, не включавшее в себя полей тяготения рассматриваемых точек, практически равномерно во всей области их расположения и движения, то инерциальная система отсчета может быть связана с общим центром тяжести [центром масс] этих точек. В число активных сил, действующих на каждую рассматриваемую точку, необходимо включить силы притяжения со стороны других точек рассматриваемой совокупности, но не нужно включать действие ИТ.

При гармоническом ИТ ничего определенного сказать нельзя.

2. Квазистатическая аналогия при установившихся колебаниях. Примеры ее использования. Рассмотрим сосредоточенную массу M , движущуюся с упругой конструкцией, например с колесом (точнее безинерционной) балкой (рис. 3.3, а). Пусть конструкция совершает в инерциальной системе отсчета свободные или вынужденные гармонические колебания с частотой ω и масса M влияние этого выражается по закону $\ddot{x} = \omega_0^2 x \sin(\omega t + \phi)$. В этом случае на конструкцию со стороны массы будет передаваться сила инерции, равная $P_x = -M\ddot{x} = \omega_0^2 Mx \sin(\omega t + \phi)$. Следовательно, при изучении гармонических колебаний конструкции мы можем интерпретировать M как некую безинерционную линейную упругую связь (пружину), напряженную взад оси y и обладающую отрицательной жесткостью $C = -M\omega_0^2$, значение которой зависит от частоты ω .

В результате систему, изображенную на рис. 3.3, а, нетрудно представить в квазистатическом виде (рис. 3.3, б). При любых изгибах балки и отклонении точки J от кулевого положения связь C будет прикладывать силу, стремящуюся еще больше отклонить балку.

Аналогичным способом можно сконструировать квазистатические модели невесомых конструкций с несколькими сосредоточенными массами (рис. 3.3, в, г), а также модели весомых конструкций с распределенной массой и сосредоточенными массами (рис. 3.3, д, е). Распределенная масса параметризуется как линейное упругое основание с отрицательным коэффициентом жест-

кости $K(x) = -l_s(x)\omega^2$, где $l_s(x)$ — переменная по координате x распределенная масса.

Если сосредоточенная масса обладает инерцией вращения, то она заменяется ее острой, а двумя связями (рис. 3.3, ж, з). Жесткость второй связи равна $K = -I_s\omega^2$, где I_s — момент инерции массы относительно оси вращения. Инерция вращения распределенных масс моделируется распределенными линейными связями с ко-

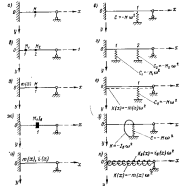


Рис. 3.3.

жесткостью жесткости $K_s(x) = -l_s(x)\omega^2$, где $l_s(x)$ — момент инерции этих масс, отнесенный к единице длины (рис. 3.3, и, к).

Если колебания негармонические, то ускорение непропорционально смешению в квазистатической аналогии нарушается. Но в каких случаях они будут строго гармоническими? Прежде всего тогда, когда на статически линейно-деформируемую конструкцию дополнительное время действует активная внешняя гармоническая нагрузка, а силы неупругого сопротивления отсутствуют. (Известный из общей теории колебаний факт, что установившиеся вынужденные колебания линейных систем без неупругих сопротивлений проходит по гармоническому закону с частотой возбуждающей силы

¹ В дальнейшем, если нет специальных оговорок, всегда понимаем, чтоложение отнесенено к инерциальной системе.

и без сдвига фаз по отношению к этой силе.¹⁾ Здесь все очень просто, по крайней мере в принципиальном отношении: зная частоту внешней нагрузки ω , мы сразу заменим массы распределенными упругими основаниями и сосредоточенными упругими опорами и получим квазистатическую задачу. Для нахождения амплитуды смещений можно, в зависимости от внешней нагрузки, взять только ее амплитудное значение. (Синус или косинус оказывается общим множителем и у внешней нагрузки, и у сил упругости, и у реакций, введенных нами упругих оснований в опоры.)

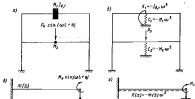


Рис. 3.4.

Если в данных условиях внешняя нагрузка, не меняясь по гармоническому закону, периодична, ее можно разложить по гармоникам и рассматривать действие каждой гармоники отдельно.

Рассмотрим для примера установившиеся вынужденные колебания конструкции (рис. 3.4, б) с сосредоточенными массами. Здесь

¹⁾ Этому факту легко дать чисто физическое обоснование. Если на балансированную линейно деформируемую конструкцию действует суммарная внешняя нагрузка вида $P_0(\cos(\omega t) + \theta)$, то перемещения будут происходить также по закону $f(t)$, т. е. гармоническая нагрузка имеет гармонические перемещения той же частоты ω фазы. Реакции ИМ (запасы изнерции) после установления колебаний не будут варировать этой гармоничностью и стационарности. (В силу квазистатической аналогии после установления колебаний их можно отнести к самой конструкции и считать конструкцию по прежнему балансированной.) Следовательно, нечто не может противоречить установившимся колебаниям упругого вида. Другое дело — начальные перегибы, когда гармоническая нагрузка, еще имеющая нулевую начальную скорость, т. е. $v_0(\cos(\omega t) + \theta) = 0$, вначале начинает действовать на неподвижную конструкцию. Колебания сразу установятся бы только в случае, когда не только конструкция (конечно, прибрюзывая максимальными скоростями, отличавшими будущими установившимися колебаниями) (гармоническая установившаяся колебаниям кульминационно отвечает максимальной скорости). Но этого не происходит. Стало быть, и начальный момент привнес массы не будут колебаться по единому гармоническому закону с частотой и фазой вынуждающей силы, и квазистатической аналогии закона не применима. Нужно выделить установившиеся колебания.

необходимо раскрыть статическую неопределенность рамы, показанной на рис. 3.4, б. никаких специфических приемов динамики в этом случае не требуется. Прогиб в любой момент времени t равен статическому прогибу под действием силы P_0 , умноженному на $\sin(\omega t + \theta)$. При расчете изгибаний балки (рис. 3.4, б) мы заменили ее балкой на упругом основании (рис. 3.4, г).

Заметим, что отрицательные жесткости связей, введенных в конструкции, не являются абстракциями, необходимыми только

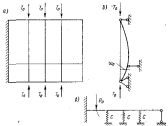


Рис. 3.5.

для обоснования квазистатической аналогии. Они возникают самым непосредственным образом в ряде чисто статических задач.

Рассмотрим плоское перекрытие с перекрестной связью (рис. 3.5, а). Балка главного направления сжата силами T_{ϕ} , а перекрестная связь загружена сосредоточенной силой P_0 , нормальной к плоскости конструкции. Три кромки перекрытия свободно опираются, четвертая — жестко заделана. Если решить задачу о балке главного направления, опирющейся в пролете за жесткую опору, которая затем смещается на расстояние $w = w_0$ (рис. 3.5, б), то реакция балки, передаваемая опоре, будет

$$R = -Cw_0, \quad (3.2)$$

так C — коэффициент, положительный при $T_0 < T_p < (\pi^2 E l)/l^2$, равный нулю при $T_0 = T_p$ и отрицательный при $T_0 > T_p$. Иными словами, когда $T_0 < T_p$, балка устойчива и требует усилие со стороны опоры, чтобы сообщить ей перемещение w_0 ; в случае $T_0 > T_p$ балка неустойчива и при перемещении w_0 опора поддерживает балку, стремящуюся увеличить прогиб; при $T_0 = T_p$ балка

находится в состоянии нейтрального равновесия и на опору силы не действуют.

Определим коэффициент C , затруднено представить перекрестную связь в виде, показанном на рис. 3.5, б). Жесткости упругих опор могут быть положительными и отрицательными. При большом числе опор получим упругое основание положительной или отрицательной жесткости.

Аналогичным путем нетрудно построить статические модели связей отрицательной жесткости, помогающих вращению соединенных с ними сечений конструкций.

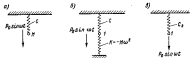


Рис. 3.6.

Выведем с помощью квазистатической аналогии общезвестную формулу для амплитуд вынужденных колебаний простейшей системы с одной степенью свободы (рис. 3.6, а). Заведем массу жесткость $K = -Mo^2$ (рис. 3.6, б). Связи K и C расположены последовательно, но работают параллельно (имея одинаковые деформации). Следовательно, они эквивалентны (рис. 3.6, в) некоторой связи жесткостью $C_b = C + K = C - Mo^2$. Отсюда амплитуда ω_0 массы M (точка J) будет

$$\omega_0 = \frac{P_0}{C_b} = \frac{P_0}{C - Mo^2} = \frac{P_0}{C} \cdot \frac{1}{1 - \frac{Mo^2}{C}} = \frac{P_0}{C} k_{\alpha}, \quad (3.3)$$

где $\lambda^2 = C/M$ — так называемая частота свободных колебаний массы; $k_{\alpha} = 1/(1 - (Mo^2/\lambda^2))$ — коэффициент динамичности.

Если $C - Mo^2 = 0$, т. е. $\lambda^2 = o^2$, то ω_0 обращается в бесконечность (наступает явление резонанса).

Квазистатическая интерпретация поддается и любая задача о свободных колебаниях линейной механической системы. В этом случае она сводится к задаче устойчивости формы равновесия.

Пусть система (см. рис. 3.5, а) даст какое-то отклонение от начального положения, вызванное (переходящее) $\varphi(x_1) = v_1$ и $\varphi(x_2) = v_2$ точек J и Z с координатами x_1 и x_2 . Пружины C_1 и C_2 прикладывают силы, которые стремятся еще больше изогнуть балку. Если силы упругости балки больше сил этих пружин, то балка возвращается в начальное положение; если силы упругости меньше сил, переданных пружинам, то отклонения увеличиваются и происходит потеря устойчивости равновесия.

Случай безразличного равновесия, когда силы упругости равны силам пружин и возможны любые амплитуды прогиба по некоторой его форме. Иными словами, проявляется типичная бифуркация (раздвоение) форм — появляется еще одна форма, кроме первоначальной прямолинейной. видно, что потеря устойчивости положения равновесия конструкции не обязательно связана с действием скжимающих нагрузок. Последний вариант как раз и представляет аналог главных свободных колебаний, при которых реакции ИТ [силы инерции] всегда точно и независимо от амплитуды уравновешивают силы упругости, и система совершает гармонические колебания с некоторой частотой λ .

Уравнения безразличного равновесия системы (см. рис. 3.3, а) имеют вид:

$$\begin{aligned} -C_1 p_1 A_{21} - C_2 p_2 A_{12} &= v_1 \\ -C_2 p_1 A_{31} - C_3 p_3 A_{23} &= v_2, \end{aligned} \quad (3.4)$$

где A_{ij} — коэффициент податливости балки, равный прогибу в точке J от действия единичной силы, приложенной в точке j . В силу известной теоремы взаимности $A_{ij} = A_{ji}$.

Подставив в (3.4) значения $C_1 = -M_1 \lambda^2$ и $C_2 = -M_2 \lambda^2$, где λ — неизвестная зона частоты свободных колебаний системы, приходим к уравнению

$$\begin{aligned} (1 - M_1 A_{12} \lambda^2) v_1 - M_2 A_{23} \lambda^2 v_2 &= 0, \\ -M_2 A_{31} \lambda^2 v_1 + (1 - M_2 A_{23} \lambda^2) v_2 &= 0. \end{aligned} \quad (3.4a)$$

Это обычные уравнения свободных колебаний системы с двумя степенями свободы [44] и однородные уравнения устойчивости квазистатической системы.

Однородные от нуля решения однородных уравнений (3.4a) возможны только при обращении в нуль определителя

$$\begin{vmatrix} (1 - M_1 A_{12} \lambda^2) - M_2 A_{23} \lambda^2 & 0 \\ -M_2 A_{31} \lambda^2 & (1 - M_2 A_{23} \lambda^2) \end{vmatrix} = 0. \quad (3.5)$$

Раскрыв (3.5), получим квадратное уравнение относительно λ^2

$$M_2 M_3 [A_{11} A_{23} - A_{12}^2] \lambda^4 - (M_1 A_{12} + M_2 A_{21}) \lambda^2 + 1 = 0. \quad (3.6)$$

Значения λ_1 и λ_2 , найденные из (3.6), можно подставить в любое из уравнений (3.4a) и определить два значения соотношения $\pi = v_1/v_2$, которые дают две формы главных свободных колебаний системы. Пер первую форму главных свободных колебаний конструкции, изображенной на рис. 3.3, а, следует трактовать как первую эйлерову форму потери устойчивости конструкции, представленной на рис. 3.3, а, и вторую форму свободных колебаний — как вторую эйлерову форму.

Пронстрированная на примере аналогия между гибкими свободными колебаниями и устойчивостью также весьма полезна для практики расчетов.

При использовании квазистатической аналогии в сочетании с методом первичных отключений удобно оперировать понятиями типа динамических жесткостей и динамических податливостей.

Динамическая податливость, например, равна амплитуде перемещения в точке приложения усилия, когда амплитуда самого усилия равна единице. Сопоставление между динамической податливостью и динамической жесткостью аналогично такому же соотношению между соответствующими статическими величинами.

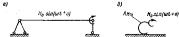


Рис. 3.7.

Если рассматривать (рис. 3.7, а) колебания шарнирно-упорной балки постоянной изгибной жесткости EJ и постоянной логарифмической массы m_0 под действием гармонического момента $M(\theta) = M_0 \sin(\omega t + \phi_0)$, то решена аналитически соответствующую задачу, увидим, что угол поворота на опоре $x = I$ будет

$$\frac{d\theta}{dt} \Big|_{t=0} = -M_0 A_{M\theta} \sin(\omega t + \phi_0),$$

где $A_{M\theta}$ — динамическая податливость:

$$A_{M\theta} = \frac{1}{2GJ} \frac{1}{\alpha} \left(\frac{1}{15\alpha} - \frac{1}{16\alpha} \right); \quad \alpha = \sqrt{\frac{m_0\omega^2}{EJ}}.$$

Пользуясь этими понятиями, мы как бы заменим всю рассматриваемую реальную систему некоторой условной безмасштабной упругой схемы: скажем, по отношению к моменту $M_0 \sin(\omega t + \phi_0)$ балка, изображенная на рис. 3.7, а, эквивалентна схеме податливости $A_{M\theta}$ (рис. 3.7, б).

Установившиеся вынужденные и свободные колебания линейных конструкций обычно не являются гармоническими (хотя довольно часто приближаются к ним), поэтому для них квазистатическую аналогию можно применять с некоторым приближением.

3. НИНЕРЦИАЛЬНЫЕ СИСТЕМЫ ОТСЧЕТА
ПРИВЕДЕНИЯ ИХ К НИНЕРЦИАЛЬНЫМ СИСТЕМАМ.
КИНЕМАТИЧЕСКОЕ ВОЗБУЖДЕНИЕ. Начнем с исследование так называемого кинематического возбуждения, т. е. вынужденного движения произвольной конструкции в инерциальной системе координат, которое вызвано заданным принудительным движением хотя бы некоторых ее точек. При этом будем разделять

общее и местное кинематические возбуждения. (Под общим кинематическим возбуждением будем понимать возбуждение, связанное с заданным принудительным движением конструкции как твердого целого, под местным — любое другое.)

Задачи о кинематическом возбуждении чрезвычайно характерны для судостроения. К ним относятся и расчеты местной вибрации, вызванной общей вибрацией корпуса, и расчеты местных сопряжений от действующих за корпус нагрузок ударного характера, и многие другие задачи.

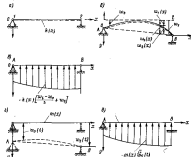


Рис. 3.8.

Рассмотрим сначала статическую задачу (рис. 3.8, а). Балка из линейно-деформируемого материала лежит на линейном упругом основании минкеровского типа (реакции основания пропорциональны прогибу жесткости $k(x)$ и прогибу $w(x)$ в данном сечении). Опоры балки сообщают заданные принудительные смещения $w(0) = w_0$ и $w(l) = w_l$, последствием чего балка изогнулась (рис. 3.8, б). Найти прогиб балки.

Разложим прогиб на две составляющие: смещение $w_1(x)$, когда балка перемещается вместе с опорами как твердое тело, и дополнительный прогиб $w_2(x)$ относительно этого нового положения $w(x) = w_1(x) + w_2(x)$ (сложение выполняется с учетом знаков смещений). Реакции упругого основания строго линейны относительно смещений, поэтому на балку будет действовать нагрузка

$\varphi(x) = -k(x)\omega_1(x) - k(x)\omega_2(x) = -k(x)\left(\frac{w_1-w_2}{\rho} + w_0\right) = -k(x)\omega_2(x)$. Первый член в правой части следует рассматривать как известную внешнюю нагрузку, второй — как неизвестные пока реакции упругого основания при дополнительном прогибе $w_2(x)$ балки относительно нового положения AB (рис. 3.8, e). Мы привели задачу о деформации под действием смещения опор к задаче о деформации под заданной внешней нагрузкой. Выход блокировался целиком на линейности упругого основания и не зависел от линейности или нелинейности деформирования самой балки (конечно, задачу, иллюстрируемую рис. 3.8, гораздо труднее решать для нелинейной балки, чем для линейной).

Поскольку мы нигде не рассматривали специфические балочных свойства конструкций и следили лишь за реакциями оснований, мы получили бы аналогичный вывод для произвольной линейной или нелинейной конструкции (пластины, перекрытия и т. д.), лежащей на линейном упругом основании в соединении, быть может, с некоторыми сопротивлениями упругим связям, когда основной опорный контур получает приводительные смещения и конструкция стремится изменить свое положение как твердое тело. Симметрическое смещение во всех таких случаях состоит из смещений как твердого тела, так и дополнительных смещений. Дополнительные смещения можно найти, загрузив деформированную конструкцию реакциями упругого основания и упругих связей, возникающими при перемещении конструкции вместе с контуром.

Подытожив квадратической аналогии, можно привести к этому случаю задачу об установившихся вынужденных колебаниях линейных конструкций под действием заданных гармонических колебаний их опорного контура относительно инерциальной системы координат (в данном случае линейность конструкции нужна, чтобы установившиеся колебания были квадратично гармоническими и аналогия была справедливой). Для этого достаточно заменить все массы упругих оснований и сопротивлений сдвигами.

Однако перейдем к более общей задаче.

Уберем в нашей (может быть, и нелинейной) балке (см. рис. 3.8, e) упругое основание, но дадим ей приводительные, произвольно заданные смещения $w(0, t) = w_1(t)$ и $w(l, t) = -w_2(t)$ относительно инерциальной системы отсчета. Ясно, что каждый элемент балки длиной dx , с серединой в точке x получит ускорение $\ddot{w}(x, t)$. Разложим их на ускорения $\ddot{w}(x, t)$, обусловленные движением балки как твердого тела, и на дополнительные ускорения $\ddot{w}_{\perp}(x, t)$, вызванные дополнительными к $\ddot{w}(x, t)$ зажимами балки: $\ddot{w}(x, t) = \ddot{w}_1(x, t) + \ddot{w}_2(x, t)$. Тогда силы инерции элемента (реакции ИТ) будут равны $-[m(x)\ddot{w}_1(x, t)dx + m(x)\ddot{w}_2(x, t)dx]$. Величина $-[m(x)\ddot{w}_2(x, t)]$ известна: это — реальная внешняя нагрузка на балку, которая и вызывает ее относительное (по отношению к движению как твердое целое) неизвест-

ное пока смещение балки $\ddot{w}_2(x, t)$ с ускорениями $\ddot{w}_2(x, t)$ (рис. 3.8, d).

Мы снова не использовали никаких специфических «балочных» свойств или линейности конструкций, а опиралась исключительно на кинематический закон сложения ускорений и на линейность реакций ИТ, выражаемых различными видами движения. Поэтому сделанные выводы носят общий характер: перемещения произвольной механической конструкции, вызванные общим кинематическим возбуждением в виде заданного смещения ее опорного контура в инерциальной системе отсчета, складываются из смещения этой конструкции как твердого тела вместе с контуром и дополнительного смещения. Дополнительное смещение обусловлено известными силами инерции (реакциями ИТ), которые возникают при смещении конструкции как твердого целого. Если опорный контур получает известные приращения скоростей, указанные силы инерции приобретают в этот момент характер импульсов. В тех случаях, когда помимо смещений опорного контура к конструкции приложены еще активные внешние силы, дополнительное смещение следует находить с учетом как известных сил инерции передового движения (вместе с контуром), так и этих активных сил.

Только что рассмотренный вопрос о кинематическом общем возбуждении теснейшим образом связан с переходом от квазицельных систем отсчета к инерциальным. Всегда можно жестко связать с опорным контуром некую инерциальную систему. Поскольку движение опорного контура в инерциальной системе произвольно (но точно известно), мы тем самым произвольно задаем движение инерциальной системы относительно инерциальной. Движение относительно опорного контура есть некор. (так сказать абсолютное) движение в инерциальной системе отсчета.

Итак, чтобы найти движение любой конструкции в инерциальной системе отсчета, следует: а) проследить ее движение вместе с инерциальной системой относительно какой-то инерциальной системы; б) найти силы инерции (реакции ИТ), которые возникают при таком движении (в частности, импульсы, если движение имеет скачки по скорости); в) определить дополнительное движение конструкции, притоком к конструкции заданные силы инерции. Рассчитанное дополнительное движение согласно пункту а), нужно найти соответствующее ускорение \ddot{w}_\perp любой материальной точки конструкции относительно исходной инерциальной системы, так как именно оно определяет добавочные реакции ИТ при дополнительном движении (ускорение в инерциальной системе не связано прямо с реакциями ИТ). Разумеется, само дополнительное движение желательно отнести к инерциальной системе (правда при исследовании кинематического возбуждения мы относили к инерциальной системе и дополнительное движение).

В наших рассуждениях сила опорных конструкций с ее опорным контуром совершила произвольные. Никаких реакций из опорный контур при разложении движения мы не вычисляем, поэтому в пре-

деле можно рассматривать и кинематическую схему, т. е. неинерциальные системы отсчета, не связанные с конструкцией.

В общих случаях анализа движений, отнесенных к неинерциальным системам координат, нужно вести расчет по п. «а», т. е. находить ускорение a_s любой точки конструкции при ее дополнительном движении, определяя его по отношению к исходной инерциальной системе. Это чисто кинематическая задача.

Пусть имеется некоторая инерциальная система отсчета. Перемещение материальной точки в этой системе определяется радиусом-вектором $r_1(t)$, скорость — вектором $v_1(t) = \dot{r}_1(t)$, ускорение — вектором $a_1(t) = \ddot{r}_1(t)$. Пусть имеется другая (неинерциальная) система, в которой движение этой же материальной точки определяется радиусом-вектором $r(t)$, скорость — вектором $v(t) = -\dot{r}(t)$, ускорение — вектором $a(t) = -\ddot{r}(t)$. Известно, что начало неинерциальной системы движется относительно инерциальной системы, причем это движение определяется радиусом-вектором $r_2(t)$. Неинерциальная система вращается по отношению к инерциальной системе около своего начала O с угловой скоростью $\omega(t)$. Требуется найти схему $\tilde{r}(t)$ и $r_1(t)$.

Напомним, что в кинематике угловой скорость ω называют вектор, длина которого ω является пределом отношения малого угла поворота до тела вокруг лежащей оси к соответствующему малому интервалу времени:

$$\omega = \lim_{\Delta t \rightarrow 0} \frac{\Delta \alpha}{\Delta t} = \frac{d\alpha}{dt}. \quad (3.7)$$

Направление ω совпадает с направлением оси вращения. Если смотреть вдоль оси по стрелке ω , то вращение тела будет происходить по часовой стрелке.

Решение поставленной кинематической задачи довольно сложно и не представляет большого интереса для строительной механики, так как здесь мы имеем дело обычно лишь с частными случаями относительного движения координатных систем. Поэтому ограничимся окончательным ответом:

$$\tilde{r}_1(t) = \tilde{r}_2 + \omega \times \tilde{r} + \omega \times (\omega \times \tilde{r}) + \tilde{r} + 2(\omega \times v). \quad (3.8)$$

Первые три члена формулы (3.8) представляют собой ускорение переносного движения точки вместе со второй (неинерциальной) системой, т. е. такого движения, при котором вторая система рассматривается как некое твердое целое. Именно оно определит внешние силы согласно п. «б» нашей расчетной схемы. Четвертый член \tilde{r} — ускорение в неинерциальной системе, т. е. относительное ускорение.

Пятый член является так называемым корiolисовым или дополнительным ускорением a_s . Оно возникает при перемещении

точки во второй (неинерциальной) системе, когда последняя вращается относительно первой:

$$a_s = \tilde{r} + 2(\omega \times v).^4 \quad (3.9)$$

Реакции ИТ (сила инерции) при дополнительном движении в неинерциальной системе координат составят

$$m a_s = m \tilde{r} + m \cdot 2(\omega \times v). \quad (3.10)$$

Величина $m \cdot 2(\omega \times v)$ известна и может быть просуммирована с внешними силами переносного (вместе с неинерциальной системой) движения, а величина $m \tilde{r}$ равна реакции ИТ в случае, если

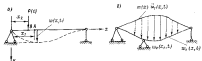


Рис. 3.9.

бы наша вторая система координат была инерциальной. Таким образом, дополнительное движение можно рассматривать в неинерциальной системе координат, трактуя последнюю как квазинерциальную, но тогда в число внешних сил нужно включить реальные силы реакций ИТ (силы инерции), обусловленные переносным движением конструкции вместе с инерциальной системой и дополнительным (корiolисовым) ускорением.

В заключение обратимся снова к кинематическому возбуждению, но теперь рассмотрим его как местное, т. е. не связанное с заданным движением конструкции в виде твердого целого.

Пусть (рис. 3.9, а) линейно-деформируемая балка соединена в точке A с механизмом, который принудительно заставляет двигаться эту точку по закону $x_0(x_1, t)$. Нужно найти движение остальных точек балки, учитывая, что балка загружена в точке B силой $P(t)$.

Разложим перемещения точек балки $w(x, t)$ на две составляющие:

$$w(x, t) = w_1(x, t) + w_2(x, t), \quad (3.11)$$

где $w_1(t)$ — статические перемещения балки под действием смещений точки A по закону $x_0(x_1, t)$ в силы $P(t)$; $w_2(t)$ — дополнительные динамические смещения инерциальной балки (рис. 3.9, б) под действием реакций ИТ, вызванных движением $w_1(x, t)$.

Ясно, что задача в принципе решена, поскольку она сведена к статической задаче и к динамической задаче деформирования конструкции под действием известной внешней нагрузки.

Аналогичным образом рассматриваются и другие конструкции.

4. Эквивалентные массы и моменты инерции. Учет массы, присоединенных к конструкции A с помощью упругих связей. Пусть имеется масса M , присоединенная к конструкции A некоторой упругой

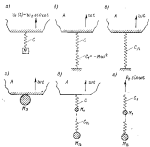


Рис. 3.10.

связью C (рис. 3.10, а). Пользуясь квазистатической аналогией, нетрудно заменить M эквивалентной упругой связью жесткости $M\omega^2$, т. е. получить статическую схему с динамической жесткостью (рис. 3.10, б, в):

$$C_A = \frac{1}{\frac{1}{C} + \frac{1}{M\omega^2}}. \quad (3.12)$$

Но можно поступить и наоборот: заменить подвешенную массу M эквивалентной массой M_A , присоединенной прямо к A и сообщающей A ту же реакцию (рис. 3.10, г), т. е.

$$M_A = -\frac{C_A}{\omega^2}. \quad (3.13)$$

Аналогичным образом можно рассмотреть в подвеску к массе (рис. 3.10, д). Для этого достаточно рассмотреть систему, показан-

ную на рис. 3.10, е, найти динамическую жесткость этой системы C_A , а затем перейти к системе, изображенной на рис. 3.10, в, или к системе, изображаемой рис. 3.10, г. В последнем случае эквивалентная масса определяется по-прежнему зависимостью (3.13), но с другим значением C_A .



Рис. 3.11.

Широко используемый прием в ряде своих работ, В. П. Терских назвал эквивалентную массу M_A «упругой массой». (Значение M_A он вычислял независимо от C_A в квазистатической аналогии не вдаваясь.)

В случае балки (рис. 3.11, а) можно найти динамическую жесткость K_A по отношению к углу поворота, а затем вывести эквивалентный (упругий) момент инерции I_A (рис. 3.11, б):

$$I_A = -\frac{K_A}{\omega^2}. \quad (3.14)$$



Рис. 3.12.

В задачах, рассмотренных В. П. Терских, правое применение квазистатической аналогии, как нам представляется, предпочтительнее. Однако иногда следует использовать эквивалентные массы и моменты инерции. Если, скажем, балка (рис. 3.12, а) соединена с подвешенными к ней массами, то следует перейти к схеме рис. 3.12, б.

Особенно удобноведение эквивалентных масс при использовании различных приближенных методов (Редек, Ю. А. Шиманского) нахождения частот свободных колебаний конструкций с заданным формом этих колебаний. Здесь надо комбинировать эти методы с методом постепенных приближений: задавшись значением ω , разным окладывая частоту свободных колебаний λ , находить эквивалентные массы и приводить их к конструкции. Если фактическая λ системы с эквивалентными массами оказывается равной заданной частоте ω , то расчет закончен; в противном случае необходимо следующее приближение.

Если принять частоту λ свободных колебаний массы M на пружине с жесткостью C равной ω , т. е. обеспечить равенство $\lambda^2 = C/M = \omega^2$, то M_1 оказывается бесконечной. Поскольку единить бесконечную массу невозможного никакими конечными усилиями, предполагаемое колебание конструкции A (см. рис. 3.10, а) невозможно и оно непременно остановится (по крайней мере, не будет колебаться в тоже подвеса жесткости C). Масса M будет совершать установленные свободные колебания такой амплитуды, что указанная точка остановится.

§ 13. Принцип разложения реакций линейных силовых полей и его использование в расчетах судовых конструкций, соприкасающихся с жидкостью. Определение усилий, возбуждающих местную вибрацию конструкций при общих колебаниях корпуса. Характер местной вибрации

1. Сущность принципа. Пусть имеется произвольная линейная или нелинейная механическая система (конструкция), которая движется в некотором линейном силовом поле. Силы, передаваемые этим полем, линейно зависят от смещений точек системы и любых производных этих смещений по времени. Кроме того, поле может давать некоторую составляющую, зависящую от координат и времени и не зависящую от смещений системы. К числу указанных полей относятся и поля давления скимаемой или нескимаемой жидкости в гидродинамических линейных задачах гидроупругости (например в задачах о колебаниях судовых конструкций, соприкасающихся с водой). Еще более простой пример такого поля — обычное физическое пространство в квaternionной системе отсчета, рассмотренное в предыдущем параграфе.

Наглядные представления, описывающие воздействие поля, могут быть любыми: давления, силы инерции, выразимые через массы или «присоединенные массы», комбинации движений и присоединенных масс и т. д. Допустима суперпозиция (наложение) рассматриваемых полей — ведь такой суперпозиции нет только в случае обычного физического пространства инерциальной системы, а в остальных случаях поле физического пространства (обычные силы инерции) налагается на любое другое линейное поле.

Сама линейность любого из рассматриваемых нам полей позволяет произвольно раскладывать движение конструкции из составляющих и вычислять воздействие (реакции) поля для каждого из составляющих в отдельности (обстоятельства, связанные с разложением на составляющие внутренних сил системы и внешних, не входящих в поле, должны рассматриваться особо). Никаких

специальных доказательств законности подобной операции (самого принципа разложения) не требуется.

Анализируемые линейные силовые поля классифицируются разделять на два типа. К первому типу следует отнести поля, где реакция, передаваемая каждой точке конструкции, зависит только от движения самой этой точки и не зависит от формы движения системы в целом; второй тип составляют поля, у которых указанная реакция зависит от формы движения системы. Таким образом, можно сказать, что к первому типу относится анникеровское, а ко второму — неанникеровское упругое основание. Ясно, что ИТ — пример поля первого типа, а давление жидкости в гидродинамически линейной задаче — пример поля второго типа. Иными словами, реакция анникеровского упругого основания на балку в точке x равна $\delta(x)w(x)$, где $w(x)$ — смещение точки x ; $\delta(x)$ — коэффициент жесткости упругого основания. Реакция неанникеровского упругого основания определяется как $\delta_1[x, f(x)]w(x)$, где $f(x)$ — форма смещения балки; $\delta_1[x, f(x)]$ — коэффициент жесткости упругого основания, записавший уже не только от x , но и от $f(x)$. Аналогичным образом реакция ИТ на точку балки равна — $m(x)\ddot{w}$, а реакция окружающей балку жидкости равна — $\delta_2[x, f(x)]\ddot{w}$, где δ_2 — определяющая функция, характеризующая давление и трактуемая обычно как «жесткая присоединенная масса жидкости».

Зависимость реакций поля от формы движения системы не нарушает его линейности и возможность разложения движений при вычислении этих реакций; нужно лишь раскладывать не движение каждой точки, а движение всей конструкции.

2. Удобство разложения движений конструкции при решении гидродинамических линейных задач. В течение долгого времени в задачах вибрации корпусных конструкций считалось обязательным применение единой присоединенной массы жидкости при порой очень сложном движении, скомплексности тех или иных конструктивных элементов, что вызывало серьезные, подчас практические непредодолимые затруднения. Ведь само вычисление присоединенной массы конструкции во время ее движения, даже по строго заданной форме, сопряжено с большими трудностями, не говоря уже о том, что нам заранее не известны соотношения амплитуд колебаний по каждой из степеней свободы, и, следовательно, необходимо использование метода последовательных приближений.

Еще в работе НЭЛ, посвященной анализу причин возникновения вибрации обшивки судов, была изложена суть принципа разложения реакций линейных силовых полей, а сам принцип использован для решения практических вопросов. В большинстве задач предлагалось внести разделенные присоединенные массы для каждой составляющей движения, причем каждая масса должна быть «работать» только на своей составляющей. Соответствие записы-

вались и уравнения движения. Вместо присоединенной массы для корпуса в целом находились давления: амплитуды вибраций полагались известными, поэтому прямое рассмотрение давлений оказалось более удобным. Профессиональный анализ показал, что гидродинамические давления, возникающие при общей вибрации, достаточно велики и являются основной возмущающей силой, обуславливающей колебания обшивки.

Однако предложенное решение ряд специалистов восприняло в лучшем случае как приближенное. По их мнению, прием разделения присоединенных масс неочевиден, поскольку линейность уравнений движения тела позволяет применять принцип суперпозиции только к приемам их частям (влиянию усилий), в то время как массы входят в левую часть. Математическая очевидность приема кроется, как им казалось, в замене квадрата суммы перемещений, входящего в интегральные выражения для присоединенной массы, суммой их квадратов. Результатом возражений было игнорирование удобства, даваемого рассматриваемым принципом, при решении большинства задач судовой вибрации.

Между тем подобные возражения не имеют никаких оснований. Согласно рассматриваемому принципу, суммарная присоединенная масса в сложном движении не просто делится на части, а раскладывается на составляющие, арифметическая сумма которых не равна суммарной массе; сам же составляющие работают только на соответствующие им перемещения, но не на всем суммарном перемещении.

В соответствии со сказанным выше не предлагается применять принцип разложения к левой части уравнений движения, а рекомендуется записать несколько иных уравнений, в левые части которых входит составляющие массы. Это не преобразование уравнений с суммарной массой, а вывод новой системы уравнений, описываемой, однако, тот же процесс. Однозначность решения большинства задач теории колебаний не означает однозначности уравнений этих задач. Наоборот, последние могут выводиться из различных принципов, включая в себя различные параметры, но давать одинаковые конечные решения.

Таким образом, разложение движения тела, соприкасающегося с жидкостью, не вносит никаких погрешностей в решение любой гидродинамической линейной задачи, но позволяет значительно упростить расчеты. Это не что иное, как рациональное использование самого фактора гидродинамической линейности (или линейности любого другого окружающего систему поля). К сожалению, даже в настоящее время еще не всегда ясна очевидность сказанного. Принцип разложения решений уже используется в некоторых исследованиях, но их авторы передают читателям его заново путем конкретного и утомительного преобразования конкретных исходных уравнений задач (например, уравнений движения несжимаемой жидкости вместе с уравнениями колебаний конструкции).

3. Общая картина местной вибрации корпусных конструкций и основной механизм ее возникновения. Проблема местной вибрации и вибрационной прочности корпусных конструкций с особой остротой возникла в начале 50-х годов после неожиданного появления трещин в корабельной оконечности первых цильконосных судов различных классов иностранных в отечественной постройке [48].

Обследование повреждений во нескольких судах позволило установить причины появления трещин — повышенную вибрацию конструкций, которая в районах днищевых перекрытий непосредственно над гребными винтами была вызвана пульсирующими гидродинамическими давлениями от работы винтов, а в остальных конструкциях, подвергающихся действию давлений от винтов, — общей вибрацией корпуса, т. е. кинематическим возбуждением от колебаний исходного контура. Это заключение подтверждалось характером повреждений, результатами ориентировочных расчетов конструкций и данными металлографического анализа листов, изрезанных в районе трещин. Расположение трещин свидетельствовало о том, что они были вызваны изгибными деформациями пластины. Количества трещин увеличивались от кормы к носу, следуя за увеличением амплитуд общей ходовой вибрации корпуса. Согласно результатам ориентировочных расчетов, частоты свободных колебаний элементов, получавших повреждения, находились в резонанс с частотами общей ходовой вибрации судна. Наконец, металлографический анализ показал, что повреждения были связаны с усталостью металла.

Возникновение трещин в конструкциях, соприкасающихся с водой и жидким топливом, обусловливалось смещением частот свободных колебаний вследствие влияния присоединенных масс жидкости, что приводило к возникновению опасных резонансов. Появление трещин в узлах пересечений пластики и синий вызывалось концентрацией местных напряжений у края фланца, где пластина как бы закреплена в точке. Увеличение количества трещин при длительной эксплуатации судна вполне закономерно.

Согласно современным представлениям, работающих пластинах общий корпус давления, которые распространяются на 1,5–2,0 диаметра винта в вост от его диска и на 1,0–1,5 диаметра в корму, а по ширине — от скуль до скуль. Основные частоты этих давлений разны: частоте вращения гребного винта, умноженной на число его лопастей (вибрация третьего порядка¹ при обычном трехлопастном винте), в частоте вращения гребного винта, умноженной на удвоенное число его лопастей (вибрация шестого порядка при трехлопастном винте). На современных судах амплитуды давлений третьего порядка достигают обычно 0,15–0,6 мгс², амплитуды давлений шестого порядка в пять—девять раз меньше.

¹ Порядок вибрации можно записать отношение ее частоты к частоте приведений винта (винта) за единицу времени.

Помимо сих третьего и шестого порядков, работающие винты создают силу первого порядка с частотой, равной частоте вращения гребных валов. Эта сила связана с усилиями, возникающими непосредственно на винте вследствие его механической и гидродинамической неуравновешенности (главным образом из-за различного шага лопастей), и передается корпусу через кронштейны винтов и дельтауды.

Перемещения опорного контура конструкции, которые обусловливают возникновение возмущающих сил винта от винта, могут происходить в трех взаимно перпендикулярных направлениях, так как корпус в целом совершают вертикальные и горизонтальные

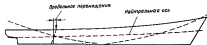


Рис. 3.13.

колебания. Последние связаны с поговором сечений корпуса и продольными перемещениями (рис. 3.13). На верхней палубе, а также на днище и бортах, продольные перемещения сопровождаются вертикальными и горизонтальными колебаниями.

Общая ходовая абривация современного судна с управляемыми механизмами, например турбинами, вызывается преумножением работы гребных винтов. Она имеет те же частоты, что и гидродинамические давления на обшивке (т. е. трение и шестой порядок при трёхполостном винте), и, кроме того, частоту, разную частоте вращения валов (вibration первого порядка).

Наиболее сильные избривия, третьего порядка, наблюдаются в корневой оконечности судна и остаются значительной примерно на четверть его длины. Вibration шестого порядка наблюдается такие в корме и распространяется не более чем на одну постому длины корпуса. Вibration первого порядка распространяется по всей длине судна.

Поскольку частоты свободных колебаний отдельных элементов конструкций обычно существенно превышают частоту первого порядка, основное значение для прочности корпуса имеют vibration третьего и шестого порядков.

Необходимо отметить, что сделанное заключение о причинах повреждений конструкций вне района, расположенного непосредственно над винтами, встретило начальные серьезные возражения некоторых специалистов. Они указывали на сравнительную малость амплитуд общей ходовой vibration судна, не превышающую обычно 0,2–0,5 мм, а в районе четверти длины корпуса — 0,1 мм. Выражалось сомнение в возможности столь незначительных возмущений

вызвать сильную vibration пластин и трещины в материале и в качестве доказательства приводились данные опыта эксплуатации космических судов, у которых трещины вне района винтов отсутствовали. Основную причину повреждений предлагалось искать не в vibration, а в других, например технологических, факторах, в плохом качестве материала; vibration же отводился вспомогательной ролью.

В связи с этими замечаниями были проведены испытания пластин, моделирующих обшивку корпусных перекрытий. В частности, была испытана пластина корпусной стали (рис. 3.14), пред-

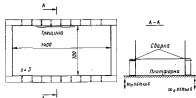


Рис. 3.14.

ставляющая собой днище спарного бака, заполненного водой и установленного на vibrationную платформу. Качество материала и сварки было тщательно проектировано. Платформа совершила 1000–2000 колебаний в минуту с амплитудой 0,2 мм, что соответствует общей vibration судна в корме. Непосредственные измерения с помощью тензометрии показали, что напряжения на контуре пластины при околоскоростных режимах достигали 1200–1400 кг/см², причем через три часа резонансного режима в этом районе образовались трещины. Если учесть увеличение амплитуд колебаний контура реальных судовых пластин по сравнению с амплитудами общей ходовой vibration за счет прогиба балок набора, то возможность возникновения трещин в пластинах вследствие действия vibrationных нагрузок станет вполне очевидной.

На ходовых судах вероятность появления vibrationных трещин меньшая, чем на спарах, поскольку клепанные конструкции менее монолитны и демодифицируют колебаний в их соединениях «зглаживает» резонансы. Но главное — предел выносливости материала в районе клепанных соединений на опорном контуре пластины выше, чем в районе сварных швов.

4. Усилия, вызываемые местной вибрацией корпуса. Некоторое представление об усилиях, действующих на обшивку днища вне района винтов, можно получить, если принять во внимание, что корпус волеекает в колебаниях окружающую его жидкость. Это обстоятельство учитывается так называемой «присоединенной массой», которая условно добавляется к массе самого судна (присоединенная масса приблизительно равна массе судна).

Очевидно, воздействие жидкости на корпус осуществляется только через давление на обшивку, а наличие присоединенной массы эквивалентно наличию давлений, изменяющихся пропорционально ускорениям. Амплитудное значение этих суммарных давлений в любом сечении судна при набирании с частотой ω составляет

$$p_{\text{вн}} = m_{\text{вн}} \omega^2, \quad (3.15)$$

где $m_{\text{вн}}$ — присоединенная масса жидкости на единицу длины корпуса в рассматриваемом сечении; w_b — амплитуда колебаний корпуса в рассматриваемом сечении.

Среднее значение амплитуды давлений

$$p_{\text{вн}}^0 = \frac{p_{\text{вн}}}{B} = \frac{\rho_0 g w_b^2}{B}, \quad (3.16)$$

а амплитуда максимального давления

$$p_{\text{вн}}^{\text{ макс}} = k_1 \frac{p_{\text{вн}}^0}{B} = k_1 \frac{\rho_0 g w_b^2}{B}, \quad (3.17)$$

где B — ширина корпуса (для горизонтальных колебаний — осадка), $k_1 > 1$, 0 — коэффициент, выражающий отношение максимального давления к среднему.

Подставляя в (3.16) обычные значения $m_{\text{вн}}$ и B для судов длиной около 100—120 м и водоизмещением 2500—3000 т, получим

$$p_{\text{вн}}^0 = (0,20 \div 0,6) \cdot 10^{-3} \rho_0 w^2, \quad (3.18)$$

Если задать ориентировочно параметры вибрации кормовой оконечности различными $w_b = 0,03$ см и $\omega = 130$ л/с, то $p_{\text{вн}}^0 = -0,10 \div -0,3$ кг/см², что вполне сопоставимо с максимальными пульсирующими давлениями от работы гребных винтов, амплитудное значение которых не превышает, как правило, 0,3—0,6 кг/см².

Чтобы исследовать более детально распределение давлений по обшивке и учсть влияние прогибов конструкций, рассмотрим произвольное тело (рис. 3.15), набиравшее с частотой ω в идеальной нескжимаемой безграничной жидкости; в процессе вибрции этого тела первоначально изменяется форма его поверхности.

Давление в любой точке жидкости, в частности в точке на поверхности тела, после отображивания пренебрежимо малых членов определяется зависимостью

$$p = -\rho g y - \rho \frac{\partial \varphi}{\partial t} + p_a. \quad (3.19)$$

где ρ — плотность жидкости; g — ускорение свободного падения; $\varphi = \varphi(x, y, z)$ — потенциал скоростей; p_a — атмосферное давление.

Потенциал $\varphi(x, y, z)$ удовлетворяет уравнению Лапласа

$$\frac{\partial^2 \varphi}{\partial x^2} + \frac{\partial^2 \varphi}{\partial y^2} + \frac{\partial^2 \varphi}{\partial z^2} = 0, \quad (3.20)$$

условием на бесконечности

$$\frac{\partial \varphi}{\partial x} = 0, \quad \frac{\partial \varphi}{\partial y} = 0, \quad \frac{\partial \varphi}{\partial z} = 0, \quad (3.21)$$

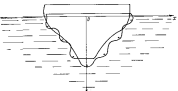


Рис. 3.15.

условием на свободной поверхности

$$\varphi(x, y, z) = 0 \quad (3.22)$$

и условием на контуре

$$\frac{\partial \varphi}{\partial n} = v_n. \quad (3.23)$$

Здесь v_n — производная по нормали к поверхности тела; v_n — амплитуда нормальной составляющей скорости элемента поверхности тела. Первый и третий члены (3.19) выражают суммарное гидростатическое и атмосферное давление, второй член — переменное давление p_a , обусловленное вибрацией. Величина p_a пропорциональна ускорению и изменяется по гармоническому закону с частотой ω , принимая то положительное, то отрицательное значение; отсутствие рывков в жидкости обеспечивается атмосферным и гидростатическим давлениями.

Важет учет давления p_a на поверхности тела можно рассматривать присоединенную массу $m_a(x, y, z)$, неравномерно распределенную по этой поверхности и выбранную из условия, что реакция присоединенной массы при колебаниях равна p_a .

В соответствии с изложенным для расчета местной вибрации движущих конструкций, называемой обшивкой колебанием корпуса,

необходимо вычислить давления p_{av} , обусловленные этими колебаниями (предполагая, что кант пластин и набора отсутствует), а также найти силы инерции самих конструкций (без учета присоединенных масс забортной воды) при их перемещениях вместе с корпусом. После этого следует рассчитать местную вибрацию отдельных конструкций при действии вычисленных давлений p_{av} и сил инерции переносного движения, учитывая в расчете присоединенную массу жидкости при местной вибрации, т. е. при катите (относительном движении) пластины и набора.

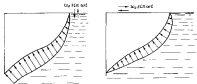


Рис. 3.16.

Для вычисления давлений в любой точке днища, возникающих вследствие общей вибрации судна, в частности для вычисления коэффициента k_3 в формуле (3.17), можно воспользоваться потенциальными волоками обтекания профилей типа судовых шпангоутов. Дифференцируя потенциалы, легко построить соответствующие эпюры (рис. 3.16), из рассмотрения которых видно, что среднее давление p_{av}^0 отличается от максимального p_{max}^0 на 40–50%, т. е. $k = 1,4 - 1,5$. Пространственность обтекания не требует учета поправочных коэффициентов для вычисления присоединенных масс. Таким образом, формулы (3.16) и (3.17) остаются в склоне и при более точном решении задачи.

В качестве простейшего примера использования предлагаемых зависимостей рассчитаем вибрацию стальной пластины днища судна при следующих исходных данных: ширина пластины $a = 50$ см, длина $l = 200$ см, толщина $b = 0,6$ см, масса единицы площади пластины $m_p = 6,4 \cdot 10^{-6}$ кг·с²/см², частота $\omega = 100$ л/с, присоединенная масса воды в рассматриваемом сечении судна $m_w = 0,25$ кг·с²/см², ширине судна $B = 900$ см. Пластина вибрирует как жестко заделанная на местном контуре.

Силы инерции при переносном движении пластины вместе с корпусом судна, отнесенные к единице площади пластины, будут

$$P_{\text{in}} = m_w \omega^2 \sin \omega t = 1,9 \cdot 10^{-2} \sin \omega t;$$

давление

$$p_{\text{max}}^0 = 1,5 \frac{\sigma_{\text{max}} \omega^2}{8} \sin \omega t = 0,125 \sin \omega t;$$

суммарная расчетная нагрузка на пластину

$$P_r^{\text{sum}} = (1,9 \cdot 10^{-2} + 0,125) \sin \omega t \approx 0,125 \sin \omega t.$$

Используя известные расчетные формулы, находим: частоту свободных колебаний пластины в воздухе

$$\lambda = \sqrt{\frac{Ma^4}{9} \frac{Eh^3}{12n_0} \left[\frac{3}{\alpha^4} + \frac{3}{\beta^4} + \frac{2}{\omega^2} \right]};$$

частоту свободных колебаний пластины с учетом присоединенных масс жидкости при относительном движении (нагрузке относительно набора)

$$\lambda_1 = \frac{\lambda}{\sqrt{1 + \mu \frac{c}{7,85}}},$$

где μ — коэффициент, зависящий от α^2 ;
коэффициент динамичности расчетной нагрузки

$$k_d = \frac{1}{1 - \frac{\omega^2}{\lambda^2}} \approx 1,0$$

(т. е. давление действует, по существу, статически).

Отсюда, применяя обычные формулы строительной механики, найдем максимальные напряжения на опорном контуре пластины $\sigma_{\text{max}} = 230$ кг/см².

При изменении частоты возмущающих усилий и других параметров вибрации напряжения легко могут вырасти до недопустимых пределов; например при $\mu = 0,6$ см, $\alpha = 0,04$ см, $\omega = 100$ л/с $\sigma_{\text{max}} = 850$ кг/см², что превышает предел усталости стали на опорном контуре пластины.

Из приведенного примера видно, что местная вибрация удалот от кантов может оказаться недопустимой даже при отсутствии резонансов. (Естественно, разницы существенно увеличат местные колебания.)

§ 14. Обобщенные и «динамические обобщенные» координаты. Нетривиальные случаи применения метода главных координат в расчетах корабельных конструкций

1. Различие между обобщенными и динамическими обобщенными координатами. При рассмотрении сложных вопросов динамики упругих систем, в частности задач о колебаниях корабельных

судовых конструкций, необходимо уточнить обычные представления, связанные с понятием главных координат и методом главных координат.

Следующее определение обобщенных координат, принятое в аналитической механике, таково: обобщенными координатами механической системы называются произвольные независимые скалярные параметры, которые в своей совокупности однозначно определяют любое положение этой системы, добавляемое наложенным в некий-то момент времени на систему связями.

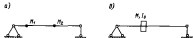


Рис. 3.17.

Числом степеней свободы механической системы называется число независимых скалярных параметров, однозначно определяющих ее любое возможное или любое виртуальное перемещение. У голономных систем (а в строгательной терминологии рассматриваются почти исключительно голономные системы) число степеней свободы совпадает с числом обобщенных координат.

Кроме этих обычных формулировок, в динамику сооружений целесообразно ввести еще два понятия. Назовем динамическими обобщенными координатами системы любые независимые скалярные параметры, которые в своей совокупности однозначно определяют возможные положения точек, масса которых принимается во внимание. Число динамических степеней свободы системы (предполагается, что система голономна). Например, конструкции, показанные на рис. 3.17, имеют бесконечное число степеней свободы, но динамические только две. Динамическими обобщенными координатами являются: для системы, представленной на рис. 3.17, а, вертикальные смещения масс M_1 и M_2 ; для системы, изображенной на рис. 3.17, б, — вертикальное смещение в угол поворота сосредоточенной массы, обладающей моментом инерции J_b .

В большинстве курсов динамики число динамических степеней свободы обычно смешают с их общим числом. Согласно традиции, рассматриваемые системы называются системами с двумя степенями свободы, т. е. при решении динамических задач мы в явном виде пользуемся своим умением точно выполнить статические расчеты конструкции и как бы исключить бесконечно много координат. На долю динамики остается только две координаты, но остальные (статистическая) степени свободы, конечно, не исчезают.

Предлагаемые формулировки с четким выделением динамических степеней свободы могут показаться ненужным изуритом. Од-

нако это не так, поскольку обычная терминология динамики сооружений отражает неточность физических представлений, что приводит иногда к недоразумениям и даже ошибкам. Последние особенно часто при использовании метода главных координат.

2. Физическая сущность метода главных координат и некоторые особые случаи его использования. Чтобы не быть голословным, проанализируем физическую сущность указанного метода на примере только

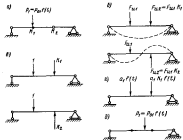


Рис. 3.18.

что рассмотренной системы (см. рис. 3.17, а). Этот, казалось бы, элементарный анализ приведет нас к довольно интересным выводам и следствиям.

Пусть к массе M_1 (рис. 3.18, а) приложена сила $P_1 = P_0 f(t)$. Существуют главные свободные колебания этой системы, формы которых определяются числами μ_1 и μ_2 , равными постоянному отношению прогибов v_1 и v_2 в точках закрепления масс. Ихги по форме главных свободных колебаний происходят под действием сил инерции $F_{\text{in}} = F_{\text{in}} K_1$ или $F_{\text{in}} = F_{\text{in}} K_2$ (рис. 3.18, б). Деформации каждой из форм происходят независимо друг от друга.

Представим себе, что можно разложить заданную внешнюю нагрузку по формам сил инерции главных свободных колебаний. В рассматриваемом случае нужно представить $P_0 f$ как сумму

$$P_{\text{in}} = a_1(1, K_1) + a_2(1, K_2), \quad (3.24)$$

где a_1 и a_2 — неизвестные коэффициенты разложения; $(1, K_1)$ и $(1, K_2)$ — группы сил (рис. 3.18, e).

Для a_1 и a_2 имеем

$$\begin{aligned} a_1 + a_2 &= P_{11}, \\ a_1 K_1 + a_2 K_2 &= 0, \end{aligned} \quad (3.25)$$

откуда

$$a_1 = \frac{K_2 P_{11}}{K_2 - K_1}, \quad a_2 = \frac{K_1 P_{11}}{K_2 - K_1}, \quad (3.26)$$

Под действием группы сил $a_1 (1, K_1)$ система (рис. 3.18, e) все время будет двигаться по форме первого главного свободного колебания. Тогда отношение сил инерции будет равно K_1 . Внешние силы, согласно принятому разложению, относятся как K_1 ; следовательно, суммарные силы, действующие на балку, тоже относятся как K_1 . Таким образом, балка действительно изгибается по форме свободных колебаний.

Приведенное рассуждение может показаться порочным кругом, но оно вполне строго и по логической структуре напоминает типичный прием решения дифференциальных уравнений: мы полагаем решение в определенном виде, затем подставляем его в дифференциальное уравнение и убеждаемся, что последнее выполнено.

Аналогичным способом легко доказать, что группа сил $a_2 (1, K_2)$ вызывает движение по форме второго тона. Но любая система, движущаяся по определенной заранее известной форме, может рассматриваться как имеющая одну степень свободы. Иными словами, мы представили движение системы с двумя динамическими степенями свободы как сумму движений двух систем, каждая из которых имеет одну степень свободы.

Расчет вынужденных колебаний системы с одной степенью свободы производится по общим правилам: выбирают обобщенную координату, составляют выражения для кинетической и потенциальной энергии системы через обобщенную координату, составляют уравнение Лагранжа второго рода и решают его.

При движении балки по первому тону и обобщенной координате \tilde{x}_1 кинетическая энергия T будет

$$T = \frac{M_1 \tilde{x}_1^2}{2} + \frac{M_2 \tilde{x}_2^2}{2} - \frac{M_1 \tilde{x}_1^2}{2} + \frac{M_2 \tilde{x}_2^2}{2} = \frac{\omega_1^2 \tilde{x}_1^2}{2},$$

$$a = \left(M_1 + \frac{M_2}{\omega_1^2} \right), \quad \tilde{x}_1 = \frac{x_1}{\omega_1}.$$

Потенциальная энергия может быть выражена через некоторые статические силы $Q^{(1)}$ и $Q^{(2)}$, приложенные в точке закрепления масс в назначение прогиб по первой форме,

$$E_p = \frac{1}{2} v_1 Q^{(1)} + \frac{1}{2} v_2 Q^{(2)} = \frac{1}{2} v_1 Q^{(1)} + \frac{1}{2} \frac{v_1}{\omega_1} K_1 Q^{(1)}.$$

С другой стороны,

$$v_1 = Q^{(1)} A_{11} + K_1 Q^{(2)} A_{12} = Q^{(1)} (A_{11} + K_1 A_{12})$$

или

$$Q^{(1)} = \frac{v_1}{A_{11} + K_1 A_{12}} = v_1 b_1,$$

где A_{ij} — коэффициенты податливости безмассажной балки под действием сопредельенных сил.

Следовательно,

$$E_p = \frac{1}{2} K_1 \tilde{x}_1^2, \quad K = b_1 + \frac{K_1 b_1}{\omega_1}.$$

Обобщенная сила, соответствующая первой форме,

$$Q_1 = a_1 + \frac{v_1 K_1}{\omega_1} = \left[\frac{K_1}{K_2 - K_1} + \frac{K_1 K_2}{\omega_1 (K_2 - K_1)} \right] P_1 (\beta).$$

Заметив, что $K_1 = \frac{M_1}{M_1 \omega_1}$, $K_2 = \frac{M_2}{M_2 \omega_2}$, в раскрытии значения ω_1 и ω_2 , получим $Q_1 = P_1 (\beta)$.

Таким образом, уравнение Лагранжа

$$\ddot{a} \tilde{x}_1 + K_1 \tilde{x}_1 = P_1 (\beta). \quad (3.27)$$

Проделав аналогичные преобразования для движения во второй форме, получим

$$a = \left(M_2 + \frac{M_1}{\omega_2^2} \right), \quad K = \left(b_2 + \frac{K_2 b_2}{\omega_2} \right),$$

$$b_2 = \frac{P_2}{A_{22} + K_2 A_{21}}, \quad Q_2 = P_2 (\beta).$$

Подтверждаем, что при использовании метода главных координат можно установить саму возможность разложения нагрузки во форму сил инерции главных свободных колебаний. Однако фактически в таком разложении нет необходимости: составляя уравнение Лагранжа для движения по любой форме главного свободного колебания, можно находить обобщенную силу от всей внешней нагрузки. Именно поэтому в рассмотренном примере обобщенная сила для обеих уравнений оказалась разной $P_1 (\beta)$. Главные свободные колебания, определяемые силами инерции, независимы друг от друга (независимость видна из анализа исходных уравнений вместе с решениями). Но это физически возможно лишь в том случае, когда силы придают одному главному колебанию или любые пропорциональные им силы не производят работы из перемещениях, соответствующих другому главному колебанию. В противном случае указанные силы инерции давали бы добавочную обобщенную силу, соответствующую движению по второй форме, и включая бы за него (известное условие ортогональности). Следовательно, при

составлении работы внешней нагрузки на перемещениях, соответствующих любому главному свободному колебанию, мы автоматически исключаем работу тех ее составляющих, которые соответствуют сдвигам единицы других тонов.

Если внешняя нагрузка не раскладывается по сдвигам инерции, то описанная формальная процедура приводит к ошибке.

Допустим (рис. 3.18, б), что сила $P_1(t)$ приложена в точке с координатой $x = x_0$ где нет массы. Ясно, что здесь нельзя представить $P_1(t)$ в виде какой-то комбинации сил, приложенных в точках закрепления M_1 и M_2 . Но с формальной стороны как будто бы все в порядке. Составляя уравнения Лагранжа для главных свободных колебаний, мы получим зависимости типа (3.27) с теми же коэффициентами a и K ; обобщенная сила окажется равной $Q_1 = -P_1 \dot{E}_1 + P_2 \dot{E}_2$, где \dot{E}_1 и \dot{E}_2 — относительные прогибы в точке x_0 к прогибу точки закрепления M_2 (при первой и второй формах). К сожалению, рассчитанное движение не совпадает с действительным. Это видно хотя бы из того, что в точке x_0 непрерывно должна быть сквозь перегревающая сила на величину P_1 , но ни в одной из форм главных свободных колебаний, а следовательно и в их сумме, такого сдвига нет.

Принцип отрицательного выделения очевиден: для динамических степеней свободы не могут определить всего многообразия возможных движений системы, имеющей в действительности бесконечно много степеней свободы. Кстати, и сама система (см. рис. 3.18, а или 3.18, б) имеет не две, а бесконечно много форм главных свободных колебаний: частоты всех «дополнительных» форм равны бесконечности — их потенциальная энергия выражается только через квадраты обобщенных координат, а кинетическая энергия равна нулю. Дополнительные формы соответствуют статическим деформациям системы, не связанным с силами инерции масс M_1 и M_2 (обе массы неподвижны). Если составить полную совокупность уравнений Лагранжа с учетом дополнительных форм, то решение методом главных координат будет точным. Ясно, что дополнительные уравнения должны отличаться от основных — в них отсутствует член, пропорциональный ускорению, т. е. все коэффициенты a равны нулю.

Поскольку дополнительные формы главных свободных колебаний не затрагивают движений масс M_1 и M_2 , указанные движения будут заданы вправильными в при рассмотренном выше формальном расчете, не учитывая статически добавков и неразложимости силы $P_1(t)$, приложенной между массами, по формам сил инерции. Ошибки обнаруживаются только при расчете изгиба балки.

Для аккуратного расчета системы [см. рис. 3.18, б] можно использовать искусственный прием. Если мысленно поставить балку в точках закрепления масс M_1 и M_2 на жесткие опоры, то балка под действием силы $P_1(t)$ будет деформироваться статически, а на опорах возникнут реакции, закон изменения во времени которых будет одинаков с законом изменения $P_1(t)$. Но в действительности

опор нет. Следовательно, необходимо убрать опоры, приложить в соответствующих точках reaction этих опор с обратным знаком, разложить их по формам сил инерции и найти динамической прогиб балки.

Можно поступить иначе. Пусть массы M_1 и M_2 равны нулю. Тогда сила $P_1(t) - f(t)P_{21}$ будет изгибать балку согласно зависимости $\varphi(x, t) = P_{21}x / f(t) + \psi(x)$, где $\psi(x)$ — форма статического изгиба балки под действием единичной силы, приложенной в точке x_0 . Таким же образом будет деформироваться конструкция при наличии масс, если компенсировать силы инерции добавочными

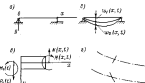


Рис. 3.19.

фиктивными силами в точках закрепления x_1 и x_2 масс M_1 и M_2 . Значения фиктивных сил будут $M_1 P_{21\text{ст}}(x_1) / f(t)$ и $M_2 P_{21\text{ст}}(x_2) / f(t)$. Но на самом деле фиктивных сил нет. Соответственно, помимо движения $\varphi(x, t) = P_{21}x / f(t) + \psi(x)$, нужно рассмотреть движение под действием обратных фиктивных сил (со знаком минус), противодействующих массам M_1 и M_2 . Но это уже задача, решаемая методом главных координат.

Если $f(t) \neq 0$, то, кроме фиктивных сил, в момент $t = 0$ должны прикладываться нигде ненулевые фиктивные импульсы, которые сообщают точкам x_1 и x_2 начальные скорости $P_{21} + \dot{\psi}(x_i) / f(t)$.

Несколько сложнее случай мгновенного приложения силы ко нечной величины, т. е. $f(t) \neq 0$, когда массы должны мгновенно получить конечные перемещения. Его удобнее всего исследовать с привлечением аппарата обобщенных функций. Однако здесь мы не будем заниматься этим (учтём, что способ постановки фиктивных жестких опор остается в силе). Учёт статических преобразов в обоих признаках показывает, что мы пришли во внимание все степени свободы конструкции, а не только динамические.

В качестве поучительного примера исследуем свободные колебания с учетом сдвига шарнира-опоры призматической балки постоянной жесткости EI с погонной массой m_2 (рис. 3.19, а). Обозначим: $w_1(x, t)$ — прогиб от изгиба; $w_2(x, t)$ — прогиб от

сдвига; G — модуль сдвига; Ω — эффективная площадь поперечного сечения; N — перерезывающие силы.

Тогда, добавив силы инерции в обычные уравнения статических деформаций, получим

$$\begin{aligned} EI \frac{\partial^2 w_0}{\partial x^2} + m_0 \frac{\partial^2 (w_1 + w_2)}{\partial t^2} &= 0; \\ GQ \frac{\partial w_0}{\partial x} - m_0 \frac{\partial^2 (w_1 + w_2)}{\partial t^2} &= 0. \end{aligned} \quad (3.28)$$

Границные условия имеют вид: при $x = 0$

$$w_1 = 0; \quad \frac{\partial w_1}{\partial x} = 0; \quad w_2 = 0; \quad (3.29)$$

при $x = l$

$$w_3 = 0; \quad \frac{\partial w_3}{\partial x} = 0; \quad w_4 = 0. \quad (3.29a)$$

Решение будем искать в виде

$$\begin{aligned} w_1 &= w_{01} \sin \frac{n\pi x}{l} \sin (\lambda_0 t + \theta_0); \\ w_2 &= w_{02} \sin \frac{n\pi x}{l} \sin (\lambda_0 t + \theta_0). \end{aligned} \quad (3.30)$$

После подстановки (3.30) в (3.28) имеем

$$\begin{aligned} EI \frac{n^2 \pi^2}{l^2} w_{01} - m_0 \lambda_0^2 (w_{01} + w_{02}) &= 0; \\ -GQ \frac{n^2 \pi^2}{l^2} w_{02} + m_0 \lambda_0^2 (w_{01} + w_{02}) &= 0. \end{aligned} \quad (3.31)$$

Отсюда

$$\begin{aligned} \frac{w_{01}}{w_{02}} &= \frac{EI}{GQ} \frac{n^2 \pi^2}{\mu^2} = T_B; \\ \lambda_0 &= \frac{n^2 \pi^2}{l^2} \sqrt{\frac{EI}{m_0 (1 + T_B)}}. \end{aligned} \quad (3.32)$$

Деформации сдвига увеличили податливость конструкции и потому снизили ее собственные частоты.

Перейдем к разложению произвольного свободного колебания на главные свободные колебания. Представим, что балка для первоначального прогиба $w(x, 0)$ за счет статической поперечной нагрузки, а затем занесено силами инерции; начальные скорости равны нулю. Тогда указанные свободные колебания можно разложить на сумму главных свободных колебаний $\sum_{k=1}^{\infty} w_{0k} \sin \frac{n\pi x}{l} \cos \lambda_k t$, где λ_k определяется по формуле (3.32). Первоначальный прогиб

$w_{00} \sin \frac{n\pi x}{l}$ обусловлен соответствующей составляющей нагрузки; он складывается из прогибов от изгиба и сдвига, отношение которых равно T_B .

Пусть теперь первоначальный прогиб $w(x, 0)$ создан только за счет изгиба от статических уравновешенных в своей совокупности внешних моментов, когда реакции и перерезывающие силы во всей длине конструкции равны нулю. Это вполне осуществимо, так как, зная прогиб $w(x, 0)$, мы всегда можем построить нужную загору нагружающих моментов

$$M(x) = EI \frac{\partial w(x, 0)}{\partial x^2},$$

прикладываемую к балке внешние сосредоточенные и распределенные моменты.

После введенного удаления внешних моментов начальные скорости по-прежнему будут равны нулю и прогиб снова может быть разложен по тем же синусoidalным формам. Однако свободные колебания уже нельзя разложить на главные свободные колебания с частотами λ_k согласно (3.32). Теперь первоначальная деформация по форме $w_{00} \sin \frac{n\pi x}{l}$ обусловлена не только изгибом; сдвиговый прогиб отсутствует, поэтому уже в момент $t = 0$ на каждую элементарную массу действуют другие, помимо в первом случае, силы упругости.

Здесь дело снова в различии между общим числом степеней свободы системы и числом ее динамических степеней. Силы инерции зависят от суммарного прогиба балки, поэтому каждая материальная точка в своем вертикальном перемещении имеет одну динамическую степень свободы. В то же время возможные перемещения конструкции, которые включают в нее возможные деформации, определяются перемещениями точек как за счет изгиба, так и за счет сдвига.

Чтобы рассчитать свободные колебания в примененном интегральном случае, нужно снова воспользоваться искусственным приемом. Приложим фактическую динамическую нагрузку, которая не давала бы изгибающих моментов, но полностью компенсировала бы перерезывающие силы, возникающие при главных свободных колебаниях. Она может быть сконструирована как комбинация поперечной нагрузки и внешних моментов; поперечная нагрузка дает изгибающие моменты и перерезывающие силы, внешние моменты компенсируют изгибающие моменты от внешней нагрузки. Тогда движение будет происходить по формам главных свободных колебаний без учета сдвига с частотами $\lambda_0^{(1)} = (n^2 \pi^2 / l^2) \sqrt{EI/m_0}$.

Для компенсации действия фактической нагрузки следует рассчитать вынужденные колебания балки с частотами $\lambda_0^{(1)}$ под действием одинаковых перерезывающих сил:

$$N_0 = -a_{0,0} (v_0^{(1)})^2 \left(\frac{n\pi}{l} \right)^2 EI \cos \frac{n\pi x}{l} \cos \lambda_0^{(1)} t.$$

Эти перерезывающие силы вызовут только сдвиговые колебания, которые наложатся на свободные изгибные колебания; сумма колебаний даст действительные свободные колебания балки.

Пусть формы и частоты свободных колебаний балки (см. рис. 3.19, а, б) отрелены с учетом сдвига, а в состав внешней динамической нагрузки входят распределенные по длине моменты. Легко видеть, что наличие внешних распределенных моментов нарушает квазистатическое соотношение: производная от изгибающего момента равна перерезывающей силе (соотношение верно только для поперечной нагрузки и сосредоточенных моментов). В то же время изгибающие и перерезывающие силы от действия поперечных сил инерции строго следуют указанному соотношению. Следовательно, сделав идентичными формы якоря изгибающих моментов от внешней нагрузки и сил инерции, мы не можем сделать идентичными якоря перерезывающих сил.

Иными словами, нагрузка не может быть точно разложена в ряд по формам сил инерции, поэтому метод главных координат в его обычной форме не даст точного решения. Исправить положение могут только искусственные приемы.

Допустим, что к балке прикладывается фиктивная нагрузка, которая компенсирует все перерезывающие силы от внешней нагрузки и сил инерции. Тогда балка деформируется во формах свободных колебаний без учета сдвига и, следовательно, метод главных координат полностью применим. Расчетив такое движение, мы находим перерезывающие силы, искусственно компенсированные на первом этапе расчета, затем рассчитываем систему только на действие перерезывающих сил, для чего определяем частоты и формы чисто сдвиговых колебаний; алгоритм метода главных координат снять пропорции.

Идея этого приема идентична идее постановки жестких опор при расчете рассмотренной выше системы с двумя степенями свободы.

Можно действовать иначе. Пусть нагрузка равна $P(x)f(t)$, а $m_0 = 0$. Тогда балка изгибается согласно зависимости $\varphi(x)f(t)$, где $\varphi(x)$ — форма статического прогиба от действия нагрузки $P(x)$. Такой же изгиб будет при $m_0 \neq 0$, но для этого следует приложить дополнительную фиктивную нагрузку $m_0\varphi(x)\tilde{f}(t)$, которая компенсирует силы инерции. Поскольку фиктивной нагрузки на самом деле нет, к движению $\varphi(x)f(t)$ следует добавить движение под нагрузкой — $m_0\varphi(x)\tilde{f}(t)$. Последняя всегда раскладывается по формам сил инерции главных свободных колебаний.

Если $\tilde{f}(0) = 0$, то при изгибе, согласно зависимости $\varphi(x)\tilde{f}(t)$, балка должна мгновенно получить некоторую скорость. Чтобы оказать ее в инерционной конструкции, требуется в момент $t = 0$ приложить дополнительный импульс, обусловливающий свободные колебания с начальными скоростями $\dot{\varphi}(x)f(0)$. Разложение этого свободного колебания по формам главных свободных колебаний

производится согласно общим правилам. Как и ранее, мы не рассматриваем более сложного случая мгновенного приложения сил начальной величины (где вполне применим первый прием).

Напомним способ — аналог второго приема расчета системы с двумя динамическими степенями свободы.

Рассмотрим дополнительное влияние инерции прращения сечений на свободные и вынужденные колебания стержня.

Пусть имеется промежуточный участок стержня (рис. 3.19, в); $M_1(t)$ и $M_2(t)$ — усилия на левом краю участка. Уравнения разностного участка

$$P_1(t) - \int_0^x m_0 \frac{\partial^2 (w_1 + w_2)}{\partial x^2} dx = N(x, t);$$

$$M_1(t) - \int_0^x \int_0^x m_0 \frac{\partial^3 (w_1 + w_2)}{\partial x^3} dx^2 +$$

$$+ \int_0^x m_0 p^2 \frac{\partial^2 w_1}{\partial x^2} dx + \int_0^x P_1(t) dx = M(x, t),$$

где p — радиус инерции погонной массы.

Подстановка сюда известных соотношений

$$M(x, t) = EI \frac{\partial^2 w_1}{\partial x^2}; \quad N(x, t) = -GQ \frac{\partial w_1}{\partial x}$$

и последующее дифференцирование дают

$$\begin{aligned} EI \frac{\partial^4 w_1}{\partial x^4} + m_0 \frac{\partial^2 (w_1 + w_2)}{\partial x^2} - m_0 p \frac{\partial^2 w_1}{\partial x^2} &= 0; \\ GQ \frac{\partial^3 w_2}{\partial x^3} - m_0 \frac{\partial^2 (w_1 + w_2)}{\partial x^2} &= 0. \end{aligned} \quad (3.33)$$

Для дальнейшего анализа удобно ввести новые переменные: полный прогиб $w = w_1 + w_2$ и угол поворота сечения $\theta = dw_1/dx$. Тогда система (3.33) сводится к виду

$$\begin{aligned} \frac{\partial^2 w}{\partial x^2} - \frac{m_0 p^2}{EI} \frac{\partial^4 w}{\partial x^4} &= -\frac{GQ}{EI} \left(\frac{\partial w}{\partial x} - \theta \right); \\ \frac{\partial^2 \theta}{\partial x^2} - \frac{m_0}{GQ} \frac{\partial^2 w}{\partial x^2} &= \frac{\partial \theta}{\partial x}. \end{aligned} \quad (3.34)$$

Если балка параллельно опыта на две опоры, то удобно искать решение в виде

$$w = a_0 \sin \frac{\pi x}{l} \sin (\lambda t + \Phi); \quad (3.35)$$

$$\theta = b_0 \cos \frac{\pi x}{l} \sin (\lambda t + \Phi).$$

Подстановка (3.35) в (3.34) приводит к уравнениям

$$\begin{aligned} a_0 \left(-\frac{\pi^2 \alpha^2}{l^2} + l^2 \frac{m_0}{EI} \right) + b_0 \frac{m_0}{l} = 0; \\ a_0 \frac{m_0}{l} \frac{d\theta}{EI} + b_0 \left(-\frac{\pi^2 \alpha^2}{l^2} + l^2 \frac{m_0 \beta^2}{EI} - \frac{M_0}{EI} \right) = 0. \end{aligned} \quad (3.36)$$

Приравняв нулю определитель системы (3.36), имеем

$$\left(\frac{\lambda}{\lambda_0} \right)^4 - \left(\frac{\lambda}{\lambda_0} \right)^2 \frac{4 \beta^2}{\alpha^2} \left(1 + \gamma^2 + \frac{\gamma^2 \beta^2}{\alpha^2 \gamma^2} \right) + \frac{\gamma^2 \beta^2}{\alpha^2} = 0, \quad (3.37)$$

где $\lambda_0 = (\pi^2/l^2) \sqrt{EI/m_0}$ — частота первого тона, вычисленная без учета сдвига и измеряя вращения сечений; $\beta = M/l^2 \sqrt{EI}$ — гибкость; $\gamma^2 = G/E$.

Отсюда получаем два значения $\lambda_1^{(1)}$ и $\lambda_1^{(2)}$ для каждого числа полузволи κ :

$$\lambda_1^{(1)} = \lambda_0 \frac{4 \beta}{\pi} \sqrt{\frac{1}{2} \left[1 + \gamma^2 + \frac{\gamma^2 \beta^2}{\alpha^2 \gamma^2} - \sqrt{\left(1 + \gamma^2 + \frac{\gamma^2 \beta^2}{\alpha^2 \gamma^2} \right)^2 - 4 \gamma^2} \right]}, \quad (3.38)$$

$$\lambda_1^{(2)} = \lambda_0 \frac{4 \beta}{\pi} \sqrt{\frac{1}{2} \left[1 + \gamma^2 + \frac{\gamma^2 \beta^2}{\alpha^2 \gamma^2} + \sqrt{\left(1 + \gamma^2 + \frac{\gamma^2 \beta^2}{\alpha^2 \gamma^2} \right)^2 - 4 \gamma^2} \right]}.$$

Первая из этих частот соответствует форме колебания, при которой поперечные сечения поворачиваются в ту же сторону, что и касательные к линии суммарных прогибов $\omega(x)$. Вторая, более высокая, частота соответствует форме, при которой поперечные сечения и касательные к линии $\omega(x)$ поворачиваются в противоположные стороны (рис. 3.19, а).

Весьма интересное, на первый взгляд, предвзятие смотрят частоты вполне по-иному. В рассматриваемом случае замкнутые координаты x соответствуют двум параметрам, полностью характеризующим положение сечения с данной координатой.

Увеличение числа обобщенных координат и динамических обобщенных координат приводят к принципиально иному результату: мы получаем возможность разложить по главным свободным колебаниям любое свободное колебание системы, а также уверенно использовать обычный вариант метода главных координат.

Убедимся сначала в справедливости первого утверждения. Всякий суммарный начальный прогиб может быть разложен по формам $a_{k, \lambda} \sin \frac{2 \pi k x}{l}$ (кроме, может быть, концов стержня), причем каждая форма имеет производные составляющие от изгиба и сдвига, суммарная амплитуда которых равна $a_{k, \lambda}$. Одновременно для каждого k имеются две формы свободных колебаний, у которых суммарное

перемещение подчиняется закону $a_{k, \lambda} \sin \frac{2 \pi k x}{l}$, но существуют два различных соотношения между прогибами от изгиба и сдвига. Это всегда позволяет разложить любую начальную форму $a_{k, \lambda} \sin \frac{2 \pi k x}{l}$ по указанным двум формам свободных колебаний.

С другой стороны, произвольный начальный прогиб отвечает произвольной внешней нагрузке (не имеющей особенности на концах), а формы главных свободных колебаний — соответствующим силам инерции. Отсюда ясно, что возможность разложения прогибов равносильна возможности разложения внешней нагрузки.

Проданализированные конкретные примеры затягивают на естественные обобщения. Ставится ясным, что при постановке различных задач важно проверять соответствие числа обобщенных координат и динамических обобщенных координат. Если это соответствует, то при изучении свободных колебаний, а также при использовании метода главных координат полезно применять искусственные приемы указанных выше типов.

Они могут быть полезными и в некоторых других случаях.

Пусть шарнирно-опорный стержень (рис. 3.20, а) находится под действием произвольного опорного момента $M(l)$ в сечении $x = l$. Инерция вращения сечений и сдвиги не учитываются.

Динамические деформации нетрудно разложить в сходящийся ряд по формам главных свободных колебаний $a_{k, \lambda} \sin \frac{2 \pi k x}{l}$. Однако тогда нарушается сходимость по моментам для конца стержня $x = l$ (закон Гиббса в теории рядов Фурье): вторая производная от каждого члена ряда для $x = l$ равна нулю, поэтому никакая сумма членов не может аппроксимировать в этой точке со средоточенным моментом.

Выход можно найти, если рассмотреть движение безынерционного стержня, а затем накладывать на него движение под действием сил инерции и мгновенных импульсов, как это неоднократно делалось выше (рис. 3.20, б). «Плавные» силы инерции и «плавные» импульсы легко и точно раскладываются в ряд по свободным колебаниям.

Вообще, прием выделения движений по формам статических прогибов часто дает большой эффект и увеличивает сходимость рядов, так как инерционные нагрузки при движении по статической форме обычно гораздо плавнее внешних нагрузок и их прецессии.

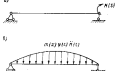


Рис. 3.20.

раскладывать в ряды. Правда, иногда $f(t)$ гораздо быстрее изменяется во времени, чем $f(t)$, вследствие чего силы инерции статического прогиба могут оказаться доминантнее основной нагрузки. Это может уменьшить или даже ликвидировать выигрыш от более равномерного распределения сна.

3. Некоторые сложности, возникающие при использовании метода главных координат для расчета судовых конструкций. Применение метода главных координат в расчетах устанавливающихся динамических деформаций корабельных конструкций явно нежелательно, поскольку квазистатическая аналогия позволяет прямо

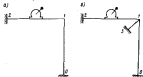


Рис. 3.21.

сводить их к статическим задачам, решаемым хорошо известными и учебными методами. Здесь метод главных координат используется лишь косвенно путем сравнения частот главных свободных колебаний с частотами возмущающих сил с целью избежания резонансов.

Однако определенный формальным образом спектр собственных частот содержит передко избыточную информацию, поскольку далеко не все rezонансы представляют практическую опасность. Особено это касается достаточно сложных конструкций, например рам.

Для иллюстрации рассмотрим конкретный пример практического характера.¹

Требуется проверить возможность установки механизма, давшего вертикальную возмущающую силу с частотой $N = 3,5 \text{ Гц}$, на фундаментную раму (рис. 3.21, а) со следующими параметрами:

Стержень, п	$I_{ij} \text{ м}^4$	$m_{ij} \text{ кг-сек}^2$	$E_{ij} \cdot 10^{-7} \text{ Н/м}^2$	$E_{ij} m_{ij} \cdot 10^{-7} \text{ кг}$
01	4,6	2,8	6	2,1
12	4,6	2,8	6	2,1

¹ Пример предложен в работах В. И. Полежаевым.

Здесь i — начало и конец стержня (узык 0—3); l_{ij} — его длина; m_{ij} — логонная масса; I_{ij} — момент инерции площади поперечного сечения; E_{ij} — модуль упругости.

Приятно, что нормальная эксплуатация механизма будет обеспечена, если

$$\lambda_1 > 1,5N_{\max}, \quad (3.39)$$

где λ_1 — основная частота фундаментной рамы, N_{\max} — максимальное значение частоты возмущающей силы.

Последовательность операций этого проверочного расчета, казалось бы, очевидна: составляется частотное уравнение рамы, вычисляется основная частота, проверяется выполнение условия (3.39).

Частотное уравнение для такой рамы известно в литературе и имеет вид

$$D = \frac{E_{12} I_{12}}{l_{12}} \alpha_{12} + \frac{E_{13} I_{13}}{l_{13}} \alpha_{13} = 0, \quad (3.40)$$

где

$$\begin{aligned} \alpha_{12} &= \frac{\sin l_{12} \sin \omega t + \cos l_{12} \sin \omega_0 t - \cos \omega_0 t \sin l_{12}}{1 - \cos \omega_0 l_{12} \sin \omega_0 l_{12}}, \\ \omega_0 &= \sqrt{\frac{m_{12}}{E_{12} l_{12}^4}}. \end{aligned}$$

Графическое решение этого уравнения (рис. 3.22, а) дало значение основной частоты $\lambda_1 = 15,5 \text{ Гц}$. Условие (3.39) оказывается выполненным, т. е. установка механизма на данную фундаментную раму вполне допустима.

Добавим к рассмотренной конструкции еще один стержень $1-3$ (см. рис. 3.21, б). Его параметры следующие: $I = 1,1 \text{ м}^4$, $m = 1 \cdot 10^{-2} \text{ т}\cdot\text{сек}^2$, $E = 0,5 \cdot 10^{10} \text{ Н}$, $E = 0,9 \cdot 10^5 \text{ т}/\text{м}^2$.

Частотное уравнение для всей рамы примет вид

$$\frac{E_{12} I_{12}}{l_{12}} \alpha_{12} + \frac{E_{13} I_{13}}{l_{13}} \alpha_{13} + \frac{E_{11} I_{11}}{l_{11}} \alpha_{11} = 0. \quad (3.41)$$

Графическое решение уравнения (3.41) (рис. 3.22, б) дало значение основной собственной частоты $\lambda_1 = 3,9 \text{ Гц}$. Условие (3.39) не выполнено. В то же время с физической точки зрения ясно, что добавление к раме стержня $1-3$ ($E_{12} I_{12} = 0,4 \cdot 10^{-4} E_{1-3} I_{1-3}$) не может существенно сказаться на динамических характеристиках стержня $1-2$ в районе установки механизма. Следовательно, приведенный к склонам стержнями системы условие (3.39), оставаясь достаточным, перестает быть необходимым [отметим, что в судостроении проверочные расчеты частот строятся именно на условии типа (3.39)].

Это означает, что в расчетах, выполняемых при конкретном проектировании, следует или отказаться от критерия необходимости

ети и ограничиться проверкой по достаточности, или производить дифференциацию собственных частот, т. е. отсеивать избыточную информацию и оставлять лишь те частоты, решения которых могут активно проявляться в рассматриваемом районе системы. Но отказ от критерия необходимости практически невозможен, поэтому остается путь дифференциации, которую удобнее всего проделать путем перехода от расчета спектра частот свободных колебаний к непосредственному расчету интенсивностей колебаний при разных частотах и построению зависимостей между частотами возмущающих сил и амплитудами вибрации в характерных точках конструкции. Резонансные пики на амплитудно-частотных кривых соответствуют опасным частотам свободных колебаний рассматриваемой системы. Все расчеты должны выполняться с учетом сна неупругого сопротивления (рассечения энергии); при достоверном знании и линейности этих сил (что на практике встречается, к сожалению, не часто) мы получаем значения фактических амплитуд при любой частоте; при знании лишь порога изменения сил сопротивления или существенной их нелинейности (или того и другого вместе) расчет дает лишь фактические опасные зоны частот, на которые с необходимым запасом и надежностью ориентироваться. Если использовать метод парциальных отклонений для расчета раз (см. рис. 3.21, а, б), то можно получить кривые амплитуд a , показанные соответственно на рис. 3.23, а, б (коэффи-

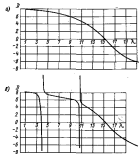


Рис. 3.22.

ций к непосредственному расчету интенсивных колебаний при разных частотах и построению зависимостей между частотами возмущающих сил и амплитудами вибрации в характерных точках конструкции. Резонансные пики на амплитудно-частотных кривых соответствуют опасным частотам свободных колебаний рассматриваемой системы. Все расчеты должны выполняться с учетом сна неупругого сопротивления (рассечения энергии); при достоверном знании и линейности этих сил (что на практике встречается, к сожалению, не часто) мы получаем значения фактических амплитуд при любой частоте; при знании лишь порога изменения сил сопротивления или существенной их нелинейности (или того и другого вместе) расчет дает лишь фактические опасные зоны частот, на которые с необходимым запасом и надежностью ориентироваться. Если использовать метод парциальных отклонений для расчета раз (см. рис. 3.21, а, б), то можно получить кривые амплитуд a , показанные соответственно на рис. 3.23, а, б (коэффи-

циент сопротивления был принят равным 0,03). Как видно из последних рисунков, произошла автоматическая дифференциация спектров собственных частот рам и парадокс нашего примера полностью разрешился.

Рассмотрение физической сущности метода, проведенное в предыдущем пункте, показывает возможность обобщения метода глав-

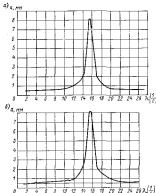


Рис. 3.23.

ных координат на случай других линейных реактивных силовых полей первого типа.¹ Но в судостроении часто приходится иметь дело с конструкциями, которые соприкасаются с забортной водой или жидкостью внутри корпуса, т. е. находятся в реактивном сдвиговом поле второго типа (реакции зависят от формы деформирования системы). Здесь метод главных координат, вообще говоря, не применим, поскольку формы колебаний оказываются связанными.

Рассмотрим общие колебания корпуса как непрismaticальной балки. Интерпретируя реакции жидкости в виде присоединенной

¹ См. § 13, где показано, что реакции поля в данной толще не зависят от формы деформирования системы.

массы, видим, что каждый тон свободных колебаний имеет свою присоединенную массу. И, конечно, трудно предположить, что форма первого тона главных свободных колебаний балки с одним распределением масс будет ортогональна второй форме колебаний балки с другим распределением масс. В этом случае колебания любого k -го тона вызывают колебания остальных тонов. Говорят здесь о методе главных координат можно лишь весьма условно. Впрочем, нахождение резонансов с каким-либо из тонов свободных колебаний осталось в силе и в этом случае.

Иногда ортогональность тонов все же сохраняется. Например, для бесконечно длинной круговой цилиндрической оболочки характеристики скользящие по периметру колебания. У каждого тона имеется своя присоединенная масса, однако изменениякаются лишь ее интенсивность, но не закон распределения. В результате движение по каждому из тонов происходит раздельно.

§ 15. Комплексная форма уравнений теории колебаний. Линейные сопротивления

I. Сущность комплексной формы. В электротехнике и акустике, а за последние время и в динамике сооружений все большее распространение получает весьма удобная комплексная форма уравнений колебательных процессов в линейных системах с линейными сопротивлениями. Имея в виду неоднократно использовать эту форму, изложим краткое ее существо, дополнив уже известные из литературы наименее важными детальными и доказательствами.

Общизвестны формулы

$$\begin{aligned} e^{i\omega t} &= \cos \omega t + i \sin \omega t; \\ Ae^{i(\omega t + \theta)} &= Ae^{i\omega t}e^{i\theta} = \bar{A}e^{i\omega t} = A \cos (\omega t + \theta) + iA \sin (\omega t + \theta); \\ \bar{A} &= Ae^{\theta} = a + ib; \quad A = \sqrt{a^2 + b^2}; \quad \theta = \arctg \frac{b}{a}. \end{aligned} \quad (3.42)$$

Здесь i в дальнейшем буквой с чертой наверху обозначают комплексные числа.

Из формулы (3.42) следует, что функцию $A \cos (\omega t + \theta)$ можно трактовать как вещественную часть выражения $\bar{A}e^{i\omega t} = Ae^{i\omega t}$, где \bar{A} — комплексное число.

Поскольку оперировать с $\bar{A}e^{i\omega t}$ в общих буквенных зависимостях гораздо удобнее, чем с $A \cos (\omega t + \theta)$, возникает естественный вопрос: нельзя ли вместо всех $A_n \cos (\omega_n t + \theta_n)$, входящих в исходные уравнения какой-либо задачи теории колебаний, подставить $\bar{A}_n e^{i\omega n t}$, затем получить решение уравнений, а в окончательном результате взять только вещественную часть. Это вполне возможно, если, удовлетворив исходные уравнения в комплексной

форме, мы одновременно удовлетворим их порожденные для вещественных и мнимых частей сопротивляющиеся там величины.

Учитывая запись

$$\begin{aligned} (a + ib) \pm (c + id) &= (a \pm c) + i(b \pm d); \\ a(c + id) &= ac + iad; \\ \frac{\partial^n F(x_1, x_2, \dots, x_n)}{\partial x_1^n} &= \\ &= \frac{\partial^n [U(x_1, x_2, \dots, x_n) + iV(x_1, x_2, \dots, x_n)]}{\partial x_1^n} = \\ &= \frac{\partial^n U}{\partial x_1^n} + i \frac{\partial^n V}{\partial x_1^n}, \end{aligned} \quad (3.43)$$

легко усмотреть справедливость равенства

$$L[\bar{F}_1, \bar{F}_2, \dots, \bar{F}_q] = L[U_1 + iV_1, U_2 + iV_2, \dots, U_q + iV_q] = \\ = L[U_1, U_2, \dots, U_q] + iL[V_1, V_2, \dots, V_q],$$

где L — любой линейный алгебраический оператор с вещественными коэффициентами. Следовательно, указан-

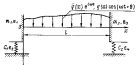


Рис. 3.28.

ный прием решения задач теории колебаний применим к любым задачам о гармонических колебаниях линейных механических систем, так как они описываются именно линейными операторами относительно функции $A_n \cos (\omega_n t + \theta_n)$.

Совершенно аналогично можно представить все выражения вида $A_n \sin (\omega_n t + \theta_n)$ как минимум части $\bar{A}_n e^{i\omega n t}$. Заменяв в уравнениях теории колебаний все $A_n \sin (\omega_n t + \theta_n)$ через $\bar{A}_n e^{i\omega n t}$, следует брать в окончательных результатах только мнимые части.

Особенно удобна комплексная форма уравнений для исследование колебаний линейных систем при наличии линейных сопротивлений.

Рассмотрим изгибающие колебания однопролетной прямолинейной балки, упруго заделанной в упруго опертой на концах (рис. 3.24). Силы внутреннего сопротивления пропорциональны

первой степени скорости деформаций, а силы внешнего сопротивления — первой степени скорости перемещений.

Дифференциальное уравнение движения записывается в виде

$$EI \frac{\partial^4 w}{\partial x^4} + eEI \frac{\partial^2 w}{\partial x^2 \partial t} + m_0 \frac{\partial^2 w}{\partial t^2} + \\ + v \frac{\partial w}{\partial t} - q(x) \cos(\omega t + \theta) = 0, \quad (3.44)$$

при граничных условиях: $x = 0$

$$EI \frac{\partial^4 w}{\partial x^4} + eEI \frac{\partial^2 w}{\partial x^2 \partial t} = - \left(C_1 w + e_1 C_1 \frac{\partial w}{\partial t} \right); \\ EI \frac{\partial^2 w}{\partial x^2} + eEI \frac{\partial^2 w}{\partial x^2 \partial t} = \Omega_1 \frac{\partial w}{\partial x} + e_1 \Omega_1 \frac{\partial^2 w}{\partial x^2 \partial t}; \quad (3.45)$$

$x = l$

$$EI \frac{\partial^4 w}{\partial x^4} + eEI \frac{\partial^2 w}{\partial x^2 \partial t} = C_2 w + e_2 C_2 \frac{\partial w}{\partial t}; \\ EI \frac{\partial^2 w}{\partial x^2} + eEI \frac{\partial^2 w}{\partial x^2 \partial t} = - \left(\Omega_2 \frac{\partial w}{\partial x} + e_2 \Omega_2 \frac{\partial^2 w}{\partial x^2 \partial t} \right), \quad (3.45a)$$

где EI — жесткость балки; $w = w(x, t)$ — динамический прогиб балки; e — коэффициент внутреннего сопротивления балки; e_1 и e_2 — коэффициенты сопротивления упругих заделок; e_3 и e_4 — коэффициенты сопротивления упругих опор; m_0 — погонная масса балки; v — коэффициент внешнего сопротивления балки; C_1 и C_2 — жесткость упругих опор; Ω_1 и Ω_2 — коэффициенты жесткости упругих заделок.

Интегрируя уравнение (3.44) в вещественных переменных, необходимо искать установившиеся колебания как сумму

$$w(x, t) = F_1(x) \sin(\omega t + \theta) + F_2(x) \cos(\omega t + \theta), \quad (3.46)$$

так как функция $w(x, t) = F_1(x) \sin(\omega t + \theta)$ или $w(x, t) = -F_1(x) \cos(\omega t + \theta)$ не может дать искомого решения.¹ Выражение (3.46) после подстановки в (3.44) дает для уравнения четвертого порядка, решение которых представляет большие вычислительные трудности. Если перейти к комплексной форме, то уравнение (3.44) примет вид

$$EI \frac{\partial^4 \bar{w}}{\partial x^4} + eEI \frac{\partial^2 \bar{w}}{\partial x^2 \partial t} + m_0 \frac{\partial^2 \bar{w}}{\partial t^2} + v \frac{\partial \bar{w}}{\partial t} - \bar{q}(x) e^{i\omega t} = 0 \quad (3.47)$$

при $\bar{q}(x) = q(x) e^{i\theta}$.

¹ Это означает, что при заданном сопротивлении балка не имеет постоянной формы вынужденных установившихся колебаний.

Разложим \bar{w} как $\bar{w} = \bar{q}(x) e^{i\omega t}$, имеем

$$eEI \frac{\partial^2 \bar{w}}{\partial x^2 \partial t} = i\omega eEI \bar{q}'(x) e^{i\omega t} = i\omega eEI \frac{\partial \bar{w}}{\partial x^2}; \\ v \frac{\partial \bar{w}}{\partial t} = iv\bar{q}'(x) e^{i\omega t} = -v \frac{\partial \bar{w}}{\partial t},$$

откуда (3.44) можно представить в виде

$$EI \frac{\partial^4 \bar{w}}{\partial x^4} + m_0 \frac{\partial^2 \bar{w}}{\partial t^2} - \bar{q}(x) e^{i\omega t} = 0; \\ E = E(1 + i\omega e), \quad \bar{m}_0 = m_0 \left(1 - l \frac{v}{\omega m_0} \right). \quad (3.48)$$

Границочные условия (3.46) представляются выражениями: при $x = 0$

$$EI \frac{\partial^2 \bar{w}}{\partial x^2} = -\bar{C}_1 \bar{w}; \quad EI \frac{\partial^2 \bar{w}}{\partial x^2} = \bar{\Omega}_1 \frac{\partial \bar{w}}{\partial x}; \\ \bar{C}_1 = C_1(1 + i\omega e_1); \quad \bar{\Omega}_1 = \Omega_1(1 + i\omega e_1); \quad (3.49)$$

при $x = l$

$$EI \frac{\partial^2 \bar{w}}{\partial x^2} = \bar{C}_2 \bar{w}; \quad EI \frac{\partial^2 \bar{w}}{\partial x^2} = -\bar{\Omega}_2 \frac{\partial \bar{w}}{\partial x}; \\ \bar{C}_2 = C_2(1 + i\omega e_2); \quad \bar{\Omega}_2 = \Omega_2(1 + i\omega e_2). \quad (3.49a)$$

Уравнение (3.48) и его граничные условия (3.49) совпадают по своему виду с аналогичными уравнениями и условиями при отсутствии сопротивлений в конструкции. Формальные буквенные операции с комплексными величинами производятся по тем же правилам, что и с вещественными, поэтому решение задачи разделяется на два этапа: определение колебаний в случае отсутствия сопротивлений и постановка в полученные зависимости комплексных значений жесткостей и масс с последующим разделением вещественной и минимой частей результата. Использование комплексной формы решения позволяет значительно упростить все выкладки и спешно учесть сопротивление на второй этап.

Сделанные выводы об основных этапах расчета однопролетных балок при наличии сопротивлений, пропорциональных первой степени скоростей деформаций и перемещений, могут быть распространены на общий случай установившихся колебаний любой механической системы с такими сопротивлениями.

Пусть колебания системы определяются любыми линейными дифференциально-алгебраическими соотношениями (в частности, дифференциальными уравнениями и граничными условиями) между исковыми обобщенными координатами y_1, y_2, \dots, y_n в обобщенной внешней слою $P(x_1, x_2, \dots, x_m) \cos(\omega t + \theta)$, зависящей от независимых во времени координат x_1, x_2, \dots, x_m . Коор-

данных y_1, y_2, \dots, y_n являются не только функциями времени, но и любых других координат z_1, z_2, \dots, z_M , не зависящих от времени. Силы внешних сопротивлений пока учитывать не будем.

Рассмотрим какое-либо из указанных соотношений, в которое входят силы упругости и силы внутреннего сопротивления. Первые будут выражаться некоторым линейным дифференциально-алгебраическим оператором $L_y [C_{y1} (t, z_1, \dots, z_M), C_{y2} (t, z_1, \dots, z_M), \dots, C_{yN} (t, z_1, \dots, z_M)]$, где C_{yi} — коэффициент жесткости, соответствующий y_i . Тогда вторые определятся аналогичным оператором $L_y [e_1 C_{y1} \frac{\partial y_1}{\partial t}, e_2 C_{y2} \frac{\partial y_2}{\partial t}, \dots, e_N C_{yN} \frac{\partial y_N}{\partial t}]$, если через e_i обозначены коэффициенты внутреннего сопротивления. В другие члены соотношения, не содержащие сил упругости и сил сопротивления, коэффициенты C_i и e_i не входят.

Представим обобщенную силу в комплексной форме $P(x_1, x_2, \dots, x_m) e^{j\omega t}$, необходимо разыскать колебания системы в виде $y_k = \tilde{A}_k e^{j\omega t}$. При этом сумма сил упругости и сил сопротивления выражется операторами

$$\begin{aligned} & L_y [C_1 \tilde{A}_1 e^{j\omega t}, C_2 \tilde{A}_2 e^{j\omega t}, \dots, C_N \tilde{A}_N e^{j\omega t}] + \\ & + L_y [i \omega e_1 C_1 \tilde{A}_1 e^{j\omega t}, i \omega e_2 C_2 \tilde{A}_2 e^{j\omega t}, \dots, i \omega e_N C_N \tilde{A}_N e^{j\omega t}] = \\ & = L_y [\tilde{C}_1 \tilde{A}_1 e^{j\omega t}, \tilde{C}_2 \tilde{A}_2 e^{j\omega t}, \dots, \tilde{C}_N \tilde{A}_N e^{j\omega t}] = \\ & = L_y [\tilde{C}_1 \tilde{\theta}_1, \tilde{C}_2 \tilde{\theta}_2, \dots, \tilde{C}_N \tilde{\theta}_N], \end{aligned}$$

где $\tilde{C}_k = C_k (1 + i \omega e_k)$.

Следовательно, в конечном итоге рассматриваемое соотношение имеет такую же аналитическую форму, какую оно имело бы при отсутствии внутренних сопротивлений.

Учет внешних сопротивлений, приложенных к распределенным m_i , и в сородиченных M_i , массам системы, производится аналогичным образом. Пусть в рассматриваемое соотношение входит линейный оператор, выражающий силы инерции

$$\begin{aligned} & L_y [m_1 \frac{\partial^2 \theta_1}{\partial t^2}, I_{11} \frac{\partial \theta_1}{\partial t}, M_1 \frac{\partial \theta_1}{\partial t}, I_{12} \frac{\partial \theta_1}{\partial t}, \dots, \\ & \dots, m_n \frac{\partial^2 \theta_n}{\partial t^2}, I_{nn} \frac{\partial \theta_n}{\partial t}, M_n \frac{\partial \theta_n}{\partial t}, \dots, \\ & \dots, M_q \frac{\partial^2 \theta_q}{\partial t^2}, I_{qq} \frac{\partial \theta_q}{\partial t}], \end{aligned}$$

где θ_i и $\dot{\theta}_i$ — перемещения масс m_i и M_i ; $i \theta_i$ и I_{ii} — их моменты инерции; θ_j и ψ_j — углы поворота масс.

Тогда силы внешних сопротивлений выражаются оператором

$$L_y \left[v_1 \frac{\partial \theta_1}{\partial t}, p_1 \frac{\partial \theta_1}{\partial t}, [p_1 \frac{\partial \theta_1}{\partial t}, T_1 \frac{\partial \theta_1}{\partial t}], \dots, \right. \\ \left. \dots, v_n \frac{\partial \theta_n}{\partial t}, \dots, p_n \frac{\partial \theta_n}{\partial t}, \dots, p_q \frac{\partial \theta_q}{\partial t}, T_q \frac{\partial \theta_q}{\partial t} \right],$$

где v_i , p_i , p_i , T_i — коэффициенты внешних сопротивлений.

При установившихся колебаниях сумма сил инерции в сил сопротивлений равна

$$L_y \left[\tilde{m}_{11} \frac{\partial^2 \theta_1}{\partial t^2}, \tilde{I}_{11} \frac{\partial \theta_1}{\partial t}, \tilde{M}_1 \frac{\partial \theta_1}{\partial t}, \tilde{I}_{12} \frac{\partial^2 \theta_1}{\partial t^2}, \dots, \right. \\ \left. \dots, \tilde{m}_{nn} \frac{\partial^2 \theta_n}{\partial t^2}, \tilde{I}_{nn} \frac{\partial \theta_n}{\partial t}, \dots, \tilde{M}_q \frac{\partial \theta_q}{\partial t}, \tilde{I}_{qq} \frac{\partial^2 \theta_q}{\partial t^2} \right],$$

где

$$\tilde{m}_{ij} = m_{ij} \left(1 - i \frac{v_j}{\omega m_j} \right); \quad \tilde{M}_i = M_i \left(1 - i \frac{p_i}{\omega M_i} \right);$$

$$\tilde{I}_{ij} = I_{ij} \left(1 - i \frac{p_j}{\omega I_{ij}} \right); \quad \tilde{I}_{ii} = I_{ii} \left(1 - i \frac{v_i}{\omega I_{ii}} \right).$$

Иными словами, форма рассматриваемого выражения соответствует его форме при отсутствии сопротивлений.

При выполнении второго этапа расчета, т. е. разделении вещественной и минимум частей результатов, нужно использовать формулы (3.42) и (3.43), а также элементарные зависимости типа

$$(a+ib)(c+id) = (ac-bd) + i(ad+bc);$$

$$\begin{aligned} & [A_1 (\cos \psi_1 + i \sin \psi_1)] [A_2 (\cos \psi_2 + i \sin \psi_2)] = \\ & = A_2 A_1 [\cos (\psi_1 + \psi_2) + i \sin (\psi_1 + \psi_2)]; \\ & \frac{a+ib}{c+id} = \frac{ac+bd}{c^2+d^2} + i \frac{cb-ad}{c^2+d^2}; \\ & [A_1 (\cos \psi_1 + i \sin \psi_1)] : [A_2 (\cos \psi_2 + i \sin \psi_2)] = \\ & = \frac{A_1}{A_2} [\cos (\psi_1 - \psi_2) + i \sin (\psi_1 - \psi_2)]; \end{aligned} \quad (3.50)$$

$$[A (\cos \psi + i \sin \psi)]^n = A^n [\cos n\psi + i \sin n\psi];$$

$$\sqrt[n]{A (\cos \psi + i \sin \psi)} = \sqrt[n]{A} \left(\cos \frac{\psi + 2k\pi}{n} + i \sin \frac{\psi + 2k\pi}{n} \right);$$

$$\sin i\psi = i \sin \psi; \quad \cos i\psi = \sin \psi;$$

$$\sin b\psi = i \sin \psi; \quad \cos b\psi = \cos \psi;$$

$$\sin(a \pm ib) = \sin a \cos b \pm i \cos a \sin b;$$

$$\cos(a \pm ib) = \cos a \cos b \pm i \sin a \sin b;$$

$$\sin(a \pm ib) = \sin a \cos b \pm i \sin a \sin b;$$

$$\cos(a \pm ib) = \cos a \cos b \pm i \sin a \sin b.$$

Примеры использования комплексной формы уравнений для решения конкретных задач неоднократно встречаются в дальнейшем.

Заметим, что первый этап расчета, т. е. построение решения без учета сопротивлений, можно выполнить, не заменяя тригонометрические функции показательными функциями от e . При отсутствии сопротивлений отсутствуют и сдвиги фаз между силами и перемещениями, поэтому, заменив $P(x_1, x_2, \dots, x_n) \cos \omega t$ через $P(x_1, x_2, \dots, x_n) e^{i\omega t}$, мы можем искать все y_k в виде, $y_k = A_k(x_1, x_2, \dots, x_n) e^{i\omega t}$, где A_k — вещественное число или вещественная функция. Вещественная часть \bar{y}_k равна $y_k = A_k(x_1, x_2, \dots, x_n) \cos \omega t$. Такой же результат мы получили бы, не заменяя выражения внешней силы и разыскивая \bar{y}_k согласно зависимости $y_k = A_k(x_1, x_2, \dots, x_n) \cos \omega t$.

Следовательно, если имеется решение задачи без учета сопротивлений, найденное в вещественной форме $y_k = A_k(x_1, x_2, \dots, x_n) \cos \omega t$, то достаточно учесть факт, что в комплексной форме оно имело бы вид $\bar{y}_k = A_k(x_1, x_2, \dots, x_n) e^{i\omega t}$, затем представить в A_k комплексные жесткости и массы и отдельно вещественную часть от мнимой.

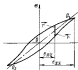
Гипотезы и зависимости для линейных сопротивлений. Внутренние сопротивления, пропорциональные скорости деформаций (гипотеза Фохта), возникают тогда, когда зависимость между напряжениями и деформациями с учетом рассеивания энергии имеет вид,

$$\sigma = Ee_{xx} + \varepsilon E \frac{\partial e_{xx}}{\partial x}, \quad (3.51)$$

где e_{xx} — относительное удлинение; ε — коэффициент сопротивления. Если упругое тело совершает гармонические колебания, то зависимость (3.51) даст эллиптическую петлю гистерезиса, которую говорят, на более сложной диаграмме $\sigma - e_{xx}$ (рис. 3.25). Площадь, заключенная внутри этой петли, выражает рассеивание энергии за цикл колебаний.

Однако в ряде случаев оказывается, что силы неупругих сопротивлений не зависят от скорости деформаций. Е. С. Сорокин [35]rationально изменил гипотезу Фохта, предложив считать, что силы сопротивления пропорциональны первой степени самой деформации,

Рис. 3.25.



т. е. форма петли при изменении e_{xx} по синусоидальному закону остается эллиптической.

$$\sigma = Ee_{xx} + \varepsilon_1 E e_{xx} \sqrt{1 - \frac{e_{xx}^2}{e_{max}^2}}, \quad (3.52)$$

где ε_1 — коэффициент сопротивления; e_{max} — амплитуда деформации.

Для гармонических колебаний гипотезы Сорокина и Фохта формально тождественны друг другу. Пусть $e_{xx} = e_{0,xx} \sin(\omega t + \theta)$. Тогда

$$\begin{aligned} \frac{\partial e_{xx}}{\partial t} &= \omega e_{0,xx} \cos(\omega t + \theta) = \omega e_{0,xx} \sqrt{1 - \sin^2(\omega t + \theta)} = \\ &= \omega e_{0,xx} \sqrt{1 - \frac{e_{xx}^2}{e_{max}^2}}. \end{aligned}$$

Следовательно,

$$\begin{aligned} \sigma &= Ee_{0,xx} + \varepsilon_1 E e_{0,xx} \sqrt{1 - \frac{e_{xx}^2}{e_{max}^2}} = Ee_{0,xx} + \frac{\varepsilon_1 E}{\omega} \frac{\partial e_{xx}}{\partial t} = \\ &= Ee_{0,xx} + \varepsilon E \frac{\partial e_{xx}}{\partial t}, \end{aligned} \quad (3.53)$$

где $\varepsilon = \varepsilon_1/\omega$ — коэффициент сопротивления в гипотезе Фохта.

Из (3.53) ясно, что при гармоническом колебании силы сопротивления по гипотезе Сорокина равны силам упругости, умноженным на коэффициент ε_1 и сдвинутым по фазе на $\pi/2$.

Математическая тождественность гипотез Фохта и Сорокина при гармонических колебательных процессах дает возможность использовать в обоих случаях один и тот же решения. В частности, при учете сопротивления по гипотезе Сорокина можно использовать комплексную форму уравнений, полагая жесткости системы равными $C_b = C_b(1 + i\varepsilon_{1b})$, где C_b — вещественная жесткость; ε_{1b} — коэффициент сопротивления, отвечающий этой жесткости. Если в системе имеются внутренние сопротивления, часть из которых подчиняется гипотезе Фохта, а часть — гипотезе Сорокина, то $\bar{C}_b = C_b(1 + i\varepsilon_{1b} + i\varepsilon_{2b})$.

В заключение заметим, что введение комплексных модулей и жесткостей при наличии сопротивлений по гипотезе Сорокина позволяет учитывать указанные сопротивления и в случае любых законов изменения ε (сложные циклические и неустойчивые режимы). Это непосредственно вытекает из разложения произ-

вольной деформации в ряд (или интеграл) Фурье.¹ Пусть $\epsilon_{\text{вн}}(t) = -\sum_k \epsilon_{k,\text{вн},k} \sin(\omega_k t + \theta_k)$. Тогда, исходя из (3.52), имеем

$$\begin{aligned}\sigma(t) &= E\epsilon_0 + E\epsilon_1 \sum_k \epsilon_{k,\text{вн},k} \sqrt{1 - \frac{\epsilon_{k,\text{вн},k}^2}{\epsilon_{k,\text{вн},k}^2}} = \\ &= E \sum_k \epsilon_{k,\text{вн},k} \sin(\omega_k t + \theta_k) + E\epsilon_1 \sum_k \epsilon_{k,\text{вн},k} \cos(\omega_k t + \theta_k) = \\ &= E \sum_k \epsilon_{k,\text{вн},k} \sin(\omega_k t + \theta_k) + E\epsilon_1 \sum_k \frac{1 - \partial[\epsilon_{k,\text{вн},k} \sin(\omega_k t + \theta_k)]}{\partial t}.\end{aligned}$$

Если перейти к комплексной записи и заменить $\epsilon_{\text{вн}}$ рядом $\bar{\epsilon}_{\text{вн}} = \sum_k \bar{\epsilon}_{k,\text{вн},k} e^{i\omega_k t}$, то $\sigma = (1 + \epsilon_1) E \sum_k \bar{\epsilon}_{k,\text{вн},k} e^{i\omega_k t} = (1 + \epsilon_1) E\bar{\epsilon}_{\text{вн}}$, что и доказывает вышеупомянутое утверждение.

Применим комплексную форму уравнений для произвольного режима, необходимо представить в комплексной форме и возмущающую силу. Для этого следует разложить $f(t)$ в ряд (или интеграл) Фурье $f(t) = \sum f_m \cos(\omega_m t + \theta_m)$ и заменить ее комплексной формой.

При сопротивлениях, пропорциональных скоростям деформаций, не удается ввести единый комплексный модуль в случае произвольных режимов, так как каждая гармоника деформации имеет свою членную часть модуля $k_{\text{вн}}$. Однако можно применить различные комплексные модули, определяющие движение под действием каждой составляющей внешней силы в отдельности.

Если система совершает свободные колебания, то при сопротивлениях, по гипотезе Сорокина учет последних может быть произведен за выделением комплексного модуля (вообще, комплексных жесткостей). При сопротивлениях по гипотезе Фехнера этого, строго говоря, делать нельзя, так как свободное затухающее колебание не есть гармонический процесс. Но при не очень больших сопротивлениях каждый цикл колебания блоков в гармоническом, поэтому с большой степенью точности можно вводить для учета сопротивлений комплексный модуль (жесткость) $\tilde{E} = E(1 + \delta_E t)$, где δ_E — частота рассматриваемого тона.

§ 16. Распространение местной вибрации корпусных конструкций вдоль ребер жесткости или пластин обшивки

I. Постановка задачи. Сведем к анализу колебаний полубесконечной неразрезной балки. В § 15 основными принципами

¹ Предполагается, что закон замедления деформаций подчиняется уравнению Дарси.

возникновения местной вибрации вдали от зонтов и других источников возмущающих сил были названы общая вибрация корпуса, инициирующая довольно большое гидродинамическое давление от кирисоединенных масс воды для судна в целом, и силы инерции перевесного движения отдельных конструктивных элементов. Однако там не была проанализирована возможность распространения вибрации в нос и корму от зонта по ребрам жесткости (и случае продольной системы набора) или по обшивке (а случае поперечной системы). Продолжим теперь этот анализ с учетом указанной мож-

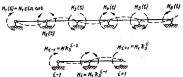


Рис. 3.26.

можности, причем используем принцип разложения реакций, который позволит нам рассмотреть новый вид вибрации ребер в плавстве независимо от вибрации, исследованной в § 13.

Ребра жесткости или пластины можно представить как полу бесконечные деревянные балки (рис. 3.26), загруженные за свободном конце периодическим моментом частоты ω ; в массу балок должны быть зачтены соответствующие присоединенные массы жидкости. Премы, что относение момента на i -й опоре к моменту на $(i-1)$ -й опоре — постоянная величина k , не зависящая от i . Пусть отношение $M_1/M_2 = k_1$. Отбросив первый промежуток, мы снова приходим к полу бесконечной балке, откуда, по-видимому, M_3/M_2 также равно k и т. д.

Рассматривая уравнение колебаний шарнирно-подвижной балки под действием концевого гармонического момента с частотой ω и применяя для учета сопротивлений комплексную форму, за условию сопряжения углов поворота на опоре i получим

$$\begin{aligned}-\frac{M_1 A_b^{i-2}}{EI} \psi''(x) + \frac{M_1 A_b^{i-1}}{EI} \psi'(x) - \\ -\frac{M_1 A_b^i}{EI} \psi(x) + \frac{M_1 A_b^{i+1}}{EI} \psi(x),\end{aligned}$$

где EI — квадратная жесткость балки;

$$\Psi = \frac{-\operatorname{ctg}(\alpha) + \operatorname{ctg}(\alpha)}{2\pi}; \quad \psi = \frac{-\cos(\alpha) + \cos(\alpha)}{2\pi};$$

$$\alpha = l \sqrt{\frac{m_0 \omega^2}{EI}};$$

m_0 — погонная комплексная масса балки.

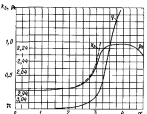


Рис. 3.27.

Отсюда

$$\delta_2^2 + 2k_2\Phi(\alpha) + 1 = 0,$$

$$\Phi(\alpha) = \frac{\operatorname{ch} \alpha \sin \alpha - \operatorname{sh} \alpha \cos \alpha}{\operatorname{sh} \alpha - \operatorname{sin} \alpha}.$$

Допустим, что $\alpha = \alpha - i\delta$. Тогда

$$\Phi(\alpha) = \frac{[\operatorname{B}(\alpha) \operatorname{ch} \delta \cos \delta - \operatorname{A}(\alpha) \operatorname{sh} \delta \sin \delta] + i[\operatorname{B}(\delta) \operatorname{ch} \alpha \cos \alpha - \operatorname{A}(\alpha) \operatorname{sh} \alpha \sin \alpha]}{(\operatorname{sh} \alpha \cos \delta - \operatorname{sin} \alpha \operatorname{ch} \delta) - i(\operatorname{sh} \alpha \sin \delta - \operatorname{sh} \delta \cos \alpha)};$$

$$\operatorname{A}(\alpha) = \operatorname{ch} \alpha \operatorname{sin} \alpha + \operatorname{sh} \alpha \cos \alpha; \quad \operatorname{B}(\alpha) = \operatorname{ch} \alpha \operatorname{sin} \alpha - \operatorname{sh} \alpha \cos \alpha.$$

На рис. 3.27 склонными линиями представлены графики аргумента ψ и модуля $|k_2|$ коэффициента k_2 в случае, когда коэффициент рассеивания энергии за цикл колебаний $\psi = 0,25$ (под ψ понимают отношение потерь энергии за цикл колебаний к энергии цикла). Значение $\alpha = \alpha$ соответствует совпадению частоты возмущающей силы ω с частотой λ_1 первого тона свободных колебаний любого пролета в предположении его широкого олипрации (частота первого тона всей нерезонансной балки). Легко убедиться, что если $\omega/\lambda_1 \leq 0,9$, то увеличение опорных моментов (а следовательно, и амплитуд перемещений) по длине балки происходит весьма быстро. Например, в случае $\omega/\lambda_1 = 0,9$ момент на пятой опоре в де-

сять раз меньше, чем на первой; при $\omega/\lambda_1 = 0,75$ десеткратное уменьшение будет уже на четвертой опоре; если $\omega/\lambda_1 = 0,5$, то уменьшение будет на третьей опоре. При зарезонансных частотах $\omega/\lambda_1 > 1,0$ затухание вибрации может происходить гораздо медленнее.

Отсюда следует важный практический вывод: частоты свободных колебаний ребер жесткости (при продольной системе набора) и пластины (при поперечной системе набора) не следует выходить в зарезонансную область.

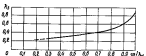


Рис. 3.28.

Пунктирной линией на рис. 3.27 показано абсолютное значение вещественного коэффициента k_2 , при отсутствии сопротивлений. Более подробно характер изменения k_2 в этом последнем случае показан на рис. 3.28. В определенных областях изменения α значения k_2 становятся комплексными, что противоречит физике явления, поскольку при отсутствии сопротивлений нет и сдвиги фаз между внутренними усилиями. Следовательно, при заданной частоте ω (данном α) в балке без сопротивлений не происходит равномерного затухания моментов и принятая выше форма решения не может быть использована. Но тогда нельзя определять вынужденные установившиеся колебания.

Пусть при устанавливающемся колебании $M_2/M_1 = k_{20}$, в $M_2/M_2 = -k_{20}$ — прием $k_{20} \neq k_{10} \neq 0$. Отсюда первый слева пролет, сквозь приходящий к полубесконечной балке, загруженной на конце внешним гармоническим моментом с частотой ω . Однако у новой балки отношение первого момента ко второму равно k_{10} . Следовательно, и у первой балки также должна существовать «единутая на один пролет» форма, при которой $M_2/M_1 = k_{20} \neq k_{10}$. Но наличие хотя бы двух равноправных форм создает существование бесконечно большого их множества. Разделены момент M_1 на два момента: $M_1^{(0)}$ и $M_1^{(1)}$. Согласно принципу наложения, момент $M_1^{(1)}$ может вызвать установленные колебания по первой форме, момент $M_1^{(0)}$ — по второй. Результирующая форма представляет сумму обеих форм. Соотношение между $M_1^{(0)}$ и $M_1^{(1)}$ совершенно произвольно, поэтому может быть бесконечно много результатирующих равноправных форм.

Появление неопределенных решений и бесконечного множества форм вынужденных колебаний полубесконечной балки без сопротивлений при некоторых высотах частотах объясняется математически неопределенностью ее граничных условий на бесконечно заложенном конце. Физически это обстоятельство связано с наличием у разрезанных балок обертона, форма которых разделяется на чередующиеся участки, охватывающие несколько пролетов. Если частота «базика» или даже совпадает с собственной частотой какого-либо из этих обертонов, то решение будет неопределенным.

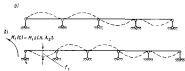


Рис. 3.29.

Рассмотрим вибрацию балки со сколь угодно большими, но четным числом пролетов при частоте момента M_1 , равной и $= \lambda_2 = -\frac{3.92}{\pi} \sqrt{\frac{EI}{m_0}}$. Эта частота представляет собой собственную частоту пролета, как жестко закрепленного на одном конце и свободно сидящего на другом. Очевидно, что разрезанная балка имеет обертоны, форма которого изображена на рис. 3.29, а, и, следовательно, амплитуды ее вынужденных колебаний при отсутствии сопротивлений будут бесконечно большими.

Добавим к этой балке один пролет. Она будет вибрировать с новыми амплитудами по форме, представленной на рис. 3.29, б. Угол поворота сечения на левом конце равен нулю. Каждый пролет изгибается, как жестко заданный одним концом и свободно опирый другим; стрелка f_1 определяется из условия, что максимальный изгибающий момент на конце пролета равен M_1 . Увеличен до бесконечности число пролетов, будем получать попеременно то конечные, то бесконечные амплитуды; определенного предела амплитуд здесь нет.

При наличии сколь угодно малых сопротивлений указанный парадокс как будто бы исчезает, так как граничные условия на бесконечно далеком конце становятся вполне определенными (нульевые). Мы имеем определенное комплексное значение λ_2 . Тем не менее и здесь нельзя гарантировать однозначность решения, так как кроме нашего решения в принципе всегда возможно еще хотя бы одно решение, где периодичность затухания имеет период $n \neq 1$ пролетов (а значит, имеются и бесконечно много решений).

Мы встретили пример линейной краевой задачи со многими решениями. Для ее достаточной обусловленности нужно рассмотреть дополнительные физические условия устойчивости и установления процесса колебаний. Впрочем, поскольку мы рекомендуем осваивать ребра и пластины в дюрэонянской области, отмеченная неединственность представлена только теоретическим интересом.

2. Случай балки с конечной длиной. Оценка распространения вибрации в корму от антена может быть произведена на основе исследования вибрации балки с конечным числом пролетов. Чтобы рассчитать эту балку, продолжим ее мысленно вправо до бесконечности. Тогда, согласно предыдущему, момент, действующий на j -й опоре, будет равен $M_1 k_j^{n-1}$, в частности, на n -й опоре составит $M_1 k_n^{n-1}$. В действительности последний момент равен нулю.

Чтобы уточнить решение, приложим на n -й опоре противоположный момент $-M_1 k_n^{n-1}$, мысленно продолжим балку до бесконечности влево, найдем дополнительные изгибающие моменты в этом случае. Дополнительный момент на j -й опоре будет $-M_1 k_j^{n-1} k_{j+1}^{n-1} = -M_1 k_j^{2n-j-1}$, а на первой опоре $-M_1 k_1^{2n-2}$. Продолжая уточнение, можно приложить на первой опоре противоположно направленный момент и снова рассмотреть полубесконечную балку.

Точное значение опорного момента на j -й опоре будет равно сумме прогрессии

$$M_j := M_1 (k_1^{2n-2} - k_j^{2n-j-1}) \frac{1}{1 - k_n^{2n-2}}.$$

Общие выводы о характере затухания вибрации остаются теми же, что и в случае полубесконечной балки.

§ 17. Свободные колебания и главные координаты упругих систем с линейными сопротивлениями

1. Отсутствие (в общем случае) постоянных форм колебаний. Еще Рэлея показал, что внешние линейные сопротивления, пропорциональные скорости перемещений, изменяют в общем случае форму свободных колебаний линейных упругих систем и нарушают независимость этих колебаний друг от друга, т. е. линейная упругая система с такими сопротивлениями не может быть, вообще говоря, рассчитана обычными методами главных координат. Он же сформулировал специальное условие, при котором изменение формы и сдвигивание свободных колебаний не происходит, а следовательно, метод главных координат остается в силе.

В ряде современных работ утверждается, что внутренние линейные сопротивления, пропорциональные скоростям деформаций

или симии деформациям, не изменяют формы свободных колебаний и что расчет линейной упругой системы (например, стержня) всегда можно производить путем разложения деформаций по этим независимым формам, найденным без учета сопротивлений. Однако указанное утверждение, как и в случае внешних сопротивлений, справедливо лишь при специальных условиях.

В качестве простейшего примера, который показывает связывание свободных колебаний вследствие наличия внутренних сопротивлений, рассмотрим деформации прямолинейной балки, уп-

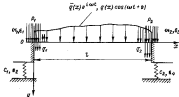


Рис. 3.30.

руго заделанной и упруго опертой на концах (рис. 3.30). Уравнение движения имеет вид

$$EI \frac{\partial^4 w}{\partial x^4} + \varepsilon EI \frac{\partial^2 w}{\partial x^2 t} + m_0 \frac{\partial^2 w}{\partial t^2} = q(x) \cos \omega t, \quad (3.54)$$

где EI — жесткость балки; m_0 — ее погонная масса; ε — коэффициент сопротивления; $w = w(x, t)$ — прогиб. В случае сопротивлений, пропорциональных деформациям, необходимо ввести коэффициент сопротивления $a_2 = \varepsilon/\omega$.

Прогиб балки можно задать выражением

$$w = \sum_{n=1}^{\infty} \varphi_n(x) F_n(t), \quad (3.55)$$

где $\varphi_n(x)$ — форма главных свободных колебаний без учета сопротивлений, отвечающая уравнению

$$\varphi_n^{IV} - \frac{m_0 \omega_n^2}{EI} \varphi_n = 0, \quad (3.56)$$

ω_n — частота свободных колебаний.

Наконец, интегрированием подстановкой нетрудно показать, что (3.55) разделяет переменные в (3.54). Однако уравнения (3.54) и (3.56)

имеют различные краевые условия, поэтому такая подстановка, вообще говоря, незаконна. В самом деле, для (3.54) имеем: при $x = 0$

$$EI \frac{\partial^2 w}{\partial x^2} + \varepsilon EI \frac{\partial^2 w}{\partial x^2 t} = A_1 \frac{\partial w}{\partial x} + a_2 A_1 \frac{\partial^2 w}{\partial x^2}; \quad (3.57)$$

$$EI \frac{\partial^2 w}{\partial x^2} + \varepsilon EI \frac{\partial^2 w}{\partial x^2 t} = -(C_1 w + a_2 C_1 \frac{\partial w}{\partial t}),$$

при $x = l$

$$EI \frac{\partial^2 w}{\partial x^2} + \varepsilon EI \frac{\partial^2 w}{\partial x^2 t} = -(A_2 \frac{\partial w}{\partial x} + a_2 A_2 \frac{\partial^2 w}{\partial x^2}); \quad (3.57a)$$

$$EI \frac{\partial^2 w}{\partial x^2} + \varepsilon EI \frac{\partial^2 w}{\partial x^2 t} = C_2 w + a_2 C_2 \frac{\partial w}{\partial t},$$

где A_1, C_1 — жесткости упругих заделок и опор; a_2 — коэффициенты сопротивлений в заделках и опорах.

Соответственно для (3.56) при $x = 0$

$$EI \frac{\partial^2 w}{\partial x^2} = -C_1 w; \quad EI \frac{\partial^2 w}{\partial x^2} = A_1 \frac{\partial w}{\partial x}; \quad (3.58)$$

при $x = l$

$$EI \frac{\partial^2 w}{\partial x^2} = C_2 w; \quad EI \frac{\partial^2 w}{\partial x^2} = -A_2 \frac{\partial w}{\partial x}. \quad (3.58a)$$

Чтобы сделать подстановку (3.55) законной, нужно преобразовать (3.57) в виду: при $x = 0$

$$EI \frac{\partial^2 w}{\partial x^2} = A_1 \frac{\partial w}{\partial x} + \left(a_2 A_1 \frac{\partial^2 w}{\partial x^2 t} - \varepsilon EI \frac{\partial^2 w}{\partial x^2 t} \right) - A_1 \frac{\partial w}{\partial x} + M_1(w);$$

$$EI \frac{\partial^2 w}{\partial x^2} = -C_1 w + \left(-a_2 C_1 \frac{\partial w}{\partial t} - \varepsilon EI \frac{\partial^2 w}{\partial x^2 t} \right) - C_1 w + P_1(w); \quad (3.59)$$

при $x = l$

$$EI \frac{\partial^2 w}{\partial x^2} = -A_2 \frac{\partial w}{\partial x} + \left(-a_2 A_2 \frac{\partial^2 w}{\partial x^2 t} - \varepsilon EI \frac{\partial^2 w}{\partial x^2 t} \right) = \\ = -A_2 \frac{\partial w}{\partial x} + M_2(w);$$

$$EI \frac{\partial^2 w}{\partial x^2} = C_2 w + \left(a_2 C_2 \frac{\partial w}{\partial t} - \varepsilon EI \frac{\partial^2 w}{\partial x^2 t} \right) = C_2 w + P_2(w). \quad (3.59a)$$

Усилия P_1 и M_1 можно рассматривать как пешкие нагрузки.

Заменим эти усилия распределенными нагрузками (см. рис. 3.30) и запишем

$$EI \frac{\partial^4 w}{\partial x^4} + aEI \frac{\partial^2 w}{\partial x^2} + m_0 \frac{\partial^2 w}{\partial t^2} = q(x) \cos \omega t + \\ + \int_{-\frac{Al}{2}}^{\frac{Al}{2}} P_1(w) - \int_0^x q_1(w) + \int_{x-\frac{Al}{2}}^{x+\frac{Al}{2}} P_2(y) - \int_{-Al}^y q_2(y). \quad (3.60)$$

Подставим (3.55) в (3.60), умножив (3.60) на нормированную функцию $\varphi_n(x)$, а затем интегрировав это произведение вдоль Al к нулю, получим

$$m_0 \ddot{F}_n(t) + a m_0 \lambda_n^2 \dot{F}_n(t) + m_0 \lambda_n^2 F_n(t) = \int_0^x q(x) \cos \omega t \varphi_n(x) dx + \\ + P_1 \varphi_n(0) + P_2 \varphi_n(t) - M_1 \varphi_n'(0) + M_2 \varphi_n(t), \quad (3.61)$$

где

$$P_1 = -aEI \sum_1^n \varphi_n^{(1)}(0) \dot{F}_n - \varepsilon_1 C_1 \sum_1^n \varphi_n(0) F_n;$$

$$P_2 = -aEI \sum_1^n \varphi_n^{(1)}(t) F_n + \varepsilon_1 C_2 \sum_1^n \varphi_n(t) \dot{F}_n;$$

$$M_1 = \varepsilon_1 A_1 \sum_1^n \varphi_n'(0) F_n - aEI \sum_1^n \varphi_n^{(1)}(0) \dot{F}_n;$$

$$M_2 = -\varepsilon_1 A_2 \sum_1^n \varphi_n'(t) F_n - aEI \sum_1^n \varphi_n^{(1)}(t) \dot{F}_n.$$

Как видно из (3.61), переменные уже не разделяются. Разделение переменных происходит лишь в случае равенства коэффициентов сопротивления $\varepsilon = \varepsilon_1 = \varepsilon_2 = \varepsilon_3 = \varepsilon_4$, а также тогда, когда концы балки будут шириной открыты ($C = \infty$, $A = 0$), жестко заделаны ($C = \infty$, $A = \infty$), свободны ($C = 0$, $A = 0$), жестко защемлены ($C = 0$, $A = \infty$).

При выполнении указанных выше условий балка вообще не будет иметь постоянных форм главных свободных колебаний. Рассмотрим консольную балку, упруго заделанную на правом конце. Уравнение свободных колебаний имеет вид

$$EI \frac{\partial^4 w}{\partial x^4} + aEI \frac{\partial^2 w}{\partial x^2} + m_0 \frac{\partial^2 w}{\partial t^2} = 0. \quad (3.62)$$

Решение (3.62) будем искать как произведение

$$w(x, t) = \varphi_n(x) F_n(t), \quad (3.63)$$

где φ_n и F_n — любые вещественные функции.

Чтобы подстановка (3.63) разделила переменные в (3.62), необходимо удовлетворить уравнение

$$\varphi_n^{IV} = \left(\frac{\mu_n}{l}\right)^4 \varphi_n, \quad (3.64)$$

при граничных условиях: $x = 0$

$$\varphi_n = 0, \quad \varphi_n^{II} = 0, \quad (3.65)$$

$x = l$

$$q_n = 0, \quad EI \varphi_n^{II} F_n(l) + aEI \varphi_n^{III} \dot{F}_n(l) = \\ = -A \varphi_n^I F_n(l) - \varepsilon_1 A \varphi_n^I \dot{F}_n(l), \quad (3.65a)$$

где A и ε_1 — соответственно жесткость и коэффициент сопротивления упругой задачи.

Тогда $F_n(t)$ определяется уравнением

$$m_0 \ddot{F}_n(t) + aEI \left(\frac{\mu_n}{l}\right)^4 \dot{F}_n(t) + EI \left(\frac{\mu_n}{l}\right)^4 F_n(t) = 0. \quad (3.66)$$

Подчинив общий интеграл уравнения (3.64) условию (3.65), получим

$$\varphi_n(x) = \sin \mu_n \sin \mu_n \frac{x}{l} - \sin \mu_n \sin \mu_n \frac{x}{l},$$

где μ_n — корень уравнения частот

$$\frac{EI}{l} \frac{2 \sin \mu_n \sin \mu_n}{\sin \mu_n \cos \mu_n - \cos \mu_n \sin \mu_n} = \frac{F_n(0) + \varepsilon_1 F_n(l)}{F_n(l) + \varepsilon_1 F_n(0)}. \quad (3.67)$$

Все вещественные решения (3.66) объединяются общим интегралом

$$F_n(t) = F_{n0} e^{-i \lambda_n t} \cos (\lambda_n t + \theta_n), \quad (3.68)$$

где F_{n0} и θ_n — начальная амплитуда и фаза, λ_n — частота свободных колебаний, δ_n — параметр:

$$\delta_n = \frac{aEI \left(\frac{\mu_n}{l}\right)^4}{2m_0}.$$

Подставив (3.68) в (3.67), получим

$$\frac{F_n(0) + \varepsilon_1 F_n(l)}{F_n(l) + \varepsilon_1 F_n(0)} = \\ = \frac{2^2 (\varepsilon_2 \lambda_n)^2 + (1 - \varepsilon_1 \lambda_n)^2 \sin (\lambda_n l + \theta_n) - \arctg \frac{1 - \varepsilon_1 \lambda_n}{\varepsilon_2 \lambda_n}}{2^2 (\lambda_n)^2 + (1 - \varepsilon_1 \lambda_n)^2 \sin (\lambda_n l + \theta_n) - \arctg \frac{1 - \varepsilon_1 \lambda_n}{\varepsilon_2 \lambda_n}}.$$

Отсюда ясно, что (3.67) неразрешимо, т. е. не одна вещественная функция вида (3.63) не может быть решением (3.62). Исключение представляют случаи, когда $\epsilon = \epsilon_1$, $A = \infty$, $A = 0$.

Выпишем уравнения колебаний прямолинейной балки с учетом сдвига и внутренних сопротивлений:

$$\begin{aligned} EI \frac{\partial^2 w_1}{\partial x^2} + \gamma_0 EI \frac{\partial w_1}{\partial x \partial t} + m_0 \frac{\partial^2 (w_1 + w_2)}{\partial t^2} - q(x) \cos \omega t; \\ GJ \frac{\partial^2 w_2}{\partial x^2} + c_2 GJ \frac{\partial^2 w_2}{\partial x \partial t} - m_0 \frac{\partial^2 (w_1 + w_2)}{\partial t^2} = -q(x) \cos \omega t, \quad (3.69) \end{aligned}$$

где GJ — жесткость балки из сдвиг; w_1 и w_2 — прогибы балки от изгиба и сдвига; c_2 и γ_0 — коэффициенты сопротивлений при изгибе и сдвиге.

Непосредственной подстановкой легко установить, что функции вида $w_1 = \varphi_{n1}(x) F(t)$ и $w_2 = \varphi_{n2}(x) F(t)$, где φ_{n1} и φ_{n2} — изгибы и сдвиговые составляющие форм свободных колебаний балки без учета сопротивлений, разделяют переменные в (3.69) только при условии $\epsilon_1 = \epsilon_2$ (независимо от различия в граничных условиях для (3.69) и уравнений свободных колебаний).

Обобщение теоремы Релея. Чтобы разобраться с вопросом о влиянии произвольных линейных сопротивлений на динамические деформации линейных упругих систем, рассмотрим физическую сущность разложения этих деформаций по формам свободных колебаний.

Пусть определены главные свободные колебания произвольной упругой системы без учета сопротивлений. Как показано ранее, это означает, что:

найдены такие формы $\varphi_n(x, y, z)$, при которых внешняя статическая нагрузка вида $P_{\text{вн}}(x, y, z) \varphi_n(x, y, z)$ вызывает деформации вида $\alpha_n \varphi_n(x, y, z)$. Здесь $m(x, y, z)$ — масса системы; соотношения $P_n \varphi_n = k_n$ определяют, по существу, частоты свободных колебаний;

формы φ_n и φ_m ортогональны с вектором, т. е.

$$\int \limits_0^l m v_n \varphi_m dv = 0 \quad \text{при } n \neq m, \quad (3.70)$$

где v — объем упругой системы;

должно выполняться равенство

$$\int \limits_v \Phi_n(\varphi_n) \varphi_m dv = 0, \quad (3.71)$$

где $\Phi_n(\varphi_n)$ — силы упругости, возникающие при деформации системы по форме φ_n . Равенства (3.70) и (3.71) выражают условие независимости колебаний по формам φ_n .

Пусть на систему действует произвольная нагрузка $p(x, y, z) f(t) = \sum P_n p_n(t)$, причем движение системы вызывает произвольные внешние и внутренние линейные сопротивления. Под произвольным внешним (внутренним) линейным сопротивлением будем понимать такое сопротивление, которое выражается произвольной линейной функцией относительно перемещений (деформаций) системы и любых производных от них по времени. Предположим, что под действием силы $P_n p_n(t) f(t)$ система движется согласно зависимости $\varphi_n(x, y, z) \psi(t)$. В этом случае на элементы системы действуют следующие усилия:

внешние нагрузки

$$p_n m(x, y, z) \varphi_n(x, y, z) f(t);$$

сила инерции

$$m(x, y, z) \varphi_n(x, y, z) \ddot{\psi}(t);$$

сила упругости

$$\Phi_n(\varphi_n) \psi(t);$$

сила внешних сопротивлений

$$v(x, y, z) \varphi_n(x, y, z) R(\psi, \dot{\psi}, \dots, \psi^{(N)}),$$

где v — коэффициент внешних сопротивлений, R — какая-то функция от t ;

сила внутренних сопротивлений

$$s(x, y, z) \Phi_n(\varphi_n) r(\psi, \dot{\psi}, \dots, \psi^{(N)}),$$

где s — коэффициент внутренних сопротивлений, r — функция от t .

Первые три силы всегда соответствуют деформациям системы по форме φ_n , поэтому они не могут исказить ее. Силы сопротивлений в общем случае не соответствуют деформациям по этой форме, следовательно, они будут искажать форму φ_n . Для того чтобы и они соответствовали деформациям по форме φ_n , необходимо иметь $v(x, y, z) = k m(x, y, z)$, где k — некоторый постоянный коэффициент, а $s(x, y, z) = \text{const}$.

Таким образом, доказана теорема: деформации линейной упругой системы с произвольными внешними и внутренними линейными сопротивлениями могут быть разложены по независимым формам главных свободных колебаний, найденным без учета сопротивлений, в том и только в том случае, когда коэффициенты внешних сопротивлений произвольны и каждая точка масс этой системы, а коэффициенты внутренних сопротивлений в каждой линии системы равны одному и тому же положительному значению. Указанные выше примеры хорошо иллюстрируют сформулированное утверждение.

Если это условие не выполняется, а система имеет сопротивления, пропорциональные перемещениям и деформациям (гипотеза Сорозана) или скоростям перемещений и деформаций (гипотеза Фокса), то можно использовать метод главных координат в несколько обобщенной форме. Упрощением свободных и вынужденных колебаний таких систем можно представить тот же вид, который имеют уравнения без учета сопротивлений, если вместо комплекс-

ные модули упругости, массы и возмущающие силы. После этого уравнения можно решать общими приемами, и лишь в окончательном результате необходимо произвести разделение вещественной и комплексной частей.

Отсюда ясно, что можно рассматривать комплексные формы уравнений свободных колебаний, которые являются чисто аналитическими обобщениями обычных форм и могут быть получены как решения соответствующих однородных дифференциальных уравнений с комплексными коэффициентами. Свободные колебания системы будут происходить при постоянстве менингющей реальной формы, но через период колебаний реальная форма начнет повторяться. Зависимости метода главных координат будут иметь не только комплексные функции времени, но и комплексные формы деформаций.

§ 18. Важность динамических деформаций

1. П р о з в о л ь ж а я н а г р у з к а

Ниже будет неоднократно использоваться начало взаимности динамических деформаций, которое может быть сформулировано следующим образом.¹

Пусть мы имеем линейную механическую систему с линейными сопротивлениями, для которой справедлив метод главных координат (хотя бы в комплексной форме), и пусть на нее в точке A_1 действует произвольная обобщенная возмущающая сила $P_{A_1}f(t)$, а в точке A_2 — другая обобщенная возмущающая сила $P_{A_2}f(t)$, причем P_{A_1} и P_{A_2} могут иметь различный характер. Если обобщенная сила $P_{A_1}f(t)$, приложенная в точке A_1 , вызывает обобщенное перемещение в точке A_2 , соответствующее обобщенной силе $P_{A_2}f(t)$ и равное $P_{A_2}A_{1,2}P_{A_1}f(t)$, то обобщенная сила $P_{A_2}f(t)$, приложенная в точке A_2 , вызывает в точке A_1 обобщенное перемещение, соответствующее обобщенной силе $P_{A_1}f(t)$ и равное $P_{A_1}A_{2,1}P_{A_2}f(t) = P_{A_1}A_{2,1}f(t)$.

Иными словами, если обозначить через $\delta_{A_1,2}^{A_2}f(t)$ коэффициент податливости системы в точке A_1 по отношению к обобщенному перемещению [соответствующему силе $P_{A_2}f(t)$] от действия силы $P_{A_2}f(t)$, а через $\delta_{A_2,1}^{A_1}f(t)$ коэффициент податливости системы в точке A_2 по отношению к обобщенному перемещению [соответствующему силе $P_{A_1}f(t)$] от действия силы $P_{A_1}f(t)$, то $\delta_{A_1,2}^{A_2}f(t) = \delta_{A_2,1}^{A_1}f(t)$.

Докажем сначала указанное положение для случая отсутствия сопротивлений. Будем искать динамические деформации методом

¹ Для случаев статических деформаций формулировка и доказательство начала взаимности содержатся во многих курсах строительной механики. Его обобщение на область динамики излагается таким образом в магистратуре и акустике. Важно приведены изысканные формулировки и доказательство начала взаимности применительно к упругим механическим системам.

главных координат, предварительно определив форму главных свободных колебаний системы $\varphi_n(x, y, z)$, принадлежащие к точке A_n с координатами (x_n, y_n, z_n) , т. е. положения $\varphi_n(x_1, y_1, z_1) = 1,0$. Пусть приведенная масса, соответствующая φ_n , ранга n_{φ_n} , а приведенная жесткость ранга C_{φ_n} . Легко видеть, что сформулированное начало справедливо для движения по любой форме, а следовательно справедливо вообще.

Пусть перемещение в точке A_1 , соответствующее силе $P_{A_1}f(t)$, при деформации системы по форме 1- $\varphi_n(x, y, z)$ равно $\delta_{A_1,n}$, а перемещение в точке A_2 , соответствующее силе $P_{A_2}f(t)$, при той же деформации системы равно $\delta_{A_2,n}$. При действии силы $P_{A_2}f(t)$ обобщенная сила составляет $P_{A_2}\delta_{A_1,n}f(t)$ и уравнение движения точки приведет к виду

$$m_{A_2}^n \ddot{\varphi}_n + C_{A_2}^n \dot{\varphi}_n - P_{A_2}\delta_{A_1,n}f(t) = 0, \quad (3.72)$$

где w — перемещение точки приведения.

Решение уравнения (3.72) всегда можно представить в виде

$$w(t) = P_{A_2}\delta_{A_1,n}F(t), \quad (3.73)$$

определенное функцию $F(t)$. Следовательно, перемещение точки A_1 , соответствующее силе $P_{A_1}f(t)$, определяется как

$$w(t) = P_{A_1}\delta_{A_2,n}^2 F(t), \quad (3.74)$$

а перемещение точки A_2 , соответствующее силе $P_{A_2}f(t)$, как

$$w(t) = P_{A_2}\delta_{A_1,n}F(t). \quad (3.75)$$

Приложим теперь силу $P_{A_1}f(t)$ в точке A_2 . Согласно сказанному выше, очевидно, что обобщенная сила ранга $P_{A_1}f(t)$ $\delta_{A_2,n}$ и уравнение движения системы можно записать в виде

$$m_{A_1}^n \ddot{\varphi}_n + C_{A_1}^n \dot{\varphi}_n - P_{A_1}\delta_{A_2,n}f(t) = 0. \quad (3.76)$$

Решение уравнения (3.76) с учетом (3.72) и (3.73) будет

$$w(t) = P_{A_1}\delta_{A_2,n}F(t). \quad (3.77)$$

Отсюда перемещение точки A_1 составит

$$w(t) = P_{A_1}\delta_{A_2,n}^2 F(t), \quad (3.78)$$

а перемещение точки A_2

$$w(t) = P_{A_2}\delta_{A_1,n}F(t). \quad (3.79)$$

Сравнив (3.79) и (3.75), видим, что положение доказано.

Дополнительно для случая линейных сопротивлений можно получить непосредственно, если использовать метод главных координат в комплексной форме. Введя комплексные жесткости, мы сведем уравнение движения к виду (3.72) и (3.76), т. е. получим решения, ничем не отличающиеся по форме от (3.75) и (3.79). Тождественность их означает равенство их вещественных и минимых частей, т. е. конечных результатов.

2. Гармоническая нагрузка. В частном случае гармонической возмущающей силы удобно использовать следующие формулировки начала взаимности.

Пусть имеется производящая линейная механическая система с линейными сопротивлениями и пусть на нее в точке A_1 действует возмущающая сила $P_1 \cos(\omega t + \theta_1)$, а в точке A_2 — другая обобщенная возмущающая сила $P_2 \cos(\omega t + \theta_2)$, причем P_1 и P_2 могут иметь различный характер. Если обобщенная сила $P_1 \cos(\omega t + \theta_1)$ вызывает обобщенное перемещение в точке A_2 , соответствующее обобщенной силе $P_2 \cos(\omega t + \theta_2)$ и равное $P_2 \delta_{2,1}$ ($\cos(\omega t + \theta_2 + \delta_{2,1})$), то обобщенная сила $P_2 \cos(\omega t + \theta_2)$ вызывает обобщенное перемещение в точке A_1 , соответствующее обобщенной силе $P_1 \cos(\omega t + \theta_1)$ и равное $P_1 \delta_{1,2} \cos(\omega t + \theta_1 + \delta_{1,2})$, причем $\delta_{1,2} = \delta_{2,1}$.

Иными словами, если сила $P_2 \delta^{(m)}_{A_2 A_1}$, приложенная в точке 1, вызывает в точке 2 перемещение $\bar{P}_1 \delta^{(m)}_{A_1 A_2}$, соответствующее силе $\bar{P}_1 \delta^{(m)}$, то сила $\bar{P}_2 \delta^{(m)}$, приложенная в точке 2, вызывает в точке 1 перемещение $\bar{P}_1 \delta^{(m)}_{A_1 A_2}$, соответствующее силе $\bar{P}_2 \delta^{(m)}$, причем $\bar{P}_2 \delta_{A_2 A_1} = \bar{P}_1 \delta_{A_1 A_2}$.

Изложенные выше доказательства получены на основе метода главных координат, поэтому, строго говоря, применимы лишь к тем линейным системам, которые можно рассчитывать этим методом (хотя бы вместе с приемом выделения статических членов). Ниже будут приведены примеры линейных систем, где полезно применять метод главных координат, ни теорему взаимности.

§ 19. Взаимодействие общей и местной вибрации судового корпуса

Увеличение частоты вибрации гребных винтов, повышение массости главных колоннажей, снижение жесткости конструкций, как результат использования высокопрочных материалов, и другие факторы нередко вызывают значительную вибрацию корпуса современных судов. При этом зачастую наблюдается взаимодействие общих колебаний корпуса и местных колебаний отдельных короткоголовых конструкций (особенно движущихся перекрытий). Отсюда очевидна необходимость разработки соответствующих методов расчета.

1. Расчетная схема. Корпус судна вместе с движущимися перекрытиями можно привести к системе, представляемой на рис. 3.31. Верхняя балка имитирует корпус, нижняя — продольные балки движущихся перекрытий, соединенные с корпусом переборками. Упругое основание образуется флагами.

Введем обозначения: N_A , M_A — перерезывающая сила и изгибающий момент; v_A , φ_A — прогиб и угол поворота; $I_A = I_A(x)$, $Q_A = Q_A(x)$ — момент инерции и приведенная площадь сечения;

k — жесткость упругого основания; ω — частота возмущающей силы; m_1 — погонная масса корпуса без учета присоединенных масс воды и масс перекрытий; r_2 — ее радиус инерции; m_2 — погонная масса перекрытий с учетом присоединенной массы воды при общих колебаниях корпуса; \bar{m}_2 — приведенная погонная масса

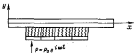


Рис. 3.31.

перекрытия при его изгибе относительно корпуса вместе с присоединенной массой воды для этого движения; $m_2 r^2$ — момент инерции масс продольных балок перекрытий; индекс $l = 2$ означает верхней балки, индекс $l = 3$ — нижней.

Все массы и жесткости в дальнейшем считаются комплексными, что позволяет учесть внешние и внутренние сопротивления.

Возможность различного учета взаимодействия между конструкцией и жидкостью для общей и местной вибраций судна обуславливается линейностью соответствующих соотношений гидродинамики.

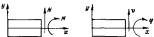


Рис. 3.32.

Составим исходные уравнения задачи, используя квазистатическую аналогию, и будем рассматривать лишь амплитудные значения всех исходных величин.

Примем положительные направления внутренних усилий и перемещений в соответствии с рис. 3.32. Тогда уравнения равновесия и геометрические соотношения (с учетом соотношений упругости) примут вид

$$\frac{dN_A}{dx} = -m_1 \omega^2 v_A + k(v_2 - v_1); \quad \frac{dM_A}{dx} = N_1 - m_2 \bar{r}^2 \varphi_A;$$

$$\frac{dM_2}{dx} = -m_2 \omega^2 v_1 - (\bar{m}_2 \bar{r}^2 - k)(v_1 - v_2); \quad (3.80a)$$

$$\begin{aligned} \frac{dM_3}{dx} &= N_3 - m_3 p_3^2 \omega^2 \Psi_3; \\ \frac{du_1}{dx} &= -\frac{N_1}{EI_1} - \Psi_1; \quad \frac{du_2}{dx} = -\frac{N_2}{EI_2}; \\ \frac{du_3}{dx} &= -\frac{N_3}{EI_3} - \Psi_3; \quad \frac{du_4}{dx} = -\frac{N_4}{EI_4}. \end{aligned} \quad (3.806)$$

Общий алгоритм вывода уравнений парциальных отклонов изложен выше. Окончательный вид уравнений отклонов удобно записать в матричной форме:

$$\frac{dA_{ij}}{dx} = (U_{ij}) + (A_{ij})(q_{ij}), \quad (3.81)$$

где (A_{ij}) — матрица парциальных отклонов; матрицы (q_{ij}) , (U_{ij}) имеют вид

$$(q_{ij}) = \left| \begin{array}{c} m_1 \omega^2 A_{11} - k(A_{11} - A_{21}) \\ -1 + m_1 p_1^2 \omega^2 A_{21} \\ m_2 \omega^2 A_{11} + (\bar{m}_2 \omega^2 - k)(A_{31} - A_{11}) \\ m_1 p_1^2 \omega^2 A_{31} \\ \\ m_1 \omega^2 A_{12} - k(A_{12} - A_{22}) \\ m_1 p_1^2 \omega^2 A_{22} \\ m_2 \omega^2 A_{12} + (\bar{m}_2 \omega^2 - k)(A_{32} - A_{12}) \\ m_1 p_1^2 \omega^2 A_{32} \\ \\ m_1 \omega^2 A_{31} - k(A_{31} - A_{21}) \\ m_1 p_1^2 \omega^2 A_{21} \\ m_2 \omega^2 A_{31} + (\bar{m}_2 \omega^2 - k)(A_{41} - A_{31}) \\ -1 + m_2 p_2^2 \omega^2 A_{41} \\ \\ m_1 \omega^2 A_{14} - k(A_{14} - A_{24}) \\ m_1 p_1^2 \omega^2 A_{24} \\ m_2 \omega^2 A_{14} + (\bar{m}_2 \omega^2 - k)(A_{34} - A_{14}) \\ m_1 p_1^2 \omega^2 A_{34} \end{array} \right|;$$

$$(U_{ij}) = \left| \begin{array}{cccc} -\frac{1}{EI_1} - A_{11} & -A_{12} & -A_{21} & -A_{22} \\ 0 & \frac{1}{EI_2} & 0 & 0 \\ -A_{31} & -A_{32} & -\frac{1}{EI_3} - A_{41} & -A_{42} \\ 0 & 0 & 0 & \frac{1}{EI_4} \end{array} \right|$$

Дальнейший расчет системы можно производить в нескольких вариантах, например воспользоваться методами, изложенными в главе 2-й.

Выполненные примеры расчета подтверждают практическую приемлемость и устойчивость предлагаемого алгоритма, что, впрочем, естественно, так как использование метода парциальных отклонов обеспечивает соответствие устойчивости алгоритма рассматриваемому процессу.

Расчеты показали, что колебания днищевых перекрытий могут существенно (когда в несколько раз) изменять амплитуды колебаний корпуса. Это легко объясняется: амплитуды возмущающих сил от винтов изменяются толщинами или десятками тонн; такого же порядка динамические реакции возникают при весьма умеренных амплитудах перекрытия относительно его опорного контура. Нередко в общей вибрации судна может вызвать существенные колебания перекрытий.

Таким образом, расчет совместных колебаний корпуса и перекрытий представляет несомненный практический интерес.

Используя основные понятия метода парциальных отклонов и квазистатических аналогий, нетрудно уложить расчетную схему, учет колебаний палубных перекрытий, мачт и т. п.

2. Редукция на пластину. Рассчитав колебания корпуса и его днищевых перекрытий, можно перейти к расчету колебаний пластины. Возмущающими силами для них будут: силы инерции пластины и присоединенных масс жидкости при общей вибрации судна на перекрытии Ψ_3 и силы инерции пластины и присоединенных масс жидкости при колебании перекрытия на перекрытиях, обусловленных прогибами перекрытия. При вычислении амплитуд вибрации пластины под действием заданных возмущающих сил нужно учесть не только массу самой пластины, но и присоединенную массу жидкости при колебаниях пластины. Сам расчет достаточно очевиден и особых пояснений не требует.

Колебания пластины вызывают два явления: а) некоторую редукцию массы пластины, которая будет теперь включаться в массу перекрытия с некоторым редукционным коэффициентом (за счет

д добавочных сил инерции пластины при ее изгибе и сил инерции присоединенных масс жидкости, обусловленных колебаниями пластины); б) стремление к облизанию опорных кромок, особенно заметное при замкнутой системе набора, и, как следствие, редукцию позиций пластины при ее работе в составе эквивалентного бруса.

Расчеты свидетельствуют, что влияние первого фактора обычно не столь уж существенно, если только пластины не попадают в rezонансную область. Второй фактор может оказаться значительным в ее реzonансной области: напряжение от общего изгиба, вызванного общей вибрацией, весьма велико, поэтому даже малые линейные напряжения от изгибных колебаний обычно вполне сопоставимы с напряжениями от общего нагиба.

Определение редукционного коэффициента площади пластины по известной форме ее изгиба, стоящие прогибы и напряжения в жестких связях корпуса производятся стандартными методами строительной механики корабля. Поскольку все эти параметры переменны во времени, переменным оказывается и сам редукционный коэффициент. Более того, в один момент времени он может быть именем единиц (и даже отрицательным), в другом — больше нее. В результате корпус судна оказывается балкой с моментом инерции, переменным во времени, причем указанная переменность «упрощается» колебаниям балки.

Расчет таких колебаний удобно проводить последовательными приближениями с использованием приема введения фактических величин нагрузок, компенсирующих изменение жесткости (по аналогии с известным методом упругих решений в теории пластичности). Сначала производят расчет в первом приближении без учета пластины. Затем выполняют расчет изгиба пластины по заданным колебаниям их опорных контуров и находят редукционные коэффициенты площадей пластины как периодические функции времени.

Для выполнения расчета во втором приближении полагаем, что момент инерии эквивалентного бруса постоянен во времени, а для компенсации фактических изменений момента инерции, найденных в первом приближении, находим фактические значение периодическое изгибающие моменты. Раскладывая последние в ряд Фурье, находим спектр добавочных гармонических нагрузок основной и кратной частот. С его учетом и должен быть произведен расчет этого и последующих приближений.

Поправки, обусловленные редукцией площади пластины при высокочастотной вибрации корпуса, могут оказаться существенными в полной длине судна. Такая опаска нужна и в том случае, когда вибрацией перекрытий можно пренебречь.

При заметных колебаниях перекрытий следует производить редукцию присоединенных массовых продольных блоков набора.

§ 20. Методы сил, деформаций, конечных элементов и суперэлементов. Комбинирование метода конечных элементов с методом парциальных отклонок

1. Метод сил. Неизлагая существа метода сил, широко известного в строительной механике, рассмотрим некоторые его особенности, которые вероятно проявляются при решении достаточно сложных задач, но, к сожалению, почти не освещены в технической литературе.

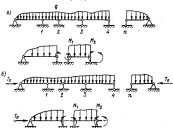


Рис. 3.33.

Обратимся снова к простейшей задаче, уже рассмотренной в главе I-1 при анализе способа Ньютона — изгибу непрерывной балки на жестких опорах. Используем обычный вариант метода сил — теорему трех моментов (рис. 3.33, а). Мысленно разбейем балку над опорами и превратим ее в систему однопролетных балок, загруженных на опорах неизвестными моментами M_i . Значения M_i найдем из условия равенства углов поворота смежных пролетов за любой опорой i . Имеем

$$M_{i-1}A_{i-1,i}^{(0)} + M_iA_{i,i}^{(0)} + A_{i+1}^{(0)} = M_jA_{j-1,j}^{(0)} + M_{j+1,j}^{(0)} + A_{j+1}^{(0)},$$

где $A_{i,j}^{(0)}$ — коэффициент твердотельности, выраженный углом поворота пролета j над опорой i , возникшим единичным моментом, действующим над опорой i ; $A_{i,j}^{(0)}$ — то же, но от действия внешней нагрузки. В случае прямизматических пролетов $|A_{i-1,i}^{(0)}| = |A_{i+1,i}^{(0)}|$.

Мы снова (как и в способе Ньютона) находим причинно-следственные связи: опорные моменты оказались внешними заданными

моментами, т. е. мы снова моделировали некий «моментный» домкратный стенд, хотя на самом деле опорные моменты возникали в результате изгиба большой изогретой балки в целом.

Однако последствия такого нарушения менее серьезны, чем при способе Навье: выделенный пролет, мы поставили его в неестественные для него условия шарнирного опирания по краям, во граничные условия освобожденной балки не так уж сильно сказываются на величине ее деформаций. Именно поэтому использование теоремы трех моментов обычно оказывается приемлемым.

Иное дело, если балка связана осевыми силами T_0 (рис. 3.33, б). Тогда при T_0 , равной зиллеровой нагрузке самого длинного и самое жесткого шарнирно-спирального пролета, коэффициенты податливости этого пролета обратятся в бесконечности в уравнениях выродятся, хотя на самом деле ни сама неразрезная балка, ни указанный пролет устойчивы: не теряют благодаря заданным, созда-



Рис. 3.34.

заемой соединими связями. Здесь способ теоремы трех моментов же применен в принципе по причине исказания причинно-следственных связей в реальной конструкции.

Аналогичным образом неестественность граничных условий будет сказываться в расчетах вибрации (здесь даже резче, поскольку нас интересует проявление многих тонов, тогда как устойчивость окончательно нарушается уже при первом фуре).

Теорема трех моментов — простейшее проявление метода сил. Следовательно, метод сил забыт, упрощен в расчетном отображении и безусловно может приводить к ошибкам и неприятностям даже при использовании ЭВМ.

2. Метод деформаций. Переходим к анализу теоремы трех углов поворота — простейшему случаю использования метода деформаций.

Рассечем балку на отдельные пролеты и мысленно заделаем каждый пролет по концам (рис. 3.34, а). Для каждого заделанного пролета в решим три задачи (рис. 3.34, б): 1) задачам изгибающие моменты $M_{\alpha, i}^{(0)}$ и $M_{\beta, i}^{(0)}$ в заделках α и β под действием нагрузки ϕ ; 2) определим изгибающие моменты $M_{\alpha, i}^{(1)}$ и $M_{\beta, i}^{(1)}$, возникшие при заданном повороте опоры β на единичный угол; 3) вычислим изгибающие моменты $M_{\alpha, i}^{(2)}$ и $M_{\beta, i}^{(2)}$, возникшие при заданном

повороте опоры α на единичный угол. Тогда для определения истинных углов поворота концевых сечений α_i (i — номер опоры) нетрудно воспользоваться условием равенства моментов на всех опорах

$$\alpha_{i-1} M_{\alpha, i-1}^{(0)} + \alpha_i M_{\alpha, i}^{(0)} + M_{\beta, i}^{(0)} = \alpha_i M_{\beta, i}^{(1)} + \alpha_{i+1} M_{\beta, i+1}^{(1)} + M_{\beta, i}^{(2)},$$

Каждый пролет попытаться в неестественные для него условия, но уже не свободного опирания, а жесткой заделки. В случае обычной поперечной нагрузки эта разница особой роли не играет и теорема трех углов поворота примерно эквивалентна теореме трех моментов. При наличии осевой силы T_0 теорема трех углов поворота предпочтительнее, так как уравнения не вырождаются даже до первой зиллеровой нагрузки для балки в целом. Что касается расчетов колебаний, то здесь разница снова теряется — в обоих случаях исходные линейные реакции пролетов, не соответствующие каким-либо тонам колебаний балки.

Таким образом, небезупречен и метод деформаций, причем и здесь практика кроется в исказении свойственной конструкции связи причин и следствий (стола домкратный стенд, но «из странноватые» по углам поворота). Быть может «запасом» зон расчета инертностей можно избежать только значительным увеличением числа значащих цифр всех вычислений, а в непосредственной близости от точки вырождения уравнений не поможет и эта мера.

Проявляющим сказанное по правде расчета форм свободных колебаний второго тонаriegеля несложной П-образной рамы, состоящей из одинаковых прismaticеских стержней, длина которых $l = 1$ м, заготовка массы $m = 2,8 \cdot 10^{-2}$ т-с 2 /м 2 , момент инерции сечения $J = 13,3 \cdot 10^{-6}$ м и модуль нормальной упругости $E = 2,1 \cdot 10^7$ т/м 2 .

Расчеты выполнялись на ЭВМ по известным готовым зависимостям метода деформации⁴ при различном числе значащих цифр ($m = 5 \dots 9$). Частота второго тона оказалась равной 65,13 1/с и от числа значащих цифр практически не зависела. Однако ординаты формы колебанийriegеля при этой частоте, существенным образом зависят от принятого числа значащих цифр. Как видно из рис. 3.35, избежать наложения ошибки смысла смысли допустимого предела удалось только при сохранении девяти знаков цифр.

3. Метод конечных элементов. С основная идея метода конечных элементов (МКЭ) состоит в том, что рассчитываемая конструкция (одномерная и многомерная) подразделяется на ряд простейших по форме элементов конечных размеров (стержни постоянного сечения, треугольные или приводящие пластины постоянной толщины, параллелепипеды, тетраэдры и т. п.). Напряжения, действующие на грани элементов, и внешние нагрузки заменяются статически эквивалентными им сосредоточенными обобщенными силами.

⁴ Чудновский В. Г. Метод расчета колебаний и устойчивости стержневых систем. Киев, изд-во АН УССР, 1962.

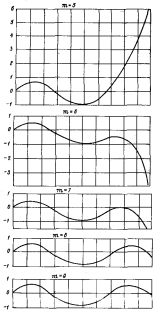


Рис. 3.36.

щечными силами, приложенными к вершинам элементов. Затем определяется связь между усилиями, приложенными к вершинам, и перемещениям этих вершин (матрица жесткостей или податливостей); составляются условия уравновешенности узлов, т. е. точек, где сходятся вершины, и условия совместности деформаций отдельных элементов в узлах. В результате получается система линейных алгебраических уравнений с общим числом неизвестных, равным числу узлов n , умноженному на мерность и вектора перемещений (или усилий). В каждое уравнение основной системы входит число неизвестных, равное произведению мерности вектора перемещений на количество узлов, соседних с рассматриваемым, кроме один узел. Неизвестными являются смещения узлов либо внутренние усилия в узлах. Система линейных алгебраических уравнений решается общематематическими методами.

Из сказанного становится ясным, что физические принципы, используемые в МКЭ, резко упрощают процесс записи исходной информации — отпадает необходимость выписывать полную систему дифференциальных уравнений, условий сопряжения отдельных частей и граничных условий для всей конструкции в целом. Достаточно проанализировать и описать поведение типовых конечных элементов, на которые разбита конструкция, а эта работа может быть выполнена независимо от расчета конструкции.

Исследование деформаций отдельного конечного элемента может быть выполнено точно, если известен общий интеграл соответствующей задачи. Однако это удается сделать лишь для простейших элементов — стержней постоянного сечения. Чаще всего элемент рассматривается приближенно.

Как правило, используется следующий прием. Задаются законы изменения перемещений, содержащие независимые параметры, общее число которых равно числу вершин элемента, умноженному на мерность вектора перемещений. Эти законы подбираются таким образом, чтобы в пределах элемента удовлетворялись условия равновесия и неразрывности деформаций. Если законы изменения перемещений известны, то можно без принципиальных затруднений найти законы изменения напряжений в пределах элемента с точностью до выбранных независимых параметров. Затем независимые параметры выражаются через перемещения вершин элемента. Тем самым перемещения произвольной точки и напряжения в ней выражаются через указанные перемещения вершин. Зависимости напряжения, действующие на гранях, статически эквивалентными им со средоточенными усилиями, приложенными к вершинам, можно выразить последние через перемещения вершин

$$\mathbf{Q} = \mathbf{C}\mathbf{v}, \quad (3.82)$$

где \mathbf{Q} — вектор, имеющий компонентами обобщенные усилия, приложенные к вершинам (мерность An); \mathbf{v} — вектор с компонентами — обобщенными перемещениями вершин (мерность An); \mathbf{C} — квадратная матрица жесткостей элемента (размером $An \times An$).

Получить зависимость (3.82) можно другим путем, рассчитав, например, с помощью любого численного метода конечный элемент на ЭВМ либо зная оно точное экспериментальное исследование поведения элемента под воздействием внешних сил в его вершинах. Заметим, что в настоящее время матрицы жесткостей C получены для конечных элементов различной формы.

Продемонстрируем особенности МКЭ простейшим примером (рис. 3.36). Квадратная пластина размером $l \times l$ единичной толщины загружена усилиями, лежащими в ее плоскости. Кроме

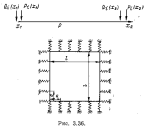


Рис. 3.36.

пластины соединены с разноточечными линейными пружинами жесткостью C каждая. Пластину целесообразно разбить на конечные элементы в виде квадратов размером $a \times a$. Для конечного элемента примем аппроксимацию перемещений в виде

$$\begin{aligned} u &= A_1 + B_1x + C_1y + D_1xy + E_1x^2 - F_1y^2, \\ v &= A_2 + B_2x + C_2y + D_2xy + E_2x^2 + F_2y^2, \end{aligned} \quad (3.83)$$

где A_1, \dots, F_2 — неизвестные параметры.

В рассматриваемом случае можно принять восемь произвольных параметров, поскольку число вершин равно 4, а мерность вектора перемещений $k = 2$. Допущение параметры можно исключить, если потребовать выполнения уравнений равновесия в пределах элемента.

Входящие в (3.83) независимые параметры выражим через смещения вершин элемента:

$$\begin{aligned} u(0, 0) &= u_1; \quad u(0, a) = u_2; \quad u(a, 0) = u_3; \quad u(a, a) = u_4; \\ v(0, 0) &= v_1; \quad v(0, a) = v_2; \quad v(a, 0) = v_3; \quad v(a, a) = v_4. \end{aligned} \quad (3.84)$$

откуда находим

$$\begin{aligned} u &= u_0 \left(1 - \frac{x}{a} - \frac{y}{a} + \frac{xy}{a^2}\right) + u_1 \left(\frac{x}{a} - \frac{xy}{a^2}\right) + u_2 \left(\frac{y}{a} - \frac{xy}{a^2}\right) + \\ &+ u_3 \frac{xy}{a^2} + \frac{u_4 - u_1 - u_2 + u_3}{2} \left(\mu \frac{x}{a} + \frac{y}{a} - \mu \frac{x^2}{a^2} - \frac{y^2}{a^2}\right); \end{aligned} \quad (3.85)$$

$$\begin{aligned} v &= v_0 \left(1 - \frac{x}{a} - \frac{y}{a} + \frac{xy}{a^2}\right) + v_1 \left(\frac{y}{a} - \frac{xy}{a^2}\right) + v_2 \left(\frac{x}{a} - \frac{xy}{a^2}\right) + \\ &+ v_3 \frac{xy}{a^2} + \frac{u_4 - u_1 - u_2 + u_3}{2} \left(\mu \frac{y}{a} + \frac{x}{a} - \mu \frac{y^2}{a^2} - \frac{x^2}{a^2}\right). \end{aligned}$$

Напряжения в пределах элемента изменяются по закону

$$\begin{aligned} \sigma_x &= \frac{E}{1 - \mu^2} \left\{ -\frac{u_0}{a} - \mu \frac{v_0}{a} + \frac{\mu}{2} \frac{u_0 - u_1 - u_2 + u_3}{a} + \right. \\ &\quad \left. + \frac{u_4 - u_1 - u_2 + u_3}{a} \left[(1 - \mu^2) \frac{y}{a} + \frac{y^2}{2} \right] \right\}; \end{aligned} \quad (3.86)$$

$$\begin{aligned} \sigma_y &= \frac{E}{1 - \mu^2} \left\{ -\frac{v_0}{a} - \mu \frac{u_0}{a} + \frac{\mu}{2} \frac{u_0 - u_1 - u_2 + u_3}{a} + \right. \\ &\quad \left. + \frac{u_4 - u_1 - u_2 + u_3}{a} \left[(1 - \mu^2) \frac{x}{a} + \frac{x^2}{2} \right] \right\}; \\ T &= \frac{E}{4(1 + \mu)a} (u_0 - u_1 + u_2 - u_3 + v_2 - v_1 + v_0). \end{aligned}$$

Теперь необходимо заменить напряжения статически эквивалентными им усилиями, приложенными к узлам. Вдоль границ имеем

$$\int_0^a \sigma_x(0, y) dy = -T'_0 - T'_1; \quad (3.87)$$

$$\int_0^a \sigma_y(0, y) dy = -T'_2,$$

где T'_0 , T'_1 — усилия вдоль оси Ox в точках $(0, 0)$ и $(0, a)$, вызванные нормальными напряжениями σ_x .

Распределение усилия от касательных напряжений τ между вершинами $(0, 0)$ и $(0, a)$ линейно, можно записать

$$T_0 = T'_0 - \tau \frac{x}{2}; \quad (3.88)$$

$$T_1 = T'_1 + \tau \frac{a}{2}. \quad (3.89)$$

Подставив в (3.87) — (3.89) значения напряжений, получим искомую зависимость между усилиями и перемещениями.

После того, как матрица C найдена, можно приступить к составлению уравнений для всей пластины. Здесь нужно рассмотреть три типа узлов: угловые, где пластина соединена с двумя пружинами; за кромки пластины, где имеется одна пружина; показывающие отстояние узла от начала координат и произвольной внутренней точки пластины.

П р я м ы м узлам индексы: i , показывающий отстояние узла от начала координат вдоль оси Ox ($x = ia$), и j , показывающий отстояние узла от начала координат вдоль оси Oy ($y = ja$). Тогда для угловой точки $i = 0$, $j = 0$ имеем

$$C_{12}u_{00} + C_{13}p_{00} + C_{23}u_{00} + C_{14}p_{01} + C_{15}u_{01} - C_{16}p_{01} + C_{25}u_{11} - C_{17}p_{11} - \\ - C_{26}u_{01} + T_{00} = 0; \quad (3.90)$$

$$C_{12}u_{00} + C_{16}p_{00} - C_{14}u_{01} + C_{13}p_{01} + C_{15}u_{01} + C_{17}p_{11} - \\ - C_{25}u_{11} + C_{19}p_{11} - C_{26}u_{01} + R_{00} = 0,$$

где T_{00} и R_{00} — внешние силы, приложенные в точке $i = 0$, $j = 0$. Для произвольного узла на кромке $j = 0$, нетрудно найти

$$C_{12}u_{i-1,j} + C_{13}p_{i-1,j} + C_{10}u_{i-1,j} + C_{11}p_{i-1,j} + C_{10}u_{i,j} - C_{11}p_{i,j} + \\ + C_{13}u_{i,j} - C_{14}p_{i,j} + C_{10}u_{i,j+1} + C_{11}p_{i,j+1} + C_{12}u_{i,j+1} - C_{13}p_{i,j+1} + \\ + C_{14}u_{i,j+1} + C_{15}p_{i,j+1} - C_{16}u_{i,j+1} + C_{17}p_{i,j+1} - \\ - C_{18}u_{i,j+1} + C_{19}p_{i,j+1} + T_{i,j} = 0; \quad (3.91)$$

$$- C_{12}u_{i,j+1} + T_{i,j} = 0;$$

$$- C_{13}u_{i,j+1} + C_{12}p_{i,j+1} + \dots + C_{19}p_{i,j+1} + R_{i,j} = 0.$$

Наконец, в произвольной точке i , j имеем

$$C_{12}u_{i-1,j-1} - C_{13}p_{i-1,j-1} + C_{10}u_{i-1,j} - C_{11}p_{i-1,j} + C_{12}u_{i,j-1} + \\ + C_{13}p_{i,j-1} + C_{10}u_{i,j} + C_{11}p_{i,j} + C_{12}u_{i,j+1} + C_{13}p_{i,j+1} + C_{10}u_{i,j+2} + \\ + C_{11}p_{i,j+2} + C_{12}u_{i,j+3} - C_{13}p_{i,j+3} + C_{10}u_{i,j+4} + C_{11}p_{i,j+4} - \\ - C_{12}u_{i,j+5} + C_{13}p_{i,j+5} + C_{10}u_{i,j+6} + C_{11}p_{i,j+6} + C_{12}u_{i,j+7} + \\ + C_{13}p_{i,j+7} - C_{14}u_{i,j+8} + C_{15}p_{i,j+8} + C_{12}u_{i,j+9} - C_{13}p_{i,j+9} + T_{i,j} = 0, \quad (3.92)$$

$$- C_{12}u_{i,j-1} + C_{13}p_{i,j-1} + \dots + C_{19}p_{i,j+1} + R_{i,j} = 0.$$

Совокупность уравнений типа (3.90) — (3.92) дает линейную систему, содержащую $2n$ уравнений с членами неизвестных в каждом из них до 18.

Последовательное использование физических представлений на первом этапе расчета — записи исходной информации — дает весьма очутимые преимущества: становится единобразным процесс составления исходных уравнений для конструкций любых операций, появляется возможность автоматизировать этот про-

цесс. Отмеченные достоинства и привлекают к МКЭ внимание широких кругов специалистов в области строительной механики.

Однако отсутствие физических представлений на втором этапе расчета — при решении полученной системы алгебраических уравнений — несколько обесценивает основные преимущества метода. Остается открытый вопрос о том, каким образом решить указанную систему довольно высокого порядка? Известно, что решение систем линейных алгебраических уравнений посещено обширной литературой, где излагается очень много математических методов. Но какой из них выбрать? Какие из них можно использовать при выборе метода? К сожалению, ответа на эти вопросы МКЭ не дает, а от правильного ответа на них зависит успех расчета.

Выбором наилучшего метода можно очень сильно влиять на объем вычислений, который далеко не мал. Так, применение метода Гаусса для решения системы из p уравнений по q неизвестных в каждом требует порядка p^2q арифметических операций. Даже для простейшей задачи, рассмотренной выше, требуется операций порядка $72 \cdot n^2$.

Но это не главное. При применении любого метода, необходимо убедиться в том, что его алгоритм устойчив, т. е., что малые погрешности округления не ведут до недопустимых пределов искомый результат. Пронизывает же практически математическую сущность устойчивости алгоритма для производной системы высокого порядка, как правило, ее удается. Реализация обихода ошибок требует столь больших затрат труда, что получение их сокращено с построением решения.

Отсюда становится ясным, что не доведенные до конца физические представления сужают реальные возможности использования МКЭ.

4. Накопление вычислительных погрешностей при увеличении числа выделенных элементов. Увеличение числа конечных элементов, на которых разделяется исходная конструкция, казалось бы, повышает точность расчета, так как при этом исходная расчетная модель приближается к этой конструкции. Достаточно вспомнить обычный расчет корпуса судна, когда реальная непрismaticкая балка (эквивалентный брус) корпуса заменяется балкой ступенчато-переменной жесткости, — здесь, по существу, реализуется именно вариант метода конечных элементов (роль элемента играет каждая прismaticкая ступенька). Трудно поверить в том, что ступенчато-переменная балка с триадью участками лучше моделирует действительный эквивалентный брус, чем аналогичная балка, скажем, с пятишатом участками.

Однако, записав сразу условия сопряжения всех элементов, т. е. нарушив ястинные причинно-следственные связи и передав с помощью метода сил или метода деформаций к некому доминантному стержню, мы приходим к такой системе уравнений, где требуемая точность вычислений при нахождении корней растет с числом

неизвестных. А так как достаточная точность при использовании любой конкретной ЭВМ всегда ограничена, чрезмерное дробление конструкции, т. е. увеличение числа неизвестных, оказывается неделесообразным и ведет к потере точности результата (несмотря на увеличивающуюся точность каждой физической конструктивной модели). Иными словами, для каждой данной ЭВМ существует некое оптимальное число конечных элементов, при котором суммарная погрешность от неточного физического моделирования и от неточного решения уравнений достигает минимума.

Покажем сказанное конкретным примером. Рассмотрим изгиб прямолинейной балки длиной L равномерной поперечной нагрузкой σ . Такую балку легко рассчитать и принятым образом, но мы обратимся к методу конечных элементов.

В соответствии с основной идеей метода балка разбивается на отдельные элементы (балки длиной \bar{l}), для каждого из них вычисляется матрица жесткости — усилия, которые надо приложить к концам элемента, чтобы эти концы получили единичные смещения. Затем указываются условия уравновешенности элемента и совместности смещений концов. Матрицу жесткостей можно найти из решения задачи об изгибе прямолинейной балки конечными элементами. Известный общий интеграл подчиняется кинематическим граничным условиям (одно смещение — единица, остальные равны нулю). Кроме того, добавляется решение неоднородного уравнения при нулевых условиях.

Воспользовавшись матрицей жесткости прямолинейного участка, можно записать уравнения совместности смещений и уравновешенности в узле i в виде

$$\begin{aligned} -12(w_{i+1} - 2w_i + w_{i-1}) + 6(\theta_{i+1} - \theta_{i-1}) &= \frac{\sigma^4}{EI}; \\ -6(w_{i+1} - w_{i-1}) &= 2l(\theta_{i+1} + 4\theta_i + \theta_{i-1}) = 0, \end{aligned} \quad (3.93)$$

где w_i и θ_i — прогибы и углы поворота сечения в узле i .

Полученная система (3.93) в принципе совершенно точна, так как исходная балка является прямолинейной и переход к конечным прямолинейным элементам не вносит никаких погрешностей. При неограниченном числе значащих цифр расчета (т. е. при использовании абстракции абсолютной точности) ее можно использовать для случая любого конечного количества элементов.

Но у нас всегда есть ограниченное число значащих цифр. Чтобы оценить намечаемуюся при этом неточность, перейдем к пределу. Разделив первое уравнение системы (3.93) на $12\bar{l}^2$, а второе на $12\bar{l}$, получим

$$\begin{aligned} \frac{w_{i+1} - 2w_i + w_{i-1}}{\bar{l}^2} + \frac{\theta_{i+1} - \theta_{i-1}}{2\bar{l}} &= \frac{\sigma^4}{12EI}; \\ \frac{w_{i+1} - w_{i-1}}{2\bar{l}} + \frac{\theta_{i+1} + 4\theta_i + \theta_{i-1}}{6} &= 0. \end{aligned} \quad (3.94)$$

Перейдя к пределу, имеем

$$\lim_{\bar{l} \rightarrow 0} \frac{w_{i+1} - 2w_i + w_{i-1}}{\bar{l}^2} = w_i''; \quad \lim_{\bar{l} \rightarrow 0} \frac{\theta_{i+1} - \theta_{i-1}}{2\bar{l}} = \theta_i'';$$

$$\lim_{\bar{l} \rightarrow 0} \frac{\sigma^4}{12EI} = 0; \quad \lim_{\bar{l} \rightarrow 0} \frac{w_{i+1} - w_{i-1}}{2\bar{l}} = w_i'; \quad \lim_{\bar{l} \rightarrow 0} \frac{\theta_{i+1} + 4\theta_i + \theta_{i-1}}{6} = \theta_i.$$

Отсюда система (3.94) преобразуется к виду

$$\begin{aligned} w_i'' &= \theta_i''; \\ w_i' &= \theta_i. \end{aligned} \quad (3.95)$$

Еще одно уравнение есть следствие второго; найти из (3.95) значения w и θ невозможно. Следовательно, при достаточно малой длине конечного элемента математическая модель в виде системы (3.93) не сходится к исследуемому процессу при любом заранее заданном, но конечном числе значащих цифр выполненных вычислений.

Используемый прием перехода к пределу вполне аналогичен тому описанному выше приему перехода к бесконечному времени в теории устойчивости А. М. Липунова.

Интересно рассмотреть причины, по которым отсутствует сходимость решения. Если рассматривать чисто математическую сторону вопроса, то необходимо учесть, что общий интеграл, используемый при вычислении матрицы жесткости, имеет вид

$$w = C_0 + C_1x + C_2x^2 + C_3x^3, \quad 0 \leq x \leq l. \quad (3.96)$$

При очень малых \bar{l} последние два члена выражения (3.96) содержат в виде множителей малые высшего порядка, которые автоматически исключаются из решения с увеличением числа участков \bar{l} . Четыре граничных условия не могут быть удовлетворены, поскольку мы имеем лишь две произвольные постоянные.

С точки зрения физических соображений вопрос тоже ясен: малый элемент изогнут большими концевыми моментами и передающими им силами (они не зависят практически от длины элемента), а влияние его изгиба малой суммарной внешней нагрузкой становится ничтожным. В то же время именно внешняя нагрузка является причиной изгиба и определяет прогибы реальной системы.

Чтобы получить простую численную иллюстрацию сказанного, обратимся к ширинно-энергетической прямолинейной балке, которая загружена нагрузкой $\sigma_0 \sin \frac{\pi x}{L}$. В этом случае точное решение будет иметь вид

$$w = A \sin \frac{\pi x}{L}; \quad \theta = B \frac{\pi}{L} \cos \frac{\pi x}{L}.$$

После подстановки заранее известного вида точного решения в (3.93) получаем

$$\begin{aligned} & \left[48 \sin^2 \left(\frac{\pi}{2n} \right) - 12B \frac{\pi}{n} \sin \frac{\pi}{n} - \frac{qL^4}{EI} \right] \sin \frac{\pi x}{n} = 0; \\ & \left[-12A \sin \frac{\pi}{n} + 4B \frac{\pi}{n} \left(2 + \cos \frac{\pi}{n} \right) \right] \cos \frac{\pi x}{n} = 0, \end{aligned}$$

откуда

$$A = \frac{qL^4}{EI} \frac{1}{\pi^2 \left[48 \sin^2 \left(\frac{\pi}{2n} \right) - \frac{36}{2 + \cos \frac{\pi}{n}} \sin^2 \left(\frac{\pi}{n} \right) \right]} = \frac{qL^4}{EI} \alpha, \quad (3.97)$$

Точное вычисление зависимости (3.97) дает при любом n известное решение

$$A = \frac{qL^4}{EI} = 0,010266 \frac{qL^4}{EI}.$$

Однако численный эксперимент, заключающийся в расчете на ЭВМ по формуле (3.97) с разным числом значащих цифр показал, что:

- увеличение числа n конечных элементов свыше определенного предела приводит к неустойчивости счета;
- значение предельного количества элементов зависит от числа значащих цифр m , сохраняемых при расчете (т. е. от размера разрядной сетки ЭВМ);
- предельное число элементов n оказывается при семи десятичных разрядах равным 40, при восьми десятичных разрядах — 70, при девяти разрядах — 200.

Результаты расчета на ЭВМ, сопоставленные с точным аналитическим решением, приведены на рис. 3.37. видно, что, начиная с некоторого значения n , коэффициент α , вычисляемый по формуле (3.97), нарастающие осцилляции около точного значения. Начало этого процесса характеризует вступление в зону неустойчивости вычислений.

Таким образом, высказанные выше общие теоретические положения подтверждаются конкретными примерами. Ясно, что метод конечных элементов хорош для приближенной оценки результатов по сравнению с малым числом элементов, но иногда ставится ограничение пригодности при слишком большом их числе.

Впрочем, если используемая ЭВМ имеет достаточно большое число значащих цифр, максимальное допустимое число элементов в рассматриваемой задаче периодически бывает достаточным и обеспечивает хорошие по точности результаты (как это и наблюдалось в нашем примере). Важно лишь (и это самое трудное!) взять именно оптимальное число элементов.

Для оптимизации последнего числа полезно провести ряд расчетов при разном количестве взятых элементов n ; признаком удов-

летворительности расчета является попадание в зону, где изменение количества элементов не приводит к значительному изменению результатов счета.

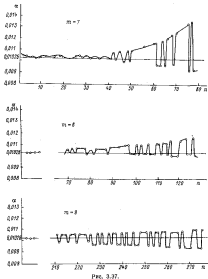


Рис. 3.37.

Подробное описание в целом очень хорошего и широкого применения метода конечных элементов дано в монографии [29].

Б. Метод суперэлементов. Хорошой модификацией метода конечных элементов является так называемый метод суперэлементов.

Согласно этому методу, конструкция разделяется сначала на сравнительно небольшое число больших конечных элементов, или суперэлементов. Ограничиться таким небольшим числом разделяемой зоны, так как при этом точность расчета будет неудовлетворительной, не говоря уже о том, что каждый слишком большой суперэлемент передко не может быть рассчитан с помощью известных аналитических решений. Вследствие этого все суперэлементы, в свою очередь, делятся на малые конечные элементы и рассматриваются отдельно как самостоятельные конструкции. Указанные частные расчеты дают исходные данные для последующего соединения суперэлементов.

В конечном итоге метод суперэлементов разделяет очень большую и сложную систему алгебраических уравнений, выражаящих условия сопряжения всех малых элементов исходной конструкции, на ряд более простых подсистем.

Б. Комбинирование метода конечных элементов с методом парциальных откликов. Метод парциальных откликов вошел в качестве средства решения уравнений перехода, а как способ непосредственного расчета конкретных линейных физических систем, хотя дальнейшие исследования показали возможность соединить его и с уравнениями перехода. Основная физическая идея метода выражена в его первоначальном названии: «Метод последовательного присоединения (последовательного присоединения) элементов». В его физической трактовке (применительно к задачам строительной механики) рассматриваются жесткости, податливости и другие аналогичные характеристики части конструкции (парциальная система), причем в этой части последовательно присоединяются конструктивные элементы, пока система не будет охвачена в целом, плоть до любого интересующего нас сечения, где требуется определить внутренние параметры процесса деформирования. Последние могут быть найдены путем сопряжения двух парциальных систем. Конструктивный элемент может быть как бесконечно малым, так и конечным; в последнем случае допустимо говорить о комбинировании метода парциальных откликов с МКЭ.

Указанный путь имеет два принципиальных преимущества.

Во-первых, расчет оказывается достаточно простым, так как не требует совместного рассмотрения системы уравнений, сразу определяющих деформации всей конструкции, а обуславливает необходимость простых расчетов, склонявших за каждого этапе с присоединением лишь одного элемента. Более того, идея последовательного присоединения может быть использована и для внутренних характеристик элемента, что дает возможность перейти к решению лишь одного уравнения с одним неизвестным.

Во-вторых, полное совпадение причинно-следственных связей в рассматриваемой конструкции и в алгоритме расчета, а также ясный физический смысл всех расчетных данных позволит обеспечить устойчивость алгоритма во всех случаях, когда сама конструк-

ция является устойчивой, или найти критическую нагрузку при потере устойчивости.

До настоящего времени метод парциальных откликов применялся в основном для решения одномерных задач. Однако общая идея метода парциальных откликов — выделение парциальной системы, последовательное присоединение к ней элементов и вычисление парциальных откликов на внешние возмущения — сохраняется и в многомерных задачах. Некоторые особенности, характерные для многомерных процессов, заслуживающие изразительного проявления на примере плоской задачи теории упругости, уже рассмотренной выше.

Приостановим матрицу жесткостей для произвольного i -го конечного элемента в виде

$$\begin{aligned} T_1^{(i)} &= C_{11}u_1^{(i)} + C_{12}v_1^{(i)} + C_{13}w_1^{(i)} + C_{14}x_1^{(i)} + C_{15}y_1^{(i)} + \\ &+ C_{16}z_1^{(i)} + C_{17}R_{11}^{(i)} + C_{18}R_{12}^{(i)}, \\ R_1^{(i)} &= C_{21}u_1^{(i)} + C_{22}v_2^{(i)} + C_{23}w_2^{(i)} + \dots + C_{28}z_8^{(i)}. \end{aligned} \quad (3.98)$$

Будем образовывать парциальную систему последовательным присоединением одного конечного элемента. Начнем построение решения с элемента, содержащего узел $i = 0$, $j = 0$ (0, 0). Предположим, что в точке (0, 1) к нему приложены известные усилия T_{01} , R_{01} , и составим условия уравненности узлов (0, 0) и (0, 1):

$$\begin{aligned} T^{(0)} - C_{11}u_1 + T_{01} &= 0; \quad R^{(0)} - C_{21}v_1 + R_{01} = 0; \\ T_1^{(0)} + T_{01} + \bar{T}_{01} &= 0; \quad R_1^{(0)} + R_{01} + \bar{R}_{01} = 0, \end{aligned} \quad (3.99)$$

где $\bar{T}_{01}, \dots, \bar{R}_{01}$ — известные внешние силы, приложенные к узлам (0, 0) и (0, 1).

После подстановки (3.99) в (3.98) можно разрешить полученную систему относительно перемещений в точках (0, 0) и (0, 1), т. е. выразить последние линейно через перемещения u_{01}, v_{01}, w_{01} и x_{01} , заданную внешнюю нагрузку и неизвестные силы T_{01}, R_{01} . С учетом найденных соотношений из (3.99) нетрудно вывести

$$\begin{aligned} T_1^{(0)} &= A_{11}u_{01} + A_{12}v_{01} + A_{13}w_{01} + A_{14}x_{01}H_{01}T_{01} + K_{01}R_{01} + \bar{T}_1^{(0)}; \\ R_1^{(0)} &= B_{11}u_{01} + B_{12}v_{01} + B_{13}w_{01} + B_{14}x_{01} + L_{01}T_{01} + \\ &+ M_{01}R_{01} + \bar{R}_1^{(0)}; \\ T_2^{(0)} - D_{12}u_{01} - D_{21}v_{01} - D_{13}w_{01} - D_{31}x_{01} &+ N_{01}T_{01} + \\ &+ P_{01}R_{01} + \bar{T}_2^{(0)}; \\ R_2^{(0)} - F_{11}u_{01} - F_{21}v_{01} - F_{31}w_{01} - F_{41}x_{01} + Q_{01}T_{01} + &+ S_{01}R_{01} + \bar{R}_2^{(0)}. \end{aligned} \quad (3.100)$$

Присоединим к рассмотренному элементу соседний и приложим в узле (1,1) неизвестные силы T_{11} , R_{11} . Условия уравновешенности узлов (1,0) и (1,1) будут

$$\begin{aligned} T_1^{(1)} + T_2^{(1)} + \bar{T}_{01} &= 0, \quad R_1^{(1)} + R_2^{(1)} - C_{010} + R_{01} = 0; \\ T_2^{(1)} + T_3^{(1)} + \bar{T}_{11} &= 0, \quad R_2^{(1)} + R_3^{(1)} + R_{11} + \bar{R}_{11} = 0. \end{aligned} \quad (3.101)$$

Подставив сюда (3.96) и (3.100), получим систему, из которой через π_{10} , π_{20} , π_{30} , π_{11} выражаются известные величины силы и заданные усилия T_{10}, \dots, R_{31} , перемещения узлов (1,0) и (1,1). По аналогии с (3.100), найдем

$$\begin{aligned} T_2^{(1)} &= A_{11}\pi_{10} + A_{20}\pi_{20} + A_{30}\pi_{30} + A_{01}\pi_{11} + H_{11}T_{11} + \\ &+ K_{11}R_{11} + H_{11}T_{11} + K_{11}R_{11} + T_3^{(1)}; \end{aligned}$$

$$\begin{aligned} R_2^{(1)} &= F_{11}\pi_{10} + F_{20}\pi_{20} + F_{30}\pi_{30} + F_{01}\pi_{11} + Q_{11}T_{11} + \\ &+ S_{11}R_{11} + Q_{11}T_{11} + S_{11}R_{11} + \bar{R}_3^{(1)}. \end{aligned}$$

Присоединим последовательно элементы 2, 3, ..., $k = \frac{l}{a}$, для элемента, содержащего точку $(k, 0)$, получим

$$\begin{aligned} T_2^{(k)} &= A_{1k}\pi_{10} + A_{2k}\pi_{20} + A_{3k}\pi_{30} + A_{0k}\pi_{11} + \sum_{m=0}^{k-1} H_{m, k-m} T_{m1} + \\ &+ \sum_{m=0}^{k-1} K_{m, k-m} R_{m1} + \bar{T}_2^{(k)}, \end{aligned}$$

$$\begin{aligned} R_2^{(k)} &= F_{1k}\pi_{10} + F_{2k}\pi_{20} + \dots + \sum_{m=0}^{k-1} Q_{m, k-m} T_{m1} + \\ &+ \sum_{m=0}^{k-1} S_{m, k-m} R_{m1} + \bar{R}_2^{(k)}. \end{aligned}$$

Теперь можно уравновесить узлы $(k, 0)$ и $(k, 1)$, предположив, что в последнем, помимо внешней нагрузки, действуют неизвестные силы T_{k1} , R_{k1} :

$$\begin{aligned} T_2^{(k)} + T_{k1} - C_{0k1} &= 0, \quad T_3^{(k)} + \bar{T}_{k1} + T_{k1} = 0; \\ R_2^{(k)} + \bar{R}_{k1} - C_{0k1} &= 0, \quad R_3^{(k)} + \bar{R}_{k1} + R_{k1} = 0. \end{aligned}$$

Осколок перемещения π_{1k} , π_{2k} , π_{3k} , π_{0k} могут быть выражены как линейные функции неизвестных усилий T_{k1} , R_{k1} , T_{11}, \dots, R_{31} , приложенных в верхних узлах парциальных систем. Далее можно воспользоваться полученными ранее соотношениями, следующими

перемещения в соседних ячейках оси x точках, и выразить все перемещения через указанные выше неизвестные усилия:

$$\begin{aligned} u_{10} &= \sum_{n=0}^k (a_{0n}T_{n1} + b_{1n}R_{n1}) + \bar{u}_{10}; \\ v_{10} &= \sum_{n=0}^k (d_{0n}T_{n1} + f_{1n}R_{n1}) + \bar{v}_{10}; \\ u_{11} &= \sum_{n=0}^k (b_{0n}T_{n1} + l_{1n}R_{n1}) + \bar{u}_{11}; \\ v_{11} &= \sum_{n=0}^k (p_{0n}T_{n1} + q_{1n}R_{n1}) + \bar{v}_{11}, \\ \{l = 0, 1, 2, \dots, k\}. \end{aligned} \quad (3.102)$$

Входящие сюда величины a_{0n} , b_{1n} , ..., v_{11} являются откликом парциальной системы на воздействие внешних усилий.

Перейдем теперь к следующему слою и присоединим к парциальной системе $(k+1)$ -й ячейки, содержащей точки $(0,1)$ и $(1,2)$. В точке $(0,2)$ приложим парциальной системе неизвестные силы T_{12} и R_{12} . Условия уравновешенности узлов $(0,1)$ и $(1,2)$ будут

$$\begin{aligned} T_{11} + T_2^{(k+1)} - C_{012} &= 0; \quad T_1^{(k+1)} + T_{12} + \bar{T}_{12} = 0; \\ R_{11} + R_2^{(k+1)} - 0; \quad R_1^{(k+1)} + R_{12} + \bar{R}_{12} &= 0. \end{aligned} \quad (3.103)$$

Поскольку перемещения π_{10} , π_{20} , π_{30} , π_{11} выражены через усилия T_{11} , R_{11} , система будет содержать в качестве неизвестных указанные усилия, силы T_{12} , R_{12} , в перемещении точки $(1,2)$. Из нее можно исключить T_{12} , R_{12} и π_{12} , π_{21} , выразив их через оставшиеся неизвестные усилия T_{11} , R_{11} , T_{12} , R_{12} , ..., T_{k1} , R_{k1} и π_{1k} .

Последовательно присоединяя элементы второго слоя и уравновешивая для них условия, можно постепенно исключать по два усилия и по два перемещения (усилия, примененные к предыдущему слою, и перемещения свободного конца рассматриваемого слоя). В сечении, содержащем узлы $(k, 1)$ и $(k, 2)$, с помощью граничного условия и введенных усилий T_{12} , R_{12} будут исключены все перемещения слоя $j = 0$ и усилия T_{11} , R_{11} . После этого можно получить для перемещений π_{11} , π_{21} , π_{31} , π_{12} линейные зависимости вида (3.102), куда будут входить только неизвестные усилия T_{12} , R_{12} и свободные члены. Помимо этого, в сечении, содержащем узлы $(k, 1)$ и $(k, 2)$, с помощью граничного условия и введенных усилий T_{12} , R_{12} будут исключены все перемещения слоя $j = 0$ и усилия T_{11} , R_{11} . После этого можно получить для перемещений π_{11} , π_{21} , π_{31} , π_{12} линейные зависимости вида (3.102), куда будут входить только неизвестные усилия T_{12} , R_{12} и свободные члены.

Рассмотрим теперь присоединение последнего слоя. В точке $(0, 2 - 1)$ и $(0, 1)$ должны выполняться условия уравновешенности

$$\begin{aligned} T_{k, k-1} + T_2^{(k)} - C_{0k, k-1} &= 0; \quad T_1^{(k)} - C_{0k} + \bar{T}_1^{(k)} = 0; \\ R_{k, k-1} + R_2^{(k)} &= 0; \quad R_1^{(k)} - C_{0k} + \bar{R}_1^{(k)} = 0. \end{aligned}$$

Эти четыре уравнения позволяют исключить из рассмотрения величины $T_{k,k-1}$, $R_{k,k-1}$, $v_{k,k}$, $\varphi_{k,k}$, выражив их через оставшиеся неизвестные силы $T_{k,k-1}$, $R_{k,k-1}$ и перемещения $v_{k,k}$, $\varphi_{k,k}$. Присоединив следующий элемент с помощью условий уравновешенности узлов $(1, k-1)$, $(1, k)$, исключим $T_{1,k-1}$, $R_{1,k-1}$ и т. д. Присоединив последний элемент, получим четыре уравнения уравновешенности узлов $(k, k-1)$ и (k, k) , в которые входят четыре неизвестных: $\hat{T}_{k,k-1}$, $\hat{R}_{k,k-1}$, $\hat{v}_{k,k}$, $\hat{\varphi}_{k,k}$.

После их определения можно вычислить обратным ходом узлы $T_{k,k-1}$ и перемещения $v_{k,k}$, $\varphi_{k,k}$, поскольку они ранее были выражены через найденные неизвестные. Это, в свою очередь, дает возможность определить $v_{k,k-1}$, $\varphi_{k,k-1}$. Остальные величины находятся аналогичным способом.

Таким образом, и при исследовании многомерных процессов методом парциальных отклонений физические представления используются на всех этапах расчета. Здесь, как и в одномерном случае, процесс составления исходных уравнений органически связан с самим их решением. Физические представления позволяют довольно определенно высказаться относительно устойчивости вычислений. Ведь последовательно наращивая элементы, мы непрерывно уменьшаем абсолютные значения жесткости системы и парциальных отклонений. А поскольку исходные функции являются убывающими, однажды допущенная ошибка должна затухнуть с ростом числа присоединенных элементов. Более того, здесь выполняется принцип соответствия алгоритма вычислений исследуемому процессу и неустойчивость вычислений свидетельствует о неустойчивости равновесия исследуемой системы, если, конечно, наложены определенные ограничения на значение возмущений в процессе счета.

Помимо преимуществ, связанных с устойчивостью, алгоритм метода парциальных отклонений позволяет заметно уменьшить объем вычислительных операций по сравнению с требуемым для решения исходных уравнений методом конечных элементов, например методом Гаусса. Присоединение одного конечного элемента связано с необходимостью решать систему четырех уравнений, т. е. требует $4^2k = 64k$ арифметических операций. Значит, на прохождение одного слоя в одном направлении будет использовано $64k^2$ операций сложения и умножения. Прохождение слоя в обратном направлении требует не более k^2 операций. Следовательно, на прохождение всех слоев в одном направлении будет затрачено $70k^2$ операций. На заключительном этапе расчета (обратный ход) для нахождения каждого перемещения и усилия нужно $3k$ операций. Поскольку число таких усилий и перемещений равно $4A^2$, всего на обратный ход будет затрачено $12A^2$. Общее число N операций составляет: $N \approx 82k^2$.

При решении методом Гаусса системы A линейных алгебраических уравнений по $n > 1$ неизвестных в каждой требуется $N_1 = n^3$

арифметических операций. В рассматриваемой задаче $m = 18$, $n = h^2$, следовательно, $N_1 \sim 18h^4$.

Метод парциальных отклонений уже при $k > 5$ дает экономию машинного времени. Она заметно возрастает с увеличением числа узлов. Важно отметить, что уменьшение объема вычислений будет тем заметнее, чем выше скорость решаемой задачи и больше число независимых перемещений вершин элемента. Конечно, выше описана лишь основная идея реализации метода парциальных отклонений в многомерных задачах. Вопросы наиболее компактной записи уравнений, некоторой рационализации счета и тому подобное требуют существенного расширения объема параграфа и потому не рассмотрены.

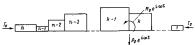


Рис. 3.38.

7. Расчет жгутообразной балки переменного сечения (корпуса судна) путем комбинирования метода конечных элементов с методом парциальных отклонений. В качестве конкретного примера рассмотрим жгутообразную балку ступенчато-переменной массы и жесткости, загруженную в произвольном сечении силой P_1^{ext} и моментом M_1^{ext} . Кроме того, балка загружена постоянной сжимающей силой T_a (рис. 3.38).

Решив эту задачу и полагав $T_a = 0$, нетрудно получить формулы для расчета корпуса судна. В общем случае, при $T_a \neq 0$ мы получим зависимость для уточненного расчета элементов рамных конструкций, заполоводов и т. п.

Рассекем балку на левом конце j -го участка ($j < k$), легко усмотреть, что к этому концу будут приложены со стороны $(j+1)$ -го участка некоторая неизвестная пока сила P_{j+1}^{ext} и некоторый тоже неизвестный момент M_{j+1}^{ext} . Пусть динамическая податливость правой части системы, включающей участок $1-(j-1)$, характеризуется следующими коэффициентами (рис. 3.39): $\delta_{j-1-j-1}$ – радиальный прогиб левого конца $(j-1)$ -го участка под действием силы частотой ω и единичной амплитудой, приложенной на этом конце; $\delta_{j-1-j-1}$ – разный угол поворота левого конца $(j-1)$ -го участка, вызванного действием силы с частотой ω и единичной амплитудой, приложенной на этом конце; $\Psi_{j-1-j-1}$ – разный угол поворота левого конца $(j-1)$ -го участка, вызванного действием силы с ча-

стотой ω и единичной амплитудой, приложенной на этом конце; $\Psi_{m,0-(j-1)}$ — разным углу поворота левого конца ($j-1$)-го участка, вызванного действием изгибающего момента с частотой ω и единичной амплитудой, приложенного на этом конце.

Если положительные направления силы и момента на левом конце участка соответствуют направлению стрелок на рис. 3.39, а поворот любого сечения изометричен, когда он происходит во часовой стрелке, то в силу известной теоремы взаимности $\delta_{m,0-(j-1)} = \psi_p$.

Расчет балки сводится, по существу, к определению коэффициентов $\delta_{m,0-(j-1)}$; $\delta_{m,0-(j-1)} \Psi_{p,0-(j-1)} \approx \Psi_{m,0-(j-1)}$ при известных значениях $\delta_{p,0-(j-1)}$; $\delta_{p,0-(j-1)} \Psi_{p,0-(j-1)} \approx \Psi_{m,0-(j-1)}$. Границные условия для правого конца первого участка известны. Следовательно, переходя ко второму, третьему и последующим участкам, можно определять граничные условия для левого конца k -го участка. Подобным же образом, двигаясь от участка k , можно найти граничные условия для правого конца участка $(k+1)$.

Определение перемещений сечения между k -м и $(k+1)$ -м участниками, а также перемещений в других сечениях балки труда не вызывает и будет показано в дальнейшем.

Рассмотрим более подробно деформации участка (см. рис. 3.39). Рассекая балку в любом сечении x и обозначая через y суммарный прогиб балки, через y_1 — прогиб от изгиба и y_2 — прогиб от сдвига, запишем уравнения равновесия

$$\begin{aligned} P_p e^{i\omega t} - \int_0^x m_0 \frac{\partial^2 y}{\partial x^2} dx &= N(x, t); \\ M_1 e^{i\omega t} - \int_0^x m_0 \frac{\partial^3 y}{\partial x^3} dx + \int_0^x m_0 p^2 \frac{\partial^2 y_1}{\partial x \partial t^2} dx + \\ &+ P_p e^{i\omega t} x - T_0 [y(x) - y(0)] = M(x, t), \end{aligned} \quad (3.104)$$

где m_0 — комплексная погонная масса балки, p — радиус инерции погонной массы, $N(x, t)$ и $M(x, t)$ — перерезывающая сила и изгибающий момент.

Поставим в (3.104) известные соотношения

$$M(x, t) = EI \frac{dy_1}{dx^2}; \quad N(x, t) = -G \Omega \frac{dy_1}{dx}, \quad (3.105)$$

где I — момент инерции сечения; Ω — эффективная площадь сечения.

Продифференцировав (3.105), будем иметь систему уравнений

$$\begin{aligned} EI \frac{d^3 y_1}{dx^3} + m_0 \frac{\partial y_1}{\partial t^2} - m_0 p^2 \frac{d^2 y_1}{dx^2 dt^2} + T_0 \frac{\partial y_1}{\partial x^2} &= 0; \\ G \Omega \frac{d^2 y_1}{dx^2} - m_0 \frac{\partial y_1}{\partial t^2} &= 0. \end{aligned} \quad (3.106)$$

Чтобы получить удобное выражение перерезывающей силы, заменим второй член первого уравнения (3.106) членом $G \Omega \frac{d^2 y_1}{dx^2}$ и проинтегрируем все члены. Получим

$$N(x, t) = -G \Omega \frac{\partial y_1}{\partial x} - EI \frac{\partial^2 y_1}{\partial x^3} - m_0 p^2 \frac{\partial^2 y_1}{\partial x \partial t^2} + T_0 \frac{\partial y_1}{\partial x}. \quad (3.107)$$

Прогибы балки будем разинять в виде $y = \omega(x) e^{i\omega t}$; $y_1 = -w_1(x) e^{i\omega t}$; $y_2 = w_2(x) e^{i\omega t}$. Тогда решение задачи определится системой уравнений

$$\begin{aligned} EI \frac{d^3 w_1}{dx^3} - m_0 \omega^2 w_1 + m_0 p^2 \omega^2 \frac{d^2 w_1}{dx^2} + T_0 \frac{\partial w_1}{\partial x} &= 0; \\ G \Omega \frac{d^2 w_1}{dx^2} + m_0 \omega^2 w_1 &= 0 \end{aligned} \quad (3.108)$$

при граничных условиях: $x = 0$

$$\frac{dw_1}{dx^2} = \frac{M_1}{EI}; \quad \frac{dw_1}{dx^3} + \frac{m_0 p^2 \omega^2}{EI} \frac{dw_1}{dx} + \frac{T_0}{EI} \frac{dw_1}{dx} = \frac{P_1}{EI};$$

$x = l$

$$\begin{aligned} w_1 &= \left(EI \frac{d^2 w_1}{dx^2} + m_0 \omega^2 \omega^2 \frac{dw_1}{dx} + T_0 \frac{dw_1}{dx} \right) \delta_{p,0-(j-1)} - \\ &- EI \frac{dw_1}{dx^2} \delta_{m,0-(j-1)} = 0; \\ \frac{dw_1}{dx} &= \left(EI \frac{d^2 w_1}{dx^2} + m_0 \omega^2 \omega^2 \frac{dw_1}{dx} + T_0 \frac{dw_1}{dx} \right) \Psi_{p,0-(j-1)} - \\ &- EI \frac{dw_1}{dx^2} \Psi_{m,0-(j-1)} = 0, \end{aligned} \quad (3.109)$$

При выводе последнего граничного условия учитывалось, что угол поворота сечения балки равен $\frac{dw_1}{dx}$, а не $\frac{dy}{dx}$, так как сдвиг вызывает скольжение слоя балки и изменение суммарной стрелки прогиба, но не изменение поворота сечений.

Складывая уравнения (3.108) и интегрируя результат для раза, получим

$$w_1 = -\frac{EI}{G \Omega} \frac{d^2 w_1}{dx^2} - \frac{m_0 p^2 \omega^2}{G \Omega} w_1 - \frac{T_0}{G \Omega} w + Ax + B, \quad (3.110)$$

причем из граничных условий при $x = 0$ ясно, что $A = 0$.

Изключая из уравнений (3.109) w_1 , находим

$$EI \frac{d^2w}{dx_1^2} + \left(T_0 + \frac{\pi_0 w^2}{6J} EI + \mu_0^2 w^2 \right) \frac{dw}{dx_1} - \mu_0^2 w^2 \left(1 - \frac{\pi_0^2 w^2}{6J} \right) w = 0$$

или в безразмерном виде

$$\frac{d^2w}{dx_1^2} + [k^2 + \mu_0^2(1 + \gamma_1)] \frac{dw}{dx_1} - \mu_0^2(1 - \gamma_1)w = 0, \quad (3.111)$$

где

$$x_1 = \frac{x}{l}; \quad k = \sqrt{\frac{T_0 l^2}{EI}}; \quad \gamma_1 = \sqrt{\frac{\pi_0 w^2}{6J}};$$

$$\mu_0 = \sqrt{\frac{\pi_0 w^2}{EI}}; \quad \gamma_2 = \frac{\rho G J}{EI}; \quad \gamma_3 = \frac{\mu_0^2 w^2}{6J}.$$

Общий интеграл (3.111) имеет вид

$$w = A_1 \cosh \alpha x_1 + A_2 \sinh \alpha x_1 + A_3 \cos \beta x_1 + A_4 \sin \beta x_1, \quad (3.112)$$

где

$$\alpha = \sqrt{\sqrt{\left(\frac{k^2 + \mu_0^2(1 + \gamma_1)^2}{2} \right)^2 + \mu_0^2(1 - \gamma_2)} - \frac{k^2 + \mu_0^2(1 + \gamma_1)}{2}},$$

$$\beta = \sqrt{\sqrt{\left(\frac{k^2 + \mu_0^2(1 - \gamma_1)^2}{2} \right)^2 + \mu_0^2(1 - \gamma_2)} + \frac{k^2 + \mu_0^2(1 + \gamma_1)}{2}}.$$

Границные условия преобразуются к виду: при $x_1 = 0$

$$\frac{d^2w}{dx_1^2} + \mu_0^2 w = \frac{M_1(l)}{EI},$$

$$\frac{d^2w}{dx_1^2} + [k^2 + \mu_0^2(1 + \gamma_1)] \frac{dw}{dx_1} + \mu_0^2 \gamma_1 \int_0^{x_1} w dx_1 = \frac{P_1(l)}{EI};$$

при $x_1 = 1$

$$w = \frac{EI}{\mu_0^2} \left\{ \frac{d^2w}{dx_1^2} + [k^2 + \mu_0^2(1 + \gamma_1)] \frac{dw}{dx_1} + \mu_0^2 \gamma_1 \int_0^{x_1} w dx_1 \right\} \delta_{m,3-i-j-0} - \frac{EI}{\mu_0^2} \left\{ \frac{d^2w}{dx_1^2} + \mu_0^2 w \right\} \delta_{m,0-(i-j)} = 0; \quad (3.113)$$

$$\frac{dw}{dx_1} = \frac{EI}{\mu_0^2} \left\{ \frac{d^2w}{dx_1^2} + [k^2 + \mu_0^2(1 + \gamma_1)] \frac{dw}{dx_1} + \mu_0^2 \gamma_1 \int_0^{x_1} w dx_1 \right\} \Psi_{m,3-i-j-0} - \frac{EI}{\mu_0^2} \left(\frac{d^2w}{dx_1^2} + \mu_0^2 w \right) \Psi_{m,0-(i-j)} = 0.$$

Коэффициенты податливости участка j равны

$$\delta_{p,j} = w(0), \quad \Psi_{p,j} = w'(0) \text{ при } M_1 = 0, \quad P_1 = 1; \quad (3.114)$$

$$\delta_{m,j} = w(0), \quad \Psi_{m,j} = w'(0) \text{ при } M_1 = 1, \quad P_1 = 0.$$

т.е.

$$w'(0) = \frac{1}{l} \left(\frac{dw}{dx_1} - \frac{dw}{dx_1} \right) + \frac{1}{l} \left(\frac{dw}{dx_1} + \frac{P_1 l}{EI} \right).$$

Формулы (3.112) – (3.114) дают полное решение задачи.

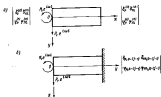


Рис. 3.40.

Для практических целей удобно применить следующий искусственный прием:

на первом этапе рассчитать деформации свободной балки (рис. 3.40, а) и найти коэффициенты податливости ее обоих концов; сопрячь свободную балку с отброшенной частью системы (рис. 3.40, б) и найти условия в задании M_1 и P_1 из уравнений

$$\delta_p^{(1)} = P_1^{(1)} \delta_p^{(2)} + M_1^{(1)} \delta_m^{(1)} = P_1^{(1)} \delta_{p,3-i-j-0} + M_1^{(1)} \delta_{m,3-i-j-0}; \quad (3.115)$$

$$\Psi_p^{(1)} = P_1^{(1)} \Psi_p^{(2)} + M_1^{(1)} \Psi_m^{(1)} = P_1^{(1)} \Psi_{p,3-i-j-0} + M_1^{(1)} \Psi_{m,3-i-j-0};$$

$$\delta_m^{(1)} = P_1^{(1)} \delta_p^{(2)} + M_1^{(1)} \delta_m^{(1)} = P_1^{(1)} \delta_{m,3-i-j-0} + M_1^{(1)} \delta_{m,3-i-j-0}; \quad (3.116)$$

$$\Psi_m^{(1)} = P_1^{(1)} \Psi_p^{(2)} + M_1^{(1)} \Psi_m^{(1)} = P_1^{(1)} \Psi_{p,3-i-j-0} + M_1^{(1)} \Psi_{m,3-i-j-0};$$

найти коэффициенты податливости

$$\delta_{p,j} = \delta_p^{(1)} - P_1^{(1)} \delta_p^{(2)} + M_1^{(1)} \delta_m^{(1)}, \quad \Psi_{p,j} = \Psi_p^{(1)} + P_1^{(1)} \Psi_p^{(2)} - M_1^{(1)} \Psi_m^{(1)}; \quad (3.117)$$

$$\delta_{m,j} = \delta_m^{(1)} - P_1^{(1)} \delta_m^{(2)} + M_1^{(1)} \delta_m^{(1)}, \quad \Psi_{m,j} =$$

$$= \Psi_m^{(1)} + P_1^{(1)} \Psi_p^{(2)} - M_1^{(1)} \Psi_m^{(1)}.$$

Коэффициенты податливости для свободной балки

$$\begin{aligned} \delta_p^{(1)} &= -A_{1,p} \sin \alpha - A_{2,p} \cos \alpha - A_{3,p} \cos \beta - A_{4,p} \sin \beta; \\ \delta_c^{(1)} &= -A_{1,p} - A_{3,p}; \\ \delta_\theta^{(1)} &= \frac{\alpha}{l} (A_{1,p} \sin \alpha + A_{2,p} \cos \alpha) + \frac{\beta}{l} (-A_{3,p} \cos \beta + A_{4,p} \sin \beta) + \frac{1}{EI}; \\ \psi_\theta^{(1)} &= \frac{\alpha}{l} A_{2,p} + \frac{\beta}{l} A_{4,p}; \\ \delta_m^{(1)} &= A_{1,m} \sin \alpha + A_{2,m} \cos \alpha + A_{3,m} \cos \beta + A_{4,m} \sin \beta; \\ \delta_\theta^{(2)} &= A_{1,m} + A_{3,m}; \quad (3.118) \\ \psi_\theta^{(2)} &= -\frac{\alpha}{l} (A_{1,m} \sin \alpha + A_{2,m} \cos \alpha) - \frac{\beta}{l} (-A_{3,m} \cos \beta + A_{4,m} \sin \beta); \\ \delta_m^{(2)} &= -\frac{\alpha}{l} A_{2,m} - \frac{\beta}{l} A_{4,m}; \\ A_{2,p} &= -\frac{\rho}{EI} \frac{\beta^2 - \mu_c^2}{\alpha^2 + \alpha\gamma^2} \left[\frac{(\beta^2 - \beta\gamma^2)(\alpha^2 + \mu_c^2) \sin \alpha - (\beta^2 - \mu_c^2) \sin \beta}{\alpha^2 + \alpha\gamma^2} \right]; \\ A_{3,p} &= -\frac{\rho}{EI} \frac{\beta^2 - \mu_c^2}{\alpha^2 + \alpha\gamma^2} \left[(\beta^2 - \beta\gamma^2) \sin \alpha - \cos \beta + \frac{(\beta^2 - \beta\gamma^2) \frac{\mu_c^2 \gamma^2}{\alpha}}{\alpha^2 + \alpha\gamma^2} (\sin \alpha - 1) + \frac{\mu_c^2 \gamma^2}{\beta} (\beta - \cos \beta) \right]; \\ A_{4,p} &= \frac{\rho}{EI} \frac{\beta^2 - \mu_c^2}{\alpha^2 + \alpha\gamma^2} (\beta^2 - \mu_c^2) (\sin \alpha - \cos \beta); \\ A_{2,m} &= -\frac{\rho}{EI} \frac{\beta^2 - \mu_c^2}{\alpha^2 + \alpha\gamma^2} \left[\frac{\beta^2 - \mu_c^2}{\alpha^2 + \alpha\gamma^2} \left(\alpha^2 + \alpha\gamma^2 + \frac{\mu_c^2 \gamma^2}{\alpha} \right) \sin \alpha + \left(\beta^2 - \beta\gamma^2 + \frac{\mu_c^2 \gamma^2}{\beta} \right) \sin \beta \right]; \\ A_{3,m} &= -\frac{\rho}{EI} \frac{\beta^2 - \mu_c^2}{\alpha^2 + \alpha\gamma^2} \left[\frac{\beta^2 - \mu_c^2}{\alpha^2 + \alpha\gamma^2} (\alpha^2 + \mu_c^2) \sin \alpha - (\beta^2 - \mu_c^2) \sin \beta \right]. \end{aligned}$$

$$\begin{aligned} A_{3,n} &= \frac{\rho}{EI} \times \\ &\times \frac{\left[(\beta^2 - \beta\gamma^2) (\sin \alpha - \cos \beta) - \frac{\beta^2 - \beta\gamma^2}{\alpha^2 + \alpha\gamma^2} \frac{\mu_c^2 \gamma^2}{\alpha} (\sin \alpha - 1) + \frac{\mu_c^2 \gamma^2}{\beta} (1 - \cos \beta) \right]}{\beta}; \\ A_{4,n} &= \frac{\rho}{EI} \frac{\beta^2 - \mu_c^2}{\alpha^2 + \alpha\gamma^2} \left(\alpha^2 + \alpha\gamma^2 + \frac{\mu_c^2 \gamma^2}{\alpha} \right) \sin \alpha + \left(\beta^2 - \beta\gamma^2 + \frac{\mu_c^2 \gamma^2}{\beta} \right) \sin \beta; \\ A_{6,n} &= -\frac{\rho}{EI} \frac{\beta^2 - \mu_c^2}{\alpha^2 + \alpha\gamma^2} \left[\frac{\beta^2 - \beta\gamma^2}{\alpha^2 + \alpha\gamma^2} (\alpha^2 + \alpha\gamma^2 + \frac{\mu_c^2 \gamma^2}{\alpha}) \sin \alpha + \left(\beta^2 - \beta\gamma^2 + \frac{\mu_c^2 \gamma^2}{\beta} \right) \sin \beta \right] \times \\ &\times \left[\beta^2 + \mu_c^2 \right]; \\ \Delta &= (\beta^2 - \mu_c^2) (\sin \alpha - \cos \beta) [(\beta^2 - \beta\gamma^2) (\sin \alpha - \cos \beta) + \\ &+ \frac{\beta^2 - \beta\gamma^2}{\alpha^2 + \alpha\gamma^2} \frac{\mu_c^2 \gamma^2}{\alpha} (\sin \alpha - 1) + \frac{\mu_c^2 \gamma^2}{\beta} (1 - \cos \beta)] - \\ &- \left[\frac{\beta^2 - \beta\gamma^2}{\alpha^2 + \mu_c^2} \left(\alpha^2 + \alpha\gamma^2 + \frac{\mu_c^2 \gamma^2}{\alpha} \right) \sin \alpha + \left(\beta^2 - \beta\gamma^2 + \frac{\mu_c^2 \gamma^2}{\beta} \right) \sin \beta \right] \times \\ &\times \left[\frac{\beta^2 - \beta\gamma^2}{\alpha^2 + \alpha\gamma^2} (\alpha^2 + \mu_c^2) \sin \alpha - (\beta^2 - \mu_c^2) \sin \beta \right]. \end{aligned}$$

При последовательном исключении участков среза направо (от участка n) общие выражения для коэффициентов податливости можно оставлять прежними.

Однако ввиду принятого правила знаков для внутренних усилий, прогибов и углов поворота будем полагать, что положительный момент $M_{k,n-k}$, умноженный на положительный коэффициент $\varphi_{n,n-k}$, дает отрицательный угол поворота, а положительная сила, умноженная на положительный коэффициент $\delta_{p,n-k}$, дает отрицательный прогиб.

Условия сопряжения в сечениях, где приложены внешние усилия (рис. 3.38), можно записать в виде

$$\begin{aligned} (M_k + M_{1,k}) \delta_{p,n-k} + (P_{k-1} + P_{1,k}) \varphi_{p,n-k} &= M_{1,k} \delta_{p,n-k} - P_{1,k} \varphi_{p,n-k}; \\ (M_k + M_{1,k}) \varphi_{p,n-k} + (P_{k-1} + P_{1,k}) \varphi_{p,n-k} &= -M_{1,k} \varphi_{p,n-k} + P_{1,k} \varphi_{p,n-k}. \end{aligned}$$

Определение внутренние усилия $M_{1,k}$ и $P_{1,k}$, нетрудно найти, зная внутренние усилия и перемещения в любом сечении рассматриваемой балки.

§ 21. Метод динамических возмущений¹

1. О базовом идея метода. Пусть исследуются деформации произвольной линейной упругой системы, находящейся в положении статического равновесия. Последнее задается граничными условиями на поверхности и уравнениями равновесия, которые полагают записанными в перемещениях

$$L_0(u_1, u_2, \dots, u_n) = q_0(x, y, z), \quad i = 1, 2, \dots, n, \quad (3.119)$$

где u_i — перемещения системы; L_0 — линейный оператор; $q_0(x, y, z)$ — компоненты внешней нагрузки; x, y, z — координаты.

Предположим, что в момент времени $t = t_0$ система выведена из положения статического равновесия в положение $u_1^0(x, y, z)$, $u_2^0(x, y, z), \dots, u_n^0(x, y, z)$ и затем отпущена с нулевой скоростью. Если система имеет сопротивление, пропорциональные скорости, то движение ее при $t > t_0$ описывается системой уравнений

$$\ddot{m}_i + 2\eta_i \dot{u}_i + L_1(u_1, u_2, \dots, u_n) = q_i(x, y, z), \quad (3.120)$$

граничными условиями на поверхности и начальными условиями

$$u_i(t_0) = u_i^0, \quad \dot{u}_i(t_0) = 0, \quad (3.121)$$

где m_i — массы, участвующие в движении по направлению смещений u_i ; η_i — коэффициенты сопротивлений при движении в направлении u_i (точкой помечено дифференцирование по времени).

Движение системы имеет затухающий характер. Независимо от u_i^0 ее смещения с течением времени приближаются к смещениям, характерным для положения статического равновесия системы.

Эти общеизвестные положения дают возможность построить довольно удобный для реализации на ЭВМ метод численного решения статических задач.

Вместо исходной системы (3.119) будем интегрировать систему (3.120) при тех же граничных условиях. Примем для системы (3.120) при $t = 0$ касовые скорости $v_i = u_i = 0$ и производные, но удовлетворяющие граничным условиям выражения для смещений, $u_i(0) = u_{i0}(x, y, z)$.

Применим для интегрирования (3.120) во времени метод Эйлера. Очевидно, что при $t = t_0 - \Delta t$

$$u_i(t_0) = u_{i0} + v_{i0}\Delta t;$$

$$v_i(t_0) = v_{i0} = u_{i0} - L_0(u_{i0}, u_{i1}, \dots, u_{in}) - 2\eta_i u_{i0} \Delta t. \quad (3.122)$$

Для произвольного $t_k = k\Delta t$ имеем рекуррентные зависимости

$$u_i(t_k) = u_{ik} \sim u_{i,k-1} + v_{i,k-1} \Delta t;$$

$$v_i(t_k) = v_{ik} = v_{i,k-1} + [q_i - L_1(u_{i,k-1}, u_{i,k-2}, \dots, u_{i,k-3}) - 2\eta_i v_{i,k-1}] \Delta t. \quad (3.123)$$

Согласно сказанному выше, при $k \rightarrow \infty$ скорости v_{ik} затухают, а u_{ik} стремится к решению системы (3.119). Задаваясь допустимой погрешностью $\epsilon = u_{ik} - u_{ik-1}$, можно остановить iterationный процесс при каком-то конечной k и принять полученные u_{ik} за искомые.

Отметим, что при реализации на ЭВМ дифференциальные операторы $L_1(\cdot)$ заменяются разностными $\tilde{L}_1(\cdot)$. Тогда в любой узловой точке внутри области интегрирования (3.119) должны соблюдаться равенства (3.123). Смещения точек вне области интегрирования выражаются через смещения внутренних точек с помощью граничных условий, которые также записываются в конечно-разностной форме.

Таким образом, метод динамических возмущений сводится к следующему:

- исходные уравнения статики записываются в конечно-разностной форме и дополняются членами, учитывающими динамику процесса; в число последних входит силы сопротивления, пропорциональные скорости;

- задается производное, по удовлетворяющее граничным условиям задачи отложенное от статического положения равновесия состояние системы (смещения);

- рассчитывается методом Эйлера движение системы, которое с течением времени локализуется возле положения статического равновесия;

- найденные при достаточно большом времени значения смещений принимаются за смещения, отвечающие положению статического равновесия.

2. Выбор коэффициентов сопротивлений. Объем вычислений при использовании метода динамических возмущений зависит от выбора возможного состояния системы u_{i0} и коэффициента сопротивления. Относительно u_{i0} можно рекомендовать использовать значения u_i^0 , найденные любым приближенным методом, пусть даже весьма грубые. Что касается значений η_i , то этот вопрос требует специального рассмотрения. Приняв малые η_i , получим весьма медленно затухающие колебания возле положения статического равновесия. При больших η_i будет наблюдаться апериодическое движение с быстрыми затухающими скоростями, и, как следствие, прогиб будет также медленно стремиться к статическому равновесию.

Для выбора оптимальных значений η_i применяем аналитический анализ движения системы. С этой целью разложим перемещения u_i в ряд по формам $\Phi_{ij}(x, y, z)$ главных свободных колебаний:

$$u_{ij} = \sum_l c_{ijl}(t) \Phi_{ijl}(x, y, z). \quad (3.124)$$

Тогда для j -й гармоники при единичных массах (их значения роли не играют) получим

$$\ddot{u}_{ij} + 2\eta_i \dot{u}_{ij} + \lambda_{ij}^2 u_{ij} = P_{ij}. \quad (3.125)$$

¹ Параграф написан О. М. Планом.

где λ_i — частота главных свободных колебаний по форме Φ_i при $\omega_0 = 0$; P_{ij} — обобщенная сила.

Решением системы уравнений (3.120) при $\omega_0 = 1$ и начальных условиях (3.121) будет

$$u_i = u_i^* + \varepsilon_i; \quad (3.126a)$$

$$\begin{aligned} \varepsilon_i = \sum_j \frac{P_{ij}}{\lambda_j^2} e^{-\lambda_j^2 t} \left(\cos \lambda_j^2 t + \frac{\eta_j}{\lambda_j^2} \sin \lambda_j^2 t \right) \times \\ \times \left(1 - \frac{\eta_j \lambda_j^2}{P_{ij}} \right) \Phi_{ij}, \end{aligned} \quad (3.126b)$$

где u_i^* — искомый статический прогиб; ε_i — динамическая добавка к нему, определяющая при заданном t погрешность расчета;

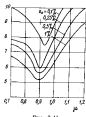


Рис. 3.41.

$$\varepsilon_i = \frac{\varepsilon_0^*}{\mu} \approx \frac{e^{-\mu^2 T} \sin(\sqrt{1-\mu^2} T + \varphi)}{\sqrt{1-\mu^2}}, \quad (3.127)$$

где $\mu = \eta_j / \lambda_{j0}$; $\varphi = \arcsin \sqrt{1-\mu^2}$; $T = \lambda_{j0} t^*$; t — время, при котором разница между динамическим и статическим (искомым) смещением не превышает ε_0^* .

Решение уравнения (3.127) относительно T при различных μ и ε_0^* показано на рис. 3.41. Видно, что минимальное t получается при $\mu_i \approx 0.9 \lambda_{j0}$.

Важно подчеркнуть, что процесс вычислений сходится при любом положительном μ , а изменение μ в довольно широких пределах (0,6–1,2) не приводит к резкому увеличению T .

Очевидно теперь максимально допустимое значение ΔT . Пусть расстояние между узлами сетки в направлениях x , y , z составляют

λ_x , λ_y , λ_z ; число узловых точек внутри области интегрирования — k_x , k_y , k_z . Ясно, что разностная схема может учесть формы колебаний с числом узлов не больше k_x , k_y , k_z . Обозначим через λ_{max} наибольшую из частот главных свободных колебаний системы, отвечающих таким формам. Для правильного описания какой-либо формы колебаний нужно располагать в пределах периода колебаний не менее чем пятью-шестью расчетными точками. Отсюда

$$\Delta t \leq \frac{2\pi}{\lambda_{\text{max}}}; \quad \Delta T \leq \frac{2\pi}{\delta} \frac{\lambda_{\text{max}}}{k_{\text{max}}}. \quad (3.128)$$

Имея неравенства (3.128) и воспользовавшись данным рис. 3.41, нетрудно оценить требуемое число шагов по времени (число итераций), обеспечивающее погрешность не более ε_0 :

$$k_i(\varepsilon_0) = \frac{T(\varepsilon_0)}{\Delta T} = \frac{2\pi(\varepsilon_0)}{2\pi} \frac{\lambda_{\text{max}}}{k_{\text{max}}}. \quad (3.129)$$

Выражение (3.129) дает, как отмечалось, оценку требуемого числа шагов сверху.

Частоты главных свободных колебаний для многих упругих систем изменяются пропорционально квадрату наибольшего числа узлов в рассматриваемой форме. Отсюда следует $\lambda_x \approx \lambda_y \approx \lambda_z$, $N_{tp} = k_x^2 k_y k_z$, где k_j — наибольшая из величин k_x , k_y , k_z .

При использовании обычного конечного-разностного метода и схемы Гаусса требуемое число операций N_{tp} составляет не менее $N_{tp} = (k_x k_y k_z)^{2/3}$. Отсюда становится ясным преимущество метода динамических суммаций при решении многомерных задач. Мы не говорим уже здесь о таком важном свойстве, как устойчивость процесса вычислений.

3. Пример расчета. Появляемся особенности применения метода на примере квадратной пластинки (стороны $2a \times 2a$) постоянной толщины h , загруженной равномерно распределенной косоугольной нагрузкой q ; пластина шарниро закреплена по всем краям.

Система исходных уравнений и граничные условия для такой пластины (начала координат в центре) имеют вид

$$L(\bar{w}) = \frac{\partial^2 \bar{w}}{\partial x^2} + 2 \frac{\partial^2 \bar{w}}{\partial x \partial y} + \frac{\partial^2 \bar{w}}{\partial y^2} = 1; \quad (3.130)$$

при

$$\frac{1}{a} - \frac{x}{a} = 1 - \frac{\partial \bar{w}}{\partial x} = \bar{w} = 0;$$

$$\eta_1 = \frac{y}{a} = 1 - \frac{\partial \bar{w}}{\partial y} = \bar{w} = 0, \quad (3.130a)$$

где $\bar{w} = w D/(qa^4)$; w — нормальный прогиб; D — квадратическая жесткость.

Частоты колебаний λ_{\min} и λ_{\max} пластинки определяются по известным формулам

$$\lambda_{\min} = \frac{\pi^2}{2a^2} V D, \quad \lambda_{\max} = k^2 \frac{\pi^2}{2a^2} V D. \quad (3.131)$$

Запишем (3.130) и (3.130а) в конечно-разностной форме (квадратная сетка с ячейкой $\delta \times \delta$):

$$\begin{aligned} L(i, j) - L(\bar{i}) - s^4 [20\bar{w}(i, j) - 8(\bar{w}(i+1, j) + \bar{w}(i-1, j) + \\ + \bar{w}(i, j+1) + \bar{w}(i, j-1)] + 2[\bar{w}(i+1, j+1) + \bar{w}(i+1, j-1) + \\ + \bar{w}(i-1, j+1) + \bar{w}(i-1, j-1)] + \bar{w}(i+2, j) + \\ + \bar{w}(i-2, j) + \bar{w}(i, j+2) + \bar{w}(i, j-2)] = 1; \quad (3.132) \\ \bar{w}(-i, j) = \bar{w}(i, j); \bar{w}(i, -j) = \bar{w}(i, j); \\ \bar{w}(-i, -j) = \bar{w}(i, j); \bar{w}(i, s) = \bar{w}(s, j) = 0; \\ \bar{w}(i, s+1) + \bar{w}(i, s-1) = 0; \bar{w}(s+1, j) + \bar{w}(s-1, j) = 0, \end{aligned}$$

где $a = b\delta$; $\bar{w}(i, j)$ — прогиб в узловой точке с координатами $s = i\delta$, $j = j\delta$, $A_\delta = 2\delta$.

Согласно данным п. 2, примем

$$s = 0,90_{\text{ст}} - 0,9 \frac{\pi^2}{2a^2} V D. \quad (3.133)$$

$$\Delta t = \frac{2\pi}{\omega_{\max}} = \frac{0,0635a^2}{s^2 V D}.$$

Постановка (3.132) и (3.133) в (3.123) дает

$$\bar{w}_k(i, j) = \bar{w}_{k-1}(i, j) + \frac{0,0635}{s^2} \bar{v}_{k-1}(i, j);$$

$$v_k(i, j) = \bar{v}_{k-1}(i, j) \left(1 - \frac{0,0635}{s^2}\right) + \frac{0,0635}{s^2} - 0,0635s^2 L_{k-1}(i, j), \quad (3.134)$$

$$\bar{v} = v \frac{V D}{s^2}.$$

Требуемое число итераций, обеспечивающее погрешность вычислений по (3.134) не более 1%, составляет

$$k \approx \frac{s^2 \omega_{\text{ст}}}{2\pi} \frac{\lambda_{\max}}{\lambda_{\min}} \approx 16s^2.$$

На рис. 3.42 представлены результаты расчета пластинки при $s = 2$. Видно, что расходжение численного решения с точным, даже при таком малом s , не превышает 5%; требуемое фактическое число итераций (около 70) совпало с расчетным.

Напомним выше алгоритм может быть использован и для исследования плавненных процессов статического деформирования конструкций. Общая схема и ее обоснования остаются неизменными, кроме вида операторов $L(\cdot)$, которые могут трансформироваться при переходе от итерации к итерации.

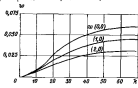


Рис. 3.42.

Данные выше оценки затраченный k , шаг Δt и требуемого числа итераций, по-видимому, можно сократить и в линейном случае, хотя, безусловно, они станут более грубыми.

§ 22. Некоторые особенности применения метода конечных разностей

Существо метода конечных разностей изложено в § 11, а его подробному рассмотрению посвящена обширная литература [7, 14], поэтому остановимся лишь на некоторых особенностях этого метода, относительно мало изложенных в литературе.

При аппроксимации производных конечно-разностями получаемые в итоге алгебраические уравнения автоматически превращаются в исходные дифференциальные, если полагать шаг разности $\delta = 0$. Однако это еще не гарантирует точности при любом конечно-разном значении δ .

Пусть исходная математическая модель имеет вид

$$y' + Ay = 0; \quad (3.135)$$

$$y(0) = 1, \quad 0 < x < 1, \quad A > 0. \quad (3.136)$$

Для решения системы (3.135) на ЭВМ она заменяется разностными уравнениями. Важно простейшие аппроксимации пронумеровать, например, записать

$$y_{k+1} - y_{k-1} + (1-\mu) \frac{y_{k+1} - y_k}{\delta} + Ay_k = 0; \quad (3.137)$$

$$y_0 - y_1 = 1, \quad (3.138)$$

где $h = \frac{1}{\mu}$ — шаг; n — число участков; u_i — значение функции в точке $x_i = i h$.

Всеказалось быично. Однако сходимость модели обеспечивается не при любом μ .

Решение уравнения (3.137) в явном виде III записывается как

$$u_k = \frac{q_1^k (q_3 - 1) - q_2^k (q_3 - \mu)}{q_3 - q_1},$$

где q_1 и q_3 — корни характеристического уравнения, полученные при $u_k = \mu q^k$, т. е. при

$$-\frac{\mu}{2} - (1 - \mu - Ah) q + \left(1 - \frac{\mu}{2}\right) q^2 = 0.$$

С точностью до членов порядка h имеем

$$u_k = (1 - Ah)^k - \left(\frac{\mu}{2 - \mu}\right)^k Ah (1 + Ah)^k.$$

Существуют разложения

$$(1 - Ah)^k \approx e^{-Ah} + O(h^2);$$

$$(1 + Ah)^k \approx e^{Ah} + O(h^2).$$

Учитывая, что точное решение для u_k будет e^{-Ah} , находим погрешность решения

$$|u_k| = \left(\frac{\mu}{2 - \mu}\right)^k \left(1 - \frac{\mu}{2}\right) Ah e^{Ah} + O(h).$$

Как видно, с уменьшением шага погрешность стремится к нулю только в случае $\frac{\mu}{2 - \mu} < 1$. Отсюда при $\mu < 1$ модель сходится, а при $\mu > 1$ нет.

Чтобы понять причины расходности, разложим значение u_{k+1} , u_{k-1} в ряд Тейлора:

$$u_{k+1} = u_k + u'_k h + u''_k \frac{h^2}{2} + O(h^3);$$

$$u_{k-1} = u_k - u'_k h + u''_k \frac{h^2}{2} + O(h^3).$$

Подставив эти выражения в уравнение (3.137), получим

$$u' + \frac{1 - \mu}{2} Ah'' + Ah + O(h^2) = 0.$$

Член $O(h^2)$ должен быть отброшен как малый высокого порядка.

Таким образом, прислав указанные выше разностные аппроксимации, мы вместо исходного уравнения (3.135) интегрируем уравнение

$$\frac{1 - \mu}{2} Ah'' + u' + Ah = 0. \quad (3.138)$$

Теперь можно дать полученным зависимостям механическую интерпретацию. Если $A > 0$, то исходное уравнение затруднительно трактовать как описываемое линеймодельное движение, захватывающее с течением времени. При наличии первого члена в уравнении (3.139) и положительном значении множителя этого члена приходит к захватывающему движению энергичной системы с сопротивлением. При отрицательном множителе имеем движение системы с отрицательной массой, возрастающее с течением времени. Следовательно, переходя к конечным разностям, мы, ясно видим, всегда изменяем исходные уравнения, а поэтому тем самым дополнительных членов может качественно менять характер искомого решения.

Отмеченное обстоятельство требует специального анализа применительно к каждой модели метода конечных разностей.

§ 23. Расчет осесимметричных деформаций произвольных оболочек вращения

Для более подробной иллюстрации использования метода парциальных отклонений при расчете напряженного и деформированного состояний конструкций рассмотрим произвольные оболочки вращения. Соответствующие дифференциальные уравнения и другие исходные зависимости были уже получены (см. § 7).

I. Анализ исходных зависимостей. Общая схема решения задачи. Начнем с анализа исходной системы (2.40), (2.41). Она линейная, так как второе уравнение (2.41) содержит члены $H \cos \theta(x)$ и $T \sin \theta(x)$, включающие произведения невязких внутренних параметров H , T , θ . Эти члены учитываются сложным изгибы, т. е. дополнительными изгибающими моментами, которые являются следствием учета конечной жесткости оболочек. Если относить уравнения разновески к исходному недеформированному состоянию, точищенные члены исчезают, а все остальные не претерпевают никаких изменений.

Границные условия (2.41a), а также условия сопряжения участков (2.42) — (2.45) линейны.

Возникает естественная мысль решать задачу методом последовательных приближений. Иными словами, нужно в первом приближении отбросить нелинейные члены, решить линейную задачу о деформации жесткой оболочки и найти приближенные значения T , H и θ . После этого рассматривается второе приближение с учетом подчеркнутых членов, заранее вычисленных по результатам

первого приближения; выше говоря, подчеркнутые члены начидают играть роль внешней нагрузки (распределенных моментов второго рода). Второе приближение дает уточненные значения и т. д.

Таким путем решения задачи в самом общем случае. Однако учет характерных особенностей рассчитываемых оболочек позволяет в ряде случаев упростить его.

Заметим, что в первое уравнение (2.40) не входят параметры процесса, кроме T . Это значит, что интегрирование этого уравнения можно выполнять независимо от интегрирования остальных уравнений. Если, как это часто бывает, начальное $T(0)$ известно, интегрирование основного расчета заранее найти функцию $T(s)$. Кроме того, внутренний параметр процесса μ , определяемый вторым уравнением (2.40), не входит ни в одно уравнение системы (2.41). Следовательно, теперь четыре уравнения (2.41) можно интегрировать независимо.

Таким образом, если $T(s)$ — известная функция и смещение само по себе интерес не представляет, то уравнение (2.40) можно исключить из рассмотрения.

Учитывая, что усилие T_1 , направленное по касательной к меридиану оболочки,

$$T_1 = T \sin \theta + H \cos \theta, \quad (3.140)$$

систему (2.41) можно переписать так:

$$\begin{aligned} \frac{dH}{ds} &= -(1-\mu) \frac{\cos \theta(0)}{r(0)} H + \frac{Eh(0)}{s^2(0)} \omega + \mu \frac{\sin \theta(0)}{r(0)} T - q_1(0); \\ \frac{dM}{ds} &= -(1-\mu) \frac{\cos \theta(0)}{r(0)} M + \lambda(s) \theta + H \sin \theta(s) + \\ &\quad + T_2 \theta - T \cos \theta(s); \\ \frac{d\omega}{ds} &= \frac{1-\mu^2}{Eh(0)} [T \sin \theta(s) \cos \theta(s) + H \cos^2 \theta(s)] - \\ &\quad - \mu \frac{\omega}{r(0)} \cos \theta(s) - \theta \sin \theta(s); \\ \frac{dT}{ds} &= \frac{12(1-\mu^2)}{Eh(0)} M - \mu \frac{E \cos \theta(0)}{r(0)}. \end{aligned} \quad (3.141)$$

Для оболочек, у которых угол θ близок к $\pi/2$, неизвестное тоже усилие $T_1 \approx T$.

Как следует из рис. 3.43, если принять, что усилие T_1 формируется из проекций усилий T и H , и пренебречь влиянием H , то $T_1 \approx T \sin \theta$; если принять, что усилие T формируется из проекций усилий T_2 и N , и пренебречь влиянием N , то

$$T_1 \approx \frac{T}{\sin \theta}. \quad (3.142)$$

Обычно более точным бывает второе выражение.

Таким образом, в случае статически определимого T направляется следующий путь решения.

В первом приближении значение T_1 вычисляется согласно (3.142). Тогда система (3.141) при известном T становится линейной и может быть решена общими методами, пригодными для решения соответствующих линейных систем. Зная в первом приближении значение $H(s)$, нетрудно найти, согласно (3.140), уточненное значение $T_1(s)$, подставить его в систему (3.141) и найти второе приближение. В случае необходимости легко сделать третье приближение и т. д.

2. Уравнения для парциальных откликов и характеристических параметров. Учет конечной жесткости превращает производственную оболочку вращения, строго говоря, в нелинейную систему, для которой не выполняется принцип наложения относительно линейных нагрузок. Например, гидростатическое давление p обуславливает одновременное появление нагрузок q_2 и q_1 . Но нагрузка q_2 формирует силу T_2 и силу T_3 , находящую в правую часть одного из уравнений (3.141) как соиндекс $\lambda(s)$. Следовательно, мы не можем рассчитывать деформации от давления $p = p_1 + p_2$ как сумму деформаций от давлений p_1 и p_2 . Однако отмеченная нелинейность не касается нагрузок q_2 и внутренних усилий $M = N$.

Рассмотрим оболочки с незакрепленными в направлении оси торцами, у которых усилие T статически определимо. Эти обстоятельства позволяют представить поставленную задачу как квазилинейную, если несколько обобщить само понятие парциального отклика (в частности, парциального параметра).

Обозначим цифрой 1 перемещение ω в поперечную силу H ; цифрой 2 — угол поворота θ и момент M ; цифрой 3 — перемещение ω и осевую силу T , рассмотрим парциальные отклики (рис. 3.44):

$A_{11}(s)$ — вертикальное перемещение ω в сечении s (на искусственно созданном свободном крае) от единичной силы $H = 1$, приложенной в этом же сечении;

$A_{12}(s)$ — вертикальное перемещение ω в сечении s (на свободном крае) от единичного момента $M = 1$, приложенного в том же сечении;

$A_{13}(s)$ — вертикальное перемещение ω в сечении s (на свободном крае) от единичной силы $T = 1$, приложенной в том же сечении;

$A_{21}(s)$ — угол поворота θ в сечении s (на свободном крае) от единичной силы $H = 1$, приложенной в том же сечении;

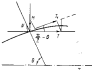


Рис. 3.43.

$A_{11}(s)$ — угол поворота θ в сечении s (на свободном крае) от единичного момента $M = 1$, приложенного в том же сечении;

$A_{12}(s)$ — угол поворота θ в сечении s (на свободном крае) от единичной силы $T = 1$, приложенной в том же сечении.

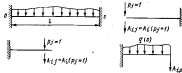


Рис. 3.45.

Здесь необходимо сразу же сделать два замечания: все отмеченные A_{ij} определяются с учетом сложного изгиба; откладки A_{11} , A_{12} , A_{22} мы не интересуем, так как перемещения и для нас интереса не представляют (торцы оболочки не закреплены).

Кроме парциальных откладок, нужно определить парциальные параметры A_{1s} ($\phi \equiv A_{1s}$ (ϕ) (см. рис. 3.44), т. е. вертикальное перемещение ϕ и угол поворота θ в сечении s (на свободном крае) от всей внешней нагрузки, приложенной по всей парциальной конструкции.

Для вывода дифференциальных уравнений, определяющих парциальные откладки, воспользуемся исходной системой (3.141). Пусть нам известны все откладки в сечении s ; необходимо выразить их в сечении $s + ds$. Приложим в сечении $s + ds$ единичную силу $H = 1$ и найдем смещение этого сечения под действием указанной силы (рис. 3.45). Кроме непосредственного воздействия $H = 1$, мы должны учесть влияние сложного изгиба от усилия T_1 . После приложения в сечении $s + ds$ силы $H = 1$ оболочка получат деформации и в сечении s возникнут усилия $H + dH = 1 + dH$ и момент dM . Значения dH и dM нетрудно найти из соответствующих уравнений равновесия в (3.141), если учесть, что в данном случае дифференциал ds имеет отрицательный знак (сечение s отстоит вправо от $s + ds$). После обобщенное значение второго порядка величины назовем

$$\begin{aligned} dH &= (1 - \mu) \frac{\cos \theta(s)}{r(s)} ds - \frac{Eh(s)}{r(s)} A_{13}(s) ds; \\ dM &= -\lambda(s) A_{11}(s) ds - \sin \theta(s) ds - T_1(s) A_{12}(s) ds. \end{aligned}$$

Рис. 3.45.

Их в сечении $s + ds$. Приложим в сечении $s + ds$ единичную силу $H = 1$ и найдем смещение этого сечения под действием указанной силы (рис. 3.45). Кроме непосредственного воздействия $H = 1$, мы должны учесть влияние сложного изгиба от усилия T_1 . После приложения в сечении $s + ds$ силы $H = 1$ оболочка получат деформации и в сечении s возникнут усилия $H + dH = 1 + dH$ и момент dM . Значения dH и dM нетрудно найти из соответствующих уравнений равновесия в (3.141), если учесть, что в данном случае дифференциал ds имеет отрицательный знак (сечение s отстоит вправо от $s + ds$). После обобщенное значение второго порядка величины назовем

В сечении s возникнут смещения

$$\begin{aligned} w(s) &= A_{11} + dHA_{11} + dMA_{12} = A_{11} + (1 - \mu) \frac{\cos \theta(s)}{r(s)} A_{11} ds - \\ &\quad - \frac{Eh(s)}{r(s)} A_{13}^2 ds - \lambda(s) A_{11} A_{12} ds - A_{13} \sin \theta(s) ds - \\ &\quad - T_1(s) A_{11} A_{12} ds; \\ \theta(s) &= A_{11} + dHA_{11} + dMA_{12} = A_{11} + (1 - \mu) \frac{\cos \theta(s)}{r(s)} A_{11} ds - \\ &\quad - \frac{Eh(s)}{r(s)} A_{11} A_{12} ds - \lambda(s) A_{11} A_{12} ds - A_{13} \sin \theta(s) ds - T_1(s) A_{11} A_{12} ds. \end{aligned}$$

Чтобы найти смещения в сечении $s + ds$, нужно к $w(s) \equiv w$ (ϕ) добавить $d w(s)$ и $d \theta(s)$ из (3.141):

$$\begin{aligned} w(s + ds) &= A_{11}(s + ds) = A_{11} + (1 - \mu) \frac{\cos \theta(s)}{r(s)} A_{11} ds - \\ &\quad - \frac{Eh(s)}{r(s)} A_{13}^2 ds - \lambda(s) A_{11} A_{12} ds - T_1(s) A_{11} A_{12} ds - A_{13} \sin \theta(s) ds + \\ &\quad + \frac{1 - \mu}{Eh(s)} \cos^2 \theta(s) ds - \mu \frac{\cos \theta(s)}{r(s)} A_{11} ds - A_{13} \sin \theta(s) ds; \\ \theta(s + ds) &= A_{11} + A_{11}(1 - \mu) \frac{\cos \theta(s)}{r(s)} ds - \frac{Eh(s)}{r(s)} A_{11} A_{12} ds - \\ &\quad - \lambda(s) A_{11} A_{12} ds - \sin \theta(s) A_{13} ds - T_1(s) A_{11} A_{12} ds - \mu \frac{\cos \theta(s)}{r(s)} A_{13} ds. \end{aligned}$$

Отсюда

$$\begin{aligned} dA_{11} &= A_{11}(s + ds) - A_{11}(s) = A_{11} + (1 - \mu) \frac{\cos \theta(s)}{r(s)} A_{11} ds - \\ &\quad - \frac{Eh(s)}{r(s)} A_{13}^2 ds - \lambda(s) A_{11} A_{12} ds - A_{13} \sin \theta(s) ds - T_1(s) A_{11} A_{12} ds + \\ &\quad + \frac{1 - \mu}{Eh(s)} \cos^2 \theta(s) ds - \mu \frac{\cos \theta(s)}{r(s)} A_{11} ds - A_{13} \sin \theta(s) ds - A_{11}; \\ dA_{12} &= A_{11}(s + ds) - A_{11}(s) = A_{11} + (1 - \mu) \frac{\cos \theta(s)}{r(s)} A_{12} ds - \\ &\quad - \frac{Eh(s)}{r(s)} A_{13} A_{12} ds - \lambda(s) A_{11} A_{12} ds - \sin \theta(s) A_{13} ds - \\ &\quad - T_1(s) A_{11} A_{12} ds - \mu \frac{\cos \theta(s)}{r(s)} A_{12} ds - A_{12}. \end{aligned}$$

После приведение подобных членов и деления на ds будем иметь

$$\frac{dA_{31}}{ds} = (1-2\mu) \frac{\cos \theta(s)}{r(s)} A_{31} + \frac{1-\mu^2}{Eh(s)} \cos^2 \theta(s) -$$

$$-\frac{Eh(s)}{r^2(s)} A_{12}^2 - \lambda(s) A_{31} A_{31} - A_{31} \sin \theta(s) - A_{31} \sin \theta(s) - T_1(s) A_{31} A_{31};$$

$$\frac{dA_{31}}{ds} = (1-2\mu) \frac{\cos \theta(s)}{r(s)} A_{31} - \frac{Eh(s)}{r^2(s)} A_{12} A_{31} - A_{31} \sin \theta(s) -$$

$$-\lambda(s) A_{31} A_{31} - T_1(s) A_{31} A_{31};$$

Аналогичным образом можно получить и все остальные уравнения. Остается лишь на некоторых соотношениях, которые имеются в выводе уравнений для dA_{12}/ds и dA_{23}/ds .

Значения A_{12} и A_{23} надо находить с учетом сложного изгиба. Поскольку рассматриваемая система криволинейной и в ней не выполняется принцип суперпозиции (наклонения) относительно силы T_1 , указанные парциальные отклики имеют несколько формального характера. При их вычислении, как и при определении других A_{ij} , нелинейный член системы уравнений, содержащий силу T_1 , рассматривается как выражающей раз в навсегда заданное свойство конструкции. К остальным линейным членам, содержащим T_1 , принцип суперпозиции с чисто формальными позиций вполне применим.

Учитывая изложенное, имеем

$$dH = -\frac{Eh(s)}{r^2(s)} A_{12} ds - \mu \frac{\sin \theta(s)}{r(s)} ds;$$

$$dM = -\lambda(s) A_{31} ds + \cos \theta(s) ds - T_1(s) A_{31} ds;$$

$$dT = \frac{\cos \theta(s)}{r(s)} ds.$$

Дальнейшие выводы аналогичны выводу A_{12} и A_{23} .

Таким образом, получаем систему уравнений для парциальных откликов и парциальных параметров:

$$\frac{dA_{12}}{ds} = (1-2\mu) \frac{\cos \theta(s)}{r(s)} A_{12} + \frac{1-\mu^2}{Eh(s)} \cos^2 \theta(s) - \frac{Eh(s)}{r^2(s)} A_{12}^2 -$$

$$-\lambda(s) A_{12} A_{12} - A_{12} \sin \theta(s) - A_{12} \sin \theta(s) - T_1(s) A_{12} A_{31}; \quad (3.143)$$

$$\frac{dA_{12}}{ds} = (1-2\mu) \frac{\cos \theta(s)}{r(s)} A_{12} - \frac{Eh(s)}{r^2(s)} A_{12} A_{12} -$$

$$-A_{12} \sin \theta(s) - \lambda(s) A_{12} A_{23} - T_1(s) A_{12} A_{23};$$

$$\frac{dA_{23}}{ds} = (1-2\mu) \frac{\cos \theta(s)}{r(s)} A_{23} - \frac{Eh(s)}{r^2(s)} A_{23} A_{23} - A_{23} \sin \theta(s) -$$

$$-\lambda(s) A_{23} A_{23} - T_1(s) A_{23} A_{23};$$

$$\frac{dA_{23}}{ds} = \frac{12(1-\mu^2)}{Eh(s)} + (1-2\mu) \frac{\cos \theta(s)}{r(s)} A_{23} -$$

$$-\frac{Eh(s)}{r^2(s)} A_{12} A_{12} - \lambda(s) A_{23}^2 - T_1(s) A_{23}^2;$$

$$\frac{dA_{12}}{ds} = \frac{1-\mu^2}{Eh(s)} \sin \theta(s) \cos \theta(s) + (1-\mu) \frac{\cos \theta(s)}{r(s)} A_{12} - A_{12} \sin \theta(s) -$$

$$-A_{12} \left[\frac{Eh(s)}{r^2(s)} A_{12} + \mu \frac{\sin \theta(s)}{r(s)} \right] +$$

$$+ A_{12} [\cos \theta(s) - \lambda(s) A_{31}] - T_1(s) A_{31} A_{31};$$

$$\frac{dA_{12}}{ds} = \frac{1-\mu}{r(s)} \cos \theta(s) A_{12} - \left[\frac{Eh(s)}{r^2(s)} A_{12} + \mu \frac{\sin \theta(s)}{r(s)} \right] A_{23} +$$

$$+ [\cos \theta(s) - \lambda(s) A_{31}] A_{31} - T_1(s) A_{31} A_{31};$$

$$\frac{dA_{12}}{ds} = -A_{12} \left[\frac{Eh(s)}{r^2(s)} A_{12} - q_1(s) \right] - \lambda(s) A_{12} A_{31} + q_1(s) A_{31} -$$

$$- A_{12} \sin \theta(s) - \mu \frac{\cos \theta(s)}{r(s)} A_{12} - T_1(s) A_{12} A_{23};$$

$$\frac{dA_{12}}{ds} = -A_{12} \left[\frac{Eh(s)}{r^2(s)} A_{12} - q_1(s) \right] - \lambda(s) A_{23} A_{12} +$$

$$+ q_1(s) A_{23} - \mu \frac{\cos \theta(s)}{r(s)} A_{23} - T_1(s) A_{12} A_{23}.$$

Выше предполагалось, что оболочка загружена лицом распределенными нагрузками $q_1 = q_1(s)$. Однако когда необходимо учесть действие внешних осесимметрических сосредоточенных сил P , приложенных в некотором сечении ($s = s_0$) или действие внешних моментов \mathfrak{M} , приложенных в сечении ($s = s_0$) (рис. 3.46). Сосредоточенная нагрузка не влияет на парциальные отклики, являющиеся свойствами конструкции, но в парциальных параметрах $A_{ij}(s)$ появляется скачок.

Рассмотрим действие силы $P = P(s_0)$. Пусть в сечении ($s_0 = 0$), т. е. непосредственно перед сосредоточенной силой, значения парциальных параметров равны $A_{ij}(s_0)$. Сосредоточенная сила дает дополнительные смещения, которые легко выражаются через парциальные отклики $A_{ij}(s)$. Отсюда сразу получаем значения парциальных параметров в сечении ($s_0 = 0$), т. е. непосредственно за сосредоточенной силой,

$$A_{ij}(s_0 = 0) = A_{ij}(s_0) + A_{ij}(s_0) + P(s_0) A_{ij}(s_0). \quad (3.144)$$

Аналогичным образом нетрудно выразить парциальные параметры $A_{ij}'(s_m)$ в сечении непосредственно за внешним сосредоточенным моментом

$$A_{ij}'(s_m) = A_{ij}(s_m) + \mathfrak{M}(s_m) A_{ij}(s_m). \quad (3.144a)$$

Уравнения (3.144а) являются уравнениями переноса для парциальных отклонений и парциальных параметров вдоль координаты x .

Зная коэффициенты податливости опорных конструкций оболочки, мы знаем значения отклонений $A_{10}^0(0)$ и $A_{10}^0(l)$. Следовательно, уравнение для $A_{10}^0(x)$ можно интегрировать при заданных начальных условиях.

Аналогичным образом расчет опорных конструкций должен дать значения $A_{10}^0(0)$ и $A_{10}^0(l)$. Если действие нагрузки на опорные конструкции не рассматривается, то $A_{10}^0(0) = 0$ и $A_{10}^0(l) = 0$. Если деформации опорных конструкций подчиняются теореме вза-



Рис. 3.46.

мости, то начальные значения парциальных отклонений также отражают эту теорему, т. е. $A_{10}(0) = A_{10}(l)$. Анализируя зависимость (3.144), видим, что $A_{11}(0) = A_{21}(0)$. Этого следовало ожидать, так как оболочка представляет собой линейно-деформируемую систему относительно усилий H , M и теории взаимности для нее не должна нарушаться.

3. Парциальные отклонения и парциальные параметры оболочек, подкрепленных шлангутами. До сих пор мы рассматривали гладкие оболочки. Переходим теперь к оболочкам, подкрепленным шлангутами. Исследуем сначала случай, когда профиль шлангута симметричен, т. е. когда единичная сила и единичный момент, приложенные к шлангуту, вызывают смещения A_{11}^{00} — вертикальное смещение и верхней кромки шлангута от единичной силы $R = 1$ и A_{21}^{00} — угол поворота сечения стеки шлангута от единичного момента $M_R = 1$. Вертикальное смещение от момента M_R и угол поворота от силы R равны нулю. Положительные направления R и M_R показаны на рис. 2.10. Ясно, что A_{11}^{00} представляют собой не что иное, как парциальные отклонения шлангута. Продольным смещениям и силам T шлангут не сопротивляется, а движется как твердое тело. В сечении $x = x_0$, где стоит δ -шлангут, будут происходить сдвиги во всех парциальных отклонениях A_{10} и парциальных параметрах A_{10} , обусловленные подкреплением шлангута.

Итак, задача сводится следующим образом: известны значения $A_{10}(x_0)$ и $A_{10}^0(x_0)$ в сечении ($x=0$) непосредственно перед шлангутом; требуется найти значения $A_{10}^0(x_0)$ и $A_{10}^0(x_0)$ в сечении $x+0$ непосредственно после шлангута. Остальной расчет оболочки остается без всяких изменений.

Для определения A_{10}^0 и A_{10}^0 следует раскрывать статическую неопределенность узла обвязки — шлангута и находить значения R и M_R , что требует решения системы всего из двух линейных алгебраических уравнений с двумя неизвестными.

Расчет проводим в несколько этапов. Предположим, что шлангут обладает жесткостью по относению к изгибу, но не сопротивляется поворотам. Тогда $A_{11}^{00} \neq 0$ (но конечно); $A_{21}^{00} = \infty$.

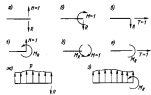


Рис. 3.47.

Применим в сечении ($x_0 + 0$) силу $H = 1$ (рис. 3.47, а). Прогиб угол поворота этого сечения

$$w(x_0 + 0) = \bar{A}_{11} = A_{11} - RA_{11} = A_{11} - \frac{\bar{A}_{11}^0}{A_{11}^{00}} A_{11};$$

$$\theta(x_0 + 0) = \bar{A}_{21} = A_{21} - RA_{21} = A_{21} - \frac{\bar{A}_{11}^0}{A_{11}^{00}} A_{21} = A_{21} \left(1 - \frac{\bar{A}_{11}^0}{A_{11}^{00}} \right);$$

$$\bar{A}_{11}^0 = \frac{A_{11}}{1 + \frac{A_{11}}{A_{11}^{00}}} = \frac{A_{11}}{A_{11} + A_{11}^{00}} A_{11}^{00};$$

$$\bar{A}_{21}^0 = A_{21} \left(1 - \frac{A_{11}}{A_{11} + A_{11}^{00}} \right).$$

Прикладывая в сечении ($x_0 + 0$) момент $M = 1$ (рис. 3.47, б), аналогичным образом получаем

$$w(x_0 + 0) = \bar{A}_{12} = A_{12} - RA_{12} = A_{12} - A_{12} \frac{\bar{A}_{11}^0}{A_{11}^{00}} = \frac{A_{12}}{1 + \frac{A_{12}}{A_{11}^{00}}},$$

$$\theta(x_0 + 0) = \bar{A}_{22} = A_{22} - RA_{22} = A_{22} - A_{22} \frac{\bar{A}_{11}^0}{A_{11}^{00}} = A_{22} - \frac{A_{22} A_{11}}{A_{11} + A_{11}^{00}}.$$

Теорема взаимности не нарушается, так как $\bar{A}_{12}^+ = \bar{A}_{21}^+$:

$$\bar{A}_{12}^+ - A_{12} = \frac{1}{1 + \frac{A_{12}}{A_{11}^{(0)}}} = A_{12} - \frac{A_{11}^{(0)}}{A_{11} + A_{11}^{(0)}};$$

$$\bar{A}_{21}^+ = A_{21} \left(1 - \frac{A_{11}}{A_{11} + A_{11}^{(0)}} \right) = A_{21} - \frac{A_{11}^{(0)}}{A_{11} + A_{11}^{(0)}} = \bar{A}_{21}^+.$$

Следовательно, $T = 1$ в сечении $(x_k + 0)$ дает (рис. 3.47, a):

$$w(x_k + 0) = \bar{A}_{12}^+ - A_{12} - RA_{12} = A_{12} - \frac{\bar{A}_{12}^+}{A_{11}^{(0)}} A_{11} = -\frac{A_{12}}{1 + \frac{A_{12}}{A_{11}^{(0)}}};$$

$$\theta(x_k + 0) = \bar{A}_{21}^+ - A_{21} = A_{21} - RA_{21} - A_{21} - \frac{\bar{A}_{21}^+}{A_{11}^{(0)}} A_{11} = -A_{21} - A_{11} \frac{A_{12}}{A_{11}^{(0)} + A_{11}}.$$

Величины \bar{A}_{12}^+ , $\bar{A}_{12}^- = \bar{A}_{21}^+$, \bar{A}_{21}^+ , \bar{A}_{21}^- и \bar{A}_{12}^- представляют собой парциальные отклики оболочки после шлангоута, если шлангут обладает жесткостью на изгибание и не обладает жесткостью на кручение.

Снимаем шлангут жесткость на кручение, т. е. положим $A_{22}^{(0)} \neq \infty$, учитывая вычисление A_{12}^+ . Прикладываем в сечении $(x_k + 0)$ силу $H = 1$ (рис. 3.47, б), записываем

$$\theta_H(x_k + 0) = A_{12}^+ - \bar{A}_{12}^+ - M_R \bar{A}_{12}^+ - \bar{A}_{12}^+ - \frac{A_{12}^+}{A_{22}^{(0)}} \bar{A}_{21}^+ = -\frac{\bar{A}_{12}^+}{1 + \frac{A_{12}^+}{A_{22}^{(0)}}};$$

$$w_H(x_k + 0) = A_{12}^+ - \bar{A}_{12}^+ - M_R \bar{A}_{12}^+ - \bar{A}_{12}^+ - \frac{A_{12}^+}{A_{22}^{(0)}} \bar{A}_{12}^+ = A_{12}^+ - \frac{(A_{21}^+)^2}{A_{11}^{(0)} + A_{22}^{(0)}}.$$

Аналогичным приемом после приложения $M = 1$ (рис. 3.47, в) и $T = 1$ (рис. 3.47, г) получаем

$$\theta_M(x_k + 0) = A_{21}^+ - \bar{A}_{21}^+ - M_R \bar{A}_{21}^+ - \bar{A}_{21}^+ - \frac{\bar{A}_{21}^+}{A_{22}^{(0)}} A_{12}^+ = -\frac{\bar{A}_{21}^+}{1 + \frac{A_{21}^+}{A_{22}^{(0)}}};$$

$$w_M(x_k + 0) = A_{21}^+ - \bar{A}_{21}^+ - M_R \bar{A}_{21}^+ - \bar{A}_{21}^+ - \left(1 - \frac{\bar{A}_{21}^+}{A_{22}^{(0)}} \right) = \bar{A}_{21}^+ \left(1 - \frac{\bar{A}_{21}^+}{A_{22}^{(0)} + A_{11}^+} \right) = A_{21}^+;$$

$$\theta_T(x_k + 0) = A_{21}^+ - \bar{A}_{21}^+ - M_R \bar{A}_{21}^+ - \bar{A}_{21}^+ - \frac{A_{21}^+}{A_{22}^{(0)}} \bar{A}_{12}^+ = -\frac{\bar{A}_{21}^+}{1 + \frac{A_{21}^+}{A_{22}^{(0)}}};$$

$$w_T(x_k + 0) = A_{21}^+ - \bar{A}_{21}^+ - M_R \bar{A}_{21}^+ - \bar{A}_{21}^+ - \frac{A_{21}^+}{A_{22}^{(0)}} \bar{A}_{12}^+ = -\bar{A}_{21}^+ - \bar{A}_{12}^+ \frac{\bar{A}_{21}^+}{\bar{A}_{12}^+ + A_{22}^{(0)}}.$$

Таким образом, все скачки в парциальных откликах определены. Переходим к наложение парциальных параметров и снова рассмотрим шлангут, сопротивляющийся только изгибу, а затем учтем его сопротивление кручению.

Имеем (рис. 3.47, ж)

$$\bar{A}_{12}^+ = A_{12} - RA_{11} = A_{12} - \frac{\bar{A}_{12}^+}{A_{11}^{(0)}} A_{11} = -\frac{A_{12}}{1 + \frac{A_{12}}{A_{11}^{(0)}}};$$

$$\bar{A}_{21}^+ = A_{21} - RA_{21} = A_{21} - \frac{\bar{A}_{21}^+}{A_{11}^{(0)}} A_{11} = A_{21} - A_{11} \frac{A_{12}}{A_{11}^{(0)} + A_{11}}.$$

Сообщив шлангуту жесткость на кручение, получим (рис. 3.47, з)

$$\bar{A}_{21}^+ - \bar{A}_{12}^+ - M_R \bar{A}_{21}^+ - \bar{A}_{12}^+ - \frac{\bar{A}_{21}^+}{A_{22}^{(0)}} \bar{A}_{12}^+ = -\frac{\bar{A}_{12}^+}{1 + \frac{\bar{A}_{21}^+}{A_{22}^{(0)}}};$$

$$A_{12}^+ - \bar{A}_{12}^+ - M_R \bar{A}_{12}^+ - \bar{A}_{12}^+ - \frac{A_{12}^+}{A_{22}^{(0)}} \bar{A}_{21}^+ = \bar{A}_{12}^+ - \bar{A}_{21}^+ - \frac{\bar{A}_{12}^+}{A_{22}^{(0)} + \bar{A}_{21}^+}.$$

Обратимся к более редкому, но все же возможному случаю, когда оболочка подкреплена в виде сечений сопротивляемых жесткостям, которые характеризуются матрицей из четырех коэффициентов податливости $A_{11}^{(0)}, A_{12}^{(0)}, A_{21}^{(0)}, A_{22}^{(0)}$. Такой жесткостью может быть, например, шлангут несимметричного профиля. Принимая в сечении A единичную силу $H = 1$, записываем

$$A_{11}(1 - R) - M_R A_{12} = RA_{11}^{(0)} + M_R A_{11}^{(0)};$$

$$A_{21}(1 - R) - M_R A_{21} = RA_{21}^{(0)} + M_R A_{21}^{(0)}. \quad (3.145)$$

Решение этой системы позволит найти значения R и M_R , после чего имеем

$$A_{12} = A_{12}(1 - R) - M_R A_{11};$$

$$A_{21} = A_{21}(1 - R) - M_R A_{21} = A_{21}; \quad (3.146)$$

По аналогии приложение единичного момента $M = 1$ дает

$$\begin{aligned} -A_{11}R + A_{12}(1 - M_R) &= RA_{11}^{(0)} + M_R A_{12}^{(0)}; \\ -A_{21}R + A_{22}(1 - M_R) &= RA_{21}^{(0)} + M_R A_{22}^{(0)}, \end{aligned} \quad (3.147)$$

тогда

$$A_{12}^+ = -A_{11}R + A_{12}(1 - M_R). \quad (3.148)$$



Рис. 3.48.

Прикладывая единичную силу $T = 1$, находим

$$\begin{aligned} -A_{11}R - A_{12}M_R + A_{12} &= RA_{11}^{(0)} + M_R A_{12}^{(0)}; \\ -A_{21}R - A_{22}M_R + A_{22} &= RA_{21}^{(0)} + M_R A_{22}^{(0)}; \\ A_{12}^+ &= -A_{11}R - A_{12}M_R + A_{12}; \\ A_{22}^+ &= -A_{21}R - A_{22}M_R + A_{22}. \end{aligned}$$

Для определения A_{12}^+ и A_{22}^+ имеем

$$\begin{aligned} -A_{11}R - A_{12}M_R + A_{12} &= RA_{11}^{(0)} + M_R A_{12}^{(0)}; \\ -A_{21}R - A_{22}M_R + A_{22} &= RA_{21}^{(0)} + M_R A_{22}^{(0)}; \\ A_{12}^+ &= -A_{11}R - A_{12}M_R + A_{12}; \\ A_{22}^+ &= -A_{21}R - A_{22}M_R + A_{22}. \end{aligned}$$

При решении систем (3.145) — (3.147) обычным способом иногда получаются малые разности близких величин и резкая потеря точности результатов. Учитывая это, здесь целесообразно применить способ ортогонализации матриц, которому легко дать механическую интерпретацию.

Будем моделировать изгибом условной механической системы (рис. 3.48, а), которая представляет собой абсолютно жесткий прямой линии l . Последний соединен с пружиной податливости $A_{12}^{(0)}$, препятствующей смещению ω , и с пружиной податливости $A_{22}^{(0)}$, которая препятствует повороту θ . Длина l выбирается из условия моделирования коэффициентов податливости $A_{12}^{(0)} = A_{12}^{(1)}$; $l = A_{12}^{(0)}/A_{22}^{(0)}$.

Определение A_{12}^+ и A_{22}^+ производится в два этапа.

Первый этап. Рассматривается присоединение к оболочке системы с одной пружиной податливости $A_{11}^{(0)}$ (рис. 3.48, б).

В точке A прикладываем силу $R = 1$. Исходя из геометрических соотношений записываем зависимость между смещениями ω_A и θ_A в точке A и смещениями ω_B и θ_B в точке B : $\omega_A = \omega_B + \dot{\theta}_B$; $\theta_A = \theta_B$.

Отсюда имеем уравнение для определения реакции R приложим $A_{11}^{(0)}$

$$\begin{aligned} A_{11} - A_{11}R + A_{12}R &= RA_{11}^{(0)} + A_{12}l \cdot 1 - A_{21}RI + A_{22}R^2; \\ R &= \frac{A_{11} - IA_{12}}{A_{11} - 2IA_{12} + A_{11}^{(0)} + A_{22}l^2}. \end{aligned}$$

Следовательно, коэффициенты податливости \bar{A}_{11}^+ и \bar{A}_{22}^+ оболочки после присоединения связи с одной пружиной $A_{11}^{(0)}$ будут

$$\begin{aligned} \bar{A}_{11}^+ &= A_{11}(1 - R) + A_{12}RI; \\ \bar{A}_{22}^+ &= A_{21}(1 - R) + A_{22}RI. \end{aligned}$$

Приложим в точке A момент $M = 1$. Реакция R пружины $A_{11}^{(0)}$ определяется уравнением

$$\begin{aligned} -A_{11}R + A_{12} + A_{12}R &= RA_{11}^{(0)} + A_{12}l + A_{21}RI - A_{22}R; \\ R &= \frac{A_{12} - IA_{12}}{A_{11} - 2IA_{12} + A_{11}^{(0)} + A_{22}l^2}. \end{aligned}$$

Следовательно,

$$\bar{A}_{12}^+ = A_{12}(1 + RI) - A_{22}R.$$

Прикладываем в точке A силу $T = 1$, имеем

$$A_{12} - RA_{11} + RI A_{11} = RA_{11}^{(0)} + IA_{12} - A_{21}RI + RI^2 A_{22};$$

$$R = \frac{A_{12} - IA_{12}}{A_{11} - 2IA_{12} + A_{11}^{(0)} + A_{22}l^2};$$

$$\bar{A}_{12}^+ = A_{12} - RA_{11} + RI A_{11};$$

$$\bar{A}_{22}^+ = A_{21} - RA_{21} + RI A_{21}.$$

Аналогичным образом получаем

$$\bar{A}_{12}^+ = A_{12} - RA_{11} + RI A_{11};$$

$$\bar{A}_{22}^+ = A_{21} - RA_{21} + RI A_{21},$$

т.е.

$$R = \frac{A_{12} - IA_{12}}{A_{11} - 2IA_{12} + A_{11}^{(0)} + A_{22}l^2}.$$

Второй этап. Присоединим пружину с коэффициентом податливости A_{21} . Прикладываем в точке A силу $H = 1$. Углы поворота $\theta_A = \theta_B - A_{12} - M_R \bar{A}_{21}$. Отсюда

$$\bar{A}_{21} = M_R \bar{A}_{21} - M_R A_{21}^{(0)},$$

$$M_R = \frac{\bar{A}_{21}}{\bar{A}_{21} + A_{21}^{(0)}}.$$

следовательно,

$$A_{12}^+ = \bar{A}_{21} - M_R \bar{A}_{21};$$

$$A_{12}^- = \bar{A}_{21} - M_R \bar{A}_{21}.$$

Прикладываем в точке A момент $M = 1$. Уравнение для M_R имеет вид

$$\bar{A}_{21} - M_R \bar{A}_{21} = M_R A_{21}^{(0)}$$

$$M_R = \frac{\bar{A}_{21}}{\bar{A}_{21} + A_{21}^{(0)}}.$$

отсюда

$$A_{12}^+ = \bar{A}_{21} (1 - M_R).$$

Прикладываем в точке A силу $T = 1$, имеем

$$\bar{A}_{21} - M_R \bar{A}_{21} = M_R A_{21}^{(0)};$$

$$M_R = \frac{\bar{A}_{21}}{\bar{A}_{21} + A_{21}^{(0)}}.$$

Отсюда

$$A_{12}^+ = \bar{A}_{21} - M_R \bar{A}_{21},$$

$$A_{12}^- = \bar{A}_{21} - M_R \bar{A}_{21}.$$

Совершенно аналогично получаем

$$A_{12}^+ = \bar{A}_{12} - M_R \bar{A}_{12};$$

$$A_{12}^- = \bar{A}_{12} - M_R \bar{A}_{12},$$

т.е.

$$M_R = \frac{\bar{A}_{12}}{\bar{A}_{12} + A_{12}^{(0)}}.$$

Иногда нас могут заинтересовать значения реакции R и момента M_R , воспринимаемых штангой после приложения к части системы внешней нагрузки, т. е. значения R и M_R , соответствующие \bar{A}_{12}^+ и \bar{A}_{12}^- . Поворот в точке B равен $\theta_A = A_{12}^+$, отсюда, $M_R = -A_{12}^+ / A_{12}^{(0)}$. Приращение $w_B = w_A - \theta_A l = A_{12}^+ - A_{12}^-$, следовательно,

$$R = \frac{A_{12}^+ - A_{12}^-}{A_{12}^{(0)}}.$$

4. Общая схема расчета оболочек. Согласно основной схеме метода парциальных отклонений, расчет деформаций оболочки должен производиться следующим образом.

Сначала определяются значения парциальных отклонений A_{ij}^0 (з) и парциальных параметров A_{ij}^0 (з) при движении слева направо, т. е. для частей конструкции между сечениями $z = 0$ и данным z . Для этого интегрируются уравнения (3.143). При прохождении сечений, где приложены скоординированные усилия, учитываются скачки в парциальных параметрах по формулам (3.144), а при прохождении сечений, где расположены штанги — скачки в парциальных отклонениях и парциальных параметрах.

Затем определяются значения парциальных отклонений A_{ij}^0 (з) и парциальных параметров A_{ij}^0 (з) при движении справа налево,

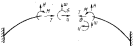


Рис. 3.49.

т. е. для частей конструкции между крайним правым сечением $z = l$ и данным сечением z . При этом используются те же зависимости, что и при определении A_{ij}^0 (з) и A_{ij}^0 (з).

Для определения параметров процесса деформирования оболочки в произвольном сечении z , т. е. определения w (з), θ (з), M (з), H (з), производится сопряжение деформаций левой и правой частей оболочки, что позволяет найти H (з) и M (з). Тогда

$$w(z) = A_{12}^0(z) + H(z) A_{11}^0(z) + M(z) A_{12}^0(z) + T(z) A_{12}^0(z);$$

$$\theta(z) = A_{12}^0(z) + H(z) A_{11}^0(z) + M(z) A_{12}^0(z) + T(z) A_{12}^0(z). \quad (3.145)$$

При этом записать условия сопряжения деформаций, напомним, что A_{12}^0 и A_{12}^0 вычисляются по тем же зависимостям, что и A_{11}^0 и A_{11}^0 (координата z отмечалась от правого концевого сечения). Это разумно только, что мы переместили правую часть конструкции и мысленно стали считать ее левой (рис. 3.49).

Учитывая принятное правило знаков для усилий и перемещений, имеем

$$\begin{aligned} & A_{11}^0(z) H(z) + A_{12}^0(z) M(z) + A_{12}^0(z) T(z) + A_{12}^0(z) = \\ & = -A_{11}^0(z) H(z) + A_{12}^0(z) M(z) + A_{12}^0(z) T(z) + A_{12}^0(z); \quad (3.150) \\ & A_{12}^0(z) H(z) + A_{12}^0(z) M(z) + A_{12}^0(z) T(z) + A_{12}^0(z) = \\ & = -[-A_{12}^0(z) H(z) + A_{12}^0(z) M(z) + A_{12}^0(z) T(z) + A_{12}^0(z)]. \end{aligned}$$

Приведенные выше расчетная схема и основные зависимости касаются общего случая оболочки вращения с заданными на левом и на правом концах сечений граничными условиями. Однако некоторые типы граничных условий требуют специального анализа.

Рассмотрим, например, совершающими свободный край оболочки, загруженный сосредоточенными усилиями $H(0)$ и $M(0)$. Зависимости отложений парциальных отклонок $A_{11}(0)$ равны бесконечности, т. е. в окрестности точки $s = 0$ не выполняются условия Коши-Линниши для уравнений (3.143) и для прямое численное интегрирование оказывается невозможным.

Выход можно найти, обращаясь к исходным уравнениям переноса (3.141). Для них точка $s = 0$ является особой, и они могут быть пронтегрированы методом начальных параметров. Хотя указанный метод дает расходящийся алгоритм, в данном случае с этим можно примириться, поскольку с его помощью нам нужно пройти лишь короткий участок в районе края, где погрешности не успевают накопиться. Расчет для короткого участка неудобно выносить вручную.

Аналогичные трудности возникают при пронтегрировании края, когда $A_{11}(0) = A_{21}(0) = A_{12}(0)$, $A_{22}(0) = \infty$. Выход тот же — нужно интегрировать на коротком участке уравнения переноса (3.141).

Следует подчеркнуть, что трудности при интегрировании уравнений для A_{11} и A_{12} могут встречаться не только на границах, но и в середине участка интегрирования, так как осевая сила T может вызвать парциальную потерю устойчивости части конструкции по некоторой осесимметричной форме, хотя вся конструкция еще не теряет устойчивости.

Таким образом, общим приемом расчета точек оболочки, где A_{11} и A_{12} неопределены или обращаются в бесконечность, является интегрирование методом начальных параметров уравнений (3.141) на заданном в окрестности этих точек коротком участке.

Принятие гипотез Лява—Бирагофа позволяет выделить одномерный шестипараметрический процесс осесимметричного деформирования срединной поверхности оболочки вращения. Его параметры являются T , H , M , ω , φ , Φ , которые связаны системой уравнений переноса. Принятые выше расчетная схема неходит из этих шести параметров. Но построенныйами расчетный алгоритм базируется на статической определенности усилия $T(s)$ или (в случае осевого закрепления оболочки) на его знаменательности: задаваясь усилием $T(0)$, мы делаем $T(s)$ сквозь статическую определенность. Перемещения $\varphi(s)$ нас не интересуют. Вследствие этого появляется возможность трактовать процесс как извличительно-параметрический, т. е. рассматривать лишь параметры H , M , ω , Φ и только четыре уравнения (3.141). Известное усилие $T(s)$ рассматривается при этом в качестве внешней нагрузки, а также, как известный коэффициент в члене $T(s) \sin \theta(\phi)$.

Вид расчетной схемы несколько изменится: вместо шести парциальных отклонок будем вычислять четыре (вершины, три, так как два из них равны по теореме взаимности); условия сопряжения примут другой вид.

Дифференциальные уравнения для парциальных отклонок A_{11} , A_{12} , A_{21} и A_{22} при новой схеме расчета не меняются, а дифференциальные уравнения для парциальных параметров примут вид

$$\begin{aligned} \frac{dA_{1p}}{ds} &= \left[-\frac{Eh(s)}{r^4(s)} A_{1p} - \mu \frac{\sin \theta(s)}{r(s)} T(s) + q_1(s) \right] A_{21} + \\ &\quad + A_{3p} \left[-\lambda(s) A_{2p} + T(s) \cos \theta(s) - T_1(s) A_{2p} \right] + \\ &+ \frac{1-\mu^2}{Eh(s)} T(s) \sin \theta(s) \cos \theta(s) - \mu \frac{\cos \theta(s)}{r(s)} A_{1p} - \sin \theta(s) A_{2p}; \\ \frac{dA_{2p}}{ds} &= \left[-\frac{Eh(s)}{r^4(s)} A_{2p} - \mu \frac{\sin \theta(s)}{r(s)} T(s) + q_1(s) \right] A_{12} + \\ &+ [-\lambda(s) A_{3p} + T(s) \cos \theta(s) - T_1(s) A_{3p}] A_{2p} - \mu \frac{\cos \theta(s)}{r(s)} A_{12}. \end{aligned}$$

Условия сопряжения записываются в виде

$$\begin{aligned} A_{11}^0 H + A_{12}^0 M + [A_{1p}^0 + A_{2p}^0] &= -A_{11}^0 H + A_{12}^0 M; \\ A_{12}^0 H + A_{22}^0 M + [A_{3p}^0 + A_{2p}^0] &= A_{12}^0 H - A_{22}^0 M. \end{aligned}$$

Следует отметить, что обе расчетные схемы равноправны. Пример. Установка шлюпки.

В качестве примера рассмотрим деформации в районе сопряжения двух оболочек — конуса и цилиндра (рис. 3.50) — под действием внешнего гидростатического давления. Ясный физический смысл в компактность общей расчетной схемы метода парциальных отклонок позволяет выполнить работу на малой ЭВМ, для которой и были составлены программы.

Рассматриваемая оболочка постоянной толщины жестко закреплена по концам и подкреплена одинаковыми заполнителями симметричного профиля. Ширина постоянна. Для расчета удобно ввести безразмерные параметры процесса, которые связаны с размерными следующими соотношениями:

$$\theta_1 = -\mu \sin \theta(x); \quad \varphi_1 = \mu \cos \theta(x); \quad T = -\frac{Eh}{2} \rho;$$

$$H = \bar{M} \rho r_0 h_0; \quad H = \bar{H} \rho \sqrt{r_0 h_0}; \quad x = \bar{x} \sqrt{r_0 h_0};$$

$$h(x) = h_0 \tilde{h}(\bar{x}); \quad r(x) = \bar{r} \bar{x}; \quad \omega = \bar{\omega} \frac{r_0^2 h_0^{3/2}}{Eh_0}; \quad \theta = \bar{\theta} \frac{E(h_0)^{5/2}}{Eh_0^2},$$



Рис. 3.50.

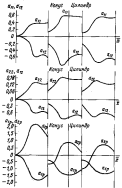


Рис. 3.51.

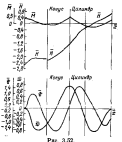


Рис. 3.52.

где ρ — внешнее давление; E — модуль нормальной упругости; чёрточкой отмечены безразмерные величины; r_0 , b_0 — радиус и толщина цилиндра.

Расчет производился по первой расчетной схеме (см. п. 4). Интегрирование уравнений для парциальных отклонов и парциальных параметров велось методом Эйлера. Шаг переменный. Парциальные отклонки и парциальные параметры вычислялись в безразмерном виде:

$$\alpha_{11} = A_{11} \frac{E b_0^2}{(\rho_0 b_0)^2};$$

$$\alpha_{12} = A_{12} \frac{E b_0^2}{(\rho_0 b_0)^2};$$

$$\alpha_{21} = A_{21} \frac{E b_0^2}{\rho_0 b_0};$$

$$\alpha_{22} = A_{22} \frac{E b_0^2}{(\rho_0 b_0)^2};$$

$$\alpha_{31} = \alpha_{32} = A_{31} \frac{E b_0}{\rho_0 b_0};$$

$$\alpha_{41} = A_{41} \frac{E b_0^2}{(\rho_0 b_0)^2};$$

$$\alpha_{42} = A_{42} \frac{E b_0^2}{\rho_0 b_0}.$$

Границные условия в точках $x = 0$ (внешний край цилиндра) и $x = l$ (внешний заделанный край конуса) при интегрировании уравнений для A_{ij} и A_{ij} брались нулями. Основные характеристики оболочки были следующие:

$\alpha = 22^\circ 12'$ — угол конусности ($\theta = 90^\circ - \alpha$); $\rho = 49$ кг/м³; $r_0/b_0 = 126$; $F = 44,8$ см² — площадь плангоута; $l = 1,98$ (l — безразмерная ширина); $I_3 = 1,156$.

Вид кривых парциальных отклонов α_{11} , α_{12} , α_{21} , α_{22} и парциальных параметров α_{31} , α_{32} представлена на рис. 3.51. Конечные результаты расчета приведены на рис. 3.52.

Предлагаемый алгоритм построен в полном согласии с принципом соответствия устойчивости алгоритма и рассматриваемого физического процесса, поэтому во всех случаях, когда рассматриваемый процесс деформирования устойчив, т. е. когда действующая нагрузка достаточно далека от критической (относительно осесимметричного выпучивания), устойчивость расчета обеспечивается автоматически.

При неустойчивости процесса осесимметричного деформирования расчет также становится неустойчивым. Однако тогда всякая попытка деформированной однократно деформированного и напряженного состояний является экстремальной.

§ 24. Общие замечания о потере устойчивости конструкций

Пронализируем с изложенным выше общих позиций проблему устойчивости произвольных деформируемых систем и, в первую очередь, конструкций судового корпуса.

1. Устойчивость процесса деформирования и устойчивость состояния равновесия. В литературе по строительной механике обычно не делается должного различия между двумя понятиями — устойчивостью процесса деформирования конструкции и устойчивостью ее состояния равновесия.

О втором понятии мы уже говорили в главе 2-й. Что касается первого понятия, то поясним его сущность конкретным примером.

Рассмотрим (рис. 3.53, а) устойчивость процесса упругого статического деформирования шарнирно-опорной склонной балки (желобки). В качестве параметров генетической идентификации возьмем следующие величины: силу T_s ($\pm \Delta T$), длину балки l ($\pm \Delta l$), плоскость ее первоначального сечения Ω ($\pm \Delta \Omega$), момент инерции сечения I ($\pm \Delta I$), момент сопротивления сечения W ($\pm \Delta W$), возможный эксцентриситет приложения нагрузки (от 0 до t_{max}), возможную начальную стрелку прогиба (от 0 до f_{max}). Допустимый разброс максимальных напряжений σ_{max} приемлем разным $\Delta \sigma = \pm 20\% \sigma_{max}$.



Рис. 3.53.

Величины ΔT_s , ΔI , ϵ_{\max} , f_{\max} , $\Delta \Omega$, ΔI , ΔF принимаются на основе анализа исходных данных расчета конструкции в целом, условий на поставку балок, условий контроля качества всех работ и т. п.

В случае идеально изготовленной прямой балки заменем

$$\sigma_{\max} = \frac{T}{\Omega}. \quad (3.151)$$

Но исходя из принятых параметров и условий генетической идентификации, мы должны учитывать возможность появления в других направлениях:

$$\sigma_{\max} = \frac{T_s + \Delta T_s}{\Omega - \Delta \Omega} + \frac{M}{E - \Delta E}, \quad (3.152)$$

Величина M определяется выражением

$$M = (T_s + \Delta T_s)(y_{\max} + f_{\max} + \epsilon_{\max}), \quad (3.153)$$

где y_{\max} должно быть найдено из уравнения

$$E(I - \Delta I)y'' = (T_s + \Delta T_s)y + (T_s + \Delta T_s) \times \\ \times \left(f_{\max} \sin \frac{\pi x}{l + \Delta l} + \epsilon_{\max} \right) \quad (3.154)$$

при граничных условиях: $y = 0$

$$E(I - \Delta I)y'' = (T_s + \Delta T_s)\epsilon_{\max}; \\ y = l + \Delta l$$

$$E(I - \Delta I)y'' = (T_s + \Delta T_s)\epsilon_{\max}. \quad (3.155)$$

При выводе уравнения (3.154) предполагалось, что наиболее «выгодная» погибь имеет форму синусоиды.

Процесс деформирования следует считать неустойчивым при таких значениях $T_s = T_{s, \text{кр}}$, когда σ_{\max} будет определяться, согласно (3.151) и (3.152), с различием не менее чем в 20%. Конечно, изменить указанную величину, задать не допустимый разброс напряжений, а допустимый максимальный разброс стрелок погибей после деформирования и т. д.

В нашем анализе мы использовали стационарность статического процесса деформирования во времени. Следовательно, необходимо проверить устойчивость этой стационарности: задать возможные динамические возмущения, проконтактить их к деформированной балке и оценить возможные добавочные динамические деформации и напряжения. Если последние достаточно малы, принятая стационарность устойчива; в противном случае онаurstична и требуется уменьшить $T_{s, \text{кр}}$, чтобы обеспечить достаточную массу динамических добавок.

Таким образом, динамическая проверка устойчивости процесса деформирования оказывается часто дополнительной; она может либо оставить значение $T_{s, \text{кр}}$ неизменным, либо уменьшить его.

Ясно, что, какими бы не были допускаемые разбросы выходных данных процесса деформирования (напряжений, прогибов и т. п.), критическое значение $T_{s, \text{кр}}$ всегда окажется меньше $T_s = \pi^2 EI/l^2$, при котором происходит потеря устойчивости положения равновесия: ведь при $T = T_s$ коэффициент сложного изгиба рассматриваемой конструкции обращается в бесконечность и, следовательно, все разбросы рамы бесконечны. Иными словами, процесс статического деформирования не может быть устойчивым, если не обеспечена устойчивость равновесия конструкции.

Практически обычно более важна потеря устойчивости процесса деформирования — как правило, она не может быть допущена в реальной конструкции.

2. Устойчивость первого и второго рода. Введение начальных погибей и иных начальных несовершенств с последующим рассмотрением поведения конструкции в процессе статического нагружения увеличивающейся нагрузкой называют исследованием устойчивости второго рода. Из предыдущего ясно, что это исследование представляет собой строгое выявление всех параметров генетической идентификации процесса.

Неvaryруя возможные начальные погибы балки, а также другие несовершенства (т. е. исходну устойчивость первого рода), мы отбрасываем вариации некоторых параметров генетической идентификации и тем самым находим устойчивость процесса деформирования и положение равновесия не полностью. Это приводит к тому, что в чисто упругой области устойчивости процесса деформирования теряется одновременно с устойчивостью равновесия, т. е. $T = T_s$, что, как мы уже видели, неверно.

Если учитывать пластические деформации балки, то введение вариаций начальных погибей снижает и критическую силу, вызывающую потерю устойчивости равновесия. Это видно из следующих рассуждений.

Если балка имеет начальную погибь, то наличие скимающей нагрузки вызывает увеличение этой погиби. Возрастание силы T обязательно приведет к появлению пластических деформаций (рис. 3.53, б), т. е. к снижению изгибной жесткости конструкций в районе затронутом пластической деформацией. В концах концов, балка с пониженной жесткостью теряет устойчивость раньше, чем сила T достигнет значения $\pi^2 EI/l^2$.

Конечно, можно пользоваться и условными расчетами: отбросить начальные несовершенства, получить значение $\pi^2 EI/l^2$ нагрузки, отвечающей потере устойчивости равновесия, и компенсировать неточность условного расчета наследием запрещенного коэффициента. Но нельзя забывать об этой неточности. В противном случае, определив поправочные коэффициенты для стержней с параметрами, лежащими в какой-то зоне, а затем перейдя к стержням с существенно другими параметрами, мы допустим серьезные ошибки.

Аналитическое выражение хорошо известно в теории устойчивости круговых цилиндрических оболочек. Обычно гидростатическое

зование, вызывающее потерю устойчивости равновесия круговой цилиндрической оболочки, определяют по известной формуле Мизеса, которая выведена в предположении, что оболочка не имеет начальных несовершенств. Затем в эту формулу входят довольно существенные поправочные коэффициенты, приводящие в соответствие результаты таких расчетов с результатами прямых экспериментов с оболочками.

Дальнейшие исследования, выполненные О. М. Паллем, В. С. Сорокиным и другими авторами, показали, что необходимость в поправочных коэффициентах объясняется в основном отбрасыванием начальных погрешностей. Под действием воспротивящего давления начальные прозрачественные погибы углубляются, в оболочке появляются изгибные напряжения и возникают пластические деформации. Оболочка с зонами пластических деформаций обладает повышенной изгибной жесткостью по сравнению с такой же конструкцией без пластической деформации. В конечном итоге реальная оболочка с уменьшенной из-за пластических деформаций жесткостью теряет устойчивость равновесия раньше, чем это следует из формулы Мизеса.

Проведенные уточненные исследования имеют не только научное значение. Они позволяют проанализировать роль допускаемых начальных погрешностей, а также рассчитывать оболочки с другими основными параметрами, чем испытанные до настоящего времени.

Таким образом, проведение исследований без учета начальных несовершенств всегда представляет собой некий, правда обычно полезный, суррогат полного исследования.

Иногда говорят, что исследование устойчивости второго рода — это, по существу, уже не анализ устойчивости, а расчет сложного изгиба. Но такое утверждение неверно; просто мы анализируем устойчивость с помощью решения задачи о сложном изгибе.

Динамические возмущения при использовании динамического критерия должны задаваться от наиболее неблагодарного возможного положения равновесия, полученного с учетом всех возможных вариаций в параметрах генетической идентификации.

Использование задачи о сложном изгибе часто необходимо и при отбрасывании начальных несовершенств. Для иллюстрации возьмем эллиптическое кольцо, испытывающее действие наружного гидростатического давления. Любое гидростатическое давление неизменно вызывает сложный изгиб кольца, даже если в нем нет никаких несовершенств, и нам нужно будет изучить устойчивость такого «изогнутого» состояния.

Поскольку мы обычно задаем конечные значения начальных несовершенств, т. е. конечные разбросы и параметры генетической идентификации, возникает вопрос: является ли исследование устойчивости второго рода при наличии начальных несовершенств расмотрением устойчивости состояния равновесия в большом? Страго говоря, да. Чтобы перейти к рассмотрению устойчивости в малом,

нужно рассматривать лишь бесконечно малые начальные несовершенства конструкции. Это всегда возможно, хотя обычно несомненно, так как в большинстве случаев не вносит поправок по сравнению с исследованием устойчивости первого рода.

Но можно рассуждать и по-другому. При этом обычно расчет распадается на два этапа. На первом мы задаем начальные несовершенства и с их учетом находим состояние равновесия конструкции, на втором — находим устойчивость найденного состояния равновесия. Здесь можно задаваться бесконечно малыми отклонениями и скоростями от положения равновесия, и тогда мы придем, по существу, к вопросу об устойчивости в малом. Но можно брать конечные отклонения и конечные скорости. В этом случае приходится к анализу устойчивости в большом. Иными словами, конечность начальных несовершенств оказывается лишь на первом этапе расчета.

Иногда второй этап расчета как бы исчезает, если мы ограничимся бесконечно малыми отклонениями и скоростями от положения равновесия: любое состояние равновесия с конечными деформациями устойчиво в малом, но при некотором конечном значении нагрузки выяснится, что положение равновесия имеет бесконечные деформации. Именно так происходит в случае упругого стержня или оболочки с погибью. Если же задаваться конечными отклонениями от положения равновесия и конечными скоростями, то устойчивость будет потеряна раньше, причем разность критических нагрузок растет с увеличением задаваемых конечных значений начальных несовершенств.

Устойчивость деформированного состояния может быть проверена указанным выше общим путем изучения устойчивости процессов, например численным расчетом с выполнением принципа и условий соответствия устойчивости алгоритма и процессы. Проверка устойчивости равновесия имеет ряд особенностей, которыми мы и будем в основном заниматься в этой главе.

3. Анализ различных случаев устойчивости равновесия деформируемых систем. Сравнение динамического и статического критерев устойчивости. Поясним все сказанное выше более подробно на простых примерах систем по преимуществу с одной или несколькими степенями свободы. (Многие примеры взяты из разных источников [26, 33].) Заметим также, что применение большинства приближенных методов, например основанных на задании формы деформаций конструкции, эквивалентно введению конечного числа степеней свободы и для конструкций с распределенными параметрами.

Возьмем упруго-тесное, линейно-упругозадемпленный одним концом абсолютно жесткий стержень, который заходит под действием силы P (рис. 3.54). Начальными несовершенствами конструкции пренебрежем. Выбрав в качестве обобщенной координаты угол поворота θ , получим выражение для потенциальной энер-

дан системе:

$$E_p = \frac{\alpha}{2} \theta^2 - P/(1 - \cos \theta) + E_{p0}, \quad (3.156)$$

где α — коэффициент жесткости заделки; E_{p0} — произвольная постоянная, зависящая от принятого нами нулевого положения с пульсацией энергии (как известно, потенциальная энергия всегда определяется с точностью до постоянной).

Положение $E_p > 0$, имеем при некотором фиксированном P график энергии, показанный на рис. 3.55, а. Положения равновесия соответствуют все точки, где $dE_p/d\theta = 0$, а положения устойчивого (в малой) равновесия — те на них, где, кроме того, функция E_p имеет минимум. При этом, как уже отмечалось, речь идет о динамическом критерии устойчивости, который был сформулирован в главе 2-й. Ясно, что при большей силе P вертикальное положение $\theta = 0$ неустойчиво (кривая I на рис. 3.55, б). При независимости P график $E_p = E_p(\theta)$ изменится и приобретет вид из рис. 3.55, б). Положение равновесия $\theta = 0$ стало устойчивым.

Рис. 3.54.

Запишем критерий равновесия

$$\frac{dE_p}{d\theta} = \alpha\theta - P/\sin\theta = 0; \quad (3.157)$$

дополнительный критерий устойчивого равновесия

$$\frac{d^2E_p}{d\theta^2} = \alpha - P/\cos\theta > 0 \quad (3.158a)$$

и дополнительный критерий неустойчивого равновесия

$$\frac{d^2E_p}{d\theta^2} < 0. \quad (3.158b)$$

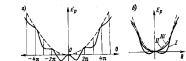


Рис. 3.55.

Между устойчивым и неустойчивым равновесием существует локальное граничное состояние, при котором

$$\frac{d^2E_p}{d\theta^2} = \alpha - P/\cos\theta = 0. \quad (3.159)$$

Оно соответствует для положения равновесия $\theta = 0$ критической силе

$$P = P_{kp} = \frac{\alpha}{l}. \quad (3.160)$$

Задаваясь различными θ в условие равновесия (3.157), нетрудно найти соответствующие им значения P и построить так называемую

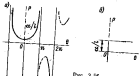


Рис. 3.56.

кривую состояния равновесия, показанную на рис. 3.56, а (сплошные линии соответствуют устойчивым состояниям, пунктирные — неустойчивым). Как видно из рисунка, некоторым силам P соответствуют несколько возможных положений и даже несколько возможных устойчивых положений. Кроме того, являются устойчивые отклоненные положения равновесия даже при достаточно больших растягивающих силах P . Правда, чтобы занять это устойчивое положение, конструкция должна преодолеть довольно большой магнитический барьер: внешние силовые возмущения сообщают ей значительную дополнительную энергию, которой у нее не было в первоначальном неотклоненном положении.

Теорема Дирихле, рассматривавшая устойчивость в малом, включает только условие минимума энергии, но не учитывает глубины его т. е. разницу в уровнях энергии между ним и ближайшим максимумом (высоты магнитического барьера). Рассматриваем устойчивость в большом, мы прежде всего исследуем эту разницу (высоту).

При критической силе (3.160) система имеет одно устойчивое положение. В иных калибровочных системах положение может изменяться, и граничное состояние окажется неустойчивым.

Для оценки устойчивости в малом вертикального положения спиралей $\theta = 0$ можно ограничиться рассмотрением деформированных состояний, мало отличающихся от нулевого. Для этого

разложим функцию E_p в ряд по степеням 0 и пренебрежем членами, куда θ входит в высших степенях.

$$E_p = \frac{\alpha}{2} \theta^2 - P_l \left(1 - 1 + \frac{\theta^2}{2!} - \frac{\theta^4}{4!} + \dots \right) \approx \\ \approx \frac{\alpha}{2} \theta^2 - \frac{P_l}{2} \theta^2, \quad (3.161)$$

Приближенное выражение функции E_p представляет собой параболу и в районе $\theta = 0$ оно мало отличается от точного (пунктирная кривая III на рис. 3.55, б).

В отличие от точного выражения (3.160) приближенное выражение (3.161) дает или одно положение равновесия, которое может быть либо устойчивым, либо неустойчивым, или бесконечно много таких положений.

Дифференцируя правую часть (3.161), имеем

$$\frac{dE_p}{d\theta} = \alpha\theta - P_l\theta - \theta(\alpha - P_l) = 0; \quad (3.162)$$

$$\frac{d^2E_p}{d\theta^2} = \alpha - P_l. \quad (3.163)$$

При $P < P_{kp} = \frac{\alpha}{l}$ получаем $\theta = 0$ и $\frac{d^2E_p}{d\theta^2} > 0$, при $P > P_{kp} = \frac{\alpha}{l}$ имеем $\theta = 0$ и $\frac{d^2E_p}{d\theta^2} < 0$, при $P = P_{kp} = \frac{\alpha}{l}$ угол θ может иметь любое конечное значение, т. е. это неопределенность, и $\frac{d^2E_p}{d\theta^2} = 0$.

Иными словами, в линеаризованной системе кратической силе соответствует безразличное состояние равновесия, когда минимальное значение E_p относится к ее кинесоартической точке, а к их непрерывному множеству. Кривая состояний равновесия обращается в две пересекающиеся прямые $\theta = 0$ и $P = \alpha/l$ (рис. 3.55, б); ее, можно рассматривать как деформированную (растянутую в горизонтальном направлении) часть точной кривой из рис. 3.55, а.

В строительной механике нередко исходят из линеаризованных уравнений равновесия конструкций, поскольку эти конструкции обладают большой жесткостью и раньше сломаются, чем выбьют в области заметной геометрической нелинейности, и материал конструкции фактически линеен почти до самого момента разрушения. В таком случае построение упрощенных решений становится еще более оправданным.

Таким образом, вместо использования выражений для потенциальной энергии можно прямо записать уравнения равновесия. Уравнение (3.157) и (3.162) непрудно получить из условий геометрической (элементарной) статики.

Преанализируем влияние несовершенства конструкции (рис. 3.57), учит, что нагрузка P может быть приложена на рас-

стоянии a от вертикали (кривизна стержня и незначительность погрешности смысла). Уравнение равновесия данной системы будет

$$\alpha\theta - P_l \sin \theta = Pe, \quad (3.164)$$

а при малых деформациях

$$\alpha\theta - P_l\theta = Pe. \quad (3.165)$$

Анализируя (3.164) и (3.165), видим, что они неоднородны и не имеют чистового решения $\theta = 0$. Исследование неоднородной задачи с учетом начальных деформаций проводится по той же схеме, что и выше. Что касается линеаризованного варианта, то он прорабатывает ряд особенностей.

Решив (3.165) относительно θ , найдем

$$\theta = \frac{Pe}{\alpha - P_l}. \quad (3.166)$$

Деформация θ пропорциональна e и называется связью при P .

При силе $P = P_{kp} = \alpha/l$, совпадающей с критической нагрузкой конструкции без несовершенства, $\theta = \infty$. Если $P < P_{kp}$, то все положения равновесия, полученные согласно (3.165), устойчивы. В этом легко убедиться, если составить выражение потенциальной энергии при малых α

$$E_p = \frac{\alpha}{2} \theta^2 - \frac{P_l}{2} \theta^2 - Pe\theta, \quad (3.167)$$

и затем взять от него вторую производную по θ . Рис. 3.57.

Правда, практически мы часто не сможем достичь $P = P_{kp}$, поскольку нас не устроят слишком большие отклонения θ . Таким образом, наличие начального несовершенства в ряде случаев по существу снижает допустимую силу P даже при геометрически и физически линейной системе. При $P > P_{kp}$ мы снова получаем положение равновесия, но для отрицательных θ оно всегда неустойчиво.

Учитывая возможность пластических деформаций в податливом звене системы. Пусть отклонения системы, показанной на рис. 3.58, заданы маки (по условиям прочности), но и при этих маках отклонениях сказывается физическая величина податливого звена, что дает при активной нагрузке восстанавливающий момент, равный $\alpha(\theta)$ (рис. 3.58, а), где $\alpha(\theta)$ — аналог текущего модуля диаграммы $\sigma = f$ материала.

Уравнение равновесия в геометрически линейной постановке приобретет вид

$$\alpha(\theta)\theta - P_l\theta - Pe \text{ или } \theta = \frac{Pe}{\alpha(\theta) - P_l}. \quad (3.168)$$

Представляя восстанавливающий момент $\alpha(\theta)\theta$ (кривая на рис. 3.58, б), в опородывающий момент $P_l\theta + Pe$ в виде серии

прямых при разных P , видим, что существует критическая сила $P_{kp}^{(1)}$, соответствующая максимально возможному θ .

При $P > P_{kp}^{(1)} < P_{kp} = \alpha/l$ равновесия нет, и система получает бесконечные прогибы, но уже в процессе движения (блока). В случае $P < P_{kp}^{(0)}$ равновесие устойчиво, так как при увеличении θ восстанавливающий момент растет быстрее опрокидывающего. Если прямая, которая описывает опрокидывающей момент при $P = P_{kp}^{(1)}$, является касательной к кривой восстанавливающего момента, то действие $P = P_{kp}^{(1)}$ соответствует нейтральному равновесию системы в целом; линеаризован восстанавливающий момент, видим, что при малых изменениях θ он увеличивается так же, как и опро-



Рис. 3.58.

кидывающий. Но возникает другая ситуация, показанная на рис. 3.58, б. Здесь и соответствующее положение сразу становится неустойчивым и при бесконечно малых отклонениях от него начинается движение.

Рассмотренные упругая и упругопластичная модели с учетом начальных несовершенств отражают качественную картину работы геометрически линейного стержня в геометрически линейной оболочке с начальными погрешностями. Эти модели особенно наглядно иллюстрируют условность пренебрежения начальными несовершенствами.

Поскольку мы никогда не выделяли разгрузку, все наши выводы относятся не только к упругопластичной (антикоротким), но и к линейно-упругой (консервативной) системе.

Появление существенных начальных деформаций перед потерей устойчивости не обязательно связано с наличием несовершенств. Чтобы показать это, обратимся к ферме Мизеса, схематически представленной на рис. 3.59, а.

Уравнение равновесия узла даст

$$N = \frac{P}{2 \cos \alpha}, \quad (3.166)$$

где N — осевые усилия в каждой пружине; α — угол между осью деформированной пружины и вертикалью.

Задача статически неопределенна, поскольку неизвестный угол α отличается от первоначального угла α_0 в недеформированной системе.

Уравнение деформаций

$$N = \frac{c\Delta l}{l_0} = \frac{c}{l_0} \left(\frac{a}{\sin \alpha_0} - \frac{a}{\sin \alpha} \right) = c \left(1 - \frac{\sin \alpha_0}{\sin \alpha} \right), \quad (3.170)$$

где c — жесткость пружины; Δl — ее укорочение; l_0 — ее первоначальная длина.

Следовательно,

$$P = 2c \left(1 - \frac{\sin \alpha_0}{\sin \alpha} \right) \cos \alpha. \quad (3.171)$$

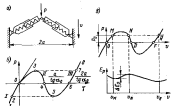


Рис. 3.59.

Вертикальное перемещение v в недеформированном состоянии:

$$v = a \frac{\operatorname{tg} \alpha - \operatorname{tg} \alpha_0}{\operatorname{tg} \alpha_0 \operatorname{tg} \alpha}, \quad (3.172)$$

откуда

$$P = 2c \left(1 - \frac{v}{a} \operatorname{tg} \alpha_0 \right) \left[\frac{1}{\sqrt{\operatorname{tg}^2 \alpha_0 + \left(1 - \frac{v}{a} \operatorname{tg} \alpha_0 \right)^2}} - \cos \alpha_0 \right]. \quad (3.173)$$

Функция $P(v)$ показана на рис. 3.59, б, из которого видно, что фиксированному $P = P_0$ иногда соответствуют три значения v , т. е. три положения системы. Чтобы разобраться в устойчивости этих положений, составим выражение потенциальной энергии:

$$\begin{aligned} E_2 &= 2 \frac{N^2}{2c} - Pv = \\ &= cl_0 \left[1 - \cos \alpha_0 \sqrt{\operatorname{tg}^2 \alpha_0 + \left(1 - \frac{v}{a} \operatorname{tg} \alpha_0 \right)^2} \right] - Pv. \end{aligned} \quad (3.174)$$

График $E_p = E_p(\sigma, P = P_0)$ для положительного P_0 , соответствующего трем различиям $\sigma(P_0)$, изображен на рис. 3.59, в совместности с графиком $P(\sigma)$. В точках M и R равновесие устойчиво в малом, так как им соответствует минимум E_p , а в точке N оно неустойчиво. Постепенное увеличение нагрузки, начиная от отрицательных значений, вызывает возрастание σ по левой ветви кривой (участок I , точки I , 2 , 3 на рис. 3.59, б). В точке 5 при малейшем увеличении P или малейшем возмущении происходит перескок (хлопок) системы в точку 7 и рост трогий в точке 8 . Однако этот хлопок может совершившись и раньше: для этого системы, находящейся в точке M (рис. 3.59, б), достаточно сообщить за счет внешних возмущений энергию, равную ΔE_p . Тогда система преодолеет энергетический барьер и перейдет в точку R с меньшим уровнем энергии. Освободившаяся энергия рассеется при колебаниях около точки R . Иными словами, в точке M система устойчива в малом, но неустойчивая в большом по отношению к возмущениям к инерции ΔE_p .

Уменьшение нагрузки пойдет по правой ветви кривой (участок III , точки 8 , 7 , 6 , 5 на рис. 3.59, б). После точки 5 система осуществит перескок в точку 2 , выйдя участок II .

Отметим, что для любого отрицательного значения P , допускающего три состояния равновесия, потенциальная энергия, соответствующая участку III , выше энергии, соответствующей участку I . Иначе говоря, система будет стремиться перескочить с участка 6 — 5 на участок 2 — 0 , если ей представится возможность преодолеть энергетический барьер.

Иногда используют следующую терминологию. Пусть некоторая система имеет начальное ненагруженное состояние, например изображенное на рис. 3.59, а, когда узел расмолчен сперху. Под верхней критической нагрузкой P_c понимают наибольшую нагрузку, до которой начальное состояние, непрерывно трансформируется при постепенном нагружении, остается устойчивым в малом. В нашем случае P_c соответствует точке 3 на рис. 3.59, б.

Нижней критической нагрузкой P_n называется нагрузка, до которой начальное состояние, непрерывно трансформируется при постепенном нагружении, остается единственным возможным устойчивым (хотя бы в малом) состоянием. Для рассматриваемой фермы $P_n = 0$. Для стержня (см. рис. 3.54) имеем $P_n = P_c = \sigma l$. Июсса $0 < P_n < P_c$.

Обычно рассуждают таким образом. Когда нижняя критическая нагрузка P_n меньше P_c , в движение промежуточных нагрузок возмущений перескок системы из одного состояния в другое, если будет преодолен энергетический барьер. Таким образом, проводя расчет устойчивости, с некоторым запасом следует считать, что потеря устойчивости равновесного состояния возможна уже при $P = P_n$.

Однако к подобным рассуждениям, имеющим определенное рациональное зерно, следует относиться с большой осторожностью.

Во-первых, энергетический барьер может быть еще очень велик, поэтому нельзя предполагать возникновение возмущений со сколь большой энергией. Так, для рассматриваемой фермы трудно представить потерю устойчивости на участке 2 — 0 (рис. 3.59, б)—переход в новое устойчивое состояние, система должна увеличить потенциальную энергию. Опасность потери устойчивости на участке 0 — 3 значительно больше, но и она становится реальной лишь по мере приближения к точке 3 .

Во-вторых, система может потерять устойчивость в большом и при $P < P_n$. Пусть при $P < P_n$ потенциальная энергия системы с одной степенью свободы имеет вид, показанный на рис. 3.60. Устойчивое положение равновесия одно, но, получив некий возмущающий импульс k выйдя на ветвь 2 — 3 или 4 — 5 , конструкция уже не вернется в исходное состояние, а начнет удалаться от него. Наличие нижней критической нагрузки также не гарантирует того, что система после любых возмущений придется именно в это положение.

Не следует думать, что потеря устойчивости напрямую связана с действием сжимающих нагрузок. В частности, упругодавленный стержень (см. рис. 3.59) может быть соединен наперху с горизонтальной упругой пружиной отрицательной жесткости $-C_1$. Такую пружину можно создать, например, поместив на концы стержня кусок стали и расположивши на разных расстояниях a от него два магнита. При малом отклонении $\sigma = -10$ гравиймагнит создает нагрузку $k_1 = (a-g)^2$, а левый — нагрузку $k_2 = (a+g)^2$. В результате суммарная нагрузка будет

$$H = \frac{k_1}{(a-g)^2} + \frac{k_2}{(a+g)^2} = \frac{a^2 g^2}{(a^2 - g^2)^2}$$

Для малых g

$$H = \frac{a^2 g^2}{a^4} = C_1 g^2 \quad (3.175)$$

и направлена в сторону g .

Используя примененные выше приемы исследования, находим, что наша система потеряет устойчивость, если абсолютное значение жесткости $|-C_1| = C_1$ достигнет критического значения

$$C_{1,cr} = \frac{a}{g} \quad (3.176)$$

или превысит его. Система в вертикальном положении оказывается, если можно так выразиться, внутренне неустойчивой.

Потеря устойчивости, как и в случае сжимающих нагрузок, здесь происходит потому, что отклонения системы от положения равновесия приводят к возникновению усилий, стремящихся еще

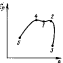


Рис. 3.60.

больше ее отклонять. Механизм отклоняющих воздействий бывает весьма разнообразным.

Сущность статического критерия оценки устойчивости равновесия в малом может быть сформулирована так: система, находящаяся под действием статической нагрузки, считается теряющей устойчивость данного положения равновесия в тот и только в тот момент, когда соответствующая статическая нагрузка вызывает возникновение других возможных положений равновесия, сколь угодно близких к данному по значениям любых обобщенных координат.

Конечно, это — явная подмена динамического критерия, который полностью соответствует самому определению устойчивости равновесия. Логически ясно, что могут быть хотя бы два случая: рассматриваемое положение равновесия перестает быть устойчивым, но никаких других близких положений равновесия не возникает: при бесконечно малом возмущении происходит либо динамический переход в другое далеко отстоящее положение равновесия, либо система начинает двигаться в большом никогда не приходит в равновесие; сколь угодно близких положений равновесия действительно возникают, но они оказываются неустойчивыми, в то время как исследуемое положение продолжает быть устойчивым.

В первом случае, применяя статический критерий, мы не обнаружим потери устойчивости, а во втором — дают сигнал ложной тревоги. Рассмотрим три характерных примера (первые два широко известны).

Уравнение равновесия скользкого стержня в слегка искривленном, неприменимом состоянии имеет вид (v — прогиб)

$$EI \frac{dv}{dx^2} = -Pv \quad (3.177)$$

или после двукратного дифференцирования

$$\frac{d^2v}{dx^4} + k^2 \frac{dv}{dx^2} = 0. \quad (3.178)$$

где $k^2 = P/EI$.

Однородному динамическому дифференциальному уравнению (3.178) соответствует общий интеграл

$$v = A \sin kx + B \cos kx + Cx + D. \quad (3.179)$$

Границные условия примем в виде (шарнирное оправление концов)

$$v_0(0) = 0, \quad v(l) = 0, \quad \left. \frac{dv}{dx} \right|_{x=0} = 0, \quad \left. \frac{dv}{dx} \right|_{x=l} = 0. \quad (3.180)$$

Подымаюсь этими условиями, получим $B = C = D = 0$. Полагая $A \neq 0$, будем иметь

$$\sin kl = 0, \quad (3.181)$$

т. е. $kl = \pi n$, где n — произвольное целое число.

Значения P , удовлетворяющие (3.178) и делающие возможными равновесия по локализованной форме,

$$P = \frac{\pi^2 EI}{l^2}, \quad (3.182)$$

Наименьшее значение

$$P_{\min} = P_{sp} = \frac{\pi^2 EI}{l^2}$$

В данном случае статический критерий дает правильные результаты.

Пусть теперь сила P — скользящая. Тогда

$$v(0) = 0, \quad \left. \frac{dv}{dx} \right|_{x=0} = 0, \quad \left. \frac{dv}{dx} \right|_{x=l} = 0. \quad (3.183)$$

Подстановка (3.179) в (3.183) дает

$$\begin{aligned} B + D &= 0; \\ KA + C &= 0; \\ -A \sin kl - B \cos kl &= 0; \\ -A \cos kl + B \sin kl &= 0. \end{aligned} \quad (3.184)$$

Сначала исследуем для последних уравнения, не зависящих от первых. Они имеют тривиальное решение $A = B = 0$, но не имеют других, поскольку определитель

$$\begin{vmatrix} -\sin kl & -\cos kl \\ -\cos kl & +\sin kl \end{vmatrix} = 1$$

не обращается в нуль при любых значениях k .

На условий $A = B = 0$ и первых двух уравнений (3.184) следует $C = D = 0$. Иными словами, уравнение (3.178) при граничных условиях (3.183) имеет только пустое решение и никаких искривленных форм равновесия существовать не может при любых значениях P .

Статический критерий привел к неправильному ответу, так как в главе 2-й было показано, что скользящая сила может вызвать потерю устойчивости рассматриваемого стержня: он начинает двигаться без переходных равновесных положений.

В качестве третьего примера проанализируем равновесие системы с двумя степенями свободы (рис. 3.6). Это тот же стержень

(см. рис. 3.54), но снабженный упругим элементом, работающим на сдвиг. За обобщенные координаты примем θ и s . Коэффициент жесткости, соответствующий θ , обозначен буквой a , а коэффициент жесткости, соответствующий s , буквой b .

Указанная система может находиться в состоянии равновесия при растягивающей силе P , плоск a и угле θ , если удовлетворяется уравнение

$$Ps - ab\theta - P\left(\frac{\theta}{b} - M\right) = P\left(\frac{1}{b} - 1\right)\theta. \quad (3.185)$$

Если выполнено условие $\frac{1}{b} - 1 > 0$, то числа P , вызывающие появление таких равновесных форм, будут

$$P = \frac{a}{\frac{1}{b} - 1}. \quad (3.186)$$

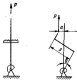


Рис. 3.61.

Однако потенциальная энергия, соответствующая этим формам, выше потенциальной энергии первоначальной формы, поэтому новые возможные формы оказываются неустойчивыми.

Статический критерий неправильно указал на потерю устойчивости первоначального положения равновесия.

Необходимость использования динамического критерия часто связывают с наличием следящих нагрузок; в этом, видимо,

сказался тот факт, что некои примеры со следящими нагрузками впервые показали специалистам по строительной механике необходимость изучения динамики процессов. Но это случайность, известно много примеров, когда и при наличии следящих сил вполне применим статический критерий.

Нередко можно слышать рассуждения о том, что статический критерий всегда применим к консервативным системам и может оказаться необоснованным лишь для неконсервативных систем. Здесь известно тоже одно. Режим колебаний с нарастающей амплитудой может развииваться лишь в результате того, что работа внешних сил за один цикл не равна нулю. Это значит, что она зависит от пути, в нем силы не имеют потенциала. Такие силы называются неконсервативными. Поэтому, если мы уверены, что силы консервативны, то при анализе устойчивости в вопросах динамики можно не глубиться. Если же силы неконсервативны, то использование статического критерия может привести как к правильным, так и к неправильным результатам [40].

Но ведь потеря устойчивости часто происходит без всякой развязки колебаний с нарастающей амплитудой. Так, после исчезновения системы сразу и навсегда удаляется от исходного единственного

состояния равновесия. А энергия движения достигается за счет изменений общей потенциальной энергии системы.

Система с двумя и более степенями свободы может даже парализовать колебания, ни разу не повторяя своих движений. Пусть консервативная система имела при малой нагрузке устойчивое положение равновесия, отвечающее точному минимуму потенциальной энергии. С ростом нагрузки форма многообразия (вообще говоря многогранной поверхности), описывающего потенциальную энергию как функцию обобщенных координат, меняется. Если при таком постепенном изменении наступает момент, когда энергия равновесного состояния, оставаясь минимумом, перестает быть точным минимумом, а соответствующий участок многообразия превращается хотя бы в малом в «подсность», то статический критерий будет сигнализировать о потере устойчивости. Но может быть и так, что энергия равновесного состояния, бывшая до тех пор минимумом, сразу перестанет быть минимумом вообще. Тогда строго консервативная система непременно потеряет устойчивость, но уже без близких равновесных состояний.

Таким образом, только использование динамического критерия как для неконсервативных, так и для консервативных систем может дать уверенный ответ на вопрос об устойчивости или неустойчивости системы в малом (а также и в большом). При этом у консервативных систем подробный анализ всей картины движения может быть заменен анализом потенциальной энергии системы. Однако в ряде случаев в практике используется статический критерий устойчивости как более простой. При некотором добавочном физическом анализе явления он часто оказывается вполне достаточным.

При исследовании найденного положения равновесия системы по статическому или динамическому критерию устойчивости в малом, как правило, следует рекомендовать составление уравнений только для добавочных смещений относительно положения равновесия; это и есть использование подстановки, широко применявшейся Пуанкаре и Липуновым, которая была приведена в главе 2-й. Линеаризация таких уравнений, т. е. переход к уравнениям в вариациях, позволяет проводить анализ устойчивости по первому приближению. Последнее обычно бывает оправданное и достаточным.

4. О плавучности и запасах устойчивости. Согласно статическому критерию устойчивости в большом, о потере устойчивости судят по появлению новых форм равновесия, которые появляются при конечных возмущениях. Именно о появившемся такого критерия говорят о верхней и нижней критической нагрузках и т. п. Анализ отмеченного подхода уже дан выше. Сейчас лишь отметим, что выборе появившихся и различных запасов в расчетах устойчивости (и по статическому, и по динамическому критериям) следует относиться очень внимательно.

Рассмотрим блоку симметричного сечения, заданную силой между двумя абсолютно жесткими пятыми (рис. 3.62, а). Концы

балки находится в жестких башмаках, плотно прилегающих к плинтам. При потере устойчивости возможны две разновесные криволинейные формы (рис. 3.62, б, в), соответствующие условием жесткой заделки или свободного опирания концов. Первая будет реализоваться при малых боковых возмущениях, вторая — при достаточно больших.

Положим, что возмущением служит поперечная нагрузка Q , которая может быть довольно медленно приложена в произвольный момент времени, но затем снята. Если Q мало, то балка будет де-

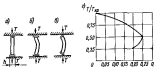


Рис. 3.62.

формироваться как жестко заделанная по концам. Изгибающий момент на опоре определяется приближенным равенством

$$M_{\text{изв}} = Q \frac{\frac{h}{2}}{1 - \frac{T}{T_{kp}}} , \quad (3.187)$$

где n — коэффициент, зависящий от закона распределения $Q = Q(x)$; $T_{kp} = 4\pi^2 EI/l^2$ — критическая нагрузка; $1 - T/T_{kp}$ — коэффициент сложного изгиба, учитывающий наличие T .

Выражение (3.187) справедливо до тех пор, пока момент $M_{\text{изв}}$ не окажется равным максимальному возможному внешнему моменту от силы T , приложенному к концу балки,

$$M_{\text{изв}} = \frac{T h}{2} . \quad (3.188)$$

При этом конец балки оторвется от окончной поверхности и балка начнет работать как свободно опертая. Приравняв (3.187) и (3.188), найдем, что при

$$\frac{T}{T_{kp}} \left(1 - \frac{T}{T_{kp}} \right) = \bar{Q}, \quad \bar{Q} = \frac{2n}{\pi T_{kp}} Q \quad (3.189)$$

балка работает как жестко заделанная; в противном случае она превращается в свободно опертую и $T_{kp} = \pi^2 EI/l^2$.

Полученные зависимости позволяют построить так называемую область расчетной прочности балки, которая изображена на

рис. 3.62, а. Границы области соответствуют соотношениям T и Q , при которых происходит потеря устойчивости. Любая внутренняя точка соответствует устойчивому состоянию.

Таким образом, при некотором значении возмущения внешнее расчетного запаса в действующую нагрузку T не всегда оправдано. Так, если при $\bar{Q} = 0,2$ действующая нагрузка $T = T_{kp} = -0,25T_{kp}$, то балка потеряет устойчивость. Увеличив (или уменьшая) действующую нагрузку более чем на 10%, мы получим неправильный ответ — балка окажется устойчивой по отношению к этому возмущению.

Из приведенных примеров и рассуждений следует, что полный и достоверный анализ устойчивости положения равновесия деформируемой системы возможен только на основе использования динамического критерия устойчивости в большом, когда:

в конструкции вводятся различные возможные сочетания начальных несовершенств и конечных возмущений в обобщенные координаты и обобщенные скорости системы;

исследуются конечные отклонения во времени системы от анализируемого положения равновесия.

Заменой такого полного анализа во многих случаях может слушать использование динамического критерия устойчивости в малом, когда системе даются лишь бесконечно малые возмущения в обобщенные координаты и обобщенные скорости, но рассматриваются положения равновесия с учетом возможных несовершенств конструкции.

Еще более условным является применение динамического критерия устойчивости в малом без учета возможных несовершенств конструкции.

Кроме динамического критерия на практике часто используют статический критерий, основанный на рассмотрении возможных положений равновесия деформируемой системы. Этот критерий не применяется динамическому даже для строго консервативных систем и может привести, вообще говоря, к ошибочным результатам. Однако его простота, сравнительно нечеткость, ошибочные результаты и наличие, помимо расчетных оценок, добавочного экспериментального материала по аналогичным конструкциям обычно делают применение статического критерия вполне оправданным.

Статический критерий используют в тех же основных вариантах, что и в динамическом: устойчивость в большом при наличии начальных несовершенств; устойчивость в малом при наличии начальных несовершенств; устойчивость в малом при отсутствии начальных несовершенств.

Запас устойчивости следует назначать весьма осторожно с учетом всех возможных вариантов параметров генетической идентификации системы, включая и заряжающие возмущающие силы.

5. Условность критических нагрузок, вызывающих потерю устойчивости конструкций

ци. Следует особо подчеркнуть, что значения так называемых критических нагрузок, вызывающих потерю устойчивости конструкций, весьма условны; правильнее говорить не о них, а о неких областях потери устойчивости. Ведь потеря устойчивости есть переход от устойчивого состояния в неустойчивое, когда в силу самой природы явлений наблюдается сильное влияние различных малых возмущений и малых факторов, в результате чегоочно-оценить заранее момент потери устойчивости невозможно. Несмотря на экспериментальные данные о потерии устойчивости имеют большие разбросы даже в простейших случаях: две изготовленные по одному чертежу и, казалось бы, идентичные конструкции на самом деле немного не идентичны, и это сильно скаживается на несущей способности. В то же время линейные испытаний конструкций в зоне устойчивого равновесия и устойчивого изгибающего состояния обычно лягут «лучше» — там малые возмущения и малые факторы оказывают небольшое влияние.

Сказанное можно помнить при решении задач устойчивости численными методами. Если в данном решении последовательно используется принцип соответствия устойчивости алгоритма и процесса, то мы получим не критическую нагрузку, а именно зону потери устойчивости. Как остроожно заметил один специалист, по принципу соответствия можно получать то, что есть в природе, и нельзя получить того, что там нет.

Если же нас в силу каких-то соображений интересует определение именно условной критической нагрузки, то нужно использовать принцип максимальной устойчивости алгоритма, который в данном случае не совпадает с принципом соответствия.

§ 25. Оценка устойчивости и несущей способности оболочек вращения при их осесимметричном деформировании

В качестве иллюстрации сказанного в § 24 рассмотрим задачу об осесимметричном деформировании оболочек вращения близи зоны потери устойчивости.

1. Алгоритм расчета упругих осесимметричных деформаций, построенный по принципу максимальной устойчивости. Для построения такого алгоритма по методу парциальных отклонений изменен (по сравнению с параметрами § 23) систему ведущих параметров. Возьмем в качестве них прогиб и угол изгиба сечения, т. е. будем рассматривать подвижный край оболочки как жестко заданный. Этим мы заменим действительную устойчивость парциальной конструкции, и появление парциальной потери устойчивости безусловно будет означать, что вся оболочка потеряла устойчивость.

Внутренние усилия в концевом сечении парциальной конструкции равны

$$H(s) = B_{21}(s)\omega(s) + B_{12}(s)\theta(s) + B_{11}(s); \\ M(s) = B_{11}(s)\omega(s) + B_{22}(s)\theta(s) + B_{33}(s). \quad (3.190)$$

Для определения парциальных отклонений и параметров, которые в рассматриваемом варианте метода представляют собой жесткости парциальной части оболочки, нетрудно получить систему дифференциальных уравнений:

$$\begin{aligned} B'_{11} &= B_{11} \frac{2\mu}{r(s)} \cos \theta - B_{12}^2 \frac{1-\mu^2}{Eh(s)r(s)} \cos^2 \theta - B_{12}^2 \frac{12(1-\mu^2)}{Eh^3(s)r(s)} + \frac{Eh(s)}{r(s)}; \\ B'_{12} &= B_{11} \sin \theta + B_{12} \left[\frac{2\mu}{r(s)} \cos \theta - B_{12} \frac{1-\mu^2}{Eh(s)r(s)} \cos^2 \theta - \right. \\ &\quad \left. - B_{22} \frac{12(1-\mu^2)}{Eh^3(s)r(s)} \right]; \\ B'_{22} &= 2B_{21} \sin \theta + B_{22} \left[\frac{2\mu}{r(s)} \cos \theta - B_{22} \frac{12(1-\mu^2)}{Eh^3(s)r(s)} \right] - \\ &\quad - B_{22}^2 \frac{1-\mu^2}{Eh(s)r(s)} \cos^2 \theta + \frac{Eh^2(s)}{12r(s)} \cos^2 \theta + \frac{\mu^2(s)}{2 \sin \theta}; \quad (3.191) \\ B'_{1p} &= B_{1p} \frac{\mu}{r(s)} \cos \theta - B_{1p} B_{12} \frac{1-\mu^2}{Eh(s)r(s)} \cos^2 \theta - \\ &\quad - B_{11} \frac{\mu r(s)(1-\mu^2)}{22h(s)} \sin \theta \cos \theta - B_{1p} B_{12} \frac{12(1-\mu^2)}{Eh^3(s)r(s)} - \\ &\quad - \mu r(s) \left(1 - \frac{\mu}{2} \right) \sin \theta; \end{aligned}$$

$$\begin{aligned} B'_{2p} &= B_{2p} \frac{\mu}{r(s)} \cos \theta + B_{1p} \sin \theta - B_{1p} B_{22} \frac{1-\mu^2}{Eh(s)r(s)} \cos^2 \theta - \\ &\quad - B_{1p} B_{22} \frac{12(1-\mu^2)}{Eh^3(s)r(s)} - B_{12} \frac{\mu r(s)(1-\mu^2)}{22h(s)} \sin \theta \cos \theta - \frac{\mu^2(s)}{2} \cos \theta. \end{aligned}$$

Система (3.191) может быть найдена по аналогии с полученной выше системой дифференций или по общим зависимостям главы 2-й.

Условие стяжания парциальных конструкций принимают теперь вид

$$\begin{aligned} (B_{12}^2 - B_{11}^2) H + (B_{12}^2 - B_{22}^2) M &= -(B_{1p}^2 - B_{2p}^2); \\ (B_{1p}^2 - B_{2p}^2) H + (B_{22}^2 - B_{11}^2) M &= -(B_{1p}^2 - B_{2p}^2). \quad (3.192) \end{aligned}$$

Каких-либо других особенностей здесь нет. Если предполагается рассматривать оболочки, задекривленные ребрами, то следует иметь в виду, что в сечениях $(x_3 + 0)$ или $(x_3 - 0)$ за обратном ходу интегрирования (3.191), т. е. непосредственно за панелю, парциальные отклики получают кинематические приращения, равные жесткостям панелюта. Жесткостные характеристики панелюта определяются по известным зависимостям

$$\begin{aligned} B_{11}^{(n)} &= \frac{A_{11}^{(n)}}{\Delta}, & B_{22}^{(n)} &= -\frac{A_{22}^{(n)}}{\Delta}; \\ B_{33}^{(n)} &= \frac{A_{11}^{(n)}}{\Delta}; & \\ \Delta &= A_{11}^{(n)} A_{22}^{(n)} - (A_{12}^{(n)})^2. \end{aligned} \quad (3.193)$$

2. Физическая и геометрическая жесткость и осесимметрическое деформирование оболочек вращения.¹ Для аналитического описания зависимости между напряжениями и деформациями воспользуемся теорией малых упруго-пластических деформаций. Из уравнений этой теории следуют соотношения, имеющие форму, аналогичную закону Гука для упругого материала:

$$\begin{aligned} \sigma_1 &= \frac{1}{E_p} [\sigma_3 - \mu_p (\sigma_1 + \sigma_2)]; \\ \sigma_2 &= \frac{1}{E_p} [\sigma_3 - \mu_p (\sigma_1 + \sigma_2)]; \\ \sigma_3 &= \frac{1}{E_p} [\sigma_3 - \mu_p (\sigma_1 + \sigma_2)], \end{aligned} \quad (3.194)$$

где

$$\begin{aligned} E_p &= \frac{9K E_c}{9K + E_c}; & \mu_p &= \frac{1}{2} \frac{9K - 2E_c}{9K + E_c}; \\ E_c &= \frac{\sigma_1}{\epsilon_1}; & K &= \frac{E}{3(1 - 2\mu)}. \end{aligned} \quad (3.195)$$

Интенсивности напряжений и деформаций определяются формулами

$$\begin{aligned} \sigma_i &= \frac{1}{V^2} \sqrt{(\sigma_1 - \sigma_2)^2 + (\sigma_2 - \sigma_3)^2 + (\sigma_3 - \sigma_1)^2}; \\ \epsilon_i &= \frac{\sqrt{2}}{3} \sqrt{(\epsilon_1 - \epsilon_2)^2 + (\epsilon_2 - \epsilon_3)^2 + (\epsilon_3 - \epsilon_1)^2}. \end{aligned} \quad (3.196)$$

¹ Материал данного раздела принадлежит А. Н. Шаткову.

Если принять обычные для теории тонких оболочек предположения о равенстве нулю σ_3 , то вместо третьего уравнения (3.194) можно получить

$$\epsilon_3 = -\frac{\mu_p}{1 - \mu_p} (\epsilon_1 + \epsilon_2). \quad (3.197)$$

Соотношения для напряжений приобретают тогда форму

$$\begin{aligned} \sigma_1 &= \frac{2}{3} \frac{E_c}{1 - \mu_p} (\epsilon_1 + \mu_p \epsilon_2); \\ \sigma_2 &= \frac{2}{3} \frac{E_c}{1 - \mu_p} (\epsilon_2 + \mu_p \epsilon_1). \end{aligned} \quad (3.198)$$

Согласно гипотезам Кирхгофа, деформации в произвольной точке оболочки выражаются через деформации и кривизны срединной поверхности

$$\begin{aligned} \epsilon_1 &= \epsilon_1 + 2\kappa_1; \\ \epsilon_2 &= \epsilon_2 + 2\kappa_2, \end{aligned} \quad (3.199)$$

здесь z — определяет положение точки по толщине оболочки (положительное направление оси z совпадает с внешней нормалью к срединной поверхности).

Выражение для усилий и моментов в теории оболочек имеют вид

$$T_f = \int_{-h/2}^{h/2} \sigma_f dz; \quad M_f = \int_{-h/2}^{h/2} \sigma_f d\bar{z}, \quad (f = 1, 2). \quad (3.200)$$

Подставив в (3.200) соотношения (3.198) в (3.199), получаем выражения усилий и момента через деформации и кривизны срединной поверхности с учетом скимаемости материала

$$\begin{aligned} T_1 &= \frac{2}{3} (\epsilon_1 I_1 + \epsilon_2 I_2 + \kappa_1 I_2 + \kappa_2 I_1); \\ T_2 &= \frac{2}{3} (\epsilon_2 I_1 + \epsilon_1 I_2 + \kappa_2 I_2 + \kappa_1 I_1); \\ M_1 &= \frac{2}{3} (\epsilon_1 I_3 + \epsilon_2 I_3 + \kappa_1 I_3 + \kappa_2 I_2); \\ M_2 &= \frac{2}{3} (\epsilon_2 I_3 + \epsilon_1 I_3 + \kappa_2 I_3 + \kappa_1 I_2), \end{aligned} \quad (3.201)$$

где введены обозначения

$$\begin{aligned} I_1 &= \int_{-h/2}^{h/2} E_c \frac{x^{k-1}}{1 - \mu_p} dz; \\ I_2 &= \int_{-h/2}^{h/2} E_c \frac{\mu_p x^{k-1}}{1 - \mu_p} dz, \quad (k = 1, 2, 3). \end{aligned} \quad (3.202)$$

Для осесимметричного напряженного состояния эллиптические соотношения между деформациями, кривизнами и перемещениями имеют вид

$$\begin{aligned} e_1 &= \frac{du_1}{dr} + \frac{u_1}{R_1} + \frac{1}{2} \theta^2; \\ u_2 &= \frac{u_1}{r} \cos \theta + \frac{u_3}{R_2}; \quad (3.203) \\ \theta &= -\frac{du_1}{ds} + \frac{u_2}{R_1}; \\ u_3 &= \frac{d\theta}{ds}; \quad u_2 = \frac{\theta}{r} \cos \theta, \end{aligned}$$

где u и θ — перемещения в гиперболической касательной к нормали к срединной поверхности; θ — выпуклый деформации оболочки угол поворота касательной к срединной поверхности.

По аналогии с линейно-упругой оболочкой, рассмотренной ранее, перейдем к условиям и перемещениям, определяемым в системе координат, связанных с осью вращения оболочки. Тогда формулы (3.203) можно привести к виду

$$\begin{aligned} e_1 &= \frac{du}{ds} \cos \theta + \frac{du}{ds} \sin \theta + \frac{1}{2} \theta^2; \quad e_2 = \frac{u}{r}; \\ \theta &= -\frac{du}{ds} \sin \theta + \frac{du}{ds} \cos \theta; \quad (3.204) \\ u_2 &= \frac{d\theta}{ds}, \quad u_3 = \frac{\theta}{r} \cos \theta. \end{aligned}$$

Исключая из (3.204) перемещение u , с учетом (3.201) можно получить два дифференциальных уравнения, которые связывают перемещения и условия в срединной поверхности оболочки,

$$\begin{aligned} \frac{du}{ds} &= \frac{\cos \theta}{D_4} \left[\frac{3}{2} (T_1 I_2 - M_1 I_3) - \frac{w}{r} D_4 - \frac{b}{r} D_5 \cos \theta \right] - \\ &- \theta \left(\sin \theta + \frac{1}{2} \theta \cos \theta \right); \quad (3.205) \end{aligned}$$

$$\frac{d\theta}{ds} = \frac{1}{D_2} \left[\frac{3}{2} (M_1 I_1 - T_1 I_2) - \frac{w}{r} D_1 - \frac{b}{r} D_5 \cos \theta \right].$$

В уравнениях (3.205) и последующих соотношениях принятos

$$D_1 = I_1 I_2 - I_2 I_1;$$

$$D_5 = I_1 I_3 - I_3 I_1;$$

$$D_2 = I_1 I_3 - I_2 I_3;$$

$$D_4 = I_2 I_3 - I_3 I_2;$$

$$D_3 = I_2 I_3 - I_3 I_2;$$

$$D_6 = \frac{2}{3} \left[I_2 - \frac{1}{D_1} (J_1 D_4 + J_2 D_3) \right];$$

$$D_7 = \frac{2}{3} \left[I_3 - \frac{1}{D_2} (J_2 D_4 + J_3 D_5) \right];$$

$$D_8 = \frac{2}{3} \left[I_1 - \frac{1}{D_3} (J_3 D_4 + J_1 D_5) \right];$$

$$D_9 = \frac{2}{3} \left[I_2 - \frac{1}{D_4} (J_1 D_3 + J_2 D_6) \right].$$

Рассмотрев элемент оболочки в деформированном состоянии, можно получить (так же, как для упругой оболочки)

$$\frac{dH}{ds} = -q_1 + \frac{T_3}{r} - \frac{H}{r} \cos \theta;$$

$$\begin{aligned} \frac{dH}{ds} &= H (\sin \theta + \theta \cos \theta) - \frac{M_1}{r} \cos \theta - T (\cos \theta - \theta \sin \theta) + \\ &+ \frac{M_3}{r} \cos \theta. \quad (3.206) \end{aligned}$$

При действии на оболочку внутреннего гидростатического давления $p = q$ вертикальная составляющая нагрузки равна

$$q_1 = q \sin \theta. \quad (3.207)$$

Если учесть, что между усилием T_1 и введенными здесь усилиями T , H существует зависимость

$$T_1 = T \sin \theta + H \cos \theta, \quad (3.208)$$

то получим

$$\begin{aligned} \frac{dH}{ds} &= -q \left(1 - \frac{D_3}{2D_2} \right) \sin \theta - \frac{H}{r} \left(1 - \frac{D_3}{D_2} \right) \cos \theta + \\ &+ \frac{M_1}{r} \frac{D_3}{D_1} + \frac{w}{r^2} D_5 + \frac{b}{r^2} \cos \theta D_5; \quad (3.209) \end{aligned}$$

$$\begin{aligned} \frac{dM_3}{ds} &= H \left(\sin \theta + \frac{D_3}{D_2} \frac{\cos^2 \theta}{r} \right) - \frac{M_1}{r} \left(1 - \frac{D_3}{D_2} \right) \cos \theta - \\ &- \frac{q}{2} \left(r - \frac{D_3}{D_2} \sin \theta \right) \cos \theta + \frac{w}{r^2} D_5 \cos \theta + \\ &+ \frac{b}{r^2} D_5 \cos^2 \theta + \theta \left(H \cos \theta + \frac{w}{r^2} \sin \theta \right). \end{aligned}$$

Для уменьшения числа членов в уравнениях вводим неизвестные

$$Q = Hr; \quad M = M_F, \quad (3.210)$$

после чего получим систему неоднородных уравнений

$$\frac{dQ}{dr} = Q \frac{\mu}{r} \cos \theta + \frac{Eh}{r} w + V_4;$$

$$\frac{dM}{dr} = M \frac{\mu}{r} \cos \theta + Q \sin \theta + \theta \left(\frac{Eh^3}{12r} \cos^2 \theta + \frac{Eh}{2} \sin \theta \right) + V_3; \quad (3.211)$$

$$\frac{dw}{ds} = M \frac{12(1-\mu^2)}{Er^2} - \theta \frac{\mu}{r} \cos \theta + V_5;$$

$$\frac{dw}{ds} = Q \frac{1-\mu^2}{Er^2} \cos^2 \theta - w \frac{\mu}{r} \cos \theta - \theta \sin \theta + V_6,$$

где

$$V_1 = \frac{gr}{2} \frac{1-\mu^2}{Eh} \sin \theta \cos \theta + \frac{3}{2} \cos \theta \left(\frac{g}{2} \sin \theta + \frac{Q}{r} \cos \theta \right) \times \\ \times \left(\frac{J_1}{D_1} - \frac{2(1-\mu^2)}{3} \frac{D_1}{Eh} \right) - \frac{3}{2} M \frac{J_1}{r D_1} \cos \theta - \theta \frac{D_1}{r D_1} \cos^2 \theta - \\ - w \frac{\cos \theta}{r} \left(\frac{D_1}{D_2} - \mu \right) - \frac{1}{2} \theta^2 \cos \theta;$$

$$V_2 = -\frac{3}{2} \left(\frac{gr}{2} \sin \theta + \frac{Q}{r} \cos \theta \right) \frac{J_1}{D_1} + \frac{3}{2} \frac{M}{r} \left[\frac{J_1}{D_1} - \frac{8(1-\mu^2)}{Eh^3} \right] - \\ - w \frac{D_1}{D_2} - \theta \frac{\cos \theta}{r} \left(\frac{D_1}{D_2} - \mu \right);$$

$$V_3 = -\frac{g^2}{2} \cos \theta + Q \theta \cos \theta + \frac{D_1}{D_2} \cos \theta \left(\frac{g}{2} \sin \theta + \right. \\ \left. + \frac{Q}{r} \cos \theta \right) + M \frac{\cos \theta}{r} \left(\frac{D_1}{D_2} - \mu \right) + \theta \frac{\cos^2 \theta}{r} \left(D_1 - \frac{Eh^3}{12} \right) + w \frac{D_1}{r} \cos \theta.$$

$$V_4 = -gr \left(1 - \frac{D_1}{2D_2} \right) \sin \theta + \left(\frac{D_1}{D_2} - \mu \right) \frac{g}{r} \cos \theta + M \frac{D_1}{r D_2} + \\ + \frac{w}{r} (D_2 - Eh) + \theta \frac{D_1}{r} \cos \theta.$$

Министатические краевые условия на границах рассматриваемой оболочки и в сечениях, где установлены кольцевые ребра жесткости, будут определяться так же, как для упругой оболочки (принимем, что ребра остаются упругими).

Предполагая строить алгоритм расчета в соответствии с принципом его максимальной устойчивости, в качестве ведущих параметров исследуемого процесса выбираем прогиб и угол изгиба сечения оболочки. Тогда

$$H = B_{11}w + B_{12}\theta + B_{13}$$

$$M = B_{12}w + B_{23}\theta + B_{31}, \quad (3.212)$$

где B_{ij} — парциальные отклики — жесткости; B_{ij} — парциальные параметры, соответствующие жесткостям.

Исходя из физических соображений (аналогичных тем, которые были сделаны для упругой оболочки), можно получить соответствующую систему дифференциальных уравнений для парциальных откликов и параметров. В результате получается система уравнений относительно w , θ . Отличие от нуля решения этой системы возможно при укачивании дифференциальных уравнений

$$\frac{dB_{11}}{ds} = B_{11} \frac{2g}{r} \cos \theta - B_{12}^2 \frac{1-\mu^2}{Er^2} \cos^3 \theta - B_{12}^3 \frac{12(1-\mu^2)}{Er^2} + \frac{Eh}{r};$$

$$\frac{dB_{12}}{ds} = B_{11} \sin \theta + B_{12} \left[\frac{2g}{r} \cos \theta - B_{12} \frac{1-\mu^2}{Er^2} \cos^3 \theta - B_{12}^3 \frac{12(1-\mu^2)}{Er^2} \right]; \quad (3.213)$$

$$\frac{dB_{13}}{ds} = 2B_{12} \sin \theta + B_{23} \frac{2g}{r} \cos \theta - B_{12}^2 \frac{1-\mu^2}{Er^2} \cos^3 \theta -$$

$$- B_{12}^2 \frac{12(1-\mu^2)}{Er^2} + \frac{Eh}{r^2} \cos^3 \theta + \frac{g^2}{2} \sin \theta;$$

$$\frac{dB_{23}}{ds} = B_{12} \frac{2g}{r} \cos \theta - B_{13} V_1 - B_{23} V_2 -$$

$$- B_{12} B_{11} \frac{1-\mu^2}{Er^2} \cos^3 \theta - B_{12} B_{12} \frac{12(1-\mu^2)}{Er^2} + V_4;$$

$$\frac{dB_{31}}{ds} = B_{12} \frac{g}{r} \cos \theta + B_{12} \sin \theta - B_{11} V_1 - B_{31} V_2 -$$

$$- B_{12} B_{11} \frac{1-\mu^2}{Er^2} \cos^3 \theta - B_{12} B_{21} \frac{12(1-\mu^2)}{Er^2} + V_3,$$

Если в соответствии с методом упругих решений изменение жесткости оболочки, а также влияние нелинейных членов принимать в качестве нагрузки, то приходим к линейной системе (3.213), в которой V_1 , V_2 , V_3 , V_4 определяются последовательными приближениями.

Вычислительный процесс осуществляется на ЭВМ следующим образом:

1) определяются значения фактических нагрузок V_1 , V_2 , V_3 , V_4 в первом приближении. При этом все нелинейные члены равны нулю, а интегралы J_1 , J_2 определяются как для линейно-упругого материала;

2) интегрируется система (3.213) от s_0 до s_1 (прямой ход) с запоминанием откликов и параметров на каждом шаге интегрирования;

3) интегрируется система (3.213) от s_1 до s_0 (обратный ход) и решается на каждом шаге интегрирования система сопряжения с определением w, ϕ, M, Q ;

4) по найденным значениям w, ϕ, M, Q после внутреннего (на каждом шаге) итерационного процесса уточняются значения J_3, J_4 , с использованием зависимости $\sigma_i = f(l_i)$, установленной экспериментально для материала рассматриваемой оболочки;

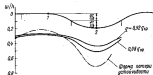


Рис. 3.63.

5) вычисляются и запоминаются значения V_0, V_1, V_2, V_3, V_4 на каждом шаге интегрирования по определенным значениям w, ϕ, M, Q, J_3, J_4 ;

6) последовательное выполнение операций, отмеченных в пп. 2–5 (внешний итерационный процесс), производится до тех пор, пока максимальные для каждого сечения значения l_i во всех точках промежутка интегрирования не совпадут в двух последовательных приближениях. Это условие определяет окончание счета при данной нагрузке (окончание внешнего итерационного процесса).

Использование для решения задачи алгоритма, реализующего принцип максимальной устойчивости, позволяет находить критические нагрузки для осесимметричной формы потери несущей способности. В этом случае происходит серия расчетов, в которых гидростатическое начальное давление, действующее на оболочку, последовательно увеличивается. Критерием нахождения критической нагрузки является достижение в оболочке предельно большого для ЭЦВМ значения перемещений или углов поворота.

3. Пример расчета. В качестве примера рассмотрена оболочка, состоящая из цилиндра и трех частей торообразных оболочек, которые образуют из исходной цилиндрической оболочки однокную осесимметричную азимутину, изображенную на рис. 3.63.

В расчете принятые следующие характеристики оболочки и материала: $n/h = 125$; $H/h = 16,7$; $F/h = 0,525$; $a/h = 0,1$; $a_1/h = 0,1$;

$\sigma_r/E = 0,4 \cdot 10^{-3}$; $\sigma_\theta/E = 0,1 \cdot 10^{-3}$, где r — радиус; h — толщина; l — расстояние между ребрами; F — площадь поперечного сечения ребра; a — начальный прогиб обшивки между ребрами; a_1 — начальное сжатие ребер жесткости; σ_r — предел текучести, σ_θ — предел пропорциональности. Зависимость $\sigma_i = f(l_i)$ была задана таблицей.

На рис. 3.63 представлены прогибы оболочки для нескольких нагрузок, а также форма деформированной оболочки в процессе

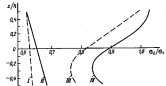


Рис. 3.64.

потери ее несущей способности. Видно, что выпучивание происходит вместе с ребрами жесткости. Распределение по толщине w/h оболочки интенсивности напряжений, которое имеет место при нагрузках, близких к критическим, приведено на рис. 3.64, где кривые I, II относятся к точке I, а кривые III, IV — к точке 2 (см. рис. 3.63). Пунктирные кривые получены при нагрузке $\sim q = 0,92 q_{cr}$, сплошные — при $q = 0,98 q_{cr}$. Из рис. 3.64 следует, что разгрузка материала при данной форме осесимметричной погибы не происходит до момента потери несущей способности.

ЗАКЛЮЧЕНИЕ

Напечатанные выше результаты свидетельствуют о том, что некий численный расчет прочности, устойчивости или колебаний конструкций, как и любой численный расчет вообще, представляет собой, по существу, моделирование некоторого реального процесса с временным, точным или искаженным, отражением его причинно-следственных связей. Точность отражения последних гарантирует соответствие устойчивости расчетного алгоритма с устойчивостью изучаемого процесса, вложение приводит в общем случае к разной устойчивости алгоритма и процесса.

Как правило, следует стремиться к точному отражению в алгоритме всех причинно-следственных связей изучаемого процесса, так как при этом автоматически снимаются две весьма сложные проблемы: проблема устойчивости счета и проблема исследования устойчивости самого процесса. Можно просто выполнить расчет, а затем экспериментально проверить устойчивость счета в данном конкретном случае. Если счет устойчив, то получается достоверное детерминированное решение; если он неустойчив, то и сам процесс течет перегулируя и, следовательно, искать детерминированное решение бессмыслище.

Впрочем, иногда, например при поиске всегда условных критических нагрузок конструкции, полезно сознательно исключать причинно-следственные связи процесса, добавляя, скажем, высокой устойчивости счета при заведомо неустойчивом процессе. Однако всегда очень подозрительно бы представлять себе причинно-следственные связи и степень их моделюирования в алгоритме.

Вместо ступени конкретного языка причинно-следственных связей в каждом конкретном случае можно разыграть их общую и строгую абстрактную теорию для процессов разного типа. Элементы такой теории применительно к одномерным и квазиодномерным процессам содержатся в данной книге. Развитие ее для процесса других типов — дело будущего.

Использование абстрактной теории причинно-следственных связей весьма облегчает и создание численных методов решения задач определенного типа, и сравнительную оценку разных методов.

и анализа картины всего исследуемого физического явления. В частности, на ее основе в данной книге выполнен сравнительный анализ метода начальных параметров, метода парциальных отклонений, метода конечных элементов и метода регуляризирующих функций для одномерных и квазиодномерных задач, а также показана возможность применения теории А. М. Лапунова для исследования двусторонних процессов со сложными потоками внутренних параметров.

Дальнейших успехов можно ожидать при распространении созданных представлений и методов на двухмерные и трехмерные процессы, изучение строительной механики. Примеры такого распространения уже имеются. Так, И. П. Сапринина в нескольких исследованиях недавнего времени [34] именно на основе причинно-следственного анализа и позробно рассмотренных выше квазистатических аналогий разработала эффективный метод решения многомерных нестационарных динамических задач строительной механики, называемый методом обобщенных динамических сдвигов. Суть его состоит в использовании известных физических моделей конструкций с дискретными массами и представлении искомого решения в виде аппроксимации динамических смещений статическими смещениями промежуточных участков. Параметры статических смещений определяют параметры так называемых обобщенных сдвигов. Для их нахождения обычно бывает целесообразным использовать метод парциальных отклонений.

Удачное применение и развитие рядом исследователей наложенных и новых методов, подходов и представлений для расчета самых различных корыстных конструкций надеются, что их будут использовать и в дальнейшем.

УКАЗАТЕЛЬ ЛИТЕРАТУРЫ

1. Айес Э. Обыкновенные дифференциальные уравнения. М., ОНТИ, 1939.
2. Березин И. С., Жаков И. П. Методы вычислений. Т. I. М., «Наука», 1966; т. II. М., Физматлит, 1969.
3. Вернер В. Вероятность и достоверность. И., «Наука», 1964.
4. Буслаев Н. П., Голубко Д. И., Соболь И. М. Метод спектральных методов. М., Физматлит, 1962.
5. Быков В. Ф. Теория поискаций Ляпунова в ее применении к вопросам устойчивости. М., «Наука», 1966.
6. Гельфанд И. М., Локутьевский О. В. Метод спроекции для решения разностных уравнений.— В кн.: Годунов С. К., Рабинский В. С. Выделяй в первом разностных схем. И., Физматлит, 1962, т. 283—309.
7. Гельфанд И. О. Исследование линейных разностей. М., Физматлит, 1963.
8. Гладенко Б. В. Курс теории вероятностей. И., Физматлит, 1961.
9. Зубов В. И. Математические методы исследования систем автоматического регулирования. Л., Судостроение, 1968.
10. Ильин В. А. О работах А. Н. Тихонова по методам решения некорректно поставленных задач.— «Успехи математических наук», 1967, т. 22, вып. 2 (134), с. 126—138.
11. Ильюшин А. А. Пластичность. М., Гостехиздат, 1948.
12. Кемелл Дж., Свэлл Дж. Кибернетическое моделирование. М., «Советское радио», 1972.
13. Киселев Н. А. Математика и действительность. И., ИГУ, 1967.
14. Коллатц Л. Численные методы решения дифференциальных уравнений. И., ИЛ, 1953.
15. Лайонс М. Л.-Лодвиг Лайонс.— В кн.: Сталь и речь. М., «Наука», 1969, с. 158—163.
16. Линей А. И. О системах отсчета квадратичной неоднородности.— В кн.: Эйнштейновской сбоян. И., «Наука», 1972, с. 254—272.
17. Ляпунов А. М. Общая задача об устойчивости движений. М., Гостехиздат, 1950.
18. Мадкин И. Г. Теория устойчивости движений. М., «Наука», 1966.
19. Марков А. А. Исследование линейных разностей. Одесса, «Математика», 1930.
20. Марков А. А. Теория алгоритмов.— «Труды Математического института имени В. А. Стеклова». Т. XVII. И.—Л., Изд-во АН ССР, 1964.
21. Младов А. Г. Системы дифференциальных уравнений и устойчивость движений по Ляпунову. М., «Высшая школа», 1966.
22. Нейман Дж. Вероятностная логика: синтез надежных организаций из ненадежных компонентов.— В кн.: Автоматика. И., ИЛ, 1966, с. 68—129.
23. Новожилов В. В. Теория замененных оболочек. Л., «Судостроение», 1962.
24. Палль О. М., Чуйникова В. С. Надежность индивидуальных расчетов в строительстве макетов корабля.— «Судостроение», 1972, № 10, с. 16—17.
25. Палль О. М. Об эффективных итерационных методах решения линейных краево-разностных уравнений синтеза деформируемых механических систем.— В кн.: Проблемы строительной механики корабля. Л., «Судостроение», 1973, с. 157—164.
26. Пановка Я. Г., Губанова И. И. Устойчивость и колебания упругих систем. М., «Наука», 1967.
27. Петров Ю. А. Логистическое зроблема абстрактной бесконечности и осуществимости. И., «Наука», 1967.
28. Половинкин Г. Н. Математический практикум. М., Физмат, 1960.
29. Постков В. А., Хархурин И. Я. Метод конечных элементов в строительной инженерии корабля. Л., «Судостроение», 1974.
30. Поба Д. Математика и правдивое раскрытие. М., Физматлит, 1967.
31. Пузыкар А. Наука и гипотеза. М., 1904.
32. Редей Дж. Теория звука. Т. I. М., ГИТГ, 1955.
33. Ржалкарик А. Р. Устойчивость разнесения упругих систем. М., ГИТГЛ, 1953.
34. Сапрыкина И. П. Метод исследования динамических явлений судовых конструкций.— «Судостроение», 1976, № 1, с. 7 и 8.
35. Сорокин Е. С. Динамический расчет конструкций вибраций. И., Гостехиздат, 1960.
36. Стокер Дж. Нелинейные колебания в механике и электрических схемах. И., ИЛ, 1933.
37. Тихонов А. Н., Самарская А. А. Уравнения математической физики. М., «Наука», 1966.
38. Тихонов А. Н. О некорректно поставленных задачах.— В кн.: Вычислительные методы в программировании. МГУ, 1967, вып. 8, с. 5—18.

38. Ческов А. И. Волны, свойства и отражение. М., Изд-во АН ССР, 1963.
40. Федосеев В. И. Девято лекций-бесед по сопротивлению материалов. М., «Наука», 1989.
41. Филиппов А. П. Колебания упругих систем. Киев, Изд-во АН УССР, 1966.
42. Хайкин С. Э. Стати и динамика. М., «Наука», 1967.
43. Чуйковский В. С. Упругие, вибрирующие местные изображения судовых конструкций. — «Судостроение», 1969, № 6.
44. Чуйковская В. С. Принцип динамики в строительной механике корабля. Л., «Судостроение», 1964.
45. Чуйковский В. С., Палый О. М. Основы теории вибрации судовых корпусных конструкций. Л., «Судостроение», 1966.
46. Чуйковский В. С., Палый О. М., Смирно В. Е. Обобщение судовых конструкций. Л., «Судостроение», 1968.
47. Чуйковский В. С. Вопросы устойчивости в строительной механике корабля. Л., «Судостроение», 1971.
48. Чуйковский В. С. Системный подход при анализе прочности проектирования корпусных конструкций. В кн.: Проблемы прочности судов. Л., «Судостроение», 1975, с. 5—78.
49. Шрайдер Ю. А. Равнство, симметрия, порядок. М., «Наука», 1971.
50. Эльстон Л. З. Дифференциальные уравнения. М., ГИТТЕЛ, 1957.

ОГЛАВЛЕНИЕ

От автора	3
Предисловие	5
Глава 1. Элементы общей теории численных методов и алгоритмов	11
§ 1. Основные абстрактные математики. Классическая и нелинейная математика	—
§ 2. Основные представления об устойчивости, индивидуальной определенности и наблюдаемости объектов	24
§ 3. Вероятностные модели	50
§ 4. Постановка и классификация задач численного расчета. Языки классической и нелинейной математики	65
§ 5. Устойчивость численных алгоритмов. Общие схемы численного решения задач	82
Глава 2. Элементы общей теории одномерных и квазидинамических процессов. Некоторые общие методы их численного расчета и моделирования	106
§ 6. Схемы прямого-следующего слагий в линейизированных одномерных квазидинамических процессах	—
§ 7. Составление общесистемных дифференциальных уравнений и дополнительных условий	124
§ 8. Устойчивость движений и производных односторонних аргументов. Динамический критерий устойчивости в строительной механике	141
§ 9. Моделирование односторонних процессов. Метод Эйлера, Рунге—Кутта и начальных параметров	151
§ 10. Моделирование двусторонних процессов. Метод параллельных откладок	185
§ 11. Уравнения перехода в канонической форме. Дискретные одномерные процессы	202
Глава 3. Линейные статические деформации. Установившиеся колебания и устойчивость корпусных конструкций	233
§ 12. Некоторые физические модели движения. Некоррелированные системы отклика и классическое возбуждение. Классический анализ	234
§ 13. Принцип разложения решений линейными склонами базисов и его использование в расчетах судовых конструкций, содержащихся в жидкостью. Определение узловых, колеблю-	253

динамики местной вибрации конструкций при общих вибрациях корпуса. Характер местной вибрации	238
§ 16. Обобщенные и «динамические» обобщенные координаты. Нетривиальный случай применения метода главных изодинамат в расчетах короткогерманных конструкций	245
§ 17. Комплексная форма уравнения теории колебаний. Линейные сопротивления	252
§ 18. Распространение местной вибрации корпусных конструкций среди рядов жесткости или пластин обшивки	270
§ 19. Свободные колебания и главные изодинамы углужих систем с линейными сопротивлениями	275
§ 20. Влияние динамических деформаций	282
§ 21. Влияние общей и местной вибрации судового корпуса	284
§ 22. Метод сил, деформаций, конечных элементов и суперэлементов. Комбинированное методо количества-элементов с методом нормальных отклонений	289
§ 23. Метод динамических возмущений	314
§ 24. Некоторые особенности применения метода вибраций разностей	319
§ 25. Рассчет бессимметрических деформаций производных оболочек краевого	323
Заключение	368
Указатель литературы	376

Владимир Сергеевич Чухновский

**ЧИСЛЕННЫЕ МЕТОДЫ РАСЧЕТОВ
В СТРОИТЕЛЬНОЙ МЕХАНИКЕ КОРАБЛЯ**
[Общая теория. Одномерные и квазидинамические
процессы]

Редактор М. И. Быковцев

Технический редактор А. Н. Козаков

Художественное редактирование

П. Т. Логунова и В. А. Пурцовой

Корректоры И. Б. Острогубова и А. В. Коновал

Художник В. И. Капонеев

Сдано в набор 22 декабря 1979 г. № 26-2995.

Издано в Архте 12 апреля 1980 г.

Формат 70×100/16. Бумага Гипографика № 3.

Печатный листок 65,5. Заглавие винтажного шрифта 21,1.

Издательство «Наука» № 2074.

Цена 1 рубль 10 коп.

Издательство «Советское книжное»,

шлюз. Ленинград, ул. Гаспринского,

издательско-полиграфическое управление

при Государственном комитете Союза Министров СССР

по делам культуры, науки и высшей школы, № 16,

1980 г., Ленинград, Ф-109, Союзиздаттехника ул. 16.